

Coleção
SCHAUM



Manual de Fórmulas e Tabelas Matemáticas

Terceira edição

Mais de 2400 fórmulas e tabelas

- Abrange desde a matemática elementar até tópicos avançados
- Organizado de forma a facilitar a consulta

ÚTIL EM TODAS AS DISCIPLINAS!

Murray R. Spiegel, Seymour Lipschutz e John Liu





S755m Spiegel, Murray R.

Manual de fórmulas e tabelas matemáticas [recurso eletrônico] / Murray R. Spiegel, Seymour Lipschutz, John Liu ; tradução técnica: Claus Ivo Doering. – 3. ed. – Dados eletrônicos. – Porto Alegre : Bookman, 2012.
(Coleção Schaum)

Editado também como livro impresso em 2011.
ISBN 978-85-407-0056-7

1. Matemática. 2. Manual. 3. Tabelas. I. Lipschutz, Seymour. II. Liu, John. III. Título.

CDU 51(035)(083)

Murray R. Spiegel, Ph.D.

*Ex-professor e Chefe do Departamento de Matemática do
Rensselaer Polytechnic Institute
Hartford Graduate Center*

Seymour Lipschutz, Ph.D.

*Departamento de Matemática
Temple University*

John Liu, Ph.D.

*Departamento de Matemática
University of Maryland*

Manual de Fórmulas e Tabelas Matemáticas

Terceira edição

Tradução técnica:

Dr. Claus Ivo Doering

Doutor em matemática pelo IMPA

Professor Titular do Instituto de Matemática da UFRGS

Versão impressa
desta obra: 2011



2012

Obra originalmente publicada sob o título
Schaum's Outline: Mathematical Handbook of Formulas and Tables, 3/Ed.

ISBN: 007-154855-6

Copyright © 2009, 1999, 1986 by the McGraw-Hill Companies, Inc., New York, New York, United States of America.
All rights reserved.

Portuguese-language translation copyright ©2010 by Bookman Companhia Editora Ltda., a Division of Artmed Editora S.A.
All rights reserved.

Capa: *Rogério Grilho (arte sobre capa original)*

Editora Sênior: *Denise Weber Nowaczyk*

Projeto e editoração: *Techbooks*

MURRAY R. SPIEGEL, já falecido, recebeu o grau de Mestre em Física e Doutor em Matemática da Cornell University. Trabalhou nas universidades de Harvard, Columbia, Oak Ridge e no Rensselaer Polytechnic Institute, e também atuou como consultor matemático junto a diversas empresas importantes. Sua última posição foi como professor e Chefe do Departamento de Matemática no Rensselaer Polytechnic Institute do Hartford Graduate Center. Dedicou-se a vários ramos da Matemática, especialmente aqueles que envolvem aplicações a problemas de Física e Engenharia. É autor de muitos artigos publicados em revistas científicas e de 14 livros sobre vários tópicos em Matemática.

SEYMOUR LIPSCHUTZ faz parte do corpo docente da Temple University, tendo lecionado, anteriormente, no Instituto Politécnico do Brooklin. Recebeu o grau de Doutor da New York University e é um dos autores mais produtivos da Coleção Schaum. Escreveu, dentre outros, os livros de Álgebra Linear, Probabilidade, Matemática Discreta, Teoria de Conjuntos, Matemática Finita e Topologia Geral.

JOHN LIU atualmente é professor de Matemática na University of Maryland, tendo lecionado, anteriormente, na Temple University. Recebeu o grau de Doutor da University of California e foi professor visitante das universidades de New York, Princeton e Berkeley. Publicou diversos trabalhos sobre Matemática Aplicada, incluindo as áreas de Equações Diferenciais Parciais e Análise Numérica.

Reservados todos os direitos de publicação, em língua portuguesa, à
ARTMED® EDITORA S.A.
Av. Jerônimo de Ornelas, 670 – Santana
90040-340 – Porto Alegre – RS
Fone: (51) 3027-7000 Fax: (51) 3027-7070

É proibida a duplicação ou reprodução deste volume, no todo ou em parte, sob quaisquer formas ou por quaisquer meios (eletrônico, mecânico, gravação, fotocópia, distribuição na Web e outros), sem permissão expressa da Editora.

Unidade São Paulo
Av. Embaixador Macedo Soares, 10.735 – Pavilhão 5 – Cond. Espace Center
Vila Anastácio – 05095-035 – São Paulo – SP
Fone: (11) 3665-1100 Fax: (11) 3667-1333

SAC 0800 703-3444

IMPRESSO NO BRASIL
PRINTED IN BRAZIL

Prefácio

Este manual reúne uma coleção de fórmulas e tabelas matemáticas que será valiosa para estudantes e pesquisadores nas áreas de Matemática, Física, Engenharia e outras ciências. Tivemos o cuidado de incluir somente aquelas fórmulas e tabelas que provavelmente serão mais utilizadas, ignorando resultados altamente especializados que raramente serão necessários. O material apresentado neste manual de fácil utilização provém de assuntos profundamente enraizados em cursos matemáticos e científicos universitários. Na verdade, a primeira edição ainda pode ser encontrada em muitas bibliotecas e escritórios e, muito provavelmente, tem acompanhado seus donos de emprego em emprego, desde sua época de faculdade. Assim, este manual sobreviveu ao teste do tempo (enquanto a maioria dos outros livros da faculdade já foi jogada fora).

Esta nova edição mantém o mesmo espírito da segunda, com as seguintes alterações. Em primeiro lugar, retiramos algumas tabelas desatualizadas que, hoje em dia, podem ser facilmente obtidas com calculadoras simples e omitimos fórmulas raramente utilizadas. A principal mudança foi a expansão das seções sobre Probabilidade e Variáveis Aleatórias, com a inclusão material novo. Esses dois assuntos aparecem tanto nas ciências físicas quanto sociais, inclusive na Educação.

Os tópicos abordados variam do básico ao avançado. Os tópicos básicos incluem os de Álgebra, Geometria, Trigonometria, Geometria Analítica, Probabilidade e Estatística e Cálculo. Os tópicos avançados incluem os de Equações Diferenciais, Análise Numérica e de Análise Vetorial, como séries de Fourier, funções beta e gama, funções de Bessel e Legendre, transformadas de Fourier e Laplace e funções elípticas e outras funções especiais importantes. Esta ampla cobertura de tópicos foi adotada para fornecer, em apenas um volume, a maioria dos resultados matemáticos importantes que o estudante e o pesquisador necessita, independentemente de seu campo de interesse ou nível de conhecimento.

Este livro está dividido em duas partes. A Parte A apresenta fórmulas matemáticas junto com algum outro material, essencial para o devido entendimento e aplicação das fórmulas, como definições, teoremas, gráficos, diagramas, etc. A Parte B apresenta as tabelas numéricas, que incluem as distribuições estatísticas básicas (normal, t de Student, qui-quadrada, etc.), funções especiais (Bessel, Legendre, elípticas, etc.) e funções financeiras (montante composto e valor presente de uma quantidade e anuidade).

A McGraw-Hill deseja agradecer aos diversos autores e editoras (por exemplo, o agente literário do falecido Sir Ronald A. Fischer, F.R.S., o Dr. Frank Yates, F.R.S. e Oliver and Boyd Ltd., de Edinburgh, pela Tabela III de seu livro *Statistical Tables for Biological, Agricultural and Medical Research*) que deram sua permissão para adaptar dados de seus livros para utilização em várias tabelas deste manual. As referências apropriadas a tais fontes são dadas junto às tabelas correspondentes.

Finalmente, gostaria de agradecer à equipe da Coleção Schaum na McGraw-Hill, especialmente Charles Wall, por sua cooperação dedicada.

SEYMOUR LIPSCHUTZ
TEMPLE UNIVERSITY

Sumário

| | | |
|----------------|--|------------|
| Parte A | Fórmulas | 11 |
| Seção I | Constantes, Produtos e Fórmulas Elementares | 13 |
| | 1. Alfabeto grego e constantes especiais | 13 |
| | 2. Produtos e fatores especiais | 15 |
| | 3. Fórmula binomial e coeficientes binomiais | 17 |
| | 4. Números complexos | 20 |
| | 5. Soluções de equações algébricas | 23 |
| | 6. Fatores de conversão | 25 |
| Seção II | Geometria | 27 |
| | 7. Fórmulas geométricas | 27 |
| | 8. Fórmulas da geometria analítica plana | 33 |
| | 9. Curvas planas especiais | 39 |
| | 10. Fórmulas da geometria analítica espacial | 45 |
| | 11. Momentos de inércia especiais | 52 |
| Seção III | Funções Transcendentes Elementares | 54 |
| | 12. Funções trigonométricas | 54 |
| | 13. Funções exponenciais e logarítmicas | 64 |
| | 14. Funções hiperbólicas | 67 |
| Seção IV | Cálculo | 73 |
| | 15. Derivadas | 73 |
| | 16. Integrais indefinidas | 78 |
| | 17. Tabelas de integrais indefinidas especiais | 82 |
| | 18. Integrais definidas | 116 |
| Seção V | Equações Diferenciais e Análise Vetorial | 124 |
| | 19. Equações diferenciais básicas e suas soluções | 124 |
| | 20. Fórmulas da análise vetorial | 127 |

| | | |
|-------------------|---|------------|
| Seção VI | Séries | 142 |
| | 21. Séries de termos constantes | 142 |
| | 22. Séries de Taylor | 146 |
| | 23. Números de Bernoulli e de Euler | 150 |
| | 24. Séries de Fourier | 152 |
| Seção VII | Polinômios e Funções Especiais | 157 |
| | 25. A função gama | 157 |
| | 26. A função beta | 160 |
| | 27. Funções de Bessel | 161 |
| | 28. Funções de Legendre e de Legendre associadas | 172 |
| | 29. Polinômios de Hermite | 177 |
| | 30. Polinômios de Laguerre e de Laguerre Associados | 179 |
| | 31. Polinômios de Chebyshev | 183 |
| | 32. Funções hipergeométricas | 186 |
| Seção VIII | Transformadas de Laplace e de Fourier | 188 |
| | 33. Transformadas de Laplace | 188 |
| | 34. Transformadas de Fourier | 201 |
| Seção IX | Funções Elípticas e Outras Funções Especiais | 206 |
| | 35. Funções elípticas | 206 |
| | 36. Outras funções especiais | 211 |
| Seção X | Desigualdades e Produtos Infinitos | 213 |
| | 37. Desigualdades | 213 |
| | 38. Produtos infinitos | 215 |
| Seção XI | Probabilidade e Estatística | 216 |
| | 39. Estatística descritiva | 216 |
| | 40. Probabilidade | 225 |
| | 41. Variáveis aleatórias | 231 |
| Seção XII | Métodos Numéricos | 236 |
| | 42. Interpolação | 236 |
| | 43. Quadratura | 240 |
| | 44. Solução de equações não lineares | 242 |
| | 45. Métodos numéricos para equações diferenciais ordinárias | 244 |
| | 46. Métodos numéricos para equações diferenciais parciais | 246 |
| | 47. Métodos iterativos para sistemas lineares | 249 |

| | | |
|----------------|---|------------|
| Parte B | Tabelas | 251 |
| Seção I | Funções Logarítmicas, Trigonométricas e Exponenciais | 253 |
| | 1. Logaritmos comuns | 253 |
| | 2. $\text{sen } x$ (x em graus e minutos) | 255 |
| | 3. $\text{cos } x$ (x em graus e minutos) | 256 |
| | 4. $\text{tg } x$ (x em graus e minutos) | 257 |
| | 5. Conversão de radianos para graus, minutos e segundos ou frações de graus | 258 |
| | 6. Conversão de graus, minutos e segundos para radianos | 259 |
| | 7. Logaritmos naturais ou neperianos | 260 |
| | 8. Função exponencial crescente e^x | 262 |
| | 9. Função exponencial decrescente e^{-x} | 263 |
| | 10. Integrais exponencial, seno e cosseno | 264 |
| Seção II | Fatorial, Função Gama e Coeficientes Binomiais | 265 |
| | 11. Fatorial de n | 265 |
| | 12. Função gama | 266 |
| | 13. Coeficientes binomiais | 267 |
| Seção III | Funções de Bessel | 269 |
| | 14. Funções de Bessel $J_0(x)$ | 269 |
| | 15. Funções de Bessel $J_1(x)$ | 269 |
| | 16. Funções de Bessel $Y_0(x)$ | 270 |
| | 17. Funções de Bessel $Y_1(x)$ | 270 |
| | 18. Funções de Bessel $I_0(x)$ | 271 |
| | 19. Funções de Bessel $I_1(x)$ | 271 |
| | 20. Funções de Bessel $K_0(x)$ | 272 |
| | 21. Funções de Bessel $K_1(x)$ | 272 |
| | 22. Funções de Bessel $\text{Ber}(x)$ | 273 |
| | 23. Funções de Bessel $\text{Bei}(x)$ | 273 |
| | 24. Funções de Bessel $\text{Ker}(x)$ | 274 |
| | 25. Funções de Bessel $\text{Kei}(x)$ | 274 |
| | 26. Valores aproximados de zeros de funções de Bessel | 275 |
| Seção IV | Polinômios de Legendre | 276 |
| | 27. Polinômios de Legendre $P_n(x)$ | 276 |
| | 28. Polinômios de Legendre $P_n(\cos \theta)$ | 277 |
| Seção V | Integrais Elípticas | 278 |
| | 29. Integrais elípticas completas de 1ª e 2ª espécies | 278 |
| | 30. Integrais elípticas incompletas de 1ª espécie | 279 |
| | 31. Integrais elípticas incompletas de 2ª espécie | 279 |

| | | |
|------------------|--|------------|
| Seção VI | Tabelas Financeiras | 280 |
| | 32. Montante composto | 280 |
| | 33. Valor presente de um montante | 281 |
| | 34. Montante de uma anuidade | 282 |
| | 35. Valor presente de uma anuidade | 283 |
| | | |
| Seção VII | Probabilidade e Estatística | 284 |
| | 36. Áreas sob a curva normal padrão | 284 |
| | 37. Ordenadas da curva normal padrão | 285 |
| | 38. Valores percentis t_p da distribuição t de student | 286 |
| | 39. Valores percentis χ_p^2 da distribuição χ^2 (qui-quadrado) | 287 |
| | 40. Valores do 95 ^o percentil da distribuição F | 288 |
| | 41. Valores do 99 ^o percentil da distribuição F | 289 |
| | 42. Números aleatórios | 290 |
| | | |
| | Índice de Símbolos e Notações Especiais | 291 |
| | | |
| | Índice | 293 |

Parte A

FÓRMULAS

Alfabeto Grego e Constantes Especiais

1

Alfabeto grego

| Nome Grego | Letras Gregas | |
|------------|---------------|------------|
| | Minúsculas | Maiúsculas |
| Alfa | α | A |
| Beta | β | B |
| Gama | γ | Γ |
| Delta | δ | Δ |
| Epsílon | ϵ | E |
| Zeta | ζ | Z |
| Eta | η | H |
| Teta | θ | Θ |
| Iota | ι | I |
| Capa | κ | K |
| Lambda | λ | Λ |
| Mi | μ | M |

| Nome Grego | Letras Gregas | |
|------------|---------------|------------|
| | Minúsculas | Maiúsculas |
| Ni | ν | N |
| Xi | ξ | Ξ |
| Ômicron | o | O |
| Pi | π | Π |
| Rô | ρ | P |
| Sigma | σ | Σ |
| Tau | τ | T |
| Ipsílon | υ | Y |
| Fi | ϕ | Φ |
| Qui | χ | X |
| Psi | ψ | Ψ |
| Ômega | ω | Ω |

Constantes especiais

1.1 $\pi = 3,14159\ 26535\ 89793\ \dots$

1.2 $e = 2,71828\ 18284\ 59045\ \dots = \lim_{n \rightarrow \infty} \left(1 + \frac{1}{n}\right)^n$

= base natural dos logaritmos

1.3 $\gamma = 0,57721\ 56649\ 01532\ 86060\ 6512\ \dots = \text{constante de Euler}$

$$= \lim_{n \rightarrow \infty} \left(1 + \frac{1}{2} + \frac{1}{3} + \dots + \frac{1}{n} - \ln n\right)$$

1.4 $e^\gamma = 1,78107\ 24179\ 90197\ 9852\ \dots$ [ver 1.3]

1.5 $\sqrt{e} = 1,64872\ 12707\ 00128\ 1468 \dots$

1.6 $\sqrt{\pi} = \Gamma(\frac{1}{2}) = 1,77245\ 38509\ 05516\ 02729\ 8167 \dots$
onde Γ é a *função gama* [ver 25.1].

1.7 $\Gamma(\frac{1}{3}) = 2,67893\ 85347\ 07748 \dots$

1.8 $\Gamma(\frac{1}{4}) = 3,62560\ 99082\ 21908 \dots$

1.9 $1 \text{ radiano} = 180^\circ/\pi = 57,29577\ 95130\ 8232 \dots^\circ$

1.10 $1^\circ = \pi/180 \text{ radianos} = 0,01745\ 32925\ 19943\ 29576\ 92 \dots \text{radianos}$

Produtos e Fatores Especiais

2

$$2.1 \quad (x + y)^2 = x^2 + 2xy + y^2$$

$$2.2 \quad (x - y)^2 = x^2 - 2xy + y^2$$

$$2.3 \quad (x + y)^3 = x^3 + 3x^2y + 3xy^2 + y^3$$

$$2.4 \quad (x - y)^3 = x^3 - 3x^2y + 3xy^2 - y^3$$

$$2.5 \quad (x + y)^4 = x^4 + 4x^3y + 6x^2y^2 + 4xy^3 + y^4$$

$$2.6 \quad (x - y)^4 = x^4 - 4x^3y + 6x^2y^2 - 4xy^3 + y^4$$

$$2.7 \quad (x + y)^5 = x^5 + 5x^4y + 10x^3y^2 + 10x^2y^3 + 5xy^4 + y^5$$

$$2.8 \quad (x - y)^5 = x^5 - 5x^4y + 10x^3y^2 - 10x^2y^3 + 5xy^4 - y^5$$

$$2.9 \quad (x + y)^6 = x^6 + 6x^5y + 15x^4y^2 + 20x^3y^3 + 15x^2y^4 + 6xy^5 + y^6$$

$$2.10 \quad (x - y)^6 = x^6 - 6x^5y + 15x^4y^2 - 20x^3y^3 + 15x^2y^4 - 6xy^5 + y^6$$

Os resultados de 2.1 a 2.10 são casos especiais da *fórmula binomial* [ver 3.3].

$$2.11 \quad x^2 - y^2 = (x - y)(x + y)$$

$$2.12 \quad x^3 - y^3 = (x - y)(x^2 + xy + y^2)$$

$$2.13 \quad x^3 + y^3 = (x + y)(x^2 - xy + y^2)$$

$$2.14 \quad x^4 - y^4 = (x - y)(x + y)(x^2 + y^2)$$

$$2.15 \quad x^5 - y^5 = (x - y)(x^4 + x^3y + x^2y^2 + xy^3 + y^4)$$

$$2.16 \quad x^5 + y^5 = (x + y)(x^4 - x^3y + x^2y^2 - xy^3 + y^4)$$

$$2.17 \quad x^6 - y^6 = (x - y)(x + y)(x^2 + xy + y^2)(x^2 - xy + y^2)$$

$$2.18 \quad x^4 + x^2y^2 + y^4 = (x^2 + xy + y^2)(x^2 - xy + y^2)$$

$$2.19 \quad x^4 + 4y^4 = (x^2 + 2xy + 2y^2)(x^2 - 2xy + 2y^2)$$

Algumas generalizações das fórmulas acima são dadas pelos seguintes resultados, onde n é um inteiro positivo.

$$2.20 \quad x^{2n+1} - y^{2n+1} = (x - y)(x^{2n} + x^{2n-1}y + x^{2n-2}y^2 + \dots + y^{2n})$$

$$\begin{aligned} &= (x - y) \left(x^2 - 2xy \cos \frac{2\pi}{2n+1} + y^2 \right) \left(x^2 - 2xy \cos \frac{4\pi}{2n+1} + y^2 \right) \\ &\quad \dots \left(x^2 - 2xy \cos \frac{2n\pi}{2n+1} + y^2 \right) \end{aligned}$$

$$\begin{aligned}
 2.21 \quad x^{2n+1} + y^{2n+1} &= (x+y)(x^{2n} - x^{2n-1}y + x^{2n-2}y^2 - \dots + y^{2n}) \\
 &= (x+y) \left(x^2 + 2xy \cos \frac{2\pi}{2n+1} + y^2 \right) \left(x^2 + 2xy \cos \frac{4\pi}{2n+1} + y^2 \right) \\
 &\quad \dots \left(x^2 + 2xy \cos \frac{2n\pi}{2n+1} + y^2 \right)
 \end{aligned}$$

$$\begin{aligned}
 2.22 \quad x^{2n} - y^{2n} &= (x-y)(x+y)(x^{n-1} + x^{n-2}y + x^{n-3}y^2 + \dots)(x^{n-1} - x^{n-2}y + x^{n-3}y^2 - \dots) \\
 &= (x-y)(x+y) \left(x^2 - 2xy \cos \frac{\pi}{n} + y^2 \right) \left(x^2 - 2xy \cos \frac{2\pi}{n} + y^2 \right) \\
 &\quad \dots \left(x^2 - 2xy \cos \frac{(n-1)\pi}{n} + y^2 \right)
 \end{aligned}$$

$$\begin{aligned}
 2.23 \quad x^{2n} + y^{2n} &= \left(x^2 + 2xy \cos \frac{\pi}{2n} + y^2 \right) \left(x^2 + 2xy \cos \frac{3\pi}{2n} + y^2 \right) \\
 &\quad \dots \left(x^2 + 2xy \cos \frac{(2n-1)\pi}{2n} + y^2 \right)
 \end{aligned}$$

Fórmula Binomial e Coeficientes Binomiais

3

Fatorial de n

Para $n = 1, 2, 3, \dots$, o *fatorial de n* é denotado e definido por

$$3.1 \quad n! = n(n-1)\cdots 3 \cdot 2 \cdot 1$$

Zero fatorial é definido por

$$3.2 \quad 0! = 1$$

Alternativamente, podemos definir fatorial de n recursivamente por

$$0! = 1 \quad \text{e} \quad n! = n \cdot (n-1)!$$

Exemplo $4! = 4 \cdot 3 \cdot 2 \cdot 1 = 24,$
 $5! = 5 \cdot 4 \cdot 3 \cdot 2 \cdot 1 = 5 \cdot 4! = 5(24) = 120,$
 $6! = 6 \cdot 5! = 6(120) = 720$

Fórmula binomial para n inteiro positivo

Para $n = 1, 2, 3, \dots$,

$$3.3 \quad (x+y)^n = x^n + nx^{n-1}y + \frac{n(n-1)}{2!}x^{n-2}y^2 + \frac{n(n-1)(n-2)}{3!}x^{n-3}y^3 + \cdots + y^n$$

Esta é a *fórmula binomial*. Ela pode ser estendida a outros valores de n e, também, a uma série infinita [ver 22.4].

Exemplo

(a) $(a-2b)^4 = a^4 + 4a^3(-2b) + 6a^2(-2b)^2 + 4a(-2b)^3 + (-2b)^4 = a^4 - 8a^3b + 24a^2b^2 - 32ab^3 + 16b^4$

Aqui, $x = a$ e $y = -2b$.

(b) Ver Fig. 3-1(a).

Coeficientes binomiais

A Fórmula 3.3 pode ser reescrita na forma

$$3.4 \quad (x+y)^n = x^n + \binom{n}{1}x^{n-1}y + \binom{n}{2}x^{n-2}y^2 + \binom{n}{3}x^{n-3}y^3 + \cdots + \binom{n}{n}y^n$$

onde os coeficientes, denominados *coeficientes binomiais*, são dados por

$$3.5 \quad \binom{n}{k} = \frac{n(n-1)(n-2)\cdots(n-k+1)}{k!} = \frac{n!}{k!(n-k)!} = \binom{n}{n-k}$$

Exemplo $\binom{9}{4} = \frac{9 \cdot 8 \cdot 7 \cdot 6}{1 \cdot 2 \cdot 3 \cdot 4} = 126$, $\binom{12}{5} = \frac{12 \cdot 11 \cdot 10 \cdot 9 \cdot 8}{1 \cdot 2 \cdot 3 \cdot 4 \cdot 5} = 792$, $\binom{10}{7} = \binom{10}{3} = \frac{10 \cdot 9 \cdot 8}{1 \cdot 2 \cdot 3} = 120$

Observe que $\binom{n}{r}$ tem exatamente r fatores tanto no numerador quanto no denominador.

Os coeficientes binomiais podem ser arranjados numa disposição triangular de números chamada triângulo de Pascal, como mostrado na Fig. 3-1(b). O triângulo possui as duas seguintes propriedades.

- (1) O primeiro e o último número em cada linha é 1.
- (2) Todos os outros números no triângulo podem ser obtidos adicionando os dois números que aparecem diretamente acima do número. Por exemplo,

$$10 = 4 + 6, \quad 15 = 5 + 10, \quad 20 = 10 + 10$$

A propriedade (2) pode ser enunciada como segue.

$$3.6 \quad \binom{n}{k} + \binom{n}{k+1} = \binom{n+1}{k+1}$$

| | |
|--|------------------|
| $(a+b)^0 = 1$ | 1 |
| $(a+b)^1 = a+b$ | 1 1 |
| $(a+b)^2 = a^2 + 2ab + b^2$ | 1 2 1 |
| $(a+b)^3 = a^3 + 3a^2b + 3ab^2 + b^3$ | 1 3 3 1 |
| $(a+b)^4 = a^4 + 4a^3b + 6a^2b^2 + 4ab^3 + b^4$ | 1 4 6 4 1 |
| $(a+b)^5 = a^5 + 5a^4b + 10a^3b^2 + 10a^2b^3 + 5ab^4 + b^5$ | 1 5 10 10 5 1 |
| $(a+b)^6 = a^6 + 6a^5b + 15a^4b^2 + 20a^3b^3 + 15a^2b^4 + 6ab^5 + b^6$ | 1 6 15 20 15 6 1 |
| | |
| (a) | (b) |

Fig. 3-1

Propriedades de coeficientes binomiais

A lista a seguir dá propriedades adicionais dos coeficientes binomiais.

$$3.7 \quad \binom{n}{0} + \binom{n}{1} + \binom{n}{2} + \cdots + \binom{n}{n} = 2^n$$

$$3.8 \quad \binom{n}{0} - \binom{n}{1} + \binom{n}{2} - \cdots + (-1)^n \binom{n}{n} = 0$$

$$3.9 \quad \binom{n}{n} + \binom{n+1}{n} + \binom{n+2}{n} + \cdots + \binom{n+m}{n} = \binom{n+m+1}{n+1}$$

$$3.10 \quad \binom{n}{0} + \binom{n}{2} + \binom{n}{4} + \cdots = 2^{n-1}$$

$$3.11 \quad \binom{n}{1} + \binom{n}{3} + \binom{n}{5} + \cdots = 2^{n-1}$$

$$3.12 \quad \binom{n}{0}^2 + \binom{n}{1}^2 + \binom{n}{2}^2 + \cdots + \binom{n}{n}^2 = \binom{2n}{n}$$

$$3.13 \quad \binom{m}{0} \binom{n}{p} + \binom{m}{1} \binom{n}{p-1} + \cdots + \binom{m}{p} \binom{n}{0} = \binom{m+n}{p}$$

$$3.14 \quad (1)\binom{n}{1} + (2)\binom{n}{2} + (3)\binom{n}{3} + \cdots + (n)\binom{n}{n} = n2^{n-1}$$

$$3.15 \quad (1)\binom{n}{1} - (2)\binom{n}{2} + (3)\binom{n}{3} - \cdots + (-1)^{n+1}(n)\binom{n}{n} = 0$$

Fórmula multinomial

Sejam n_1, n_2, \dots, n_r inteiros não negativos tais que $n_1 + n_2 + \cdots + n_r = n$. Então a seguinte expressão, denominada *coeficiente multinomial*, é definida por

$$3.16 \quad \binom{n}{n_1, n_2, \dots, n_r} = \frac{n!}{n_1! n_2! \cdots n_r!}$$

$$\text{Exemplo} \quad \binom{7}{2, 3, 2} = \frac{7!}{2!3!2!} = 210, \quad \binom{8}{4, 2, 2, 0} = \frac{8!}{4!2!2!0!} = 420$$

O nome coeficiente multinomial vem da seguinte fórmula

$$3.17 \quad (x_1 + x_2 + \cdots + x_r)^n = \sum \binom{n}{n_1, n_2, \dots, n_r} x_1^{n_1} x_2^{n_2} \cdots x_r^{n_r}$$

onde a soma, denotada por Σ , é tomada sobre todos os coeficientes multinomiais possíveis.

4

Números Complexos

Definições envolvendo números complexos

Um número complexo z é, geralmente, escrito na forma

$$z = a + bi$$

onde a e b são números reais e i , chamada *unidade imaginária*, tem a propriedade $i^2 = -1$. Os números reais a e b são chamados *partes real e imaginária* de $z = a + bi$, respectivamente.

O *conjugado complexo* de z é denotado por \bar{z} e é definido por

$$\overline{a + bi} = a - bi$$

Assim, $a + bi$ e $a - bi$ são conjugados um do outro.

Igualdade de números complexos

$$4.1 \quad a + bi = c + di \quad \text{se, e somente se,} \quad a = c \text{ e } b = d$$

Aritmética de números complexos

Fórmulas para adição, subtração, multiplicação e divisão de números complexos são as seguintes:

$$4.2 \quad (a + bi) + (c + di) = (a + c) + (b + d)i$$

$$4.3 \quad (a + bi) - (c + di) = (a - c) + (b - d)i$$

$$4.4 \quad (a + bi)(c + di) = (ac - bd) + (ad + bc)i$$

$$4.5 \quad \frac{a + bi}{c + di} = \frac{a + bi}{c + di} \cdot \frac{c - di}{c - di} = \frac{ac + bd}{c^2 + d^2} + \left(\frac{bc - ad}{c^2 + d^2} \right) i$$

Observe que as operações dadas são obtidas usando as regras normais da Álgebra e substituindo i^2 por -1 , onde quer que isso ocorra.

Exemplo Suponha que $z = 2 + 3i$ e $w = 5 - 2i$. Então

$$z + w = (2 + 3i) + (5 - 2i) = 2 + 5 + 3i - 2i = 7 + i$$

$$zw = (2 + 3i)(5 - 2i) = 10 + 15i - 4i - 6i^2 = 16 + 11i$$

$$\bar{z} = \overline{2 + 3i} = 2 - 3i \quad \text{e} \quad \bar{w} = \overline{5 - 2i} = 5 + 2i$$

$$\frac{w}{z} = \frac{5 - 2i}{2 + 3i} = \frac{(5 - 2i)(2 - 3i)}{(2 + 3i)(2 - 3i)} = \frac{4 - 19i}{13} = \frac{4}{13} - \frac{19}{13}i$$

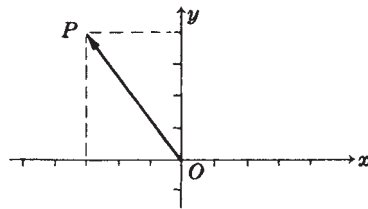
Plano complexo

Os números reais podem ser representados por pontos em uma reta, chamada de *reta real*. Analogamente, os números complexos podem ser representados por pontos em um plano, chamado *diagrama de Argand* ou *plano gaussiano* ou, simplesmente, de *plano complexo*. Mais especificamente, deixamos o ponto (a, b) no plano representar o número complexo $z = a + bi$. Por exemplo, o ponto P , na Fig. 4-1, representa o número complexo $z = -3 + 4i$. O número complexo pode ser também interpretado como um vetor da origem O ao ponto P .

O *valor absoluto* de um número complexo $z = a + bi$, denotado por $|z|$, é definido por

$$4.6 \quad |z| = \sqrt{a^2 + b^2} = \sqrt{z\bar{z}}$$

Observamos que $|z|$ é a distância da origem O ao ponto z no plano complexo.



$$P = (-3, 4) = -3 + 4i$$

Fig. 4-1

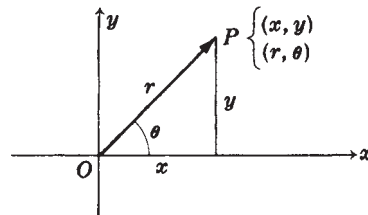


Fig. 4-2

Forma polar de números complexos

O ponto P , na Fig. 4-2, com coordenadas (x, y) , representa o número complexo $z = x + yi$. O ponto P também pode ser representado pelas *coordenadas polares* (r, θ) . Como $x = r \cos \theta$ e $y = r \sin \theta$, temos

$$4.7 \quad z = x + iy = r(\cos \theta + i \sin \theta)$$

chamada de *forma polar* do número complexo. Frequentemente, chamamos $r = |z| = \sqrt{x^2 + y^2}$ de *módulo* e θ a *amplitude* de $z = x + yi$.

Multiplicação e divisão de números complexos na forma polar

$$4.8 \quad [r_1(\cos \theta_1 + i \sin \theta_1)][r_2(\cos \theta_2 + i \sin \theta_2)] = r_1 r_2 [\cos(\theta_1 + \theta_2) + i \sin(\theta_1 + \theta_2)]$$

$$4.9 \quad \frac{r_1(\cos \theta_1 + i \sin \theta_1)}{r_2(\cos \theta_2 + i \sin \theta_2)} = \frac{r_1}{r_2} [\cos(\theta_1 - \theta_2) + i \sin(\theta_1 - \theta_2)]$$

Teorema de De Moivre

Para qualquer número real p , o Teorema de De Moivre afirma que

$$4.10 \quad [r(\cos \theta + i \sin \theta)]^p = r^p (\cos p\theta + i \sin p\theta)$$

Raíces de números complexos

Seja $p = 1/n$, onde n é qualquer número inteiro positivo. Então 4.10 pode ser escrito como

$$4.11 \quad [r(\cos \theta + i \operatorname{sen} \theta)]^{1/n} = r^{1/n} \left(\cos \frac{\theta + 2k\pi}{n} + i \operatorname{sen} \frac{\theta + 2k\pi}{n} \right)$$

onde k é qualquer número inteiro. A partir desta fórmula podemos obter todas as n raízes enésimas de um número complexo, tomando $k = 0, 1, 2, \dots, n - 1$.

Soluções de Equações Algébricas

5

Equação quadrática: $ax^2 + bx + c = 0$

5.1 Soluções
$$x = \frac{-b \pm \sqrt{b^2 - 4ac}}{2a}$$

Se a , b e c são números reais e se $D = b^2 - 4ac$ é o *discriminante*, então as raízes são

- (i) reais e desiguais se $D > 0$
- (ii) reais e iguais se $D = 0$
- (iii) conjugadas complexas se $D < 0$

5.2 Se x_1, x_2 são as raízes, então, $x_1 + x_2 = -b/a$ e $x_1 x_2 = c/a$.

Equação cúbica: $x^3 + a_1 x^2 + a_2 x + a_3 = 0$

Sejam
$$Q = \frac{3a_2 - a_1^2}{9}, \quad R = \frac{9a_1 a_2 - 27a_3 - 2a_1^3}{54},$$
$$S = \sqrt[3]{R + \sqrt{Q^3 + R^2}}, \quad T = \sqrt[3]{R - \sqrt{Q^3 + R^2}}$$

onde $ST = -Q$.

5.3 Soluções
$$\begin{cases} x_1 = S + T - \frac{1}{3}a_1 \\ x_2 = -\frac{1}{2}(S + T) - \frac{1}{3}a_1 + \frac{1}{2}i\sqrt{3}(S - T) \\ x_3 = -\frac{1}{2}(S + T) - \frac{1}{3}a_1 - \frac{1}{2}i\sqrt{3}(S - T) \end{cases}$$

Se a_1, a_2 e a_3 são reais e se $D = Q^3 + R^2$ é o *discriminante*, então

- (i) uma raiz é real e duas são complexas conjugadas se $D > 0$;
- (ii) todas as raízes são reais e, no mínimo, duas são iguais se $D = 0$ e
- (iii) todas as raízes são reais e desiguais se $D < 0$.

Se $D < 0$, o cálculo é simplificado usando-se trigonometria.

5.4 Soluções

se $D < 0$:
$$\begin{cases} x_1 = 2\sqrt{-Q} \cos(\frac{1}{3}\theta) - \frac{1}{3}a_1 \\ x_2 = 2\sqrt{-Q} \cos(\frac{1}{3}\theta + 120^\circ) - \frac{1}{3}a_1 \\ x_3 = 2\sqrt{-Q} \cos(\frac{1}{3}\theta + 240^\circ) - \frac{1}{3}a_1 \end{cases}$$

onde $\cos \theta = R/\sqrt{-Q^3}$

$$5.5 \quad x_1 + x_2 + x_3 = -a_1, \quad x_1x_2 + x_2x_3 + x_3x_1 = a_2, \quad x_1x_2x_3 = -a_3$$

onde x_1, x_2 e x_3 são as três raízes.

$$\text{Equação quártica: } x^4 + a_1x^3 + a_2x^2 + a_3x + a_4 = 0$$

Seja y_1 uma raiz real da equação cúbica

$$5.6 \quad y^3 - a_2y^2 + (a_1a_3 - 4a_4)y + (4a_2a_4 - a_3^2 - a_1^2a_4) = 0$$

As quatro raízes da equação quártica são as quatro raízes da equação

$$5.7 \quad z^2 + \frac{1}{2}(a_1 \pm \sqrt{a_1^2 - 4a_2 + 4y_1})z + \frac{1}{2}(y_1 \mp \sqrt{y_1^2 - 4a_4}) = 0$$

Suponha que todas as raízes da Equação 5.6 são reais; então o cálculo é simplificado usando a raiz particular que produz todos os coeficientes reais na Equação Quadrática 5.7.

$$5.8 \quad \begin{cases} x_1 + x_2 + x_3 + x_4 = -a_1 \\ x_1x_2 + x_2x_3 + x_3x_4 + x_4x_1 + x_1x_3 + x_2x_4 = a_2 \\ x_1x_2x_3 + x_2x_3x_4 + x_1x_2x_4 + x_1x_3x_4 = -a_3 \\ x_1x_2x_3x_4 = a_4 \end{cases}$$

onde x_1, x_2, x_3 e x_4 são as quatro raízes.

Fatores de Conversão

| | |
|--------------------|---|
| Comprimento | 1 quilômetro (km) = 1.000 metros = 0,6214 milhas 1 metro (m) = 100 centímetros = 1,094 jardas 1 centímetro (cm) = 10^{-2} m = 0,3937 polegadas 1 polegada (in) = 2,540 cm 1 pé (ft) = 12 in = 30,48 cm 1 jarda (yd) = 3 ft = 91,44 cm 1 milha (mi) = 1.760 yd = 1,609 km 1 milímetro (mm) = 10^{-3} m 1 micrômetro (μm) = 10^{-6} m 1 angström (Å) = 10^{-10} m |
| Área | 1 quilômetro quadrado (km^2) = 100 hectares = 247,104 acres 1 metro quadrado (m^2) = 10,76 ft^2 1 centímetro quadrado (cm^2) = 0,155 in^2 1 hectare (ha) = 100 ares = 10^4 m^2 = 2,471 acres 1 are (a) = 100 m^2 = 119,6 yd^2 1 acre = 0,4047 ha = 43.560 ft^2 1 polegada quadrada (in^2) = 6,45 cm^2 1 pé quadrado (ft^2) = 929 cm^2 1 milha quadrada (mi^2) = 640 acres = 2,590 km^2 |
| Volume | 1 litro (l) = 1.000 cm^3 = 61,02 in^3 = 0,03532 ft^3 1 metro cúbico (m^3) = 1.000 l = 35,32 ft^3 1 galão americano (gal) = 231 in^3 = 3,785 l 1 pé cúbico (ft^3) = 7,481 gal = 0,02832 m^3 = 28,32 l |
| Massa | 1 quilograma (kg) = 1.000 gramas = 2,2046 libras 1 grama (g) = 10^{-3} kg 1 onça (oz) = 28,35 g 1 libra (lb) = 16 oz = 453,6 g |
| Velocidade | 1 km/h = 0,2778 m/s = 0,6214 mi/h = 0,9113 ft/s 1 mi/h = 1,467 ft/s = 1,609 km/h = 0,4470 m/s |
| Densidade | 1 g/cm^3 = 1.000 kg/m^3 = 62,43 lb/ft^3 1 lb/ft^3 = 0,01602 g/cm^3 |
| Força | 1 quilograma-força (kgf) = 9,807 newton = 2,205 lb-peso 1 newton (N) = 10^5 dinas = 0,1020 kgf = 0,2248 lb-peso 1 dina (dyn) = 10^{-5} N 1 libra-peso (lbf) = 4,448 N = 0,4536 kgf |
| Energia | 1 unidade térmica britânica (btu) = 778 lbf ft = 1055 joules = 0,293 watt-hora |

1 joule (J) = 1 watt-segundo = 1 N m = 10^7 ergs = 0,2389 calorias = $9,481 \times 10^{-4}$ btu
1 libra-peso pé (lbf ft) = 1,356 J = 0,3239 calorias = $1,285 \times 10^{-3}$ btu
1 caloria (cal) = 4,186 J = 3,087 lbf ft = $3,968 \times 10^{-3}$ btu
1 quilowatt-hora (kwh) = 1000 watt-hora = $3,6 \times 10^6$ J = 860.000 cal = 3.413 btu
1 elétron-volt (eV) = $1,602 \times 10^{-19}$ J

Potência

1 watt (W) = 1 J/s = 10^7 ergs/s = 0,2389 cal/s
1 horse-power (HP) = 745,7 W = 550 lbf ft/s
1 cavalo-vapor (cv) = 735,5 W
1 quilowatt (kw) = 1,341 HP = 737,6 lbf ft/s = 0,9483 btu/s

Pressão

1 pascal (Pa) = 1 N/m² = 10 dyn/cm² = $9,869 \times 10^{-6}$ atm = $2,089 \times 10^{-2}$ lbf/ft²
1 atmosfera (atm) = $1,013 \times 10^5$ Pa = $1,013 \times 10^6$ dyn/cm² = 76 cm Hg

Fórmulas Geométricas

Retângulo de comprimento b e largura a

7.1 Área = ab

7.2 Perímetro = $2a + 2b$

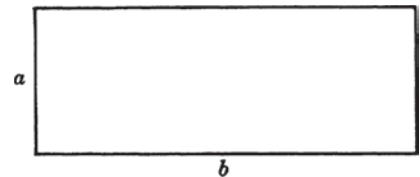


Fig. 7-1

Paralelogramo de altura h e base b

7.3 Área = $bh = ab \sin \theta$

7.4 Perímetro = $2a + 2b$

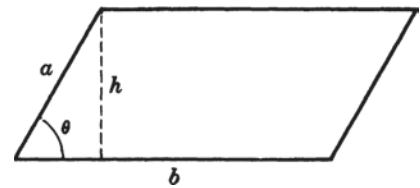


Fig. 7-2

Triângulo de altura h e base b

7.5 Área = $\frac{1}{2}bh = \frac{1}{2}ab \sin \theta$

$$= \sqrt{s(s-a)(s-b)(s-c)}$$

onde $s = \frac{1}{2}(a + b + c) = \text{semiperímetro}$

7.6 Perímetro = $a + b + c$

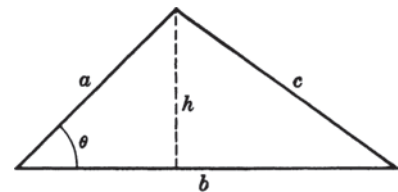


Fig. 7-3

Trapezoide de altura h e lados paralelos a e b

7.7 Área = $\frac{1}{2}h(a + b)$

7.8 Perímetro = $a + b + h \left(\frac{1}{\sin \theta} + \frac{1}{\sin \phi} \right)$

$$= a + b + h(\operatorname{cosec} \theta + \operatorname{cosec} \phi)$$

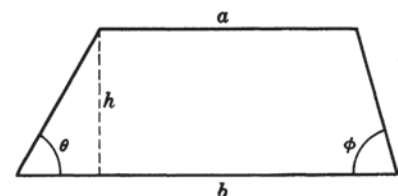


Fig. 7-4

Polígono regular de n lados de comprimento b

$$7.9 \quad \text{Área} = \frac{1}{4}nb^2 \cotg \frac{\pi}{n} = \frac{1}{4}nb^2 \frac{\cos(\pi/n)}{\sin(\pi/n)}$$

$$7.10 \quad \text{Perímetro} = nb$$

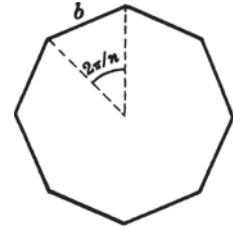


Fig. 7-5

Círculo de raio r

$$7.11 \quad \text{Área} = \pi r^2$$

$$7.12 \quad \text{Perímetro} = 2\pi r$$

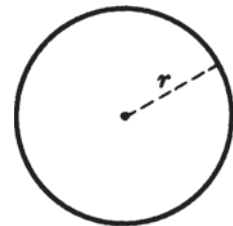


Fig. 7-6

Setor do círculo de raio r

$$7.13 \quad \text{Área} = \frac{1}{2}r^2\theta$$

$$7.14 \quad \text{Comprimento do arco } s = r\theta$$

[com θ em radianos]

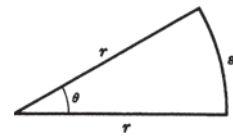


Fig. 7-7

Raio de um círculo inscrito em um triângulo de lados a, b, c

$$7.15 \quad r = \frac{\sqrt{s(s-a)(s-b)(s-c)}}{s}$$

$$\text{onde } s = \frac{1}{2}(a + b + c) = \text{semiperímetro.}$$

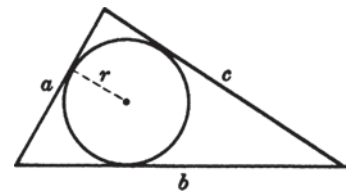


Fig. 7-8

Raio de um círculo circunscrito a um triângulo de lados a, b, c

$$7.16 \quad R = \frac{abc}{4\sqrt{s(s-a)(s-b)(s-c)}}$$

$$\text{onde } s = \frac{1}{2}(a + b + c) = \text{semiperímetro.}$$

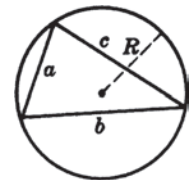


Fig. 7-9

Polígono regular de n lados inscrito em um círculo de raio r

7.17 Área = $\frac{1}{2}nr^2 \operatorname{sen} \frac{2\pi}{n} = \frac{1}{2}nr^2 \operatorname{sen} \frac{360^\circ}{n}$

7.18 Perímetro = $2nr \operatorname{sen} \frac{\pi}{n} = 2nr \operatorname{sen} \frac{180^\circ}{n}$

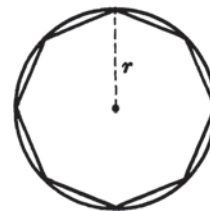


Fig. 7-10

Polígono regular de n lados circunscrito a um círculo de raio r

7.19 Área = $nr^2 \operatorname{tg} \frac{\pi}{n} = nr^2 \operatorname{tg} \frac{180^\circ}{n}$

7.20 Perímetro = $2nr \operatorname{tg} \frac{\pi}{n} = 2nr \operatorname{tg} \frac{180^\circ}{n}$

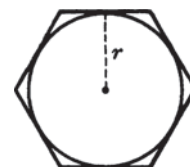


Fig. 7-11

Segmento de um círculo de raio r

7.21 Área da parte sombreada = $\frac{1}{2}r^2(\theta - \operatorname{sen} \theta)$

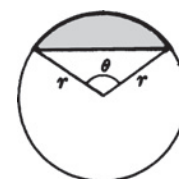


Fig. 7-12

Elipse de semieixo maior a e semieixo menor b

7.22 Área = πab

7.23 Perímetro = $4a \int_0^{\pi/2} \sqrt{1 - k^2 \operatorname{sen}^2 \theta} d\theta$
 $= 2\pi \sqrt{\frac{1}{2}(a^2 + b^2)}$ [aproximadamente]

onde $k = \sqrt{a^2 - b^2} / a$. Ver Tabela 29 para valores numéricos.

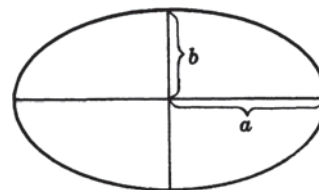


Fig. 7-13

Segmento de uma parábola

7.24 Área = $\frac{2}{3}ab$

7.25 Comprimento do arco $ABC = \frac{1}{2}\sqrt{b^2 + 16a^2} + \frac{b^2}{8a} \ln \left(\frac{4a + \sqrt{b^2 + 16a^2}}{b} \right)$

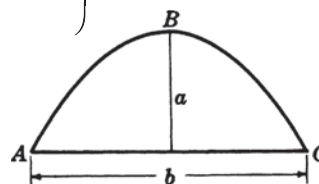


Fig. 7-14

Paralelepípedo retangular de comprimento a , altura b e largura c

$$7.26 \text{ Volume} = abc$$

$$7.27 \text{ Área da superfície} = 2(ab + ac + bc)$$

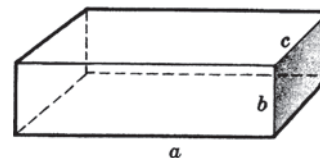


Fig. 7-15

Paralelepípedo de área de seção normal A e altura h

$$7.28 \text{ Volume} = Ah = Ab \sin \theta$$

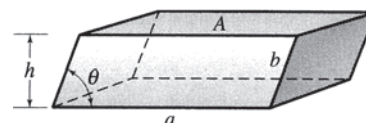


Fig. 7-16

Esfera de raio r

$$7.29 \text{ Volume} = \frac{4}{3} \pi r^3$$

$$7.30 \text{ Área da superfície} = 4\pi r^2$$

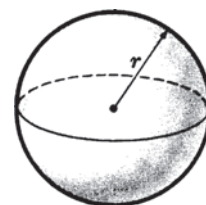


Fig. 7-17

Cilindro circular reto de raio r e altura h

$$7.31 \text{ Volume} = \pi r^2 h$$

$$7.32 \text{ Área da superfície lateral} = 2\pi r h$$

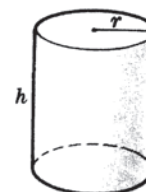


Fig. 7-18

Cilindro circular de raio r e altura inclinada l

$$7.33 \text{ Volume} = \pi r^2 h = \pi r^2 l \sin \theta$$

$$7.34 \text{ Área da superfície lateral} = 2\pi r l = \frac{2\pi r h}{\sin \theta} = 2\pi r h \operatorname{cosec} \theta$$

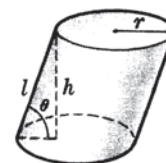


Fig. 7-19

Cilindro de área de seção normal a e altura inclinada l

7.35 Volume = $Ah = Al \sin \theta$

7.36 Área da superfície lateral = $pl = ph \sin \theta$

Observe que as Fórmulas 7.31 a 7.34 são casos especiais das Fórmulas 7.35 e 7.36.

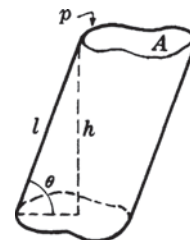


Fig. 7-20

Cone circular reto de raio r e altura h

7.37 Volume = $\frac{1}{3} \pi r^2 h$

7.38 Área da superfície lateral = $\pi r \sqrt{r^2 + h^2} = \pi r l$

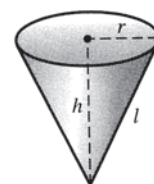


Fig. 7-21

Pirâmide de área de base A e altura h

7.39 Volume = $\frac{1}{3} Ah$

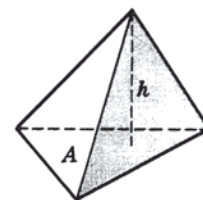


Fig. 7-22

Calota esférica de raio r e altura h

7.40 Volume (sombreado na Figura) = $\frac{1}{3} \pi h^2 (3r - h)$

7.41 Área da superfície = $2\pi r h$

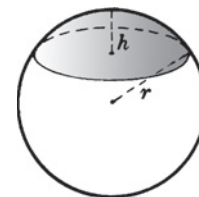


Fig. 7-23

Tronco de cone circular reto de raios a , b e altura h

7.42 Volume = $\frac{1}{3} \pi h (a^2 + ab + b^2)$

7.43 Área da superfície = $\pi(a+b)\sqrt{h^2 + (b-a)^2}$
 $= \pi(a+b)l$

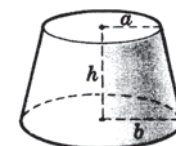


Fig. 7-24

Triângulo esférico de ângulos A, B, C na esfera de raio r

7.44 Área do triângulo $ABC = (A + B + C - \pi)r^2$

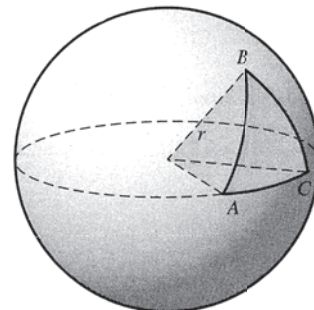


Fig. 7-25

Toro de raio interno a e raio externo b

7.45 Volume = $\frac{1}{4}\pi^2(a + b)(b - a)^2$

7.46 Área da superfície = $\pi^2(b^2 - a^2)$

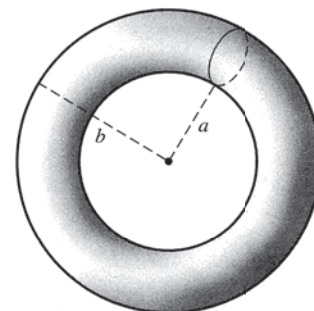


Fig. 7-26

Elipsoide de semieixos a, b, c

7.47 Volume = $\frac{4}{3}\pi abc$

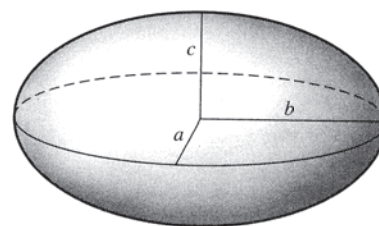


Fig. 7-27

Paraboloide de revolução

7.48 Volume = $\frac{1}{2}\pi b^2 a$

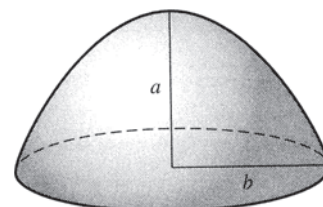


Fig. 7-28

Fórmulas da Geometria Analítica Plana

8

Distância d entre dois pontos $P_1(x_1, y_1)$ e $P_2(x_2, y_2)$

$$8.1 \quad d = \sqrt{(x_2 - x_1)^2 + (y_2 - y_1)^2}$$

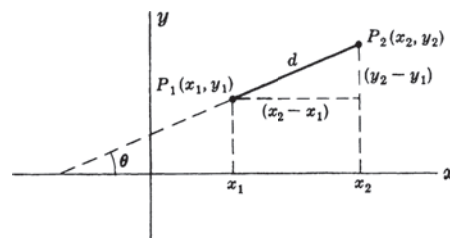


Fig. 8-1

Declividade m da reta ligando dois pontos $P_1(x_1, y_1)$ e $P_2(x_2, y_2)$

$$8.2 \quad m = \frac{y_2 - y_1}{x_2 - x_1} = \operatorname{tg} \theta$$

Equação da reta ligando dois pontos $P_1(x_1, y_1)$ e $P_2(x_2, y_2)$

$$8.3 \quad \frac{y - y_1}{x - x_1} = \frac{y_2 - y_1}{x_2 - x_1} = m \quad \text{ou} \quad y - y_1 = m(x - x_1)$$

$$8.4 \quad y = mx + b$$

onde $b = y_1 - mx_1 = \frac{x_2 y_1 - x_1 y_2}{x_2 - x_1}$ é o *coeficiente linear* da reta, isto é, a ordenada do ponto de interseção com o eixo y .

Forma segmentária da equação da reta

$$8.5 \quad \frac{x}{a} + \frac{y}{b} = 1$$

onde $a \neq 0$ é a medida algébrica do segmento determinado pela reta no eixo x e $b \neq 0$ é a medida algébrica do segmento determinado pela reta no eixo y .

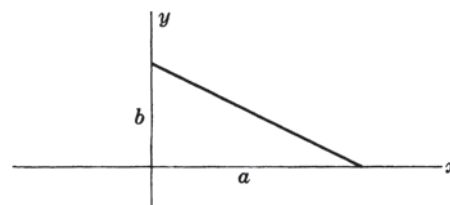


Fig. 8-2

Forma normal da equação da reta

$$8.6 \quad x \cos \alpha + y \sin \alpha = p$$

onde p = distância perpendicular da origem O à reta
e α = ângulo de inclinação da perpendicular com o eixo x positivo.

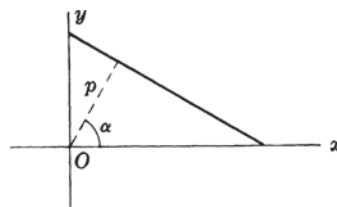


Fig. 8-3

Equação geral da reta

$$8.7 \quad Ax + By + C = 0$$

Distância do ponto (x_1, y_1) à reta $Ax + By + C = 0$

$$8.8 \quad \frac{Ax_1 + By_1 + C}{\pm \sqrt{A^2 + B^2}}$$

onde o sinal é escolhido de tal maneira que a distância não seja negativa.

Ângulo ψ entre duas retas com declividades m_1 e m_2

$$8.9 \quad \operatorname{tg} \psi = \frac{m_2 - m_1}{1 + m_1 m_2}$$

Retas são paralelas ou coincidentes se, e somente se, $m_1 = m_2$.

Retas são perpendiculares se, e somente se, $m_2 = -1/m_1$.

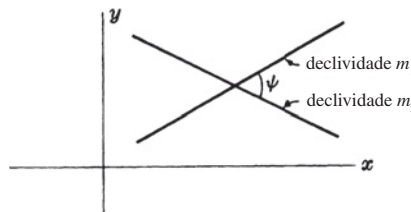


Fig. 8-4

Área do triângulo com vértices em (x_1, y_1) , (x_2, y_2) , (x_3, y_3)

$$8.10 \quad \text{Área} = \pm \frac{1}{2} \begin{vmatrix} x_1 & y_1 & 1 \\ x_2 & y_2 & 1 \\ x_3 & y_3 & 1 \end{vmatrix}$$

$$= \pm \frac{1}{2} (x_1 y_2 + y_1 x_3 + y_3 x_2 - y_2 x_3 - y_1 x_2 - x_1 y_3)$$

onde o sinal é escolhido de tal maneira que a área não seja negativa.

Se a área for zero, os pontos são colineares.

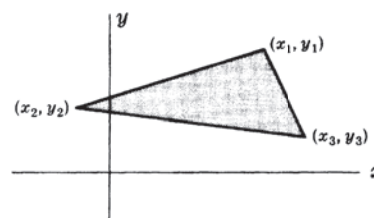


Fig. 8-5

Transformação de coordenadas envolvendo translação pura

$$8.11 \quad \begin{cases} x = x' + x_0 \\ y = y' + y_0 \end{cases} \quad \text{ou} \quad \begin{cases} x' = x - x_0 \\ y' = y - y_0 \end{cases}$$

onde (x, y) são as antigas coordenadas, em relação ao sistema xy ; (x', y') são as novas coordenadas, em relação ao sistema $x'y'$; e (x_0, y_0) são as coordenadas da nova origem O' em relação ao antigo sistema de coordenadas xy .

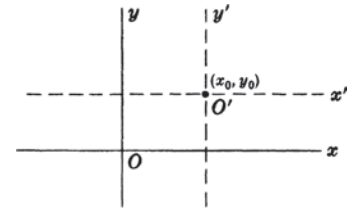


Fig. 8-6

Transformação de coordenadas envolvendo rotação pura

$$8.12 \quad \begin{cases} x = x' \cos \alpha - y' \sin \alpha \\ y = x' \sin \alpha + y' \cos \alpha \end{cases} \quad \text{ou} \quad \begin{cases} x' = x \cos \alpha + y \sin \alpha \\ y' = y \cos \alpha - x \sin \alpha \end{cases}$$

onde as origens do antigo (xy) e do novo $(x'y')$ sistemas de coordenadas são as mesmas, porém o eixo x' faz um ângulo α com o eixo x positivo.

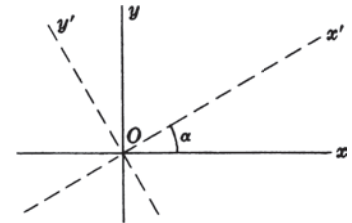


Fig. 8-7

Transformação de coordenadas envolvendo translação e rotação

$$8.13 \quad \begin{cases} x = x' \cos \alpha - y' \sin \alpha + x_0 \\ y = x' \sin \alpha + y' \cos \alpha + y_0 \end{cases}$$

ou

$$\begin{cases} x' = (x - x_0) \cos \alpha + (y - y_0) \sin \alpha \\ y' = (y - y_0) \cos \alpha - (x - x_0) \sin \alpha \end{cases}$$

onde a nova origem O' do sistema de coordenadas $x'y'$ tem coordenadas (x_0, y_0) relativas ao antigo sistema de coordenadas xy e o eixo x' faz um ângulo α com o eixo x positivo.

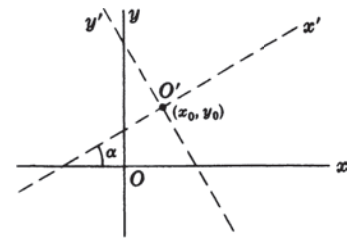


Fig. 8-8

Coordenadas polares (r, θ)

Um ponto P pode ser determinado pelas coordenadas retangulares (x, y) ou pelas coordenadas polares (r, θ) . A transformação entre essas duas coordenadas se estabelece por:

$$8.14 \quad \begin{cases} x = r \cos \theta \\ y = r \sin \theta \end{cases} \quad \text{ou} \quad \begin{cases} r = \sqrt{x^2 + y^2} \\ \theta = \arctg(y/x) \end{cases}$$

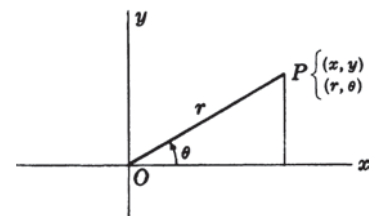


Fig. 8-9

Equação do círculo de raio R e centro em (x_0, y_0)

$$8.15 \quad (x - x_0)^2 + (y - y_0)^2 = R^2$$

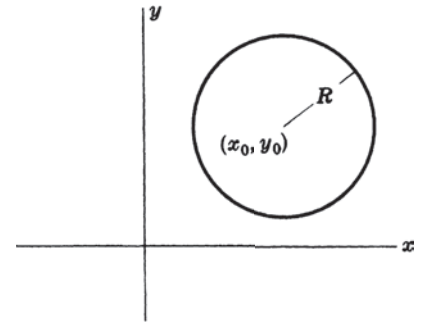


Fig. 8-10

Equação do círculo de raio R passando pela origem

$$8.16 \quad r = 2R \cos(\theta - \alpha)$$

onde (r, θ) são as coordenadas polares de qualquer ponto no círculo e (R, α) são as coordenadas polares do centro do círculo.

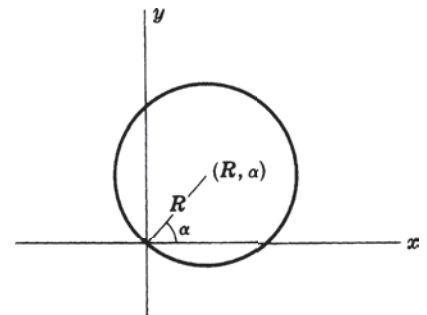


Fig. 8-11

Cônicas (elipse, parábola ou hipérbole)

Se um ponto P move-se de tal maneira que sua distância a um ponto fixo (denominado *foco*) dividida por sua distância a uma reta fixa (denominada *diretriz*) é uma constante ϵ (denominada *excentricidade*), então a curva descrita por P é denominada *cônica* (assim chamada por ser uma curva que pode ser obtida pela interseção de um plano com um cone em diferentes ângulos).

Se o foco é escolhido na origem O , se $OQ = p$ e $LM = D$ (ver Figura 8-12), então a equação de uma cônica em coordenadas polares (r, θ) é

$$8.17 \quad r = \frac{p}{1 - \epsilon \cos \theta} = \frac{\epsilon D}{1 - \epsilon \cos \theta}$$

A cônica é

- (i) uma elipse, se $\epsilon < 1$;
- (ii) uma parábola, se $\epsilon = 1$;
- (iii) uma hipérbole, se $\epsilon > 1$.

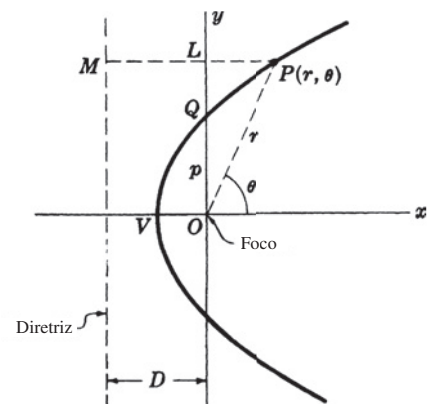


Fig. 8-12

Elipse com centro $C(x_0, y_0)$ e eixo maior paralelo ao eixo x

8.18 Comprimento do eixo maior $A'A = 2a$

8.19 Comprimento do eixo menor $B'B = 2b$

8.20 A distância do centro C ao foco F ou F' é

$$c = \sqrt{a^2 - b^2}$$

8.21 Excentricidade $= \epsilon = \frac{c}{a} = \frac{\sqrt{a^2 - b^2}}{a}$

8.22 Equação em coordenadas retangulares:

$$\frac{(x - x_0)^2}{a^2} + \frac{(y - y_0)^2}{b^2} = 1$$

8.23 Equação em coordenadas polares se C estiver em O : $r^2 = \frac{a^2 b^2}{a^2 \sin^2 \theta + b^2 \cos^2 \theta}$

8.24 Equação em coordenadas polares se C estiver no eixo x e F' estiver em O : $r = \frac{a(1 - \epsilon^2)}{1 - \epsilon \cos \theta}$

8.25 Se P for qualquer ponto na elipse, $PF + PF' = 2a$.

Se o eixo maior for paralelo ao eixo y , troque x por y ou substitua θ por $\frac{1}{2}\pi - \theta$ [ou $90^\circ - \theta$].

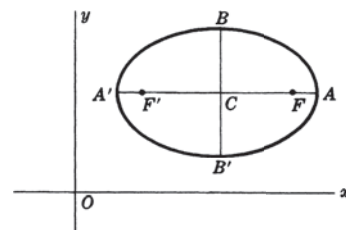


Fig. 8-13

Parábola com eixo paralelo ao eixo x

Se o vértice está em $A(x_0, y_0)$ e a distância de A ao foco F é $a > 0$, a equação da parábola é

8.26 $(y - y_0)^2 = 4a(x - x_0)$ se a parábola abrir para a direita [Fig. 8-14]

8.27 $(y - y_0)^2 = -4a(x - x_0)$ se a parábola abrir para a esquerda [Fig. 8-15]

Se o foco está na origem [Fig. 8-16], a equação em coordenadas polares é

8.28 $r = \frac{2a}{1 - \cos \theta}$

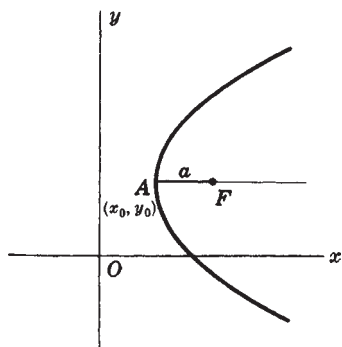


Fig. 8-14

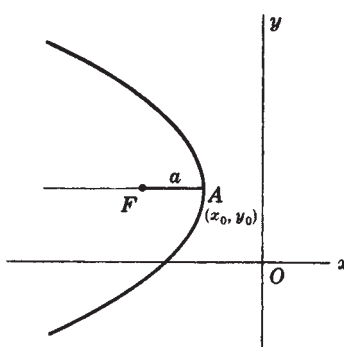


Fig. 8-15

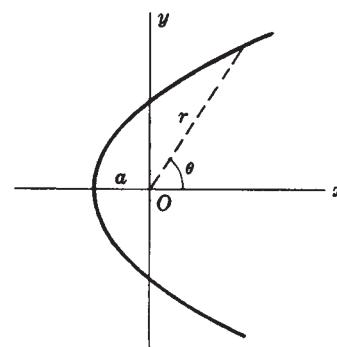


Fig. 8-16

No caso de o eixo ser paralelo ao eixo y , troque x por y , ou substitua θ por $\frac{1}{2}\pi - \theta$ [ou $90^\circ - \theta$].

Hipérbole com centro $C(x_0, y_0)$ e eixo maior paralelo ao eixo x

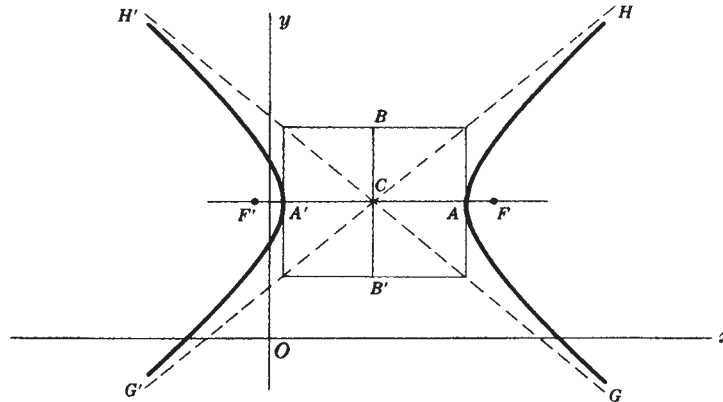


Fig. 8-17

8.29 Comprimento do eixo maior $A'A = 2a$

8.30 Comprimento do eixo menor $B'B = 2b$

8.31 Distância do centro C ao foco F ou $F' = c = \sqrt{a^2 + b^2}$

8.32 Excentricidade $\epsilon = \frac{c}{a} = \frac{\sqrt{a^2 + b^2}}{a}$

8.33 Equação em coordenadas retangulares: $\frac{(x - x_0)^2}{a^2} - \frac{(y - y_0)^2}{b^2} = 1$

8.34 Declividades das assíntotas $G'H$ e $G'H' = \pm \frac{b}{a}$

8.35 Equação em coordenadas polares se C estiver em O : $r^2 = \frac{a^2 b^2}{b^2 \cos^2 \theta - a^2 \sin^2 \theta}$

8.36 Equação em coordenadas polares se C estiver no eixo x e F' estiver em O : $r = \frac{a(\epsilon^2 - 1)}{1 - \epsilon \cos \theta}$

8.37 Se P for qualquer ponto na hipérbole, $PF - PF' = \pm 2a$ [dependendo do ramo].

Se o eixo maior for paralelo ao eixo y , troque x por y ou substitua θ por $\frac{1}{2}\pi - \theta$ [ou $90^\circ - \theta$].

Curvas Planas Especiais

Lemniscata

9.1 Equação em coordenadas polares

$$r^2 = a^2 \cos 2\theta$$

9.2 Equação em coordenadas retangulares

$$(x^2 + y^2)^2 = a^2(x^2 - y^2)$$

9.3 Ângulo entre AB' ou $A'B$ e eixo $x = 45^\circ$

9.4 Área de um laço = a^2

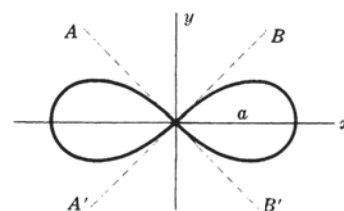


Fig. 9-1

Cicloide

9.5 Equação na forma paramétrica

$$\begin{cases} x = a(\phi - \text{sen } \phi) \\ y = a(1 - \text{cos } \phi) \end{cases}$$

9.6 Área sob um arco = $3\pi a^2$

9.7 Comprimento de um arco = $8a$

Esta é a curva descrita por um ponto P de um círculo de raio a que rola ao longo do eixo x .

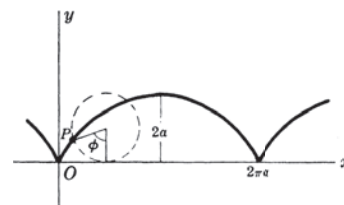


Fig. 9-2

Hipocicloide de quatro cúspides

9.8 Equação em coordenadas retangulares

$$x^{2/3} + y^{2/3} = a^{2/3}$$

9.9 Equação na forma paramétrica

$$\begin{cases} x = a \cos^3 \theta \\ y = a \text{sen}^3 \theta \end{cases}$$

9.10 Área limitada pela curva = $\frac{3}{8}\pi a^2$

9.11 Comprimento total da curva = $6a$

Esta é a curva descrita por um ponto P de um círculo de raio $a/4$ que rola pela parte interna de um círculo fixo de raio a .

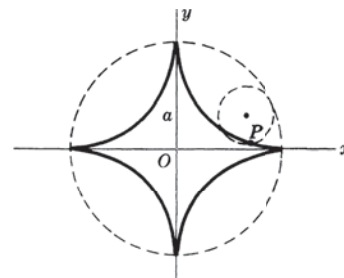


Fig. 9-3

Cardioide

9.12 Equação $r = 2a(1 + \cos \theta)$

9.13 Área limitada pela curva $= 6\pi a^2$

9.14 Comprimento total da curva $= 16a$

Esta é a curva descrita por um ponto P de um círculo de raio a que rola pela parte externa de um círculo fixo de raio a . A curva também é um caso especial do *limaçon de Pascal* [ver 9.32].

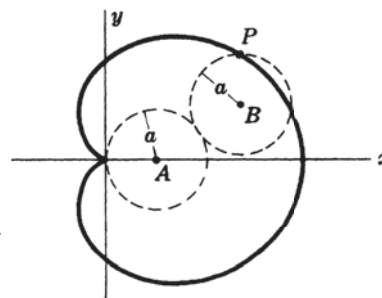


Fig. 9-4

Catenária

9.15 Equação $y = \frac{a}{2}(e^{x/a} + e^{-x/a}) = a \cosh \frac{x}{a}$

Esta é a curva determinada por uma corrente uniforme pesada suspensa verticalmente pelos pontos fixos A e B .

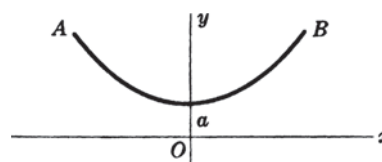


Fig. 9-5

Rosácea de três pétalas

9.16 Equação $r = a \cos 3\theta$

A equação $r = a \sin 3\theta$ descreve uma curva semelhante obtida pela rotação da curva da Fig. 9-6 no sentido horário por 30° ou $\pi/6$ radianos.

Em geral, $r = a \cos n\theta$ ou $r = a \sin n\theta$ tem n pétalas se n for ímpar.

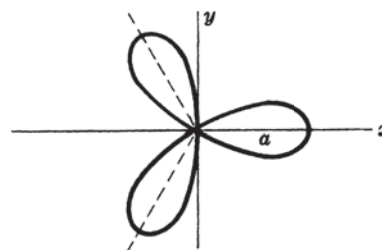


Fig. 9-6

Rosácea de quatro pétalas

9.17 Equação $r = a \cos 2\theta$

A equação $r = a \sin 2\theta$ descreve uma curva semelhante obtida pela rotação da curva da Fig. 9-7 no sentido horário por 45° ou $\pi/4$ radianos.

Em geral, $r = a \cos n\theta$ ou $r = a \sin n\theta$ tem $2n$ pétalas se n for par.

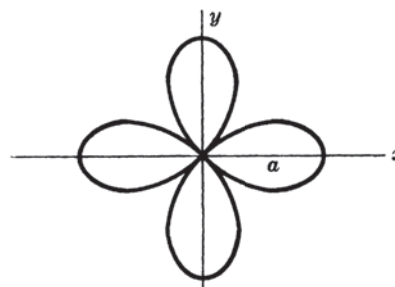


Fig. 9-7

Epicycloide geral

9.18 Equações paramétricas

$$\begin{cases} x = (a + b) \cos \theta - b \cos \left(\frac{a+b}{b} \right) \theta \\ y = (a + b) \sin \theta - b \sin \left(\frac{a+b}{b} \right) \theta \end{cases}$$

Esta é a curva descrita por um ponto P de um círculo de raio b que rola pela parte externa de um círculo fixo de raio a .
A cardioide [Fig. 9-4] é um caso especial de epicycloide.

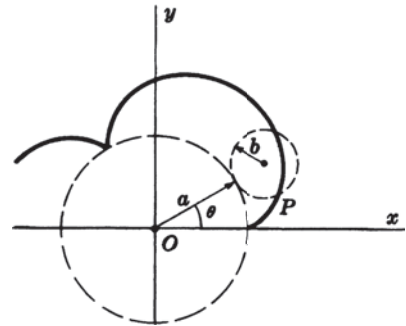


Fig. 9-8

Hipocicloide geral

9.19 Equações paramétricas

$$\begin{cases} x = (a - b) \cos \phi + b \cos \left(\frac{a-b}{b} \right) \phi \\ y = (a - b) \sin \phi - b \sin \left(\frac{a-b}{b} \right) \phi \end{cases}$$

Esta é a curva descrita por um ponto P de um círculo de raio b que rola pela parte interna de um círculo fixo de raio a .
Se $b = a/4$, a curva é a hipocicloide de quatro cúspides da Fig. 9-3.

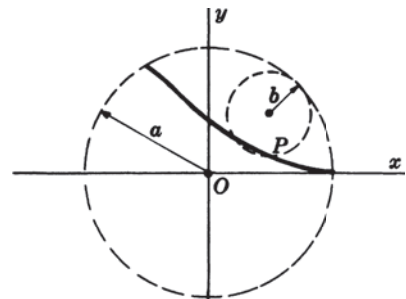


Fig. 9-9

Trocoide

9.20 Equações paramétricas

$$\begin{cases} x = a\phi - b \sin \phi \\ y = a - b \cos \phi \end{cases}$$

Esta é a curva descrita por um ponto P a uma distância b do centro de um círculo de raio a que rola pelo eixo x .

Se $b < a$, a curva é como a mostrada na Fig. 9-10 e é chamada de *cicloide encurtada*.

Se $b > a$, a curva é como a mostrada na Fig. 9-11 e é chamada de *cicloide prolongada*.

Se $b = a$, a curva é o cicloide da Fig. 9-2.

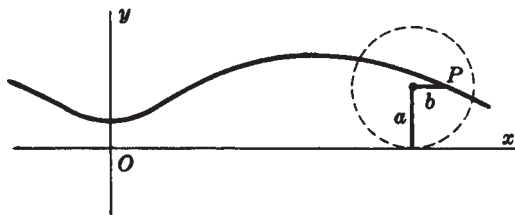


Fig. 9-10

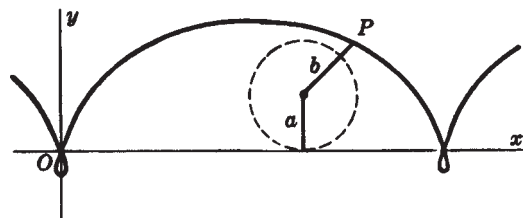


Fig. 9-11

Tractriz

9.21 Equações paramétricas $\begin{cases} x = a(\ln \cot \frac{1}{2} \phi - \cos \phi) \\ y = a \operatorname{sen} \phi \end{cases}$

Esta é a curva descrita pelo ponto final P de um cordão esticado PQ de comprimento a quando a outra extremidade Q é puxada ao longo do eixo x .

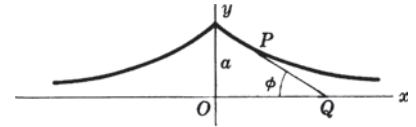


Fig. 9-12

Curva de Agnesi

9.22 Equação em coordenadas retangulares $y = \frac{8a^3}{x^2 + 4a^2}$

9.23 Equações paramétricas $\begin{cases} x = 2a \cotg \theta \\ y = a(1 - \cos 2\theta) \end{cases}$

Na Fig. 9-13, a reta variável AO intersecta $y = 2a$ e o círculo de raio a com centro $(0, a)$ em A e B , respectivamente. Qualquer ponto P da curva é obtido pela interseção das retas paralelas aos eixos x e y por B e A , respectivamente.

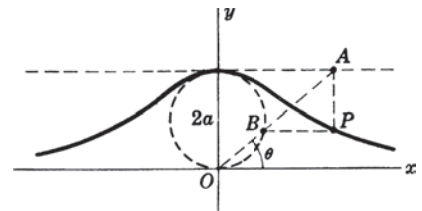


Fig. 9-13

Fólio de Descartes

9.24 Equação em coordenadas retangulares

$$x^3 + y^3 = 3axy$$

9.25 Equações paramétricas

$$\begin{cases} x = \frac{3at}{1+t^3} \\ y = \frac{3at^2}{1+t^3} \end{cases}$$

9.26 Área do laço = $\frac{3}{2} a^2$

9.27 Equação da assíntota $x + y + a = 0$

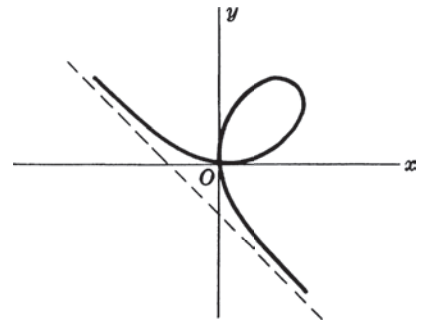


Fig. 9-14

Evoluta de um círculo

9.28 Equações paramétricas

$$\begin{cases} x = a(\cos \phi + \phi \operatorname{sen} \phi) \\ y = a(\operatorname{sen} \phi - \phi \cos \phi) \end{cases}$$

Esta é a curva descrita pelo ponto final P de um cordão que é mantido esticado enquanto é desenrolado de um círculo de raio a .

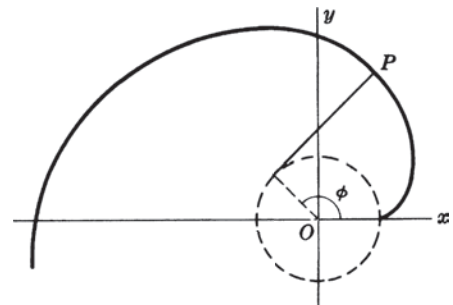


Fig. 9-15

Evoluta de uma elipse

9.29 Equação em coordenadas retangulares

$$(ax)^{2/3} + (by)^{2/3} = (a^2 - b^2)^{2/3}$$

9.30 Equações paramétricas

$$\begin{cases} ax = (a^2 - b^2) \cos^3 \theta \\ by = (a^2 - b^2) \sin^3 \theta \end{cases}$$

Esta curva é a *envoltória das normais* da elipse $x^2/a^2 + y^2/b^2 = 1$, mostrada tracejada na Fig 9-16.

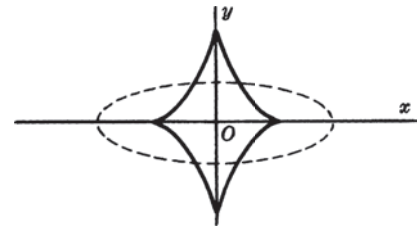


Fig. 9-16

Ovais de Cassini

9.31 Equação polar $r^4 + a^4 - 2a^2r^2 \cos 2\theta = b^4$

Esta é a curva descrita por um ponto P tal que o produto das distâncias a dois pontos fixos (e distantes $2a$ entre si) é uma constante b^2 .

A curva é como mostrada nas Figs. 9-17 ou 9-18, de acordo com $b < a$ ou $b > a$, respectivamente.

Se $b = a$, a curva é uma *lemniscata* [Fig. 9-1].

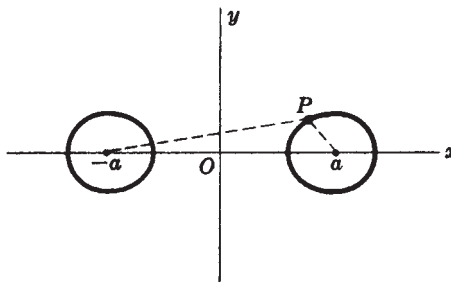


Fig. 9-17

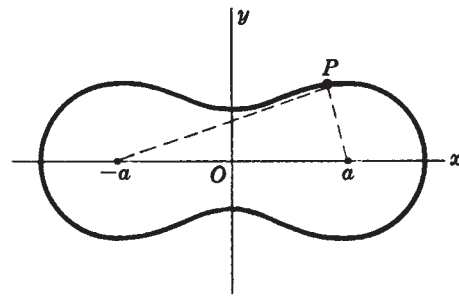


Fig. 9-18

Limaçon de Pascal

9.32 Equação polar $r = b + a \cos \theta$

Seja OQ uma reta ligando o ponto na origem O a qualquer ponto Q de um círculo de diâmetro a passando por O . Então a curva é o lugar geométrico dos pontos P tais que $PQ = b$.

A curva é como mostrada nas Figs. 9-19 ou 9-20, de acordo com $2a > b > a$ ou $b < a$, respectivamente. Se $b = a$, a curva é *cardioide* [Fig. 9-4]. Se $b \geq 2a$, a curva é convexa.

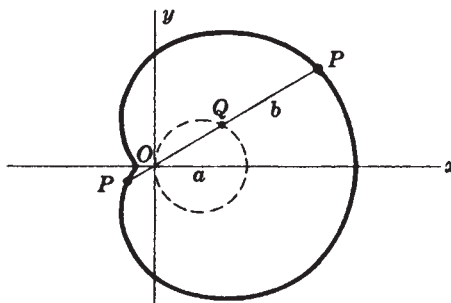


Fig. 9-19

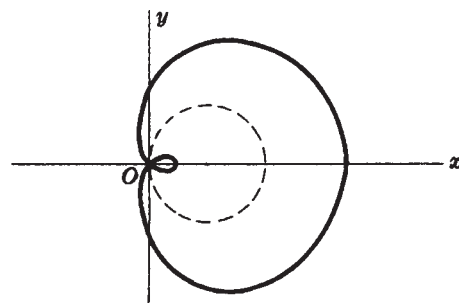


Fig. 9-20

Cissoide de Diocles

9.33 Equação em coordenadas retangulares

$$y^2 = \frac{x^2}{2a - x}$$

9.34 Equações paramétricas

$$\begin{cases} x = 2a \operatorname{sen}^2 \theta \\ y = \frac{2a \operatorname{sen}^3 \theta}{\cos \theta} \end{cases}$$

Esta é a curva descrita por um ponto P tal que a distância $OP =$ distância RS . Isto é usado no problema da *duplicação do cubo*, isto é, o da construção de um cubo cujo volume é o dobro do volume de um cubo dado.

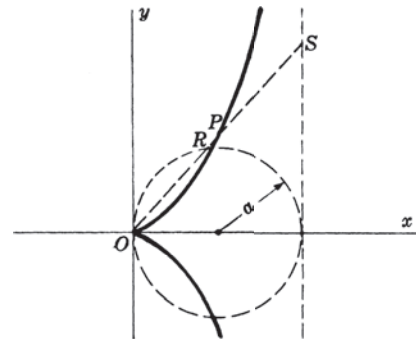


Fig. 9-21

Espiral de Arquimedes

9.35 Equação polar $r = a\theta$

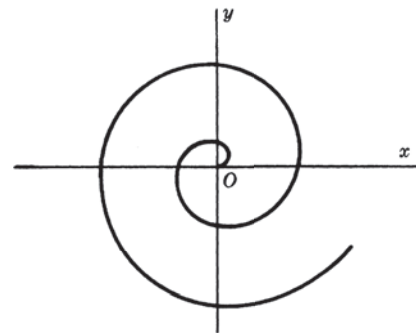


Fig. 9-22

Fórmulas da Geometria Analítica Espacial

10

Distância d entre dois pontos $P_1(x_1, y_1, z_1)$ e $P_2(x_2, y_2, z_2)$

$$10.1 \quad d = \sqrt{(x_2 - x_1)^2 + (y_2 - y_1)^2 + (z_2 - z_1)^2}$$

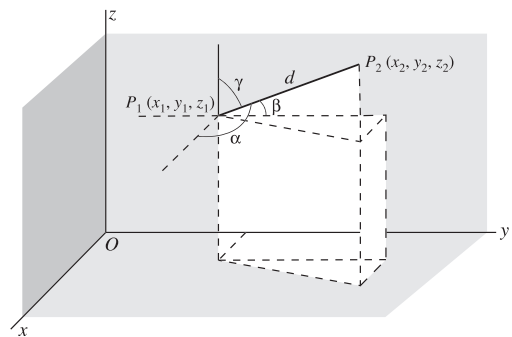


Fig. 10-1

Cossenos diretores de uma reta ligando os pontos $P_1(x_1, y_1, z_1)$ e $P_2(x_2, y_2, z_2)$

$$10.2 \quad l = \cos \alpha = \frac{x_2 - x_1}{d}, \quad m = \cos \beta = \frac{y_2 - y_1}{d}, \quad n = \cos \gamma = \frac{z_2 - z_1}{d}$$

onde α, β, γ são os ângulos que a linha P_1P_2 faz com os eixos x, y e z , respectivamente, e d é dado por 10.1 [ver Fig. 10-1].

Relação entre os cossenos diretores

$$10.3 \quad \cos^2 \alpha + \cos^2 \beta + \cos^2 \gamma = 1 \quad \text{ou} \quad l^2 + m^2 + n^2 = 1$$

Números diretores

Os números L, M e N , os quais são proporcionais aos cossenos diretores l, m e n , são chamados de *números diretores*. A relação entre eles é dada por

$$10.4 \quad l = \frac{L}{\sqrt{L^2 + M^2 + N^2}}, \quad m = \frac{M}{\sqrt{L^2 + M^2 + N^2}}, \quad n = \frac{N}{\sqrt{L^2 + M^2 + N^2}}$$

Equações da reta ligando $P_1(x_1, y_1, z_1)$ e $P_2(x_2, y_2, z_2)$ na forma padrão

$$10.5 \quad \frac{x-x_1}{x_2-x_1} = \frac{y-y_1}{y_2-y_1} = \frac{z-z_1}{z_2-z_1} \quad \text{ou} \quad \frac{x-x_1}{l} = \frac{y-y_1}{m} = \frac{z-z_1}{n}$$

Estas também são válidas se l, m e n forem substituídos por L, M e N , respectivamente.

Equações da reta ligando $P_1(x_1, y_1, z_1)$ e $P_2(x_2, y_2, z_2)$ na forma paramétrica

$$10.6 \quad x = x_1 + lt, \quad y = y_1 + mt, \quad z = z_1 + nt$$

Estas também são válidas se l, m e n forem substituídos por L, M e N , respectivamente.

Ângulo ϕ entre duas retas com cossenos diretores l_1, m_1, n_1 e l_2, m_2, n_2

$$10.7 \quad \cos \phi = l_1 l_2 + m_1 m_2 + n_1 n_2$$

Equação geral do plano

$$10.8 \quad Ax + By + Cz + D = 0$$

[A, B, C, D são constantes]

Equação do plano passando pelos pontos $(x_1, y_1, z_1), (x_2, y_2, z_2), (x_3, y_3, z_3)$

$$10.9 \quad \begin{vmatrix} x-x_1 & y-y_1 & z-z_1 \\ x_2-x_1 & y_2-y_1 & z_2-z_1 \\ x_3-x_1 & y_3-y_1 & z_3-z_1 \end{vmatrix} = 0$$

ou

$$10.10 \quad \begin{vmatrix} y_2-y_1 & z_2-z_1 \\ y_3-y_1 & z_3-z_1 \end{vmatrix} (x-x_1) + \begin{vmatrix} z_2-z_1 & x_2-x_1 \\ z_3-z_1 & x_3-x_1 \end{vmatrix} (y-y_1) + \begin{vmatrix} x_2-x_1 & y_2-y_1 \\ x_3-x_1 & y_3-y_1 \end{vmatrix} (z-z_1) = 0$$

Equação do plano na forma segmentária

$$10.11 \quad \frac{x}{a} + \frac{y}{b} + \frac{z}{c} = 1$$

onde a, b e c são as medidas algébricas dos segmentos determinados nos eixos x, y e z , respectivamente.

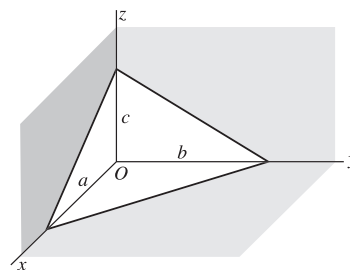


Fig. 10-2

Equações da reta por (x_0, y_0, z_0) e perpendicular ao plano $Ax + By + Cz + D = 0$

$$10.12 \quad \frac{x-x_0}{A} = \frac{y-y_0}{B} = \frac{z-z_0}{C} \quad \text{ou} \quad x = x_0 + At, \quad y = y_0 + Bt, \quad z = z_0 + Ct$$

Observe que os números diretores da reta perpendicular ao plano $Ax + By + Cz + D = 0$ são A, B e C .

Distância do ponto (x_0, y_0, z_0) ao plano $Ax + By + Cz + D = 0$

10.13
$$\frac{Ax_0 + By_0 + Cz_0 + D}{\pm\sqrt{A^2 + B^2 + C^2}}$$

onde o sinal é escolhido de tal maneira que a distância não seja negativa.

Forma normal da equação do plano

10.14 $x \cos \alpha + y \cos \beta + z \cos \gamma = p$
 onde $p =$ distância perpendicular, a partir de O , ao plano em P e α, β, γ são os ângulos entre OP e eixos positivos x, y e z .

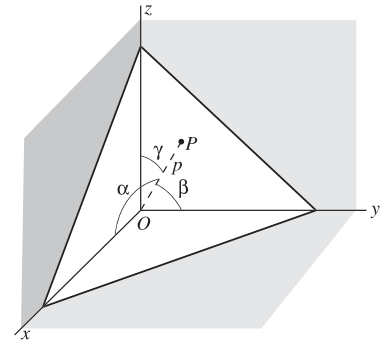


Fig. 10-3

Transformação de coordenadas envolvendo translação pura

10.15
$$\begin{cases} x = x' + x_0 \\ y = y' + y_0 \\ z = z' + z_0 \end{cases} \quad \text{ou} \quad \begin{cases} x' = x - x_0 \\ y' = y - y_0 \\ z' = z - z_0 \end{cases}$$

onde (x, y, z) são as antigas coordenadas [isto é, coordenadas em relação ao sistema xyz]; (x', y', z') são as novas coordenadas [em relação ao sistema $x'y'z'$] e (x_0, y_0, z_0) são as coordenadas da nova origem O' em relação ao antigo sistema de coordenadas xyz .

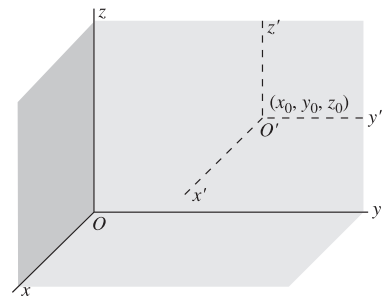


Fig. 10-4

Transformação de coordenadas envolvendo rotação pura

10.16
$$\begin{cases} x = l_1x' + l_2y' + l_3z' \\ y = m_1x' + m_2y' + m_3z' \\ z = n_1x' + n_2y' + n_3z' \end{cases}$$

ou
$$\begin{cases} x' = l_1x + m_1y + n_1z \\ y' = l_2x + m_2y + n_2z \\ z' = l_3x + m_3y + n_3z \end{cases}$$

onde as origens dos sistemas xyz e $x'y'z'$ são as mesmas e $l_1, m_1, n_1; l_2, m_2, n_2; l_3, m_3, n_3$ são os cossenos diretores dos eixos x', y', z' relativos aos eixos x, y e z , respectivamente.

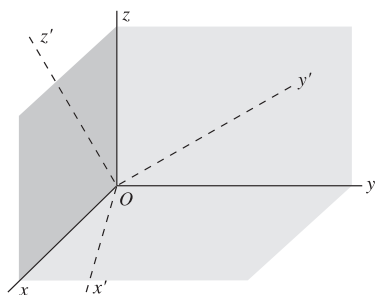


Fig. 10-5

Transformação de coordenadas envolvendo translação e rotação

$$10.17 \quad \begin{cases} x = l_1x' + l_2y' + l_3z' + x_0 \\ y = m_1x' + m_2y' + m_3z' + y_0 \\ z = n_1x' + n_2y' + n_3z' + z_0 \end{cases}$$

$$\text{ou} \quad \begin{cases} x' = l_1(x - x_0) + m_1(y - y_0) + n_1(z - z_0) \\ y' = l_2(x - x_0) + m_2(y - y_0) + n_2(z - z_0) \\ z' = l_3(x - x_0) + m_3(y - y_0) + n_3(z - z_0) \end{cases}$$

onde a origem O' do sistema $x'y'z'$ tem coordenadas (x_0, y_0, z_0) relativas ao sistema xyz e

$$l_1, m_1, n_1; l_2, m_2, n_2; l_3, m_3, n_3$$

são os cossenos diretores dos eixos $x'y'z'$ relativos aos eixos x, y e z , respectivamente.

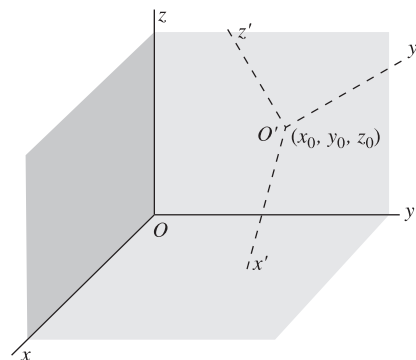


Fig. 10-6

Coordenadas cilíndricas (r, θ, z)

Um ponto P pode ser determinado pelas coordenadas cilíndricas (r, θ, z) [ver Fig. 10-7] bem como por coordenadas retangulares (x, y, z) .

A transformação entre essas coordenadas é

$$10.18 \quad \begin{cases} x = r \cos \theta \\ y = r \sin \theta \\ z = z \end{cases} \quad \text{ou} \quad \begin{cases} r = \sqrt{x^2 + y^2} \\ \theta = \arctg(y/x) \\ z = z \end{cases}$$

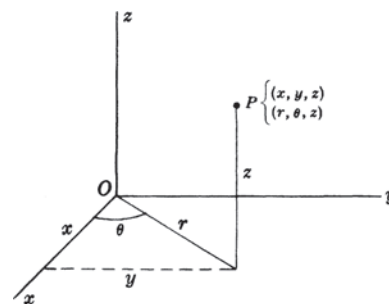


Fig. 10-7

Coordenadas esféricas (r, θ, ϕ)

Um ponto P pode ser determinado por coordenadas esféricas (r, θ, ϕ) [ver Fig. 10-8] bem como por coordenadas retangulares (x, y, z) .

A transformação entre essas coordenadas é

$$10.19 \quad \begin{cases} x = r \sin \theta \cos \phi \\ y = r \sin \theta \sin \phi \\ z = r \cos \theta \end{cases}$$

$$\text{ou} \quad \begin{cases} r = \sqrt{x^2 + y^2 + z^2} \\ \phi = \arctg(y/x) \\ \theta = \arccos(z/\sqrt{x^2 + y^2 + z^2}) \end{cases}$$

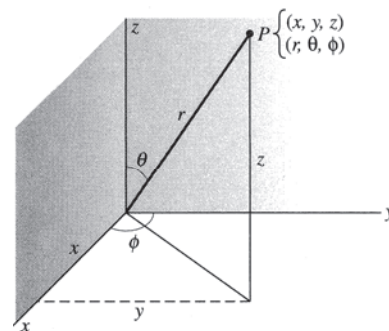


Fig. 10-8

Equação da esfera em coordenadas retangulares

$$10.20 \quad (x - x_0)^2 + (y - y_0)^2 + (z - z_0)^2 = R^2$$

onde a esfera tem centro (x_0, y_0, z_0) e raio R .

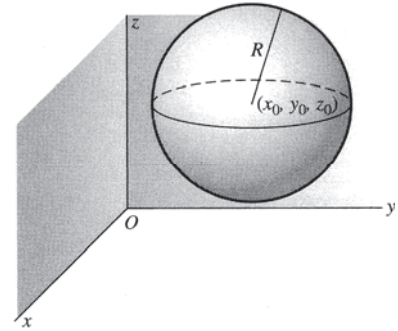


Fig. 10-9

Equação da esfera em coordenadas cilíndricas

$$10.21 \quad r^2 - 2r_0 r \cos(\theta - \theta_0) + r_0^2 + (z - z_0)^2 = R^2$$

onde a esfera tem centro (r_0, θ_0, z_0) em coordenadas cilíndricas e raio R .
Se o centro está na origem, a equação é

$$10.22 \quad r^2 + z^2 = R^2$$

Equação da esfera em coordenadas esféricas

$$10.23 \quad r^2 + r_0^2 - 2r_0 r \sin \theta \sin \theta_0 \cos(\phi - \phi_0) = R^2$$

onde a esfera tem centro (r_0, θ_0, ϕ_0) em coordenadas esféricas e raio R .
Se o centro está na origem, a equação é

$$10.24 \quad r = R$$

Equação do elipsoide com centro (x_0, y_0, z_0) e semieixos a, b, c

$$10.25 \quad \frac{(x - x_0)^2}{a^2} + \frac{(y - y_0)^2}{b^2} + \frac{(z - z_0)^2}{c^2} = 1$$

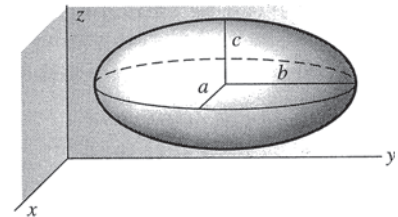


Fig. 10-10

Cilindro elíptico com eixo no eixo z

$$10.26 \quad \frac{x^2}{a^2} + \frac{y^2}{b^2} = 1$$

onde a e b são semieixos do corte transversal elíptico.

Se $b = a$, isto torna-se um cilindro circular de raio a .

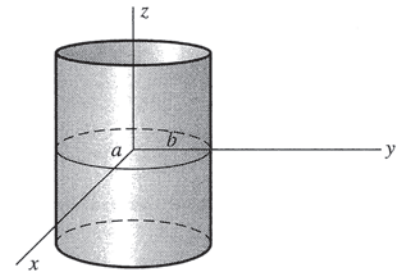


Fig. 10-11

Cone elíptico com eixo no eixo z

$$10.27 \quad \frac{x^2}{a^2} + \frac{y^2}{b^2} = \frac{z^2}{c^2}$$

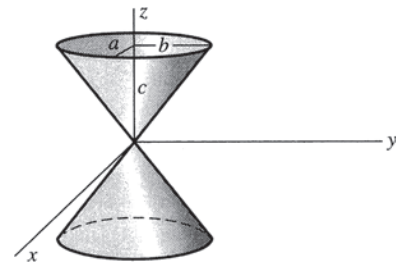


Fig. 10-12

Hiperboloide de uma folha

$$10.28 \quad \frac{x^2}{a^2} + \frac{y^2}{b^2} - \frac{z^2}{c^2} = 1$$

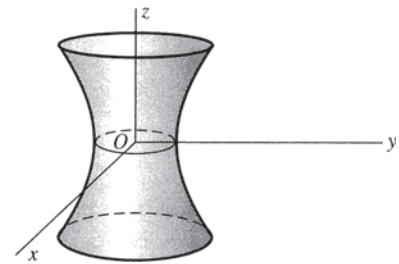


Fig. 10-13

Hiperboloide de duas folhas

$$10.29 \quad \frac{x^2}{a^2} - \frac{y^2}{b^2} - \frac{z^2}{c^2} = 1$$

Observe a orientação dos eixos na Fig. 10-14.

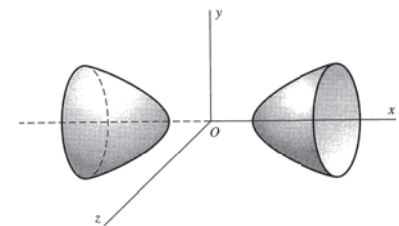


Fig. 10-14

Parabolóide elíptico

10.30
$$\frac{x^2}{a^2} + \frac{y^2}{b^2} = \frac{z}{c}$$

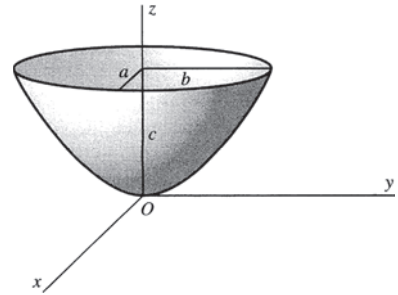


Fig. 10-15

Parabolóide hiperbólico

10.31
$$\frac{x^2}{a^2} - \frac{y^2}{b^2} = \frac{z}{c}$$

Observe a orientação dos eixos na Fig. 10-16.

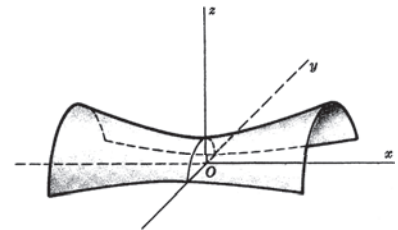


Fig. 10-16

11

Momentos de Inércia Especiais

A tabela abaixo mostra os momentos de inércia de vários corpos rígidos de massa M . Em todos os casos, supõe-se que o corpo tem densidade uniforme, isto é, constante.

| Tipo de corpo rígido | Momento de inércia |
|---|---|
| 11.1 Vara delgada de comprimento a | $\frac{1}{12} Ma^2$ $\frac{1}{3} Ma^2$ |
| (a) em torno do eixo perpendicular à vara, através do centro da massa | |
| (b) em torno do eixo perpendicular à vara, através de uma extremidade | |
| 11.2 Paralelepípedo retangular de lados a , b e c | $\frac{1}{12} M(a^2 + b^2)$ $\frac{1}{12} M(4a^2 + b^2)$ |
| (a) em torno do eixo paralelo a c e através do centro da face ab | |
| (b) em torno do eixo através do centro da face bc e paralelo a c | |
| 11.3 Placa retangular delgada de lados a , b | $\frac{1}{12} M(a^2 + b^2)$ $\frac{1}{12} Ma^2$ |
| (a) em torno do eixo perpendicular à placa, através do centro | |
| (b) em torno do eixo paralelo ao lado b , através do centro | |
| 11.4 Cilindro circular de raio a e altura h | $\frac{1}{2} Ma^2$ $\frac{1}{12} M(h^2 + 3a^2)$ $\frac{1}{12} M(4h^2 + 3a^2)$ |
| (a) em torno do eixo do cilindro | |
| (b) em torno do eixo através do centro da massa e perpendicular ao eixo cilíndrico | |
| (c) em torno do eixo coincidente com diâmetro em uma extremidade | |
| 11.5 Cilindro circular oco de raio externo a , raio interno b e altura h | $\frac{1}{2} M(a^2 + b^2)$ $\frac{1}{12} M(3a^2 + 3b^2 + h^2)$ $\frac{1}{12} M(3a^2 + 3b^2 + 4h^2)$ |
| (a) em torno do eixo do cilindro | |
| (b) em torno do eixo através do centro da massa e perpendicular ao eixo cilíndrico | |
| (c) em torno do eixo coincidente com diâmetro em uma extremidade | |
| 11.6 Placa circular de raio a | $\frac{1}{2} Ma^2$ $\frac{1}{4} Ma^2$ |
| (a) em torno do eixo perpendicular à placa, através do centro | |
| (b) em torno do eixo coincidente com um diâmetro | |

| | |
|--|---|
| 11.7 Placa circular oca ou anel com raio externo a e raio interno b | |
| (a) em torno do eixo perpendicular ao plano da placa, através do centro | $\frac{1}{2} M(a^2 + b^2)$ |
| (b) em torno do eixo coincidente com um diâmetro | $\frac{1}{4} M(a^2 + b^2)$ |
| 11.8 Anel circular delgado de raio a | |
| (a) em torno do eixo perpendicular ao plano do anel, através do centro | Ma^2 |
| (b) em torno do eixo coincidente com um diâmetro | $\frac{1}{2} Ma^2$ |
| 11.9 Esfera de raio a | |
| (a) em torno do eixo coincidente com um diâmetro | $\frac{2}{5} Ma^2$ |
| (b) em torno do eixo tangente à superfície | $\frac{7}{5} Ma^2$ |
| 11.10 Esfera oca de raio externo a e raio interno b | |
| (a) em torno do eixo coincidente com um diâmetro | $\frac{2}{5} M(a^5 - b^5)/(a^3 - b^3)$ |
| (b) em torno do eixo tangente à superfície | $\frac{2}{5} M(a^5 - b^5)/(a^3 - b^3) + Ma^2$ |
| 11.11 Casca esférica de raio a | |
| (a) em torno do eixo coincidente com um diâmetro | $\frac{2}{3} Ma^2$ |
| (b) em torno do eixo tangente à superfície | $\frac{5}{3} Ma^2$ |
| 11.12 Elipsoide de semi-eixos a , b e c | |
| (a) em torno do eixo coincidente com o semieixo c | $\frac{1}{5} M(a^2 + b^2)$ |
| (b) em torno do eixo tangente à superfície, paralelo ao semieixo c e a uma distância a do centro | $\frac{1}{5} M(6a^2 + b^2)$ |
| 11.13 Cone circular de raio a e altura h | |
| (a) em torno do eixo do cone | $\frac{3}{10} Ma^2$ |
| (b) em torno do eixo através do vértice e perpendicular ao eixo | $\frac{3}{20} M(a^2 + 4h^2)$ |
| (c) em torno do eixo através do centro de massa e perpendicular ao eixo | $\frac{3}{80} M(4a^2 + h^2)$ |
| 11.14 Toro com raio externo a e raio interno b | |
| (a) em torno do eixo através do centro de massa e perpendicular ao plano de toro | $\frac{1}{4} M(7a^2 - 6ab + 3b^2)$ |
| (b) em torno do eixo através do centro de massa e no plano de toro | $\frac{1}{4} M(9a^2 - 10ab + 5b^2)$ |

12

Funções Trigonométricas

Definição das funções trigonométricas para um triângulo retângulo

O triângulo ABC tem um ângulo reto (90°) em C e lados de comprimento a , b e c . As funções trigonométricas do ângulo A são definidas como segue:

$$12.1 \quad \textit{seno de } A = \text{sen } A = \frac{a}{c} = \frac{\textit{oposto}}{\textit{hipotenusa}}$$

$$12.2 \quad \textit{cosseno de } A = \text{cos } A = \frac{b}{c} = \frac{\textit{adjacente}}{\textit{hipotenusa}}$$

$$12.3 \quad \textit{tangente de } A = \text{tg } A = \frac{a}{b} = \frac{\textit{oposto}}{\textit{adjacente}}$$

$$12.4 \quad \textit{cotangente de } A = \text{cotg } A = \frac{b}{a} = \frac{\textit{adjacente}}{\textit{oposto}}$$

$$12.5 \quad \textit{secante de } A = \text{sec } A = \frac{c}{b} = \frac{\textit{hipotenusa}}{\textit{adjacente}}$$

$$12.6 \quad \textit{cossecante de } A = \text{cosec } A = \frac{c}{a} = \frac{\textit{hipotenusa}}{\textit{oposto}}$$

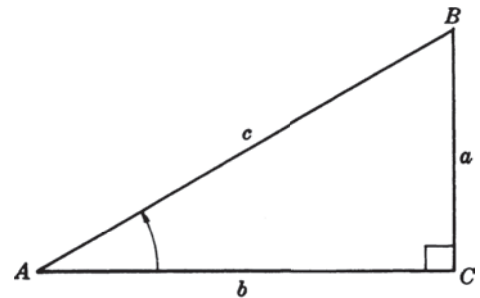


Fig. 12-1

Extensões a ângulos que podem ser maiores do que 90°

Considere um sistema de coordenadas xy [ver Figuras 12-2 e 12-3]. O ponto P no plano xy tem coordenadas (x, y) , onde x é considerado como positivo ao longo de OX e negativo ao longo de OX' , enquanto y é considerado positivo ao longo de OY e negativo ao longo de OY' . A distância da origem O ao ponto P é positiva e denotada por $r = \sqrt{x^2 + y^2}$. O ângulo A descrito no sentido *anti-horário* a partir de OX é considerado *positivo*. Se for descrito no sentido *horário* a partir de OX é considerado *negativo*. Denominamos $X'OX$ e $Y'OY$ os eixos x e y , respectivamente.

Os vários quadrantes são denotados por I, II, III e IV e são denominados primeiro, segundo, terceiro e quarto quadrantes, respectivamente. Na Fig. 12-2, por exemplo, o ângulo A está no segundo quadrante, enquanto que na Fig. 12-3, o ângulo A está no terceiro quadrante.

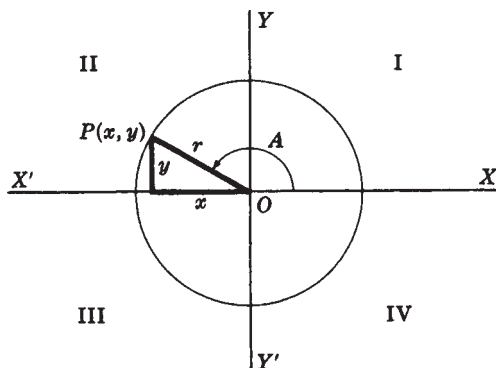


Fig. 12-2

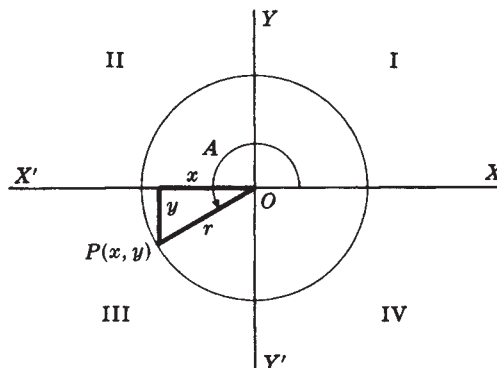


Fig. 12-3

Para um ângulo A em qualquer quadrante, as funções trigonométricas de A são definidas como segue.

12.7 $\text{sen } A = y/r$

12.10 $\text{cotg } A = x/y$

12.8 $\text{cos } A = x/r$

12.11 $\text{sec } A = r/x$

12.9 $\text{tg } A = y/x$

12.12 $\text{cosec } A = r/y$

Relação entre graus e radianos

O radiano é o ângulo θ subtendido no centro O de um círculo por um arco MN igual ao raio r .

Como 2π radianos = 360° , temos

12.13 $1 \text{ radiano } 180^\circ/\pi = 57,29577 \ 95130 \ 8232 \dots^\circ$

12.14 $1^\circ = \pi/180 \text{ radianos} = 0,01745 \ 32925 \ 19943 \ 29576 \ 92 \dots \text{radianos}$

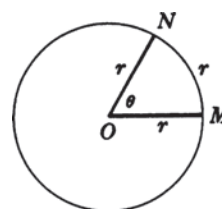


Fig. 12-4

Relações entre as funções trigonométricas

12.15 $\text{tg } A = \frac{\text{sen } A}{\text{cos } A}$

12.19 $\text{sen}^2 A + \text{cos}^2 A = 1$

12.16 $\text{cotg } A = \frac{1}{\text{tg } A} = \frac{\text{cos } A}{\text{sen } A}$

12.20 $\text{sec}^2 A - \text{tg}^2 A = 1$

12.17 $\text{sec } A = \frac{1}{\text{cos } A}$

12.21 $\text{cosec}^2 A - \text{cotg}^2 A = 1$

12.18 $\text{cosec } A = \frac{1}{\text{sen } A}$

Sinais e variações das funções trigonométricas

| Quadrante | sen A | cos A | tg A | cotg A | sec A | cosec A |
|-----------|-------------|-------------|-------------|-------------|--------------|--------------|
| I | + 0 a 1 | + 1 a 0 | + 0 a ∞ | + ∞ a 0 | + 1 a ∞ | + ∞ a 1 |
| II | + 1 a 0 | - 0 a -1 | - -∞ a 0 | - 0 a -∞ | - -∞ a -1 | + 1 a ∞ |
| III | - 0 a -1 | - -1 a 0 | + 0 a ∞ | + ∞ a 0 | - -1 a -∞ | - -∞ a -1 |
| IV | - -1 a 0 | + 0 a 1 | - -∞ a 0 | - 0 a -∞ | + ∞ a 1 | - -1 a -∞ |

Valores exatos para funções trigonométricas de vários ângulos

| Ângulo A em graus | Ângulo A em radianos | sen A | cos A | tg A | cotg A | sec A | cosec A |
|-------------------|----------------------|-----------------------------------|-----------------------------------|------------------------|------------------------|------------------------|------------------------|
| 0° | 0 | 0 | 1 | 0 | ∞ | 1 | ∞ |
| 15° | $\pi/12$ | $\frac{1}{4}(\sqrt{6}-\sqrt{2})$ | $\frac{1}{4}(\sqrt{6}+\sqrt{2})$ | $2-\sqrt{3}$ | $2+\sqrt{3}$ | $\sqrt{6}-\sqrt{2}$ | $\sqrt{6}+\sqrt{2}$ |
| 30° | $\pi/6$ | $\frac{1}{2}$ | $\frac{1}{2}\sqrt{3}$ | $\frac{1}{3}\sqrt{3}$ | $\sqrt{3}$ | $\frac{2}{3}\sqrt{3}$ | 2 |
| 45° | $\pi/4$ | $\frac{1}{2}\sqrt{2}$ | $\frac{1}{2}\sqrt{2}$ | 1 | 1 | $\sqrt{2}$ | $\sqrt{2}$ |
| 60° | $\pi/3$ | $\frac{1}{2}\sqrt{3}$ | $\frac{1}{2}$ | $\sqrt{3}$ | $\frac{1}{3}\sqrt{3}$ | 2 | $\frac{2}{3}\sqrt{3}$ |
| 75° | $5\pi/12$ | $\frac{1}{4}(\sqrt{6}+\sqrt{2})$ | $\frac{1}{4}(\sqrt{6}-\sqrt{2})$ | $2+\sqrt{3}$ | $2-\sqrt{3}$ | $\sqrt{6}+\sqrt{2}$ | $\sqrt{6}-\sqrt{2}$ |
| 90° | $\pi/2$ | 1 | 0 | $\pm\infty$ | 0 | $\pm\infty$ | 1 |
| 105° | $7\pi/12$ | $\frac{1}{4}(\sqrt{6}+\sqrt{2})$ | $-\frac{1}{4}(\sqrt{6}-\sqrt{2})$ | $-(2+\sqrt{3})$ | $-(2-\sqrt{3})$ | $-(\sqrt{6}+\sqrt{2})$ | $\sqrt{6}-\sqrt{2}$ |
| 120° | $2\pi/3$ | $\frac{1}{2}\sqrt{3}$ | $-\frac{1}{2}$ | $-\sqrt{3}$ | $-\frac{1}{3}\sqrt{3}$ | -2 | $\frac{2}{3}\sqrt{3}$ |
| 135° | $3\pi/4$ | $\frac{1}{2}\sqrt{2}$ | $-\frac{1}{2}\sqrt{2}$ | -1 | -1 | $-\sqrt{2}$ | $\sqrt{2}$ |
| 150° | $5\pi/6$ | $\frac{1}{2}$ | $-\frac{1}{2}\sqrt{3}$ | $-\frac{1}{3}\sqrt{3}$ | $-\sqrt{3}$ | $-\frac{2}{3}\sqrt{3}$ | 2 |
| 165° | $11\pi/12$ | $\frac{1}{4}(\sqrt{6}-\sqrt{2})$ | $-\frac{1}{4}(\sqrt{6}+\sqrt{2})$ | $-(2-\sqrt{3})$ | $-(2+\sqrt{3})$ | $-(\sqrt{6}-\sqrt{2})$ | $\sqrt{6}+\sqrt{2}$ |
| 180° | π | 0 | -1 | 0 | $\mp\infty$ | -1 | $\pm\infty$ |
| 195° | $13\pi/12$ | $-\frac{1}{4}(\sqrt{6}-\sqrt{2})$ | $-\frac{1}{4}(\sqrt{6}+\sqrt{2})$ | $2-\sqrt{3}$ | $2+\sqrt{3}$ | $-(\sqrt{6}-\sqrt{2})$ | $-(\sqrt{6}+\sqrt{2})$ |
| 210° | $7\pi/6$ | $-\frac{1}{2}$ | $-\frac{1}{2}\sqrt{3}$ | $\frac{1}{3}\sqrt{3}$ | $\sqrt{3}$ | $-\frac{2}{3}\sqrt{3}$ | -2 |
| 225° | $5\pi/4$ | $-\frac{1}{2}\sqrt{2}$ | $-\frac{1}{2}\sqrt{2}$ | 1 | 1 | $-\sqrt{2}$ | $-\sqrt{2}$ |
| 240° | $4\pi/3$ | $-\frac{1}{2}\sqrt{3}$ | $-\frac{1}{2}$ | $\sqrt{3}$ | $\frac{1}{3}\sqrt{3}$ | -2 | $-\frac{2}{3}\sqrt{3}$ |
| 255° | $17\pi/12$ | $-\frac{1}{4}(\sqrt{6}+\sqrt{2})$ | $-\frac{1}{4}(\sqrt{6}-\sqrt{2})$ | $2+\sqrt{3}$ | $2-\sqrt{3}$ | $-(\sqrt{6}+\sqrt{2})$ | $-(\sqrt{6}-\sqrt{2})$ |
| 270° | $3\pi/2$ | -1 | 0 | $\pm\infty$ | 0 | $\mp\infty$ | -1 |
| 285° | $19\pi/12$ | $-\frac{1}{4}(\sqrt{6}+\sqrt{2})$ | $\frac{1}{4}(\sqrt{6}-\sqrt{2})$ | $-(2+\sqrt{3})$ | $-(2-\sqrt{3})$ | $\sqrt{6}+\sqrt{2}$ | $-(\sqrt{6}-\sqrt{2})$ |
| 300° | $5\pi/3$ | $-\frac{1}{2}\sqrt{3}$ | $\frac{1}{2}$ | $-\sqrt{3}$ | $-\frac{1}{3}\sqrt{3}$ | 2 | $-\frac{2}{3}\sqrt{3}$ |
| 315° | $7\pi/4$ | $-\frac{1}{2}\sqrt{2}$ | $\frac{1}{2}\sqrt{2}$ | -1 | -1 | $\sqrt{2}$ | $-\sqrt{2}$ |
| 330° | $11\pi/6$ | $-\frac{1}{2}$ | $\frac{1}{2}\sqrt{3}$ | $-\frac{1}{3}\sqrt{3}$ | $-\sqrt{3}$ | $\frac{2}{3}\sqrt{3}$ | -2 |
| 345° | $23\pi/12$ | $-\frac{1}{4}(\sqrt{6}-\sqrt{2})$ | $\frac{1}{4}(\sqrt{6}+\sqrt{2})$ | $-(2-\sqrt{3})$ | $-(2+\sqrt{3})$ | $\sqrt{6}-\sqrt{2}$ | $-(\sqrt{6}+\sqrt{2})$ |
| 360° | 2π | 0 | 1 | 0 | $\mp\infty$ | 1 | $\mp\infty$ |

Para outros ângulos, ver Tabelas 2, 3 e 4.

Gráficos das funções trigonométricas

Em cada gráfico, x está em radianos.

12.22 $y = \text{sen } x$

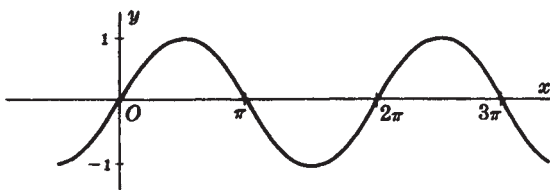


Fig. 12-5

12.23 $y = \text{cos } x$

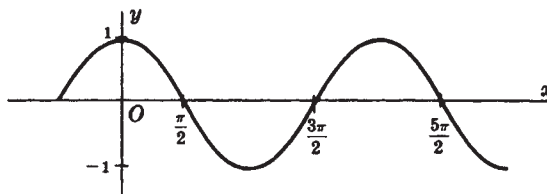


Fig. 12-6

12.24 $y = \text{tg } x$

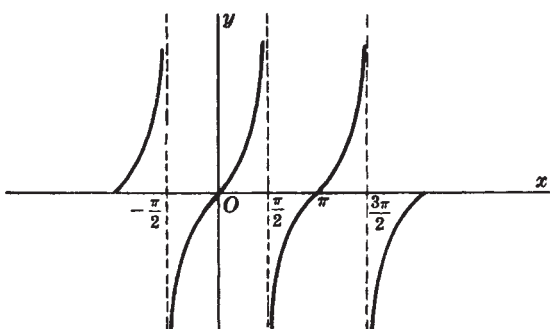


Fig. 12-7

12.25 $y = \text{cotg } x$

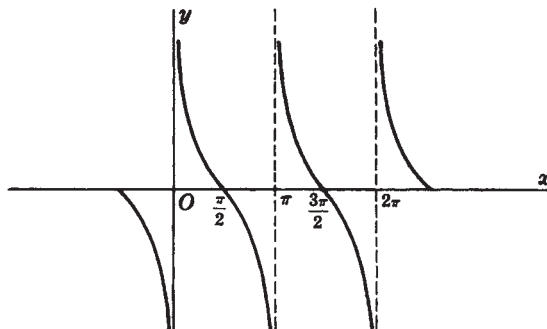


Fig. 12-8

12.26 $y = \text{sec } x$

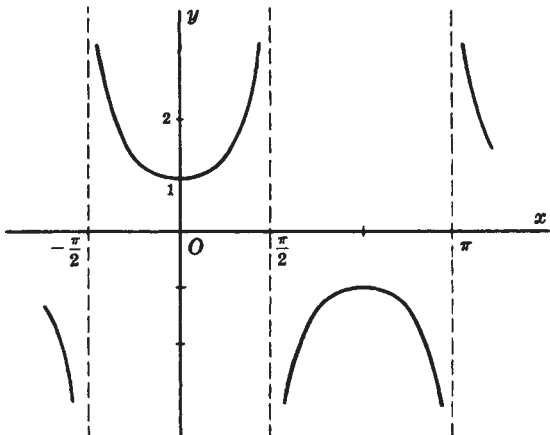


Fig. 12-9

12.27 $y = \text{cosec } x$

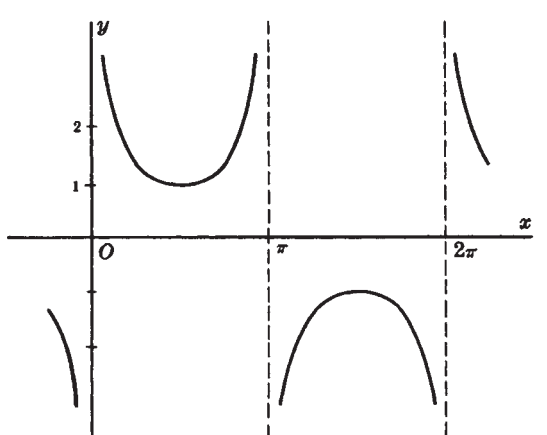


Fig. 12-10

Funções de ângulos negativos

12.28 $\text{sen}(-A) = -\text{sen } A$

12.29 $\text{cos}(-A) = \text{cos } A$

12.30 $\text{tg}(-A) = -\text{tg } A$

12.31 $\text{cosec}(-A) = -\text{cosec } A$

12.32 $\text{sec}(-A) = \text{sec } A$

12.33 $\text{cotg}(-A) = -\text{cotg } A$

Fórmulas de adição

$$12.34 \quad \text{sen}(A \pm B) = \text{sen } A \cos B \pm \cos A \text{ sen } B$$

$$12.35 \quad \cos(A \pm B) = \cos A \cos B \mp \text{sen } A \text{ sen } B$$

$$12.36 \quad \text{tg}(A \pm B) = \frac{\text{tg } A \pm \text{tg } B}{1 \mp \text{tg } A \text{ tg } B}$$

$$12.37 \quad \text{cotg}(A \pm B) = \frac{\text{cotg } A \text{ cotg } B \mp 1}{\text{cotg } B \pm \text{cotg } A}$$

Funções de ângulos em todos os quadrantes em termos de ângulos do quadrante I

| | $-A$ | $90^\circ \pm A$ $\frac{\pi}{2} \pm A$ | $180^\circ \pm A$ $\pi \pm A$ | $270^\circ \pm A$ $\frac{3\pi}{2} \pm A$ | $k(360^\circ) \pm A$ $2k\pi \pm A$ $k = \text{inteiro}$ |
|-------|--------------------|---|----------------------------------|---|---|
| sen | $-\text{sen } A$ | $\cos A$ | $\text{sen } A$ | $-\cos A$ | $\pm \text{sen } A$ |
| cos | $\cos A$ | $\mp \text{sen } A$ | $-\cos A$ | $\mp \text{sen } A$ | $\cos A$ |
| tg | $-\text{tg } A$ | $\mp \text{cotg } A$ | $\pm \text{tg } A$ | $\mp \text{cotg } A$ | $\pm \text{tg } A$ |
| cosec | $-\text{cosec } A$ | $\sec A$ | $\mp \text{cosec } A$ | $-\sec A$ | $\pm \text{cosec } A$ |
| sec | $\sec A$ | $\mp \text{cosec } A$ | $-\sec A$ | $\pm \text{cosec } A$ | $\sec A$ |
| cotg | $-\text{cotg } A$ | $\mp \text{tg } A$ | $\pm \text{cotg } A$ | $\mp \text{tg } A$ | $\pm \text{cotg } A$ |

Relações entre funções de ângulos no quadrante I

| | $\text{sen } A = u$ | $\cos A = u$ | $\text{tg } A = u$ | $\text{cotg } A = u$ | $\sec A = u$ | $\text{cosec } A = u$ |
|---------|---------------------|------------------|--------------------|----------------------|------------------|-----------------------|
| sen A | u | $\sqrt{1-u^2}$ | $u/\sqrt{1+u^2}$ | $1/\sqrt{1+u^2}$ | $\sqrt{u^2-1}/u$ | $1/u$ |
| cos A | $\sqrt{1-u^2}$ | u | $1/\sqrt{1+u^2}$ | $u/\sqrt{1+u^2}$ | $1/u$ | $\sqrt{u^2-1}/u$ |
| tg A | $u/\sqrt{1-u^2}$ | $\sqrt{1-u^2}/u$ | u | $1/u$ | $\sqrt{u^2-1}$ | $1/\sqrt{u^2-1}$ |
| cotg A | $\sqrt{1-u^2}/u$ | $u/\sqrt{1-u^2}$ | $1/u$ | u | $1/\sqrt{u^2-1}$ | $\sqrt{u^2-1}$ |
| sec A | $1/\sqrt{1-u^2}$ | $1/u$ | $\sqrt{1+u^2}$ | $\sqrt{1+u^2}/u$ | u | $u/\sqrt{u^2-1}$ |
| cosec A | $1/u$ | $1/\sqrt{1-u^2}$ | $\sqrt{1+u^2}/u$ | $\sqrt{1+u^2}$ | $u/\sqrt{u^2-1}$ | u |

Para extensões a outros quadrantes, use sinais apropriados, como os dados na tabela anterior.

Fórmulas de ângulo duplo

$$12.38 \quad \text{sen } 2A = 2 \text{ sen } A \cos A$$

$$12.39 \quad \cos 2A = \cos^2 A - \text{sen}^2 A = 1 - 2 \text{ sen}^2 A = 2 \cos^2 A - 1$$

$$12.40 \quad \text{tg } 2A = \frac{2 \text{ tg } A}{1 - \text{tg}^2 A}$$

Fórmulas de ângulo metade

$$12.41 \quad \operatorname{sen} \frac{A}{2} = \pm \sqrt{\frac{1 - \cos A}{2}} \left[\begin{array}{l} + \operatorname{se} A / 2 \text{ está no quadrante I ou II} \\ - \operatorname{se} A / 2 \text{ está no quadrante III ou IV} \end{array} \right]$$

$$12.42 \quad \operatorname{cos} \frac{A}{2} = \pm \sqrt{\frac{1 + \cos A}{2}} \left[\begin{array}{l} + \operatorname{se} A / 2 \text{ está no quadrante I ou IV} \\ - \operatorname{se} A / 2 \text{ está no quadrante II ou III} \end{array} \right]$$

$$12.43 \quad \operatorname{tg} \frac{A}{2} = \pm \sqrt{\frac{1 - \cos A}{1 + \cos A}} \left[\begin{array}{l} + \operatorname{se} A / 2 \text{ está no quadrante I ou III} \\ - \operatorname{se} A / 2 \text{ está no quadrante II ou IV} \end{array} \right]$$

$$= \frac{\operatorname{sen} A}{1 + \cos A} = \frac{1 - \cos A}{\operatorname{sen} A} = \operatorname{cosec} A - \operatorname{cotg} A$$

Fórmulas de ângulo múltiplo

$$12.44 \quad \operatorname{sen} 3A = 3 \operatorname{sen} A - 4 \operatorname{sen}^3 A$$

$$12.45 \quad \operatorname{cos} 3A = 4 \operatorname{cos}^3 A - 3 \operatorname{cos} A$$

$$12.46 \quad \operatorname{tg} 3A = \frac{3 \operatorname{tg} A - \operatorname{tg}^3 A}{1 - 3 \operatorname{tg}^2 A}$$

$$12.47 \quad \operatorname{sen} 4A = 4 \operatorname{sen} A \operatorname{cos} A - 8 \operatorname{sen}^3 A \operatorname{cos} A$$

$$12.48 \quad \operatorname{cos} 4A = 8 \operatorname{cos}^4 A - 8 \operatorname{cos}^2 A + 1$$

$$12.49 \quad \operatorname{tg} 4A = \frac{4 \operatorname{tg} A - 4 \operatorname{tg}^3 A}{1 - 6 \operatorname{tg}^2 A + \operatorname{tg}^4 A}$$

$$12.50 \quad \operatorname{sen} 5A = 5 \operatorname{sen} A - 20 \operatorname{sen}^3 A + 16 \operatorname{sen}^5 A$$

$$12.51 \quad \operatorname{cos} 5A = 16 \operatorname{cos}^5 A - 20 \operatorname{cos}^3 A + 5 \operatorname{cos} A$$

$$12.52 \quad \operatorname{tg} 5A = \frac{\operatorname{tg}^5 A - 10 \operatorname{tg}^3 A + 5 \operatorname{tg} A}{1 - 10 \operatorname{tg}^2 A + 5 \operatorname{tg}^4 A}$$

Ver também as Fórmulas 12.68 e 12.69.

Potências de funções trigonométricas

$$12.53 \quad \operatorname{sen}^2 A = \frac{1}{2} - \frac{1}{2} \operatorname{cos} 2A$$

$$12.57 \quad \operatorname{sen}^4 A = \frac{3}{8} - \frac{1}{2} \operatorname{cos} 2A + \frac{1}{8} \operatorname{cos} 4A$$

$$12.54 \quad \operatorname{cos}^2 A = \frac{1}{2} + \frac{1}{2} \operatorname{cos} 2A$$

$$12.58 \quad \operatorname{cos}^4 A = \frac{3}{8} + \frac{1}{2} \operatorname{cos} 2A + \frac{1}{8} \operatorname{cos} 4A$$

$$12.55 \quad \operatorname{sen}^3 A = \frac{3}{4} \operatorname{sen} A - \frac{1}{4} \operatorname{sen} 3A$$

$$12.59 \quad \operatorname{sen}^5 A = \frac{5}{8} \operatorname{sen} A - \frac{5}{16} \operatorname{sen} 3A + \frac{1}{16} \operatorname{sen} 5A$$

$$12.56 \quad \operatorname{cos}^3 A = \frac{3}{4} \operatorname{cos} A + \frac{1}{4} \operatorname{cos} 3A$$

$$12.60 \quad \operatorname{cos}^5 A = \frac{5}{8} \operatorname{cos} A + \frac{5}{16} \operatorname{cos} 3A + \frac{1}{16} \operatorname{cos} 5A$$

Ver também as Fórmulas 12.70 a 12.73.

Soma, diferença e produto de funções trigonométricas

$$12.61 \quad \operatorname{sen} A + \operatorname{sen} B = 2 \operatorname{sen} \frac{1}{2}(A+B) \operatorname{cos} \frac{1}{2}(A-B)$$

$$12.62 \quad \operatorname{sen} A - \operatorname{sen} B = 2 \operatorname{cos} \frac{1}{2}(A+B) \operatorname{sen} \frac{1}{2}(A-B)$$

$$12.63 \quad \operatorname{cos} A + \operatorname{cos} B = 2 \operatorname{cos} \frac{1}{2}(A+B) \operatorname{cos} \frac{1}{2}(A-B)$$

$$12.64 \quad \operatorname{cos} A - \operatorname{cos} B = 2 \operatorname{sen} \frac{1}{2}(A+B) \operatorname{sen} \frac{1}{2}(B-A)$$

$$12.65 \quad \text{sen } A \text{ sen } B = \frac{1}{2} \{ \cos(A - B) - \cos(A + B) \}$$

$$12.66 \quad \cos A \cos B = \frac{1}{2} \{ \cos(A - B) + \cos(A + B) \}$$

$$12.67 \quad \text{sen } A \cos B = \frac{1}{2} \{ \text{sen}(A - B) + \text{sen}(A + B) \}$$

Fórmulas gerais

$$12.68 \quad \text{sen } nA = \text{sen } A \left\{ (2 \cos A)^{n-1} - \binom{n-2}{1} (2 \cos A)^{n-3} + \binom{n-3}{2} (2 \cos A)^{n-5} - \dots \right\}$$

$$12.69 \quad \cos nA = \frac{1}{2} \left\{ (2 \cos A)^n - \frac{n}{1} (2 \cos A)^{n-2} + \frac{n}{2} \binom{n-3}{1} (2 \cos A)^{n-4} - \frac{n}{3} \binom{n-4}{2} (2 \cos A)^{n-6} + \dots \right\}$$

$$12.70 \quad \text{sen}^{2n-1} A = \frac{(-1)^{n-1}}{2^{2n-2}} \left\{ \text{sen}(2n-1)A - \binom{2n-1}{1} \text{sen}(2n-3)A + \dots + (-1)^{n-1} \binom{2n-1}{n-1} \text{sen } A \right\}$$

$$12.71 \quad \cos^{2n-1} A = \frac{1}{2^{2n-2}} \left\{ \cos(2n-1)A + \binom{2n-1}{1} \cos(2n-3)A + \dots + \binom{2n-1}{n-1} \cos A \right\}$$

$$12.72 \quad \text{sen}^{2n} A = \frac{1}{2^{2n}} \binom{2n}{n} + \frac{(-1)^n}{2^{2n-1}} \left\{ \cos 2nA - \binom{2n}{1} \cos(2n-2)A + \dots + (-1)^{n-1} \binom{2n}{n-1} \cos 2A \right\}$$

$$12.73 \quad \cos^{2n} A = \frac{1}{2^{2n}} \binom{2n}{n} + \frac{1}{2^{2n-1}} \left\{ \cos 2nA + \binom{2n}{1} \cos(2n-2)A + \dots + \binom{2n}{n-1} \cos 2A \right\}$$

Funções trigonométricas inversas

Se $x = \text{sen } y$, então $y = \text{arc sen } x$, isto é, o *ângulo cujo seno é x* ou o *arco seno de x* é uma função plurívoca de x que é uma coleção de funções bem definidas denominadas *ramos* da função inversa do seno. Analogamente, as outras funções trigonométricas inversas também são plurívocas.

Para muitos propósitos, é requerido um ramo particular. Este é dito o *ramo principal* e os valores deste ramo são denominados *ramos* ou *valores principais* da função inversa.

Valores principais das funções trigonométricas inversas

| Valores principais para $x \geq 0$ | Valores principais para $x < 0$ |
|---------------------------------------|---------------------------------------|
| $0 \leq \text{arc sen } x \leq \pi/2$ | $-\pi/2 \leq \text{arc sen } x < 0$ |
| $0 \leq \text{arc cos } x \leq \pi/2$ | $\pi/2 < \text{arc cos } x \leq \pi$ |
| $0 \leq \text{arc tg } x < \pi/2$ | $-\pi/2 < \text{arc tg } x < 0$ |
| $0 < \text{arc cotg } x \leq \pi/2$ | $\pi/2 < \text{arc cotg } x < \pi$ |
| $0 \leq \text{arc sec } x < \pi/2$ | $\pi/2 < \text{arc sec } x \leq \pi$ |
| $0 < \text{arc cosec } x \leq \pi/2$ | $-\pi/2 \leq \text{arc cosec } x < 0$ |

Relações entre funções trigonométricas inversas

Em todos os casos, supõe-se que são usados os valores principais.

$$12.74 \quad \text{arc sen } x + \text{arc cos } x = \pi/2$$

$$12.80 \quad \text{arc sen}(-x) = -\text{arc sen } x$$

$$12.75 \quad \text{arc tan } x + \text{arc cotg } x = \pi/2$$

$$12.81 \quad \text{arc cos}(-x) = \pi - \text{arc cos } x$$

$$12.76 \quad \text{arc sec } x + \text{arc cosec } x = \pi/2$$

$$12.82 \quad \text{arc tg } (-x) = -\text{arc tg } x$$

$$12.77 \quad \text{arc cosec } x = \text{arc sen}(1/x)$$

$$12.83 \quad \text{arc cotg } (-x) = \pi - \text{arc cotg } x$$

$$12.78 \quad \text{arc sec } x = \text{arc cos}(1/x)$$

$$12.84 \quad \text{arc sec}(-x) = -\text{arc sec } x$$

$$12.79 \quad \text{arc cortg } x = \text{arc tg}(1/x)$$

$$12.85 \quad \text{arc cosec}(-x) = -\text{arc cosec } x$$

Gráficos das funções trigonométricas inversas

Em cada gráfico, y está em radianos. Porções sólidas de curvas correspondem aos valores principais.

$$12.86 \quad y = \text{arc sen } x$$

$$12.87 \quad y = \text{arc cos } x$$

$$12.88 \quad y = \text{arc tg } x$$

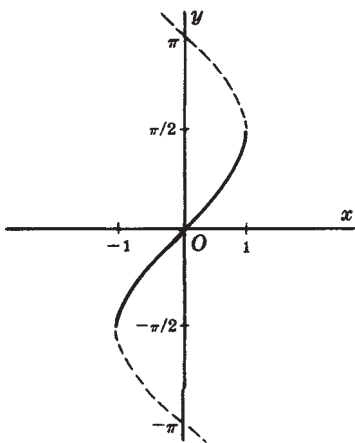


Fig. 12-11

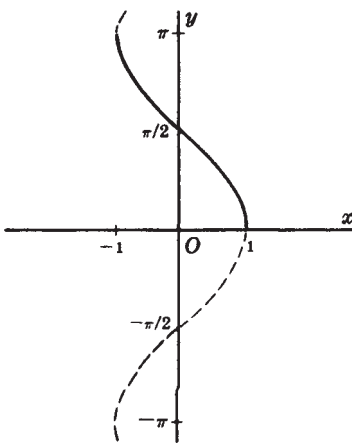


Fig. 12-12

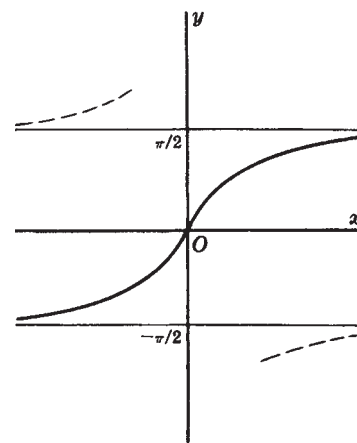


Fig. 12-13

$$12.89 \quad y = \text{arc cotg } x$$

$$12.90 \quad y = \text{arc sec } x$$

$$12.91 \quad y = \text{arc cosec } x$$

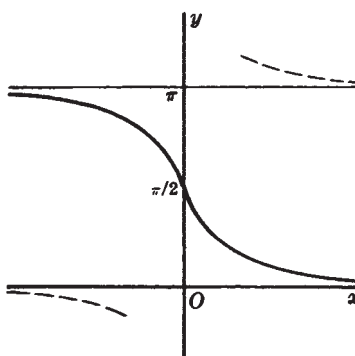


Fig. 12-14

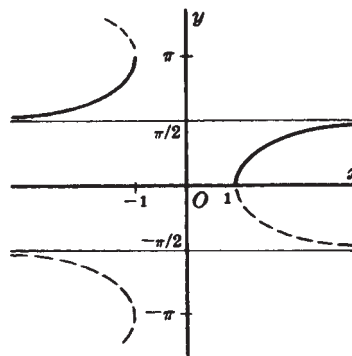


Fig. 12-15

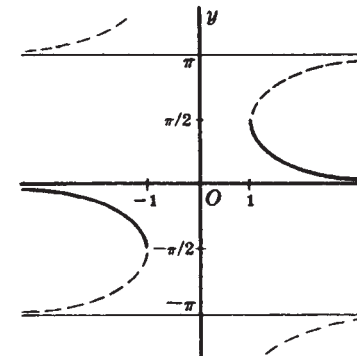


Fig. 12-16

Relações entre lados e ângulos de um triângulo plano

Os resultados seguintes são válidos para qualquer triângulo plano ABC com lados a , b , c e ângulos A , B e C .

12.92 Lei dos Senos

$$\frac{a}{\operatorname{sen} A} = \frac{b}{\operatorname{sen} B} = \frac{c}{\operatorname{sen} C}$$

12.93 Lei dos Cossenos

$$c^2 = a^2 + b^2 - 2ab \cos C$$

com relações análogas envolvendo os outros lados e ângulos.

12.94 Lei das Tangentes

$$\frac{a+b}{a-b} = \frac{\operatorname{tg} \frac{1}{2}(A+B)}{\operatorname{tg} \frac{1}{2}(A-B)}$$

com relações análogas envolvendo os outros lados e ângulos.

$$12.95 \quad \operatorname{sen} A = \frac{2}{bc} \sqrt{s(s-a)(s-b)(s-c)}$$

onde $s = \frac{1}{2}(a+b+c)$ é o semiperímetro do triângulo. Relações análogas envolvendo os ângulos B e C podem ser obtidas.

Ver também Fórmula 7.5.

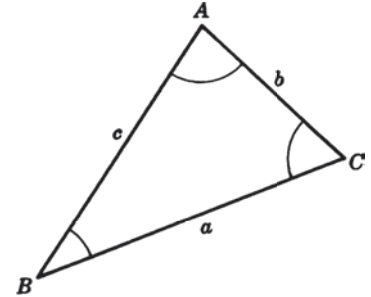


Fig. 12-17

Relações entre lados e ângulos de um triângulo esférico

O triângulo esférico ABC está na superfície da esfera, como mostrado na Fig. 12-18. Os lados a , b e c [que são arcos de círculos máximos], são medidos por seus ângulos subtendidos no centro O da esfera. A , B e C são ângulos opostos aos lados a , b e c , respectivamente. Então, os seguintes resultados são válidos.

12.96 Lei dos Senos

$$\frac{\operatorname{sen} a}{\operatorname{sen} A} = \frac{\operatorname{sen} b}{\operatorname{sen} B} = \frac{\operatorname{sen} c}{\operatorname{sen} C}$$

12.97 Lei dos Cossenos

$$\begin{aligned} \cos a &= \cos b \cos c + \operatorname{sen} b \operatorname{sen} c \cos A \\ \cos A &= -\cos B \cos C + \operatorname{sen} B \operatorname{sen} C \cos a \end{aligned}$$

com resultados análogos envolvendo os outros lados e ângulos.

12.98 Lei das Tangentes

$$\frac{\operatorname{tg} \frac{1}{2}(A+B)}{\operatorname{tg} \frac{1}{2}(A-B)} = \frac{\operatorname{tg} \frac{1}{2}(a+b)}{\operatorname{tg} \frac{1}{2}(a-b)}$$

com resultados análogos envolvendo os outros lados e ângulos.

$$12.99 \quad \cos \frac{A}{2} = \sqrt{\frac{\operatorname{sen} s \operatorname{sen}(s-c)}{\operatorname{sen} b \operatorname{sen} c}}$$

onde $s = \frac{1}{2}(a+b+c)$. Resultados análogos são válidos para os outros lados e ângulos.

$$12.100 \quad \cos \frac{a}{2} = \sqrt{\frac{\cos(S-B) \cos(S-C)}{\operatorname{sen} B \operatorname{sen} C}}$$

onde $S = \frac{1}{2}(A+B+C)$. Resultados análogos são válidos para os outros lados e ângulos.

Ver também Fórmula 7.44.

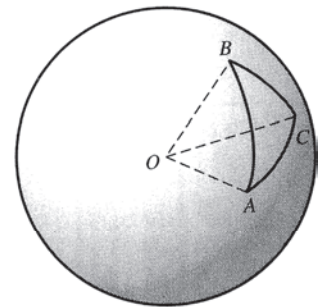


Fig. 12-18

Regra de Napier para triângulos retângulos esféricos

Exceto pelo o ângulo reto C , há cinco outras partes do triângulo esférico ABC as quais, arranjadas na ordem dada na Fig. 12-19, são a , b , A , c e B .

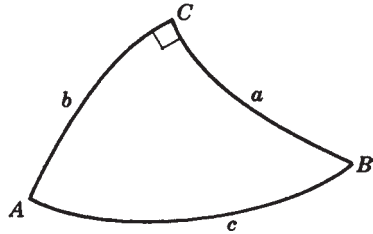


Fig. 12-19

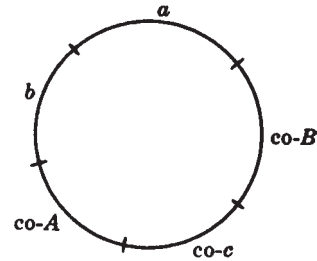


Fig. 12-20

Considere que essas quantidades são arranjadas em um círculo como na Fig. 12-20, onde colocamos o prefixo *co* (indicando *complemento*) à hipotenusa c e aos ângulos A e B .

Qualquer uma das partes deste círculo é chamada *parte média*, as duas partes vizinhas são chamadas *partes adjacentes* e as duas partes restantes são chamadas *partes opostas*. As regras de Napier são as seguintes:

12.101 O seno de qualquer parte média é igual ao produto das tangentes das partes adjacentes.

12.102 O seno de qualquer parte média é igual ao produto dos cossenos das partes opostas.

Exemplo Como $\text{co-}A = 90^\circ - A$, $\text{co-}B = 90^\circ - B$, temos

$$\begin{array}{ll} \text{sen } a = \text{tg } b (\text{co-}B) & \text{ou } \text{sen } a = \text{tg } b \text{ cotg } B \\ \text{sen } (\text{co-}A) = \cos a \cos (\text{co-}B) & \text{ou } \cos A = \cos a \text{ sen } B \end{array}$$

É claro que estas também podem ser obtidas a partir dos resultados dados em 12.97.

13

Funções Exponenciais e Logarítmicas

Leis dos expoentes

Abaixo, p e q são números reais, a e b são números positivos, m e n são inteiros positivos.

$$13.1 \quad a^p \cdot a^q = a^{p+q}$$

$$13.2 \quad a^p / a^q = a^{p-q}$$

$$13.3 \quad (a^p)^q = a^{pq}$$

$$13.4 \quad a^0 = 1, \quad a \neq 0$$

$$13.5 \quad a^{-p} = 1/a^p$$

$$13.6 \quad (ab)^p = a^p b^p$$

$$13.7 \quad \sqrt[n]{a} = a^{1/n}$$

$$13.8 \quad \sqrt[n]{a^m} = a^{m/n}$$

$$13.9 \quad \sqrt[n]{ab} = \sqrt[n]{a} \sqrt[n]{b}$$

Em a^p , p é chamado de *expoente*, a é a *base* e a^p é a *potência p -ésima* de a . A função $y = a^x$ é uma *função exponencial*.

Logaritmos e antilogaritmos

Se $a^p = N$, onde $a \neq 0$ ou 1 , então $p = \log_a N$ é chamado de *logaritmo de N na base a* . O número $N = a^p$ é o *antilogaritmo de p na base a* , escrito como $\text{antilog}_a p$.

Exemplo Como $3^2 = 9$, temos $\log_3 9 = 2$, $\text{antilog}_3 2 = 9$.

A função $y = \log_a x$ é uma *função logarítmica*.

Leis dos logaritmos

$$13.10 \quad \log_a MN = \log_a M + \log_a N$$

$$13.11 \quad \log_a \frac{M}{N} = \log_a M - \log_a N$$

$$13.12 \quad \log_a M^p = p \log_a M$$

Logaritmos e antilogaritmos comuns

Os logaritmos e antilogaritmos comuns (também chamados *decimais* ou de *Briggs*) são aqueles em que a base $a = 10$. O logaritmo comum de N é denotado por $\log_{10} N$ ou, simplesmente, $\log N$. Para valores numéricos de logaritmos comuns, ver Tabela 1.

Logaritmos e antilogaritmos naturais

Os logaritmos e antilogaritmos naturais (também chamados *neperianos*) são aqueles nos quais a base $a = e = 2,71828 18\dots$ (ver página 13). O logaritmo natural de N é denotado por $\log_e N$ ou $\ln N$. Para valores numéricos de logaritmos naturais, ver Tabela 7. Para valores de antilogaritmos naturais (isto é, a tabela fornecendo e^x para valores de x), ver Tabela 8.

Mudança de base de logaritmos

A relação entre logaritmos de um número N para diferentes bases a e b é dada por

$$13.13 \quad \log_a N = \frac{\log_b N}{\log_b a}$$

Em particular,

$$13.14 \quad \log_e N = \ln N = 2,30258 \ 50929 \ 94 \dots \log_{10} N$$

$$13.15 \quad \log_{10} N = \log N = 0,43429 \ 44819 \ 03 \dots \log_e N$$

Relação entre funções exponenciais e trigonométricas

$$13.16 \quad e^{i\theta} = \cos \theta + i \operatorname{sen} \theta, \quad e^{-i\theta} = \cos \theta - i \operatorname{sen} \theta$$

Estas são chamadas *identidades de Euler*. Aqui, i é a unidade imaginária (ver página 20).

$$13.17 \quad \operatorname{sen} \theta = \frac{e^{i\theta} - e^{-i\theta}}{2i}$$

$$13.18 \quad \cos \theta = \frac{e^{i\theta} + e^{-i\theta}}{2}$$

$$13.19 \quad \operatorname{tg} \theta = \frac{e^{i\theta} - e^{-i\theta}}{i(e^{i\theta} + e^{-i\theta})} = -i \left(\frac{e^{i\theta} - e^{-i\theta}}{e^{i\theta} + e^{-i\theta}} \right)$$

$$13.20 \quad \operatorname{cotg} \theta = i \left(\frac{e^{i\theta} + e^{-i\theta}}{e^{i\theta} - e^{-i\theta}} \right)$$

$$13.21 \quad \sec \theta = \frac{2}{e^{i\theta} + e^{-i\theta}}$$

$$13.22 \quad \operatorname{cosec} \theta = \frac{2i}{e^{i\theta} - e^{-i\theta}}$$

Periodicidade de funções exponenciais

$$13.23 \quad e^{i(\theta + 2k\pi)} = e^{i\theta} \quad k = \text{inteiro}$$

A partir disso, vemos que e^x tem período $2\pi i$.

Forma polar de números complexos expressos como uma exponencial

A forma polar [ver 4.7] de um número complexo $z = x + iy$ pode ser escrita em termos de exponenciais como segue.

$$13.24 \quad z = x + iy = r(\cos \theta + i \operatorname{sen} \theta) = re^{i\theta}$$

Operações com números complexos na forma polar

As Fórmulas 4.8 a 4.11 são equivalentes ao que segue.

$$13.25 \quad (r_1 e^{i\theta_1})(r_2 e^{i\theta_2}) = r_1 r_2 e^{i(\theta_1 + \theta_2)}$$

$$13.26 \quad \frac{r_1 e^{i\theta_1}}{r_2 e^{i\theta_2}} = \frac{r_1}{r_2} e^{i(\theta_1 - \theta_2)}$$

$$13.27 \quad (re^{i\theta})^p = r^p e^{ip\theta} \text{ [teorema de De Moivre]}$$

$$13.28 \quad (re^{i\theta})^{1/n} = [re^{i(\theta+2k\pi)}]^{1/n} = r^{1/n} e^{i(\theta+2k\pi)/n}$$

Logaritmo de um número complexo

$$13.29 \quad \ln(re^{i\theta}) = \ln r + i\theta + 2k\pi i \quad k = \text{inteiro}$$

Funções Hiperbólicas

Definição das funções hiperbólicas

- 14.1 *Senó hiperbólico* de x $\quad = \sinh x = \frac{e^x - e^{-x}}{2}$
- 14.2 *Cosseno hiperbólico* de x $\quad = \cosh x = \frac{e^x + e^{-x}}{2}$
- 14.3 *Tangente hiperbólica* de x $\quad = \operatorname{tgh} x = \frac{e^x - e^{-x}}{e^x + e^{-x}}$
- 14.4 *Cotangente hiperbólica* de x $\quad = \operatorname{cotgh} x = \frac{e^x + e^{-x}}{e^x - e^{-x}}$
- 14.5 *Secante hiperbólica* de x $\quad = \operatorname{sech} x = \frac{2}{e^x + e^{-x}}$
- 14.6 *Cossecante hiperbólica* de x $\quad = \operatorname{cosech} x = \frac{2}{e^x - e^{-x}}$

Relações entre as funções hiperbólicas

- 14.7 $\operatorname{tgh} x = \frac{\sinh x}{\cosh x}$
- 14.8 $\operatorname{cotgh} x = \frac{1}{\operatorname{tgh} x} = \frac{\cosh x}{\sinh x}$
- 14.9 $\operatorname{sech} x = \frac{1}{\cosh x}$
- 14.10 $\operatorname{cosech} x = \frac{1}{\sinh x}$
- 14.11 $\cosh^2 x - \sinh^2 x = 1$
- 14.12 $\operatorname{sech}^2 x + \operatorname{tgh}^2 x = 1$
- 14.13 $\operatorname{cotgh}^2 x - \operatorname{cosech}^2 x = 1$

Funções de argumentos negativos

- 14.14 $\sinh(-x) = -\sinh x$ 14.15 $\cosh(-x) = \cosh x$ 14.16 $\operatorname{tgh}(-x) = -\operatorname{tgh} x$
- 14.17 $\operatorname{cosech}(-x) = -\operatorname{cosech} x$ 14.18 $\operatorname{sech}(-x) = \operatorname{sech} x$ 14.19 $\operatorname{cotgh}(-x) = -\operatorname{cotgh} x$

Fórmulas de adição

$$14.20 \quad \sinh(x \pm y) = \sinh x \cosh y \pm \cosh x \sinh y$$

$$14.21 \quad \cosh(x \pm y) = \cosh x \cosh y \pm \sinh x \sinh y$$

$$14.22 \quad \operatorname{tgh}(x \pm y) = \frac{\operatorname{tgh} x \pm \operatorname{tgh} y}{1 \pm \operatorname{tgh} x \operatorname{tgh} y}$$

$$14.23 \quad \operatorname{cotgh}(x \pm y) = \frac{\operatorname{cotgh} x \operatorname{cotgh} y \pm 1}{\operatorname{cotgh} y \pm \operatorname{cotgh} x}$$

Fórmulas de ângulo duplo

$$14.24 \quad \sinh 2x = 2 \sinh x \cosh x$$

$$14.25 \quad \cosh 2x = \cosh^2 x + \sinh^2 x = 2 \cosh^2 x - 1 = 1 + 2 \sinh^2 x$$

$$14.26 \quad \operatorname{tgh} 2x = \frac{2 \operatorname{tgh} x}{1 + \operatorname{tgh}^2 x}$$

Fórmulas de ângulo metade

$$14.27 \quad \sinh \frac{x}{2} = \pm \sqrt{\frac{\cosh x - 1}{2}} \quad [+ \text{ se } x > 0, - \text{ se } x < 0]$$

$$14.28 \quad \cosh \frac{x}{2} = \sqrt{\frac{\cosh x + 1}{2}}$$

$$14.29 \quad \operatorname{tgh} \frac{x}{2} = \pm \sqrt{\frac{\cosh x - 1}{\cosh x + 1}} \quad [+ \text{ se } x > 0, - \text{ se } x < 0]$$

$$= \frac{\sinh x}{\cosh x + 1} = \frac{\cosh x - 1}{\sinh x}$$

Fórmulas de ângulo múltiplo

$$14.30 \quad \sinh 3x = 3 \sinh x + 4 \sinh^3 x$$

$$14.31 \quad \cosh 3x = 4 \cosh^3 x - 3 \cosh x$$

$$14.32 \quad \operatorname{tgh} 3x = \frac{3 \operatorname{tgh} x + \operatorname{tgh}^3 x}{1 + 3 \operatorname{tgh}^2 x}$$

$$14.33 \quad \sinh 4x = 8 \sinh^3 x \cosh x + 4 \sinh x \cosh x$$

$$14.34 \quad \cosh 4x = 8 \cosh^4 x - 8 \cosh^2 x + 1$$

$$14.35 \quad \operatorname{tgh} 4x = \frac{4 \operatorname{tgh} x + 4 \operatorname{tgh}^3 x}{1 + 6 \operatorname{tgh}^2 x + \operatorname{tgh}^4 x}$$

Potências de funções hiperbólicas

$$14.36 \quad \sinh^2 x = \frac{1}{2} \cosh 2x - \frac{1}{2}$$

$$14.37 \quad \cosh^2 x = \frac{1}{2} \cosh 2x + \frac{1}{2}$$

$$14.38 \quad \sinh^3 x = \frac{1}{4} \sinh 3x - \frac{3}{4} \sinh x$$

$$14.39 \quad \cosh^3 x = \frac{1}{4} \cosh 3x + \frac{3}{4} \cosh x$$

$$14.40 \quad \sinh^4 x = \frac{3}{8} - \frac{1}{2} \cosh 2x + \frac{1}{8} \cosh 4x$$

$$14.41 \quad \cosh^4 x = \frac{3}{8} + \frac{1}{2} \cosh 2x + \frac{1}{8} \cosh 4x$$

Soma, diferença e produto de funções hiperbólicas

$$14.42 \quad \sinh x + \sinh y = 2 \sinh \frac{1}{2}(x+y) \cosh \frac{1}{2}(x-y)$$

$$14.43 \quad \sinh x - \sinh y = 2 \cosh \frac{1}{2}(x+y) \sinh \frac{1}{2}(x-y)$$

$$14.44 \quad \cosh x + \cosh y = 2 \cosh \frac{1}{2}(x+y) \cosh \frac{1}{2}(x-y)$$

$$14.45 \quad \cosh x - \cosh y = 2 \sinh \frac{1}{2}(x+y) \sinh \frac{1}{2}(x-y)$$

$$14.46 \quad \sinh x \sinh y = \frac{1}{2} \{ \cosh(x+y) - \cosh(x-y) \}$$

$$14.47 \quad \cosh x \cosh y = \frac{1}{2} \{ \cosh(x+y) + \cosh(x-y) \}$$

$$14.48 \quad \sinh x \cosh y = \frac{1}{2} \{ \sinh(x+y) + \sinh(x-y) \}$$

Expressão das funções hiperbólicas em termos das outras

Na tabela abaixo, consideramos $x > 0$. Se $x < 0$, use o sinal apropriado, como indicado nas Fórmulas 14.14 a 14.19.

| | $\sinh x = u$ | $\cosh x = u$ | $\operatorname{tgh} x = u$ | $\operatorname{cotgh} x = u$ | $\operatorname{sech} x = u$ | $\operatorname{cosech} x = u$ |
|---------------------------|--------------------|--------------------|----------------------------|------------------------------|-----------------------------|-------------------------------|
| $\sinh x$ | u | $\sqrt{u^2 - 1}$ | $u/\sqrt{1 - u^2}$ | $1/\sqrt{u^2 - 1}$ | $\sqrt{1 - u^2}/u$ | $1/u$ |
| $\cosh x$ | $\sqrt{1 + u^2}$ | u | $1/\sqrt{1 - u^2}$ | $u/\sqrt{u^2 - 1}$ | $1/u$ | $\sqrt{1 + u^2}/u$ |
| $\operatorname{tgh} x$ | $u/\sqrt{1 + u^2}$ | $\sqrt{u^2 - 1}/u$ | u | $1/u$ | $\sqrt{1 - u^2}$ | $1/\sqrt{1 + u^2}$ |
| $\operatorname{cotgh} x$ | $\sqrt{u^2 + 1}/u$ | $u/\sqrt{u^2 - 1}$ | $1/u$ | u | $1/\sqrt{1 - u^2}$ | $\sqrt{1 + u^2}$ |
| $\operatorname{sech} x$ | $1/\sqrt{1 + u^2}$ | $1/u$ | $\sqrt{1 - u^2}$ | $\sqrt{u^2 - 1}/u$ | u | $u/\sqrt{1 + u^2}$ |
| $\operatorname{cosech} x$ | $1/u$ | $1/\sqrt{u^2 - 1}$ | $\sqrt{1 - u^2}/u$ | $\sqrt{u^2 - 1}$ | $u/\sqrt{1 - u^2}$ | u |

Gráficos das funções hiperbólicas

14.49 $y = \sinh x$

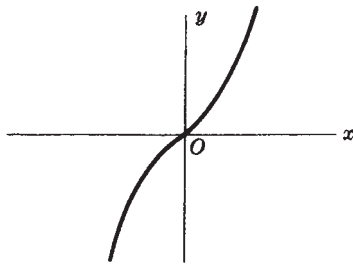


Fig. 14-1

14.50 $y = \cosh x$

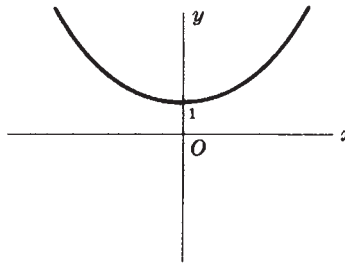


Fig. 14-2

14.51 $y = \operatorname{tgh} x$

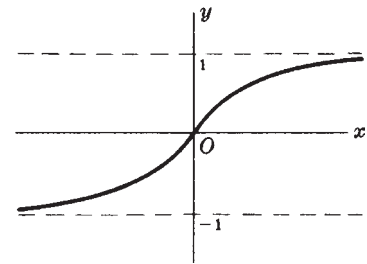


Fig. 14-3

14.52 $y = \operatorname{cotgh} x$

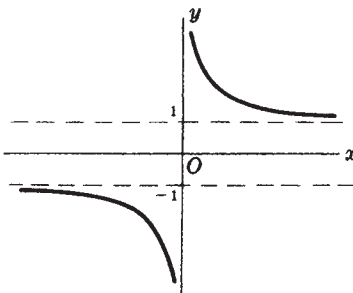


Fig. 14-4

14.53 $y = \operatorname{sech} x$

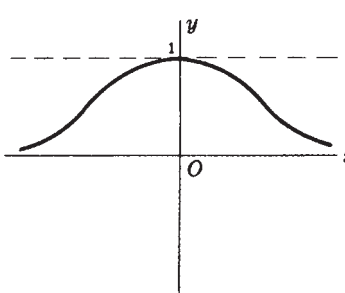


Fig. 14-5

14.54 $y = \operatorname{cosech} x$

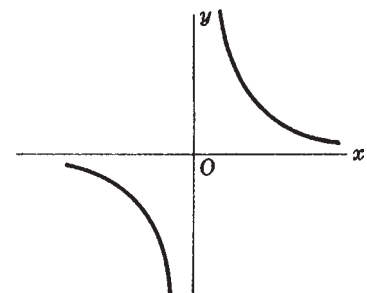


Fig. 14-6

Funções hiperbólicas inversas

Se $x = \sinh y$, então $y = \operatorname{arc} \sinh x$ é denominado *arco seno hiperbólico* de x . Analogamente definimos as outras funções hiperbólicas inversas. As funções arco cosseno e secante hiperbólicas são plurívocas e, como no caso das funções trigonométricas inversas [ver 12.86 a 12.91], nos restringimos a valores principais nos quais estas funções podem ser consideradas bem definidas.

A lista a seguir apresenta os valores principais (a menos que o contrário seja indicado) das funções hiperbólicas inversas, expressas em termos de funções logarítmicas, que são consideradas como tomando valores reais.

14.55 $\operatorname{arc} \sinh x = \ln(x + \sqrt{x^2 + 1})$ $-\infty < x < \infty$

14.56 $\operatorname{arc} \cosh x = \ln(x + \sqrt{x^2 - 1})$ $x \geq 1$ ($\operatorname{arc} \cosh x > 0$ é o valor principal)

14.57 $\operatorname{arc} \operatorname{tgh} x = \frac{1}{2} \ln\left(\frac{1+x}{1-x}\right)$ $-1 < x < 1$

14.58 $\operatorname{arc} \operatorname{cotgh} x = \frac{1}{2} \ln\left(\frac{x+1}{x-1}\right)$ $x > 1$ ou $x < -1$

14.59 $\operatorname{arc} \operatorname{sech} x = \ln\left(\frac{1}{x} + \sqrt{\frac{1}{x^2} - 1}\right)$ $0 < x \leq 1$ ($\operatorname{arc} \operatorname{sech} x > 0$ é o valor principal)

14.60 $\operatorname{arc} \operatorname{cosech} x = \ln\left(\frac{1}{x} + \sqrt{\frac{1}{x^2} + 1}\right)$ $x \neq 0$

Relações entre as funções hiperbólicas inversas

- 14.61 $\operatorname{arc cosech} x = \operatorname{arc senh}(1/x)$
 14.62 $\operatorname{arc sech} x = \operatorname{arc cosh}(1/x)$
 14.63 $\operatorname{arc cotgh} x = \operatorname{arc tgh}(1/x)$
 14.64 $\operatorname{arc senh}(-x) = -\operatorname{arc senh} x$
 14.65 $\operatorname{arc tgh}(-x) = -\operatorname{arc tgh} x$
 14.66 $\operatorname{arc cotgh}(-x) = -\operatorname{arc cotgh} x$
 14.67 $\operatorname{arc cosech}(-x) = -\operatorname{arc cosech} x$

Gráficos das funções hiperbólicas inversas

14.68 $y = \operatorname{arc senh} x$

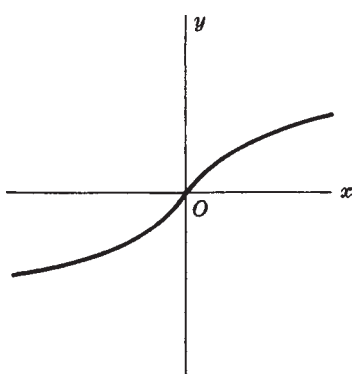


Fig. 14-7

14.69 $y = \operatorname{arc cosh} x$

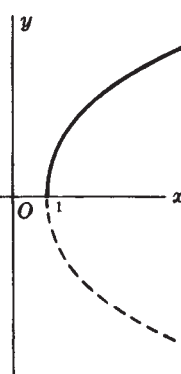


Fig. 14-8

14.70 $y = \operatorname{arc tgh} x$

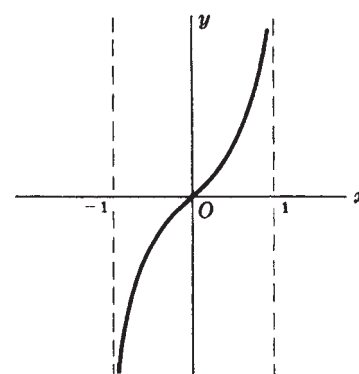


Fig. 14-9

14.71 $y = \operatorname{arc cotgh} x$

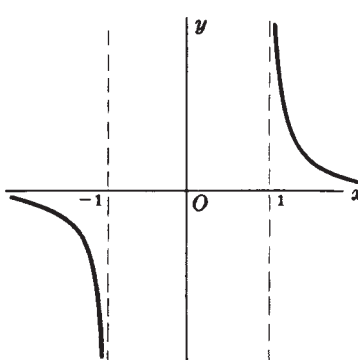


Fig. 14-10

14.72 $y = \operatorname{arc sech} x$

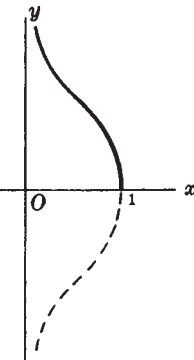


Fig. 14-11

14.73 $y = \operatorname{arc cosech} x$

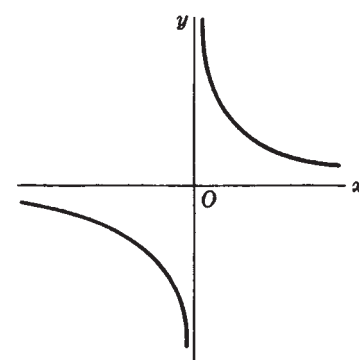


Fig. 14-12

Relação entre funções hiperbólicas e trigonométricas

$$14.74 \quad \operatorname{sen}(ix) = i \operatorname{senh} x$$

$$14.75 \quad \cos(ix) = \cosh x$$

$$14.76 \quad \operatorname{tg}(ix) = i \operatorname{tgh} x$$

$$14.77 \quad \operatorname{cosec}(ix) = -i \operatorname{cosech} x$$

$$14.78 \quad \sec(ix) = \operatorname{sech} x$$

$$14.79 \quad \operatorname{cotg}(ix) = -i \operatorname{cotgh} x$$

$$14.80 \quad \operatorname{senh}(ix) = i \operatorname{sen} x$$

$$14.81 \quad \cosh(ix) = \cos x$$

$$14.82 \quad \operatorname{tgh}(ix) = i \operatorname{tg} x$$

$$14.83 \quad \operatorname{cosech}(ix) = -i \operatorname{cosec} x$$

$$14.84 \quad \operatorname{sech}(ix) = \sec x$$

$$14.85 \quad \operatorname{cotgh}(ix) = -i \operatorname{cotg} x$$

Periodicidade das funções hiperbólicas

Nas fórmulas a seguir, k é qualquer número inteiro.

$$14.86 \quad \operatorname{senh}(x + 2k\pi i) = \operatorname{senh} x$$

$$14.87 \quad \cosh(x + 2k\pi i) = \cosh x$$

$$14.88 \quad \operatorname{tgh}(x + k\pi i) = \operatorname{tgh} x$$

$$14.89 \quad \operatorname{cosech}(x + 2k\pi i) = \operatorname{cosech} x$$

$$14.90 \quad \operatorname{sech}(x + 2k\pi i) = \operatorname{sech} x$$

$$14.91 \quad \operatorname{cotgh}(x + k\pi i) = \operatorname{cotgh} x$$

Relação entre funções hiperbólicas e trigonométricas inversas

$$14.92 \quad \operatorname{arc} \operatorname{sen}(ix) = i \operatorname{arc} \operatorname{sen} x$$

$$14.93 \quad \operatorname{arc} \operatorname{senh}(ix) = i \operatorname{arc} \operatorname{sen} x$$

$$14.94 \quad \operatorname{arc} \cos x = \pm i \operatorname{arc} \cosh x$$

$$14.95 \quad \operatorname{arc} \cosh x = \pm i \operatorname{arc} \cos x$$

$$14.96 \quad \operatorname{arc} \operatorname{tg}(ix) = i \operatorname{arc} \operatorname{tgh} x$$

$$14.97 \quad \operatorname{arc} \operatorname{tgh}(ix) = i \operatorname{arc} \operatorname{tg} x$$

$$14.98 \quad \operatorname{arc} \operatorname{cotg}(ix) = i \operatorname{arc} \operatorname{cotgh} x$$

$$14.99 \quad \operatorname{arc} \operatorname{cotgh}(ix) = -i \operatorname{arc} \operatorname{cotg} x$$

$$14.100 \quad \operatorname{arc} \sec x = \pm i \operatorname{arc} \operatorname{sech} x$$

$$14.101 \quad \operatorname{arc} \operatorname{sech} x = \pm i \operatorname{arc} \sec x$$

$$14.102 \quad \operatorname{arc} \operatorname{cosec}(ix) = -i \operatorname{arc} \operatorname{cosech} x$$

$$14.103 \quad \operatorname{arc} \operatorname{cosech}(ix) = -i \operatorname{arc} \operatorname{cosec} x$$

Derivadas

Definição de uma derivada

Considere $y = f(x)$. A derivada de y ou $f(x)$ é definida por

$$15.1 \quad \frac{dy}{dx} = \lim_{h \rightarrow 0} \frac{f(x+h) - f(x)}{h} = \lim_{\Delta x \rightarrow 0} \frac{f(x+\Delta x) - f(x)}{\Delta x}$$

onde $h = \Delta x$. A derivada também é denotada por y' , df/dx ou $f'(x)$. O processo de obtenção de uma derivada é chamado de *derivação*.

Regras gerais de derivação

No que segue, u , v e w são funções de x ; a , b , c e n são constantes (com restrições quando indicado); $e = 2,71828\dots$ é a base natural dos logaritmos; $\ln u$ é o logaritmo natural de u (isto é, o logaritmo de base e) onde supomos $u > 0$ e todos os ângulos são em radianos.

$$15.2 \quad \frac{d}{dx}(c) = 0$$

$$15.3 \quad \frac{d}{dx}(cx) = c$$

$$15.4 \quad \frac{d}{dx}(cx^n) = ncx^{n-1}$$

$$15.5 \quad \frac{d}{dx}(u \pm v \pm w \pm \dots) = \frac{du}{dx} \pm \frac{dv}{dx} \pm \frac{dw}{dx} \pm \dots$$

[número finito de parcelas]

$$15.6 \quad \frac{d}{dx}(au) = a \frac{du}{dx}$$

$$15.7 \quad \frac{d}{dx}(uv) = u \frac{dv}{dx} + v \frac{du}{dx}$$

$$15.8 \quad \frac{d}{dx}(uvw) = uv \frac{dw}{dx} + uw \frac{dv}{dx} + vw \frac{du}{dx}$$

$$15.9 \quad \frac{d}{dx} \left(\frac{u}{v} \right) = \frac{v(du/dx) - u(dv/dx)}{v^2}$$

$$15.10 \quad \frac{d}{dx}(u^n) = nu^{n-1} \frac{du}{dx}$$

$$15.11 \quad \frac{dy}{dx} = \frac{dy}{du} \frac{du}{dx}$$

[Regra da Cadeia]

$$15.12 \quad \frac{du}{dx} = \frac{1}{dx/du}$$

$$15.13 \quad \frac{dy}{dx} = \frac{dy/du}{dx/du}$$

Derivadas das funções trigonométricas e trigonométricas inversas

$$15.14 \quad \frac{d}{dx} \operatorname{sen} u = \cos u \frac{du}{dx}$$

$$15.15 \quad \frac{d}{dx} \cos u = -\operatorname{sen} u \frac{du}{dx}$$

$$15.16 \quad \frac{d}{dx} \operatorname{tg} u = \sec^2 u \frac{du}{dx}$$

$$15.17 \quad \frac{d}{dx} \cot u = -\operatorname{cosec}^2 u \frac{du}{dx}$$

$$15.18 \quad \frac{d}{dx} \sec u = \sec u \operatorname{tg} u \frac{du}{dx}$$

$$15.19 \quad \frac{d}{dx} \operatorname{cosec} u = -\operatorname{cosec} u \operatorname{cotg} u \frac{du}{dx}$$

$$15.20 \quad \frac{d}{dx} \operatorname{arc} \operatorname{sen} u = \frac{1}{\sqrt{1-u^2}} \frac{du}{dx}$$

$$\left[-\frac{\pi}{2} < \operatorname{arc} \operatorname{sen} u < \frac{\pi}{2} \right]$$

$$15.21 \quad \frac{d}{dx} \operatorname{arc} \cos u = \frac{-1}{\sqrt{1-u^2}} \frac{du}{dx}$$

$$[0 < \operatorname{arc} \cos u < \pi]$$

$$15.22 \quad \frac{d}{dx} \operatorname{arc} \operatorname{tg} u = \frac{1}{1+u^2} \frac{du}{dx}$$

$$\left[-\frac{\pi}{2} < \operatorname{arc} \operatorname{tg} u < \frac{\pi}{2} \right]$$

$$15.23 \quad \frac{d}{dx} \operatorname{arc} \operatorname{cotg} u = \frac{-1}{1+u^2} \frac{du}{dx}$$

$$[0 < \operatorname{arc} \operatorname{cotg} u < \pi]$$

$$15.24 \quad \frac{d}{dx} \operatorname{arc} \sec u = \frac{1}{|u|\sqrt{u^2-1}} \frac{du}{dx} = \frac{\pm 1}{u\sqrt{u^2-1}} \frac{du}{dx}$$

$$\left[\begin{array}{l} + \operatorname{se} 0 < \operatorname{arc} \sec u < \pi/2 \\ - \operatorname{se} \pi/2 < \operatorname{arc} \sec u < \pi \end{array} \right]$$

$$15.25 \quad \frac{d}{dx} \operatorname{arc} \operatorname{cosec} u = \frac{-1}{|u|\sqrt{u^2-1}} \frac{du}{dx} = \frac{\mp 1}{u\sqrt{u^2-1}} \frac{du}{dx}$$

$$\left[\begin{array}{l} - \operatorname{se} 0 < \operatorname{arc} \operatorname{cosec} u < \pi/2 \\ + \operatorname{se} -\pi/2 < \operatorname{arc} \operatorname{cosec} u < 0 \end{array} \right]$$

Derivadas das funções exponenciais e logarítmicas

$$15.26 \quad \frac{d}{dx} \log_a u = \frac{\log_a e}{u} \frac{du}{dx}$$

[a ≠ 0, 1]

$$15.27 \quad \frac{d}{dx} \ln u = \frac{d}{dx} \log_e u = \frac{1}{u} \frac{du}{dx}$$

$$15.28 \quad \frac{d}{dx} a^u = a^u \ln a \frac{du}{dx}$$

$$15.29 \quad \frac{d}{dx} e^u = e^u \frac{du}{dx}$$

$$15.30 \quad \frac{d}{dx} u^v = \frac{d}{dx} e^{v \ln u} = e^{v \ln u} \frac{d}{dx} [v \ln u] = v u^{v-1} \frac{du}{dx} + u^v \ln u \frac{dv}{dx}$$

Derivadas das funções hiperbólicas e hiperbólicas inversas

$$15.31 \quad \frac{d}{dx} \sinh u = \cosh u \frac{du}{dx}$$

$$15.32 \quad \frac{d}{dx} \cosh u = \sinh u \frac{du}{dx}$$

$$15.33 \quad \frac{d}{dx} \operatorname{tgh} u = \operatorname{sech}^2 u \frac{du}{dx}$$

$$15.34 \quad \frac{d}{dx} \operatorname{cotgh} u = -\operatorname{cosech}^2 u \frac{du}{dx}$$

$$15.35 \quad \frac{d}{dx} \operatorname{sech} u = -\operatorname{sech} u \operatorname{tgh} u \frac{du}{dx}$$

$$15.36 \quad \frac{d}{dx} \operatorname{cosech} u = -\operatorname{cosech} u \operatorname{cotgh} u \frac{du}{dx}$$

$$15.37 \quad \frac{d}{dx} \operatorname{arc} \sinh u = \frac{1}{\sqrt{u^2+1}} \frac{du}{dx}$$

$$15.38 \quad \frac{d}{dx} \operatorname{arc} \cosh u = \frac{\pm 1}{\sqrt{u^2-1}} \frac{du}{dx}$$

$$\left[\begin{array}{l} + \text{ se arc cosh } u > 0, u > 1 \\ - \text{ se arc cosh } u < 0, u > 1 \end{array} \right]$$

$$15.39 \quad \frac{d}{dx} \operatorname{arc} \operatorname{tgh} u = \frac{1}{1-u^2} \frac{du}{dx}$$

$$[-1 < u < 1]$$

$$15.40 \quad \frac{d}{dx} \operatorname{arc} \operatorname{cotgh} u = \frac{1}{1-u^2} \frac{du}{dx}$$

$$[u > 1 \text{ ou } u < -1]$$

$$15.41 \quad \frac{d}{dx} \operatorname{arc} \operatorname{sech} u = \frac{\mp 1}{u\sqrt{1-u^2}} \frac{du}{dx}$$

$$\left[\begin{array}{l} - \text{ se arc sech } u > 0, 0 < u < 1 \\ + \text{ se arc sech } u < 0, 0 < u < 1 \end{array} \right]$$

$$15.42 \quad \frac{d}{dx} \operatorname{arc} \operatorname{cosech} u = \frac{-1}{|u|\sqrt{1+u^2}} \frac{du}{dx} = \frac{\mp 1}{u\sqrt{1+u^2}} \frac{du}{dx}$$

$$[- \text{ se } u > 0, + \text{ se } u < 0]$$

Derivadas superiores

As derivadas segunda, terceira e superiores são definidas como segue.

$$15.43 \quad \text{Derivada segunda} = \frac{d}{dx} \left(\frac{dy}{dx} \right) = \frac{d^2 y}{dx^2} = f''(x) = y''$$

$$15.44 \quad \text{Derivada terceira} = \frac{d}{dx} \left(\frac{d^2 y}{dx^2} \right) = \frac{d^3 y}{dx^3} = f'''(x) = y'''$$

$$15.45 \quad \text{Derivada enésima} = \frac{d}{dx} \left(\frac{d^{n-1} y}{dx^{n-1}} \right) = \frac{d^n y}{dx^n} = f^{(n)}(x) = y^{(n)}$$

Regra de Leibniz para derivadas superiores de produtos

Seja D^p o operador $\frac{d^p}{dx^p}$, de modo que $D^p u = \frac{d^p u}{dx^p} = p$ -ésima derivada de u . Então,

$$15.46 \quad D^n(uv) = uD^n v + \binom{n}{1}(Du)(D^{n-1}v) + \binom{n}{2}(D^2u)(D^{n-2}v) + \dots + vD^n u$$

onde $\binom{n}{1}, \binom{n}{2}, \dots$ são os coeficientes binomiais [ver 3.5].

Como casos especiais, temos:

$$15.47 \quad \frac{d^2}{dx^2}(uv) = u \frac{d^2 v}{dx^2} + 2 \frac{du}{dx} \frac{dv}{dx} + v \frac{d^2 u}{dx^2}$$

$$15.48 \quad \frac{d^3}{dx^3}(uv) = u \frac{d^3 v}{dx^3} + 3 \frac{du}{dx} \frac{d^2 v}{dx^2} + 3 \frac{d^2 u}{dx^2} \frac{dv}{dx} + v \frac{d^3 u}{dx^3}$$

Diferenciais

Seja $y = f(x)$ e $\Delta y = f(x + \Delta x) - f(x)$. Então,

$$15.49 \quad \frac{\Delta y}{\Delta x} = \frac{f(x + \Delta x) - f(x)}{\Delta x} = f'(x) + \epsilon = \frac{dy}{dx} + \epsilon$$

onde $\epsilon \rightarrow 0$ com $\Delta x \rightarrow 0$. Assim,

$$15.50 \quad \Delta y = f'(x)\Delta x + \epsilon\Delta x$$

Se chamamos $\Delta x = dx$ a *diferencial* de x , então definimos a *diferencial* de y por

$$15.51 \quad dy = f'(x) dx$$

Regras para diferenciais

As regras para diferenciais são exatamente análogas àquelas para derivadas. Como exemplo, observamos que

$$15.52 \quad d(u \pm v \pm w \pm \dots) = du \pm dv \pm dw \pm \dots \quad [\text{número finito de parcelas}]$$

$$15.53 \quad d(uv) = u dv + v du$$

$$15.54 \quad d\left(\frac{u}{v}\right) = \frac{v du - u dv}{v^2}$$

$$15.55 \quad d(u^n) = nu^{n-1} du$$

$$15.56 \quad d(\text{sen } u) = \cos u du$$

$$15.57 \quad d(\text{cos } u) = -\text{sen } u du$$

Derivadas parciais

Seja $z = f(x, y)$ uma função das duas variáveis x e y . Então, definimos a *derivada parcial* de z ou $f(x, y)$ em relação a x , mantendo y constante, por

$$15.58 \quad \frac{\partial f}{\partial x} = \lim_{\Delta x \rightarrow 0} \frac{f(x + \Delta x, y) - f(x, y)}{\Delta x}$$

Esta derivada parcial é também denotada por $\partial z / \partial x$, f_x ou z_x .

Analogamente, a derivada parcial de $z = f(x, y)$ em relação a y , mantendo x constante, é definida por

$$15.59 \quad \frac{\partial f}{\partial y} = \lim_{\Delta y \rightarrow 0} \frac{f(x, y + \Delta y) - f(x, y)}{\Delta y}$$

Esta derivada parcial é também denotada por $\partial z / \partial y$, f_y ou z_y .

As derivadas parciais de ordens superiores podem ser definidas por:

$$15.60 \quad \frac{\partial^2 f}{\partial x^2} = \frac{\partial}{\partial x} \left(\frac{\partial f}{\partial x} \right), \quad \frac{\partial^2 f}{\partial y^2} = \frac{\partial}{\partial y} \left(\frac{\partial f}{\partial y} \right)$$

$$15.61 \quad \frac{\partial^2 f}{\partial x \partial y} = \frac{\partial}{\partial x} \left(\frac{\partial f}{\partial y} \right), \quad \frac{\partial^2 f}{\partial y \partial x} = \frac{\partial}{\partial y} \left(\frac{\partial f}{\partial x} \right)$$

Os resultados em 15.61 serão iguais se as funções e suas derivadas parciais forem contínuas; ou seja, em tais casos, a ordem de derivação não faz diferença.

Extensões para funções de mais de duas variáveis são totalmente análogas.

Diferenciais de várias variáveis

A diferencial de $z = f(x, y)$ é definida como

$$15.62 \quad dz = df = \frac{\partial f}{\partial x} dx + \frac{\partial f}{\partial y} dy$$

onde $dx = \Delta x$ e $dy = \Delta y$. Observe que dz é uma função de quatro variáveis, a saber x , y , dx e dy , e é linear nas variáveis dx e dy .

Extensões para funções de mais de duas variáveis são totalmente análogas.

Exemplo Seja $z = x^2 + 5xy + 2y^3$. Então

$$z_x = 2x + 5y \quad \text{e} \quad z_y = 5x + 6y^2$$

e, portanto,

$$dz = (2x + 5y) dx + (5x + 6y^2) dy$$

Suponha que queremos encontrar dz para $dx = 2$, $dy = 3$ no ponto $P(4, 1)$, ou seja, quando $x = 4$ e $y = 1$. A substituição resulta em

$$dz = (8 + 5)2 + (20 + 6)3 = 26 + 78 = 104$$

16

Integrais Indefinidas

Definição de uma integral indefinida

Se $\frac{dy}{dx} = f(x)$, então y é a função cuja derivada é $f(x)$ e é chamada de *antiderivada* de $f(x)$ ou *integral indefinida* de $f(x)$, denotada por $\int f(x) dx$. Analogamente, se $y = \int f(u) du$, então $\frac{dy}{du} = f(u)$. Como a derivada de uma constante é zero, todas as integrais indefinidas diferem por uma constante arbitrária.

Para a definição de uma integral definida, ver 18.1. O processo de determinação de uma integral é chamado *integração*.

Regras gerais de integração

No que segue, u , v e w são funções de x ; a , b , p e q são quaisquer constantes, com restrições quando indicado; $e = 2,71828\dots$ é a base natural dos logaritmos; $\ln u$ denota o logaritmo natural de u , onde supomos $u > 0$ [em geral, para estender fórmulas aos casos em que também $u < 0$, substitua $\ln u$ por $\ln |u|$]; todos os ângulos são em radianos; todas as constantes de integração estão omitidas mas ficam subentendidas.

$$16.1 \quad \int a \, dx = ax$$

$$16.2 \quad \int af(x) \, dx = a \int f(x) \, dx$$

$$16.3 \quad \int (u \pm v \pm w \pm \dots) \, dx = \int u \, dx \pm \int v \, dx \pm \int w \, dx \pm \dots$$

[finitas parcelas]

$$16.4 \quad \int u \, dv = uv - \int v \, du$$

[Integração por partes]

Para integração por partes generalizada, ver 16.48.

$$16.5 \quad \int f(ax) \, dx = \frac{1}{a} \int f(u) \, du$$

[$u = ax$]

$$16.6 \quad \int F\{f(x)\} \, dx = \int F(u) \frac{dx}{du} \, du = \int \frac{F(u)}{f'(x)} \, du$$

[$u = f(x)$]

$$16.7 \quad \int u^n \, du = \frac{u^{n+1}}{n+1}, \quad n \neq -1$$

[$n \neq -1$; para $n = -1$, ver 16.8]

$$16.8 \quad \int \frac{du}{u} = \ln|u|$$

[$\ln u$, se $u > 0$; $\ln(-u)$, se $u < 0$]

$$16.9 \quad \int e^u \, du = e^u$$

$$16.10 \quad \int a^u \, du = \int e^{u \ln a} \, du = \frac{e^{u \ln a}}{\ln a} = \frac{a^u}{\ln a}$$

[$a > 0$, $a \neq 1$]

$$16.11 \quad \int \operatorname{sen} u \, du = -\cos u$$

$$16.12 \quad \int \operatorname{cos} u \, du = \operatorname{sen} u$$

- 16.13 $\int \operatorname{tg} u \, du = \ln \sec u = -\ln \cos u$
- 16.14 $\int \operatorname{cotg} u \, du = \ln \operatorname{sen} u$
- 16.15 $\int \sec u \, du = \ln(\sec u + \operatorname{tg} u) = \ln \operatorname{tg} \left(\frac{u}{2} + \frac{\pi}{4} \right)$
- 16.16 $\int \operatorname{cosec} u \, du = \ln(\operatorname{cosec} u - \cot u) = \ln \operatorname{tg} \frac{u}{2}$
- 16.17 $\int \sec^2 u \, du = \operatorname{tg} u$
- 16.18 $\int \operatorname{cosec}^2 u \, du = -\operatorname{cotg} u$
- 16.19 $\int \operatorname{tg}^2 u \, du = \operatorname{tg} u - u$
- 16.20 $\int \operatorname{cotg}^2 u \, du = -\operatorname{cotg} u - u$
- 16.21 $\int \operatorname{sen}^2 u \, du = \frac{u}{2} - \frac{\operatorname{sen} 2u}{4} = \frac{1}{2}(u - \operatorname{sen} u \cos u)$
- 16.22 $\int \operatorname{cos}^2 u \, du = \frac{u}{2} + \frac{\operatorname{sen} 2u}{4} = \frac{1}{2}(u + \operatorname{sen} u \cos u)$
- 16.23 $\int \sec u \operatorname{tg} u \, du = \sec u$
- 16.24 $\int \operatorname{cosec} u \operatorname{cotg} u \, du = -\operatorname{cosec} u$
- 16.25 $\int \operatorname{senh} u \, du = \operatorname{cosh} u$
- 16.26 $\int \operatorname{cosh} u \, du = \operatorname{senh} u$
- 16.27 $\int \operatorname{tgh} u \, du = \ln \operatorname{cosh} u$
- 16.28 $\int \operatorname{cotgh} u \, du = \ln \operatorname{senh} u$
- 16.29 $\int \operatorname{sech} u \, du = \operatorname{arc} \operatorname{sen}(\operatorname{tgh} u) = 2 \operatorname{arc} \operatorname{tg} e^u$
- 16.30 $\int \operatorname{cosech} u \, du = \ln \operatorname{tgh} \frac{u}{2} = -\operatorname{arc} \operatorname{cotgh} e^u$
- 16.31 $\int \operatorname{sech}^2 u \, du = \operatorname{tgh} u$
- 16.32 $\int \operatorname{cosech}^2 u \, du = -\operatorname{cotgh} u$
- 16.33 $\int \operatorname{tgh}^2 u \, du = u - \operatorname{tgh} u$
- 16.34 $\int \operatorname{cotgh}^2 u \, du = u - \operatorname{cotgh} u$
- 16.35 $\int \operatorname{senh}^2 u \, du = \frac{\operatorname{senh} 2u}{4} - \frac{u}{2} = \frac{1}{2}(\operatorname{senh} u \operatorname{cosh} u - u)$
- 16.36 $\int \operatorname{cosh}^2 u \, du = \frac{\operatorname{senh} 2u}{4} + \frac{u}{2} = \frac{1}{2}(\operatorname{senh} u \operatorname{cosh} u + u)$
- 16.37 $\int \operatorname{sech} u \operatorname{tgh} u \, du = -\operatorname{sech} u$
- 16.38 $\int \operatorname{cosech} u \operatorname{cotgh} u \, du = -\operatorname{cosech} u$

$$16.39 \int \frac{du}{u^2 + a^2} = \frac{1}{a} \operatorname{arc\,tg} \frac{u}{a}$$

$$16.40 \int \frac{du}{u^2 - a^2} = \frac{1}{2a} \ln \left(\frac{u-a}{u+a} \right) = -\frac{1}{a} \operatorname{arc\,cotgh} \frac{u}{a} \quad [u^2 > a^2]$$

$$16.41 \int \frac{du}{a^2 - u^2} = \frac{1}{2a} \ln \left(\frac{a+u}{a-u} \right) = \frac{1}{a} \operatorname{arc\,tgh} \frac{u}{a} \quad [u^2 < a^2]$$

$$16.42 \int \frac{du}{\sqrt{a^2 - u^2}} = \operatorname{arc\,sen} \frac{u}{a}$$

$$16.43 \int \frac{du}{\sqrt{u^2 + a^2}} = \ln(u + \sqrt{u^2 + a^2}) = \operatorname{arc\,senh} \frac{u}{a}$$

$$16.44 \int \frac{du}{\sqrt{u^2 - a^2}} = \ln(u + \sqrt{u^2 - a^2})$$

$$16.45 \int \frac{du}{u\sqrt{u^2 - a^2}} = \frac{1}{a} \operatorname{arc\,sec} \left| \frac{u}{a} \right|$$

$$16.46 \int \frac{du}{u\sqrt{u^2 + a^2}} = -\frac{1}{a} \ln \left(\frac{a + \sqrt{u^2 + a^2}}{u} \right)$$

$$16.47 \int \frac{du}{u\sqrt{a^2 - u^2}} = -\frac{1}{a} \ln \left(\frac{a + \sqrt{a^2 - u^2}}{u} \right)$$

$$16.48 \int f^{(n)} g \, dx = f^{(n-1)} g - f^{(n-2)} g' + f^{(n-3)} g'' - \dots (-1)^n \int f g^{(n)} \, dx$$

Isto é a *integração por partes generalizada*.

Transformações importantes

Na prática, frequentemente uma integral pode ser simplificada usando uma substituição ou transformação adequadas juntamente com a Fórmula 16.6. A lista seguinte fornece algumas transformações e seus efeitos.

$$16.49 \int F(ax + b) \, dx = \frac{1}{a} \int F(u) \, du \quad \text{onde } u = ax + b$$

$$16.50 \int F(\sqrt{ax + b}) \, dx = \frac{2}{a} \int u F(u) \, du \quad \text{onde } u = \sqrt{ax + b}$$

$$16.51 \int F(\sqrt[3]{ax + b}) \, dx = \frac{n}{a} \int u^{n-1} F(u) \, du \quad \text{onde } u = \sqrt[3]{ax + b}$$

$$16.52 \int F(\sqrt{a^2 - x^2}) \, dx = a \int F(a \cos u) \cos u \, du \quad \text{onde } x = a \operatorname{sen} u$$

$$16.53 \int F(\sqrt{x^2 + a^2}) \, dx = a \int F(a \sec u) \sec^2 u \, du \quad \text{onde } x = a \operatorname{tg} u$$

$$16.54 \int F(\sqrt{x^2 - a^2}) \, dx = a \int F(a \operatorname{tg} u) \sec u \operatorname{tg} u \, du \quad \text{onde } x = a \operatorname{sec} u$$

$$16.55 \int F(e^{ax}) \, dx = \frac{1}{a} \int \frac{F(u)}{u} \, du \quad \text{onde } u = e^{ax}$$

$$16.56 \quad \int F(\ln x) dx = \int F(u) e^u du \quad \text{onde } u = \ln x$$

$$16.57 \quad \int F\left(\arcsen \frac{x}{a}\right) dx = a \int F(u) \cos u du \quad \text{onde } u = \arcsen \frac{x}{a}$$

Resultados análogos aplicam-se a outras funções trigonométricas inversas.

$$16.58 \quad \int F(\sen x, \cos x) dx = 2 \int F\left(\frac{2u}{1+u^2}, \frac{1-u^2}{1+u^2}\right) \frac{du}{1+u^2} \quad \text{onde } u = \operatorname{tg} \frac{x}{2}$$

17

Tabelas de Integrais Indefinidas Especiais

Aqui fornecemos tabelas de integrais indefinidas especiais. Como enunciamos nas observações acima da regra 16.1, também nestas tabelas a , b , p , q e n são constantes, com restrições quando indicado; $e = 2,71828\dots$ é a base natural dos logaritmos; $\ln u$ denota o logaritmo natural de u , onde supomos $u > 0$ [em geral, para estender fórmulas aos casos em que também $u < 0$, substitua $\ln u$ por $\ln |u|$]; todos os ângulos são em radianos; todas as constantes de integração estão omitidas mas ficam subentendidas. Supomos em todos os casos que a divisão por zero está excluída.

Nossas integrais estão divididas em tipos que envolvem as seguintes funções e expressões algébricas:

- | | | |
|---------------------------------------|---------------------------------------|------------------------------------|
| (1) $ax + b$ | (13) $\sqrt{ax^2 + bx + c}$ | (25) e^{ax} |
| (2) $\sqrt{ax + b}$ | (14) $x^3 + a^3$ | (26) $\ln x$ |
| (3) $ax + b$ e $px + q$ | (15) $x^4 \pm a^4$ | (27) $\sinh ax$ |
| (4) $\sqrt{ax + b}$ e $px + q$ | (16) $x^n \pm a^n$ | (28) $\cosh ax$ |
| (5) $\sqrt{ax + b}$ e $\sqrt{px + q}$ | (17) $\sin ax$ | (29) $\sinh ax$ e $\cosh ax$ |
| (6) $x^2 + a^2$ | (18) $\cos ax$ | (30) $\operatorname{tgh} ax$ |
| (7) $x^2 - a^2$, com $x^2 > a^2$ | (19) $\sin ax$ e $\cos ax$ | (31) $\operatorname{cotgh} ax$ |
| (8) $a^2 - x^2$, com $x^2 < a^2$ | (20) $\operatorname{tg} ax$ | (32) $\operatorname{sech} ax$ |
| (9) $\sqrt{x^2 + a^2}$ | (21) $\operatorname{cotg} ax$ | (33) $\operatorname{cosech} ax$ |
| (10) $\sqrt{x^2 - a^2}$ | (22) $\sec ax$ | (34) funções hiperbólicas inversas |
| (11) $\sqrt{a^2 - x^2}$ | (23) $\operatorname{cosec} ax$ | |
| (12) $ax^2 + bx + c$ | (24) funções trigonométricas inversas | |

Algumas integrais contêm os números de Bernoulli, B_n , e os números de Euler, E_n , definidos no Capítulo 23.

1 Integrais envolvendo $ax + b$

$$17.1.1 \quad \int \frac{dx}{ax + b} = \frac{1}{a} \ln(ax + b)$$

$$17.1.2 \quad \int \frac{x dx}{ax + b} = \frac{x}{a} - \frac{b}{a^2} \ln(ax + b)$$

$$17.1.3 \quad \int \frac{x^2 dx}{ax + b} = \frac{(ax + b)^2}{2a^3} - \frac{2b(ax + b)}{a^3} + \frac{b^2}{a^3} \ln(ax + b)$$

$$17.1.4 \quad \int \frac{dx}{x(ax + b)} = \frac{1}{b} \ln\left(\frac{x}{ax + b}\right)$$

$$17.1.5 \quad \int \frac{dx}{x^2(ax + b)} = -\frac{1}{bx} + \frac{a}{b^2} \ln\left(\frac{ax + b}{x}\right)$$

$$17.1.6 \quad \int \frac{dx}{(ax+b)^2} = \frac{-1}{a(ax+b)}$$

$$17.1.7 \quad \int \frac{x dx}{(ax+b)^2} = \frac{b}{a^2(ax+b)} + \frac{1}{a^2} \ln(ax+b)$$

$$17.1.8 \quad \int \frac{x^2 dx}{(ax+b)^2} = \frac{ax+b}{a^3} - \frac{b^2}{a^3(ax+b)} - \frac{2b}{a^3} \ln(ax+b)$$

$$17.1.9 \quad \int \frac{dx}{x(ax+b)^2} = \frac{1}{b(ax+b)} + \frac{1}{b^2} \ln\left(\frac{x}{ax+b}\right)$$

$$17.1.10 \quad \int \frac{dx}{x^2(ax+b)^2} = \frac{-a}{b^2(ax+b)} - \frac{1}{b^2x} + \frac{2a}{b^3} \ln\left(\frac{ax+b}{x}\right)$$

$$17.1.11 \quad \int \frac{dx}{(ax+b)^3} = \frac{-1}{2(ax+b)^2}$$

$$17.1.12 \quad \int \frac{x dx}{(ax+b)^3} = \frac{-1}{a^2(ax+b)} + \frac{b}{2a^2(ax+b)^2}$$

$$17.1.13 \quad \int \frac{x^2 dx}{(ax+b)^3} = \frac{2b}{a^3(ax+b)} - \frac{b^2}{2a^3(ax+b)^2} + \frac{1}{a^3} \ln(ax+b)$$

$$17.1.14 \quad \int (ax+b)^n dx = \frac{(ax+b)^{n+1}}{(n+1)a} \quad [n \neq -1; \text{ ver 17.1.1}]$$

$$17.1.15 \quad \int x(ax+b)^n dx = \frac{(ax+b)^{n+2}}{(n+2)a^2} - \frac{b(ax+b)^{n+1}}{(n+1)a^2} \quad [n \neq -1, -2; \text{ ver 17.1.2 e 7}]$$

$$17.1.16 \quad \int x^2(ax+b)^n dx = \frac{(ax+b)^{n+3}}{(n+3)a^3} - \frac{2b(ax+b)^{n+2}}{(n+2)a^3} + \frac{b^2(ax+b)^{n+1}}{(n+1)a^3} \quad [n \neq -1, -2, -3]$$

$$17.1.17 \quad \int x^m(ax+b)^n dx = \begin{cases} \frac{x^{m+1}(ax+b)^n}{m+n+1} + \frac{nb}{m+n+1} \int x^m(ax+b)^{n-1} dx \\ \frac{x^m(ax+b)^{n+1}}{(m+n+1)a} - \frac{mb}{(m+n+1)a} \int x^{m-1}(ax+b)^n dx \\ \frac{-x^{m+1}(ax+b)^{n+1}}{(n+1)b} + \frac{m+n+2}{(n+1)b} \int x^m(ax+b)^{n+1} dx \end{cases}$$

2 Integrais envolvendo $\sqrt{ax+b}$

$$17.2.1 \quad \int \frac{dx}{\sqrt{ax+b}} = \frac{2\sqrt{ax+b}}{a}$$

$$17.2.2 \quad \int \frac{x dx}{\sqrt{ax+b}} = \frac{2(ax-2b)}{3a^2} \sqrt{ax+b}$$

$$17.2.3 \quad \int \frac{x^2 dx}{\sqrt{ax+b}} = \frac{2(3a^2x^2 - 4abx + 8b^2)}{15a^3} \sqrt{ax+b}$$

$$17.2.4 \quad \int \frac{dx}{x\sqrt{ax+b}} = \frac{1}{\sqrt{b}} \ln\left(\frac{\sqrt{ax+b} - \sqrt{b}}{\sqrt{ax+b} + \sqrt{b}}\right) = \frac{2}{\sqrt{-b}} \operatorname{arc\,tg} \sqrt{\frac{ax+b}{-b}}$$

$$17.2.5 \quad \int \frac{dx}{x^2\sqrt{ax+b}} = -\frac{\sqrt{ax+b}}{bx} - \frac{a}{2b} \int \frac{dx}{x\sqrt{ax+b}}$$

$$17.2.6 \quad \int \sqrt{ax+b} \, dx = \frac{2\sqrt{(ax+b)^3}}{3a}$$

$$17.2.7 \quad \int x\sqrt{ax+b} \, dx = \frac{2(3ax-2b)}{15a^2} \sqrt{(ax+b)^3}$$

$$17.2.8 \quad \int x^2\sqrt{ax+b} \, dx = \frac{2(15a^2x^2-12abx+8b^2)}{105a^3} \sqrt{(ax+b)^3}$$

$$17.2.9 \quad \int \frac{\sqrt{ax+b}}{x} \, dx = 2\sqrt{ax+b} + b \int \frac{dx}{x\sqrt{ax+b}}$$

$$17.2.10 \quad \int \frac{\sqrt{ax+b}}{x^2} \, dx = -\frac{\sqrt{ax+b}}{x} + \frac{a}{2} \int \frac{dx}{x\sqrt{ax+b}}$$

$$17.2.11 \quad \int \frac{x^m}{\sqrt{ax+b}} \, dx = \frac{2x^m\sqrt{ax+b}}{(2m+1)a} - \frac{2mb}{(2m+1)a} \int \frac{x^{m-1}}{\sqrt{ax+b}} \, dx$$

$$17.2.12 \quad \int \frac{dx}{x^m\sqrt{ax+b}} = -\frac{\sqrt{ax+b}}{(m-1)bx^{m-1}} - \frac{(2m-3)a}{(2m-2)b} \int \frac{dx}{x^{m-1}\sqrt{ax+b}} \quad [m \neq 1]$$

$$17.2.13 \quad \int x^m\sqrt{ax+b} \, dx = \frac{2x^m}{(2m+3)a} (ax+b)^{3/2} - \frac{2mb}{(2m+3)a} \int x^{m-1}\sqrt{ax+b} \, dx$$

$$17.2.14 \quad \int \frac{\sqrt{ax+b}}{x^m} \, dx = -\frac{\sqrt{ax+b}}{(m-1)x^{m-1}} + \frac{a}{2(m-1)} \int \frac{dx}{x^{m-1}\sqrt{ax+b}} \quad [m \neq 1]$$

$$17.2.15 \quad \int \frac{\sqrt{ax+b}}{x^m} \, dx = \frac{-(ax+b)^{3/2}}{(m-1)bx^{m-1}} - \frac{(2m-5)a}{(2m-2)b} \int \frac{\sqrt{ax+b}}{x^{m-1}} \, dx \quad [m \neq 1]$$

$$17.2.16 \quad \int (ax+b)^{m/2} \, dx = \frac{2(ax+b)^{(m+2)/2}}{a^2(m+2)} \quad [m \neq -2]$$

$$17.2.17 \quad \int x(ax+b)^{m/2} \, dx = \frac{2(ax+b)^{(m+4)/2}}{a^2(m+4)} - \frac{2b(ax+b)^{(m+2)/2}}{a^2(m+2)}$$

$$17.2.18 \quad \int x^2(ax+b)^{m/2} \, dx = \frac{2(ax+b)^{(m+6)/2}}{a^3(m+6)} - \frac{4b(ax+b)^{(m+4)/2}}{a^3(m+4)} + \frac{2b^2(ax+b)^{(m+2)/2}}{a^3(m+2)}$$

$$17.2.19 \quad \int \frac{(ax+b)^{m/2}}{x} \, dx = \frac{2(ax+b)^{m/2}}{m} + b \int \frac{(ax+b)^{(m-2)/2}}{x} \, dx$$

$$17.2.20 \quad \int \frac{(ax+b)^{m/2}}{x^2} \, dx = -\frac{(ax+b)^{(m+2)/2}}{bx} + \frac{ma}{2b} \int \frac{(ax+b)^{m/2}}{x} \, dx$$

$$17.2.21 \quad \int \frac{dx}{x(ax+b)^{m/2}} = \frac{2}{(m-2)b(ax+b)^{(m-2)/2}} + \frac{1}{b} \int \frac{dx}{x(ax+b)^{(m-2)/2}}$$

3 Integrais envolvendo $ax + b$ e $px + q$

$$17.3.1 \quad \int \frac{dx}{(ax+b)(px+q)} = \frac{1}{bp-aq} \ln\left(\frac{px+q}{ax+b}\right)$$

$$17.3.2 \quad \int \frac{x \, dx}{(ax+b)(px+q)} = \frac{1}{bp-aq} \left\{ \frac{b}{a} \ln(ax+b) - \frac{q}{p} \ln(px+q) \right\}$$

$$17.3.3 \quad \int \frac{dx}{(ax+b)^2(px+q)} = \frac{1}{bp-aq} \left\{ \frac{1}{ax+b} + \frac{p}{bp-aq} \ln\left(\frac{px+q}{ax+b}\right) \right\}$$

$$17.3.4 \int \frac{x \, dx}{(ax+b)^2(px+q)} = \frac{1}{bp-aq} \left\{ \frac{q}{bp-aq} \ln \left(\frac{ax+b}{px+q} \right) - \frac{b}{a(ax+b)} \right\}$$

$$17.3.5 \int \frac{x^2 \, dx}{(ax+b)^2(px+q)} = \frac{b^2}{(bp-aq)a^2(ax+b)} + \frac{1}{(bp-aq)^2} \left\{ \frac{q^2}{p} \ln(px+q) + \frac{b(bp-2aq)}{a^2} \ln(ax+b) \right\}$$

$$17.3.6 \int \frac{dx}{(ax+b)^m(px+q)^n} = \frac{-1}{(n-1)(bp-aq)} \left\{ \frac{1}{(ax+b)^{m-1}(px+q)^{n-1}} \right. \\ \left. + a(m+n-2) \int \frac{dx}{(ax+b)^m(px+q)^{n-1}} \right\}$$

$$17.3.7 \int \frac{ax+b}{px+q} \, dx = \frac{ax}{p} + \frac{bp-aq}{p^2} \ln(px+q)$$

$$17.3.8 \int \frac{(ax+b)^m}{(px+q)^n} \, dx = \begin{cases} \frac{-1}{(n-1)(bp-aq)} \left\{ \frac{(ax+b)^{m+1}}{(px+q)^{n-1}} + (n-m-2)a \int \frac{(ax+b)^m}{(px+q)^{n-1}} \, dx \right\} \\ \frac{-1}{(n-m-1)p} \left\{ \frac{(ax+b)^m}{(px+q)^{n-1}} + m(bp-aq) \int \frac{(ax+b)^{m-1}}{(px+q)^n} \, dx \right\} \\ \frac{-1}{(n-1)p} \left\{ \frac{(ax+b)^m}{(px+q)^{n-1}} - ma \int \frac{(ax+b)^{m-1}}{(px+q)^{n-1}} \, dx \right\} \end{cases}$$

4 Integrais envolvendo $\sqrt{ax+b}$ e $px+q$

$$17.4.1 \int \frac{px+q}{\sqrt{ax+b}} \, dx = \frac{2(apx+3aq-2bp)}{3a^2} \sqrt{ax+b}$$

$$17.4.2 \int \frac{dx}{(px+q)\sqrt{ax+b}} = \begin{cases} \frac{1}{\sqrt{bp-aq}\sqrt{p}} \ln \left(\frac{\sqrt{p(ax+b)} - \sqrt{bp-aq}}{\sqrt{p(ax+b)} + \sqrt{bp-aq}} \right) \\ \frac{2}{\sqrt{aq-bp}\sqrt{p}} \operatorname{arc\,tg} \sqrt{\frac{p(ax+b)}{aq-bp}} \end{cases}$$

$$17.4.3 \int \frac{\sqrt{ax+b}}{px+q} \, dx = \begin{cases} \frac{2\sqrt{ax+b}}{p} + \frac{\sqrt{bp-aq}}{p\sqrt{p}} \ln \left(\frac{\sqrt{p(ax+b)} - \sqrt{bp-aq}}{\sqrt{p(ax+b)} + \sqrt{bp-aq}} \right) \\ \frac{2\sqrt{ax+b}}{p} - \frac{2\sqrt{aq-bp}}{p\sqrt{p}} \operatorname{arc\,tg} \sqrt{\frac{p(ax+b)}{aq-bp}} \end{cases}$$

$$17.4.4 \int (px+q)^n \sqrt{ax+b} \, dx = \frac{2(px+q)^{n+1} \sqrt{ax+b}}{(2n+3)p} + \frac{bp-aq}{(2n+3)p} \int \frac{(px+q)^n}{\sqrt{ax+b}}$$

$$17.4.5 \int \frac{dx}{(px+q)^n \sqrt{ax+b}} = \frac{\sqrt{ax+b}}{(n-1)(aq-bp)(px+q)^{n-1}} + \frac{(2n-3)a}{2(n-1)(aq-bp)} \int \frac{dx}{(px+q)^{n-1} \sqrt{ax+b}}$$

$$17.4.6 \int \frac{(px+q)^n}{\sqrt{ax+b}} \, dx = \frac{2(px+q)^n \sqrt{ax+b}}{(2n+1)a} + \frac{2n(aq-bp)}{(2n+1)a} \int \frac{(px+q)^{n-1} \, dx}{\sqrt{ax+b}}$$

$$17.4.7 \int \frac{\sqrt{ax+b}}{(px+q)^n} \, dx = \frac{-\sqrt{ax+b}}{(n-1)p(px+q)^{n-1}} + \frac{a}{2(n-1)p} \int \frac{dx}{(px+q)^{n-1} \sqrt{ax+b}} \quad [n \neq 1]$$

5 Integrais envolvendo $\sqrt{ax+b}$ e $\sqrt{px+q}$

$$17.5.1 \quad \int \frac{dx}{\sqrt{(ax+b)(px+q)}} = \begin{cases} \frac{2}{\sqrt{ap}} \ln(\sqrt{a(px+q)} + \sqrt{p(ax+b)}) \\ \frac{2}{\sqrt{-ap}} \operatorname{arc\,tg} \sqrt{\frac{-p(ax+b)}{a(px+q)}} \end{cases}$$

$$17.5.2 \quad \int \frac{x \, dx}{\sqrt{(ax+b)(px+q)}} = \frac{\sqrt{(ax+b)(px+q)}}{ap} - \frac{bp+aq}{2ap} \int \frac{dx}{\sqrt{(ax+b)(px+q)}}$$

$$17.5.3 \quad \int \sqrt{(ax+b)(px+q)} \, dx = \frac{2apx+bp+aq}{4ap} \sqrt{(ax+b)(px+q)} - \frac{(bp-aq)^2}{8ap} \int \frac{dx}{\sqrt{(ax+b)(px+q)}}$$

$$17.5.4 \quad \int \sqrt{\frac{px+q}{ax+b}} \, dx = \frac{\sqrt{(ax+b)(px+q)}}{a} + \frac{aq-bp}{2a} \int \frac{dx}{\sqrt{(ax+b)(px+q)}}$$

$$17.5.5 \quad \int \frac{dx}{(px+q)\sqrt{(ax+b)(px+q)}} = \frac{2\sqrt{ax+b}}{(aq-bp)\sqrt{px+q}}$$

6 Integrais envolvendo $x^2 + a^2$

$$17.6.1 \quad \int \frac{dx}{x^2+a^2} = \frac{1}{a} \operatorname{arc\,tg} \frac{x}{a}$$

$$17.6.2 \quad \int \frac{x \, dx}{x^2+a^2} = \frac{1}{2} \ln(x^2+a^2)$$

$$17.6.3 \quad \int \frac{x^2 \, dx}{x^2+a^2} = x - a \operatorname{arc\,tg} \frac{x}{a}$$

$$17.6.4 \quad \int \frac{x^3 \, dx}{x^2+a^2} = \frac{x^2}{2} - \frac{a^2}{2} \ln(x^2+a^2)$$

$$17.6.5 \quad \int \frac{dx}{x(x^2+a^2)} = \frac{1}{2a^2} \ln\left(\frac{x^2}{x^2+a^2}\right)$$

$$17.6.6 \quad \int \frac{dx}{x^2(x^2+a^2)} = -\frac{1}{a^2x} - \frac{1}{a^3} \operatorname{arc\,tg} \frac{x}{a}$$

$$17.6.7 \quad \int \frac{dx}{x^3(x^2+a^2)} = -\frac{1}{2a^2x^2} - \frac{1}{2a^4} \ln\left(\frac{x^2}{x^2+a^2}\right)$$

$$17.6.8 \quad \int \frac{dx}{(x^2+a^2)^2} = \frac{x}{2a^2(x^2+a^2)} + \frac{1}{2a^3} \operatorname{arc\,tg} \frac{x}{a}$$

$$17.6.9 \quad \int \frac{x \, dx}{(x^2+a^2)^2} = \frac{-1}{2(x^2+a^2)}$$

$$17.6.10 \quad \int \frac{x^2 \, dx}{(x^2+a^2)^2} = \frac{-x}{2(x^2+a^2)} + \frac{1}{2a} \operatorname{arc\,tg} \frac{x}{a}$$

$$17.6.11 \quad \int \frac{x^3 \, dx}{(x^2+a^2)^2} = \frac{a^2}{2(x^2+a^2)} + \frac{1}{2} \ln(x^2+a^2)$$

$$17.6.12 \quad \int \frac{dx}{x(x^2+a^2)^2} = \frac{1}{2a^2(x^2+a^2)} + \frac{1}{2a^4} \ln\left(\frac{x^2}{x^2+a^2}\right)$$

- 17.6.13 $\int \frac{dx}{x^2(x^2+a^2)^2} = -\frac{1}{a^4x} - \frac{x}{2a^4(x^2+a^2)} - \frac{3}{2a^5} \operatorname{arc\,tg} \frac{x}{a}$
- 17.6.14 $\int \frac{dx}{x^3(x^2+a^2)^2} = -\frac{1}{2a^4x^2} - \frac{1}{2a^4(x^2+a^2)} - \frac{1}{a^6} \ln\left(\frac{x^2}{x^2+a^2}\right)$
- 17.6.15 $\int \frac{dx}{(x^2+a^2)^n} = \frac{x}{2(n-1)a^2(x^2+a^2)^{n-1}} + \frac{2n-3}{(2n-2)a^2} \int \frac{dx}{(x^2+a^2)^{n-1}}$ $[n \neq 1]$
- 17.6.16 $\int \frac{x\,dx}{(x^2+a^2)^n} = \frac{-1}{2(n-1)(x^2+a^2)^{n-1}}$ $[n \neq 1]$
- 17.6.17 $\int \frac{dx}{x(x^2+a^2)^n} = \frac{1}{2(n-1)a^2(x^2+a^2)^{n-1}} + \frac{1}{a^2} \int \frac{dx}{x(x^2+a^2)^{n-1}}$ $[n \neq 1]$
- 17.6.18 $\int \frac{x^m dx}{(x^2+a^2)^n} = \int \frac{x^{m-2} dx}{(x^2+a^2)^{n-1}} - a^2 \int \frac{x^{m-2} dx}{(x^2+a^2)^n}$
- 17.6.19 $\int \frac{dx}{x^m(x^2+a^2)^n} = \frac{1}{a^2} \int \frac{dx}{x^m(x^2+a^2)^{n-1}} - \frac{1}{a^2} \int \frac{dx}{x^{m-2}(x^2+a^2)^n}$

7 Integrais envolvendo $x^2 - a^2$, com $x^2 > a^2$

- 17.7.1 $\int \frac{dx}{x^2 - a^2} = \frac{1}{2a} \ln\left(\frac{x-a}{x+a}\right) = -\frac{1}{a} \operatorname{arc\,cotgh} \frac{x}{a}$
- 17.7.2 $\int \frac{x\,dx}{x^2 - a^2} = \frac{1}{2} \ln(x^2 - a^2)$
- 17.7.3 $\int \frac{x^2 dx}{x^2 - a^2} = x + \frac{a}{2} \ln\left(\frac{x-a}{x+a}\right)$
- 17.7.4 $\int \frac{x^3 dx}{x^2 - a^2} = \frac{x^2}{2} + \frac{a^2}{2} \ln(x^2 - a^2)$
- 17.7.5 $\int \frac{dx}{x(x^2 - a^2)} = \frac{1}{2a^2} \ln\left(\frac{x^2 - a^2}{x^2}\right)$
- 17.7.6 $\int \frac{dx}{x^2(x^2 - a^2)} = \frac{1}{a^2x} + \frac{1}{2a^3} \ln\left(\frac{x-a}{x+a}\right)$
- 17.7.7 $\int \frac{dx}{x^3(x^2 - a^2)} = \frac{1}{2a^2x^2} - \frac{1}{2a^4} \ln\left(\frac{x^2}{x^2 - a^2}\right)$
- 17.7.8 $\int \frac{dx}{(x^2 - a^2)^2} = \frac{-x}{2a^2(x^2 - a^2)} - \frac{1}{4a^3} \ln\left(\frac{x-a}{x+a}\right)$
- 17.7.9 $\int \frac{x\,dx}{(x^2 - a^2)^2} = \frac{-1}{2(x^2 - a^2)}$
- 17.7.10 $\int \frac{x^2 dx}{(x^2 - a^2)^2} = \frac{-x}{2(x^2 - a^2)} + \frac{1}{4a} \ln\left(\frac{x-a}{x+a}\right)$
- 17.7.11 $\int \frac{x^3 dx}{(x^2 - a^2)^2} = \frac{-a^2}{2(x^2 - a^2)} + \frac{1}{2} \ln(x^2 - a^2)$
- 17.7.12 $\int \frac{dx}{x(x^2 - a^2)^2} = \frac{-1}{2a^2(x^2 - a^2)} + \frac{1}{2a^4} \ln\left(\frac{x^2}{x^2 - a^2}\right)$

$$\begin{aligned}
 17.7.13 \quad & \int \frac{dx}{x^2(x^2 - a^2)^2} = -\frac{1}{a^4 x} - \frac{x}{2a^4(x^2 - a^2)} - \frac{3}{4a^5} \ln\left(\frac{x - a}{x + a}\right) \\
 17.7.14 \quad & \int \frac{dx}{x^3(x^2 - a^2)^2} = -\frac{1}{2a^4 x^2} - \frac{1}{2a^4(x^2 - a^2)} + \frac{1}{a^6} \ln\left(\frac{x^2}{x^2 - a^2}\right) \\
 17.7.15 \quad & \int \frac{dx}{(x^2 - a^2)^n} = \frac{-x}{2(n-1)a^2(x^2 - a^2)^{n-1}} - \frac{2n-3}{(2n-2)a^2} \int \frac{dx}{(x^2 - a^2)^{n-1}} \quad [n \neq 1] \\
 17.7.16 \quad & \int \frac{x dx}{(x^2 - a^2)^n} = \frac{-1}{2(n-1)(x^2 - a^2)^{n-1}} \quad [n \neq 1] \\
 17.7.17 \quad & \int \frac{dx}{x(x^2 - a^2)^n} = \frac{-1}{2(n-1)a^2(x^2 - a^2)^{n-1}} - \frac{1}{a^2} \int \frac{dx}{x(x^2 - a^2)^{n-1}} \quad [n \neq 1] \\
 17.7.18 \quad & \int \frac{x^m dx}{(x^2 - a^2)^n} = \int \frac{x^{m-2} dx}{(x^2 - a^2)^{n-1}} + a^2 \int \frac{x^{m-2} dx}{(x^2 - a^2)^n} \\
 17.7.19 \quad & \int \frac{dx}{x^m(x^2 - a^2)^n} = \frac{1}{a^2} \int \frac{dx}{x^{m-2}(x^2 - a^2)^n} - \frac{1}{a^2} \int \frac{dx}{x^m(x^2 - a^2)^{n-1}}
 \end{aligned}$$

8 Integrais envolvendo $a^2 - x^2$, com $x^2 < a^2$

$$\begin{aligned}
 17.8.1 \quad & \int \frac{dx}{a^2 - x^2} = \frac{1}{2a} \ln\left(\frac{a+x}{a-x}\right) = \frac{1}{a} \operatorname{arc tgh} \frac{x}{a} \\
 17.8.2 \quad & \int \frac{x dx}{a^2 - x^2} = -\frac{1}{2} \ln(a^2 - x^2) \\
 17.8.3 \quad & \int \frac{x^2 dx}{a^2 - x^2} = -x + \frac{a}{2} \ln\left(\frac{a+x}{a-x}\right) \\
 17.8.4 \quad & \int \frac{x^3 dx}{a^2 - x^2} = -\frac{x^2}{2} - \frac{a^2}{2} \ln(a^2 - x^2) \\
 17.8.5 \quad & \int \frac{dx}{x(a^2 - x^2)} = \frac{1}{2a^2} \ln\left(\frac{x^2}{a^2 - x^2}\right) \\
 17.8.6 \quad & \int \frac{dx}{x^2(a^2 - x^2)} = -\frac{1}{a^2 x} + \frac{1}{2a^3} \ln\left(\frac{a+x}{a-x}\right) \\
 17.8.7 \quad & \int \frac{dx}{x^3(a^2 - x^2)} = -\frac{1}{2a^2 x^2} + \frac{1}{2a^4} \ln\left(\frac{x^2}{a^2 - x^2}\right) \\
 17.8.8 \quad & \int \frac{dx}{(a^2 - x^2)^2} = \frac{x}{2a^2(a^2 - x^2)} + \frac{1}{4a^3} \ln\left(\frac{a+x}{a-x}\right) \\
 17.8.9 \quad & \int \frac{x dx}{(a^2 - x^2)^2} = \frac{1}{2(a^2 - x^2)} \\
 17.8.10 \quad & \int \frac{x^2 dx}{(a^2 - x^2)^2} = \frac{x}{2(a^2 - x^2)} - \frac{1}{4a} \ln\left(\frac{a+x}{a-x}\right) \\
 17.8.11 \quad & \int \frac{x^3 dx}{(a^2 - x^2)^2} = \frac{a^2}{2(a^2 - x^2)} + \frac{1}{2} \ln(a^2 - x^2) \\
 17.8.12 \quad & \int \frac{dx}{x(a^2 - x^2)^2} = \frac{1}{2a^2(a^2 - x^2)} + \frac{1}{2a^4} \ln\left(\frac{x^2}{a^2 - x^2}\right)
 \end{aligned}$$

$$\begin{aligned}
17.8.13 \quad \int \frac{dx}{x^2(a^2-x^2)^2} &= \frac{-1}{a^4x} + \frac{x}{2a^4(a^2-x^2)} + \frac{3}{4a^5} \ln\left(\frac{a+x}{a-x}\right) \\
17.8.14 \quad \int \frac{dx}{x^3(a^2-x^2)^2} &= \frac{-1}{2a^4x^2} + \frac{1}{2a^4(a^2-x^2)} + \frac{1}{a^6} \ln\left(\frac{x^2}{a^2-x^2}\right) \\
17.8.15 \quad \int \frac{dx}{(a^2-x^2)^n} &= \frac{x}{2(n-1)a^2(a^2-x^2)^{n-1}} + \frac{2n-3}{(2n-2)a^2} \int \frac{dx}{(a^2-x^2)^{n-1}} \quad [n \neq 1] \\
17.8.16 \quad \int \frac{x dx}{(a^2-x^2)^n} &= \frac{1}{2(n-1)(a^2-x^2)^{n-1}} \quad [n \neq 1] \\
17.8.17 \quad \int \frac{dx}{x(a^2-x^2)^n} &= \frac{1}{2(n-1)a^2(a^2-x^2)^{n-1}} + \frac{1}{a^2} \int \frac{dx}{x(a^2-x^2)^{n-1}} \quad [n \neq 1] \\
17.8.18 \quad \int \frac{x^m dx}{(a^2-x^2)^n} &= a^2 \int \frac{x^{m-2} dx}{(a^2-x^2)^n} - \int \frac{x^{m-2} dx}{(a^2-x^2)^{n-1}} \\
17.8.19 \quad \int \frac{dx}{x^m(a^2-x^2)^n} &= \frac{1}{a^2} \int \frac{dx}{x^m(a^2-x^2)^{n-1}} + \frac{1}{a^2} \int \frac{dx}{x^{m-2}(a^2-x^2)^n}
\end{aligned}$$

9 Integrais envolvendo $\sqrt{x^2+a^2}$

$$\begin{aligned}
17.9.1 \quad \int \frac{dx}{\sqrt{x^2+a^2}} &= \ln(x+\sqrt{x^2+a^2}) = \operatorname{arc\,sinh} \frac{x}{a} \\
17.9.2 \quad \int \frac{x dx}{\sqrt{x^2+a^2}} &= \sqrt{x^2+a^2} \\
17.9.3 \quad \int \frac{x^2 dx}{\sqrt{x^2+a^2}} &= \frac{x\sqrt{x^2+a^2}}{2} - \frac{a^2}{2} \ln(x+\sqrt{x^2+a^2}) \\
17.9.4 \quad \int \frac{x^3 dx}{\sqrt{x^2+a^2}} &= \frac{(x^2+a^2)^{3/2}}{3} - a^2\sqrt{x^2+a^2} \\
17.9.5 \quad \int \frac{dx}{x\sqrt{x^2+a^2}} &= -\frac{1}{a} \ln\left(\frac{a+\sqrt{x^2+a^2}}{x}\right) \\
17.9.6 \quad \int \frac{dx}{x^2\sqrt{x^2+a^2}} &= -\frac{\sqrt{x^2+a^2}}{a^2x} \\
17.9.7 \quad \int \frac{dx}{x^3\sqrt{x^2+a^2}} &= -\frac{\sqrt{x^2+a^2}}{2a^2x^2} + \frac{1}{2a^3} \ln\left(\frac{a+\sqrt{x^2+a^2}}{x}\right) \\
17.9.8 \quad \int \sqrt{x^2+a^2} dx &= \frac{x\sqrt{x^2+a^2}}{2} + \frac{a^2}{2} \ln(x+\sqrt{x^2+a^2}) \\
17.9.9 \quad \int x\sqrt{x^2+a^2} dx &= \frac{(x^2+a^2)^{3/2}}{3} \\
17.9.10 \quad \int x^2\sqrt{x^2+a^2} dx &= \frac{x(x^2+a^2)^{3/2}}{4} - \frac{a^2x\sqrt{x^2+a^2}}{8} - \frac{a^4}{8} \ln(x+\sqrt{x^2+a^2}) \\
17.9.11 \quad \int x^3\sqrt{x^2+a^2} dx &= \frac{(x^2+a^2)^{5/2}}{5} - \frac{a^2(x^2+a^2)^{3/2}}{3} \\
17.9.12 \quad \int \frac{\sqrt{x^2+a^2}}{x} dx &= \sqrt{x^2+a^2} - a \ln\left(\frac{a+\sqrt{x^2+a^2}}{x}\right)
\end{aligned}$$

$$17.9.13 \int \frac{\sqrt{x^2 + a^2}}{x^2} dx = -\frac{\sqrt{x^2 + a^2}}{x} + \ln(x + \sqrt{x^2 + a^2})$$

$$17.9.14 \int \frac{\sqrt{x^2 + a^2}}{x^3} dx = -\frac{\sqrt{x^2 + a^2}}{2x^2} - \frac{1}{2a} \ln\left(\frac{a + \sqrt{x^2 + a^2}}{x}\right)$$

$$17.9.15 \int \frac{dx}{(x^2 + a^2)^{3/2}} = \frac{x}{a^2 \sqrt{x^2 + a^2}}$$

$$17.9.16 \int \frac{x dx}{(x^2 + a^2)^{3/2}} = \frac{-1}{\sqrt{x^2 + a^2}}$$

$$17.9.17 \int \frac{x^2 dx}{(x^2 + a^2)^{3/2}} = \frac{-x}{\sqrt{x^2 + a^2}} + \ln(x + \sqrt{x^2 + a^2})$$

$$17.9.18 \int \frac{x^3 dx}{(x^2 + a^2)^{3/2}} = \sqrt{x^2 + a^2} + \frac{a^2}{\sqrt{x^2 + a^2}}$$

$$17.9.19 \int \frac{dx}{x(x^2 + a^2)^{3/2}} = \frac{1}{a^2 \sqrt{x^2 + a^2}} - \frac{1}{a^3} \ln\left(\frac{a + \sqrt{x^2 + a^2}}{x}\right)$$

$$17.9.20 \int \frac{dx}{x^2(x^2 + a^2)^{3/2}} = -\frac{\sqrt{x^2 + a^2}}{a^4 x} - \frac{x}{a^4 \sqrt{x^2 + a^2}}$$

$$17.9.21 \int \frac{dx}{x^3(x^2 + a^2)^{3/2}} = \frac{-1}{2a^2 x^2 \sqrt{x^2 + a^2}} - \frac{3}{2a^4 \sqrt{x^2 + a^2}} + \frac{3}{2a^5} \ln\left(\frac{a + \sqrt{x^2 + a^2}}{x}\right)$$

$$17.9.22 \int (x^2 + a^2)^{3/2} dx = \frac{x(x^2 + a^2)^{3/2}}{4} + \frac{3a^2 x \sqrt{x^2 + a^2}}{8} + \frac{3}{8} a^4 \ln(x + \sqrt{x^2 + a^2})$$

$$17.9.23 \int x(x^2 + a^2)^{3/2} dx = \frac{(x^2 + a^2)^{5/2}}{5}$$

$$17.9.24 \int x^2(x^2 + a^2)^{3/2} dx = \frac{x(x^2 + a^2)^{5/2}}{6} - \frac{a^2 x(x^2 + a^2)^{3/2}}{24} - \frac{a^4 x \sqrt{x^2 + a^2}}{16} - \frac{a^6}{16} \ln(x + \sqrt{x^2 + a^2})$$

$$17.9.25 \int x^3(x^2 + a^2)^{3/2} dx = \frac{(x^2 + a^2)^{7/2}}{7} - \frac{a^2(x^2 + a^2)^{5/2}}{5}$$

$$17.9.26 \int \frac{(x^2 + a^2)^{3/2}}{x} dx = \frac{(x^2 + a^2)^{3/2}}{3} + a^2 \sqrt{x^2 + a^2} - a^3 \ln\left(\frac{a + \sqrt{x^2 + a^2}}{x}\right)$$

$$17.9.27 \int \frac{(x^2 + a^2)^{3/2}}{x^2} dx = -\frac{(x^2 + a^2)^{3/2}}{x} + \frac{3x \sqrt{x^2 + a^2}}{2} + \frac{3}{2} a^2 \ln(x + \sqrt{x^2 + a^2})$$

$$17.9.28 \int \frac{(x^2 + a^2)^{3/2}}{x^3} dx = -\frac{(x^2 + a^2)^{3/2}}{2x^2} + \frac{3}{2} \sqrt{x^2 + a^2} - \frac{3}{2} a \ln\left(\frac{a + \sqrt{x^2 + a^2}}{x}\right)$$

10 Integrais envolvendo $\sqrt{x^2 - a^2}$

$$17.10.1 \int \frac{dx}{\sqrt{x^2 - a^2}} = \ln(x + \sqrt{x^2 - a^2})$$

$$17.10.2 \int \frac{x dx}{\sqrt{x^2 - a^2}} = \sqrt{x^2 - a^2}$$

- 17.10.3 $\int \frac{x^2 dx}{\sqrt{x^2 - a^2}} = \frac{x\sqrt{x^2 - a^2}}{2} + \frac{a^2}{2} \ln(x + \sqrt{x^2 - a^2})$
- 17.10.4 $\int \frac{x^3 dx}{\sqrt{x^2 - a^2}} = \frac{(x^2 - a^2)^{3/2}}{3} + a^2 \sqrt{x^2 - a^2}$
- 17.10.5 $\int \frac{dx}{x\sqrt{x^2 - a^2}} = \frac{1}{a} \operatorname{arc sec} \left| \frac{x}{a} \right|$
- 17.10.6 $\int \frac{dx}{x^2 \sqrt{x^2 - a^2}} = \frac{\sqrt{x^2 - a^2}}{a^2 x}$
- 17.10.7 $\int \frac{dx}{x^3 \sqrt{x^2 - a^2}} = \frac{\sqrt{x^2 - a^2}}{2a^2 x^2} + \frac{1}{2a^3} \operatorname{arc sec} \left| \frac{x}{a} \right|$
- 17.10.8 $\int \sqrt{x^2 - a^2} dx = \frac{x\sqrt{x^2 - a^2}}{2} - \frac{a^2}{2} \ln(x + \sqrt{x^2 - a^2})$
- 17.10.9 $\int x\sqrt{x^2 - a^2} dx = \frac{(x^2 - a^2)^{3/2}}{3}$
- 17.10.10 $\int x^2 \sqrt{x^2 - a^2} dx = \frac{x(x^2 - a^2)^{3/2}}{4} + \frac{a^2 x \sqrt{x^2 - a^2}}{8} - \frac{a^4}{8} \ln(x + \sqrt{x^2 - a^2})$
- 17.10.11 $\int x^3 \sqrt{x^2 - a^2} dx = \frac{(x^2 - a^2)^{5/2}}{5} + \frac{a^2 (x^2 - a^2)^{3/2}}{3}$
- 17.10.12 $\int \frac{\sqrt{x^2 - a^2}}{x} dx = \sqrt{x^2 - a^2} - a \operatorname{arc sec} \left| \frac{x}{a} \right|$
- 17.10.13 $\int \frac{\sqrt{x^2 - a^2}}{x^2} dx = -\frac{\sqrt{x^2 - a^2}}{x} + \ln(x + \sqrt{x^2 - a^2})$
- 17.10.14 $\int \frac{\sqrt{x^2 - a^2}}{x^3} dx = -\frac{\sqrt{x^2 - a^2}}{2x^2} + \frac{1}{2a} \operatorname{arc sec} \left| \frac{x}{a} \right|$
- 17.10.15 $\int \frac{dx}{(x^2 - a^2)^{3/2}} = -\frac{x}{a^2 \sqrt{x^2 - a^2}}$
- 17.10.16 $\int \frac{x dx}{(x^2 - a^2)^{3/2}} = \frac{-1}{\sqrt{x^2 - a^2}}$
- 17.10.17 $\int \frac{x^2 dx}{(x^2 - a^2)^{3/2}} = -\frac{x}{\sqrt{x^2 - a^2}} + \ln(x + \sqrt{x^2 - a^2})$
- 17.10.18 $\int \frac{x^3 dx}{(x^2 - a^2)^{3/2}} = \sqrt{x^2 - a^2} - \frac{a^2}{\sqrt{x^2 - a^2}}$
- 17.10.19 $\int \frac{dx}{x(x^2 - a^2)^{3/2}} = \frac{-1}{a^2 \sqrt{x^2 - a^2}} - \frac{1}{a^3} \operatorname{arc sec} \left| \frac{x}{a} \right|$
- 17.10.20 $\int \frac{dx}{x^2 (x^2 - a^2)^{3/2}} = -\frac{\sqrt{x^2 - a^2}}{a^4 x} - \frac{x}{a^4 \sqrt{x^2 - a^2}}$
- 17.10.21 $\int \frac{dx}{x^3 (x^2 - a^2)^{3/2}} = \frac{1}{2a^2 x^2 \sqrt{x^2 - a^2}} - \frac{3}{2a^4 \sqrt{x^2 - a^2}} - \frac{3}{2a^5} \operatorname{arc sec} \left| \frac{x}{a} \right|$
- 17.10.22 $\int (x^2 - a^2)^{3/2} dx = \frac{x(x^2 - a^2)^{3/2}}{4} - \frac{3a^2 x \sqrt{x^2 - a^2}}{8} + \frac{3}{8} a^4 \ln(x + \sqrt{x^2 - a^2})$

$$17.10.23 \int x(x^2 - a^2)^{3/2} dx = \frac{(x^2 - a^2)^{5/2}}{5}$$

$$17.10.24 \int x^2(x^2 - a^2)^{3/2} dx = \frac{x(x^2 - a^2)^{5/2}}{6} + \frac{a^2 x(x^2 - a^2)^{3/2}}{24} - \frac{a^4 x \sqrt{x^2 - a^2}}{16} + \frac{a^6}{16} \ln(x + \sqrt{x^2 - a^2})$$

$$17.10.25 \int x^3(x^2 - a^2)^{3/2} dx = \frac{(x^2 - a^2)^{7/2}}{7} + \frac{a^2(x^2 - a^2)^{5/2}}{5}$$

$$17.10.26 \int \frac{(x^2 - a^2)^{3/2}}{x} dx = \frac{(x^2 - a^2)^{3/2}}{3} - a^2 \sqrt{x^2 - a^2} + a^3 \operatorname{arc} \sec \left| \frac{x}{a} \right|$$

$$17.10.27 \int \frac{(x^2 - a^2)^{3/2}}{x^2} dx = -\frac{(x^2 - a^2)^{3/2}}{x} + \frac{3x \sqrt{x^2 - a^2}}{2} - \frac{3}{2} a^2 \ln(x + \sqrt{x^2 - a^2})$$

$$17.10.28 \int \frac{(x^2 - a^2)^{3/2}}{x^3} dx = -\frac{(x^2 - a^2)^{3/2}}{2x^2} + \frac{3\sqrt{x^2 - a^2}}{2} - \frac{3}{2} a \operatorname{arc} \sec \left| \frac{x}{a} \right|$$

11 Integrais envolvendo $\sqrt{a^2 - x^2}$

$$17.11.1 \int \frac{dx}{\sqrt{a^2 - x^2}} = \operatorname{arc} \operatorname{sen} \frac{x}{a}$$

$$17.11.2 \int \frac{x dx}{\sqrt{a^2 - x^2}} = -\sqrt{a^2 - x^2}$$

$$17.11.3 \int \frac{x^2 dx}{\sqrt{a^2 - x^2}} = -\frac{x\sqrt{a^2 - x^2}}{2} + \frac{a^2}{2} \operatorname{arc} \operatorname{sen} \frac{x}{a}$$

$$17.11.4 \int \frac{x^3 dx}{\sqrt{a^2 - x^2}} = \frac{(a^2 - x^2)^{3/2}}{3} - a^2 \sqrt{a^2 - x^2}$$

$$17.11.5 \int \frac{dx}{x\sqrt{a^2 - x^2}} = -\frac{1}{a} \ln \left(\frac{a + \sqrt{a^2 - x^2}}{x} \right)$$

$$17.11.6 \int \frac{dx}{x^2 \sqrt{a^2 - x^2}} = -\frac{\sqrt{a^2 - x^2}}{a^2 x}$$

$$17.11.7 \int \frac{dx}{x^3 \sqrt{a^2 - x^2}} = -\frac{\sqrt{a^2 - x^2}}{2a^2 x^2} - \frac{1}{2a^3} \ln \left(\frac{a + \sqrt{a^2 - x^2}}{x} \right)$$

$$17.11.8 \int \sqrt{a^2 - x^2} dx = \frac{x\sqrt{a^2 - x^2}}{2} + \frac{a^2}{2} \operatorname{arc} \operatorname{sen} \frac{x}{a}$$

$$17.11.9 \int x\sqrt{a^2 - x^2} dx = -\frac{(a^2 - x^2)^{3/2}}{3}$$

$$17.11.10 \int x^2 \sqrt{a^2 - x^2} dx = -\frac{x(a^2 - x^2)^{3/2}}{4} + \frac{a^2 x \sqrt{a^2 - x^2}}{8} + \frac{a^4}{8} \operatorname{arc} \operatorname{sen} \frac{x}{a}$$

$$17.11.11 \int x^3 \sqrt{a^2 - x^2} dx = \frac{(a^2 - x^2)^{5/2}}{5} - \frac{a^2(a^2 - x^2)^{3/2}}{3}$$

$$17.11.12 \int \frac{\sqrt{a^2 - x^2}}{x} dx = \sqrt{a^2 - x^2} - a \ln \left(\frac{a + \sqrt{a^2 - x^2}}{x} \right)$$

$$17.11.13 \int \frac{\sqrt{a^2 - x^2}}{x^2} dx = -\frac{\sqrt{a^2 - x^2}}{x} - \operatorname{arc} \operatorname{sen} \frac{x}{a}$$

$$17.11.14 \int \frac{\sqrt{a^2 - x^2}}{x^3} dx = -\frac{\sqrt{a^2 - x^2}}{2x^2} + \frac{1}{2a} \ln \left(\frac{a + \sqrt{a^2 - x^2}}{x} \right)$$

$$17.11.15 \int \frac{dx}{(a^2 - x^2)^{3/2}} = \frac{x}{a^2 \sqrt{a^2 - x^2}}$$

$$17.11.16 \int \frac{x dx}{(a^2 - x^2)^{3/2}} = \frac{1}{\sqrt{a^2 - x^2}}$$

$$17.11.17 \int \frac{x^2 dx}{(a^2 - x^2)^{3/2}} = \frac{x}{\sqrt{a^2 - x^2}} - \arcsen \frac{x}{a}$$

$$17.11.18 \int \frac{x^3 dx}{(a^2 - x^2)^{3/2}} = \sqrt{a^2 - x^2} + \frac{a^2}{\sqrt{a^2 - x^2}}$$

$$17.11.19 \int \frac{dx}{x(a^2 - x^2)^{3/2}} = \frac{1}{a^2 \sqrt{a^2 - x^2}} - \frac{1}{a^3} \ln \left(\frac{a + \sqrt{a^2 - x^2}}{x} \right)$$

$$17.11.20 \int \frac{dx}{x^2(a^2 - x^2)^{3/2}} = -\frac{\sqrt{a^2 - x^2}}{a^4 x} + \frac{x}{a^4 \sqrt{a^2 - x^2}}$$

$$17.11.21 \int \frac{dx}{x^3(a^2 - x^2)^{3/2}} = \frac{-1}{2a^2 x^2 \sqrt{a^2 - x^2}} + \frac{3}{2a^4 \sqrt{a^2 - x^2}} - \frac{3}{2a^5} \ln \left(\frac{a + \sqrt{a^2 - x^2}}{x} \right)$$

$$17.11.22 \int (a^2 - x^2)^{3/2} dx = \frac{x(a^2 - x^2)^{3/2}}{4} + \frac{3a^2 x \sqrt{a^2 - x^2}}{8} + \frac{3}{8} a^4 \arcsen \frac{x}{a}$$

$$17.11.23 \int x(a^2 - x^2)^{3/2} dx = -\frac{(a^2 - x^2)^{5/2}}{5}$$

$$17.11.24 \int x^2(a^2 - x^2)^{3/2} dx = -\frac{x(a^2 - x^2)^{5/2}}{6} + \frac{a^2 x(a^2 - x^2)^{3/2}}{24} + \frac{a^4 x \sqrt{a^2 - x^2}}{16} + \frac{a^6}{16} \arcsen \frac{x}{a}$$

$$17.11.25 \int x^3(a^2 - x^2)^{3/2} dx = \frac{(a^2 - x^2)^{7/2}}{7} - \frac{a^2(a^2 - x^2)^{5/2}}{5}$$

$$17.11.26 \int \frac{(a^2 - x^2)^{3/2}}{x} dx = \frac{(a^2 - x^2)^{3/2}}{3} + a^2 \sqrt{a^2 - x^2} - a^3 \ln \left(\frac{a + \sqrt{a^2 - x^2}}{x} \right)$$

$$17.11.27 \int \frac{(a^2 - x^2)^{3/2}}{x^2} dx = -\frac{(a^2 - x^2)^{3/2}}{x} - \frac{3x \sqrt{a^2 - x^2}}{2} - \frac{3}{2} a^2 \arcsen \frac{x}{a}$$

$$17.11.28 \int \frac{(a^2 - x^2)^{3/2}}{x^3} dx = -\frac{(a^2 - x^2)^{3/2}}{2x^2} - \frac{3\sqrt{a^2 - x^2}}{2} + \frac{3}{2} a \ln \left(\frac{a + \sqrt{a^2 - x^2}}{x} \right)$$

12 Integrais envolvendo $ax^2 + bx + c$

Nos resultados seguintes, se $b^2 = 4ac$, então $ax^2 + bx + c = a(x + b/2a)^2$ e podem ser usadas as integrais de 17.1. Se $b = 0$, use as integrais de 17.6. Se $a = 0$ ou $c = 0$, use as integrais de 17.1.

$$17.12.1 \int \frac{dx}{ax^2 + bx + c} = \begin{cases} \frac{2}{\sqrt{4ac - b^2}} \arcsen \frac{2ax + b}{\sqrt{4ac - b^2}} \\ \frac{1}{\sqrt{b^2 - 4ac}} \ln \left(\frac{2ax + b - \sqrt{b^2 - 4ac}}{2ax + b + \sqrt{b^2 - 4ac}} \right) \end{cases}$$

$$\begin{aligned}
17.12.2 \quad \int \frac{x \, dx}{ax^2 + bx + c} &= \frac{1}{2a} \ln(ax^2 + bx + c) - \frac{b}{2a} \int \frac{dx}{ax^2 + bx + c} \\
17.12.3 \quad \int \frac{x^2 dx}{ax^2 + bx + c} &= \frac{x}{a} - \frac{b}{2a^2} \ln(ax^2 + bx + c) + \frac{b^2 - 2ac}{2a^2} \int \frac{dx}{ax^2 + bx + c} \\
17.12.4 \quad \int \frac{x^m dx}{ax^2 + bx + c} &= \frac{x^{m-1}}{(m-1)a} - \frac{c}{a} \int \frac{x^{m-2} dx}{ax^2 + bx + c} - \frac{b}{a} \int \frac{x^{m-1} dx}{ax^2 + bx + c} \\
17.12.5 \quad \int \frac{dx}{x(ax^2 + bx + c)} &= \frac{1}{2c} \ln\left(\frac{x^2}{ax^2 + bx + c}\right) - \frac{b}{2c} \int \frac{dx}{ax^2 + bx + c} \\
17.12.6 \quad \int \frac{dx}{x^2(ax^2 + bx + c)} &= \frac{b}{2c^2} \ln\left(\frac{ax^2 + bx + c}{x^2}\right) - \frac{1}{cx} + \frac{b^2 - 2ac}{2c^2} \int \frac{dx}{ax^2 + bx + c} \\
17.12.7 \quad \int \frac{dx}{x^n(ax^2 + bx + c)} &= -\frac{1}{(n-1)cx^{n-1}} - \frac{b}{c} \int \frac{dx}{x^{n-1}(ax^2 + bx + c)} - \frac{a}{c} \int \frac{dx}{x^{n-2}(ax^2 + bx + c)} \quad [n \neq 1] \\
17.12.8 \quad \int \frac{dx}{(ax^2 + bx + c)^2} &= \frac{2ax + b}{(4ac - b^2)(ax^2 + bx + c)} + \frac{2a}{4ac - b^2} \int \frac{dx}{ax^2 + bx + c} \\
17.12.9 \quad \int \frac{x \, dx}{(ax^2 + bx + c)^2} &= -\frac{bx + 2c}{(4ac - b^2)(ax^2 + bx + c)} - \frac{b}{4ac - b^2} \int \frac{dx}{ax^2 + bx + c} \\
17.12.10 \quad \int \frac{x^2 dx}{(ax^2 + bx + c)^2} &= \frac{(b^2 - 2ac)x + bc}{a(4ac - b^2)(ax^2 + bx + c)} + \frac{2c}{4ac - b^2} \int \frac{dx}{ax^2 + bx + c} \\
17.12.11 \quad \int \frac{x^m dx}{(ax^2 + bx + c)^n} &= -\frac{x^{m-1}}{(2n - m - 1)a(ax^2 + bx + c)^{n-1}} + \frac{(m-1)c}{(2n - m - 1)a} \int \frac{x^{m-2} dx}{(ax^2 + bx + c)^n} \\
&\quad - \frac{(n-m)b}{(2n - m - 1)a} \int \frac{x^{m-1} dx}{(ax^2 + bx + c)^n} \quad [2n - m \neq 1] \\
17.12.12 \quad \int \frac{x^{2n-1} dx}{(ax^2 + bx + c)^n} &= \frac{1}{a} \int \frac{x^{2n-3} dx}{(ax^2 + bx + c)^{n-1}} - \frac{c}{a} \int \frac{x^{2n-3} dx}{(ax^2 + bx + c)^n} - \frac{b}{a} \int \frac{x^{2n-2} dx}{(ax^2 + bx + c)^n} \\
17.12.13 \quad \int \frac{dx}{x(ax^2 + bx + c)^2} &= \frac{1}{2c(ax^2 + bx + c)} - \frac{b}{2c} \int \frac{dx}{(ax^2 + bx + c)^2} + \frac{1}{c} \int \frac{dx}{x(ax^2 + bx + c)} \\
17.12.14 \quad \int \frac{dx}{x^2(ax^2 + bx + c)^2} &= -\frac{1}{cx(ax^2 + bx + c)} - \frac{3a}{c} \int \frac{dx}{(ax^2 + bx + c)^2} - \frac{2b}{c} \int \frac{dx}{x(ax^2 + bx + c)^2} \\
17.12.15 \quad \int \frac{dx}{x^m(ax^2 + bx + c)^n} &= -\frac{1}{(m-1)cx^{m-1}(ax^2 + bx + c)^{n-1}} - \frac{(m+2n-3)a}{(m-1)c} \int \frac{dx}{x^{m-2}(ax^2 + bx + c)^n} \\
&\quad - \frac{(m+n-2)b}{(m-1)c} \int \frac{dx}{x^{m-1}(ax^2 + bx + c)^n} \quad [m \neq 1]
\end{aligned}$$

13 Integrais envolvendo $\sqrt{ax^2 + bx + c}$

Nos resultados seguintes, se $b^2 = 4ac$, então $\sqrt{ax^2 + bx + c} = \sqrt{a}(x + b/2a)$ e podem ser usadas as integrais de 17.1. Se $b = 0$, use as integrais de 17.9. Se $a = 0$ ou $c = 0$, use as integrais de 17.2 e 5.

$$17.13.1 \quad \int \frac{dx}{\sqrt{ax^2 + bx + c}} = \begin{cases} \frac{1}{\sqrt{a}} \ln(2\sqrt{a}\sqrt{ax^2 + bx + c} + 2ax + b) \\ -\frac{1}{\sqrt{-a}} \operatorname{arc\,sen}\left(\frac{2ax + b}{\sqrt{b^2 - 4ac}}\right) = \frac{1}{\sqrt{a}} \operatorname{arc\,senh}\left(\frac{2ax + b}{\sqrt{4ac - b^2}}\right) \end{cases}$$

$$17.13.2 \quad \int \frac{x \, dx}{\sqrt{ax^2 + bx + c}} = \frac{\sqrt{ax^2 + bx + c}}{a} - \frac{b}{2a} \int \frac{dx}{\sqrt{ax^2 + bx + c}}$$

$$17.13.3 \quad \int \frac{x^2 dx}{\sqrt{ax^2 + bx + c}} = \frac{2ax - 3b}{4a^2} \sqrt{ax^2 + bx + c} + \frac{3b^2 - 4ac}{8a^2} \int \frac{dx}{\sqrt{ax^2 + bx + c}}$$

$$17.13.4 \quad \int \frac{dx}{x\sqrt{ax^2 + bx + c}} = \begin{cases} -\frac{1}{\sqrt{c}} \ln \left(\frac{2\sqrt{c}\sqrt{ax^2 + bx + c} + bx + 2c}{x} \right) \\ \frac{1}{\sqrt{-c}} \operatorname{arc\,sen} \left(\frac{bx + 2c}{|x|\sqrt{b^2 - 4ac}} \right) = -\frac{1}{\sqrt{c}} \operatorname{arc\,senh} \left(\frac{bx + 2c}{|x|\sqrt{4ac - b^2}} \right) \end{cases}$$

$$17.13.5 \quad \int \frac{dx}{x^2\sqrt{ax^2 + bx + c}} = -\frac{\sqrt{ax^2 + bx + c}}{cx} - \frac{b}{2c} \int \frac{dx}{x\sqrt{ax^2 + bx + c}}$$

$$17.13.6 \quad \int \sqrt{ax^2 + bx + c} dx = \frac{(2ax + b)\sqrt{ax^2 + bx + c}}{4a} + \frac{4ac - b^2}{8a} \int \frac{dx}{\sqrt{ax^2 + bx + c}}$$

$$17.13.7 \quad \int x\sqrt{ax^2 + bx + c} dx = \frac{(ax^2 + bx + c)^{3/2}}{3a} - \frac{b(2ax + b)}{8a^2} \sqrt{ax^2 + bx + c} \\ - \frac{b(4ac - b^2)}{16a^2} \int \frac{dx}{\sqrt{ax^2 + bx + c}}$$

$$17.13.8 \quad \int x^2\sqrt{ax^2 + bx + c} dx = \frac{6ax - 5b}{24a^2} (ax^2 + bx + c)^{3/2} + \frac{5b^2 - 4ac}{16a^2} \int \sqrt{ax^2 + bx + c} dx$$

$$17.13.9 \quad \int \frac{\sqrt{ax^2 + bx + c}}{x} dx = \sqrt{ax^2 + bx + c} + \frac{b}{2} \int \frac{dx}{\sqrt{ax^2 + bx + c}} + c \int \frac{dx}{x\sqrt{ax^2 + bx + c}}$$

$$17.13.10 \quad \int \frac{\sqrt{ax^2 + bx + c}}{x^2} dx = -\frac{\sqrt{ax^2 + bx + c}}{x} + a \int \frac{dx}{\sqrt{ax^2 + bx + c}} + \frac{b}{2} \int \frac{dx}{x\sqrt{ax^2 + bx + c}}$$

$$17.13.11 \quad \int \frac{dx}{(ax^2 + bx + c)^{3/2}} = \frac{2(2ax + b)}{(4ac - b^2)\sqrt{ax^2 + bx + c}}$$

$$17.13.12 \quad \int \frac{x dx}{(ax^2 + bx + c)^{3/2}} = \frac{2(bx + 2c)}{(b^2 - 4ac)\sqrt{ax^2 + bx + c}}$$

$$17.13.13 \quad \int \frac{x^2 dx}{(ax^2 + bx + c)^{3/2}} = \frac{(2b^2 - 4ac)x + 2bc}{a(4ac - b^2)\sqrt{ax^2 + bx + c}} + \frac{1}{a} \int \frac{dx}{\sqrt{ax^2 + bx + c}}$$

$$17.13.14 \quad \int \frac{dx}{x(ax^2 + bx + c)^{3/2}} = \frac{1}{c\sqrt{ax^2 + bx + c}} + \frac{1}{c} \int \frac{dx}{x\sqrt{ax^2 + bx + c}} - \frac{b}{2c} \int \frac{dx}{(ax^2 + bx + c)^{3/2}}$$

$$17.13.15 \quad \int \frac{dx}{x^2(ax^2 + bx + c)^{3/2}} = -\frac{ax^2 + 2bx + c}{c^2 x \sqrt{ax^2 + bx + c}} + \frac{b^2 - 2ac}{2c^2} \int \frac{dx}{(ax^2 + bx + c)^{3/2}} \\ - \frac{3b}{2c^2} \int \frac{dx}{x\sqrt{ax^2 + bx + c}}$$

$$17.13.16 \quad \int (ax^2 + bx + c)^{n+1/2} dx = \frac{(2ax + b)(ax^2 + bx + c)^{n+1/2}}{4a(n+1)} + \frac{(2n+1)(4ac - b^2)}{8a(n+1)} \int (ax^2 + bx + c)^{n-1/2} dx$$

$$17.13.17 \quad \int x(ax^2 + bx + c)^{n+1/2} dx = \frac{(ax^2 + bx + c)^{n+3/2}}{a(2n+3)} - \frac{b}{2a} \int (ax^2 + bx + c)^{n+1/2} dx$$

$$17.13.18 \quad \int \frac{dx}{(ax^2 + bx + c)^{n+1/2}} = \frac{2(2ax + b)}{(2n-1)(4ac - b^2)(ax^2 + bx + c)^{n-1/2}} \\ + \frac{8a(n-1)}{(2n-1)(4ac - b^2)} \int \frac{dx}{(ax^2 + bx + c)^{n-1/2}}$$

$$17.13.19 \int \frac{dx}{x(ax^2 + bx + c)^{n+1/2}} = \frac{1}{(2n-1)c(ax^2 + bx + c)^{n-1/2}} \\ + \frac{1}{c} \int \frac{dx}{x(ax^2 + bx + c)^{n-1/2}} - \frac{b}{2c} \int \frac{dx}{(ax^2 + bx + c)^{n+1/2}}$$

14 Integrais envolvendo $x^3 + a^3$

Observe que, para fórmulas envolvendo $x^3 - a^3$, substitua a por $-a$.

$$17.14.1 \int \frac{dx}{x^3 + a^3} = \frac{1}{6a^2} \ln \left(\frac{(x+a)^2}{x^2 - ax + a^2} \right) + \frac{1}{a^2\sqrt{3}} \operatorname{arc\,tg} \frac{2x-a}{a\sqrt{3}}$$

$$17.14.2 \int \frac{x \, dx}{x^3 + a^3} = \frac{1}{6a} \ln \left(\frac{x^2 - ax + a^2}{(x+a)^2} \right) + \frac{1}{a\sqrt{3}} \operatorname{arc\,tg} \frac{2x-a}{a\sqrt{3}}$$

$$17.14.3 \int \frac{x^2 dx}{x^3 + a^3} = \frac{1}{3} \ln(x^3 + a^3)$$

$$17.14.4 \int \frac{dx}{x(x^3 + a^3)} = \frac{1}{3a^3} \ln \left(\frac{x^3}{x^3 + a^3} \right)$$

$$17.14.5 \int \frac{dx}{x^2(x^3 + a^3)} = -\frac{1}{a^3x} - \frac{1}{6a^4} \ln \left(\frac{x^2 - ax + a^2}{(x+a)^2} \right) - \frac{1}{a^4\sqrt{3}} \operatorname{arc\,tg} \frac{2x-a}{a\sqrt{3}}$$

$$17.14.6 \int \frac{dx}{(x^3 + a^3)^2} = \frac{x}{3a^3(x^3 + a^3)} + \frac{1}{9a^5} \ln \left(\frac{(x+a)^2}{x^2 - ax + a^2} \right) + \frac{2}{3a^5\sqrt{3}} \operatorname{arc\,tg} \frac{2x-a}{a\sqrt{3}}$$

$$17.14.7 \int \frac{x \, dx}{(x^3 + a^3)^2} = \frac{x^2}{3a^3(x^3 + a^3)} + \frac{1}{18a^4} \ln \left(\frac{x^2 - ax + a^2}{(x+a)^2} \right) + \frac{1}{3a^4\sqrt{3}} \operatorname{arc\,tg} \frac{2x-a}{a\sqrt{3}}$$

$$17.14.8 \int \frac{x^2 dx}{(x^3 + a^3)^2} = -\frac{1}{3(x^3 + a^3)}$$

$$17.14.9 \int \frac{dx}{x(x^3 + a^3)^2} = \frac{1}{3a^3(x^3 + a^3)} + \frac{1}{3a^6} \ln \left(\frac{x^3}{x^3 + a^3} \right)$$

$$17.14.10 \int \frac{dx}{x^2(x^3 + a^3)^2} = -\frac{1}{a^6x} - \frac{x^2}{3a^6(x^3 + a^3)} - \frac{4}{3a^6} \int \frac{x \, dx}{x^3 + a^3}$$

$$17.14.11 \int \frac{x^m dx}{x^3 + a^3} = \frac{x^{m-2}}{m-2} - a^3 \int \frac{x^{m-3} dx}{x^3 + a^3} \quad [m \neq 2]$$

$$17.14.12 \int \frac{dx}{x^n(x^3 + a^3)} = \frac{-1}{a^3(n-1)x^{n-1}} - \frac{1}{a^3} \int \frac{dx}{x^{n-3}(x^3 + a^3)} \quad [n \neq 1]$$

15 Integrais envolvendo $x^4 \pm a^4$

$$17.15.1 \int \frac{dx}{x^4 + a^4} = \frac{1}{4a^3\sqrt{2}} \ln \left(\frac{x^2 + ax\sqrt{2} + a^2}{x^2 - ax\sqrt{2} + a^2} \right) - \frac{1}{2a^3\sqrt{2}} \left[\operatorname{arc\,tg} \left(1 - \frac{x\sqrt{2}}{a} \right) - \operatorname{arc\,tg} \left(1 + \frac{x\sqrt{2}}{a} \right) \right]$$

$$17.15.2 \int \frac{x \, dx}{x^4 + a^4} = \frac{1}{2a^2} \operatorname{arc\,tg} \frac{x^2}{a^2}$$

$$17.15.3 \int \frac{x^2 dx}{x^4 + a^4} = \frac{1}{4a\sqrt{2}} \ln \left(\frac{x^2 - ax\sqrt{2} + a^2}{x^2 + ax\sqrt{2} + a^2} \right) - \frac{1}{2a\sqrt{2}} \left[\operatorname{arc\,tg} \left(1 - \frac{x\sqrt{2}}{a} \right) - \operatorname{arc\,tg} \left(1 + \frac{x\sqrt{2}}{a} \right) \right]$$

$$17.15.4 \quad \int \frac{x^3 dx}{x^4 + a^4} = \frac{1}{4} \ln(x^4 + a^4)$$

$$17.15.5 \quad \int \frac{dx}{x(x^4 + a^4)} = \frac{1}{4a^4} \ln\left(\frac{x^4}{x^4 + a^4}\right)$$

$$17.15.6 \quad \int \frac{dx}{x^2(x^4 + a^4)} = -\frac{1}{a^4 x} - \frac{1}{4a^5 \sqrt{2}} \ln\left(\frac{x^2 - ax\sqrt{2} + a^2}{x^2 + ax\sqrt{2} + a^2}\right) \\ + \frac{1}{2a^5 \sqrt{2}} \left[\operatorname{arc\,tg}\left(1 - \frac{x\sqrt{2}}{a}\right) - \operatorname{arc\,tg}\left(1 + \frac{x\sqrt{2}}{a}\right) \right]$$

$$17.15.7 \quad \int \frac{dx}{x^3(x^4 + a^4)} = -\frac{1}{2a^4 x^2} - \frac{1}{2a^6} \operatorname{arc\,tg} \frac{x^2}{a^2}$$

$$17.15.8 \quad \int \frac{dx}{x^4 - a^4} = \frac{1}{4a^3} \ln\left(\frac{x-a}{x+a}\right) - \frac{1}{2a^3} \operatorname{arc\,tg} \frac{x}{a}$$

$$17.15.9 \quad \int \frac{x dx}{x^4 - a^4} = \frac{1}{4a^2} \ln\left(\frac{x^2 - a^2}{x^2 + a^2}\right)$$

$$17.15.10 \quad \int \frac{x^2 dx}{x^4 - a^4} = \frac{1}{4a} \ln\left(\frac{x-a}{x+a}\right) + \frac{1}{2a} \operatorname{arc\,tg} \frac{x}{a}$$

$$17.15.11 \quad \int \frac{x^3 dx}{x^4 - a^4} = \frac{1}{4} \ln(x^4 - a^4)$$

$$17.15.12 \quad \int \frac{dx}{x(x^4 - a^4)} = \frac{1}{4a^4} \ln\left(\frac{x^4 - a^4}{x^4}\right)$$

$$17.15.13 \quad \int \frac{dx}{x^3(x^4 - a^4)} = \frac{1}{a^4 x} + \frac{1}{4a^5} \ln\left(\frac{x-a}{x+a}\right) + \frac{1}{2a^5} \operatorname{arc\,tg} \frac{x}{a}$$

$$17.15.14 \quad \int \frac{dx}{x^3(x^4 - a^4)} = \frac{1}{2a^4 x^2} + \frac{1}{4a^6} \ln\left(\frac{x^2 - a^2}{x^2 + a^2}\right)$$

16 Integrais envolvendo $x^n \pm a^n$

$$17.16.1 \quad \int \frac{dx}{x(x^n + a^n)} = \frac{1}{na^n} \ln\left(\frac{x^n}{x^n + a^n}\right)$$

$$17.16.2 \quad \int \frac{x^{n-1} dx}{x^n + a^n} = \frac{1}{n} \ln(x^n + a^n)$$

$$17.16.3 \quad \int \frac{x^m dx}{(x^n + a^n)^r} = \int \frac{x^{m-n} dx}{(x^n + a^n)^{r-1}} - a^n \int \frac{x^{m-n} dx}{(x^n + a^n)^r}$$

$$17.16.4 \quad \int \frac{dx}{x^m(x^n + a^n)^r} = \frac{1}{a^n} \int \frac{dx}{x^m(x^n + a^n)^{r-1}} - \frac{1}{a^n} \int \frac{dx}{x^{m-n}(x^n + a^n)^r}$$

$$17.16.5 \quad \int \frac{dx}{x\sqrt{x^n + a^n}} = \frac{1}{n\sqrt{a^n}} \ln\left(\frac{\sqrt{x^n + a^n} - \sqrt{a^n}}{\sqrt{x^n + a^n} + \sqrt{a^n}}\right)$$

$$17.16.6 \quad \int \frac{dx}{x(x^n - a^n)} = \frac{1}{na^n} \ln\left(\frac{x^n - a^n}{x^n}\right)$$

$$17.16.7 \quad \int \frac{x^{n-1} dx}{x^n - a^n} = \frac{1}{n} \ln(x^n - a^n)$$

$$\begin{aligned}
 17.16.8 \quad \int \frac{x^m dx}{(x^n - a^n)^r} &= a^n \int \frac{x^{m-n} dx}{(x^n - a^n)^r} + \int \frac{x^{m-n} dx}{(x^n - a^n)^{r-1}} \\
 17.16.9 \quad \int \frac{dx}{x^m (x^n - a^n)^r} &= \frac{1}{a^n} \int \frac{dx}{x^{m-n} (x^n - a^n)^r} - \frac{1}{a^n} \int \frac{dx}{x^m (x^n - a^n)^{r-1}} \\
 17.16.10 \quad \int \frac{dx}{x \sqrt{x^n - a^n}} &= \frac{2}{n \sqrt{a^n}} \cos^{-1} \sqrt{\frac{a^n}{x^n}} \\
 17.16.11 \quad \int \frac{x^{p-1} dx}{x^{2m} + a^{2m}} &= \frac{1}{ma^{2m-p}} \sum_{k=1}^m \operatorname{sen} \frac{(2k-1)p\pi}{2m} \operatorname{arc\,tg} \left(\frac{x + a \cos[(2k-1)\pi/2m]}{a \operatorname{sen}[(2k-1)\pi/2m]} \right) \\
 &\quad - \frac{1}{2ma^{2m-p}} \sum_{k=1}^m \cos \frac{(2k-1)p\pi}{2m} \ln \left(x^2 + 2ax \cos \frac{(2k-1)\pi}{2m} + a^2 \right) \quad [0 < p \leq 2m] \\
 17.16.12 \quad \int \frac{x^{p-1} dx}{x^{2m} - a^{2m}} &= \frac{1}{2ma^{2m-p}} \sum_{k=1}^{m-1} \cos \frac{kp\pi}{m} \ln \left(x^2 - 2ax \cos \frac{kp\pi}{m} + a^2 \right) \\
 &\quad - \frac{1}{ma^{2m-p}} \sum_{k=1}^{m-1} \operatorname{sen} \frac{kp\pi}{m} \operatorname{arc\,tg} \left(\frac{x - a \cos(k\pi/m)}{a \operatorname{sen}(k\pi/m)} \right) \\
 &\quad + \frac{1}{2ma^{2m-p}} \{ \ln(x-a) + (-1)^p \ln(x+a) \} \quad [0 < p \leq 2m] \\
 17.16.13 \quad \int \frac{x^{p-1} dx}{x^{2m+1} + a^{2m+1}} &= \frac{2(-1)^{p-1}}{(2m+1)a^{2m-p+1}} \sum_{k=1}^m \operatorname{sen} \frac{2kp\pi}{2m+1} \operatorname{arc\,tg} \left(\frac{x + a \cos[2k\pi/(2m+1)]}{a \operatorname{sen}[2k\pi/(2m+1)]} \right) \\
 &\quad - \frac{(-1)^{p-1}}{(2m+1)a^{2m-p+1}} \sum_{k=1}^m \cos \frac{2kp\pi}{2m+1} \ln \left(x^2 + 2ax \cos \frac{2k\pi}{2m+1} + a^2 \right) \\
 &\quad + \frac{(-1)^{p-1} \ln(x+a)}{(2m+1)a^{2m-p+1}} \quad [0 < p \leq 2m+1] \\
 17.16.14 \quad \int \frac{x^{p-1} dx}{x^{2m+1} - a^{2m+1}} &= \frac{-2}{(2m+1)a^{2m-p+1}} \sum_{k=1}^m \operatorname{sen} \frac{2kp\pi}{2m+1} \operatorname{arc\,tg} \left(\frac{x - a \cos[2k\pi/(2m+1)]}{a \operatorname{sen}[2k\pi/(2m+1)]} \right) \\
 &\quad + \frac{1}{(2m+1)a^{2m-p+1}} \sum_{k=1}^m \cos \frac{2kp\pi}{2m+1} \ln \left(x^2 - 2ax \cos \frac{2k\pi}{2m+1} + a^2 \right) \\
 &\quad + \frac{\ln(x-a)}{(2m+1)a^{2m-p+1}} \quad [0 < p \leq 2m+1]
 \end{aligned}$$

17 Integrais envolvendo $\operatorname{sen} ax$

$$17.17.1 \quad \int \operatorname{sen} ax \, dx = -\frac{\cos ax}{a}$$

$$17.17.2 \quad \int x \operatorname{sen} ax \, dx = \frac{\operatorname{sen} ax}{a^2} - \frac{x \cos ax}{a}$$

$$17.17.3 \quad \int x^2 \operatorname{sen} ax \, dx = \frac{2x}{a^2} \operatorname{sen} ax + \left(\frac{2}{a^3} - \frac{x^2}{a} \right) \cos ax$$

$$17.17.4 \quad \int x^3 \operatorname{sen} ax \, dx = \left(\frac{3x^2}{a^2} - \frac{6}{a^4} \right) \operatorname{sen} ax + \left(\frac{6x}{a^3} - \frac{x^3}{a} \right) \cos ax$$

$$17.17.5 \int \frac{\operatorname{sen} ax}{x} dx = ax - \frac{(ax)^3}{3 \cdot 3!} + \frac{(ax)^5}{5 \cdot 5!} - \dots$$

$$17.17.6 \int \frac{\operatorname{sen} ax}{x^2} dx = -\frac{\operatorname{sen} ax}{x} + a \int \frac{\cos ax}{x} dx \quad (\text{Ver 17.18.5.})$$

$$17.17.7 \int \frac{dx}{\operatorname{sen} ax} = \frac{1}{a} \ln(\operatorname{cosec} ax - \operatorname{cotg} ax) = \frac{1}{a} \ln \operatorname{tg} \frac{ax}{2}$$

$$17.17.8 \int \frac{x dx}{\operatorname{sen} ax} = \frac{1}{a^2} \left\{ ax + \frac{(ax)^3}{18} + \frac{7(ax)^5}{1800} + \dots + \frac{2(2^{2n-1} - 1)B_n(ax)^{2n+1}}{(2n+1)!} + \dots \right\}$$

$$17.17.9 \int \operatorname{sen}^2 ax dx = \frac{x}{2} - \frac{\operatorname{sen} 2ax}{4a}$$

$$17.17.10 \int x \operatorname{sen}^2 ax dx = \frac{x^2}{4} - \frac{x \operatorname{sen} 2ax}{4a} - \frac{\cos 2ax}{8a^2}$$

$$17.17.11 \int \operatorname{sen}^3 ax dx = -\frac{\cos ax}{a} + \frac{\cos^3 ax}{3a}$$

$$17.17.12 \int \operatorname{sen}^4 ax dx = \frac{3x}{8} - \frac{\operatorname{sen} 2ax}{4a} + \frac{\operatorname{sen} 4ax}{32a}$$

$$17.17.13 \int \frac{dx}{\operatorname{sen}^2 ax} = -\frac{1}{a} \operatorname{cotg} ax$$

$$17.17.14 \int \frac{dx}{\operatorname{sen}^3 ax} = -\frac{\cos ax}{2a \operatorname{sen}^2 ax} + \frac{1}{2a} \ln \operatorname{tg} \frac{ax}{2}$$

$$17.17.15 \int \operatorname{sen} px \operatorname{sen} qx dx = \frac{\operatorname{sen}(p-q)x}{2(p-q)} - \frac{\operatorname{sen}(p+q)x}{2(p+q)} \quad [p \neq \pm q]$$

$$17.17.16 \int \frac{dx}{1 - \operatorname{sen} ax} = \frac{1}{a} \operatorname{tg} \left(\frac{\pi}{4} + \frac{ax}{2} \right)$$

$$17.17.17 \int \frac{x dx}{1 - \operatorname{sen} ax} = \frac{x}{a} \operatorname{tg} \left(\frac{\pi}{4} + \frac{ax}{2} \right) + \frac{2}{a^2} \ln \operatorname{sen} \left(\frac{\pi}{4} - \frac{ax}{2} \right)$$

$$17.17.18 \int \frac{dx}{1 + \operatorname{sen} ax} = -\frac{1}{a} \operatorname{tg} \left(\frac{\pi}{4} - \frac{ax}{2} \right)$$

$$17.17.19 \int \frac{x dx}{1 + \operatorname{sen} ax} = -\frac{x}{a} \operatorname{tg} \left(\frac{\pi}{4} - \frac{ax}{2} \right) + \frac{2}{a^2} \ln \operatorname{sen} \left(\frac{\pi}{4} + \frac{ax}{2} \right)$$

$$17.17.20 \int \frac{dx}{(1 - \operatorname{sen} ax)^2} = \frac{1}{2a} \operatorname{tg} \left(\frac{\pi}{4} + \frac{ax}{2} \right) + \frac{1}{6a} \operatorname{tg}^3 \left(\frac{\pi}{4} + \frac{ax}{2} \right)$$

$$17.17.21 \int \frac{dx}{(1 + \operatorname{sen} ax)^2} = -\frac{1}{2a} \operatorname{tg} \left(\frac{\pi}{4} - \frac{ax}{2} \right) - \frac{1}{6a} \operatorname{tg}^3 \left(\frac{\pi}{4} - \frac{ax}{2} \right)$$

$$17.17.22 \int \frac{dx}{p + q \operatorname{sen} ax} = \begin{cases} \frac{2}{a\sqrt{p^2 - q^2}} \operatorname{arc} \operatorname{tg} \frac{p \operatorname{tg} \frac{1}{2} ax + q}{\sqrt{p^2 - q^2}} \\ \frac{1}{a\sqrt{q^2 - p^2}} \ln \left(\frac{p \operatorname{tg} \frac{1}{2} ax + q - \sqrt{q^2 - p^2}}{p \operatorname{tg} \frac{1}{2} ax + q + \sqrt{q^2 - p^2}} \right) \end{cases} \quad [p \neq \pm q]$$

$$17.17.23 \int \frac{dx}{(p + q \operatorname{sen} ax)^2} = \frac{q \cos ax}{a(p^2 - q^2)(p + q \operatorname{sen} ax)} + \frac{p}{p^2 - q^2} \int \frac{dx}{p + q \operatorname{sen} ax} \quad [p \neq \pm q]$$

$$17.17.24 \int \frac{dx}{p^2 + q^2 \operatorname{sen}^2 ax} = \frac{1}{ap\sqrt{p^2 + q^2}} \operatorname{arc\,tg} \frac{\sqrt{p^2 + q^2} \operatorname{tg} ax}{p}$$

$$17.17.25 \int \frac{dx}{p^2 - q^2 \operatorname{sen}^2 ax} = \begin{cases} \frac{1}{ap\sqrt{p^2 - q^2}} \operatorname{arc\,tg} \frac{\sqrt{p^2 - q^2} \operatorname{tg} ax}{p} \\ \frac{1}{2ap\sqrt{q^2 - p^2}} \ln \left(\frac{\sqrt{q^2 - p^2} \operatorname{tg} ax + p}{\sqrt{q^2 - p^2} \operatorname{tg} ax - p} \right) \end{cases} \quad [p \neq \pm q]$$

$$17.17.26 \int x^m \operatorname{sen} ax \, dx = -\frac{x^m \cos ax}{a} + \frac{mx^{m-1} \operatorname{sen} ax}{a^2} - \frac{m(m-1)}{a^2} \int x^{m-2} \operatorname{sen} ax \, dx$$

$$17.17.27 \int \frac{\operatorname{sen} ax}{x^n} dx = -\frac{\operatorname{sen} ax}{(n-1)x^{n-1}} + \frac{a}{n-1} \int \frac{\cos ax}{x^{n-1}} dx \quad (\text{Ver 17.18.27.}) \quad [n \neq 1]$$

$$17.17.28 \int \operatorname{sen}^n ax \, dx = -\frac{\operatorname{sen}^{n-1} ax \cos ax}{an} + \frac{n-1}{n} \int \operatorname{sen}^{n-2} ax \, dx$$

$$17.17.29 \int \frac{dx}{\operatorname{sen}^n ax} = \frac{-\cos ax}{a(n-1)\operatorname{sen}^{n-1} ax} + \frac{n-2}{n-1} \int \frac{dx}{\operatorname{sen}^{n-2} ax} \quad [n \neq 1]$$

$$17.17.30 \int \frac{x \, dx}{\operatorname{sen}^n ax} = \frac{-x \cos ax}{a(n-1)\operatorname{sen}^{n-1} ax} - \frac{1}{a^2(n-1)(n-2)\operatorname{sen}^{n-2} ax} + \frac{n-2}{n-1} \int \frac{x \, dx}{\operatorname{sen}^{n-2} ax} \quad [n \neq 1, 2]$$

18 Integrais envolvendo $\cos ax$

$$17.18.1 \int \cos ax \, dx = \frac{\operatorname{sen} ax}{a}$$

$$17.18.2 \int x \cos ax \, dx = \frac{\cos ax}{a^2} + \frac{x \operatorname{sen} ax}{a}$$

$$17.18.3 \int x^2 \cos ax \, dx = \frac{2x}{a^2} \cos ax + \left(\frac{x^2}{a} - \frac{2}{a^3} \right) \operatorname{sen} ax$$

$$17.18.4 \int x^3 \cos ax \, dx = \left(\frac{3x^2}{a^2} - \frac{6}{a^4} \right) \cos ax + \left(\frac{x^3}{a} - \frac{6x}{a^3} \right) \operatorname{sen} ax$$

$$17.18.5 \int \frac{\cos ax}{x} dx = \ln x - \frac{(ax)^2}{2 \cdot 2!} + \frac{(ax)^4}{4 \cdot 4!} - \frac{(ax)^6}{6 \cdot 6!} + \dots$$

$$17.18.6 \int \frac{\cos ax}{x^2} dx = -\frac{\cos ax}{x} - a \int \frac{\operatorname{sen} ax}{x} dx \quad (\text{Ver 17.17.5.})$$

$$17.18.7 \int \frac{dx}{\cos ax} = \frac{1}{a} \ln(\sec ax + \operatorname{tg} ax) = \frac{1}{a} \ln \operatorname{tg} \left(\frac{\pi}{4} + \frac{ax}{2} \right)$$

$$17.18.8 \int \frac{x \, dx}{\cos ax} = \frac{1}{a^2} \left\{ \frac{(ax)^2}{2} + \frac{(ax)^4}{8} + \frac{5(ax)^6}{144} + \dots + \frac{E_n(ax)^{2n+2}}{(2n+2)(2n)!} + \dots \right\}$$

$$17.18.9 \int \cos^2 ax \, dx = \frac{x}{2} + \frac{\operatorname{sen} 2ax}{4a}$$

$$17.18.10 \int x \cos^2 ax \, dx = \frac{x^2}{4} + \frac{x \operatorname{sen} 2ax}{4a} + \frac{\cos 2ax}{8a^2}$$

$$17.18.11 \int \cos^3 ax \, dx = \frac{\operatorname{sen} ax}{a} - \frac{\operatorname{sen}^3 ax}{3a}$$

$$17.18.12 \int \cos^4 ax \, dx = \frac{3x}{8} + \frac{\operatorname{sen} 2ax}{4a} + \frac{\operatorname{sen} 4ax}{32a}$$

- 17.18.13 $\int \frac{dx}{\cos^2 ax} = \frac{\operatorname{tg} ax}{a}$
- 17.18.14 $\int \frac{dx}{\cos^3 ax} = \frac{\operatorname{sen} ax}{2a \cos^2 ax} + \frac{1}{2a} \ln \operatorname{tg} \left(\frac{\pi}{4} + \frac{ax}{2} \right)$
- 17.18.15 $\int \cos ax \cos px \, dx = \frac{\operatorname{sen}(a-p)x}{2(a-p)} + \frac{\operatorname{sen}(a+p)x}{2(a+p)}$ [$a \neq \pm p$]
- 17.18.16 $\int \frac{dx}{1-\cos ax} = -\frac{1}{a} \operatorname{cotg} \frac{ax}{2}$
- 17.18.17 $\int \frac{x \, dx}{1-\cos ax} = -\frac{x}{a} \operatorname{cotg} \frac{ax}{2} + \frac{2}{a^2} \ln \operatorname{sen} \frac{ax}{2}$
- 17.18.18 $\int \frac{dx}{1+\cos ax} = \frac{1}{a} \operatorname{tg} \frac{ax}{2}$
- 17.18.19 $\int \frac{x \, dx}{1+\cos ax} = \frac{x}{a} \operatorname{tg} \frac{ax}{2} + \frac{2}{a^2} \ln \cos \frac{ax}{2}$
- 17.18.20 $\int \frac{dx}{(1-\cos ax)^2} = -\frac{1}{2a} \operatorname{cotg} \frac{ax}{2} - \frac{1}{6a} \operatorname{cotg}^3 \frac{ax}{2}$
- 17.18.21 $\int \frac{dx}{(1+\cos ax)^2} = \frac{1}{2a} \operatorname{tg} \frac{ax}{2} + \frac{1}{6a} \operatorname{tg}^3 \frac{ax}{2}$
- 17.18.22 $\int \frac{dx}{p+q \cos ax} = \begin{cases} \frac{2}{a\sqrt{p^2-q^2}} \operatorname{arc} \operatorname{tg} \sqrt{(p-q)/(p+q)} \operatorname{tg} \frac{1}{2} ax \\ \frac{1}{a\sqrt{q^2-p^2}} \ln \left(\frac{\operatorname{tg} \frac{1}{2} ax + \sqrt{(q+p)/(q-p)}}{\operatorname{tg} \frac{1}{2} ax - \sqrt{(q+p)/(q-p)}} \right) \end{cases}$ [$p \neq \pm q$]
- 17.18.23 $\int \frac{dx}{(p+q \cos ax)^2} = \frac{q \operatorname{sen} ax}{a(q^2-p^2)(p+q \cos ax)} - \frac{p}{q^2-p^2} \int \frac{dx}{p+q \cos ax}$ [$p \neq \pm q$]
- 17.18.24 $\int \frac{dx}{p^2+q^2 \cos^2 ax} = \frac{1}{ap\sqrt{p^2+q^2}} \operatorname{arc} \operatorname{tg} \frac{p \operatorname{tg} ax}{\sqrt{p^2+q^2}}$
- 17.18.25 $\int \frac{dx}{p^2-q^2 \cos^2 ax} = \begin{cases} \frac{1}{ap\sqrt{p^2-q^2}} \operatorname{arc} \operatorname{tg} \frac{p \operatorname{tg} ax}{\sqrt{p^2-q^2}} \\ \frac{1}{2ap\sqrt{q^2-p^2}} \ln \left(\frac{p \operatorname{tg} ax - \sqrt{q^2-p^2}}{p \operatorname{tg} ax + \sqrt{q^2-p^2}} \right) \end{cases}$ [$p \neq \pm q$]
- 17.18.26 $\int x^m \cos ax \, dx = \frac{x^m \operatorname{sen} ax}{a} + \frac{mx^{m-1}}{a^2} \cos ax - \frac{m(m-1)}{a^2} \int x^{m-2} \cos ax \, dx$
- 17.18.27 $\int \frac{\cos ax}{x^n} \, dx = -\frac{\cos ax}{(n-1)x^{n-1}} - \frac{a}{n-1} \int \frac{\operatorname{sen} ax}{x^{n-1}} \, dx$ (Ver 17.17.27.) [$n \neq 1$]
- 17.18.28 $\int \cos^n ax \, dx = \frac{\operatorname{sen} ax \cos^{n-1} ax}{an} + \frac{n-1}{n} \int \cos^{n-2} ax \, dx$
- 17.18.29 $\int \frac{dx}{\cos^n ax} = \frac{\operatorname{sen} ax}{a(n-1) \cos^{n-1} ax} + \frac{n-2}{n-1} \int \frac{dx}{\cos^{n-2} ax}$ [$n \neq 1$]
- 17.18.30 $\int \frac{x \, dx}{\cos^n ax} = \frac{x \operatorname{sen} ax}{a(n-1) \cos^{n-1} ax} - \frac{1}{a^2(n-1)(n-2) \cos^{n-2} ax} + \frac{n-2}{n-1} \int \frac{x \, dx}{\cos^{n-2} ax}$ [$n \neq 1, 2$]

19 Integrais envolvendo $\text{sen } ax$ e $\text{cos } ax$

$$17.19.1 \quad \int \text{sen } ax \cos ax \, dx = \frac{\text{sen}^2 ax}{2a}$$

$$17.19.2 \quad \int \text{sen } px \cos qx \, dx = -\frac{\cos(p-q)x}{2(p-q)} - \frac{\cos(p+q)x}{2(p+q)} \quad [p \neq \pm q]$$

$$17.19.3 \quad \int \text{sen}^n ax \cos ax \, dx = \frac{\text{sen}^{n+1} ax}{(n+1)a} \quad [n \neq -1]$$

$$17.19.4 \quad \int \text{cos}^n ax \text{sen } ax \, dx = -\frac{\text{cos}^{n+1} ax}{(n+1)a} \quad [n \neq -1]$$

$$17.19.5 \quad \int \text{sen}^2 ax \cos^2 ax \, dx = \frac{x}{8} - \frac{\text{sen } 4ax}{32a}$$

$$17.19.6 \quad \int \frac{dx}{\text{sen } ax \cos ax} = \frac{1}{a} \ln \text{tg } ax$$

$$17.19.7 \quad \int \frac{dx}{\text{sen}^2 ax \cos ax} = \frac{1}{a} \ln \text{tg} \left(\frac{\pi}{4} + \frac{ax}{2} \right) - \frac{1}{a \text{sen } ax}$$

$$17.19.8 \quad \int \frac{dx}{\text{sen } ax \cos^2 ax} = \frac{1}{a} \ln \text{tg} \frac{ax}{2} + \frac{1}{a \cos ax}$$

$$17.19.9 \quad \int \frac{dx}{\text{sen}^2 ax \cos^2 ax} = -\frac{2 \cotg 2ax}{a}$$

$$17.19.10 \quad \int \frac{\text{sen}^2 ax}{\cos ax} \, dx = -\frac{\text{sen } ax}{a} + \frac{1}{a} \ln \text{tg} \left(\frac{ax}{2} + \frac{\pi}{4} \right)$$

$$17.19.11 \quad \int \frac{\cos^2 ax}{\text{sen } ax} \, dx = \frac{\cos ax}{a} + \frac{1}{a} \ln \text{tg} \frac{ax}{2}$$

$$17.19.12 \quad \int \frac{dx}{\cos ax(1 \pm \text{sen } ax)} = \mp \frac{1}{2a(1 \pm \text{sen } ax)} + \frac{1}{2a} \ln \text{tg} \left(\frac{ax}{2} + \frac{\pi}{4} \right)$$

$$17.19.13 \quad \int \frac{dx}{\text{sen } ax(1 \pm \cos ax)} = \pm \frac{1}{2a(1 \pm \cos ax)} + \frac{1}{2a} \ln \text{tg} \frac{ax}{2}$$

$$17.19.14 \quad \int \frac{dx}{\text{sen } ax \pm \cos ax} = \frac{1}{a\sqrt{2}} \ln \text{tg} \left(\frac{ax}{2} \pm \frac{\pi}{8} \right)$$

$$17.19.15 \quad \int \frac{\text{sen } ax \, dx}{\text{sen } ax \pm \cos ax} = \frac{x}{2} \mp \frac{1}{2a} \ln(\text{sen } ax \pm \cos ax)$$

$$17.19.16 \quad \int \frac{\cos ax \, dx}{\text{sen } ax \pm \cos ax} = \pm \frac{x}{2} + \frac{1}{2a} \ln(\text{sen } ax \pm \cos ax)$$

$$17.19.17 \quad \int \frac{\text{sen } ax \, dx}{p+q \cos ax} = -\frac{1}{aq} \ln(p+q \cos ax)$$

$$17.19.18 \quad \int \frac{\cos ax \, dx}{p+q \text{sen } ax} = \frac{1}{aq} \ln(p+q \text{sen } ax)$$

$$17.19.19 \quad \int \frac{\text{sen } ax \, dx}{(p+q \cos ax)^n} = \frac{1}{aq(n-1)(p+q \cos ax)^{n-1}} \quad [n \neq 1]$$

$$17.19.20 \quad \int \frac{\cos ax \, dx}{(p+q \text{sen } ax)^n} = \frac{-1}{aq(n-1)(p+q \text{sen } ax)^{n-1}} \quad [n \neq 1]$$

$$17.19.21 \quad \int \frac{dx}{p \text{sen } ax + q \cos ax} = \frac{1}{a\sqrt{p^2+q^2}} \ln \text{tg} \left(\frac{ax + \text{arc tg}(q/p)}{2} \right)$$

$$17.19.22 \int \frac{dx}{p \operatorname{sen} ax + q \cos ax + r} = \begin{cases} \frac{2}{a\sqrt{r^2 - p^2 - q^2}} \operatorname{arc} \operatorname{tg} \left(\frac{p + (r - q) \operatorname{tg}(ax/2)}{\sqrt{r^2 - p^2 - q^2}} \right) & [r \neq p \text{ e } r^2 \neq p^2 + q^2] \\ \frac{1}{a\sqrt{p^2 + q^2 - r^2}} \ln \left(\frac{p - \sqrt{p^2 + q^2 - r^2} + (r - q) \operatorname{tg}(ax/2)}{p + \sqrt{p^2 + q^2 - r^2} + (r - q) \operatorname{tg}(ax/2)} \right) \end{cases}$$

$$17.19.23 \int \frac{dx}{p \operatorname{sen} ax + q(1 + \cos ax)} = \frac{1}{ap} \ln \left(q + p \operatorname{tg} \frac{ax}{2} \right)$$

$$17.19.24 \int \frac{dx}{p \operatorname{sen} ax + q \cos ax \pm \sqrt{p^2 + q^2}} = \frac{-1}{a\sqrt{p^2 + q^2}} \operatorname{tg} \left(\frac{\pi}{4} \mp \frac{ax + \operatorname{arc} \operatorname{tg}(q/p)}{2} \right)$$

$$17.19.25 \int \frac{dx}{p^2 \operatorname{sen}^2 ax + q^2 \cos^2 ax} = \frac{1}{apq} \operatorname{arc} \operatorname{tg} \left(\frac{p \operatorname{tg} ax}{q} \right)$$

$$17.19.26 \int \frac{dx}{p^2 \operatorname{sen}^2 ax - q^2 \cos^2 ax} = \frac{1}{2apq} \ln \left(\frac{p \operatorname{tg} ax - q}{p \operatorname{tg} ax + q} \right)$$

$$17.19.27 \int \operatorname{sen}^m ax \cos^n ax \, dx = \begin{cases} -\frac{\operatorname{sen}^{m-1} ax \cos^{n+1} ax}{a(m+n)} + \frac{m-1}{m+n} \int \operatorname{sen}^{m-2} ax \cos^n ax \, dx & [m \neq -n] \\ \frac{\operatorname{sen}^{m+1} ax \cos^{n-1} ax}{a(m+n)} + \frac{n-1}{m+n} \int \operatorname{sen}^m ax \cos^{n-2} ax \, dx \end{cases}$$

$$17.19.28 \int \frac{\operatorname{sen}^m ax}{\cos^n ax} \, dx = \begin{cases} \frac{\operatorname{sen}^{m-1} ax}{a(n-1) \cos^{n-1} ax} - \frac{m-1}{n-1} \int \frac{\operatorname{sen}^{m-2} ax}{\cos^{n-2} ax} \, dx \\ \frac{\operatorname{sen}^{m+1} ax}{a(n-1) \cos^{n-1} ax} - \frac{m-n+2}{n-1} \int \frac{\operatorname{sen}^m ax}{\cos^{n-2} ax} \, dx \\ \frac{-\operatorname{sen}^{m-1} ax}{a(m-n) \cos^{n-1} ax} + \frac{m-1}{m-n} \int \frac{\operatorname{sen}^{m-2} ax}{\cos^n ax} \, dx \end{cases} \quad [m \neq n, n \neq 1]$$

$$17.19.29 \int \frac{\cos^m ax}{\operatorname{sen}^n ax} \, dx = \begin{cases} \frac{-\cos^{m-1} ax}{a(n-1) \operatorname{sen}^{n-1} ax} - \frac{m-1}{n-1} \int \frac{\cos^{m-2} ax}{\operatorname{sen}^{n-2} ax} \, dx \\ \frac{-\cos^{m+1} ax}{a(n-1) \operatorname{sen}^{n-1} ax} - \frac{m-n+2}{n-1} \int \frac{\cos^m ax}{\operatorname{sen}^{n-2} ax} \, dx \\ \frac{\cos^{m-1} ax}{a(m-n) \operatorname{sen}^{n-1} ax} + \frac{m-1}{m-n} \int \frac{\cos^{m-2} ax}{\operatorname{sen}^n ax} \, dx \end{cases} \quad [m \neq n, n \neq 1]$$

$$17.19.30 \int \frac{dx}{\operatorname{sen}^m ax \cos^n ax} = \begin{cases} \frac{1}{a(n-1) \operatorname{sen}^{m-1} ax \cos^{n-1} ax} + \frac{m+n-2}{n-1} \int \frac{dx}{\operatorname{sen}^m ax \cos^{n-2} ax} \\ \frac{-1}{a(m-1) \operatorname{sen}^{m-1} ax \cos^{n-1} ax} + \frac{m+n-2}{m-1} \int \frac{dx}{\operatorname{sen}^{m-2} ax \cos^n ax} \end{cases} \quad [m, n \neq 1]$$

20 Integrais envolvendo $\operatorname{tg} ax$

$$17.20.1 \int \operatorname{tg} ax \, dx = -\frac{1}{a} \ln \cos ax = \frac{1}{a} \ln \sec ax$$

$$17.20.2 \int \operatorname{tg}^2 ax \, dx = \frac{\operatorname{tg} ax}{a} - x$$

$$17.20.3 \int \operatorname{tg}^3 ax \, dx = \frac{\operatorname{tg}^2 ax}{2a} + \frac{1}{a} \ln \cos ax$$

$$17.20.4 \int \operatorname{tg}^n ax \sec^2 ax \, dx = \frac{\operatorname{tg}^{n+1} ax}{(n+1)a}$$

$$17.20.5 \int \frac{\sec^2 ax}{\operatorname{tg} ax} dx = \frac{1}{a} \ln \operatorname{tg} ax$$

$$17.20.6 \int \frac{dx}{\operatorname{tg} ax} = \frac{1}{a} \ln \operatorname{sen} ax$$

$$17.20.7 \int x \operatorname{tg} ax dx = \frac{1}{a^2} \left\{ \frac{(ax)^3}{3} + \frac{(ax)^5}{15} + \frac{2(ax)^7}{105} + \dots + \frac{2^{2n}(2^{2n}-1)B_n(ax)^{2n+1}}{(2n+1)!} + \dots \right\}$$

$$17.20.8 \int \frac{\operatorname{tg} ax}{x} dx = ax + \frac{(ax)^3}{9} + \frac{2(ax)^5}{75} + \dots + \frac{2^{2n}(2^{2n}-1)B_n(ax)^{2n-1}}{(2n-1)(2n)!} + \dots$$

$$17.20.9 \int x \operatorname{tg}^2 ax dx = \frac{x \operatorname{tg} ax}{a} + \frac{1}{a^2} \ln \cos ax - \frac{x^2}{2}$$

$$17.20.10 \int \frac{dx}{p+q \operatorname{tg} ax} = \frac{px}{p^2+q^2} + \frac{q}{a(p^2+q^2)} \ln(q \operatorname{sen} ax + p \cos ax)$$

$$17.20.11 \int \operatorname{tg}^n ax dx = \frac{\operatorname{tg}^{n-1} ax}{(n-1)a} - \int \operatorname{tg}^{n-2} ax dx \quad [n \neq 1]$$

21 Integrais envolvendo $\operatorname{cotg} ax$

$$17.21.1 \int \operatorname{cotg} ax dx = \frac{1}{a} \ln \operatorname{sen} ax$$

$$17.21.2 \int \operatorname{cotg}^2 ax dx = -\frac{\operatorname{cotg} ax}{a} - x$$

$$17.21.3 \int \operatorname{cotg}^3 ax dx = -\frac{\operatorname{cotg}^2 ax}{2a} - \frac{1}{a} \ln \operatorname{sen} ax$$

$$17.21.4 \int \operatorname{cotg}^n ax \operatorname{cosec}^2 ax dx = -\frac{\operatorname{cotg}^{n+1} ax}{(n+1)a}$$

$$17.21.5 \int \frac{\operatorname{cosec}^2 ax}{\operatorname{cotg} ax} dx = -\frac{1}{a} \ln \operatorname{cotg} ax$$

$$17.21.6 \int \frac{dx}{\operatorname{cotg} ax} = -\frac{1}{a} \ln \cos ax$$

$$17.21.7 \int x \operatorname{cotg} ax dx = \frac{1}{a^2} \left\{ ax - \frac{(ax)^3}{9} - \frac{(ax)^5}{225} - \dots - \frac{2^{2n} B_n(ax)^{2n+1}}{(2n+1)!} - \dots \right\}$$

$$17.21.8 \int \frac{\operatorname{cotg} ax}{x} dx = -\frac{1}{ax} - \frac{ax}{3} - \frac{(ax)^3}{135} - \dots - \frac{2^{2n} B_n(ax)^{2n-1}}{(2n-1)(2n)!} - \dots$$

$$17.21.9 \int x \operatorname{cotg}^2 ax dx = -\frac{x \operatorname{cotg} ax}{a} + \frac{1}{a^2} \ln \operatorname{sen} ax - \frac{x^2}{2}$$

$$17.21.10 \int \frac{dx}{p+q \operatorname{cotg} ax} = \frac{px}{p^2+q^2} - \frac{q}{a(p^2+q^2)} \ln(q \operatorname{sen} ax + q \cos ax)$$

$$17.21.11 \int \operatorname{cotg}^n ax dx = -\frac{\operatorname{cotg}^{n-1} ax}{(n-1)a} - \int \operatorname{cotg}^{n-2} ax dx \quad [n \neq 1]$$

22 Integrais envolvendo $\sec ax$

$$17.22.1 \quad \int \sec ax \, dx = \frac{1}{a} \ln(\sec ax + \operatorname{tg} ax) = \frac{1}{a} \ln \operatorname{tg} \left(\frac{ax}{2} + \frac{\pi}{4} \right)$$

$$17.22.2 \quad \int \sec^2 ax \, dx = \frac{\operatorname{tg} ax}{a}$$

$$17.22.3 \quad \int \sec^3 ax \, dx = \frac{\sec ax \operatorname{tg} ax}{2a} + \frac{1}{2a} \ln(\sec ax + \operatorname{tg} ax)$$

$$17.22.4 \quad \int \sec^n ax \operatorname{tg} ax \, dx = \frac{\sec^n ax}{na}$$

$$17.22.5 \quad \int \frac{dx}{\sec ax} = \frac{\operatorname{sen} ax}{a}$$

$$17.22.6 \quad \int x \sec ax \, dx = \frac{1}{a^2} \left\{ \frac{(ax)^2}{2} + \frac{(ax)^4}{8} + \frac{5(ax)^6}{144} + \dots + \frac{E_n(ax)^{2n+2}}{(2n+2)(2n)!} + \dots \right\}$$

$$17.22.7 \quad \int \frac{\sec ax}{x} \, dx = \ln x + \frac{(ax)^2}{4} + \frac{5(ax)^4}{96} + \frac{61(ax)^6}{4320} + \dots + \frac{E_n(ax)^{2n}}{2n(2n)!} + \dots$$

$$17.22.8 \quad \int x \sec^2 ax \, dx = \frac{x}{a} \operatorname{tg} ax + \frac{1}{a^2} \ln \cos ax$$

$$17.22.9 \quad \int \frac{dx}{q + p \sec ax} = \frac{x}{q} - \frac{p}{q} \int \frac{dx}{p + q \cos ax}$$

$$17.22.10 \quad \int \sec^n ax \, dx = \frac{\sec^{n-2} ax \operatorname{tg} ax}{a(n-1)} + \frac{n-2}{n-1} \int \sec^{n-2} ax \, dx \quad [n \neq 1]$$

23 Integrais envolvendo $\operatorname{cosec} ax$

$$17.23.1 \quad \int \operatorname{cosec} ax \, dx = \frac{1}{a} \ln(\operatorname{cosec} ax - \operatorname{cotg} ax) = \frac{1}{a} \ln \operatorname{tg} \frac{ax}{2}$$

$$17.23.2 \quad \int \operatorname{cosec}^2 ax \, dx = -\frac{\operatorname{cotg} ax}{a}$$

$$17.23.3 \quad \int \operatorname{cosec}^3 ax \, dx = -\frac{\operatorname{cosec} ax \operatorname{cotg} ax}{2a} + \frac{1}{2a} \ln \operatorname{tg} \frac{ax}{2}$$

$$17.23.4 \quad \int \operatorname{cosec}^n ax \operatorname{cotg} ax \, dx = -\frac{\operatorname{cosec}^n ax}{na}$$

$$17.23.5 \quad \int \frac{dx}{\operatorname{cosec} ax} = -\frac{\cos ax}{a}$$

$$17.23.6 \quad \int x \operatorname{cosec} ax \, dx = \frac{1}{a^2} \left\{ ax + \frac{(ax)^3}{18} + \frac{7(ax)^5}{1800} + \dots + \frac{2(2^{2n-1} - 1)B_n(ax)^{2n+1}}{(2n+1)!} + \dots \right\}$$

$$17.23.7 \quad \int \frac{\operatorname{cosec} ax}{x} \, dx = -\frac{1}{ax} + \frac{ax}{6} + \frac{7(ax)^3}{1080} + \dots + \frac{2(2^{2n-1} - 1)B_n(ax)^{2n-1}}{(2n-1)(2n)!} + \dots$$

$$17.23.8 \int x \operatorname{cosec}^2 ax \, dx = -\frac{x \operatorname{cotg} ax}{a} + \frac{1}{a^2} \ln \operatorname{sen} ax$$

$$17.23.9 \int \frac{dx}{q + p \operatorname{cosec} ax} = \frac{x}{q} - \frac{p}{q} \int \frac{dx}{p + q \operatorname{sen} ax} \quad (\text{Ver } 17.17.22.)$$

$$17.23.10 \int \operatorname{cosec}^n ax \, dx = -\frac{\operatorname{cosec}^{n-2} ax \operatorname{cotg} ax}{a(n-1)} + \frac{n-2}{n-1} \int \operatorname{cosec}^{n-2} ax \, dx \quad [n \neq 1]$$

24 Integrais envolvendo funções trigonométricas inversas

$$17.24.1 \int \operatorname{arc} \operatorname{sen} \frac{x}{a} \, dx = x \operatorname{arc} \operatorname{sen} \frac{x}{a} + \sqrt{a^2 - x^2}$$

$$17.24.2 \int x \operatorname{arc} \operatorname{sen} \frac{x}{a} \, dx = \left(\frac{x^2}{2} - \frac{a^2}{4} \right) \operatorname{arc} \operatorname{sen} \frac{x}{a} + \frac{x\sqrt{a^2 - x^2}}{4}$$

$$17.24.3 \int x^2 \operatorname{arc} \operatorname{sen} \frac{x}{a} \, dx = \frac{x^3}{3} \operatorname{arc} \operatorname{sen} \frac{x}{a} + \frac{(x^2 + 2a^2)\sqrt{a^2 - x^2}}{9}$$

$$17.24.4 \int \frac{\operatorname{arc} \operatorname{sen}(x/a)}{x} \, dx = \frac{x}{a} + \frac{(x/a)^3}{2 \cdot 3 \cdot 3} + \frac{1 \cdot 3 \cdot (x/a)^5}{2 \cdot 4 \cdot 5 \cdot 5} + \frac{1 \cdot 3 \cdot 5 \cdot (x/a)^7}{2 \cdot 4 \cdot 6 \cdot 7 \cdot 7} + \dots$$

$$17.24.5 \int \frac{\operatorname{arc} \operatorname{sen}(x/a)}{x^2} \, dx = -\frac{\operatorname{arc} \operatorname{sen}(x/a)}{x} - \frac{1}{a} \ln \left(\frac{a + \sqrt{a^2 - x^2}}{x} \right)$$

$$17.24.6 \int \left(\operatorname{arc} \operatorname{sen} \frac{x}{a} \right)^2 \, dx = x \left(\operatorname{arc} \operatorname{sen} \frac{x}{a} \right)^2 - 2x + 2\sqrt{a^2 - x^2} \operatorname{arc} \operatorname{sen} \frac{x}{a}$$

$$17.24.7 \int \operatorname{arc} \operatorname{cos} \frac{x}{a} \, dx = x \operatorname{arc} \operatorname{cos} \frac{x}{a} - \sqrt{a^2 - x^2}$$

$$17.24.8 \int x \operatorname{arc} \operatorname{cos} \frac{x}{a} \, dx = \left(\frac{x^2}{2} - \frac{a^2}{4} \right) \operatorname{arc} \operatorname{cos} \frac{x}{a} - \frac{x\sqrt{a^2 - x^2}}{4}$$

$$17.24.9 \int x^2 \operatorname{arc} \operatorname{cos} \frac{x}{a} \, dx = \frac{x^3}{3} \operatorname{arc} \operatorname{cos} \frac{x}{a} - \frac{(x^2 + 2a^2)\sqrt{a^2 - x^2}}{9}$$

$$17.24.10 \int \frac{\operatorname{arc} \operatorname{cos}(x/a)}{x} \, dx = \frac{\pi}{2} \ln x - \int \frac{\operatorname{arc} \operatorname{sen}(x/a)}{x} \, dx \quad (\text{Ver } 17.24.4.)$$

$$17.24.11 \int \frac{\operatorname{arc} \operatorname{cos}(x/a)}{x^2} \, dx = -\frac{\operatorname{arc} \operatorname{cos}(x/a)}{x} + \frac{1}{a} \ln \left(\frac{a + \sqrt{a^2 - x^2}}{x} \right)$$

$$17.24.12 \int \left(\operatorname{arc} \operatorname{cos} \frac{x}{a} \right)^2 \, dx = x \left(\operatorname{arc} \operatorname{cos} \frac{x}{a} \right)^2 - 2x - 2\sqrt{a^2 - x^2} \operatorname{arc} \operatorname{cos} \frac{x}{a}$$

$$17.24.13 \int \operatorname{arc} \operatorname{tg} \frac{x}{a} \, dx = x \operatorname{arc} \operatorname{tg} \frac{x}{a} - \frac{a}{2} \ln(x^2 + a^2)$$

$$17.24.14 \int x \operatorname{arc} \operatorname{tg} \frac{x}{a} \, dx = \frac{1}{2}(x^2 + a^2) \operatorname{arc} \operatorname{tg} \frac{x}{a} - \frac{ax}{2}$$

$$17.24.15 \int x^2 \operatorname{arc} \operatorname{tg} \frac{x}{a} \, dx = \frac{x^3}{3} \operatorname{arc} \operatorname{tg} \frac{x}{a} - \frac{ax^2}{6} + \frac{a^3}{6} \ln(x^2 + a^2)$$

$$17.24.16 \int \frac{\operatorname{arc} \operatorname{tg}(x/a)}{x} \, dx = \frac{x}{a} - \frac{(x/a)^3}{3^2} + \frac{(x/a)^5}{5^2} - \frac{(x/a)^7}{7^2} + \dots$$

$$17.24.17 \int \frac{\operatorname{arc} \operatorname{tg}(x/a)}{x^2} \, dx = -\frac{1}{x} \operatorname{arc} \operatorname{tg} \frac{x}{a} - \frac{1}{2a} \ln \left(\frac{x^2 + a^2}{x^2} \right)$$

$$17.24.18 \int \operatorname{arc\,cotg} \frac{x}{a} dx = x \operatorname{arc\,cotg} \frac{x}{a} + \frac{a}{2} \ln(x^2 + a^2)$$

$$17.24.19 \int x \operatorname{arc\,cotg} \frac{x}{a} dx = \frac{1}{2}(x^2 + a^2) \operatorname{arc\,cotg} \frac{x}{a} + \frac{ax}{2}$$

$$17.24.20 \int x^2 \operatorname{arc\,cotg} \frac{x}{a} dx = \frac{x^3}{3} \operatorname{arc\,cotg} \frac{x}{a} + \frac{ax^2}{6} - \frac{a^3}{6} \ln(x^2 + a^2)$$

$$17.24.21 \int \frac{\operatorname{arc\,cotg}(x/a)}{x} dx = \frac{\pi}{2} \ln x - \int \frac{\operatorname{arc\,tg}(x/a)}{x} dx \quad (\text{Ver 17.24.16.})$$

$$17.24.22 \int \frac{\operatorname{arc\,cotg}(x/a)}{x^2} dx = \frac{\operatorname{arc\,cotg}(x/a)}{x} + \frac{1}{2a} \ln\left(\frac{x^2 + a^2}{x^2}\right)$$

$$17.24.23 \int \operatorname{arc\,sec} \frac{x}{a} dx = \begin{cases} x \operatorname{arc\,sec} \frac{x}{a} - a \ln(x + \sqrt{x^2 - a^2}) & 0 < \operatorname{arc\,sec} \frac{x}{a} < \frac{\pi}{2} \\ x \operatorname{arc\,sec} \frac{x}{a} + a \ln(x + \sqrt{x^2 - a^2}) & \frac{\pi}{2} < \operatorname{arc\,sec} \frac{x}{a} < \pi \end{cases}$$

$$17.24.24 \int x \operatorname{arc\,sec} \frac{x}{a} dx = \begin{cases} \frac{x^2}{2} \operatorname{arc\,sec} \frac{x}{a} - \frac{a\sqrt{x^2 - a^2}}{2} & 0 < \operatorname{arc\,sec} \frac{x}{a} < \frac{\pi}{2} \\ \frac{x^2}{2} \operatorname{arc\,sec} \frac{x}{a} + \frac{a\sqrt{x^2 - a^2}}{2} & \frac{\pi}{2} < \operatorname{arc\,sec} \frac{x}{a} < \pi \end{cases}$$

$$17.24.25 \int x^2 \operatorname{arc\,sec} \frac{x}{a} dx = \begin{cases} \frac{x^3}{3} \operatorname{arc\,sec} \frac{x}{a} - \frac{ax\sqrt{x^2 - a^2}}{6} - \frac{a^3}{6} \ln(x + \sqrt{x^2 - a^2}) & 0 < \operatorname{arc\,sec} \frac{x}{a} < \frac{\pi}{2} \\ \frac{x^3}{3} \operatorname{arc\,sec} \frac{x}{a} + \frac{ax\sqrt{x^2 - a^2}}{6} + \frac{a^3}{6} \ln(x + \sqrt{x^2 - a^2}) & \frac{\pi}{2} < \operatorname{arc\,sec} \frac{x}{a} < \pi \end{cases}$$

$$17.24.26 \int \frac{\operatorname{arc\,sec}(x/a)}{x} dx = \frac{\pi}{2} \ln x + \frac{a}{x} + \frac{(ax)^3}{2 \cdot 3 \cdot 3} + \frac{1 \cdot 3 (ax)^5}{2 \cdot 4 \cdot 5 \cdot 5} + \frac{1 \cdot 3 \cdot 5 (ax)^7}{2 \cdot 4 \cdot 6 \cdot 7 \cdot 7} + \dots$$

$$17.24.27 \int \frac{\operatorname{arc\,sec}(x/a)}{x^2} dx = \begin{cases} -\frac{\operatorname{arc\,sec}(x/a)}{x} + \frac{\sqrt{x^2 - a^2}}{ax} & 0 < \operatorname{arc\,sec} \frac{x}{a} < \frac{\pi}{2} \\ -\frac{\operatorname{arc\,sec}(x/a)}{x} - \frac{\sqrt{x^2 - a^2}}{ax} & \frac{\pi}{2} < \operatorname{arc\,sec} \frac{x}{a} < \pi \end{cases}$$

$$17.24.28 \int \operatorname{arc\,cosec} \frac{x}{a} dx = \begin{cases} x \operatorname{arc\,cosec} \frac{x}{a} + a \ln(x + \sqrt{x^2 - a^2}) & 0 < \operatorname{arc\,cosec} \frac{x}{a} < \frac{\pi}{2} \\ x \operatorname{arc\,cosec} \frac{x}{a} - a \ln(x + \sqrt{x^2 - a^2}) & -\frac{\pi}{2} < \operatorname{arc\,cosec} \frac{x}{a} < 0 \end{cases}$$

$$17.24.29 \int x \operatorname{arc\,cosec} \frac{x}{a} dx = \begin{cases} \frac{x^2}{2} \operatorname{arc\,cosec} \frac{x}{a} + \frac{a\sqrt{x^2 - a^2}}{2} & 0 < \operatorname{arc\,cosec} \frac{x}{a} < \frac{\pi}{2} \\ \frac{x^2}{2} \operatorname{arc\,cosec} \frac{x}{a} - \frac{a\sqrt{x^2 - a^2}}{2} & -\frac{\pi}{2} < \operatorname{arc\,cosec} \frac{x}{a} < 0 \end{cases}$$

17.24.30

$$\int x^2 \operatorname{arc\,cosec} \frac{x}{a} dx = \begin{cases} \frac{x^3}{3} \operatorname{arc\,cosec} \frac{x}{a} + \frac{ax\sqrt{x^2 - a^2}}{6} + \frac{a^3}{6} \ln(x + \sqrt{x^2 - a^2}) & 0 < \operatorname{arc\,cosec} \frac{x}{a} < \frac{\pi}{2} \\ \frac{x^3}{3} \operatorname{arc\,cosec} \frac{x}{a} - \frac{ax\sqrt{x^2 - a^2}}{6} - \frac{a^3}{6} \ln(x + \sqrt{x^2 - a^2}) & -\frac{\pi}{2} < \operatorname{arc\,cosec} \frac{x}{a} < 0 \end{cases}$$

$$17.24.31 \int \frac{\operatorname{arc cosec}(x/a)}{x} dx = -\left(\frac{a}{x} + \frac{(a/x)^3}{2 \cdot 3 \cdot 3} + \frac{1 \cdot 3 \cdot (a/x)^5}{2 \cdot 4 \cdot 5 \cdot 5} + \frac{1 \cdot 3 \cdot 5 \cdot (a/x)^7}{2 \cdot 4 \cdot 6 \cdot 7 \cdot 7} + \dots\right)$$

$$17.24.32 \int \frac{\operatorname{arc cosec}(x/a)}{x^2} dx = \begin{cases} -\frac{\operatorname{arc cosec}(x/a)}{x} - \frac{\sqrt{x^2 - a^2}}{ax} & 0 < \operatorname{arc cosec} \frac{x}{a} < \frac{\pi}{2} \\ -\frac{\operatorname{arc cosec}(x/a)}{x} + \frac{\sqrt{x^2 - a^2}}{ax} & -\frac{\pi}{2} < \operatorname{arc cosec} \frac{x}{a} < 0 \end{cases}$$

$$17.24.33 \int x^m \operatorname{arc sen} \frac{x}{a} dx = \frac{x^{m+1}}{m+1} \operatorname{arc sen} \frac{x}{a} - \frac{1}{m+1} \int \frac{x^{m+1}}{\sqrt{a^2 - x^2}} dx$$

$$17.24.34 \int x^m \operatorname{arc cos} \frac{x}{a} dx = \frac{x^{m+1}}{m+1} \operatorname{arc sen} \frac{x}{a} + \frac{1}{m+1} \int \frac{x^{m+1}}{\sqrt{a^2 - x^2}} dx$$

$$17.24.35 \int x^m \operatorname{arc tg} \frac{x}{a} dx = \frac{x^{m+1}}{m+1} \operatorname{arc tg} \frac{x}{a} - \frac{a}{m+1} \int \frac{x^{m+1}}{x^2 + a^2} dx$$

$$17.24.36 \int x^m \operatorname{arc cotg} \frac{x}{a} dx = \frac{x^{m+1}}{m+1} \operatorname{arc cotg} \frac{x}{a} + \frac{a}{m+1} \int \frac{x^{m+1}}{x^2 + a^2} dx$$

$$17.24.37 \int x^m \operatorname{arc sec} \frac{x}{a} dx = \begin{cases} \frac{x^{m+1} \operatorname{arc sec}(x/a)}{m+1} - \frac{a}{m+1} \int \frac{x^m dx}{\sqrt{x^2 - a^2}} & 0 < \operatorname{arc sec} \frac{x}{a} < \frac{\pi}{2} \\ \frac{x^{m+1} \operatorname{arc sec}(x/a)}{m+1} + \frac{a}{m+1} \int \frac{x^m dx}{\sqrt{x^2 - a^2}} & \frac{\pi}{2} < \operatorname{arc sec} \frac{x}{a} < \pi \end{cases}$$

$$17.24.38 \int x^m \operatorname{arc cosec} \frac{x}{a} dx = \begin{cases} \frac{x^{m+1} \operatorname{arc sec}(x/a)}{m+1} + \frac{a}{m+1} \int \frac{x^m dx}{\sqrt{x^2 - a^2}} & 0 < \operatorname{arc cosec} \frac{x}{a} < \frac{\pi}{2} \\ \frac{x^{m+1} \operatorname{arc cosec}(x/a)}{m+1} - \frac{a}{m+1} \int \frac{x^m dx}{\sqrt{x^2 - a^2}} & -\frac{\pi}{2} < \operatorname{arc cosec} \frac{x}{a} < 0 \end{cases}$$

25 Integrais envolvendo e^{ax}

$$17.25.1 \int e^{ax} dx = \frac{e^{ax}}{a}$$

$$17.25.2 \int x e^{ax} dx = \frac{e^{ax}}{a} \left(x - \frac{1}{a} \right)$$

$$17.25.3 \int x^2 e^{ax} dx = \frac{e^{ax}}{a} \left(x^2 - \frac{2x}{a} + \frac{2}{a^2} \right)$$

$$17.25.4 \int x^n e^{ax} dx = \frac{x^n e^{ax}}{a} - \frac{n}{a} \int x^{n-1} e^{ax} dx$$

$$= \frac{e^{ax}}{a} \left(x^n - \frac{nx^{n-1}}{a} + \frac{n(n-1)x^{n-2}}{a^2} - \dots - \frac{(-1)^n n!}{a^n} \right)$$

[$n =$ inteiro positivo]

$$17.25.5 \int \frac{e^{ax}}{x} dx = \ln x + \frac{ax}{1 \cdot 1!} + \frac{(ax)^2}{2 \cdot 2!} + \frac{(ax)^3}{3 \cdot 3!} + \dots$$

$$17.25.6 \int \frac{e^{ax}}{x^n} dx = \frac{-e^{ax}}{(n-1)x^{n-1}} + \frac{a}{n-1} \int \frac{e^{ax}}{x^{n-1}} dx$$

[$n \neq 1$]

$$17.25.7 \int \frac{dx}{p + qe^{ax}} = \frac{x}{p} - \frac{1}{ap} \ln(p + qe^{ax})$$

$$17.25.8 \int \frac{dx}{(p + qe^{ax})^2} = \frac{x}{p^2} + \frac{1}{ap(p + qe^{ax})} - \frac{1}{ap^2} \ln(p + qe^{ax})$$

$$17.25.9 \int \frac{dx}{pe^{ax} + qe^{-ax}} = \frac{1}{a\sqrt{pq}} \operatorname{arc\,tg} \left(\sqrt{\frac{p}{q}} e^{ax} \right) = \frac{1}{2a\sqrt{-pq}} \ln \left(\frac{e^{ax} - \sqrt{-q/p}}{e^{ax} + \sqrt{-q/p}} \right)$$

$$17.25.10 \int e^{ax} \operatorname{sen} bx \, dx = \frac{e^{ax}(a \operatorname{sen} bx - b \cos bx)}{a^2 + b^2}$$

$$17.25.11 \int e^{ax} \cos bx \, dx = \frac{e^{ax}(a \cos bx + b \operatorname{sen} bx)}{a^2 + b^2}$$

$$17.25.12 \int xe^{ax} \operatorname{sen} bx \, dx = \frac{xe^{ax}(a \operatorname{sen} bx - b \cos bx)}{a^2 + b^2} - \frac{e^{ax}\{(a^2 - b^2)\operatorname{sen} bx - 2ab \cos bx\}}{(a^2 + b^2)^2}$$

$$17.25.13 \int xe^{ax} \cos bx \, dx = \frac{xe^{ax}(a \cos bx + b \operatorname{sen} bx)}{a^2 + b^2} - \frac{e^{ax}\{(a^2 - b^2)\cos bx + 2ab \operatorname{sen} bx\}}{(a^2 + b^2)^2}$$

$$17.25.14 \int e^{ax} \ln x \, dx = \frac{e^{ax} \ln x}{a} - \frac{1}{a} \int \frac{e^{ax}}{x} \, dx$$

$$17.25.15 \int e^{ax} \operatorname{sen}^n bx \, dx = \frac{e^{ax} \operatorname{sen}^{n-1} bx}{a^2 + n^2 b^2} (a \operatorname{sen} bx - nb \cos bx) + \frac{n(n-1)b^2}{a^2 + n^2 b^2} \int e^{ax} \operatorname{sen}^{n-2} bx \, dx$$

$$17.25.16 \int e^{ax} \cos^n bx \, dx = \frac{e^{ax} \cos^{n-1} bx}{a^2 + n^2 b^2} (a \cos bx + nb \operatorname{sen} bx) + \frac{n(n-1)b^2}{a^2 + n^2 b^2} \int e^{ax} \cos^{n-2} bx \, dx$$

26 Integrais envolvendo $\ln x$

$$17.26.1 \int \ln x \, dx = x \ln x - x$$

$$17.26.2 \int x \ln x \, dx = \frac{x^2}{2} \left(\ln x - \frac{1}{2} \right)$$

$$17.26.3 \int x^m \ln x \, dx = \frac{x^{m+1}}{m+1} \left(\ln x - \frac{1}{m+1} \right) \quad [m \neq -1]$$

$$17.26.4 \int \frac{\ln x}{x} \, dx = \frac{1}{2} \ln^2 x$$

$$17.26.5 \int \frac{\ln x}{x^2} \, dx = -\frac{\ln x}{x} - \frac{1}{x}$$

$$17.26.6 \int \ln^2 x \, dx = x \ln^2 x - 2x \ln x + 2x$$

$$17.26.7 \int \frac{\ln^n x \, dx}{x} = \frac{\ln^{n+1} x}{n+1} \quad [n \neq -1]$$

$$17.26.8 \int \frac{dx}{x \ln x} = \ln(\ln x)$$

$$17.26.9 \int \frac{dx}{\ln x} = \ln(\ln x) + \ln x + \frac{\ln^2 x}{2 \cdot 2!} + \frac{\ln^3 x}{3 \cdot 3!} + \dots$$

$$17.26.10 \int \frac{x^m dx}{\ln x} = \ln(\ln x) + (m+1) \ln x + \frac{(m+1)^2 \ln^2 x}{2 \cdot 2!} + \frac{(m+1)^3 \ln^3 x}{3 \cdot 3!} + \dots$$

$$17.26.11 \int \ln^n x \, dx = x \ln^n x - n \int \ln^{n-1} x \, dx$$

$$17.26.12 \int x^m \ln^n x \, dx = \frac{x^{m+1} \ln^n x}{m+1} - \frac{n}{m+1} \int x^m \ln^{n-1} x \, dx \quad [m \neq -1]$$

$$17.26.13 \int \ln(x^2 + a^2) \, dx = x \ln(x^2 + a^2) - 2x + 2a \operatorname{arc} \operatorname{tg} \frac{x}{a}$$

$$17.26.14 \int \ln(x^2 - a^2) \, dx = x \ln(x^2 - a^2) - 2x + a \ln \left(\frac{x+a}{x-a} \right)$$

$$17.26.15 \int x^m \ln(x^2 \pm a^2) \, dx = \frac{x^{m+1} \ln(x^2 \pm a^2)}{m+1} - \frac{2}{m+1} \int \frac{x^{m+2}}{x^2 \pm a^2} \, dx$$

27 Integrais envolvendo $\operatorname{senh} ax$

$$17.27.1 \int \operatorname{senh} ax \, dx = \frac{\operatorname{cosh} ax}{a}$$

$$17.27.2 \int x \operatorname{senh} ax \, dx = \frac{x \operatorname{cosh} ax}{a} - \frac{\operatorname{senh} ax}{a^2}$$

$$17.27.3 \int x^2 \operatorname{senh} ax \, dx = \left(\frac{x^2}{a} + \frac{2}{a^3} \right) \operatorname{cosh} ax - \frac{2x}{a^2} \operatorname{senh} ax$$

$$17.27.4 \int \frac{\operatorname{senh} ax}{x} \, dx = ax + \frac{(ax)^3}{3 \cdot 3!} + \frac{(ax)^5}{5 \cdot 5!} + \dots$$

$$17.27.5 \int \frac{\operatorname{senh} ax}{x^2} \, dx = -\frac{\operatorname{senh} ax}{x} + a \int \frac{\operatorname{cosh} ax}{x} \, dx \quad (\text{Ver 17.28.4.})$$

$$17.27.6 \int \frac{dx}{\operatorname{senh} ax} = \frac{1}{a} \ln \operatorname{tgh} \frac{ax}{2}$$

$$17.27.7 \int \frac{x \, dx}{\operatorname{senh} ax} = \frac{1}{a^2} \left\{ ax - \frac{(ax)^3}{18} + \frac{7(ax)^5}{1800} - \dots + \frac{2(-1)^n (2^{2n} - 1) B_n (ax)^{2n+1}}{(2n+1)!} + \dots \right\}$$

$$17.27.8 \int \operatorname{senh}^2 ax \, dx = \frac{\operatorname{senh} ax \operatorname{cosh} ax}{2a} - \frac{x}{2}$$

$$17.27.9 \int x \operatorname{senh}^2 ax \, dx = \frac{x \operatorname{senh} 2ax}{4a} - \frac{\operatorname{cosh} 2ax}{8a^2} - \frac{x^2}{4}$$

$$17.27.10 \int \frac{dx}{\operatorname{senh}^2 ax} = -\frac{\operatorname{cotgh} ax}{a}$$

$$17.27.11 \int \operatorname{senh} ax \operatorname{senh} px \, dx = \frac{\operatorname{senh}(a+p)x}{2(a+p)} - \frac{\operatorname{senh}(a-p)x}{2(a-p)} \quad [a \neq \pm p]$$

$$17.27.12 \int x^m \operatorname{senh} ax \, dx = \frac{x^m \operatorname{cosh} ax}{a} - \frac{m}{a} \int x^{m-1} \operatorname{cosh} ax \, dx \quad (\text{Ver 17.28.12.})$$

$$17.27.13 \int \operatorname{senh}^n ax \, dx = \frac{\operatorname{senh}^{n-1} ax \operatorname{cosh} ax}{an} - \frac{n-1}{n} \int \operatorname{senh}^{n-2} ax \, dx$$

$$17.27.14 \int \frac{\operatorname{senh} ax}{x^n} \, dx = \frac{-\operatorname{senh} ax}{(n-1)x^{n-1}} + \frac{a}{n-1} \int \frac{\operatorname{cosh} ax}{x^{n-1}} \, dx \quad (\text{Ver 17.28.14.})$$

$$17.27.15 \int \frac{dx}{\operatorname{senh}^n ax} = \frac{-\operatorname{cosh} ax}{a(n-1)\operatorname{senh}^{n-1} ax} - \frac{n-2}{n-1} \int \frac{dx}{\operatorname{senh}^{n-2} ax}$$

$$17.27.16 \int \frac{x \, dx}{\operatorname{senh}^n ax} = \frac{-x \operatorname{cosh} ax}{a(n-1)\operatorname{senh}^{n-1} ax} - \frac{1}{a^2(n-1)(n-2)\operatorname{senh}^{n-2} ax} - \frac{n-2}{n-1} \int \frac{x \, dx}{\operatorname{senh}^{n-2} ax}$$

28 Integrais envolvendo $\cosh ax$

$$17.28.1 \quad \int \cosh ax \, dx = \frac{\sinh ax}{a}$$

$$17.28.2 \quad \int x \cosh ax \, dx = \frac{x \sinh ax}{a} - \frac{\cosh ax}{a^2}$$

$$17.28.3 \quad \int x^2 \cosh ax \, dx = -\frac{2x \cosh ax}{a^2} + \left(\frac{x^2}{a} + \frac{2}{a^3} \right) \sinh ax$$

$$17.28.4 \quad \int \frac{\cosh ax}{x} \, dx = \ln x + \frac{(ax)^2}{2 \cdot 2!} + \frac{(ax)^4}{4 \cdot 4!} + \frac{(ax)^6}{6 \cdot 6!} + \dots$$

$$17.28.5 \quad \int \frac{\cosh ax}{x^2} \, dx = -\frac{\cosh ax}{x} + a \int \frac{\sinh ax}{x} \, dx \quad (\text{Ver 17.27.4.})$$

$$17.28.6 \quad \int \frac{dx}{\cosh ax} = \frac{2}{a} \operatorname{arc} \operatorname{tg} e^{ax}$$

$$17.28.7 \quad \int \frac{x \, dx}{\cosh ax} = \frac{1}{a^2} \left\{ \frac{(ax)^2}{2} - \frac{(ax)^4}{8} + \frac{5(ax)^6}{144} + \dots + \frac{(-1)^n E_n (ax)^{2n+2}}{(2n+2)(2n)!} + \dots \right\}$$

$$17.28.8 \quad \int \cosh^2 ax \, dx = \frac{x}{2} + \frac{\sinh ax \cosh ax}{2a}$$

$$17.28.9 \quad \int x \cosh^2 ax \, dx = \frac{x^2}{4} + \frac{x \sinh 2ax}{4a} - \frac{\cosh 2ax}{8a^2}$$

$$17.28.10 \quad \int \frac{dx}{\cosh^2 ax} = \frac{\operatorname{tgh} ax}{a}$$

$$17.28.11 \quad \int \cosh ax \cosh px \, dx = \frac{\sinh(a-p)x}{2(a-p)} + \frac{\sinh(a+p)x}{2(a+p)}$$

$$17.28.12 \quad \int x^m \cosh ax \, dx = \frac{x^m \sinh ax}{a} - \frac{m}{a} \int x^{m-1} \sinh ax \, dx \quad (\text{Ver 17.27.12.})$$

$$17.28.13 \quad \int \cosh^n ax \, dx = \frac{\cosh^{n-1} ax \sinh ax}{an} + \frac{n-1}{n} \int \cosh^{n-2} ax \, dx$$

$$17.28.14 \quad \int \frac{\cosh ax}{x^n} \, dx = \frac{-\cosh ax}{(n-1)x^{n-1}} + \frac{a}{n-1} \int \frac{\sinh ax}{x^{n-1}} \, dx \quad (\text{Ver 17.27.14.}) \quad [n \neq 1]$$

$$17.28.15 \quad \int \frac{dx}{\cosh^n ax} = \frac{\sinh ax}{a(n-1) \cosh^{n-1} ax} + \frac{n-2}{n-1} \int \frac{dx}{\cosh^{n-2} ax} \quad [n \neq 1]$$

$$17.28.16 \quad \int \frac{x \, dx}{\cosh^n ax} = \frac{x \sinh ax}{a(n-1) \cosh^{n-1} ax} + \frac{1}{(n-1)(n-2)a^2 \cosh^{n-2} ax} + \frac{n-2}{n-1} \int \frac{x \, dx}{\cosh^{n-2} ax} \quad [n \neq 1, 2]$$

29 Integrais envolvendo $\sinh ax$ e $\cosh ax$

$$17.29.1 \quad \int \sinh ax \cosh ax \, dx = \frac{\sinh^2 ax}{2a}$$

$$17.29.2 \quad \int \sinh px \cosh qx \, dx = \frac{\cosh(p+q)x}{2(p+q)} + \frac{\cosh(p-q)x}{2(p-q)} \quad [p \neq \pm q]$$

$$17.29.3 \quad \int \sinh^2 ax \cosh^2 ax \, dx = \frac{\sinh 4ax}{32a} - \frac{x}{8}$$

$$17.29.4 \int \frac{dx}{\sinh ax \cosh ax} = \frac{1}{a} \ln \operatorname{tgh} ax$$

$$17.29.5 \int \frac{dx}{\sinh^2 ax \cosh^2 ax} = -\frac{2 \operatorname{cotgh} 2ax}{a}$$

$$17.29.6 \int \frac{\sinh^2 ax}{\cosh ax} dx = \frac{\sinh ax}{a} - \frac{1}{a} \operatorname{arc} \operatorname{tg} \sinh ax$$

$$17.29.7 \int \frac{\cosh^2 ax}{\sinh ax} dx = \frac{\cosh ax}{a} + \frac{1}{a} \ln \operatorname{tgh} \frac{ax}{2}$$

30 Integrais envolvendo $\operatorname{tgh} ax$

$$17.30.1 \int \operatorname{tgh} ax dx = \frac{1}{a} \ln \cosh ax$$

$$17.30.2 \int \operatorname{tgh}^2 ax dx = x - \frac{\operatorname{tgh} ax}{a}$$

$$17.30.3 \int \operatorname{tgh}^3 ax dx = \frac{1}{a} \ln \cosh ax - \frac{\operatorname{tgh}^2 ax}{2a}$$

$$17.30.4 \int x \operatorname{tgh} ax dx = \frac{1}{a^2} \left\{ \frac{(ax)^3}{3} - \frac{(ax)^5}{15} + \frac{2(ax)^7}{105} - \dots - \frac{(-1)^{n-1} 2^{2n} (2^{2n} - 1) B_n (ax)^{2n+1}}{(2n+1)!} + \dots \right\}$$

$$17.30.5 \int x \operatorname{tgh}^2 ax dx = \frac{x^2}{2} - \frac{x \operatorname{tgh} ax}{a} + \frac{1}{a^2} \ln \cosh ax$$

$$17.30.6 \int \frac{\operatorname{tgh} ax}{x} dx = ax - \frac{(ax)^3}{9} + \frac{2(ax)^5}{75} - \dots - \frac{(-1)^{n-1} 2^{2n} (2^{2n} - 1) B_n (ax)^{2n-1}}{(2n-1)(2n)!} + \dots$$

$$17.30.7 \int \frac{dx}{p+q \operatorname{tgh} ax} = \frac{px}{p^2 - q^2} - \frac{q}{a(p^2 - q^2)} \ln(q \sinh ax + p \cosh ax) \quad [p \neq \pm q]$$

$$17.30.8 \int \operatorname{tgh}^n ax dx = \frac{-\operatorname{tgh}^{n-1} ax}{a(n-1)} + \int \operatorname{tgh}^{n-2} ax dx \quad [n \neq 1]$$

31 Integrais envolvendo $\operatorname{cotgh} ax$

$$17.31.1 \int \operatorname{cotgh} ax dx = \frac{1}{a} \ln \sinh ax$$

$$17.31.2 \int \operatorname{cotgh}^2 ax dx = x - \frac{\operatorname{cotgh} ax}{a}$$

$$17.31.3 \int \operatorname{cotgh}^3 ax dx = \frac{1}{a} \ln \sinh ax - \frac{\operatorname{cotgh}^2 ax}{2a}$$

$$17.31.4 \int x \operatorname{cotgh} ax dx = \frac{1}{a^2} \left\{ ax + \frac{(ax)^3}{9} - \frac{(ax)^5}{225} + \dots - \frac{(-1)^{n-1} 2^{2n} B_n (ax)^{2n+1}}{(2n+1)!} + \dots \right\}$$

$$17.31.5 \int x \operatorname{cotgh}^2 ax dx = \frac{x^2}{2} - \frac{x \operatorname{cotgh} ax}{a} + \frac{1}{a^2} \ln \sinh ax$$

$$17.31.6 \int \frac{\operatorname{cotgh} ax}{x} dx = -\frac{1}{ax} + \frac{ax}{3} - \frac{(ax)^3}{135} + \dots - \frac{(-1)^n 2^{2n} B_n (ax)^{2n-1}}{(2n-1)(2n)!} + \dots$$

$$17.31.7 \int \frac{dx}{p+q \operatorname{cotgh} ax} = \frac{px}{p^2 - q^2} - \frac{q}{a(p^2 - q^2)} \ln(p \sinh ax + q \cosh ax) \quad [p \neq \pm q]$$

$$17.31.8 \quad \int \cotgh^n ax \, dx = -\frac{\cotgh^{n-1} ax}{a(n-1)} + \int \cotgh^{n-2} ax \, dx \quad [n \neq 1]$$

32 Integrais envolvendo sech ax

$$17.32.1 \quad \int \operatorname{sech} ax \, dx = \frac{2}{a} \operatorname{arc} \operatorname{tg} e^{ax}$$

$$17.32.2 \quad \int \operatorname{sech}^2 ax \, dx = \frac{\operatorname{tgh} ax}{a}$$

$$17.32.3 \quad \int \operatorname{sech}^3 ax \, dx = \frac{\operatorname{sech} ax \operatorname{tgh} ax}{2a} + \frac{1}{2a} \operatorname{arc} \operatorname{tg} \operatorname{senh} ax$$

$$17.32.4 \quad \int x \operatorname{sech} ax \, dx = \frac{1}{a^2} \left\{ \frac{(ax)^2}{2} - \frac{(ax)^4}{8} + \frac{5(ax)^6}{144} + \dots + \frac{(-1)^n E_n (ax)^{2n+2}}{(2n+2)(2n)!} + \dots \right\}$$

$$17.32.5 \quad \int x \operatorname{sech}^2 ax \, dx = \frac{x \operatorname{tgh} ax}{a} - \frac{1}{a^2} \ln \cosh ax$$

$$17.32.6 \quad \int \frac{\operatorname{sech} ax}{x} dx = \ln x - \frac{(ax)^2}{4} + \frac{5(ax)^4}{96} - \frac{61(ax)^6}{4320} + \dots - \frac{(-1)^n E_n (ax)^{2n}}{2n(2n)!} + \dots$$

$$17.32.7 \quad \int \operatorname{sech}^n ax \, dx = \frac{\operatorname{sech}^{n-2} ax \operatorname{tgh} ax}{a(n-1)} + \frac{n-2}{n-1} \int \operatorname{sech}^{n-2} ax \, dx \quad [n \neq 1]$$

33 Integrais envolvendo cosech ax

$$17.33.1 \quad \int \operatorname{cosech} ax \, dx = \frac{1}{a} \ln \operatorname{tgh} \frac{ax}{2}$$

$$17.33.2 \quad \int \operatorname{cosech}^2 ax \, dx = -\frac{\cotgh ax}{a}$$

$$17.33.3 \quad \int \operatorname{cosech}^3 ax \, dx = -\frac{\operatorname{cosech} ax \cotgh ax}{2a} - \frac{1}{2a} \ln \operatorname{tgh} \frac{ax}{2}$$

$$17.33.4 \quad \int x \operatorname{cosech} ax \, dx = \frac{1}{a^2} \left\{ ax - \frac{(ax)^3}{18} + \frac{7(ax)^5}{1800} + \dots + \frac{2(-1)^n (2^{2n-1} - 1) B_n (ax)^{2n+1}}{(2n+1)!} + \dots \right\}$$

$$17.33.5 \quad \int x \operatorname{cosech}^2 ax \, dx = -\frac{x \cotgh ax}{a} + \frac{1}{a^2} \ln \operatorname{senh} ax$$

$$17.33.6 \quad \int \frac{\operatorname{cosech} ax}{x} dx = -\frac{1}{ax} - \frac{ax}{6} + \frac{7(ax)^3}{1080} + \dots - \frac{(-1)^n 2(2^{2n-1} - 1) B_n (ax)^{2n-1}}{(2n-1)(2n)!} + \dots$$

$$17.33.7 \quad \int \operatorname{cosech}^n ax \, dx = \frac{-\operatorname{cosech}^{n-2} ax \cotgh ax}{a(n-1)} - \frac{n-2}{n-1} \int \operatorname{cosech}^{n-2} ax \, dx \quad [n \neq 1]$$

34 Integrais envolvendo funções hiperbólicas inversas

$$17.34.1 \quad \int \operatorname{arc} \operatorname{senh} \frac{x}{a} dx = x \operatorname{arc} \operatorname{senh} \frac{x}{a} - \sqrt{x^2 + a^2}$$

$$17.34.2 \quad \int x \operatorname{arc} \operatorname{senh} \frac{x}{a} dx = \left(\frac{x^2}{2} + \frac{a^2}{4} \right) \operatorname{arc} \operatorname{senh} \frac{x}{a} - x \frac{\sqrt{x^2 + a^2}}{4}$$

$$17.34.3 \quad \int \frac{\operatorname{arc} \operatorname{senh}(x/a)}{x} dx = \begin{cases} \frac{x}{a} - \frac{(x/a)^3}{2 \cdot 3 \cdot 3} + \frac{1 \cdot 3 \cdot (x/a)^5}{2 \cdot 4 \cdot 5 \cdot 5} - \frac{1 \cdot 3 \cdot 5 \cdot (x/a)^7}{2 \cdot 4 \cdot 6 \cdot 7 \cdot 7} + \dots & |x| < a \\ \frac{\ln^2(2x/a)}{2} - \frac{(a/x)^2}{2 \cdot 2 \cdot 2} + \frac{1 \cdot 3 \cdot (a/x)^4}{2 \cdot 4 \cdot 4 \cdot 4} - \frac{1 \cdot 3 \cdot 5 \cdot (a/x)^6}{2 \cdot 4 \cdot 6 \cdot 6 \cdot 6} + \dots & x > a \\ -\frac{\ln^2(-2x/a)}{2} + \frac{(a/x)^2}{2 \cdot 2 \cdot 2} - \frac{1 \cdot 3 \cdot (a/x)^4}{2 \cdot 4 \cdot 4 \cdot 4} + \frac{1 \cdot 3 \cdot 5 \cdot (a/x)^6}{2 \cdot 4 \cdot 6 \cdot 6 \cdot 6} - \dots & x < -a \end{cases}$$

$$17.34.4 \quad \int \operatorname{arc} \operatorname{cosh} \frac{x}{a} dx = \begin{cases} x \operatorname{arc} \operatorname{cosh}(x/a) - \sqrt{x^2 - a^2} & \operatorname{arc} \operatorname{cosh}(x/a) > 0 \\ x \operatorname{arc} \operatorname{cosh}(x/a) + \sqrt{x^2 - a^2} & \operatorname{arc} \operatorname{cosh}(x/a) < 0 \end{cases}$$

$$17.34.5 \quad \int x \operatorname{arc} \operatorname{cosh} \frac{x}{a} dx = \begin{cases} \frac{1}{4}(2x^2 - a^2) \operatorname{arc} \operatorname{cosh}(x/a) - \frac{1}{4}x\sqrt{x^2 - a^2} & \operatorname{arc} \operatorname{cosh}(x/a) > 0 \\ \frac{1}{4}(2x^2 - a^2) \operatorname{arc} \operatorname{cosh}(x/a) + \frac{1}{4}x\sqrt{x^2 - a^2} & \operatorname{arc} \operatorname{cosh}(x/a) < 0 \end{cases}$$

$$17.34.6 \quad \int \frac{\operatorname{arc} \operatorname{cosh}(x/a)}{x} dx = \pm \left[\frac{1}{2} \ln^2(2x/a) + \frac{(a/x)^2}{2 \cdot 2 \cdot 2} + \frac{1 \cdot 3 \cdot (a/x)^4}{2 \cdot 4 \cdot 4 \cdot 4} + \frac{1 \cdot 3 \cdot 5 \cdot (a/x)^6}{2 \cdot 4 \cdot 6 \cdot 6 \cdot 6} + \dots \right]$$

+ se $\operatorname{arc} \operatorname{cosh}(x/a) > 0$, - se $\operatorname{arc} \operatorname{cosh}(x/a) < 0$

$$17.34.7 \quad \int \operatorname{arc} \operatorname{tgh} \frac{x}{a} dx = x \operatorname{arc} \operatorname{tgh} \frac{x}{a} + \frac{a}{2} \ln(a^2 - x^2)$$

$$17.34.8 \quad \int x \operatorname{arc} \operatorname{tgh} \frac{x}{a} dx = \frac{ax}{2} + \frac{1}{2}(x^2 - a^2) \operatorname{arc} \operatorname{tgh} \frac{x}{a}$$

$$17.34.9 \quad \int \frac{\operatorname{arc} \operatorname{tgh}(x/a)}{x} dx = \frac{x}{a} + \frac{(x/a)^3}{3^2} + \frac{(x/a)^5}{5^2} + \dots$$

$$17.34.10 \quad \int \operatorname{arc} \operatorname{cotgh} \frac{x}{a} dx = x \operatorname{arc} \operatorname{tgh} x + \frac{a}{2} \ln(x^2 - a^2)$$

$$17.34.11 \quad \int x \operatorname{arc} \operatorname{tgh} \frac{x}{a} dx = \frac{ax}{2} + \frac{1}{2}(x^2 - a^2) \operatorname{arc} \operatorname{tgh} \frac{x}{a}$$

$$17.34.12 \quad \int \frac{\operatorname{arc} \operatorname{cotgh}(x/a)}{x} dx = -\left(\frac{a}{x} + \frac{(a/x)^3}{3^2} + \frac{(a/x)^5}{5^2} + \dots \right)$$

$$17.34.13 \quad \int \operatorname{arc} \operatorname{sech} \frac{x}{a} dx = \begin{cases} x \operatorname{arc} \operatorname{sech}(x/a) + a \operatorname{arc} \operatorname{sen}(x/a) & \operatorname{arc} \operatorname{sech}(x/a) > 0 \\ x \operatorname{arc} \operatorname{sech}(x/a) - a \operatorname{arc} \operatorname{sen}(x/a) & \operatorname{arc} \operatorname{sech}(x/a) < 0 \end{cases}$$

$$17.34.14 \quad \int \operatorname{arc} \operatorname{cosech} \frac{x}{a} dx = x \operatorname{arc} \operatorname{cosech} \frac{x}{a} \pm a \operatorname{arc} \operatorname{sen} \frac{x}{a} \quad (+ \text{ se } x > 0, - \text{ se } x < 0)$$

$$17.34.15 \quad \int x^m \operatorname{arc} \operatorname{senh} \frac{x}{a} dx = \frac{x^{m+1}}{m+1} \operatorname{arc} \operatorname{senh} \frac{x}{a} - \frac{1}{m+1} \int \frac{x^{m+1}}{\sqrt{x^2 + a^2}} dx$$

$$\begin{aligned}
 17.34.16 \quad \int x^m \operatorname{arc} \cosh \frac{x}{a} dx &= \begin{cases} \frac{x^{m+1}}{m+1} \operatorname{arc} \cosh \frac{x}{a} - \frac{1}{m+1} \int \frac{x^{m+1}}{\sqrt{x^2 - a^2}} dx & \operatorname{arc} \cosh(x/a) > 0 \\ \frac{x^{m+1}}{m+1} \operatorname{arc} \cosh \frac{x}{a} + \frac{1}{m+1} \int \frac{x^{m+1}}{\sqrt{x^2 - a^2}} dx & \operatorname{arc} \cosh(x/a) < 0 \end{cases} \\
 17.34.17 \quad \int x^m \operatorname{arc} \operatorname{tgh} \frac{x}{a} dx &= \frac{x^{m+1}}{m+1} \operatorname{arc} \operatorname{tgh} \frac{x}{a} - \frac{a}{m+1} \int \frac{x^{m+1}}{a^2 - x^2} dx \\
 17.34.18 \quad \int x^m \operatorname{arc} \operatorname{cotgh} \frac{x}{a} dx &= \frac{x^{m+1}}{m+1} \operatorname{arc} \operatorname{cotgh} \frac{x}{a} - \frac{1}{m+1} \int \frac{x^{m+1}}{a^2 - x^2} dx \\
 17.34.19 \quad \int x^m \operatorname{arc} \operatorname{sech} \frac{x}{a} dx &= \begin{cases} \frac{x^{m+1}}{m+1} \operatorname{arc} \operatorname{sech} \frac{x}{a} + \frac{a}{m+1} \int \frac{x^m dx}{\sqrt{a^2 - x^2}} & \operatorname{arc} \operatorname{sech}(x/a) > 0 \\ \frac{x^{m+1}}{m+1} \operatorname{arc} \operatorname{sech} \frac{x}{a} - \frac{1}{m+1} \int \frac{x^m dx}{\sqrt{a^2 - x^2}} & \operatorname{arc} \operatorname{sech}(x/a) < 0 \end{cases} \\
 17.34.20 \quad \int x^m \operatorname{arc} \operatorname{cosech} \frac{x}{a} dx &= \frac{x^{m+1}}{m+1} \operatorname{arc} \operatorname{cosech} \frac{x}{a} \pm \frac{a}{m+1} \int \frac{x^m dx}{\sqrt{x^2 + a^2}} \quad (+ \operatorname{se} x > 0, - \operatorname{se} x < 0)
 \end{aligned}$$

Definição de uma integral definida

Seja $f(x)$ definida em um intervalo $a \leq x \leq b$. Divida o intervalo em n partes iguais de comprimento $\Delta x = (b - a)/n$. Então a *integral definida* de $f(x)$ entre $x = a$ e $x = b$ é definida por

$$18.1 \quad \int_a^b f(x) dx = \lim_{n \rightarrow \infty} \{f(a) \Delta x + f(a + \Delta x) \Delta x + f(a + 2\Delta x) \Delta x + \cdots + f(a + (n - 1) \Delta x) \Delta x\}$$

O limite sempre existe se $f(x)$ é contínua por partes.

Se $f(x) = \frac{d}{dx} g(x)$, então, pelo Teorema Fundamental do Cálculo, a integral definida acima pode ser calculada usando o resultado

$$18.2 \quad \int_a^b f(x) dx = \int_a^b \frac{d}{dx} g(x) dx = g(x) \Big|_a^b = g(b) - g(a)$$

Se o intervalo é infinito ou se $f(x)$ apresenta alguma singularidade em algum ponto no intervalo, a integral definida é chamada de *integral imprópria* e pode ser definida usando-se processos de limites apropriados. Por exemplo,

$$18.3 \quad \int_a^\infty f(x) dx = \lim_{b \rightarrow \infty} \int_a^b f(x) dx$$

$$18.4 \quad \int_{-\infty}^\infty f(x) dx = \lim_{\substack{a \rightarrow -\infty \\ b \rightarrow \infty}} \int_a^b f(x) dx$$

$$18.5 \quad \int_a^b f(x) dx = \lim_{\epsilon \rightarrow 0} \int_a^{b-\epsilon} f(x) dx \quad \text{se } b \text{ é um ponto singular}$$

$$18.6 \quad \int_a^b f(x) dx = \lim_{\epsilon \rightarrow 0} \int_{a+\epsilon}^b f(x) dx \quad \text{se } a \text{ é um ponto singular}$$

Fórmulas gerais envolvendo integrais definidas

$$18.7 \quad \int_a^b \{f(x) \pm g(x) \pm h(x) \pm \cdots\} dx = \int_a^b f(x) dx \pm \int_a^b g(x) dx \pm \int_a^b h(x) dx \pm \cdots \quad [\text{finitas parcelas}]$$

$$18.8 \quad \int_a^b cf(x) dx = c \int_a^b f(x) dx \quad \text{onde } c \text{ é qualquer constante}$$

$$18.9 \quad \int_a^a f(x) dx = 0$$

$$18.10 \quad \int_a^b f(x) dx = - \int_b^a f(x) dx$$

$$18.11 \quad \int_a^b f(x) dx = \int_a^c f(x) dx + \int_c^b f(x) dx$$

$$18.12 \quad \int_a^b f(x) dx = (b-a)f(c) \quad \text{onde } c \text{ é algum ponto entre } a \text{ e } b$$

Isto é o *teorema do valor médio para integrais definidas*, válido se $f(x)$ for contínua em $a \leq x \leq b$.

$$18.13 \quad \int_a^b f(x)g(x) dx = f(c)\int_a^b g(x) dx \quad \text{onde } c \text{ é algum ponto entre } a \text{ e } b$$

Esta é uma generalização de 18.12, válida se $f(x)$ e $g(x)$ forem contínuas em $a \leq x \leq b$ e $g(x) \geq 0$.

Regra de Leibniz para a derivação de integrais

$$18.14 \quad \frac{d}{d\alpha} \int_{\phi_1(\alpha)}^{\phi_2(\alpha)} F(x, \alpha) dx = \int_{\phi_1(\alpha)}^{\phi_2(\alpha)} \frac{\partial F}{\partial \alpha} dx + F(\phi_2, \alpha) \frac{d\phi_2}{d\alpha} - F(\phi_1, \alpha) \frac{d\phi_1}{d\alpha}$$

Fórmulas para cálculo aproximado de integrais definidas

Nas fórmulas seguintes, o intervalo de $x = a$ a $x = b$ é subdividido em n partes iguais pelos pontos $a = x_0, x_1, x_2, \dots, x_{n-1}, x_n = b$ e tomamos $y_0 = f(x_0), y_1 = f(x_1), y_2 = f(x_2), \dots, y_n = f(x_n), h = (b-a)/n$.

Fórmula retangular:

$$18.15 \quad \int_a^b f(x) dx \approx h(y_0 + y_1 + y_2 + \dots + y_{n-1})$$

Fórmula trapezoidal:

$$18.16 \quad \int_a^b f(x) dx \approx \frac{h}{2}(y_0 + 2y_1 + 2y_2 + \dots + 2y_{n-1} + y_n)$$

Fórmula de Simpson (ou fórmula parabólica) para n par:

$$18.17 \quad \int_a^b f(x) dx \approx \frac{h}{3}(y_0 + 4y_1 + 2y_2 + 4y_3 + \dots + 2y_{n-2} + 4y_{n-1} + y_n)$$

Integrais definidas envolvendo expressões racionais ou irracionais

$$18.18 \quad \int_0^\infty \frac{dx}{x^2 + a^2} = \frac{\pi}{2a}$$

$$18.19 \quad \int_0^\infty \frac{x^{p-1} dx}{1+x} = \frac{\pi}{\operatorname{sen} p\pi} \quad 0 < p < 1$$

$$18.20 \quad \int_0^\infty \frac{x^m dx}{x^n + a^n} = \frac{\pi a^{m+1-n}}{n \operatorname{sen}[(m+1)\pi/n]} \quad 0 < m+1 < n$$

$$18.21 \quad \int_0^\infty \frac{x^m dx}{1 + 2x \cos \beta + x^2} = \frac{\pi}{\operatorname{sen} m\pi} \frac{\operatorname{sen} m\beta}{\operatorname{sen} \beta}$$

$$18.22 \quad \int_0^a \frac{dx}{\sqrt{a^2 - x^2}} = \frac{\pi}{2}$$

$$18.23 \quad \int_0^a \sqrt{a^2 - x^2} dx = \frac{\pi a^2}{4}$$

$$18.24 \quad \int_0^a x^m (a^n - x^n)^p dx = \frac{a^{m+1+np} \Gamma[(m+1)/n] \Gamma(p+1)}{n \Gamma[(m+1)/n + p+1]}$$

$$18.25 \int_0^{\infty} \frac{x^m dx}{(x^n + a^n)^r} = \frac{(-1)^{r-1} \pi a^{m+1-nr} \Gamma[(m+1)/n]}{n \operatorname{sen}[(m+1)\pi/n] (r-1)! \Gamma[(m+1)/n - r + 1]} \quad 0 < m+1 < nr$$

Integrais definidas envolvendo funções trigonométricas

Todas as letras são consideradas positivas, a menos que seja indicado o contrário.

$$18.26 \int_0^{\pi} \operatorname{sen} mx \operatorname{sen} nx dx = \begin{cases} 0 & m, n \text{ inteiros e } m \neq n \\ \pi/2 & m, n \text{ inteiros e } m = n \end{cases}$$

$$18.27 \int_0^{\pi} \cos mx \cos nx dx = \begin{cases} 0 & m, n \text{ inteiros e } m \neq n \\ \pi/2 & m, n \text{ inteiros e } m = n \end{cases}$$

$$18.28 \int_0^{\pi} \operatorname{sen} mx \cos nx dx = \begin{cases} 0 & m, n \text{ inteiros e } m+n \text{ par} \\ 2ml(m^2 - n^2) & m, n \text{ inteiros e } m+n \text{ ímpar} \end{cases}$$

$$18.29 \int_0^{\pi/2} \operatorname{sen}^2 x dx = \int_0^{\pi/2} \cos^2 x dx = \frac{\pi}{4}$$

$$18.30 \int_0^{\pi/2} \operatorname{sen}^{2m} x dx = \int_0^{\pi/2} \cos^{2m} x dx = \frac{1 \cdot 3 \cdot 5 \cdots 2m-1}{2 \cdot 4 \cdot 6 \cdots 2m} \frac{\pi}{2} \quad m = 1, 2, \dots$$

$$18.31 \int_0^{\pi/2} \operatorname{sen}^{2m+1} x dx = \int_0^{\pi/2} \cos^{2m+1} x dx = \frac{2 \cdot 4 \cdot 6 \cdots 2m}{1 \cdot 3 \cdot 5 \cdots 2m+1} \quad m = 1, 2, \dots$$

$$18.32 \int_0^{\pi/2} \operatorname{sen}^{2p-1} x \cos^{2q-1} x dx = \frac{\Gamma(p)\Gamma(q)}{2\Gamma(p+q)}$$

$$18.33 \int_0^{\infty} \frac{\operatorname{sen} px}{x} dx = \begin{cases} \pi/2 & p > 0 \\ 0 & p = 0 \\ -\pi/2 & p < 0 \end{cases}$$

$$18.34 \int_0^{\infty} \frac{\operatorname{sen} px \cos qx}{x} dx = \begin{cases} 0 & p > q > 0 \\ \pi/2 & 0 < p < q \\ \pi/4 & p = q > 0 \end{cases}$$

$$18.35 \int_0^{\infty} \frac{\operatorname{sen} px \operatorname{sen} qx}{x^2} dx = \begin{cases} \pi p/2 & 0 < p \leq q \\ \pi q/2 & p \geq q > 0 \end{cases}$$

$$18.36 \int_0^{\infty} \frac{\operatorname{sen}^2 px}{x^2} dx = \frac{\pi p}{2}$$

$$18.37 \int_0^{\infty} \frac{1 - \cos px}{x^2} dx = \frac{\pi p}{2}$$

$$18.38 \int_0^{\infty} \frac{\cos px - \cos qx}{x} dx = \ln \frac{q}{p}$$

$$18.39 \int_0^{\infty} \frac{\cos px - \cos qx}{x^2} dx = \frac{\pi(q-p)}{2}$$

$$18.40 \int_0^{\infty} \frac{\cos mx}{x^2 + a^2} dx = \frac{\pi}{2a} e^{-ma}$$

- 18.41 $\int_0^{\infty} \frac{x \operatorname{sen} mx}{x^2 + a^2} dx = \frac{\pi}{2} e^{-ma}$
- 18.42 $\int_0^{\infty} \frac{\operatorname{sen} mx}{x(x^2 + a^2)} dx = \frac{\pi}{2a^2} (1 - e^{-ma})$
- 18.43 $\int_0^{2\pi} \frac{dx}{a + b \operatorname{sen} x} = \frac{2\pi}{\sqrt{a^2 - b^2}}$
- 18.44 $\int_0^{2\pi} \frac{dx}{a + b \cos x} = \frac{2\pi}{\sqrt{a^2 - b^2}}$
- 18.45 $\int_0^{\pi/2} \frac{dx}{a + b \cos x} = \frac{\cos^{-1}(b/a)}{\sqrt{a^2 - b^2}}$
- 18.46 $\int_0^{2\pi} \frac{dx}{(a + b \operatorname{sen} x)^2} = \int_0^{2\pi} \frac{dx}{(a + b \cos x)^2} = \frac{2\pi a}{(a^2 - b^2)^{3/2}}$
- 18.47 $\int_0^{2\pi} \frac{dx}{1 - 2a \cos x + a^2} = \frac{2\pi}{1 - a^2}$ $0 < a < 1$
- 18.48 $\int_0^{\pi} \frac{x \operatorname{sen} x dx}{1 - 2a \cos x + a^2} = \begin{cases} (\pi/a) \ln(1 + a) & |a| < 1 \\ \pi \ln(1 + 1/a) & |a| > 1 \end{cases}$
- 18.49 $\int_0^{\pi} \frac{\cos mx dx}{1 - 2a \cos x + a^2} = \frac{\pi a^m}{1 - a^2}$ $a^2 < 1, \quad m = 0, 1, 2, \dots$
- 18.50 $\int_0^{\infty} \operatorname{sen} ax^2 dx = \int_0^{\infty} \cos ax^2 dx = \frac{1}{2} \sqrt{\frac{\pi}{2a}}$
- 18.51 $\int_0^{\infty} \operatorname{sen} ax^n dx = \frac{1}{na^{1/n}} \Gamma(1/n) \operatorname{sen} \frac{\pi}{2n}$ $n > 1$
- 18.52 $\int_0^{\infty} \cos ax^n dx = \frac{1}{na^{1/n}} \Gamma(1/n) \cos \frac{\pi}{2n}$ $n > 1$
- 18.53 $\int_0^{\infty} \frac{\operatorname{sen} x}{\sqrt{x}} dx = \int_0^{\infty} \frac{\cos x}{\sqrt{x}} dx = \sqrt{\frac{\pi}{2}}$
- 18.54 $\int_0^{\infty} \frac{\operatorname{sen} x}{x^p} dx = \frac{\pi}{2\Gamma(p) \operatorname{sen}(p\pi/2)}$ $0 < p < 1$
- 18.55 $\int_0^{\infty} \frac{\cos x}{x^p} dx = \frac{\pi}{2\Gamma(p) \cos(p\pi/2)}$ $0 < p < 1$
- 18.56 $\int_0^{\infty} \operatorname{sen} ax^2 \cos 2bx dx = \frac{1}{2} \sqrt{\frac{\pi}{2a}} \left(\cos \frac{b^2}{a} - \operatorname{sen} \frac{b^2}{a} \right)$
- 18.57 $\int_0^{\infty} \cos ax^2 \cos 2bx dx = \frac{1}{2} \sqrt{\frac{\pi}{2a}} \left(\cos \frac{b^2}{a} + \operatorname{sen} \frac{b^2}{a} \right)$
- 18.58 $\int_0^{\infty} \frac{\operatorname{sen}^3 x}{x^3} dx = \frac{3\pi}{8}$
- 18.59 $\int_0^{\infty} \frac{\operatorname{sen}^4 x}{x^4} dx = \frac{\pi}{3}$
- 18.60 $\int_0^{\infty} \frac{\operatorname{tg} x}{x} dx = \frac{\pi}{2}$

$$18.61 \int_0^{\pi/2} \frac{dx}{1 + \operatorname{tg}^m x} = \frac{\pi}{4}$$

$$18.62 \int_0^{\pi/2} \frac{x}{\operatorname{sen} x} dx = 2 \left\{ \frac{1}{1^2} - \frac{1}{3^2} + \frac{1}{5^2} - \frac{1}{7^2} + \dots \right\}$$

$$18.63 \int_0^1 \frac{\operatorname{arc} \operatorname{tg} x}{x} dx = \frac{1}{1^2} - \frac{1}{3^2} + \frac{1}{5^2} - \frac{1}{7^2} + \dots$$

$$18.64 \int_0^1 \frac{\operatorname{arc} \operatorname{sen} x}{x} dx = \frac{\pi}{2} \ln 2$$

$$18.65 \int_0^1 \frac{1 - \cos x}{x} dx - \int_1^{\infty} \frac{\cos x}{x} dx = \gamma$$

[ver 1.3]

$$18.66 \int_0^{\infty} \left(\frac{1}{1+x^2} - \cos x \right) \frac{dx}{x} = \gamma$$

$$18.67 \int_0^{\infty} \frac{\operatorname{arc} \operatorname{tg} px - \operatorname{arc} \operatorname{tg} qx}{x} dx = \frac{\pi}{2} \ln \frac{p}{q}$$

Integrais definidas envolvendo funções exponenciais

Algumas integrais contêm a constante de Euler $\gamma = 0,5772156$ (ver 1.3).

$$18.68 \int_0^{\infty} e^{-ax} \cos bx dx = \frac{a}{a^2 + b^2}$$

$$18.69 \int_0^{\infty} e^{-ax} \operatorname{sen} bx dx = \frac{b}{a^2 + b^2}$$

$$18.70 \int_0^{\infty} \frac{e^{-ax} \operatorname{sen} bx}{x} dx = \operatorname{arc} \operatorname{tg} \frac{b}{a}$$

$$18.71 \int_0^{\infty} \frac{e^{-ax} - e^{-bx}}{x} dx = \ln \frac{b}{a}$$

$$18.72 \int_0^{\infty} e^{-ax^2} dx = \frac{1}{2} \sqrt{\frac{\pi}{a}}$$

$$18.73 \int_0^{\infty} e^{-ax^2} \cos bx dx = \frac{1}{2} \sqrt{\frac{\pi}{a}} e^{-b^2/4a}$$

$$18.74 \int_0^{\infty} e^{-(ax^2+bx+c)} dx = \frac{1}{2} \sqrt{\frac{\pi}{a}} e^{(b^2-4ac)/4a} \operatorname{erfc} \frac{b}{2\sqrt{a}}$$

[ver 36.4]

$$18.75 \int_{-\infty}^{\infty} e^{-(ax^2+bx+c)} dx = \sqrt{\frac{\pi}{a}} e^{(b^2-4ac)/4a}$$

$$18.76 \int_0^{\infty} x^n e^{-ax} dx = \frac{\Gamma(n+1)}{a^{n+1}}$$

$$18.77 \int_0^{\infty} x^m e^{-ax^2} dx = \frac{\Gamma[(m+1)/2]}{2a^{(m+1)/2}}$$

$$18.78 \int_0^{\infty} e^{-(ax^2+bx/x^2)} dx = \frac{1}{2} \sqrt{\frac{\pi}{a}} e^{-2\sqrt{ab}}$$

$$18.79 \int_0^{\infty} \frac{x dx}{e^x - 1} = \frac{1}{1^2} + \frac{1}{2^2} + \frac{1}{3^2} + \frac{1}{4^2} + \dots = \frac{\pi^2}{6}$$

$$18.80 \quad \int_0^{\infty} \frac{x^{n-1}}{e^x - 1} dx = \Gamma(n) \left(\frac{1}{1^n} + \frac{1}{2^n} + \frac{1}{3^n} + \dots \right)$$

Para n par, isto pode ser somado em termos dos números de Bernoulli [ver 23.1 e 2].

$$18.81 \quad \int_0^{\infty} \frac{x dx}{e^x + 1} = \frac{1}{1^2} - \frac{1}{2^2} + \frac{1}{3^2} - \frac{1}{4^2} + \dots = \frac{\pi^2}{12}$$

$$18.82 \quad \int_0^{\infty} \frac{x^{n-1}}{e^x + 1} dx = \Gamma(n) \left(\frac{1}{1^n} - \frac{1}{2^n} + \frac{1}{3^n} - \dots \right)$$

Para alguns valores inteiros positivos de n , a série pode ser somada [ver 23.10].

$$18.83 \quad \int_0^{\infty} \frac{\operatorname{sen} mx}{e^{2\pi x} - 1} dx = \frac{1}{4} \operatorname{cotgh} \frac{m}{2} - \frac{1}{2m}$$

$$18.84 \quad \int_0^{\infty} \left(\frac{1}{1+x} - e^{-x} \right) \frac{dx}{x} = \gamma$$

$$18.85 \quad \int_0^{\infty} \frac{e^{-x^2} - e^{-x}}{x} dx = \frac{1}{2} \gamma$$

$$18.86 \quad \int_0^{\infty} \left(\frac{1}{e^x - 1} - \frac{e^{-x}}{x} \right) dx = \gamma$$

$$18.87 \quad \int_0^{\infty} \frac{e^{-ax} - e^{-bx}}{x \sec px} dx = \frac{1}{2} \ln \left(\frac{b^2 + p^2}{a^2 + p^2} \right)$$

$$18.88 \quad \int_0^{\infty} \frac{e^{-ax} - e^{-bx}}{x \operatorname{cosec} px} dx = \operatorname{arc} \operatorname{tg} \frac{b}{p} - \operatorname{arc} \operatorname{tg} \frac{a}{p}$$

$$18.89 \quad \int_0^{\infty} \frac{e^{-ax} (1 - \cos x)}{x^2} dx = \operatorname{arc} \operatorname{cotg} a - \frac{a}{2} \ln (a^2 + 1)$$

Integrais definidas envolvendo funções logarítmicas

$$18.90 \quad \int_0^1 x^m (\ln x)^n dx = \frac{(-1)^n n!}{(m+1)^{n+1}} \quad m > -1, \quad n = 0, 1, 2, \dots$$

Se $n \neq 0, 1, 2, \dots$ substitua $n!$ por $\Gamma(n+1)$.

$$18.91 \quad \int_0^1 \frac{\ln x}{1+x} dx = -\frac{\pi^2}{12}$$

$$18.92 \quad \int_0^1 \frac{\ln x}{1-x} dx = -\frac{\pi^2}{6}$$

$$18.93 \quad \int_0^1 \frac{\ln(1+x)}{x} dx = \frac{\pi^2}{12}$$

$$18.94 \quad \int_0^1 \frac{\ln(1-x)}{x} dx = -\frac{\pi^2}{6}$$

$$18.95 \quad \int_0^1 \ln x \ln(1+x) dx = 2 - 2 \ln 2 - \frac{\pi^2}{12}$$

$$18.96 \quad \int_0^1 \ln x \ln(1-x) dx = 2 - \frac{\pi^2}{6}$$

$$18.97 \quad \int_0^{\infty} \frac{x^{p-1} \ln x}{1+x} dx = -\pi^2 \operatorname{cosec} p\pi \operatorname{cotg} p\pi \quad 0 < p < 1$$

$$18.98 \int_0^1 \frac{x^m - x^n}{\ln x} dx = \ln \frac{m+1}{n+1}$$

$$18.99 \int_0^{\infty} e^{-x} \ln x dx = -\gamma$$

$$18.100 \int_0^{\infty} e^{-x^2} \ln x dx = -\frac{\sqrt{\pi}}{4} (\gamma + 2 \ln 2)$$

$$18.101 \int_0^{\infty} \ln \left(\frac{e^x + 1}{e^x - 1} \right) dx = \frac{\pi^2}{4}$$

$$18.102 \int_0^{\pi/2} \ln \sin x dx = \int_0^{\pi/2} \ln \cos x dx = -\frac{\pi}{2} \ln 2$$

$$18.103 \int_0^{\pi/2} (\ln \sin x)^2 dx = \int_0^{\pi/2} (\ln \cos x)^2 dx = \frac{\pi}{2} (\ln 2)^2 + \frac{\pi^3}{24}$$

$$18.104 \int_0^{\pi} x \ln \sin x dx = -\frac{\pi^2}{2} \ln 2$$

$$18.105 \int_0^{\pi/2} \sin x \ln \sin x dx = \ln 2 - 1$$

$$18.106 \int_0^{2\pi} \ln(a + b \sin x) dx = \int_0^{2\pi} \ln(a + b \cos x) dx = 2\pi \ln(a + \sqrt{a^2 - b^2})$$

$$18.107 \int_0^{\pi} \ln(a + b \cos x) dx = \pi \ln \left(\frac{a + \sqrt{a^2 - b^2}}{2} \right)$$

$$18.108 \int_0^{\pi} \ln(a^2 - 2ab \cos x + b^2) dx = \begin{cases} 2\pi \ln a, & a \geq b > 0 \\ 2\pi \ln b, & b \geq a > 0 \end{cases}$$

$$18.109 \int_0^{\pi/4} \ln(1 + \operatorname{tg} x) dx = \frac{\pi}{8} \ln 2$$

$$18.110 \int_0^{\pi/2} \sec x \ln \left(\frac{1 + b \cos x}{1 + a \cos x} \right) dx = \frac{1}{2} \{ (\operatorname{arc} \cos a)^2 - (\operatorname{arc} \cos b)^2 \}$$

$$18.111 \int_0^a \ln \left(2 \operatorname{sen} \frac{x}{2} \right) dx = - \left(\frac{\operatorname{sen} a}{1^2} + \frac{\operatorname{sen} 2a}{2^2} + \frac{\operatorname{sen} 3a}{3^2} + \dots \right)$$

Ver também 18.102.

Integrais definidas envolvendo funções hiperbólicas

$$18.112 \int_0^{\infty} \frac{\operatorname{sen} ax}{\operatorname{senh} bx} dx = \frac{\pi}{2b} \operatorname{tgh} \frac{a\pi}{2b}$$

$$18.113 \int_0^{\infty} \frac{\cos ax}{\cosh bx} dx = \frac{\pi}{2b} \operatorname{sech} \frac{a\pi}{2b}$$

$$18.114 \int_0^{\infty} \frac{x dx}{\operatorname{senh} ax} = \frac{\pi^2}{4a^2}$$

$$18.115 \int_0^{\infty} \frac{x^n dx}{\sinh ax} = \frac{2^{n+1}-1}{2^n a^{n+1}} \Gamma(n+1) \left\{ \frac{1}{1^{n+1}} + \frac{1}{2^{n+1}} + \frac{1}{3^{n+1}} + \dots \right\}$$

Se n é um inteiro positivo ímpar, a série pode ser somada [ver 21.35 e 23.8].

$$18.116 \int_0^{\infty} \frac{\sinh ax}{e^{bx} + 1} dx = \frac{\pi}{2b} \operatorname{cosec} \frac{a\pi}{b} - \frac{1}{2a}$$

$$18.117 \int_0^{\infty} \frac{\sinh ax}{e^{bx} - 1} dx = \frac{1}{2a} - \frac{\pi}{2b} \cotg \frac{a\pi}{b}$$

Outras integrais definidas

$$18.118 \int_0^{\infty} \frac{f(ax) - f(bx)}{x} dx = \{f(0) - f(\infty)\} \ln \frac{b}{a}$$

Esta é chamada *integral de Frullani*. Ela vale se $f'(x)$ é contínua e $\int_0^{\infty} \frac{f(x) - f(\infty)}{x} dx$ converge.

$$18.119 \int_0^1 \frac{dx}{x^x} = \frac{1}{1^1} + \frac{1}{2^2} + \frac{1}{3^3} + \dots$$

$$18.120 \int_{-a}^a (a+x)^{m-1} (a-x)^{n-1} dx = (2a)^{m+n-1} \frac{\Gamma(m)\Gamma(n)}{\Gamma(m+n)}$$

19

Equações Diferenciais Básicas e suas Soluções

| Equação diferencial | Solução |
|--|--|
| 19.1 Equação de variáveis separáveis $f_1(x) g_1(y) dx + f_2(x) g_2(y) dy = 0$ | $\int \frac{f_1(x)}{f_2(x)} dx + \int \frac{g_2(y)}{g_1(y)} dy = c$ |
| 19.2 Equação linear de primeira ordem $\frac{dy}{dx} + p(x)y = Q(x)$ | $ye^{\int p dx} = \int Qe^{\int p dx} dx + c$ |
| 19.3 Equação de Bernoulli $\frac{dy}{dx} + P(x)y = Q(x)y^n$ | $v e^{(1-n)\int P dx} = (1-n) \int Q e^{(1-n)\int P dx} dx + c$ onde $v = y^{1-n}$. Se $n = 1$, a solução é $\ln y = \int (Q - P) dx + c$ |
| 19.4 Equação exata $M(x, y)dx + N(x, y)dy = 0$ onde $\partial M/\partial y = \partial N/\partial x$. | $\int M dx + \int \left(N - \frac{\partial}{\partial y} \int M dx \right) dy = c$ onde dx indica que a integração é em relação a x , mantendo y constante. |
| 19.5 Equação homogênea $\frac{dy}{dx} = F\left(\frac{y}{x}\right)$ | $\ln x = \int \frac{dv}{F(v) - v} + c$ onde $v = y/x$. Se $F(v) = v$, a solução é $y = cx$. |
| 19.6 $y F(xy) dx + x G(xy) dy = 0$ | $\ln x = \int \frac{G(v) dv}{v \{G(v) - F(v)\}} + c$ onde $v = xy$. Se $G(v) = F(v)$, a solução é $xy = c$. |

| Equação diferencial | Solução |
|--|---|
| <p>19.7 Equação linear homogênea de segunda ordem</p> $\frac{d^2y}{dx^2} + a\frac{dy}{dx} + by = 0$ <p>a, b são constantes reais.</p> | <p>Sejam m_1 e m_2 as raízes de $m^2 + am + b = 0$. Então há três casos.</p> <p>Caso 1. m_1, m_2 reais e diferentes:</p> $y = c_1 e^{m_1 x} + c_2 e^{m_2 x}$ <p>Caso 2. m_1, m_2 reais e iguais:</p> $y = c_1 e^{m_1 x} + c_2 x e^{m_1 x}$ <p>Caso 3. $m_1 = p + qi, m_2 = p - qi$:</p> $y = e^{px} (c_1 \cos qx + c_2 \operatorname{sen} qx)$ <p>onde $p = -a/2, q = \sqrt{b - a^2/4}$.</p> |
| <p>19.8 Equação linear não homogênea de segunda ordem</p> $\frac{d^2y}{dx^2} + a\frac{dy}{dx} + by = R(x)$ <p>a, b são constantes reais.</p> | <p>Há três casos correspondentes aos casos do item 19.7.</p> <p>Caso 1.</p> $y = c_1 e^{m_1 x} + c_2 e^{m_2 x} + \frac{e^{m_1 x}}{m_1 - m_2} \int e^{-m_1 x} R(x) dx + \frac{e^{m_2 x}}{m_2 - m_1} \int e^{-m_2 x} R(x) dx$ <p>Caso 2.</p> $y = c_1 e^{m_1 x} + c_2 x e^{m_1 x} + x e^{m_1 x} \int e^{-m_1 x} R(x) dx - e^{m_1 x} \int x e^{-m_1 x} R(x) dx$ <p>Caso 3.</p> $y = e^{px} (c_1 \cos qx + c_2 \operatorname{sen} qx) + \frac{e^{px} \operatorname{sen} qx}{q} \int e^{-px} R(x) \cos qx dx - \frac{e^{px} \cos qx}{q} \int e^{-px} R(x) \operatorname{sen} qx dx$ |
| <p>19.9 Equação de Euler ou Cauchy</p> $x^2 \frac{d^2y}{dx^2} + ax \frac{dy}{dx} + by = S(x)$ | <p>Colocando $x = e^t$, a equação torna-se</p> $\frac{d^2y}{dt^2} + (a-1) \frac{dy}{dt} + by = S(e^t)$ <p>e pode ser resolvida como mostrado nos itens 19.7 e 19.8.</p> |

| Equação diferencial | Solução |
|--|---|
| 19.10 Equação de Bessel | $y = c_1 J_n(\lambda x) + c_2 Y_n(\lambda x)$ |
| $x^2 \frac{d^2 y}{dx^2} + x \frac{dy}{dx} + (\lambda^2 x^2 - n^2)y = 0$ | |
| 19.11 Equação transformada de Bessel | $y = x^{-p} \left\{ c_1 J_{q/r} \left(\frac{\alpha}{r} x^r \right) + c_2 Y_{q/r} \left(\frac{\alpha}{r} x^r \right) \right\}$ |
| $x^2 \frac{d^2 y}{dx^2} + (2p+1)x \frac{dy}{dx} + (a^2 x^{2r} + \beta^2)y = 0$ | |
| 19.12 Equação de Legendre | $y = c_1 P_n(x) + c_2 Q_n(x)$ |
| $(1-x^2) \frac{d^2 y}{dx^2} - 2x \frac{dy}{dx} + n(n+1)y = 0$ | |

Vetores e escalares

Diversas quantidades da Física, como temperatura, volume e rapidez, podem ser especificadas por um número real. Tais quantidades são chamadas *escalares*.

Outras quantidades, como força, velocidade e momento, requerem uma direção para poderem ser especificadas, bem como magnitude. Tais quantidades são chamadas *vetores*. Um vetor é representado por uma seta ou um segmento de reta orientado, indicando o sentido. A magnitude do vetor é determinada pelo comprimento da seta, usando-se uma unidade apropriada.

Notação para vetores

Um vetor é denotado por uma letra em negrito, como \mathbf{A} (Fig. 20.1). A magnitude é denotada por $|\mathbf{A}|$ ou A . A extremidade inicial da seta é denominada *ponto inicial* e sua ponta é denominada *ponto final*.

Definições fundamentais

- Igualdade de vetores.** Dois vetores são iguais se tiverem a mesma magnitude, direção e sentido. Assim, $\mathbf{A} = \mathbf{B}$, na Fig. 20-1.
- Multiplicação de um vetor por um escalar.** Se m é qualquer número real (escalar), então $m\mathbf{A}$ é um vetor cuja magnitude é $|m|$ vezes a magnitude de \mathbf{A} , cuja direção é a mesma de \mathbf{A} e cujo sentido é o mesmo de \mathbf{A} ou o oposto de \mathbf{A} , dependendo de $m > 0$ ou $m < 0$. Se $m = 0$, então $m\mathbf{A} = \mathbf{0}$ é o *vetor zero* ou *nulo*.
- Soma de vetores.** A soma ou resultante de \mathbf{A} e \mathbf{B} é o vetor $\mathbf{C} = \mathbf{A} + \mathbf{B}$ formado colocando-se o ponto inicial de \mathbf{B} no ponto final de \mathbf{A} e ligando o ponto inicial de \mathbf{A} ao ponto final de \mathbf{B} , como na Fig. 20-2(b). Essa definição é equivalente à lei do paralelogramo para adição de vetores, como indicado na Fig. 20-2(c). O vetor $\mathbf{A} - \mathbf{B}$ é definido como $\mathbf{A} + (-\mathbf{B})$.

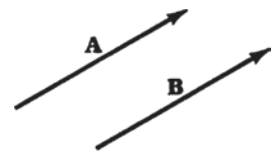


Fig. 20-1

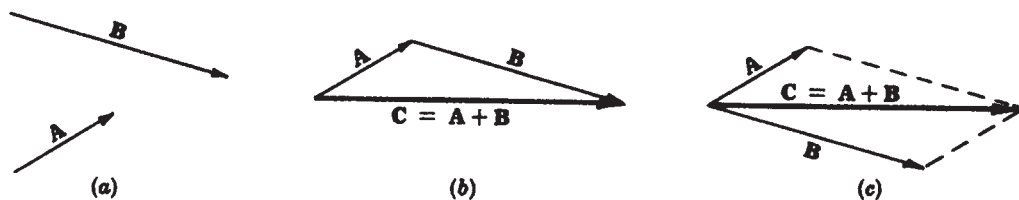


Fig. 20-2

As extensões para somas de mais de dois vetores são imediatas. Assim, a Fig. 20-3 mostra como obter a soma \mathbf{E} dos vetores \mathbf{A} , \mathbf{B} , \mathbf{C} e \mathbf{D} .

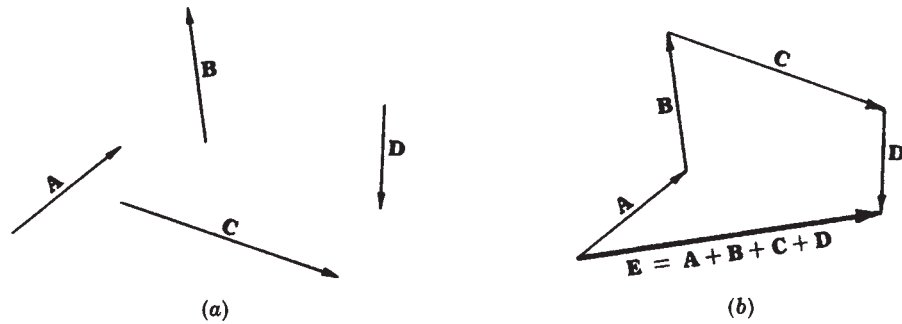


Fig. 20-3

4. **Vetor unitário.** Um *vetor unitário* é um vetor com magnitude unitária. Se \mathbf{A} é um vetor não nulo, então um vetor unitário na direção e sentido de \mathbf{A} é $\mathbf{a} = \mathbf{A}/A$, onde $A > 0$ é a magnitude de \mathbf{A} .

Propriedades da álgebra vetorial

Se \mathbf{A} , \mathbf{B} e \mathbf{C} são vetores e m e n são escalares, então:

- | | | |
|------|---|--|
| 20.1 | $\mathbf{A} + \mathbf{B} = \mathbf{B} + \mathbf{A}$ | Comutatividade da adição |
| 20.2 | $\mathbf{A} + (\mathbf{B} + \mathbf{C}) = (\mathbf{A} + \mathbf{B}) + \mathbf{C}$ | Associatividade da adição |
| 20.3 | $m(n\mathbf{A}) = (mn)\mathbf{A} = n(m\mathbf{A})$ | Associatividade da multiplicação por escalar |
| 20.4 | $(m + n)\mathbf{A} = m\mathbf{A} + n\mathbf{A}$ | Distributividade |
| 20.5 | $m(\mathbf{A} + \mathbf{B}) = m\mathbf{A} + m\mathbf{B}$ | Distributividade |

Componentes de um vetor

Um vetor \mathbf{A} pode ser representado com o ponto inicial na origem do sistema de coordenadas retangulares. Se \mathbf{i} , \mathbf{j} e \mathbf{k} são os vetores unitários nas direções e sentidos dos semieixos x , y e z positivos, então

$$20.6 \quad \mathbf{A} = A_1\mathbf{i} + A_2\mathbf{j} + A_3\mathbf{k}$$

onde $A_1\mathbf{i}$, $A_2\mathbf{j}$, $A_3\mathbf{k}$ são denominados *componentes vetoriais* de \mathbf{A} nas direções \mathbf{i} , \mathbf{j} e \mathbf{k} e A_1 , A_2 , A_3 são denominados *componentes escalares* de \mathbf{A} .

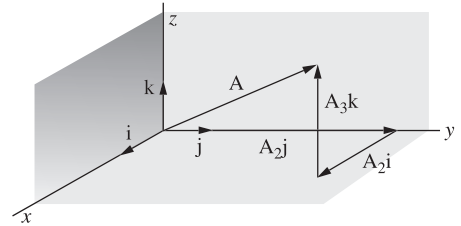


Fig. 20-4

Produto escalar

$$20.7 \quad \mathbf{A} \cdot \mathbf{B} = AB \cos \theta \quad 0 \leq \theta \leq \pi$$

onde θ é o ângulo entre \mathbf{A} e \mathbf{B} .

Os resultados fundamentais são:

- | | | |
|------|--|------------------|
| 20.8 | $\mathbf{A} \cdot \mathbf{B} = \mathbf{B} \cdot \mathbf{A}$ | Comutatividade |
| 20.9 | $\mathbf{A} \cdot (\mathbf{B} + \mathbf{C}) = \mathbf{A} \cdot \mathbf{B} + \mathbf{A} \cdot \mathbf{C}$ | Distributividade |

$$20.10 \quad \mathbf{A} \cdot \mathbf{B} = A_1B_1 + A_2B_2 + A_3B_3$$

onde $\mathbf{A} = A_1\mathbf{i} + A_2\mathbf{j} + A_3\mathbf{k}$ e $\mathbf{B} = B_1\mathbf{i} + B_2\mathbf{j} + B_3\mathbf{k}$

Produto vetorial

$$20.11 \quad \mathbf{A} \times \mathbf{B} = AB \operatorname{sen} \theta \mathbf{u} \quad 0 \leq \theta \leq \pi$$

onde θ é o ângulo entre \mathbf{A} e \mathbf{B} e \mathbf{u} é o vetor unitário perpendicular ao plano de \mathbf{A} e \mathbf{B} tal que \mathbf{A} , \mathbf{B} , \mathbf{u} forma um *sistema de mão direita* (ou seja, um parafuso padrão que for aparafusado com um movimento de \mathbf{A} para \mathbf{B} pelo ângulo menor do que 180° , avançará no sentido do vetor \mathbf{u} , como na Fig. 20-5).

A seguir, **resultados fundamentais**:

$$20.12 \quad \mathbf{A} \times \mathbf{B} = \begin{vmatrix} \mathbf{i} & \mathbf{j} & \mathbf{k} \\ A_1 & A_2 & A_3 \\ B_1 & B_2 & B_3 \end{vmatrix}$$

$$= (A_2B_3 - A_3B_2)\mathbf{i} + (A_3B_1 - A_1B_3)\mathbf{j} + (A_1B_2 - A_2B_1)\mathbf{k}$$

$$20.13 \quad \mathbf{A} \times \mathbf{B} = -(\mathbf{B} \times \mathbf{A})$$

$$20.14 \quad \mathbf{A} \times (\mathbf{B} + \mathbf{C}) = \mathbf{A} \times \mathbf{B} + \mathbf{A} \times \mathbf{C}$$

$$20.15 \quad |\mathbf{A} \times \mathbf{B}| = \text{área do paralelogramo de lados } \mathbf{A} \text{ e } \mathbf{B}$$

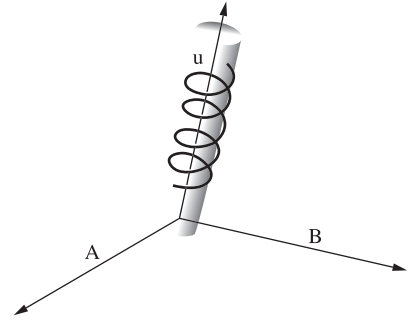


Fig. 20-5

Fórmulas diversas envolvendo os produtos escalar e vetorial

$$20.16 \quad \mathbf{A} \cdot (\mathbf{B} \times \mathbf{C}) = \begin{vmatrix} A_1 & A_2 & A_3 \\ B_1 & B_2 & B_3 \\ C_1 & C_2 & C_3 \end{vmatrix} = A_1B_2C_3 + A_2B_3C_1 + A_3B_1C_2 - A_3B_2C_1 - A_2B_1C_3 - A_1B_3C_2$$

$$20.17 \quad |\mathbf{A} \cdot (\mathbf{B} \times \mathbf{C})| = \text{volume do paralelepípedo de lados } \mathbf{A}, \mathbf{B} \text{ e } \mathbf{C}$$

$$20.18 \quad \mathbf{A} \times (\mathbf{B} \times \mathbf{C}) = \mathbf{B}(\mathbf{A} \cdot \mathbf{C}) - \mathbf{C}(\mathbf{A} \cdot \mathbf{B})$$

$$20.19 \quad (\mathbf{A} \times \mathbf{B}) \times \mathbf{C} = \mathbf{B}(\mathbf{A} \cdot \mathbf{C}) - \mathbf{A}(\mathbf{B} \cdot \mathbf{C})$$

$$20.20 \quad (\mathbf{A} \times \mathbf{B}) \cdot (\mathbf{C} \times \mathbf{D}) = (\mathbf{A} \cdot \mathbf{C})(\mathbf{B} \cdot \mathbf{D}) - (\mathbf{A} \cdot \mathbf{D})(\mathbf{B} \cdot \mathbf{C})$$

$$20.21 \quad (\mathbf{A} \times \mathbf{B}) \times (\mathbf{C} \times \mathbf{D}) = \mathbf{C}\{\mathbf{A} \cdot (\mathbf{B} \times \mathbf{D})\} - \mathbf{D}\{\mathbf{A} \cdot (\mathbf{B} \times \mathbf{C})\} \\ = \mathbf{B}\{\mathbf{A} \cdot (\mathbf{C} \times \mathbf{D})\} - \mathbf{A}\{\mathbf{B} \cdot (\mathbf{C} \times \mathbf{D})\}$$

Derivadas de vetores

A derivada de uma função vetorial $\mathbf{A}(u) = A_1(u)\mathbf{i} + A_2(u)\mathbf{j} + A_3(u)\mathbf{k}$ da variável escalar u é dada por

$$20.22 \quad \frac{d\mathbf{A}}{du} = \lim_{\Delta u \rightarrow 0} \frac{\mathbf{A}(u + \Delta u) - \mathbf{A}(u)}{\Delta u} = \frac{dA_1}{du} \mathbf{i} + \frac{dA_2}{du} \mathbf{j} + \frac{dA_3}{du} \mathbf{k}$$

Derivadas parciais de uma função vetorial $\mathbf{A}(x, y, z)$ são definidas similarmente. Consideramos que todas as derivadas existem, a menos que seja especificado o contrário.

Fórmulas envolvendo derivadas

$$20.23 \quad \frac{d}{du} (\mathbf{A} \cdot \mathbf{B}) = \mathbf{A} \cdot \frac{d\mathbf{B}}{du} + \frac{d\mathbf{A}}{du} \cdot \mathbf{B}$$

$$20.24 \quad \frac{d}{du} (\mathbf{A} \times \mathbf{B}) = \mathbf{A} \times \frac{d\mathbf{B}}{du} + \frac{d\mathbf{A}}{du} \times \mathbf{B}$$

$$20.25 \quad \frac{d}{du} \{\mathbf{A} \cdot (\mathbf{B} \times \mathbf{C})\} = \frac{d\mathbf{A}}{du} \cdot (\mathbf{B} \times \mathbf{C}) + \mathbf{A} \cdot \left(\frac{d\mathbf{B}}{du} \times \mathbf{C} \right) + \mathbf{A} \cdot \left(\mathbf{B} \times \frac{d\mathbf{C}}{du} \right)$$

$$20.26 \quad \mathbf{A} \cdot \frac{d\mathbf{A}}{du} = A \frac{dA}{du}$$

$$20.27 \quad \mathbf{A} \cdot \frac{d\mathbf{A}}{du} = 0 \quad \text{se } |\mathbf{A}| \text{ é uma constante}$$

O operador del

O operador *del* é definido por

$$20.28 \quad \nabla = \mathbf{i} \frac{\partial}{\partial x} + \mathbf{j} \frac{\partial}{\partial y} + \mathbf{k} \frac{\partial}{\partial z}$$

Nos resultados abaixo, consideramos que $U = U(x, y, z)$, $V = V(x, y, z)$, $\mathbf{A} = \mathbf{A}(x, y, z)$ e $\mathbf{B} = \mathbf{B}(x, y, z)$ têm derivadas parciais.

O gradiente

$$20.29 \quad \text{Gradiente de } U = \text{grad } U = \nabla U = \left(\mathbf{i} \frac{\partial}{\partial x} + \mathbf{j} \frac{\partial}{\partial y} + \mathbf{k} \frac{\partial}{\partial z} \right) U = \frac{\partial U}{\partial x} \mathbf{i} + \frac{\partial U}{\partial y} \mathbf{j} + \frac{\partial U}{\partial z} \mathbf{k}$$

O divergente

$$20.30 \quad \text{Divergente de } \mathbf{A} = \text{div } \mathbf{A} = \nabla \cdot \mathbf{A} = \left(\mathbf{i} \frac{\partial}{\partial x} + \mathbf{j} \frac{\partial}{\partial y} + \mathbf{k} \frac{\partial}{\partial z} \right) \cdot (A_1 \mathbf{i} + A_2 \mathbf{j} + A_3 \mathbf{k})$$

$$= \frac{\partial A_1}{\partial x} + \frac{\partial A_2}{\partial y} + \frac{\partial A_3}{\partial z}$$

O rotacional

20.31 Rotacional de $\mathbf{A} = \text{rot } \mathbf{A} = \nabla \times \mathbf{A}$

$$\begin{aligned} &= \left(\mathbf{i} \frac{\partial}{\partial x} + \mathbf{j} \frac{\partial}{\partial y} + \mathbf{k} \frac{\partial}{\partial z} \right) \times (A_1 \mathbf{i} + A_2 \mathbf{j} + A_3 \mathbf{k}) \\ &= \begin{vmatrix} \mathbf{i} & \mathbf{j} & \mathbf{k} \\ \frac{\partial}{\partial x} & \frac{\partial}{\partial y} & \frac{\partial}{\partial z} \\ A_1 & A_2 & A_3 \end{vmatrix} \\ &= \left(\frac{\partial A_3}{\partial y} - \frac{\partial A_2}{\partial z} \right) \mathbf{i} + \left(\frac{\partial A_1}{\partial z} - \frac{\partial A_3}{\partial x} \right) \mathbf{j} + \left(\frac{\partial A_2}{\partial x} - \frac{\partial A_1}{\partial y} \right) \mathbf{k} \end{aligned}$$

O Laplaciano

20.32 Laplaciano de $U = \nabla^2 U = \nabla \cdot (\nabla U) = \frac{\partial^2 U}{\partial x^2} + \frac{\partial^2 U}{\partial y^2} + \frac{\partial^2 U}{\partial z^2}$

20.33 Laplaciano de $\mathbf{A} = \nabla^2 \mathbf{A} = \frac{\partial^2 \mathbf{A}}{\partial x^2} + \frac{\partial^2 \mathbf{A}}{\partial y^2} + \frac{\partial^2 \mathbf{A}}{\partial z^2}$

O operador bi-harmônico

20.34 Operador bi-harmônico em $U = \nabla^4 U = \nabla^2(\nabla^2 U)$

$$= \frac{\partial^4 U}{\partial x^4} + \frac{\partial^4 U}{\partial y^4} + \frac{\partial^4 U}{\partial z^4} + 2 \frac{\partial^4 U}{\partial x^2 \partial y^2} + 2 \frac{\partial^4 U}{\partial y^2 \partial z^2} + 2 \frac{\partial^4 U}{\partial x^2 \partial z^2}$$

Fórmulas diversas envolvendo ∇

20.35 $\nabla(U + V) = \nabla U + \nabla V$

20.36 $\nabla \cdot (\mathbf{A} + \mathbf{B}) = \nabla \cdot \mathbf{A} + \nabla \cdot \mathbf{B}$

20.37 $\nabla \times (\mathbf{A} + \mathbf{B}) = \nabla \times \mathbf{A} + \nabla \times \mathbf{B}$

20.38 $\nabla \cdot (U\mathbf{A}) = (\nabla U) \cdot \mathbf{A} + U(\nabla \cdot \mathbf{A})$

20.39 $\nabla \times (U\mathbf{A}) = (\nabla U) \times \mathbf{A} + U(\nabla \times \mathbf{A})$

20.40 $\nabla \cdot (\mathbf{A} \times \mathbf{B}) = \mathbf{B} \cdot (\nabla \times \mathbf{A}) - \mathbf{A} \cdot (\nabla \times \mathbf{B})$

20.41 $\nabla \times (\mathbf{A} \times \mathbf{B}) = (\mathbf{B} \cdot \nabla) \mathbf{A} - \mathbf{B}(\nabla \cdot \mathbf{A}) - (\mathbf{A} \cdot \nabla) \mathbf{B} + \mathbf{A}(\nabla \cdot \mathbf{B})$

$$20.42 \quad \nabla(\mathbf{A} \cdot \mathbf{B}) = (\mathbf{B} \cdot \nabla)\mathbf{A} + (\mathbf{A} \cdot \nabla)\mathbf{B} + \mathbf{B} \times (\nabla \times \mathbf{A}) + \mathbf{A} \times (\nabla \times \mathbf{B})$$

20.43 $\nabla \times (\nabla U) = \mathbf{0}$, ou seja, o rotacional do gradiente de U é um vetor zero.

20.44 $\nabla \cdot (\nabla \times \mathbf{A}) = 0$, ou seja, o divergente do rotacional de \mathbf{A} é zero.

$$20.45 \quad \nabla \times (\nabla \times \mathbf{A}) = \nabla(\nabla \cdot \mathbf{A}) - \nabla^2 \mathbf{A}$$

Integrais envolvendo vetores

Se $\mathbf{A}(u) = \frac{d}{du} \mathbf{B}(u)$, então a *integral indefinida* de $\mathbf{A}(u)$ é

$$20.46 \quad \int \mathbf{A}(u) du = \mathbf{B}(u) + \mathbf{c}, \quad \mathbf{c} = \text{vetor constante}$$

A *integral definida* de $\mathbf{A}(u)$ de $u = a$ a $u = b$ é, neste caso, dada por

$$20.47 \quad \int_a^b \mathbf{A}(u) du = \mathbf{B}(b) - \mathbf{B}(a)$$

A integral definida pode ser definida como no item 18.1.

Integrais de linha

Considere uma curva espacial C unindo os dois pontos $P_1(a_1, a_2, a_3)$ e $P_2(b_1, b_2, b_3)$, como na Fig. 20-6. Divida a curva em n partes pelos pontos de subdivisão $(x_1, y_1, z_1), \dots, (x_{n-1}, y_{n-1}, z_{n-1})$. Então, a *integral de linha* do vetor $\mathbf{A}(x, y, z)$ ao longo de C é definida por

$$20.48 \quad \int_C \mathbf{A} \cdot d\mathbf{r} = \int_{P_1}^{P_2} \mathbf{A} \cdot d\mathbf{r} = \lim_{n \rightarrow \infty} \sum_{p=1}^n \mathbf{A}(x_p, y_p, z_p) \cdot \Delta \mathbf{r}_p$$

onde $\Delta \mathbf{r}_p = \Delta x_p \mathbf{i} + \Delta y_p \mathbf{j} + \Delta z_p \mathbf{k}$, $\Delta x_p = x_{p+1} - x_p$, $\Delta y_p = y_{p+1} - y_p$, $\Delta z_p = z_{p+1} - z_p$ e onde supomos que a maior das magnitudes $|\Delta \mathbf{r}_p|$ tende a zero quando $n \rightarrow \infty$. O resultado 20.48 é uma generalização da integral definida comum (ver 18.1).

A integral de linha 20.48 também pode ser escrita como

$$20.49 \quad \int_C \mathbf{A} \cdot d\mathbf{r} = \int_C (A_1 dx + A_2 dy + A_3 dz)$$

usando-se $\mathbf{A} = A_1 \mathbf{i} + A_2 \mathbf{j} + A_3 \mathbf{k}$ e $d\mathbf{r} = dx \mathbf{i} + dy \mathbf{j} + dz \mathbf{k}$.

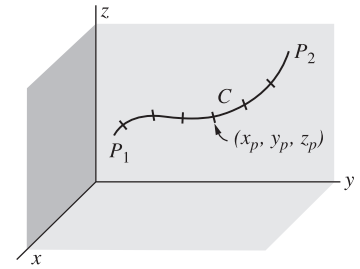


Fig. 20-6

Propriedades das integrais de linha

$$20.50 \quad \int_{P_1}^{P_2} \mathbf{A} \cdot d\mathbf{r} = - \int_{P_2}^{P_1} \mathbf{A} \cdot d\mathbf{r}$$

$$20.51 \quad \int_{P_1}^{P_2} \mathbf{A} \cdot d\mathbf{r} = \int_{P_1}^{P_3} \mathbf{A} \cdot d\mathbf{r} + \int_{P_3}^{P_2} \mathbf{A} \cdot d\mathbf{r}$$

Independência do caminho

Em geral, a integral de linha tem um valor dependente do particular caminho C unindo os pontos P_1 e P_2 na região \mathcal{R} . No entanto, no caso $\mathbf{A} = \nabla \phi$ ou $\nabla \times \mathbf{A} = \mathbf{0}$, onde ϕ e suas derivadas parciais são contínuas em \mathcal{R} , a integral de linha $\int_C \mathbf{A} \cdot d\mathbf{r}$ é independente do caminho. Em tal caso

$$20.52 \quad \int_C \mathbf{A} \cdot d\mathbf{r} = \int_{P_1}^{P_2} \mathbf{A} \cdot d\mathbf{r} = \phi(P_2) - \phi(P_1)$$

onde $\phi(P_1)$ e $\phi(P_2)$ denotam os valores de ϕ em P_1 e P_2 , respectivamente. Em particular, se C é uma curva fechada,

$$20.53 \quad \int_C \mathbf{A} \cdot d\mathbf{r} = \oint_C \mathbf{A} \cdot d\mathbf{r} = 0$$

onde o círculo no sinal da integral é usado para enfatizar que C é fechada.

Integrais múltiplas

Seja $F(x, y)$ uma função definida na região \mathcal{R} do plano xy , como na Fig. 20-7. Subdivida a região em n partes por linhas paralelas aos eixos x e y , como indicado. $\Delta A_p = \Delta x_p \Delta y_p$ denota a área de uma dessas partes. Então a integral de $F(x, y)$ sobre \mathcal{R} é definida por

$$20.54 \quad \int_{\mathcal{R}} F(x, y) dA = \lim_{n \rightarrow \infty} \sum_{p=1}^n F(x_p, y_p) \Delta A_p$$

supondo-se que este limite exista.

Em tais casos, a integral também pode ser escrita como

$$20.55 \quad \int_{x=a}^b \int_{y=f_1(x)}^{f_2(x)} F(x, y) dy dx$$

$$= \int_{x=a}^b \left\{ \int_{y=f_1(x)}^{f_2(x)} F(x, y) dy \right\} dx$$

onde $y = f_1(x)$ e $y = f_2(x)$ são as equações das curvas PHQ e PGQ , respectivamente, e a e b são as coordenadas x dos pontos P e Q . O resultado pode ser escrito como

$$20.56 \quad \int_{y=c}^d \int_{x=g_1(y)}^{g_2(y)} F(x, y) dx dy = \int_{y=c}^d \left\{ \int_{x=g_1(y)}^{g_2(y)} F(x, y) dx \right\} dy$$

onde $x = g_1(y)$ e $x = g_2(y)$ são as equações das curvas HPG e HQG , respectivamente, e c e d são as coordenadas y de H e G .

Estas são as chamadas *integrais duplas* ou *integrais de área*. As ideias apresentadas podem ser analogamente estendidas a *integrais triplas* ou *de volume* ou, ainda, a *integrais múltiplas*.

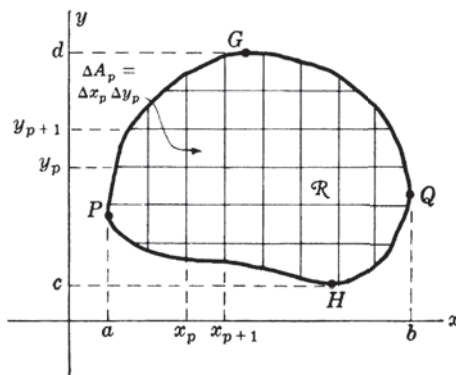


Fig. 20-7

Integrais de superfície

Subdivida a superfície S [ver Fig. 20-8] em n elementos de área ΔS_p , $p = 1, 2, \dots, n$. Seja $\mathbf{A}(x_p, y_p, z_p) = \mathbf{A}_p$ onde (x_p, y_p, z_p) é o ponto P em ΔS_p . Seja \mathbf{N}_p um vetor unitário normal a ΔS_p em P . Então a integral de superfície do componente normal de \mathbf{A} sobre S é definida por

$$20.57 \quad \int_S \mathbf{A} \cdot \mathbf{N} dS = \lim_{n \rightarrow \infty} \sum_{p=1}^n \mathbf{A}_p \cdot \mathbf{N}_p \Delta S_p$$

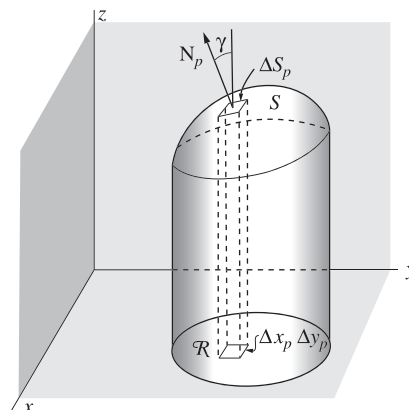


Fig. 20-8

Relação entre integrais duplas e de superfície

Se \mathcal{R} é a projeção de S no plano xy , então [ver Fig. 20-8]

$$20.58 \quad \int_S \mathbf{A} \cdot \mathbf{N} \, dS = \int_{\mathcal{R}} \int \mathbf{A} \cdot \mathbf{N} \frac{dx \, dy}{|\mathbf{N} \cdot \mathbf{k}|}$$

O teorema da divergência

Seja S uma superfície fechada limitando uma região de volume V ; então, se \mathbf{N} é a normal positiva (desenhada para fora) e $d\mathbf{S} = \mathbf{N} \, dS$, temos [ver Fig. 20-9]

$$20.59 \quad \int_V \nabla \cdot \mathbf{A} \, dV = \int_S \mathbf{A} \cdot d\mathbf{S}$$

O resultado também é chamado de *teorema de Gauss* ou de *teorema de Green*.

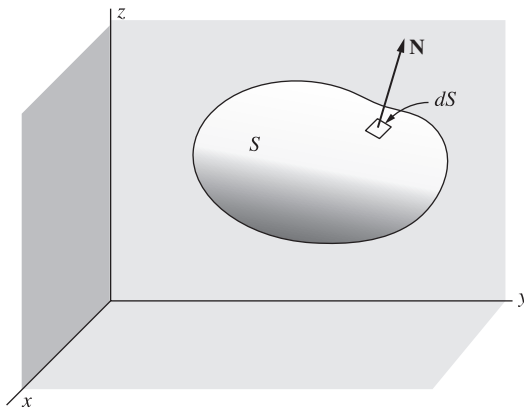


Fig. 20-9

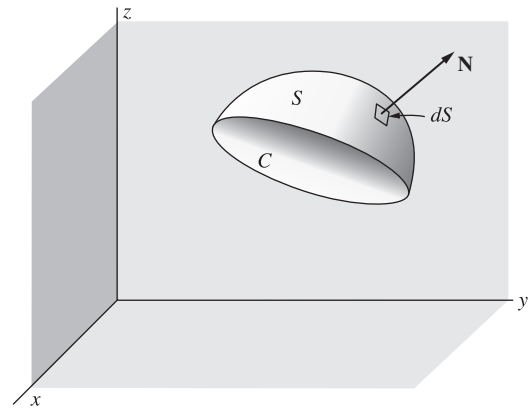


Fig. 20-10

Teorema de Stokes

Seja S uma superfície aberta de dois lados limitada por uma curva fechada C sem autointerseção (curva fechada simples), como na Fig. 20-10. Então,

$$20.60 \quad \oint_C \mathbf{A} \cdot d\mathbf{r} = \int_S (\nabla \times \mathbf{A}) \cdot d\mathbf{S}$$

onde o círculo na integral é usado para enfatizar que C é fechada.

Teorema de Green no plano

$$20.61 \quad \oint_C (P \, dx + Q \, dy) = \int_R \left(\frac{\partial Q}{\partial x} - \frac{\partial P}{\partial y} \right) dx \, dy$$

onde R é a área limitada pela curva fechada C . Este resultado é um caso especial do teorema de divergência ou do teorema de Stokes.

Primeira identidade de Green

$$20.62 \int_V \{\phi \nabla^2 \psi + (\nabla \phi) \cdot (\nabla \psi)\} dV = \int_S (\phi \nabla \psi) \cdot d\mathbf{S}$$

onde ϕ e ψ são funções escalares.

Segunda identidade de Green

$$20.63 \int_V (\phi \nabla^2 \psi - \psi \nabla^2 \phi) dV = \int_S (\phi \nabla \psi - \psi \nabla \phi) \cdot d\mathbf{S}$$

Teoremas de integrais diversos

$$20.64 \int_V \nabla \times \mathbf{A} dV = \int_S d\mathbf{S} \times \mathbf{A}$$

$$20.65 \int_C \phi d\mathbf{r} = \int_S d\mathbf{S} \times \nabla \phi$$

Coordenadas curvilíneas

Um ponto P no espaço [ver Fig. 20-11] pode ser determinado por coordenadas retangulares (x, y, z) ou coordenadas curvilíneas (u_1, u_2, u_3) , onde as equações de transformação de um terno de coordenadas para o outro são dadas por

$$20.66 \quad x = x(u_1, u_2, u_3)$$

$$y = y(u_1, u_2, u_3)$$

$$z = z(u_1, u_2, u_3)$$

Se u_2 e u_3 são constantes, então, quando u_1 varia, o vetor posição $\mathbf{r} = x\mathbf{i} + y\mathbf{j} + z\mathbf{k}$ de P descreve uma curva denominada curva coordenada u_1 . Analogamente, definimos as curvas coordenadas u_2 e u_3 por P . Os vetores $\partial\mathbf{r}/\partial u_1, \partial\mathbf{r}/\partial u_2, \partial\mathbf{r}/\partial u_3$ representam vetores tangentes às curvas coordenadas u_1, u_2, u_3 . Se $\mathbf{e}_1, \mathbf{e}_2$ e \mathbf{e}_3 são os vetores unitários tangentes a essas curvas, temos

$$20.67 \quad \frac{\partial\mathbf{r}}{\partial u_1} = h_1\mathbf{e}_1, \quad \frac{\partial\mathbf{r}}{\partial u_2} = h_2\mathbf{e}_2, \quad \frac{\partial\mathbf{r}}{\partial u_3} = h_3\mathbf{e}_3$$

onde

$$20.68 \quad h_1 = \left| \frac{\partial\mathbf{r}}{\partial u_1} \right|, \quad h_2 = \left| \frac{\partial\mathbf{r}}{\partial u_2} \right|, \quad h_3 = \left| \frac{\partial\mathbf{r}}{\partial u_3} \right|$$

são denominados *fatores de escala*. Se $\mathbf{e}_1, \mathbf{e}_2$ e \mathbf{e}_3 são mutuamente perpendiculares, o sistema de coordenadas curvilíneas é denominado *ortogonal*.

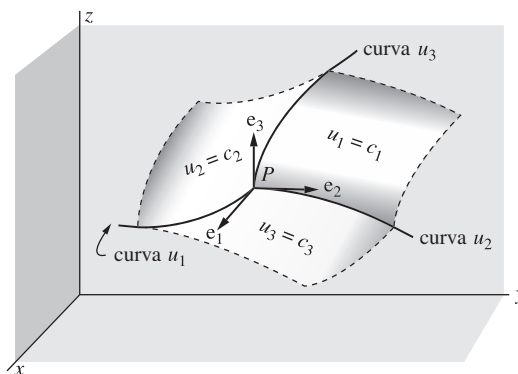


Fig. 20-11

Fórmulas envolvendo coordenadas curvilíneas ortogonais

$$20.69 \quad d\mathbf{r} = \frac{\partial \mathbf{r}}{\partial u_1} du_1 + \frac{\partial \mathbf{r}}{\partial u_2} du_2 + \frac{\partial \mathbf{r}}{\partial u_3} du_3 = h_1 du_1 \mathbf{e}_1 + h_2 du_2 \mathbf{e}_2 + h_3 du_3 \mathbf{e}_3$$

$$20.70 \quad ds^2 = d\mathbf{r} \cdot d\mathbf{r} = h_1^2 du_1^2 + h_2^2 du_2^2 + h_3^2 du_3^2$$

onde ds é o elemento do comprimento de arco.

Se dV é o elemento de volume, então

$$20.71 \quad dV = |(h_1 \mathbf{e}_1 du_1) \cdot (h_2 \mathbf{e}_2 du_2) \times (h_3 \mathbf{e}_3 du_3)| = h_1 h_2 h_3 du_1 du_2 du_3$$

$$= \left| \frac{\partial \mathbf{r}}{\partial u_1} \cdot \frac{\partial \mathbf{r}}{\partial u_2} \times \frac{\partial \mathbf{r}}{\partial u_3} \right| du_1 du_2 du_3 = \left| \frac{\partial(x, y, z)}{\partial(u_1, u_2, u_3)} \right| du_1 du_2 du_3$$

onde

$$20.72 \quad \frac{\partial(x, y, z)}{\partial(u_1, u_2, u_3)} = \begin{vmatrix} \partial x / \partial u_1 & \partial x / \partial u_2 & \partial x / \partial u_3 \\ \partial y / \partial u_1 & \partial y / \partial u_2 & \partial y / \partial u_3 \\ \partial z / \partial u_1 & \partial z / \partial u_2 & \partial z / \partial u_3 \end{vmatrix}$$

às vezes escrito como $J(x, y, z; u_1, u_2, u_3)$, é denominado *jacobiano* da transformação.

Transformação de integrais múltiplas

O resultado 20.72 pode ser usado para transformar integrais múltiplas de retangulares para coordenadas curvilíneas. Por exemplo,

$$20.73 \quad \int_{\mathcal{R}} F(x, y, z) dx dy dz = \int_{\mathcal{R}'} G(u_1, u_2, u_3) \left| \frac{\partial(x, y, z)}{\partial(u_1, u_2, u_3)} \right| du_1 du_2 du_3$$

onde \mathcal{R}' é a região na qual \mathcal{R} é mapeada pela transformação e $G(u_1, u_2, u_3)$ é o valor de $F(x, y, z)$ correspondente à transformação.

Gradiente, divergente, rotacional e Laplaciano

A seguir, Φ é uma função escalar e $\mathbf{A} = A_1 \mathbf{e}_1 + A_2 \mathbf{e}_2 + A_3 \mathbf{e}_3$ é uma função vetorial de coordenadas curvilíneas ortogonais u_1, u_2 e u_3 .

$$20.74 \quad \text{Gradiente de } \Phi = \text{grad } \Phi = \nabla \Phi = \frac{\mathbf{e}_1}{h_1} \frac{\partial \Phi}{\partial u_1} + \frac{\mathbf{e}_2}{h_2} \frac{\partial \Phi}{\partial u_2} + \frac{\mathbf{e}_3}{h_3} \frac{\partial \Phi}{\partial u_3}$$

$$20.75 \quad \text{Divergente de } \mathbf{A} = \text{div } \mathbf{A} = \nabla \cdot \mathbf{A} = \frac{1}{h_1 h_2 h_3} \left[\frac{\partial}{\partial u_1} (h_2 h_3 A_1) + \frac{\partial}{\partial u_2} (h_3 h_1 A_2) + \frac{\partial}{\partial u_3} (h_1 h_2 A_3) \right]$$

$$20.76 \quad \text{Rotacional de } \mathbf{A} = \text{rot } \mathbf{A} = \nabla \times \mathbf{A} = \frac{1}{h_1 h_2 h_3} \begin{vmatrix} h_1 \mathbf{e}_1 & h_2 \mathbf{e}_2 & h_3 \mathbf{e}_3 \\ \frac{\partial}{\partial u_1} & \frac{\partial}{\partial u_2} & \frac{\partial}{\partial u_3} \\ h_1 A_1 & h_2 A_2 & h_3 A_3 \end{vmatrix}$$

$$= \frac{1}{h_2 h_3} \left[\frac{\partial}{\partial u_2} (h_3 A_3) - \frac{\partial}{\partial u_3} (h_2 A_2) \right] \mathbf{e}_1 + \frac{1}{h_1 h_3} \left[\frac{\partial}{\partial u_3} (h_1 A_1) - \frac{\partial}{\partial u_1} (h_3 A_3) \right] \mathbf{e}_2$$

$$+ \frac{1}{h_1 h_2} \left[\frac{\partial}{\partial u_1} (h_2 A_2) - \frac{\partial}{\partial u_2} (h_1 A_1) \right] \mathbf{e}_3$$

20.77 Laplaciano de $\Phi = \nabla^2 \Phi = \frac{1}{h_1 h_2 h_3} \left[\frac{\partial}{\partial u_1} \left(\frac{h_2 h_3}{h_1} \frac{\partial \Phi}{\partial u_1} \right) + \frac{\partial}{\partial u_2} \left(\frac{h_3 h_1}{h_2} \frac{\partial \Phi}{\partial u_2} \right) + \frac{\partial}{\partial u_3} \left(\frac{h_1 h_2}{h_3} \frac{\partial \Phi}{\partial u_3} \right) \right]$

Observe que o operador bi-harmônico $\nabla^4 \Phi = \nabla^2(\nabla^2 \Phi)$ pode ser obtido a partir da equação 20.77.

Sistemas de coordenadas ortogonais especiais

| | |
|--|---|
| Coordenadas cilíndricas (r, θ, z) (ver Figura 20-12) | |
| 20.78 | $x = r \cos \theta, \quad y = r \sin \theta, \quad z = z$ |
| 20.79 | $h_1^2 = 1, \quad h_2^2 = r^2, \quad h_3^2 = 1$ |
| 20.80 | $\nabla^2 \Phi = \frac{\partial^2 \Phi}{\partial r^2} + \frac{1}{r} \frac{\partial \Phi}{\partial r} + \frac{1}{r^2} \frac{\partial^2 \Phi}{\partial \theta^2} + \frac{\partial^2 \Phi}{\partial z^2}$ |
| | |
| <p>Fig. 20-12 Coordenadas cilíndricas. Fig. 20-13 Coordenadas esféricas.</p> | |
| Coordenadas esféricas (r, θ, ϕ) (ver Figura 20-13) | |
| 20.81 | $x = r \sin \theta \cos \phi, \quad y = r \sin \theta \sin \phi, \quad z = r \cos \theta$ |
| 20.82 | $h_1^2 = 1, \quad h_2^2 = r^2, \quad h_3^2 = r^2 \sin^2 \theta$ |
| 20.83 | $\nabla^2 \Phi = \frac{1}{r^2} \frac{\partial}{\partial r} \left(r^2 \frac{\partial \Phi}{\partial r} \right) + \frac{1}{r^2 \sin \theta} \frac{\partial}{\partial \theta} \left(\sin \theta \frac{\partial \Phi}{\partial \theta} \right) + \frac{1}{r^2 \sin^2 \theta} \frac{\partial^2 \Phi}{\partial \phi^2}$ |
| Coordenadas cilíndricas parabólicas (u, v, z) | |
| 20.84 | $x = \frac{1}{2}(u^2 - v^2), \quad y = uv, \quad z = z$ |
| 20.85 | $h_1^2 = h_2^2 = u^2 + v^2, \quad h_3^2 = 1$ |
| 20.86 | $\nabla^2 \Phi = \frac{1}{u^2 + v^2} \left(\frac{\partial^2 \Phi}{\partial u^2} + \frac{\partial^2 \Phi}{\partial v^2} \right) + \frac{\partial^2 \Phi}{\partial z^2}$ |
| <p>Os traços das superfícies coordenadas no plano xy são mostrados na Fig. 20-14. São parábolas confocais com eixo comum.</p> | |
| | |
| Fig. 20-14 | |

Coordenadas paraboloidais (u, v, ϕ)

$$20.87 \quad x = uv \cos \phi, \quad y = uv \sin \phi, \quad z = \frac{1}{2}(u^2 - v^2)$$

$$\text{onde } u \geq 0, \quad v \geq 0, \quad 0 \leq \phi < 2\pi$$

$$20.88 \quad h_1^2 = h_2^2 = u^2 + v^2, \quad h_3^2 = u^2 v^2$$

$$20.89 \quad \nabla^2 \Phi = \frac{1}{u(u^2 + v^2)} \frac{\partial}{\partial u} \left(u \frac{\partial \Phi}{\partial u} \right) + \frac{1}{v(u^2 + v^2)} \frac{\partial}{\partial v} \left(v \frac{\partial \Phi}{\partial v} \right) + \frac{1}{u^2 v^2} \frac{\partial^2 \Phi}{\partial \phi^2}$$

Dois conjuntos de superfícies coordenadas são obtidos pela rotação das parábolas da Fig. 20-14 em torno do eixo x , que passa a ser rotulado como eixo z .

Coordenadas elípticas cilíndricas (u, v, z)

$$20.90 \quad x = a \cosh u \cos v, \quad y = a \sinh u \sin v, \quad z = z$$

$$\text{onde } u \geq 0, \quad 0 \leq v < 2\pi, \quad -\infty < z < \infty$$

$$20.91 \quad h_1^2 = h_2^2 = a^2(\sinh^2 u + \sin^2 v), \quad h_3^2 = 1$$

$$20.92 \quad \nabla^2 \Phi = \frac{1}{a^2(\sinh^2 u + \sin^2 v)} \left(\frac{\partial^2 \Phi}{\partial u^2} + \frac{\partial^2 \Phi}{\partial v^2} \right) + \frac{\partial^2 \Phi}{\partial z^2}$$

Os traços das superfícies coordenadas no plano xy são mostrados na Fig. 20-15. São elipses e hipérbolas confocais.

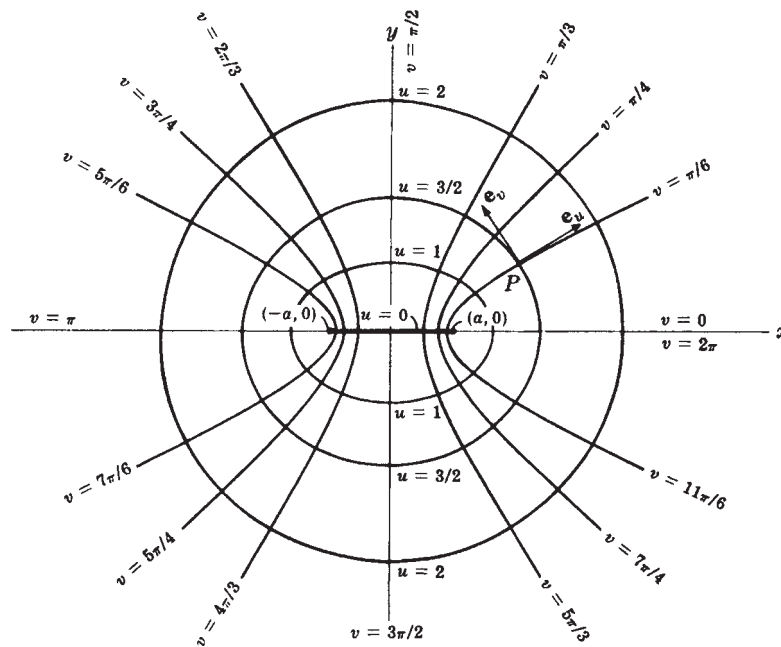


Fig. 20-15 Coordenadas elípticas cilíndricas.

Coordenadas esféricas alongadas (ξ, η, ϕ)

20.93 $x = a \sinh \xi \sen \eta \cos \phi, \quad y = a \sinh \xi \sen \eta \sen \phi, \quad z = a \cosh \xi \cos \eta$

onde $\xi \geq 0, \quad 0 \leq \eta \leq \pi, \quad 0 \leq \phi < 2\pi$

20.94 $h_1^2 = h_2^2 = a^2(\sinh^2 \xi \sen^2 \eta), \quad h_3^2 = a^2 \sinh^2 \xi \sen^2 \eta$

20.95
$$\nabla^2 \Phi = \frac{1}{a^2(\sinh^2 \xi + \sen^2 \eta) \sinh \xi} \frac{\partial}{\partial \xi} \left(\sinh \xi \frac{\partial \Phi}{\partial \xi} \right) + \frac{1}{a^2(\sinh^2 \xi + \sen^2 \eta) \sen \eta} \frac{\partial}{\partial \eta} \left(\sen \eta \frac{\partial \Phi}{\partial \eta} \right) + \frac{1}{a^2 \sinh^2 \xi \sen^2 \eta} \frac{\partial^2 \Phi}{\partial \phi^2}$$

Dois conjuntos de superfícies coordenadas são obtidos pela rotação das curvas da Fig. 20-15 em torno do eixo x , que passa a ser rotulado como eixo z . O terceiro conjunto de superfícies coordenadas consiste de planos passando por este eixo.

Coordenadas esféricas achatadas (ξ, η, ϕ)

20.96 $x = a \cosh \xi \cos \eta \cos \phi, \quad y = a \cosh \xi \cos \eta \sen \phi, \quad z = a \sinh \xi \sen \eta$

onde $\xi \geq 0, \quad -\pi/2 \leq \eta \leq \pi/2, \quad 0 \leq \phi < 2\pi$

20.97 $h_1^2 = h_2^2 = a^2(\sinh^2 \xi + \sen^2 \eta), \quad h_3^2 = a^2 \cosh^2 \xi \cos^2 \eta$

20.98
$$\nabla^2 \Phi = \frac{1}{a^2(\sinh^2 \xi + \sen^2 \eta) \cosh \xi} \frac{\partial}{\partial \xi} \left(\cosh \xi \frac{\partial \Phi}{\partial \xi} \right) + \frac{1}{a^2(\sinh^2 \xi + \sen^2 \eta) \cos \eta} \frac{\partial}{\partial \eta} \left(\cos \eta \frac{\partial \Phi}{\partial \eta} \right) + \frac{1}{a^2 \cosh^2 \xi \cos^2 \eta} \frac{\partial^2 \Phi}{\partial \phi^2}$$

Dois conjuntos de superfícies coordenadas são obtidos pela rotação das curvas da Fig. 20-15 em torno do eixo y , que passa a ser rotulado como eixo z . O terceiro conjunto de superfícies coordenadas consiste de planos passando por este eixo.

Coordenadas bipolares (u, v, z)

20.99 $x = \frac{a \sinh v}{\cosh v - \cos u}, \quad y = \frac{a \sen u}{\cosh v - \cos u}, \quad z = z$

onde $0 \leq u < 2\pi, \quad -\infty < v < \infty, \quad -\infty < z < \infty$

ou

20.100 $x^2 + (y - a \cotg u)^2 = a^2 \operatorname{cosec}^2 u, \quad (x - a \cotgh v)^2 + y^2 = a^2 \operatorname{cosech}^2 v, \quad z = z$

$$20.101 \quad h_1^2 = h_2^2 = \frac{a^2}{(\cosh v - \cos u)^2}, \quad h_3^2 = 1$$

$$20.102 \quad \nabla^2 \Phi = \frac{(\cosh v - \cos u)^2}{a^2} \left(\frac{\partial^2 \Phi}{\partial u^2} + \frac{\partial^2 \Phi}{\partial v^2} \right) + \frac{\partial^2 \Phi}{\partial z^2}$$

Os traços das superfícies coordenadas no plano xy são mostrados na Fig. 20-16.

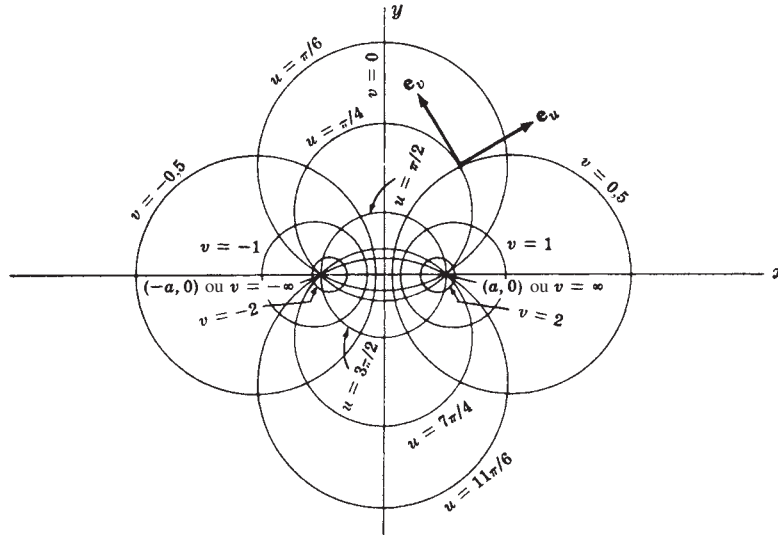


Fig. 20-16 Coordenadas bipolares.

Coordenadas toroidais (u, v, ϕ)

$$20.103 \quad x = \frac{a \sinh v \cos \phi}{\cosh v - \cos u}, \quad y = \frac{a \sinh v \sin \phi}{\cosh v - \cos u}, \quad z = \frac{a \sinh u}{\cosh v - \cos u}$$

$$20.104 \quad h_1^2 = h_2^2 = \frac{a^2}{(\cosh v - \cos u)^2}, \quad h_3^2 = \frac{a^2 \sinh^2 v}{(\cosh v - \cos u)^2}$$

$$20.105 \quad \nabla^2 \Phi = \frac{(\cosh v - \cos u)^3}{a^2} \frac{\partial}{\partial u} \left(\frac{1}{\cosh v - \cos u} \frac{\partial \Phi}{\partial u} \right) + \frac{(\cosh v - \cos u)^3}{a^2 \sinh v} \frac{\partial}{\partial v} \left(\frac{\sinh v}{\cosh v - \cos u} \frac{\partial \Phi}{\partial v} \right) + \frac{(\cosh v - \cos u)^2}{a^2 \sinh^2 v} \frac{\partial^2 \Phi}{\partial \phi^2}$$

As superfícies coordenadas são obtidas pela rotação das curvas da Fig. 20-16 em torno do eixo x , que passa a ser rotulado como eixo z .

Coordenadas cônicas (λ, μ, v)

$$20.106 \quad x = \frac{\lambda \mu v}{ab}, \quad y = \frac{\lambda}{a} \sqrt{\frac{(\mu^2 - a^2)(v^2 - a^2)}{a^2 - b^2}}, \quad z = \frac{\lambda}{b} \sqrt{\frac{(\mu^2 - b^2)(v^2 - b^2)}{b^2 - a^2}}$$

$$20.107 \quad h_1^2 = 1, \quad h_2^2 = \frac{\lambda^2 (\mu^2 - v^2)}{(\mu^2 - a^2)(b^2 - \mu^2)}, \quad h_3^2 = \frac{\lambda^2 (\mu^2 - v^2)}{(v^2 - a^2)(v^2 - b^2)}$$

Coordenadas elipsoidais confocais (λ, μ, ν)

$$20.108 \begin{cases} \frac{x^2}{a^2 - \lambda} + \frac{y^2}{b^2 - \lambda} + \frac{z^2}{c^2 - \lambda} = 1, & \lambda < c^2 < b^2 < a^2 \\ \frac{x^2}{a^2 - \mu} + \frac{y^2}{b^2 - \mu} + \frac{z^2}{c^2 - \mu} = 1, & c^2 < \mu < b^2 < a^2 \\ \frac{x^2}{a^2 - \nu} + \frac{y^2}{b^2 - \nu} + \frac{z^2}{c^2 - \nu} = 1, & c^2 < b^2 < \nu < a^2 \end{cases}$$

ou

$$20.109 \begin{cases} x^2 = \frac{(a^2 - \lambda)(a^2 - \mu)(a^2 - \nu)}{(a^2 - b^2)(a^2 - c^2)} \\ y^2 = \frac{(b^2 - \lambda)(b^2 - \mu)(b^2 - \nu)}{(b^2 - a^2)(a^2 - c^2)} \\ z^2 = \frac{(c^2 - \lambda)(c^2 - \mu)(c^2 - \nu)}{(c^2 - a^2)(c^2 - b^2)} \end{cases}$$

$$20.110 \begin{cases} h_1^2 = \frac{(\mu - \lambda)(\nu - \lambda)}{4(a^2 - \lambda)(b^2 - \lambda)(c^2 - \lambda)} \\ h_2^2 = \frac{(\nu - \mu)(\lambda - \mu)}{4(a^2 - \mu)(b^2 - \mu)(c^2 - \mu)} \\ h_3^2 = \frac{(\lambda - \nu)(\mu - \nu)}{4(a^2 - \nu)(b^2 - \nu)(c^2 - \nu)} \end{cases}$$

Coordenadas paraboloidais confocais (λ, μ, ν)

$$20.111 \begin{cases} \frac{x^2}{a^2 - \lambda} + \frac{y^2}{b^2 - \lambda} = z - \lambda, & -\infty < \lambda < b^2 \\ \frac{x^2}{a^2 - \mu} + \frac{y^2}{b^2 - \mu} = z - \mu, & b^2 < \mu < a^2 \\ \frac{x^2}{a^2 - \nu} + \frac{y^2}{b^2 - \nu} = z - \nu, & a^2 < \nu < \infty \end{cases}$$

ou

$$20.112 \begin{cases} x^2 = \frac{(a^2 - \lambda)(a^2 - \mu)(a^2 - \nu)}{b^2 - a^2} \\ y^2 = \frac{(b^2 - \lambda)(b^2 - \mu)(b^2 - \nu)}{a^2 - b^2} \\ z = \lambda + \mu + \nu - a^2 - b^2 \end{cases}$$

$$20.113 \begin{cases} h_1^2 = \frac{(\mu - \lambda)(\nu - \lambda)}{4(a^2 - \lambda)(b^2 - \lambda)} \\ h_2^2 = \frac{(\nu - \mu)(\lambda - \mu)}{4(a^2 - \mu)(b^2 - \mu)} \\ h_3^2 = \frac{(\lambda - \nu)(\mu - \nu)}{16(a^2 - \nu)(b^2 - \nu)} \end{cases}$$

Séries aritméticas

$$21.1 \quad a + (a+d) + (a+2d) + \dots + \{a+(n-1)d\} = \frac{1}{2}n\{2a+(n-1)d\} = \frac{1}{2}n(a+l)$$

onde $l = a + (n-1)d$ é o último termo.

Alguns casos especiais são

$$21.2 \quad 1+2+3+\dots+n = \frac{1}{2}n(n+1)$$

$$21.3 \quad 1+3+5+\dots+(2n-1) = n^2$$

Séries geométricas

$$21.4 \quad a + ar + ar^2 + ar^3 + \dots + ar^{n-1} = \frac{a(1-r^n)}{1-r} = \frac{a-rl}{1-r}$$

onde $l = ar^{n-1}$ é o último termo e $r \neq 1$.

Se $-1 < r < 1$, então

$$21.5 \quad a + ar + ar^2 + ar^3 + \dots = \frac{a}{1-r}$$

Séries aritmético-geométricas

$$21.6 \quad a + (a+d)r + (a+2d)r^2 + \dots + \{a+(n-1)d\}r^{n-1} = \frac{a(1-r^n)}{1-r} + \frac{rd\{1-nr^{n-1}+(n-1)r^n\}}{(1-r)^2}$$

onde $r \neq 1$.

Se $-1 < r < 1$, então

$$21.7 \quad a + (a+d)r + (a+2d)r^2 + \dots = \frac{a}{1-r} + \frac{rd}{(1-r)^2}$$

Somatórios de potências de inteiros positivos

$$21.8 \quad 1^p + 2^p + 3^p + \dots + n^p = \frac{n^{p+1}}{p+1} + \frac{1}{2}n^p + \frac{B_1pn^{p-1}}{2!} - \frac{B_2p(p-1)(p-2)n^{p-3}}{4!} + \dots$$

onde a série termina em n^2 ou n , conforme p é ímpar ou par, e B_k são os números de Bernoulli [ver Capítulo 23].

Alguns casos especiais são

$$21.9 \quad 1 + 2 + 3 + \dots + n = \frac{n(n+1)}{2}$$

$$21.10 \quad 1^2 + 2^2 + 3^2 + \dots + n^2 = \frac{n(n+1)(2n+1)}{6}$$

$$21.11 \quad 1^3 + 2^3 + 3^3 + \dots + n^3 = \frac{n^2(n+1)^2}{4} = (1 + 2 + 3 + \dots + n)^2$$

$$21.12 \quad 1^4 + 2^4 + 3^4 + \dots + n^4 = \frac{n(n+1)(2n+1)(3n^2+3n-1)}{30}$$

Se $S_k = 1^k + 2^k + 3^k + \dots + n^k$, onde k e n são inteiros positivos, então:

$$21.13 \quad \binom{k+1}{1} S_1 + \binom{k+1}{2} S_2 + \dots + \binom{k+1}{k} S_k = (n+1)^{k+1} - (n+1)$$

Séries envolvendo recíprocas de potências de inteiros positivos

$$21.14 \quad 1 - \frac{1}{2} + \frac{1}{3} - \frac{1}{4} + \frac{1}{5} - \dots = \ln 2$$

$$21.15 \quad 1 - \frac{1}{3} + \frac{1}{5} - \frac{1}{7} + \frac{1}{9} - \dots = \frac{\pi}{4}$$

$$21.16 \quad 1 - \frac{1}{4} + \frac{1}{7} - \frac{1}{10} + \frac{1}{13} - \dots = \frac{\pi\sqrt{3}}{9} + \frac{1}{3} \ln 2$$

$$21.17 \quad 1 - \frac{1}{5} + \frac{1}{9} - \frac{1}{13} + \frac{1}{17} - \dots = \frac{\pi\sqrt{2}}{8} + \frac{\sqrt{2} \ln(1+\sqrt{2})}{4}$$

$$21.18 \quad \frac{1}{2} - \frac{1}{5} + \frac{1}{8} - \frac{1}{11} + \frac{1}{14} - \dots = \frac{\pi\sqrt{3}}{9} + \frac{1}{3} \ln 2$$

$$21.19 \quad \frac{1}{1^2} + \frac{1}{2^2} + \frac{1}{3^2} + \frac{1}{4^2} + \dots = \frac{\pi^2}{6}$$

$$21.20 \quad \frac{1}{1^4} + \frac{1}{2^4} + \frac{1}{3^4} + \frac{1}{4^4} + \dots = \frac{\pi^4}{90}$$

$$21.21 \quad \frac{1}{1^6} + \frac{1}{2^6} + \frac{1}{3^6} + \frac{1}{4^6} + \dots = \frac{\pi^6}{945}$$

$$21.22 \quad \frac{1}{1^2} - \frac{1}{2^2} + \frac{1}{3^2} - \frac{1}{4^2} + \dots = \frac{\pi^2}{12}$$

$$21.23 \quad \frac{1}{1^4} - \frac{1}{2^4} + \frac{1}{3^4} - \frac{1}{4^4} + \dots = \frac{7\pi^4}{720}$$

$$21.24 \quad \frac{1}{1^6} - \frac{1}{2^6} + \frac{1}{3^6} - \frac{1}{4^6} + \dots = \frac{31\pi^6}{30 \cdot 240}$$

$$21.25 \quad \frac{1}{1^2} + \frac{1}{3^2} + \frac{1}{5^2} + \frac{1}{7^2} + \dots = \frac{\pi^2}{8}$$

$$21.26 \quad \frac{1}{1^4} + \frac{1}{3^4} + \frac{1}{5^4} + \frac{1}{7^4} + \dots = \frac{\pi^4}{96}$$

$$21.27 \quad \frac{1}{1^6} + \frac{1}{3^6} + \frac{1}{5^6} + \frac{1}{7^6} + \dots = \frac{\pi^6}{960}$$

$$21.28 \quad \frac{1}{1^3} - \frac{1}{3^3} + \frac{1}{5^3} - \frac{1}{7^3} + \dots = \frac{\pi^3}{32}$$

$$21.29 \quad \frac{1}{1^3} + \frac{1}{3^3} - \frac{1}{5^3} - \frac{1}{7^3} + \dots = \frac{3\pi^3\sqrt{2}}{128}$$

$$21.30 \quad \frac{1}{1 \cdot 3} + \frac{1}{3 \cdot 5} + \frac{1}{5 \cdot 7} + \frac{1}{7 \cdot 9} + \dots = \frac{1}{2}$$

$$21.31 \quad \frac{1}{1 \cdot 3} + \frac{1}{2 \cdot 4} + \frac{1}{3 \cdot 5} + \frac{1}{4 \cdot 6} + \dots = \frac{3}{4}$$

$$21.32 \quad \frac{1}{1^2 \cdot 3^2} + \frac{1}{3^2 \cdot 5^2} + \frac{1}{5^2 \cdot 7^2} + \frac{1}{7^2 \cdot 9^2} + \dots = \frac{\pi^2 - 8}{16}$$

$$21.33 \quad \frac{1}{1^2 \cdot 2^2 \cdot 3^2} + \frac{1}{2^2 \cdot 3^2 \cdot 4^2} + \frac{1}{3^2 \cdot 4^2 \cdot 5^2} + \dots = \frac{4\pi^2 - 39}{16}$$

$$21.34 \quad \frac{1}{a} - \frac{1}{a+d} + \frac{1}{a+2d} - \frac{1}{a+3d} + \dots = \int_0^1 \frac{u^{a-1} du}{1+u^d}$$

$$21.35 \quad \frac{1}{1^{2p}} + \frac{1}{2^{2p}} + \frac{1}{3^{2p}} + \frac{1}{4^{2p}} + \dots = \frac{2^{2p-1} \pi^{2p} B_p}{(2p)!}$$

$$21.36 \quad \frac{1}{1^{2p}} + \frac{1}{3^{2p}} + \frac{1}{5^{2p}} + \frac{1}{7^{2p}} + \dots = \frac{(2^{2p} - 1) \pi^{2p} B_p}{2(2p)!}$$

$$21.37 \quad \frac{1}{1^{2p}} - \frac{1}{2^{2p}} + \frac{1}{3^{2p}} - \frac{1}{4^{2p}} + \dots = \frac{(2^{2p-1} - 1) \pi^{2p} B_p}{(2p)!}$$

$$21.38 \quad \frac{1}{1^{2p+1}} - \frac{1}{3^{2p+1}} + \frac{1}{5^{2p+1}} - \frac{1}{7^{2p+1}} + \dots = \frac{\pi^{2p+1} E_p}{2^{2p+2} (2p)!}$$

Séries diversas

$$21.39 \quad \frac{1}{2} + \cos \alpha + \cos 2\alpha + \dots + \cos n\alpha = \frac{\text{sen}(n+1/2)\alpha}{2\text{sen}(\alpha/2)}$$

$$21.40 \quad \text{sen } \alpha + \text{sen } 2\alpha + \text{sen } 3\alpha + \dots + \text{sen } n\alpha = \frac{\text{sen}[1/2(n+1)]\alpha \text{sen } 1/2n\alpha}{\text{sen}(\alpha/2)}$$

$$21.41 \quad 1 + r \cos \alpha + r^2 \cos 2\alpha + r^3 \cos 3\alpha + \dots = \frac{1 - r \cos \alpha}{1 - 2r \cos \alpha + r^2}, \quad |r| < 1$$

$$21.42 \quad r \text{sen } \alpha + r^2 \text{sen } 2\alpha + r^3 \text{sen } 3\alpha + \dots = \frac{r \text{sen } \alpha}{1 - 2r \cos \alpha + r^2}, \quad |r| < 1$$

$$21.43 \quad 1 + r \cos \alpha + r^2 \cos 2\alpha + \dots + r^n \cos n\alpha = \frac{r^{n+2} \cos n\alpha - r^{n+1} \cos(n+1)\alpha - r \cos \alpha + 1}{1 - 2r \cos \alpha + r^2}$$

$$21.44 \quad r \text{sen } \alpha + r^2 \text{sen } 2\alpha + \dots + r^n \text{sen } n\alpha = \frac{r \text{sen } \alpha - r^{n+1} \text{sen}(n+1)\alpha + r^{n+2} \text{sen } n\alpha}{1 - 2r \cos \alpha + r^2}$$

Fórmula do somatório de Euler-Maclaurin

$$\begin{aligned}
 21.45 \quad \sum_{k=1}^{n-1} F(k) &= \int_0^n F(k) dk - \frac{1}{2} \{F(0) + F(n)\} \\
 &+ \frac{1}{12} \{F'(n) - F'(0)\} - \frac{1}{720} \{F'''(n) - F'''(0)\} \\
 &+ \frac{1}{30 \cdot 240} \{F^{(v)}(n) - F^{(v)}(0)\} - \frac{1}{1.209.600} \{F^{(vii)}(n) - F^{(vii)}(0)\} \\
 &+ \dots (-1)^{p-1} \frac{B_p}{(2p)!} \{F^{(2p-1)}(n) - F^{(2p-1)}(0)\} + \dots
 \end{aligned}$$

Fórmula do somatório de Poisson

$$21.46 \quad \sum_{k=-\infty}^{\infty} F(k) = \sum_{m=-\infty}^{\infty} \left\{ \int_{-\infty}^{\infty} e^{2\pi i m x} F(x) dx \right\}$$

Séries de Taylor para funções de uma variável

$$22.1 \quad f(x) = f(a) + f'(a)(x-a) + \frac{f''(a)(x-a)^2}{2!} + \dots + \frac{f^{(n-1)}(a)(x-a)^{n-1}}{(n-1)!} + R_n$$

onde R_n , o enésimo resto, é dado por qualquer uma das duas formas seguintes:

$$22.2 \quad \text{Forma de Lagrange: } R_n = \frac{f^{(n)}(\xi)(x-a)^n}{n!}$$

$$22.3 \quad \text{Forma de Cauchy: } R_n = \frac{f^{(n)}(\xi)(x-\xi)^{n-1}(x-a)}{(n-1)!}$$

O valor ξ , o qual pode ser diferente nas duas formas, fica entre a e x . O resultado é válido se $f(x)$ tem derivadas contínuas de ordem n , pelo menos.

Se $\lim_{n \rightarrow \infty} R_n = 0$, a série infinita obtida é denominada *série de Taylor* para $f(x)$ em $x = a$. Se $a = 0$, a série é, frequentemente, denominada *série de Maclaurin*. Essas séries são denominadas *séries de potências*, que, em geral, convergem em todos os valores de x de algum intervalo, denominado *intervalo de convergência* e divergem em todos os x fora desse intervalo.

Algumas séries contêm os números de Bernoulli B_n e os números de Euler E_n definidos no Capítulo 23.

Séries binomiais

$$22.4 \quad (a+x)^n = a^n + na^{n-1}x + \frac{n(n-1)}{2!}a^{n-2}x^2 + \frac{n(n-1)(n-2)}{3!}a^{n-3}x^3 + \dots$$

$$= a^n + \binom{n}{1}a^{n-1}x + \binom{n}{2}a^{n-2}x^2 + \binom{n}{3}a^{n-3}x^3 + \dots$$

Casos especiais:

$$22.5 \quad (a+x)^2 = a^2 + 2ax + x^2$$

$$22.6 \quad (a+x)^3 = a^3 + 3a^2x + 3ax^2 + x^3$$

$$22.7 \quad (a+x)^4 = a^4 + 4a^3x + 6a^2x^2 + 4ax^3 + x^4$$

$$22.8 \quad (1+x)^{-1} = 1 - x + x^2 - x^3 + x^4 - \dots \quad -1 < x < 1$$

$$22.9 \quad (1+x)^{-2} = 1 - 2x + 3x^2 - 4x^3 + 5x^4 - \dots \quad -1 < x < 1$$

$$22.10 \quad (1+x)^{-3} = 1 - 3x + 6x^2 - 10x^3 + 15x^4 - \dots \quad -1 < x < 1$$

$$22.11 \quad (1+x)^{-1/2} = 1 - \frac{1}{2}x + \frac{1 \cdot 3}{2 \cdot 4}x^2 - \frac{1 \cdot 3 \cdot 5}{2 \cdot 4 \cdot 6}x^3 + \dots \quad -1 < x \leq 1$$

$$22.12 \quad (1+x)^{1/2} = 1 + \frac{1}{2}x - \frac{1}{2 \cdot 4}x^2 + \frac{1 \cdot 3}{2 \cdot 4 \cdot 6}x^3 - \dots \quad -1 < x \leq 1$$

$$22.13 \quad (1+x)^{-1/3} = 1 - \frac{1}{3}x + \frac{1 \cdot 4}{3 \cdot 6}x^2 - \frac{1 \cdot 4 \cdot 7}{3 \cdot 6 \cdot 9}x^3 + \dots \quad -1 < x \leq 1$$

$$22.14 \quad (1+x)^{1/3} = 1 + \frac{1}{3}x - \frac{2}{3 \cdot 6}x^2 + \frac{2 \cdot 5}{3 \cdot 6 \cdot 9}x^3 - \dots \quad -1 < x \leq 1$$

Séries de funções exponenciais e logarítmicas

$$22.15 \quad e^x = 1 + x + \frac{x^2}{2!} + \frac{x^3}{3!} + \dots \quad -\infty < x < \infty$$

$$22.16 \quad a^x = e^{x \ln a} = 1 + x \ln a + \frac{(x \ln a)^2}{2!} + \frac{(x \ln a)^3}{3!} + \dots \quad -\infty < x < \infty$$

$$22.17 \quad \ln(1+x) = x - \frac{x^2}{2} + \frac{x^3}{3} - \frac{x^4}{4} + \dots \quad -1 < x \leq 1$$

$$22.18 \quad \frac{1}{2} \ln \left(\frac{1+x}{1-x} \right) = x + \frac{x^3}{3} + \frac{x^5}{5} + \frac{x^7}{7} + \dots \quad -1 < x < 1$$

$$22.19 \quad \ln x = 2 \left\{ \left(\frac{x-1}{x+1} \right) + \frac{1}{3} \left(\frac{x-1}{x+1} \right)^3 + \frac{1}{5} \left(\frac{x-1}{x+1} \right)^5 + \dots \right\} \quad x > 0$$

$$22.20 \quad \ln x = \left(\frac{x-1}{x} \right) + \frac{1}{2} \left(\frac{x-1}{x} \right)^2 + \frac{1}{3} \left(\frac{x-1}{x} \right)^3 + \dots \quad x \geq \frac{1}{2}$$

Séries de funções trigonométricas

$$22.21 \quad \operatorname{sen} x = x - \frac{x^3}{3!} + \frac{x^5}{5!} - \frac{x^7}{7!} + \dots \quad -\infty < x < \infty$$

$$22.22 \quad \operatorname{cos} x = 1 - \frac{x^2}{2!} + \frac{x^4}{4!} - \frac{x^6}{6!} + \dots \quad -\infty < x < \infty$$

$$22.23 \quad \operatorname{tg} x = x + \frac{x^3}{3} + \frac{2x^5}{15} + \frac{17x^7}{315} + \dots + \frac{2^{2n}(2^{2n}-1)B_n x^{2n-1}}{(2n)!} + \dots \quad |x| < \frac{\pi}{2}$$

$$22.24 \quad \operatorname{cotg} x = \frac{1}{x} - \frac{x}{3} - \frac{x^3}{45} - \frac{2x^5}{945} - \dots - \frac{2^{2n} B_n x^{2n-1}}{(2n)!} - \dots \quad 0 < |x| < \pi$$

$$22.25 \quad \operatorname{sec} x = 1 + \frac{x^2}{2} + \frac{5x^4}{24} + \frac{61x^6}{720} + \dots + \frac{E_n x^{2n}}{(2n)!} + \dots \quad |x| < \frac{\pi}{2}$$

$$22.26 \quad \operatorname{cosec} x = \frac{1}{x} + \frac{x}{6} + \frac{7x^3}{360} + \frac{31x^5}{15 \cdot 120} + \dots + \frac{2(2^{2n-1}-1)B_n x^{2n-1}}{(2n)!} + \dots \quad 0 < |x| < \pi$$

$$22.27 \quad \operatorname{arc} \operatorname{sen} x = x + \frac{1}{2} \frac{x^3}{3} + \frac{1 \cdot 3}{2 \cdot 4} \frac{x^5}{5} + \frac{1 \cdot 3 \cdot 5}{2 \cdot 4 \cdot 6} \frac{x^7}{7} + \dots \quad |x| < 1$$

$$22.28 \quad \operatorname{arc} \operatorname{cos} x = \frac{\pi}{2} - \operatorname{arc} \operatorname{sen} x = \frac{\pi}{2} - \left(x + \frac{1}{2} \frac{x^3}{3} + \frac{1 \cdot 3}{2 \cdot 4} \frac{x^5}{5} + \dots \right) \quad |x| < 1$$

$$22.29 \quad \operatorname{arc} \operatorname{tg} x = \begin{cases} x - \frac{x^3}{3} + \frac{x^5}{5} - \frac{x^7}{7} + \dots & |x| < 1 \\ \pm \frac{\pi}{2} - \frac{1}{x} + \frac{1}{3x^3} - \frac{1}{5x^5} + \dots & (+ \operatorname{se} x \geq 1, - \operatorname{se} x \leq -1) \end{cases}$$

22.30

$$\operatorname{arc\,cotg} x = \frac{\pi}{2} - \operatorname{arc\,tg} x = \begin{cases} \frac{\pi}{2} - \left(x - \frac{x^3}{3} + \frac{x^5}{5} - \dots \right) & |x| < 1 \\ p\pi + \frac{1}{x} - \frac{1}{3x^3} + \frac{1}{5x^5} - \dots & (p=0 \text{ se } x > 1, p=1 \text{ se } x < -1) \end{cases}$$

$$22.31 \quad \operatorname{arc\,sec} x = \operatorname{arc\,cos}(1/x) = \frac{\pi}{2} - \left(\frac{1}{x} + \frac{1}{2 \cdot 3x^3} + \frac{1 \cdot 3}{2 \cdot 4 \cdot 5x^5} + \dots \right) \quad |x| > 1$$

$$22.32 \quad \operatorname{arc\,cosec} x = \operatorname{arc\,sen}(1/x) = \frac{1}{x} + \frac{1}{2 \cdot 3x^3} + \frac{1 \cdot 3}{2 \cdot 4 \cdot 5x^5} + \dots \quad |x| > 1$$

Séries de funções hiperbólicas

$$22.33 \quad \operatorname{senh} x = x + \frac{x^3}{3!} + \frac{x^5}{5!} + \frac{x^7}{7!} + \dots \quad -\infty < x < \infty$$

$$22.34 \quad \operatorname{cosh} x = 1 + \frac{x^2}{2!} + \frac{x^4}{4!} + \frac{x^6}{6!} + \dots \quad -\infty < x < \infty$$

$$22.35 \quad \operatorname{tgh} x = x - \frac{x^3}{3} + \frac{2x^5}{15} - \frac{17x^7}{315} + \dots - \frac{(-1)^{n-1} 2^{2n} (2^{2n} - 1) B_n x^{2n-1}}{(2n)!} + \dots \quad |x| < \frac{\pi}{2}$$

$$22.36 \quad \operatorname{cotgh} x = \frac{1}{x} + \frac{x}{3} - \frac{x^3}{45} + \frac{2x^5}{945} + \dots - \frac{(-1)^{n-1} 2^{2n} B_n x^{2n-1}}{(2n)!} + \dots \quad 0 < |x| < \pi$$

$$22.37 \quad \operatorname{sech} x = 1 - \frac{x^2}{2} + \frac{5x^4}{24} - \frac{61x^6}{720} + \dots - \frac{(-1)^n E_n x^{2n}}{(2n)!} + \dots \quad |x| < \frac{\pi}{2}$$

$$22.38 \quad \operatorname{cosech} x = \frac{1}{x} - \frac{x}{6} + \frac{7x^3}{360} - \frac{31x^5}{15.120} + \dots - \frac{(-1)^n 2(2^{2n-1} - 1) B_n x^{2n-1}}{(2n)!} + \dots \quad 0 < |x| < \pi$$

$$22.39 \quad \operatorname{arc\,senh} x = \begin{cases} x - \frac{x^3}{2 \cdot 3} + \frac{1 \cdot 3x^5}{2 \cdot 4 \cdot 5} - \frac{1 \cdot 3 \cdot 5x^7}{2 \cdot 4 \cdot 6 \cdot 7} + \dots & |x| < 1 \\ \pm \left(\ln |2x| + \frac{1}{2 \cdot 2x^2} - \frac{1 \cdot 3}{2 \cdot 4 \cdot 4x^4} + \frac{1 \cdot 3 \cdot 5}{2 \cdot 4 \cdot 6 \cdot 6x^6} - \dots \right) & \begin{cases} + \text{ se } x \geq 1 \\ - \text{ se } x \leq -1 \end{cases} \end{cases}$$

22.40

$$\operatorname{arc\,cosh} x = \pm \left\{ \ln(2x) - \left(\frac{1}{2 \cdot 2x^2} + \frac{1 \cdot 3}{2 \cdot 4 \cdot 4x^4} + \frac{1 \cdot 3 \cdot 5}{2 \cdot 4 \cdot 6 \cdot 6x^6} + \dots \right) \right\} \quad \begin{cases} + \text{ se } \operatorname{arc\,cosh} x > 0, x \geq 1 \\ - \text{ se } \operatorname{arc\,cosh} x < 0, x \leq -1 \end{cases}$$

$$22.41 \quad \operatorname{arc\,tgh} x = x + \frac{x^3}{3} + \frac{x^5}{5} + \frac{x^7}{7} + \dots \quad |x| < 1$$

$$22.42 \quad \operatorname{arc\,cotgh} x = \frac{1}{x} + \frac{1}{3x^3} + \frac{1}{5x^5} + \frac{1}{7x^7} + \dots \quad |x| > 1$$

Séries diversas

$$22.43 \quad e^{\operatorname{sen} x} = 1 + x + \frac{x^2}{2} - \frac{x^4}{8} - \frac{x^5}{15} + \dots \quad -\infty < x < \infty$$

$$22.44 \quad e^{\operatorname{cos} x} = e \left(1 - \frac{x^2}{2} + \frac{x^4}{6} - \frac{31x^6}{720} + \dots \right) \quad -\infty < x < \infty$$

- 22.45 $e^{\lg x} = 1 + x + \frac{x^2}{2} + \frac{x^3}{2} + \frac{3x^4}{8} + \dots$ $|x| < \frac{\pi}{2}$
- 22.46 $e^x \operatorname{sen} x = x + x^2 + \frac{x^3}{3} - \frac{x^5}{30} - \frac{x^6}{90} + \dots + \frac{2^{n/2} \operatorname{sen}(n\pi/4)x^n}{n!} + \dots$ $-\infty < x < \infty$
- 22.47 $e^x \cos x = 1 + x - \frac{x^3}{3} - \frac{x^4}{6} + \dots + \frac{2^{n/2} \cos(n\pi/4)x^n}{n!} + \dots$ $-\infty < x < \infty$
- 22.48 $\ln |\operatorname{sen} x| = \ln |x| - \frac{x^2}{6} - \frac{x^4}{180} - \frac{x^6}{2835} - \dots - \frac{2^{2n-1} B_n x^{2n}}{n(2n)!} + \dots$ $0 < |x| < \pi$
- 22.49 $\ln |\cos x| = -\frac{x^2}{2} - \frac{x^4}{12} - \frac{x^6}{45} - \frac{17x^8}{2520} - \dots - \frac{2^{2n-1}(2^{2n}-1)B_n x^{2n}}{n(2n)!} + \dots$ $|x| < \frac{\pi}{2}$
- 22.50 $\ln |\operatorname{tg} x| = \ln |x| + \frac{x^2}{3} + \frac{7x^4}{90} + \frac{62x^6}{2835} + \dots + \frac{2^{2n}(2^{2n-1}-1)B_n x^{2n}}{n(2n)!} + \dots$ $0 < |x| < \frac{\pi}{2}$
- 22.51 $\frac{\ln(1+x)}{1+x} = x - (1 + \frac{1}{2})x^2 + (1 + \frac{1}{2} + \frac{1}{3})x^3 - \dots$ $|x| < 1$

Inversão de séries de potência

Considere

$$22.52 \quad y = c_1x + c_2x^2 + c_3x^3 + c_4x^4 + c_5x^5 + c_6x^6 + \dots$$

então,

$$22.53 \quad x = C_1y + C_2y^2 + C_3y^3 + C_4y^4 + C_5y^5 + C_6y^6 + \dots$$

onde

$$22.54 \quad c_1C_1 = 1$$

$$22.55 \quad c_1^3C_2 = -c_2$$

$$22.56 \quad c_1^5C_3 = 2c_2^2 - c_1c_3$$

$$22.57 \quad c_1^7C_4 = 5c_1c_2c_3 - 5c_2^3 - c_1^2c_4$$

$$22.58 \quad c_1^9C_5 = 6c_1^2c_2c_4 + 3c_1^2c_3^2 - c_1^3c_5 + 14c_2^4 - 21c_1c_2^2c_3$$

$$22.59 \quad c_1^{11}C_6 = 7c_1^3c_2c_5 + 84c_1c_2^3c_3 + 7c_1^3c_3c_4 - 28c_1^2c_2c_3^2 - c_1^4c_6 - 28c_1^2c_2^2c_4 - 42c_2^5$$

Séries de Taylor para funções de duas variáveis

$$22.60 \quad f(x, y) = f(a, b) + (x-a)f_x(a, b) + (y-b)f_y(a, b)$$

$$+ \frac{1}{2!} \{ (x-a)^2 f_{xx}(a, b) + 2(x-a)(y-b) f_{xy}(a, b) + (y-b)^2 f_{yy}(a, b) \} + \dots$$

onde $f_x(a, b), f_y(a, b), \dots$ denotam derivadas parciais em relação a x, y, \dots calculadas em $x = a, y = b$.

Definição dos números de Bernoulli

Os números de Bernoulli B_1, B_2, B_3, \dots são definidos pelas séries

$$23.1 \quad \frac{x}{e^x - 1} = 1 - \frac{x}{2} + \frac{B_1 x^2}{2!} - \frac{B_2 x^4}{4!} + \frac{B_3 x^6}{6!} - \dots \quad |x| < 2\pi$$

$$23.2 \quad 1 - \frac{x}{2} \cotg \frac{x}{2} = \frac{B_1 x^2}{2!} + \frac{B_3 x^4}{4!} + \frac{B_5 x^6}{6!} + \dots \quad |x| < \pi$$

Definição dos números de Euler

Os números de Euler E_1, E_2, E_3, \dots são definidos pelas séries

$$23.3 \quad \operatorname{sech} x = 1 - \frac{E_1 x^2}{2!} + \frac{E_2 x^4}{4!} - \frac{E_3 x^6}{6!} + \dots \quad |x| < \frac{\pi}{2}$$

$$23.4 \quad \sec x = 1 + \frac{E_1 x^2}{2!} + \frac{E_2 x^4}{4!} + \frac{E_3 x^6}{6!} + \dots \quad |x| < \frac{\pi}{2}$$

Tabela dos primeiros números de Bernoulli e de Euler

| Números de Bernoulli | Números de Euler |
|-----------------------------|---------------------------------------|
| $B_1 = 1/6$ | $E_1 = 1$ |
| $B_2 = 1/30$ | $E_2 = 5$ |
| $B_3 = 1/42$ | $E_3 = 61$ |
| $B_4 = 1/30$ | $E_4 = 1385$ |
| $B_5 = 5/66$ | $E_5 = 50.521$ |
| $B_6 = 691/2730$ | $E_6 = 2.702.765$ |
| $B_7 = 7/6$ | $E_7 = 199.360.981$ |
| $B_8 = 3617/510$ | $E_8 = 19.391.512.145$ |
| $B_9 = 43.867/798$ | $E_9 = 2.404.879.675.441$ |
| $B_{10} = 174.611/330$ | $E_{10} = 370.371.188.237.525$ |
| $B_{11} = 854.513/138$ | $E_{11} = 69.348.874.393.137.901$ |
| $B_{12} = 236.364.091/2730$ | $E_{12} = 15.514.534.163.557.086.905$ |

Relação dos números de Bernoulli e de Euler

$$23.5 \quad \binom{2n+1}{2} 2^2 B_1 - \binom{2n+1}{4} 2^4 B_2 + \binom{2n+1}{6} 2^6 B_3 - \cdots (-1)^{n-1} (2n+1) 2^{2n} B_n = 2n$$

$$23.6 \quad E_n = \binom{2n}{2} E_{n-1} - \binom{2n}{4} E_{n-2} + \binom{2n}{6} E_{n-3} - \cdots (-1)^n$$

$$23.7 \quad B_n = \frac{2n}{2^{2n}(2^{2n}-1)} \left\{ \binom{2n-1}{1} E_{n-1} - \binom{2n-1}{3} E_{n-2} + \binom{2n-1}{5} E_{n-3} - \cdots (-1)^{n-1} \right\}$$

Séries envolvendo os números de Bernoulli e de Euler

$$23.8 \quad B_n = \frac{(2n)!}{2^{2n-1} \pi^{2n}} \left\{ 1 + \frac{1}{2^{2n}} + \frac{1}{3^{2n}} + \cdots \right\}$$

$$23.9 \quad B_n = \frac{2(2n)!}{(2^{2n}-1) \pi^{2n}} \left\{ 1 + \frac{1}{3^{2n}} + \frac{1}{5^{2n}} + \cdots \right\}$$

$$23.10 \quad B_n = \frac{2(2n)!}{(2^{2n-1}-1) \pi^{2n}} \left\{ 1 - \frac{1}{2^{2n}} + \frac{1}{3^{2n}} - \cdots \right\}$$

$$23.11 \quad E_n = \frac{2^{2n+2} (2n)!}{\pi^{2n+1}} \left\{ 1 - \frac{1}{3^{2n+1}} + \frac{1}{5^{2n+1}} - \cdots \right\}$$

Fórmula assintótica para os números de Bernoulli

$$23.12 \quad B_n \sim 4n^{2n} (\pi e)^{-2n} \sqrt{\pi n}$$

Definição de uma série de Fourier

A série de Fourier correspondente a uma função $f(x)$ definida no intervalo $c \leq x \leq c + 2L$, onde c e $L > 0$ são constantes, é definida por

$$24.1 \quad \frac{a_0}{2} + \sum_{n=1}^{\infty} \left(a_n \cos \frac{n\pi x}{L} + b_n \operatorname{sen} \frac{n\pi x}{L} \right)$$

onde

$$24.2 \quad \begin{cases} a_n = \frac{1}{L} \int_c^{c+2L} f(x) \cos \frac{n\pi x}{L} dx \\ b_n = \frac{1}{L} \int_c^{c+2L} f(x) \operatorname{sen} \frac{n\pi x}{L} dx \end{cases}$$

Se $f(x)$ e $f'(x)$ são contínuas por partes e $f(x)$ é definida por extensão periódica de período $2L$, ou seja, $f(x + 2L) = f(x)$, então a série converge para $f(x)$, se x é um ponto de continuidade e para $\frac{1}{2}\{f(x+0) + f(x-0)\}$, se x é um ponto de descontinuidade.

Forma complexa da série de Fourier

Supondo que a série 24.1 converge para $f(x)$, temos

$$24.3 \quad f(x) = \sum_{n=-\infty}^{\infty} c_n e^{in\pi x/L}$$

onde

$$24.4 \quad c_n = \frac{1}{2L} \int_c^{c+2L} f(x) e^{-in\pi x/L} dx = \begin{cases} \frac{1}{2}(a_n - ib_n) & n > 0 \\ \frac{1}{2}(a_{-n} + ib_{-n}) & n < 0 \\ \frac{1}{2}a_0 & n = 0 \end{cases}$$

Identidade de Parseval

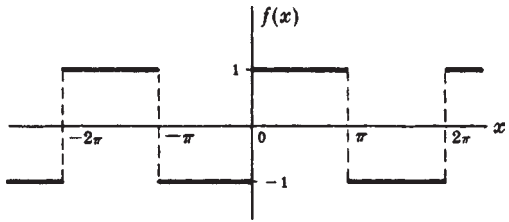
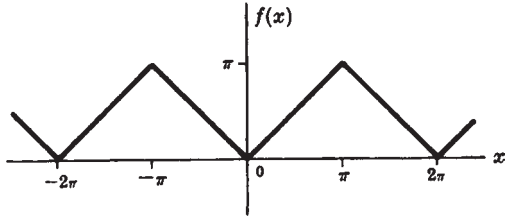
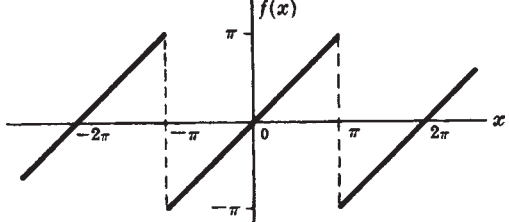
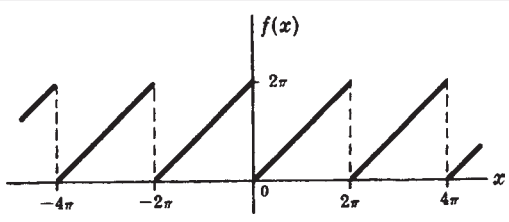
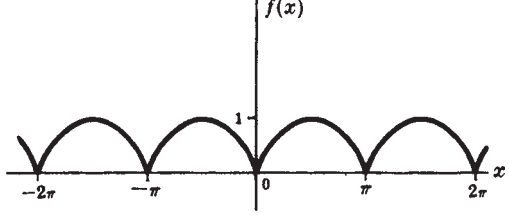
$$24.5 \quad \frac{1}{L} \int_c^{c+2L} \{f(x)\}^2 dx = \frac{a_0^2}{2} + \sum_{n=1}^{\infty} (a_n^2 + b_n^2)$$

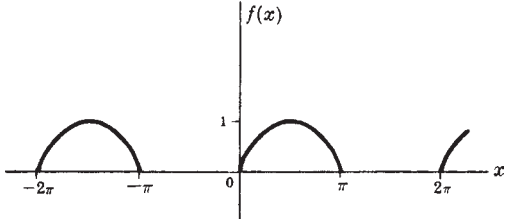
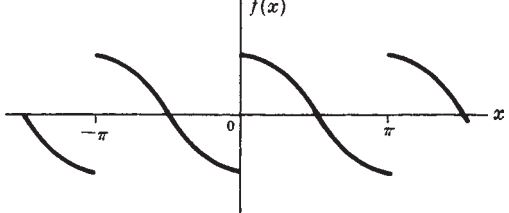
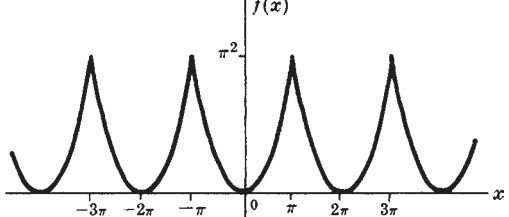
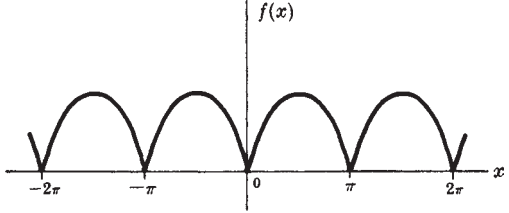
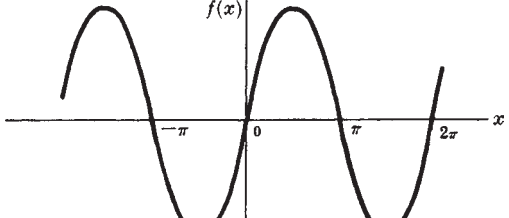
Identidade de Parseval generalizada

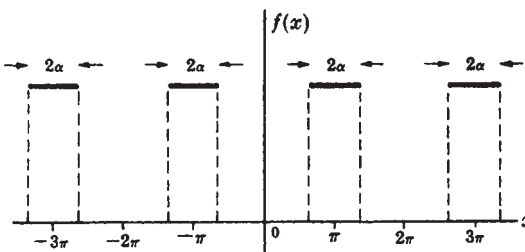
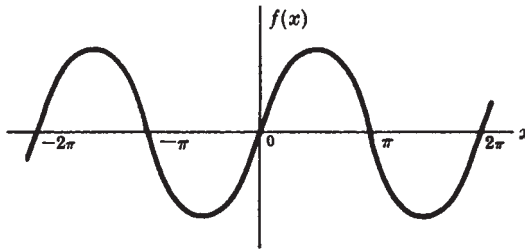
$$24.6 \quad \frac{1}{L} \int_c^{c+2L} f(x)g(x) dx = \frac{a_0c_0}{2} + \sum_{n=1}^{\infty} (a_nc_n + b_nd_n)$$

onde a_n, b_n e c_n, d_n são os coeficientes de Fourier correspondentes a $f(x)$ e $g(x)$, respectivamente.

Séries de Fourier especiais e seus gráficos

| | |
|--|--|
| <p>24.7 $f(x) = \begin{cases} 1 & 0 < x < \pi \\ -1 & -\pi < x < 0 \end{cases}$</p> |  <p style="text-align: center;"><i>Fig. 24-1</i></p> |
| $\frac{4}{\pi} \left(\frac{\text{sen } x}{1} + \frac{\text{sen } 3x}{3} + \frac{\text{sen } 5x}{5} + \dots \right)$ | |
| <p>24.8 $f(x) = x = \begin{cases} x & 0 < x < \pi \\ -x & -\pi < x < 0 \end{cases}$</p> |  <p style="text-align: center;"><i>Fig. 24-2</i></p> |
| $\frac{\pi}{2} - \frac{4}{\pi} \left(\frac{\cos x}{1^2} + \frac{\cos 3x}{3^2} + \frac{\cos 5x}{5^2} + \dots \right)$ | |
| <p>24.9 $f(x) = x, \quad -\pi < x < \pi$</p> |  <p style="text-align: center;"><i>Fig. 24-3</i></p> |
| $2 \left(\frac{\text{sen } x}{1} - \frac{\text{sen } 2x}{2} + \frac{\text{sen } 3x}{3} - \dots \right)$ | |
| <p>24.10 $f(x) = x, \quad 0 < x < 2\pi$</p> |  <p style="text-align: center;"><i>Fig. 24-4</i></p> |
| $\pi - 2 \left(\frac{\text{sen } x}{1} + \frac{\text{sen } 2x}{2} + \frac{\text{sen } 3x}{3} + \dots \right)$ | |
| <p>24.11 $f(x) = \text{sen } x , \quad -\pi < x < \pi$</p> |  <p style="text-align: center;"><i>Fig. 24-5</i></p> |
| $\frac{2}{\pi} - \frac{4}{\pi} \left(\frac{\cos 2x}{1 \cdot 3} + \frac{\cos 4x}{3 \cdot 5} + \frac{\cos 6x}{5 \cdot 7} + \dots \right)$ | |

| | |
|--|--|
| 24.12 $f(x) = \begin{cases} \text{sen } x & 0 < x < \pi \\ 0 & \pi < x < 2\pi \end{cases}$ |  |
| $\frac{1}{\pi} + \frac{1}{2} \text{sen } x - \frac{2}{\pi} \left(\frac{\cos 2x}{1 \cdot 3} + \frac{\cos 4x}{3 \cdot 5} + \frac{\cos 6x}{5 \cdot 7} + \dots \right)$ | <p style="text-align: center;">Fig. 24-6</p> |
| 24.13 $f(x) = \begin{cases} \cos x & 0 < x < \pi \\ -\cos x & -\pi < x < 0 \end{cases}$ |  |
| $\frac{8}{\pi} \left(\frac{\text{sen } 2x}{1 \cdot 3} + \frac{2 \text{sen } 4x}{3 \cdot 5} + \frac{3 \text{sen } 6x}{5 \cdot 7} + \dots \right)$ | <p style="text-align: center;">Fig. 24-7</p> |
| 24.14 $f(x) = x^2, \quad -\pi < x < \pi$ |  |
| $\frac{\pi^2}{3} - 4 \left(\frac{\cos x}{1^2} - \frac{\cos 2x}{2^2} + \frac{\cos 3x}{3^2} - \dots \right)$ | <p style="text-align: center;">Fig. 24-8</p> |
| 24.15 $f(x) = x(\pi - x), \quad 0 < x < \pi$ |  |
| $\frac{\pi^2}{6} - \left(\frac{\cos 2x}{1^2} + \frac{\cos 4x}{2^2} + \frac{\cos 6x}{3^2} + \dots \right)$ | <p style="text-align: center;">Fig. 24-9</p> |
| 24.16 $f(x) = x(\pi - x)(\pi + x), \quad -\pi < x < \pi$ |  |
| $12 \left(\frac{\text{sen } x}{1^3} - \frac{\text{sen } 2x}{2^3} + \frac{\text{sen } 3x}{3^3} - \dots \right)$ | <p style="text-align: center;">Fig. 24-10</p> |

| | |
|--|--|
| <p>24.17 $f(x) = \begin{cases} 0 & 0 < x < \pi - \alpha \\ 1 & \pi - \alpha < x < \pi + \alpha \\ 0 & \pi + \alpha < x < 2\pi \end{cases}$</p> $\frac{\alpha}{\pi} - \frac{2}{\pi} \left(\frac{\text{sen } \alpha \cos x}{1} - \frac{\text{sen } 2\alpha \cos 2x}{2} + \frac{\text{sen } 3\alpha \cos 3x}{3} - \dots \right)$ |  <p style="text-align: center;">Fig. 24-11</p> |
| <p>24.18 $f(x) = \begin{cases} x(\pi - x) & 0 < x < \pi \\ -x(\pi - x) & -\pi < x < 0 \end{cases}$</p> $\frac{8}{\pi} \left(\frac{\text{sen } x}{1^3} + \frac{\text{sen } 3x}{3^3} + \frac{\text{sen } 5x}{5^3} + \dots \right)$ |  <p style="text-align: center;">Fig. 24-12</p> |

Séries de Fourier diversas

| |
|---|
| <p>24.19 $f(x) = \text{sen } \mu x, \quad -\pi < x < \pi, \quad \mu \neq \text{inteiro}$</p> $\frac{2 \text{sen } \mu \pi}{\pi} \left(\frac{\text{sen } x}{1^2 - \mu^2} - \frac{2 \text{sen } 2x}{2^2 - \mu^2} + \frac{3 \text{sen } 3x}{3^2 - \mu^2} - \dots \right)$ |
| <p>24.20 $f(x) = \cos \mu x, \quad -\pi < x < \pi, \quad \mu \neq \text{inteiro}$</p> $\frac{2\mu \text{sen } \mu \pi}{\pi} \left(\frac{1}{2\mu^2} + \frac{\cos x}{1^2 - \mu^2} - \frac{\cos 2x}{2^2 - \mu^2} + \frac{\cos 3x}{3^2 - \mu^2} - \dots \right)$ |
| <p>24.21 $f(x) = \text{arc tg} [(a \text{sen } x) / (1 - a \cos x)], \quad -\pi < x < \pi, \quad a < 1$</p> $a \text{sen } x + \frac{a^2}{2} \text{sen } 2x + \frac{a^3}{3} \text{sen } 3x + \dots$ |
| <p>24.22 $f(x) = \ln(1 - 2a \cos x + a^2), \quad -\pi < x < \pi, \quad a < 1$</p> $-2 \left(a \cos x + \frac{a^2}{2} \cos 2x + \frac{a^3}{3} \cos 3x + \dots \right)$ |
| <p>24.23 $f(x) = \frac{1}{2} \text{arc tg} [(2a \text{sen } x) / (1 - a^2)], \quad -\pi < x < \pi, \quad a < 1$</p> $a \text{sen } x + \frac{a^3}{3} \text{sen } 3x + \frac{a^5}{5} \text{sen } 5x + \dots$ |
| <p>24.24 $f(x) = \frac{1}{2} \text{arc tg} [(2a \cos x) / (1 - a^2)], \quad -\pi < x < \pi, \quad a < 1$</p> $a \cos x - \frac{a^3}{3} \cos 3x + \frac{a^5}{5} \cos 5x - \dots$ |

$$24.25 \quad f(x) = e^{\mu x}, \quad -\pi < x < \pi$$

$$\frac{2 \operatorname{senh} \mu \pi}{\pi} \left(\frac{1}{2\mu} + \sum_{n=1}^{\infty} \frac{(-1)^n (\mu \cos nx - n \operatorname{sen} nx)}{\mu^2 + n^2} \right)$$

$$24.26 \quad f(x) = \operatorname{senh} \mu x, \quad -\pi < x < \pi$$

$$\frac{2 \operatorname{senh} \mu \pi}{\pi} \left(\frac{\operatorname{sen} x}{1^2 + \mu^2} - \frac{2 \operatorname{sen} 2x}{2^2 + \mu^2} + \frac{3 \operatorname{sen} 3x}{3^2 + \mu^2} - \dots \right)$$

$$24.27 \quad f(x) = \operatorname{cosh} \mu x, \quad -\pi < x < \pi$$

$$\frac{2\mu \operatorname{senh} \mu \pi}{\pi} \left(\frac{1}{2\mu^2} - \frac{\cos x}{1^2 + \mu^2} + \frac{\cos 2x}{2^2 + \mu^2} - \frac{\cos 3x}{3^2 + \mu^2} + \dots \right)$$

$$24.28 \quad f(x) = \ln |\operatorname{sen} \frac{1}{2} x|, \quad 0 < x < \pi$$

$$-\left(\ln 2 + \frac{\cos x}{1} + \frac{\cos 2x}{2} + \frac{\cos 3x}{3} + \dots \right)$$

$$24.29 \quad f(x) = \ln |\cos \frac{1}{2} x|, \quad -\pi < x < \pi$$

$$-\left(\ln 2 - \frac{\cos x}{1} + \frac{\cos 2x}{2} - \frac{\cos 3x}{3} + \dots \right)$$

$$24.30 \quad f(x) = \frac{1}{6} \pi^2 - \frac{1}{2} \pi x + \frac{1}{4} x^2, \quad 0 \leq x \leq 2\pi$$

$$\frac{\cos x}{1^2} + \frac{\cos 2x}{2^2} + \frac{\cos 3x}{3^2} + \dots$$

$$24.31 \quad f(x) = \frac{1}{12} x(x - \pi)(x - 2\pi), \quad 0 \leq x \leq 2\pi$$

$$\frac{\operatorname{sen} x}{1^3} + \frac{\operatorname{sen} 2x}{2^3} + \frac{\operatorname{sen} 3x}{3^3} + \dots$$

$$24.32 \quad f(x) = \frac{1}{90} \pi^4 - \frac{1}{12} \pi^2 x^2 + \frac{1}{12} \pi x^3 - \frac{1}{48} x^4, \quad 0 \leq x \leq 2\pi$$

$$\frac{\cos x}{1^4} + \frac{\cos 2x}{2^4} + \frac{\cos 3x}{3^4} + \dots$$

A Função Gama

Definição da função gama $\Gamma(n)$ para $n > 0$

$$25.1 \quad \Gamma(n) = \int_0^{\infty} t^{n-1} e^{-t} dt \quad n > 0$$

Fórmula de recorrência

$$25.2 \quad \Gamma(n+1) = n\Gamma(n)$$

Se $n = 0, 1, 2, \dots$, um número inteiro não negativo, temos o seguinte (onde $0! = 1$):

$$25.3 \quad \Gamma(n+1) = n!$$

Função gama para $n < 0$

Para $n < 0$, a função gama pode ser definida usando a Fórmula 25.2, ou seja,

$$25.4 \quad \Gamma(n) = \frac{\Gamma(n+1)}{n}$$

Gráfico da função gama

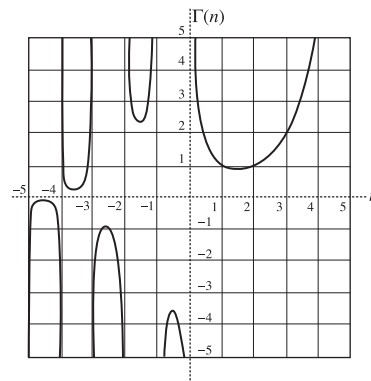


Fig. 25-1

Valores especiais da função gama

$$25.5 \quad \Gamma\left(\frac{1}{2}\right) = \sqrt{\pi}$$

$$25.6 \quad \Gamma\left(m + \frac{1}{2}\right) = \frac{1 \cdot 3 \cdot 5 \cdots (2m-1)}{2^m} \sqrt{\pi} \quad m = 1, 2, 3, \dots$$

$$25.7 \quad \Gamma\left(-m + \frac{1}{2}\right) = \frac{(-1)^m 2^m \sqrt{\pi}}{1 \cdot 3 \cdot 5 \cdots (2m-1)} \quad m = 1, 2, 3, \dots$$

Relações entre funções gama

$$25.8 \quad \Gamma(p)\Gamma(1-p) = \frac{\pi}{\operatorname{sen} p\pi}$$

$$25.9 \quad 2^{2x-1}\Gamma(x)\Gamma\left(x + \frac{1}{2}\right) = \sqrt{\pi} \Gamma(2x)$$

Esta é a chamada de *fórmula de duplicação*.

$$25.10 \quad \Gamma(x)\Gamma\left(x + \frac{1}{m}\right)\Gamma\left(x + \frac{2}{m}\right)\cdots\Gamma\left(x + \frac{m-1}{m}\right) = m^{1/2-mx} (2\pi)^{(m-1)/2} \Gamma(mx)$$

Para $m = 2$, isto reduz-se a 25.9.

Outras definições da função gama

$$25.11 \quad \Gamma(x+1) = \lim_{k \rightarrow \infty} \frac{1 \cdot 2 \cdot 3 \cdots k}{(x+1)(x+2)\cdots(x+k)} k^x$$

$$25.12 \quad \frac{1}{\Gamma(x)} = x e^{\gamma x} \prod_{m=1}^{\infty} \left\{ \left(1 + \frac{x}{m}\right) e^{-x/m} \right\}$$

Esta é uma representação da função gama em produto infinito, onde γ é a constante de Euler, definida em 1.3.

Derivadas da função gama

$$25.13 \quad \Gamma'(1) = \int_0^{\infty} e^{-x} \ln x \, dx = -\gamma$$

$$25.14 \quad \frac{\Gamma'(x)}{\Gamma(x)} = -\gamma + \left(\frac{1}{1} - \frac{1}{x}\right) + \left(\frac{1}{2} - \frac{1}{x+1}\right) + \cdots + \left(\frac{1}{n} - \frac{1}{x+n-1}\right) + \cdots$$

Aqui, novamente, está a constante de Euler γ .

Expansões assintóticas para a função gama

$$25.15 \quad \Gamma(x+1) = \sqrt{2\pi x} x^x e^{-x} \left\{ 1 + \frac{1}{12x} + \frac{1}{288x^2} - \frac{139}{51.840x^3} + \dots \right\}$$

Esta é chamada *série assintótica de Stirling*.

Tomando $x = n$ um número inteiro positivo em 25.15, então uma aproximação útil para $n!$ quando n é grande (por exemplo, $n > 10$), é dada pela *fórmula de Stirling*

$$25.16 \quad n! \sim \sqrt{2\pi n} n^n e^{-n}$$

onde \sim é usado para indicar que a razão dos dois termos tende a 1 quando $n \rightarrow \infty$.

Mais uma relação

$$25.17 \quad |\Gamma(ix)|^2 = \frac{\pi}{x \sinh \pi x}$$

Definição da função beta $B(m, n)$

$$26.1 \quad B(m, n) = \int_0^1 t^{m-1}(1-t)^{n-1} dt \quad m > 0, n > 0$$

Relação entre a função beta e a função gama

$$26.2 \quad B(m, n) = \frac{\Gamma(m)\Gamma(n)}{\Gamma(m+n)}$$

Extensões de $B(m, n)$, para $m < 0$ e $n < 0$, são obtidas usando-se 25.4.

Alguns resultados importantes

$$26.3 \quad B(m, n) = B(n, m)$$

$$26.4 \quad B(m, n) = 2 \int_0^{\pi/2} \operatorname{sen}^{2m-1} \theta \cos^{2n-1} \theta d\theta$$

$$26.5 \quad B(m, n) = \int_0^{\infty} \frac{t^{m-1}}{(1+t)^{m+n}} dt$$

$$26.6 \quad B(m, n) = r^n (r+1)^m \int_0^1 \frac{t^{m-1}(1-t)^{n-1}}{(r+t)^{m+n}} dt$$

Funções de Bessel

Equação diferencial de Bessel

$$27.1 \quad x^2 y'' + xy' + (x^2 - n^2)y = 0 \quad n \geq 0$$

As soluções desta equação são denominadas *funções de Bessel de ordem n*.

Funções de Bessel de 1ª espécie de ordem n

$$27.2 \quad J_n(x) = \frac{x^n}{2^n \Gamma(n+1)} \left\{ 1 - \frac{x^2}{2(2n+2)} + \frac{x^4}{2 \cdot 4(2n+2)(2n+4)} - \dots \right\}$$

$$= \sum_{k=0}^{\infty} \frac{(-1)^k (x/2)^{n+2k}}{k! \Gamma(n+k+1)}$$

$$27.3 \quad J_{-n}(x) = \frac{x^{-n}}{2^{-n} \Gamma(1-n)} \left\{ 1 - \frac{x^2}{2(2-2n)} + \frac{x^4}{2 \cdot 4(2-2n)(4-2n)} - \dots \right\}$$

$$= \sum_{k=0}^{\infty} \frac{(-1)^k (x/2)^{2k-n}}{k! \Gamma(k+1-n)}$$

$$27.4 \quad J_{-n}(x) = (-1)^n J_n(x) \quad n = 0, 1, 2, \dots$$

Se $n \neq 0, 1, 2, \dots$, $J_n(x)$ e $J_{-n}(x)$ são linearmente independentes.

Se $n \neq 0, 1, 2, \dots$, $J_n(x)$ é limitada em $x = 0$, enquanto que $J_{-n}(x)$ é ilimitada.

Para $n = 0, 1$, temos

$$27.5 \quad J_0(x) = 1 - \frac{x^2}{2^2} + \frac{x^4}{2^2 \cdot 4^2} - \frac{x^6}{2^2 \cdot 4^2 \cdot 6^2} + \dots$$

$$27.6 \quad J_1(x) = \frac{x}{2} - \frac{x^3}{2^2 \cdot 4} + \frac{x^5}{2^2 \cdot 4^2 \cdot 6^2} - \frac{x^7}{2^2 \cdot 4^2 \cdot 6^2 \cdot 8} + \dots$$

$$27.7 \quad J_0'(x) = -J_1(x)$$

Funções de Bessel de 2ª espécie de ordem n

$$27.8 \quad Y_n(x) = \begin{cases} \frac{J_n(x) \cos n\pi - J_{-n}(x)}{\operatorname{sen} n\pi} & n \neq 0, 1, 2, \dots \\ \lim_{p \rightarrow n} \frac{J_p(x) \cos p\pi - J_{-p}(x)}{\operatorname{sen} p\pi} & n = 0, 1, 2, \dots \end{cases}$$

Esta também é chamada de *função de Weber* ou *função de Neumann* [também denotada por $N_n(x)$].

Para $n = 0, 1, 2, \dots$, a regra de L'Hôpital nos dá

$$27.9 \quad Y_n(x) = \frac{2}{\pi} \{ \ln(x/2) + \gamma \} J_n(x) - \frac{1}{\pi} \sum_{k=0}^{n-1} \frac{(n-k-1)!}{k!} (x/2)^{2k-n} \\ - \frac{1}{\pi} \sum_{k=0}^{\infty} (-1)^k \{ \Phi(k) + \Phi(n+k) \} \frac{(x/2)^{2k+n}}{k!(n+k)!}$$

onde $\gamma = 0,5772156 \dots$ é a constante de Euler [ver 1.3] e

$$27.10 \quad \Phi(p) = 1 + \frac{1}{2} + \frac{1}{3} + \dots + \frac{1}{p}, \quad \Phi(0) = 0$$

Para $n = 0$,

$$27.11 \quad Y_0(x) = \frac{2}{\pi} \{ \ln(x/2) + \gamma \} J_0(x) + \frac{2}{\pi} \left\{ \frac{x^2}{2^2} - \frac{x^4}{2^2 4^2} \left(1 + \frac{1}{2} \right) + \frac{x^6}{2^2 4^2 6^2} \left(1 + \frac{1}{2} + \frac{1}{3} \right) - \dots \right\}$$

$$27.12 \quad Y_{-n}(x) = (-1)^n Y_n(x) \quad n = 0, 1, 2, \dots$$

Para qualquer valor $n \geq 0$, $J_n(x)$ é limitada em $x = 0$, enquanto que $Y_n(x)$ é ilimitada.

Solução geral da equação diferencial de Bessel

$$27.13 \quad y = AJ_n(x) + BJ_{-n}(x) \quad n \neq 0, 1, 2, \dots$$

$$27.14 \quad y = AJ_n(x) + BY_n(x) \quad \text{todos os } n$$

$$27.15 \quad y = AJ_n(x) + BJ_n(x) \int \frac{dx}{xJ_n^2(x)} \quad \text{todos os } n$$

onde A e B são constantes arbitrárias.

Função geradora para $J_n(x)$

$$27.16 \quad e^{x(t-1/t)/2} = \sum_{n=-\infty}^{\infty} J_n(x) t^n$$

Fórmulas de recorrência para funções de Bessel

$$27.17 \quad J_{n+1}(x) = \frac{2n}{x} J_n(x) - J_{n-1}(x)$$

$$27.18 \quad J_n'(x) = \frac{1}{2} \{ J_{n-1}(x) - J_{n+1}(x) \}$$

$$27.19 \quad xJ'_n(x) = xJ_{n-1}(x) - nJ_n(x)$$

$$27.20 \quad xJ'_n(x) = nJ_n(x) - xJ_{n+1}(x)$$

$$27.21 \quad \frac{d}{dx}\{x^n J_n(x)\} = x^n J_{n-1}(x)$$

$$27.22 \quad \frac{d}{dx}\{x^{-n} J_n(x)\} = -x^{-n} J_{n+1}(x)$$

As funções $Y_n(x)$ satisfazem relações idênticas.

Funções de Bessel de ordem igual à metade de um número inteiro ímpar

Nesse caso, as funções são expressas em termos de senos e cossenos.

$$27.23 \quad J_{1/2}(x) = \sqrt{\frac{2}{\pi x}} \operatorname{sen} x$$

$$27.26 \quad J_{-3/2}(x) = \sqrt{\frac{2}{\pi x}} \left(\frac{\cos x}{x} + \operatorname{sen} x \right)$$

$$27.24 \quad J_{-1/2}(x) = \sqrt{\frac{2}{\pi x}} \cos x$$

$$27.27 \quad J_{5/2}(x) = \sqrt{\frac{2}{\pi x}} \left\{ \left(\frac{3}{x^2} - 1 \right) \operatorname{sen} x - \frac{3}{x} \cos x \right\}$$

$$27.25 \quad J_{3/2}(x) = \sqrt{\frac{2}{\pi x}} \left(\frac{\operatorname{sen} x}{x} - \cos x \right)$$

$$27.28 \quad J_{-5/2}(x) = \sqrt{\frac{2}{\pi x}} \left\{ \frac{3}{x} \operatorname{sen} x + \left(\frac{3}{x} - 1 \right) \cos x \right\}$$

Para mais resultados, use a fórmula de recorrência 27.17. Resultados para $Y_{1/2}(x)$, $Y_{3/2}(x)$, ... são obtidos a partir de 27.8.

Funções de Hankel de 1ª e 2ª espécies de ordem n

$$27.29 \quad H_n^{(1)}(x) = J_n(x) + iY_n(x)$$

$$27.30 \quad H_n^{(2)}(x) = J_n(x) - iY_n(x)$$

Equação diferencial de Bessel modificada

$$27.31 \quad x^2 y'' + xy' - (x^2 + n^2)y = 0 \quad n \geq 0$$

As soluções desta equação são chamadas *funções de Bessel modificadas de ordem n* .

Funções de Bessel modificadas de 1ª espécie de ordem n

$$27.32 \quad I_n(x) = i^{-n} J_n(ix) = e^{-n\pi i/2} J_n(ix)$$

$$= \frac{x^n}{2^n \Gamma(n+1)} \left\{ 1 + \frac{x^2}{2(2n+2)} + \frac{x^4}{2 \cdot 4(2n+2)(2n+4)} + \dots \right\} = \sum_{k=0}^{\infty} \frac{(x/2)^{n+2k}}{k! \Gamma(n+k+1)}$$

$$27.33 \quad I_{-n}(x) = i^n J_{-n}(ix) = e^{n\pi i/2} J_{-n}(ix)$$

$$= \frac{x^{-n}}{2^{-n} \Gamma(1-n)} \left\{ 1 + \frac{x^2}{2(2-2n)} + \frac{x^4}{2 \cdot 4(2-2n)(4-2n)} + \dots \right\} = \sum_{k=0}^{\infty} \frac{(x/2)^{2k-n}}{k! \Gamma(k+1-n)}$$

$$27.34 \quad I_{-n}(x) = I_n(x) \quad n = 0, 1, 2, \dots$$

Se $n \neq 0, 1, 2, \dots$, então $I_n(x)$ e $I_{-n}(x)$ são linearmente independentes.

Para $n = 0, 1$, temos

$$27.35 \quad I_0(x) = 1 + \frac{x^2}{2^2} + \frac{x^4}{2^2 \cdot 4^2} + \frac{x^6}{2^2 \cdot 4^2 \cdot 6^2} + \dots$$

$$27.36 \quad I_1(x) = \frac{x}{2} + \frac{x^3}{2^2 \cdot 4} + \frac{x^5}{2^2 \cdot 4^2 \cdot 6} + \frac{x^7}{2^2 \cdot 4^2 \cdot 6^2 \cdot 8} + \dots$$

$$27.37 \quad I'_0(x) = I_1(x)$$

Funções de Bessel modificadas de 2ª espécie de ordem n

$$27.38 \quad K_n(x) = \begin{cases} \frac{\pi}{2 \operatorname{sen} n\pi} \{I_{-n}(x) - I_n(x)\} & n \neq 0, 1, 2, \dots \\ \lim_{p \rightarrow n} \frac{\pi}{2 \operatorname{sen} p\pi} \{I_{-p}(x) - I_p(x)\} & n = 0, 1, 2, \dots \end{cases}$$

Para $n = 0, 1, 2, \dots$, a regra de L'Hôpital nos dá

$$27.39 \quad K_n(x) = (-1)^{n+1} \{\ln(x/2) + \gamma\} I_n(x) + \frac{1}{2} \sum_{k=0}^{n-1} (-1)^k (n-k-1)! (x/2)^{2k-n} \\ + \frac{(-1)^n}{2} \sum_{k=0}^{\infty} \frac{(x/2)^{n+2k}}{k!(n+k)!} \{\Phi(k) + \Phi(n+k)\}$$

onde $\Phi(p)$ é dada por 27.10.

Para $n = 0$,

$$27.40 \quad K_0(x) = -\{\ln(x/2) + \gamma\} I_0(x) + \frac{x^2}{2^2} + \frac{x^4}{2^2 \cdot 4^2} \left(1 + \frac{1}{2}\right) + \frac{x^6}{2^2 \cdot 4^2 \cdot 6^2} \left(1 + \frac{1}{2} + \frac{1}{3}\right) + \dots$$

$$27.41 \quad K_{-n}(x) = K_n(x) \quad n = 0, 1, 2, \dots$$

Solução geral da equação de Bessel modificada

$$27.42 \quad y = AI_n(x) + BI_{-n}(x) \quad n \neq 0, 1, 2, \dots$$

$$27.43 \quad y = AI_n(x) + BK_n(x) \quad \text{todos os } n$$

$$27.44 \quad y = AI_n(x) + BI_n(x) \int \frac{dx}{xI_n^2(x)} \quad \text{todos os } n$$

onde A e B são constantes arbitrárias.

Função geradora para $I_n(x)$

$$27.45 \quad e^{x(t+1/t)/2} = \sum_{n=-\infty}^{\infty} I_n(x) t^n$$

Fórmulas de recorrência para as funções de Bessel modificadas

$$27.46 \quad I_{n+1}(x) = I_{n-1}(x) - \frac{2n}{x} I_n(x)$$

$$27.47 \quad I'_n(x) = \frac{1}{2} \{I_{n-1}(x) + I_{n+1}(x)\}$$

$$27.48 \quad xI'_n(x) = xI_{n-1}(x) - nI_n(x)$$

$$27.49 \quad xI'_n(x) = xI_{n+1}(x) + nI_n(x)$$

$$27.50 \quad \frac{d}{dx} \{x^n I_n(x)\} = x^n I_{n-1}(x)$$

$$27.51 \quad \frac{d}{dx} \{x^{-n} I_n(x)\} = x^{-n} I_{n+1}(x)$$

$$27.52 \quad K_{n+1}(x) = K_{n-1}(x) + \frac{2n}{x} K_n(x)$$

$$27.53 \quad K'_n(x) = -\frac{1}{2} \{K_{n-1}(x) + K_{n+1}(x)\}$$

$$27.54 \quad xK'_n(x) = -xK_{n-1}(x) - nK_n(x)$$

$$27.55 \quad xK'_n(x) = nK_n(x) - xK_{n+1}(x)$$

$$27.56 \quad \frac{d}{dx} \{x^n K_n(x)\} = -x^n K_{n-1}(x)$$

$$27.57 \quad \frac{d}{dx} \{x^{-n} K_n(x)\} = -x^{-n} K_{n+1}(x)$$

Funções de Bessel modificadas de ordem igual à metade de um número inteiro ímpar

Neste caso, as funções são expressas em termos de senos e cossenos hiperbólicos.

$$27.58 \quad I_{1/2}(x) = \sqrt{\frac{2}{\pi x}} \sinh x$$

$$27.59 \quad I_{-1/2}(x) = \sqrt{\frac{2}{\pi x}} \cosh x$$

$$27.60 \quad I_{3/2}(x) = \sqrt{\frac{2}{\pi x}} \left(\cosh x - \frac{\sinh x}{x} \right)$$

$$27.61 \quad I_{-3/2}(x) = \sqrt{\frac{2}{\pi x}} \left(\sinh x - \frac{\cosh x}{x} \right)$$

$$27.62 \quad I_{5/2}(x) = \sqrt{\frac{2}{\pi x}} \left\{ \left(\frac{3}{x^2} + 1 \right) \sinh x - \frac{3}{x} \cosh x \right\}$$

$$27.63 \quad I_{-5/2}(x) = \sqrt{\frac{2}{\pi x}} \left\{ \left(\frac{3}{x^2} + 1 \right) \cosh x - \frac{3}{x} \sinh x \right\}$$

Para mais resultados, use a fórmula de recorrência 27.46. Resultados para $K_{1/2}(x)$, $K_{3/2}(x)$, ... são obtidos a partir de 27.38.

Funções Ber e Bei

As partes real e imaginária de $J_n(xe^{3\pi i/4})$ são denotadas por $\text{Ber}_n(x)$ e $\text{Bei}_n(x)$, onde

$$27.64 \quad \text{Ber}_n(x) = \sum_{k=0}^{\infty} \frac{(x/2)^{2k+n}}{k! \Gamma(n+k+1)} \cos \frac{(3n+2k)\pi}{4}$$

$$27.65 \quad \text{Bei}_n(x) = \sum_{k=0}^{\infty} \frac{(x/2)^{2k+n}}{k! \Gamma(n+k+1)} \sin \frac{(3n+2k)\pi}{4}$$

Se $n = 0$,

$$27.66 \quad \text{Ber}(x) = 1 - \frac{(x/2)^4}{2!^2} + \frac{(x/2)^8}{4!^2} - \dots$$

$$27.67 \quad \text{Bei}(x) = (x/2)^2 - \frac{(x/2)^6}{3!^2} + \frac{(x/2)^{10}}{5!^2} - \dots$$

Funções Ker e Kei

As partes real e imaginária de $e^{-n\pi i/2} K_n(xe^{\pi i/4})$ são denotadas por $\text{Ker}_n(x)$ e $\text{Kei}_n(x)$, onde

$$27.68 \quad \text{Ker}_n(x) = -\{\ln(x/2) + \gamma\} \text{Ber}_n(x) + \frac{1}{4}\pi \text{Bei}_n(x)$$

$$+ \frac{1}{2} \sum_{k=0}^{n-1} \frac{(n-k-1)!(x/2)^{2k-n}}{k!} \cos \frac{(3n+2k)\pi}{4}$$

$$+ \frac{1}{2} \sum_{k=0}^{\infty} \frac{(x/2)^{n+2k}}{k!(n+k)!} \{\Phi(k) + \Phi(n+k)\} \cos \frac{(3n+2k)\pi}{4}$$

$$27.69 \quad \text{Kei}_n(x) = -\{\ln(x/2) + \gamma\} \text{Bei}_n(x) - \frac{1}{4}\pi \text{Ber}_n(x)$$

$$- \frac{1}{2} \sum_{k=0}^{n-1} \frac{(n-k-1)!(x/2)^{2k-n}}{k!} \sin \frac{(3n+2k)\pi}{4}$$

$$+ \frac{1}{2} \sum_{k=0}^{\infty} \frac{(x/2)^{n+2k}}{k!(n+k)!} \{\Phi(k) + \Phi(n+k)\} \sin \frac{(3n+2k)\pi}{4}$$

e Φ é dada por 27.10.

Se $n = 0$,

$$27.70 \quad \text{Ker}(x) = -\{\ln(x/2) + \gamma\} \text{Ber}(x) + \frac{\pi}{4} \text{Bei}(x) + 1 - \frac{(x/2)^4}{2!^2} (1 + \frac{1}{2}) + \frac{(x/2)^8}{4!^2} (1 + \frac{1}{2} + \frac{1}{3} + \frac{1}{4}) - \dots$$

$$27.71 \quad \text{Kei}(x) = -\{\ln(x/2) + \gamma\} \text{Bei}(x) - \frac{\pi}{4} \text{Ber}(x) + (x/2)^2 - \frac{(x/2)^6}{3!^2} (1 + \frac{1}{2} + \frac{1}{3}) + \dots$$

Equação diferencial para as funções Ber, Bei, Ker e Kei

$$27.72 \quad x^2 y'' + xy' - (ix^2 + n^2)y = 0$$

A solução geral dessa equação é

$$27.73 \quad y = A\{\text{Ber}_n(x) + i \text{Bei}_n(x)\} + B\{\text{Ker}_n(x) + i \text{Kei}_n(x)\}$$

Gráficos das funções de Bessel

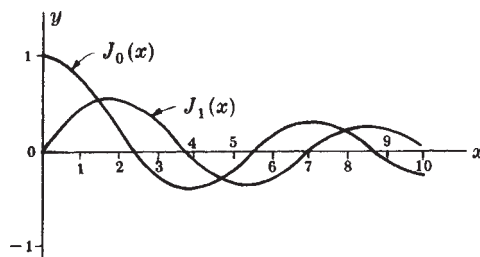


Fig. 27-1

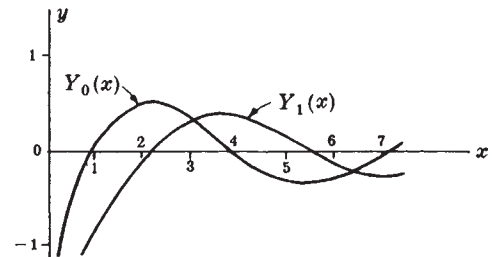


Fig. 27-2

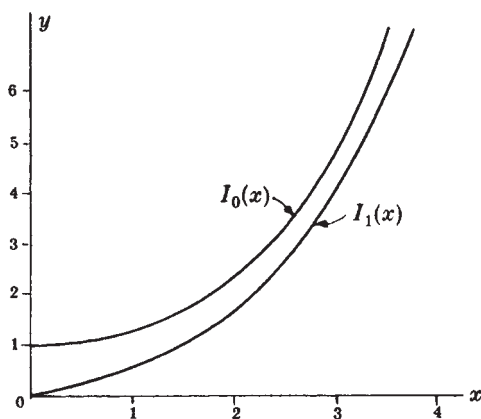


Fig. 27-3

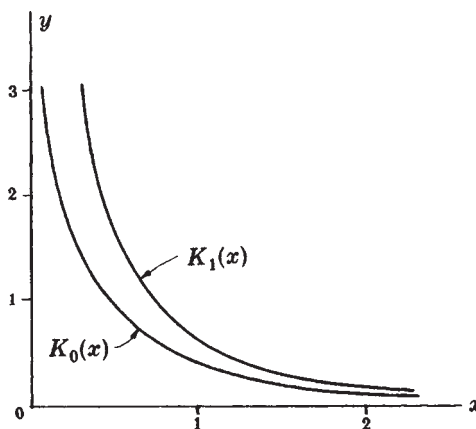


Fig. 27-4

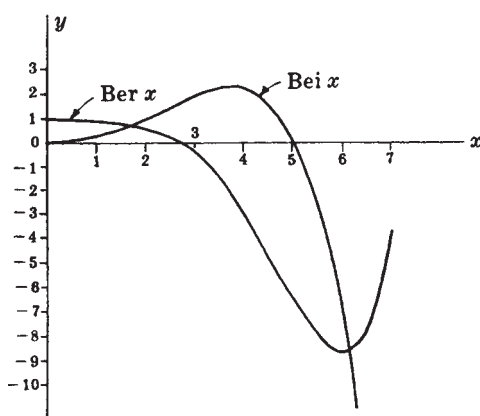


Fig. 27-5

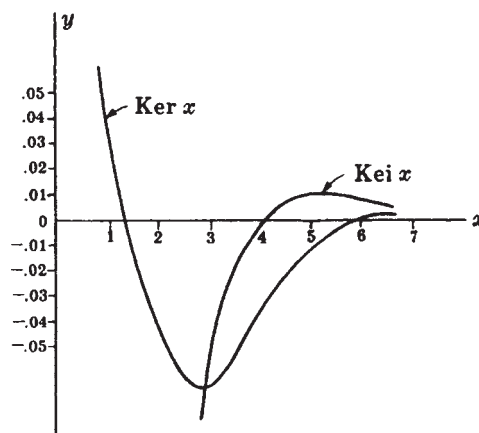


Fig. 27-6

Integrais indefinidas envolvendo funções de Bessel

$$27.74 \quad \int xJ_0(x)dx = xJ_1(x)$$

$$27.75 \quad \int x^2J_0(x)dx = x^2J_1(x) + xJ_0(x) - \int J_0(x)dx$$

$$27.76 \quad \int x^mJ_0(x)dx = x^mJ_1(x) + (m-1)x^{m-1}J_0(x) - (m-1)^2 \int x^{m-2}J_0(x)dx$$

$$27.77 \quad \int \frac{J_0(x)}{x^2}dx = J_1(x) - \frac{J_0(x)}{x} - \int J_0(x)dx$$

$$27.78 \quad \int \frac{J_0(x)}{x^m}dx = \frac{J_1(x)}{(m-1)^2x^{m-2}} - \frac{J_0(x)}{(m-1)x^{m-1}} - \frac{1}{(m-1)^2} \int \frac{J_0(x)}{x^{m-2}}dx$$

$$27.79 \quad \int J_1(x)dx = -J_0(x)$$

$$27.80 \quad \int xJ_1(x)dx = -xJ_0(x) + \int J_0(x)dx$$

$$27.81 \quad \int x^mJ_1(x)dx = -x^mJ_0(x) + m \int x^{m-1}J_0(x)dx$$

$$\begin{aligned}
27.82 \quad & \int \frac{J_1(x)}{x} dx = -J_1(x) + \int J_0(x) dx \\
27.83 \quad & \int \frac{J_1(x)}{x^m} dx = -\frac{J_1(x)}{mx^{m-1}} + \frac{1}{m} \int \frac{J_0(x)}{x^{m-1}} dx \\
27.84 \quad & \int x^n J_{n-1}(x) dx = x^n J_n(x) \\
27.85 \quad & \int x^{-n} J_{n+1}(x) dx = -x^{-n} J_n(x) \\
27.86 \quad & \int x^m J_n(x) dx = -x^m J_{n-1}(x) + (m+n-1) \int x^{m-1} J_{n-1}(x) dx \\
27.87 \quad & \int x J_n(\alpha x) J_n(\beta x) dx = \frac{x\{\alpha J_n(\beta x) J'_n(\alpha x) - \beta J_n(\alpha x) J'_n(\beta x)\}}{\beta^2 - \alpha^2} \\
27.88 \quad & \int x J_n^2(\alpha x) dx = \frac{x^2}{2} \{J'_n(\alpha x)\}^2 + \frac{x^2}{2} \left(1 - \frac{n^2}{\alpha^2 x^2}\right) \{J_n(\alpha x)\}^2
\end{aligned}$$

Os resultados acima também são válidos se substituirmos $J_n(x)$ por $Y_n(x)$ ou, mais geralmente, por $AJ_n(x) + BY_n(x)$, onde A e B são constantes.

Integrais definidas envolvendo funções de Bessel

$$\begin{aligned}
27.89 \quad & \int_0^\infty e^{-ax} J_0(bx) dx = \frac{1}{\sqrt{a^2 + b^2}} \\
27.90 \quad & \int_0^\infty e^{-ax} J_n(bx) dx = \frac{(\sqrt{a^2 + b^2} - a)^n}{b^n \sqrt{a^2 + b^2}} \quad n > -1 \\
27.91 \quad & \int_0^\infty \cos ax J_0(bx) dx = \begin{cases} \frac{1}{\sqrt{a^2 - b^2}} & a > b \\ 0 & a < b \end{cases} \\
27.92 \quad & \int_0^\infty J_n(bx) dx = \frac{1}{b}, \quad n > -1 \\
27.93 \quad & \int_0^\infty \frac{J_n(bx)}{x} dx = \frac{1}{n}, \quad n = 1, 2, 3, \dots \\
27.94 \quad & \int_0^\infty e^{-ax} J_0(b\sqrt{x}) dx = \frac{e^{-b^2/4a}}{a} \\
27.95 \quad & \int_0^1 x J_n(\alpha x) J_n(\beta x) dx = \frac{\alpha J_n(\beta) J'_n(\alpha) - \beta J_n(\alpha) J'_n(\beta)}{\beta^2 - \alpha^2} \\
27.96 \quad & \int_0^1 x J_n^2(\alpha x) dx = \frac{1}{2} \{J'_n(\alpha)\}^2 + \frac{1}{2} (1 - n^2/\alpha^2) \{J_n(\alpha)\}^2 \\
27.97 \quad & \int_0^1 x J_0(\alpha x) I_0(\beta x) dx = \frac{\beta J_0(\alpha) I'_0(\beta) - \alpha J'_0(\alpha) I_0(\beta)}{\alpha^2 + \beta^2}
\end{aligned}$$

Representações integrais de funções de Bessel

$$27.98 \quad J_0(x) = \frac{1}{\pi} \int_0^\pi \cos(x \operatorname{sen} \theta) d\theta$$

$$27.99 \quad J_n(x) = \frac{1}{\pi} \int_0^\pi \cos(n\theta - x \operatorname{sen} \theta) d\theta \quad n = \text{inteiro}$$

$$27.100 \quad J_n(x) = \frac{x^n}{2^n \sqrt{\pi} \Gamma(n + \frac{1}{2})} \int_0^\pi \cos(x \operatorname{sen} \theta) \cos^{2n} \theta d\theta \quad n > -\frac{1}{2}$$

$$27.101 \quad Y_0(x) = -\frac{2}{\pi} \int_0^\infty \cos(x \cosh u) du$$

$$27.102 \quad I_0(x) = \frac{1}{\pi} \int_0^\pi \cosh(x \operatorname{sen} \theta) d\theta = \frac{1}{2\pi} \int_0^{2\pi} e^{x \operatorname{sen} \theta} d\theta$$

Expansões assintóticas

$$27.103 \quad J_n(x) \sim \sqrt{\frac{2}{\pi x}} \cos\left(x - \frac{n\pi}{2} - \frac{\pi}{4}\right) \quad \text{onde } x \text{ é grande}$$

$$27.104 \quad Y_n(x) \sim \sqrt{\frac{2}{\pi x}} \operatorname{sen}\left(x - \frac{n\pi}{2} - \frac{\pi}{4}\right) \quad \text{onde } x \text{ é grande}$$

$$27.105 \quad J_n(x) \sim \frac{1}{\sqrt{2\pi n}} \left(\frac{ex}{2n}\right)^n \quad \text{onde } n \text{ é grande}$$

$$27.106 \quad Y_n(x) \sim -\sqrt{\frac{2}{\pi n}} \left(\frac{ex}{2n}\right)^{-n} \quad \text{onde } n \text{ é grande}$$

$$27.107 \quad I_n(x) \sim \frac{e^x}{\sqrt{2\pi x}} \quad \text{onde } x \text{ é grande}$$

$$27.108 \quad K_n(x) \sim \frac{e^{-x}}{\sqrt{2\pi x}} \quad \text{onde } x \text{ é grande}$$

Séries ortogonais de funções de Bessel

Sejam $\lambda_1, \lambda_2, \lambda_3, \dots$ as raízes positivas de $RJ_n(x) + SxJ'_n(x) = 0$, $n > -1$. Então, as seguintes expansões em séries são obtidas sob as condições indicadas.

$S = 0, R \neq 0$, ou seja, $\lambda_1, \lambda_2, \lambda_3, \dots$ são raízes positivas de $J_n(x) = 0$

$$27.109 \quad f(x) = A_1 J_n(\lambda_1 x) + A_2 J_n(\lambda_2 x) + A_3 J_n(\lambda_3 x) + \dots$$

onde

$$27.110 \quad A_k = \frac{2}{J_{n+1}^2(\lambda_k)} \int_0^1 x f(x) J_n(\lambda_k x) dx$$

Em particular, se $n = 0$,

$$27.111 \quad f(x) = A_1 J_0(\lambda_1 x) + A_2 J_0(\lambda_2 x) + A_3 J_0(\lambda_3 x) + \dots$$

onde

$$27.112 \quad A_k = \frac{2}{J_1^2(\lambda_k)} \int_0^1 x f(x) J_0(\lambda_k x) dx$$

| $R/S > -n$ | |
|---------------|---|
| 27.113 | $f(x) = A_1 J_n(\lambda_1 x) + A_2 J_n(\lambda_2 x) + A_3 J_n(\lambda_3 x) + \dots$ |
| | onde |
| 27.114 | $A_k = \frac{2}{J_n^2(\lambda_k) - J_{n-1}(\lambda_k)J_{n+1}(\lambda_k)} \int_0^1 x f(x) J_n(\lambda_k x) dx$ |
| | Em particular, se $n = 0$, |
| 27.115 | $f(x) = A_1 J_0(\lambda_1 x) + A_2 J_0(\lambda_2 x) + A_3 J_0(\lambda_3 x) + \dots$ |
| | onde |
| 27.116 | $A_k = \frac{2}{J_0^2(\lambda_k) + J_1^2(\lambda_k)} \int_0^1 x f(x) J_0(\lambda_k x) dx$ |

As fórmulas seguintes referem-se à expansão das funções de Bessel, onde $S \neq 0$.

| $R/S = -n$ | |
|---------------|--|
| 27.117 | $f(x) = A_0 x^n + A_1 J_n(\lambda_1 x) + A_2 J_n(\lambda_2 x) + \dots$ |
| | onde |
| 27.118 | $\begin{cases} A_0 = 2(n+1) \int_0^1 x^{n+1} f(x) dx \\ A_k = \frac{2}{J_n^2(\lambda_k) - J_{n-1}(\lambda_k)J_{n+1}(\lambda_k)} \int_0^1 x f(x) J_n(\lambda_k x) dx \end{cases}$ |
| | Em particular, se $n = 0$, de modo que $R = 0$ [ou seja, $\lambda_1, \lambda_2, \lambda_3, \dots$ são as raízes positivas de $J_1(x) = 0$], |
| 27.119 | $f(x) = A_0 + A_1 J_0(\lambda_1 x) + A_2 J_0(\lambda_2 x) + \dots$ |
| | onde |
| 27.120 | $\begin{cases} A_0 = 2 \int_0^1 x f(x) dx \\ A_k = \frac{2}{J_0^2(\lambda_k)} \int_0^1 x f(x) J_0(\lambda_k x) dx \end{cases}$ |
| $R/S < -N$ | |
| | Neste caso, há duas raízes imaginárias puras $\pm i\lambda_0$, bem como as raízes positivas $\lambda_1, \lambda_2, \lambda_3, \dots$ e temos |
| 27.121 | $f(x) = A_0 I_n(\lambda_0 x) + A_1 J_n(\lambda_1 x) + A_2 J_n(\lambda_2 x) + \dots$ |
| | onde |
| 27.122 | $\begin{cases} A_0 = \frac{2}{I_n^2(\lambda_0) + I_{n-1}(\lambda_0)I_{n+1}(\lambda_0)} \int_0^1 x f(x) I_n(\lambda_0 x) dx \\ A_k = \frac{2}{J_n^2(\lambda_k) - J_{n-1}(\lambda_k)J_{n+1}(\lambda_k)} \int_0^1 x f(x) J_n(\lambda_k x) dx \end{cases}$ |

Resultados diversos

$$27.123 \quad \cos(x \operatorname{sen} \theta) = J_0(x) + 2J_2(x) \cos 2\theta + 2J_4(x) \cos 4\theta + \dots$$

$$27.124 \quad \operatorname{sen}(x \operatorname{sen} \theta) = 2J_1(x) \operatorname{sen} \theta + 2J_3(x) \operatorname{sen} 3\theta + 2J_5(x) \operatorname{sen} 5\theta + \dots$$

$$27.125 \quad J_n(x+y) = \sum_{k=-\infty}^{\infty} J_k(x) J_{n-k}(y) \quad n = 0, \pm 1, \pm 2, \dots$$

Esta é chamada a *fórmula de adição* para as funções de Bessel.

$$27.126 \quad 1 = J_0(x) + 2J_2(x) + \dots + 2J_{2n}(x) + \dots$$

$$27.127 \quad x = 2\{J_1(x) + 3J_3(x) + 5J_5(x) + \dots + (2n+1)J_{2n+1}(x) + \dots\}$$

$$27.128 \quad x^2 = 2\{4J_2(x) + 16J_4(x) + 36J_6(x) + \dots + (2n)^2 J_{2n}(x) + \dots\}$$

$$27.129 \quad \frac{xJ_1(x)}{4} = J_2(x) - 2J_4(x) + 3J_6(x) - \dots$$

$$27.130 \quad 1 = J_0^2(x) + 2J_1^2(x) + 2J_2^2(x) + 2J_3^2(x) + \dots$$

$$27.131 \quad J_n''(x) = \frac{1}{4}\{J_{n-2}(x) - 2J_n(x) + J_{n+2}(x)\}$$

$$27.132 \quad J_n'''(x) = \frac{1}{8}\{J_{n-3}(x) - 3J_{n-1}(x) + 3J_{n+1}(x) - J_{n+3}(x)\}$$

As Fórmulas 27.131 e 27.132 podem ser generalizadas.

$$27.133 \quad J_n'(x)J_{-n}(x) - J_{-n}'(x)J_n(x) = \frac{2 \operatorname{sen} n\pi}{\pi x}$$

$$27.134 \quad J_n(x)J_{-n+1}(x) + J_{-n}(x)J_{n-1}(x) = \frac{2 \operatorname{sen} n\pi}{\pi x}$$

$$27.135 \quad J_{n+1}(x)Y_n(x) - J_n(x)Y_{n+1}(x) = J_n(x)Y_n'(x) - J_n'(x)Y_n(x) = \frac{2}{\pi x}$$

$$27.136 \quad \operatorname{sen} x = 2\{J_1(x) - J_3(x) + J_5(x) - \dots\}$$

$$27.137 \quad \cos x = J_0(x) - 2J_2(x) + 2J_4(x) - \dots$$

$$27.138 \quad \operatorname{senh} x = 2\{I_1(x) + I_3(x) + I_5(x) + \dots\}$$

$$27.139 \quad \operatorname{cosh} x = I_0(x) + 2\{I_2(x) + I_4(x) + I_6(x) + \dots\}$$

28

Funções de Legendre e de Legendre Associadas

Equação diferencial de Legendre

$$28.1 \quad (1-x^2)y'' - 2xy' + n(n+1)y = 0$$

As soluções desta equação são denominadas *funções de Legendre de ordem n*.

Polinômios de Legendre

Se $n = 0, 1, 2, \dots$, uma solução de 28.1 é o polinômio de Legendre $P_n(x)$ dado pela *fórmula de Rodrigues*

$$28.2 \quad P_n(x) = \frac{1}{2^n n!} \frac{d^n}{dx^n} (x^2 - 1)^n$$

Polinômios de Legendre especiais

$$28.3 \quad P_0(x) = 1$$

$$28.4 \quad P_1(x) = x$$

$$28.5 \quad P_2(x) = \frac{1}{2}(3x^2 - 1)$$

$$28.6 \quad P_3(x) = \frac{1}{2}(5x^3 - 3x)$$

$$28.7 \quad P_4(x) = \frac{1}{8}(35x^4 - 30x^2 + 3)$$

$$28.8 \quad P_5(x) = \frac{1}{8}(63x^5 - 70x^3 + 15x)$$

$$28.9 \quad P_6(x) = \frac{1}{16}(231x^6 - 315x^4 + 105x^2 - 5)$$

$$28.10 \quad P_7(x) = \frac{1}{16}(429x^7 - 693x^5 + 315x^3 - 35x)$$

Polinômios de Legendre em termos de θ , onde $x = \cos \theta$

$$28.11 \quad P_0(\cos \theta) = 1$$

$$28.12 \quad P_1(\cos \theta) = \cos \theta$$

$$28.13 \quad P_2(\cos \theta) = \frac{1}{4}(1 + 3 \cos 2\theta)$$

$$28.14 \quad P_3(\cos \theta) = \frac{1}{8}(3 \cos \theta + 5 \cos 3\theta)$$

$$28.15 \quad P_4(\cos \theta) = \frac{1}{64}(9 + 20 \cos 2\theta + 35 \cos 4\theta)$$

$$28.16 \quad P_5(\cos \theta) = \frac{1}{128}(30 \cos \theta + 35 \cos 3\theta + 63 \cos 5\theta)$$

$$28.17 \quad P_6(\cos \theta) = \frac{1}{512}(50 + 105 \cos 2\theta + 126 \cos 4\theta + 231 \cos 6\theta)$$

$$28.18 \quad P_7(\cos \theta) = \frac{1}{1024}(175 \cos \theta + 189 \cos 3\theta + 231 \cos 5\theta + 429 \cos 7\theta)$$

Função geradora para os polinômios de Legendre

$$28.19 \quad \frac{1}{\sqrt{1-2tx+t^2}} = \sum_{n=0}^{\infty} P_n(x)t^n$$

Fórmulas de recorrência para os polinômios de Legendre

$$28.20 \quad (n+1)P_{n+1}(x) - (2n+1)xP_n(x) + nP_{n-1}(x) = 0$$

$$28.21 \quad P'_{n+1}(x) - xP'_n(x) = (n+1)P_n(x)$$

$$28.22 \quad xP'_n(x) - P'_{n-1}(x) = nP_n(x)$$

$$28.23 \quad P'_{n+1}(x) - P'_{n-1}(x) = (2n+1)P_n(x)$$

$$28.24 \quad (x^2-1)P'_n(x) = nxP_n(x) - nP_{n-1}(x)$$

Ortogonalidade dos polinômios de Legendre

$$28.25 \quad \int_{-1}^1 P_m(x)P_n(x)dx = 0 \quad m \neq n$$

$$28.26 \quad \int_{-1}^1 \{P_n(x)\}^2 dx = \frac{2}{2n+1}$$

Devido a 28.25, $P_m(x)$ e $P_n(x)$ são chamados *ortogonais* em $-1 \leq x \leq 1$.

Séries ortogonais dos polinômios de Legendre

$$28.27 \quad f(x) = A_0P_0(x) + A_1P_1(x) + A_2P_2(x) + \dots$$

onde

$$28.28 \quad A_k = \frac{2k+1}{2} \int_{-1}^1 f(x)P_k(x)dx$$

Resultados especiais envolvendo polinômios de Legendre

$$28.29 \quad P_n(1) = 1$$

$$28.30 \quad P_n(-1) = (-1)^n$$

$$28.31 \quad P_n(-x) = (-1)^n P_n(x)$$

$$28.32 \quad P_n(0) = \begin{cases} 0 & n \text{ ímpar} \\ (-1)^{n/2} \frac{1 \cdot 3 \cdot 5 \cdots (n-1)}{2 \cdot 4 \cdot 6 \cdots n} & n \text{ par} \end{cases}$$

$$28.33 \quad P_n(x) = \frac{1}{\pi} \int_0^\pi (x + \sqrt{x^2-1} \cos \phi)^n d\phi$$

$$28.34 \quad \int P_n(x)dx = \frac{P_{n+1}(x) - P_{n-1}(x)}{2n+1}$$

$$28.35 \quad |P_n(x)| \leq 1$$

$$28.36 \quad P_n(x) = \frac{1}{2^{n+1} \pi i} \oint_C \frac{(z^2 - 1)^n}{(z - x)^{n+1}} dz$$

onde C é uma curva fechada simples, tendo x como um ponto interior.

Solução geral da equação de Legendre

A solução geral da equação de Legendre é

$$28.37 \quad y = AU_n(x) + BV_n(x)$$

onde

$$28.38 \quad U_n(x) = 1 - \frac{n(n+1)}{2!} x^2 + \frac{n(n-2)(n+1)(n+3)}{4!} x^4 - \dots$$

$$28.39 \quad V_n(x) = x - \frac{(n-1)(n+2)}{3!} x^3 + \frac{(n-1)(n-3)(n+2)(n+4)}{5!} x^5 - \dots$$

Estas séries convergem em $-1 < x < 1$.

Funções de Legendre de 2ª espécie

Se $n = 0, 1, 2, \dots$, uma das séries 28.38 ou 28.39 é finita. Em tais casos,

$$28.40 \quad P_n(x) = \begin{cases} U_n(x)/U_n(1) & n = 0, 2, 4, \dots \\ V_n(x)/V_n(1) & n = 1, 3, 5, \dots \end{cases}$$

onde

$$28.41 \quad U_n(1) = (-1)^{n/2} 2^n \left[\left(\frac{n}{2} \right)! \right]^2 / n! \quad n = 0, 2, 4, \dots$$

$$28.42 \quad V_n(1) = (-1)^{(n-1)/2} 2^{n-1} \left[\left(\frac{n-1}{2} \right)! \right]^2 / n! \quad n = 1, 3, 5, \dots$$

Neste caso, a série infinita, com uma constante multiplicativa conveniente, é denotada por $Q_n(x)$ e é denominada *função de Legendre de 2ª espécie de ordem n* . Definimos

$$28.43 \quad Q_n(x) = \begin{cases} U_n(1)V_n(x) & n = 0, 2, 4, \dots \\ -V_n(1)U_n(x) & n = 1, 3, 5, \dots \end{cases}$$

Funções de Legendre de 2ª espécie especiais

$$28.44 \quad Q_0(x) = \frac{1}{2} \ln \left(\frac{1+x}{1-x} \right)$$

$$28.45 \quad Q_1(x) = \frac{x}{2} \ln \left(\frac{1+x}{1-x} \right) - 1$$

$$28.46 \quad Q_2(x) = \frac{3x^2 - 1}{4} \ln\left(\frac{1+x}{1-x}\right) - \frac{3x}{2}$$

$$28.47 \quad Q_3(x) = \frac{5x^3 - 3x}{4} \ln\left(\frac{1+x}{1-x}\right) - \frac{5x^2}{2} + \frac{2}{3}$$

As funções $Q_n(x)$ satisfazem fórmulas de recorrência exatamente análogas a 28.20 até 28.24. Usando estas, a solução geral da equação de Legendre também pode ser escrita como

$$28.48 \quad y = AP_n(x) + BQ_n(x)$$

Equação diferencial de Legendre associada

$$28.49 \quad (1-x^2)y'' - 2xy' + \left\{n(n+1) - \frac{m^2}{1-x^2}\right\}y = 0$$

As soluções desta equação são chamadas *funções de Legendre associadas*. Restringimo-nos ao caso importante onde m e n são inteiros não negativos.

Funções de Legendre associadas de 1ª espécie

$$28.50 \quad P_n^m(x) = (1-x^2)^{m/2} \frac{d^m}{dx^m} P_n(x) = \frac{(1-x^2)^{m/2}}{2^n n!} \frac{d^{m+n}}{dx^{m+n}} (x^2-1)^n$$

onde $P_n(x)$ são polinômios de Legendre (ver 28.2). Temos

$$28.51 \quad P_n^0(x) = P_n(x)$$

$$28.52 \quad P_n^m(x) = 0 \quad \text{se } m > n$$

Funções de Legendre associadas de 1ª espécie especiais

$$28.53 \quad P_1^1(x) = (1-x^2)^{1/2}$$

$$28.56 \quad P_3^1(x) = \frac{3}{2}(5x^2-1)(1-x^2)^{1/2}$$

$$28.54 \quad P_2^1(x) = 3x(1-x^2)^{1/2}$$

$$28.57 \quad P_3^2(x) = 15x(1-x^2)$$

$$28.55 \quad P_2^2(x) = 3(1-x^2)$$

$$28.58 \quad P_3^3(x) = 15(1-x^2)^{3/2}$$

Função geradora para $P_n^m(x)$

$$28.59 \quad \frac{(2m)!(1-x^2)^{m/2} t^m}{2^m m! (1-2tx+t^2)^{m+1/2}} = \sum_{n=m}^{\infty} P_n^m(x) t^n$$

Fórmulas de recorrência

$$28.60 \quad (n+1-m)P_{n+1}^m(x) - (2n+1)xP_n^m(x) + (n+m)P_{n-1}^m(x) = 0$$

$$28.61 \quad P_n^{m+2}(x) - \frac{2(m+1)x}{(1-x^2)^{1/2}} P_n^{m+1}(x) + (n-m)(n+m+1)P_n^m(x) = 0$$

Ortogonalidade de $P_n^m(x)$

$$28.62 \quad \int_{-1}^1 P_l^m(x) P_n^m(x) dx = 0 \quad \text{se } n \neq l$$

$$28.63 \quad \int_{-1}^1 \{P_n^m(x)\}^2 dx = \frac{2}{2n+1} \frac{(n+m)!}{(n-m)!}$$

Séries ortogonais

$$28.64 \quad f(x) = A_m P_m^m(x) + A_{m+1} P_{m+1}^m(x) + A_{m+2} P_{m+2}^m(x) + \dots$$

onde

$$28.65 \quad A_k = \frac{2k+1}{2} \frac{(k-m)!}{(k+m)!} \int_{-1}^1 f(x) P_k^m(x) dx$$

Funções de Legendre associadas de 2ª espécie

$$28.66 \quad Q_n^m(x) = (1-x^2)^{m/2} \frac{d^m}{dx^m} Q_n(x)$$

onde $Q_n(x)$ são funções de Legendre de 2ª classe (ver 28.43).

Estas funções são ilimitadas em $x = \pm 1$, enquanto $P_n^m(x)$ são limitadas em $x = \pm 1$.

As funções $Q_n^m(x)$ satisfazem as mesmas relações de recorrência que $P_n^m(x)$ (ver 28.60 e 28.61).

Solução geral da equação de Legendre associada

$$28.67 \quad y = AP_n^m(x) + BQ_n^m(x)$$

Polinômios de Hermite

Equação diferencial de Hermite

$$29.1 \quad y'' - 2xy' + 2ny = 0$$

Polinômios de Hermite

Se $n = 0, 1, 2, \dots$, então uma solução da equação de Hermite é o polinômio de Hermite $H_n(x)$ dado pela fórmula de Rodrigues

$$29.2 \quad H_n(x) = (-1)^n e^{x^2} \frac{d^n}{dx^n} (e^{-x^2})$$

Polinômios de Hermite especiais

$$29.3 \quad H_0(x) = 1$$

$$29.4 \quad H_1(x) = 2x$$

$$29.5 \quad H_2(x) = 4x^2 - 2$$

$$29.6 \quad H_3(x) = 8x^3 - 12x$$

$$29.7 \quad H_4(x) = 16x^4 - 48x^2 + 12$$

$$29.8 \quad H_5(x) = 32x^5 - 160x^3 + 120x$$

$$29.9 \quad H_6(x) = 64x^6 - 480x^4 + 720x^2 - 120$$

$$29.10 \quad H_7(x) = 128x^7 - 1344x^5 + 3360x^3 - 1680x$$

Função geradora

$$29.11 \quad e^{2tx-t^2} = \sum_{n=0}^{\infty} \frac{H_n(x)t^n}{n!}$$

Fórmulas de recorrência

$$29.12 \quad H_{n+1}(x) = 2xH_n(x) - 2nH_{n-1}(x)$$

$$29.13 \quad H'_n(x) = 2nH_{n-1}(x)$$

Ortogonalidade dos polinômios de Hermite

$$29.14 \quad \int_{-\infty}^{\infty} e^{-x^2} H_m(x)H_n(x)dx = 0 \quad m \neq n$$

$$29.15 \quad \int_{-\infty}^{\infty} e^{-x^2} \{H_n(x)\}^2 dx = 2^n n! \sqrt{\pi}$$

Séries ortogonais

$$29.16 \quad f(x) = A_0 H_0(x) + A_1 H_1(x) + A_2 H_2(x) + \dots$$

onde

$$29.17 \quad A_k = \frac{1}{2^k k! \sqrt{\pi}} \int_{-\infty}^{\infty} e^{-x^2} f(x) H_k(x) dx$$

Resultados especiais

$$29.18 \quad H_n(x) = (2x)^n - \frac{n(n-1)}{1!} (2x)^{n-2} + \frac{n(n-1)(n-2)(n-3)}{2!} (2x)^{n-4} - \dots$$

$$29.19 \quad H_n(-x) = (-1)^n H_n(x)$$

$$29.20 \quad H_{2n-1}(0) = 0$$

$$29.21 \quad H_{2n}(0) = (-1)^n 2^n \cdot 1 \cdot 3 \cdot 5 \cdots (2n-1)$$

$$29.22 \quad \int_0^x H_n(t) dt = \frac{H_{n+1}(x)}{2(n+1)} - \frac{H_{n+1}(0)}{2(n+1)}$$

$$29.23 \quad \frac{d}{dx} \{e^{-x^2} H_n(x)\} = -e^{-x^2} H_{n+1}(x)$$

$$29.24 \quad \int_0^x e^{-t^2} H_n(t) dt = H_{n-1}(0) - e^{-x^2} H_{n-1}(x)$$

$$29.25 \quad \int_{-\infty}^{\infty} t^n e^{-t^2} H_n(xt) dt = \sqrt{\pi} n! P_n(x)$$

$$29.26 \quad H_n(x+y) = \sum_{k=0}^n \frac{1}{2^{n/2}} \binom{n}{k} H_k(x\sqrt{2}) H_{n-k}(y\sqrt{2})$$

Esta é chamada a *fórmula de adição* para polinômios de Hermite.

$$29.27 \quad \sum_{k=0}^n \frac{H_k(x) H_k(y)}{2^k k!} = \frac{H_{n+1}(x) H_n(y) - H_n(x) H_{n+1}(y)}{2^{n+1} n! (x-y)}$$

Polinômios de Laguerre e de Laguerre Associados

30

Equação diferencial de Laguerre

30.1 $xy'' + (1-x)y' + ny = 0$

Polinômios de Laguerre

Se $n = 0, 1, 2, \dots$, uma solução de 30.1 é o polinômio de Laguerre $L_n(x)$ dado pela *fórmula de Rodrigues*

30.2 $L_n(x) = e^x \frac{d^n}{dx^n} (x^n e^{-x})$

Polinômios de Laguerre especiais

30.3 $L_0(x) = 1$

30.4 $L_1(x) = -x + 1$

30.5 $L_2(x) = x^2 - 4x + 2$

30.6 $L_3(x) = -x^3 + 9x^2 - 18x + 6$

30.7 $L_4(x) = x^4 - 16x^3 + 72x^2 - 96x + 24$

30.8 $L_5(x) = -x^5 + 25x^4 - 200x^3 + 600x^2 - 600x + 120$

30.9 $L_6(x) = x^6 - 36x^5 + 450x^4 - 2400x^3 + 5400x^2 - 4320x + 720$

30.10 $L_7(x) = -x^7 + 49x^6 - 882x^5 + 7350x^4 - 29.400x^3 + 52.920x^2 - 35.280x + 5040$

Função geradora

30.11 $\frac{e^{-xt/(1-t)}}{1-t} = \sum_{n=0}^{\infty} \frac{L_n(x)t^n}{n!}$

Fórmulas de recorrência

30.12 $L_{n+1}(x) - (2n+1-x)L_n(x) + n^2L_{n-1}(x) = 0$

30.13 $L'_n(x) - nL'_{n-1}(x) + nL_{n-1}(x) = 0$

30.14 $xL'_n(x) = nL_n(x) - n^2L_{n-1}(x)$

Ortogonalidade dos polinômios de Laguerre

$$30.15 \int_0^{\infty} e^{-x} L_m(x) L_n(x) dx = 0 \quad m \neq n$$

$$30.16 \int_0^{\infty} e^{-x} \{L_n(x)\}^2 dx = (n!)^2$$

Séries ortogonais

$$30.17 f(x) = A_0 L_0(x) + A_1 L_1(x) + A_2 L_2(x) + \dots$$

onde

$$30.18 A_k = \frac{1}{(k!)^2} \int_0^{\infty} e^{-x} f(x) L_k(x) dx$$

Resultados especiais

$$30.19 L_n(0) = n!$$

$$30.20 \int_0^x L_n(t) dt = L_n(x) - \frac{L_{n+1}(x)}{n+1}$$

$$30.21 L_n(x) = (-1)^n \left\{ x^n - \frac{n^2 x^{n-1}}{1!} + \frac{n^2(n-1)^2 x^{n-2}}{2!} - \dots (-1)^n n! \right\}$$

$$30.22 \int_0^{\infty} x^p e^{-x} L_n(x) dx = \begin{cases} 0 & \text{se } p < n \\ (-1)^n (n!)^2 & \text{se } p = n \end{cases}$$

$$30.23 \sum_{k=0}^n \frac{L_k(x) L_k(y)}{(k!)^2} = \frac{L_n(x) L_{n+1}(y) - L_{n+1}(x) L_n(y)}{(n!)^2 (x-y)}$$

$$30.24 \sum_{k=0}^{\infty} \frac{t^k L_k(x)}{(k!)^2} = e^t J_0(2\sqrt{xt})$$

$$30.25 L_n(x) = \int_0^{\infty} u^n e^{x-u} J_0(2\sqrt{xu}) du$$

Equação diferencial de Laguerre associada

$$30.26 xy'' + (m+1-x)y' + (n-m)y = 0$$

Polinômios de Laguerre associados

As soluções de 30.26 para inteiros não negativos m e n são dadas pelos polinômios de Laguerre associados

$$30.27 L_n^m(x) = \frac{d^m}{dx^m} L_n(x)$$

onde $L_n(x)$ são polinômios de Laguerre (ver 30.2).

$$30.28 \quad L_n^0(x) = L_n(x)$$

$$30.29 \quad L_n^m(x) = 0 \quad \text{se } m > n$$

Polinômios de Laguerre associados especiais

$$30.30 \quad L_1^1(x) = -1$$

$$30.35 \quad L_3^3(x) = -6$$

$$30.31 \quad L_2^1(x) = 2x - 4$$

$$30.36 \quad L_4^1(x) = 4x^3 - 48x^2 + 144x - 96$$

$$30.32 \quad L_2^2(x) = 2$$

$$30.37 \quad L_4^2(x) = 12x^2 - 96x + 144$$

$$30.33 \quad L_3^1(x) = -3x^2 + 18x - 18$$

$$30.38 \quad L_4^3(x) = 24x - 96$$

$$30.34 \quad L_3^2(x) = -6x + 18$$

$$30.39 \quad L_4^4(x) = 24$$

Função geradora para $L_n^m(x)$

$$30.40 \quad \frac{(-1)^m t^m}{(1-t)^{m+1}} e^{-xt/(1-t)} = \sum_{n=m}^{\infty} \frac{L_n^m(x)}{n!} t^n$$

Fórmulas de recorrência

$$30.41 \quad \frac{n-m+1}{n+1} L_{n+1}^m(x) + (x+m-2n-1)L_n^m(x) + n^2 L_{n-1}^m(x) = 0$$

$$30.42 \quad \frac{d}{dx} \{L_n^m(x)\} = L_n^{m+1}(x)$$

$$30.43 \quad \frac{d}{dx} \{x^m e^{-x} L_n^m(x)\} = (m-n-1)x^{m-1} e^{-x} L_n^{m-1}(x)$$

$$30.44 \quad x \frac{d}{dx} \{L_n^m(x)\} = (x-m)L_n^m(x) + (m-n-1)L_n^{m-1}(x)$$

Ortogonalidade

$$30.45 \quad \int_0^{\infty} x^m e^{-x} L_n^m(x) L_p^m(x) dx = 0 \quad p \neq n$$

$$30.46 \quad \int_0^{\infty} x^m e^{-x} \{L_n^m(x)\}^2 dx = \frac{(n!)^3}{(n-m)!}$$

Séries ortogonais

$$30.47 \quad f(x) = A_m L_m^m(x) + A_{m+1} L_{m+1}^m(x) + A_{m+2} L_{m+2}^m(x) + \dots$$

onde

$$30.48 \quad A_k = \frac{(k-m)!}{(k!)^3} \int_0^{\infty} x^m e^{-x} L_k^m(x) f(x) dx$$

Resultados especiais

$$30.49 \quad L_n^m(x) = (-1)^n \frac{n!}{(n-m)!} \left\{ x^{n-m} - \frac{n(n-m)}{1!} x^{n-m-1} + \frac{n(n-1)(n-m)(n-m-1)}{2!} x^{n-m-2} + \dots \right\}$$

$$30.50 \quad \int_0^\infty x^{m+1} e^{-x} \{L_n^m(x)\}^2 dx = \frac{(2n-m+1)(n!)^3}{(n-m)!}$$

Polinômios de Chebyshev

Equação diferencial de Chebyshev

$$31.1 \quad (1-x^2)y'' - xy' + n^2y = 0 \quad n = 0, 1, 2, \dots$$

Polinômios de Chebyshev de 1ª espécie

A solução de 31.1 é dada por

$$31.2 \quad T_n(x) = \cos(n \arccos x) = x^n - \binom{n}{2}x^{n-2}(1-x^2) + \binom{n}{4}x^{n-4}(1-x^2)^2 - \dots$$

Polinômios especiais de Chebyshev de 1ª espécie

$$31.3 \quad T_0(x) = 1$$

$$31.7 \quad T_4(x) = 8x^4 - 8x^2 + 1$$

$$31.4 \quad T_1(x) = x$$

$$31.8 \quad T_5(x) = 16x^5 - 20x^3 + 5x$$

$$31.5 \quad T_2(x) = 2x^2 - 1$$

$$31.9 \quad T_6(x) = 32x^6 - 48x^4 + 18x^2 - 1$$

$$31.6 \quad T_3(x) = 4x^3 - 3x$$

$$31.10 \quad T_7(x) = 64x^7 - 112x^5 + 56x^3 - 7x$$

Função geradora para $T_n(x)$

$$31.11 \quad \frac{1-tx}{1-2tx+t^2} = \sum_{n=0}^{\infty} T_n(x)t^n$$

Valores especiais

$$31.12 \quad T_n(-x) = (-1)^n T_n(x)$$

$$31.14 \quad T_n(-1) = (-1)^n$$

$$31.16 \quad T_{2n+1}(0) = 0$$

$$31.13 \quad T_n(1) = 1$$

$$31.15 \quad T_{2n}(0) = (-1)^n$$

Fórmula de recorrência para $T_n(x)$

$$31.17 \quad T_{n+1}(x) - 2xT_n(x) + T_{n-1}(x) = 0$$

Ortogonalidade

$$31.18 \int_{-1}^1 \frac{T_m(x)T_n(x)}{\sqrt{1-x^2}} dx = 0 \quad m \neq n$$

$$31.19 \int_{-1}^1 \frac{\{T_n(x)\}^2}{\sqrt{1-x^2}} dx = \begin{cases} \pi & \text{se } n = 0 \\ \pi/2 & \text{se } n = 1, 2, \dots \end{cases}$$

Séries ortogonais

$$31.20 f(x) = \frac{1}{2} A_0 T_0(x) + A_1 T_1(x) + A_2 T_2(x) + \dots$$

onde

$$31.21 A_k = \frac{2}{\pi} \int_{-1}^1 \frac{f(x)T_k(x)}{\sqrt{1-x^2}} dx$$

Polinômios de Chebyshev de 2ª espécie

$$31.22 U_n(x) = \frac{\text{sen}\{(n+1) \arccos x\}}{\text{sen}(\arccos x)}$$

$$= \binom{n+1}{1} x^n - \binom{n+1}{3} x^{n-2} (1-x^2) + \binom{n+1}{5} x^{n-4} (1-x^2)^2 - \dots$$

Polinômios de Chebyshev associados de 2ª espécie especiais

$$31.23 U_0(x) = 1$$

$$31.27 U_4(x) = 16x^4 - 12x^2 + 1$$

$$31.24 U_1(x) = 2x$$

$$31.28 U_5(x) = 32x^5 - 32x^3 + 6x$$

$$31.25 U_2(x) = 4x^2 - 1$$

$$31.29 U_6(x) = 64x^6 - 80x^4 + 24x^2 - 1$$

$$31.26 U_3(x) = 8x^3 - 4x$$

$$31.30 U_7(x) = 128x^7 - 192x^5 + 80x^3 - 8x$$

Função geradora para $U_n(x)$

$$31.31 \frac{1}{1-2tx+t^2} = \sum_{n=0}^{\infty} U_n(x)t^n$$

Valores especiais

$$31.32 U_n(-x) = (-1)^n U_n(x)$$

$$31.34 U_n(-1) = (-1)^n (n+1)$$

$$31.36 U_{2n+1}(0) = 0$$

$$31.33 U_n(1) = n+1$$

$$31.35 U_{2n}(0) = (-1)^n$$

Fórmula de recorrência para $U_n(x)$

$$31.37 \quad U_{n+1}(x) - 2xU_n(x) + U_{n-1}(x) = 0$$

Ortogonalidade

$$31.38 \quad \int_{-1}^1 \sqrt{1-x^2} U_m(x) U_n(x) dx = 0 \quad m \neq n$$

$$31.39 \quad \int_{-1}^1 \sqrt{1-x^2} \{U_n(x)\}^2 dx = \frac{\pi}{2}$$

Séries ortogonais

$$31.40 \quad f(x) = A_0 U_0(x) + A_1 U_1(x) + A_2 U_2(x) + \dots$$

onde

$$31.41 \quad A_k = \frac{2}{\pi} \int_{-1}^1 \sqrt{1-x^2} f(x) U_k(x) dx$$

Relações entre $T_n(x)$ e $U_n(x)$

$$31.42 \quad T_n(x) = U_n(x) - xU_{n-1}(x)$$

$$31.43 \quad (1-x^2)U_{n-1}(x) = xT_n(x) - T_{n+1}(x)$$

$$31.44 \quad U_n(x) = \frac{1}{\pi} \int_{-1}^1 \frac{T_{n+1}(v) dv}{(v-x)\sqrt{1-v^2}}$$

$$31.45 \quad T_n(x) = \frac{1}{\pi} \int_{-1}^1 \frac{\sqrt{1-v^2} U_{n-1}(v) dv}{x-v}$$

Solução geral da equação diferencial de Chebyshev

$$31.46 \quad y = \begin{cases} AT_n(x) + B\sqrt{1-x^2}U_{n-1}(x) & \text{se } n = 1, 2, 3, \dots \\ A + B \operatorname{arc} \operatorname{sen} x & \text{se } n = 0 \end{cases}$$

32

Funções Hipergeométricas

Equação diferencial hipergeométrica

$$32.1 \quad x(1-x)y'' + \{c - (a+b+1)x\}y' - aby = 0$$

Funções hipergeométricas

Uma solução de 32.1 é dada por

$$32.2 \quad F(a, b; c; x) = 1 + \frac{a \cdot b}{1 \cdot c} x + \frac{a(a+1)b(b+1)}{1 \cdot 2 \cdot c(c+1)} x^2 + \frac{a(a+1)(a+2)b(b+1)(b+2)}{1 \cdot 2 \cdot 3 \cdot c(c+1)(c+2)} x^3 + \dots$$

Se a, b e c são números reais, então a série converge em $-1 < x < 1$, desde que $c - (a + b) > -1$.

Casos especiais

$$32.3 \quad F(-p, 1; 1; -x) = (1+x)^p$$

$$32.4 \quad F(1, 1; 2; -x) = [\ln(1+x)]/x$$

$$32.5 \quad \lim_{n \rightarrow \infty} F(1, n; 1; x/n) = e^x$$

$$32.6 \quad F\left(\frac{1}{2}, -\frac{1}{2}; \frac{1}{2}; \sin^2 x\right) = \cos x$$

$$32.7 \quad F\left(\frac{1}{2}, 1; 1; \sin^2 x\right) = \sec x$$

$$32.8 \quad F\left(\frac{1}{2}, \frac{1}{2}; \frac{3}{2}; x^2\right) = (\arcsin x)/x$$

$$32.9 \quad F\left(\frac{1}{2}, 1; \frac{3}{2}; -x^2\right) = (\arctg x)/x$$

$$32.10 \quad F(1, p; p; x) = 1/(1-x)$$

$$32.11 \quad F(n+1, -n; 1; (1-x)/2) = P_n(x)$$

$$32.12 \quad F(n, -n; \frac{1}{2}; (1-x)/2) = T_n(x)$$

Solução geral da equação hipergeométrica

Se $a - b$ e $c - a - b$ são todos números não inteiros, então a solução geral válida para $|x| < 1$ é

$$32.13 \quad y = AF(a, b; c; x) + Bx^{1-c}F(a-c+1, b-c+1; 2-c; x)$$

Propriedades diversas

$$32.14 \quad F(a, b; c; 1) = \frac{\Gamma(c)\Gamma(c-a-b)}{\Gamma(c-a)\Gamma(c-b)}$$

$$32.15 \quad \frac{d}{dx} F(a, b; c; x) = \frac{ab}{c} F(a+1, b+1; c+1; x)$$

$$32.16 \quad F(a, b; c; x) = \frac{\Gamma(c)}{\Gamma(b)\Gamma(c-b)} \int_0^1 u^{b-1} (1-u)^{c-b-1} (1-ux)^{-a} du$$

$$32.17 \quad F(a, b; c; x) = (1-x)^{c-a-b} F(c-a, c-b; c; x)$$

33

Transformadas de Laplace

Definição da transformada de Laplace de $F(t)$

$$33.1 \quad \mathcal{L}\{F(t)\} = \int_0^{\infty} e^{-st} F(t) dt = f(s)$$

Em geral, $f(s)$ existirá para $s > \alpha$, onde α é constante. \mathcal{L} é denominado *operador transformada de Laplace*.

Definição da transformada de Laplace inversa de $f(s)$

Se $\mathcal{L}\{F(t)\} = f(s)$, então dizemos que $F(t) = \mathcal{L}^{-1}\{f(s)\}$ é a *transformada de Laplace inversa* de $f(s)$. \mathcal{L}^{-1} é denominado *operador transformada de Laplace inverso*.

Fórmula complexa da inversão

A transformada de Laplace inversa de $f(s)$ pode ser encontrada diretamente pelos métodos da teoria de Variáveis Complexas. O resultado é

$$33.2 \quad F(t) = \frac{1}{2\pi i} \int_{c-i\infty}^{c+i\infty} e^{st} f(s) ds = \frac{1}{2\pi i} \lim_{T \rightarrow \infty} \int_{c-iT}^{c+iT} e^{st} f(s) ds$$

onde c é escolhido de tal modo que todos os pontos singulares de $f(s)$ encontram-se à esquerda da reta $\text{Re}\{s\} = c$ no plano da variável complexa s .

Tabela das propriedades gerais de transformadas de Laplace

| | $f(s)$ | $F(t)$ |
|-------|--|---|
| 33.3 | $af_1(s) + bf_2(s)$ | $aF_1(t) + bF_2(t)$ |
| 33.4 | $f(s/a)$ | $aF(at)$ |
| 33.5 | $f(s - a)$ | $e^{at}F(t)$ |
| 33.6 | $e^{-as}f(s)$ | $\mathcal{U}(t-a) = \begin{cases} F(t-a) & t > a \\ 0 & t < a \end{cases}$ |
| 33.7 | $sf(s) - F(0)$ | $F'(t)$ |
| 33.8 | $s^2f(s) - sF(0) - F'(0)$ | $F''(t)$ |
| 33.9 | $s^n f(s) - s^{n-1}F(0) - s^{n-2}F'(0) - \dots - F^{(n-1)}(0)$ | $F^{(n)}(t)$ |
| 33.10 | $f'(s)$ | $-tF(t)$ |
| 33.11 | $f''(s)$ | $t^2F(t)$ |
| 33.12 | $f^{(n)}(s)$ | $(-1)^n t^n F(t)$ |
| 33.13 | $\frac{f(s)}{s}$ | $\int_0^t F(u) du$ |
| 33.14 | $\frac{f(s)}{s^n}$ | $\int_0^t \dots \int_0^t F(u) du^n = \int_0^t \frac{(t-u)^{n-1}}{(n-1)!} F(u) du$ |
| 33.15 | $f(s)g(s)$ | $\int_0^t F(u)G(t-u) du$ |

| | $f(s)$ | $F(t)$ |
|-------|---|--|
| 33.16 | $\int_s^\infty f(u)du$ | $\frac{F(t)}{t}$ |
| 33.17 | $\frac{1}{1-e^{-sT}} \int_0^T e^{-su} F(u)du$ | $F(t) = F(t+T)$ |
| 33.18 | $\frac{f(\sqrt{s})}{\sqrt{s}}$ | $\frac{1}{\sqrt{\pi t}} \int_0^\infty e^{-u^2/4t} F(u)du$ |
| 33.19 | $\frac{1}{s} f\left(\frac{1}{s}\right)$ | $\int_0^\infty J_0(2\sqrt{ut})F(u)du$ |
| 33.20 | $\frac{1}{s^{n+1}} f\left(\frac{1}{s}\right)$ | $t^{n/2} \int_0^\infty u^{-n/2} J_n(2\sqrt{ut})F(u)du$ |
| 33.21 | $\frac{f(s+1/s)}{s^2+1}$ | $\int_0^t J_0(2\sqrt{u(t-u)})F(u)du$ |
| 33.22 | $\frac{1}{2\sqrt{\pi}} \int_0^\infty u^{-3/2} e^{-s^2/4u} f(u)du$ | $F(t^2)$ |
| 33.23 | $\frac{f(\ln s)}{s \ln s}$ | $\int_0^\infty \frac{t^u F(u)}{\Gamma(u+1)} du$ |
| 33.24 | $\frac{P(s)}{Q(s)}$ $P(s)$ = polinômio de grau menor do que n , $Q(s) = (s - \alpha_1)(s - \alpha_2) \dots (s - \alpha_n)$ onde $\alpha_1, \alpha_2, \dots, \alpha_n$ são todos distintos. | $\sum_{k=1}^n \frac{P(\alpha_k)}{Q'(\alpha_k)} e^{\alpha_k t}$ |

Tabela de transformadas de Laplace especiais

| | $f(s)$ | $F(t)$ |
|-------|--|--|
| 33.25 | $\frac{1}{s}$ | 1 |
| 33.26 | $\frac{1}{s^2}$ | t |
| 33.27 | $\frac{1}{s^n} \quad n = 1, 2, 3, \dots$ | $\frac{t^{n-1}}{(n-1)!}, \quad 0! = 1$ |
| 33.28 | $\frac{1}{s^n} \quad n > 0$ | $\frac{t^{n-1}}{\Gamma(n)}$ |
| 33.29 | $\frac{1}{s-a}$ | e^{at} |
| 33.30 | $\frac{1}{(s-a)^n} \quad n = 1, 2, 3, \dots$ | $\frac{t^{n-1}e^{at}}{(n-1)!}, \quad 0! = 1$ |
| 33.31 | $\frac{1}{(s-a)^n} \quad n > 0$ | $\frac{t^{n-1}e^{at}}{\Gamma(n)}$ |
| 33.32 | $\frac{1}{s^2 + a^2}$ | $\frac{\text{sen } at}{a}$ |
| 33.33 | $\frac{s}{s^2 + a^2}$ | $\cos at$ |
| 33.34 | $\frac{1}{(s-b)^2 + a^2}$ | $\frac{e^{bt} \text{sen } at}{a}$ |
| 33.35 | $\frac{s-b}{(s-b)^2 + a^2}$ | $e^{bt} \cos at$ |
| 33.36 | $\frac{1}{s^2 - a^2}$ | $\frac{\text{sinh } at}{a}$ |
| 33.37 | $\frac{s}{s^2 - a^2}$ | $\cosh at$ |
| 33.38 | $\frac{1}{(s-b)^2 - a^2}$ | $\frac{e^{bt} \text{sinh } at}{a}$ |

| | $f(s)$ | $F(t)$ |
|-------|---------------------------------------|--|
| 33.39 | $\frac{s-b}{(s-b)^2 - a^2}$ | $e^{bt} \cosh at$ |
| 33.40 | $\frac{1}{(s-a)(s-b)} \quad a \neq b$ | $\frac{e^{bt} - e^{at}}{b-a}$ |
| 33.41 | $\frac{s}{(s-a)(s-b)} \quad a \neq b$ | $\frac{be^{bt} - ae^{at}}{b-a}$ |
| 33.42 | $\frac{1}{(s^2 + a^2)^2}$ | $\frac{\text{sen } at - at \cos at}{2a^3}$ |
| 33.43 | $\frac{s}{(s^2 + a^2)^2}$ | $\frac{t \text{ sen } at}{2a}$ |
| 33.44 | $\frac{s^2}{(s^2 + a^2)^2}$ | $\frac{\text{sen } at + at \cos at}{2a}$ |
| 33.45 | $\frac{s^3}{(s^2 + a^2)^2}$ | $\cos at - \frac{1}{2} at \text{ sen } at$ |
| 33.46 | $\frac{s^2 - a^2}{(s^2 + a^2)^2}$ | $t \cos at$ |
| 33.47 | $\frac{1}{(s^2 - a^2)^2}$ | $\frac{at \cosh at - \text{senh } at}{2a^3}$ |
| 33.48 | $\frac{s}{(s^2 - a^2)^2}$ | $\frac{t \text{ senh } at}{2a}$ |
| 33.49 | $\frac{s^2}{(s^2 - a^2)^2}$ | $\frac{\text{senh } at + at \cosh at}{2a}$ |
| 33.50 | $\frac{s^3}{(s^2 - a^2)^2}$ | $\cosh at + \frac{1}{2} at \text{ senh } at$ |
| 33.51 | $\frac{s^2}{(s^2 - a^2)^{3/2}}$ | $t \cosh at$ |
| 33.52 | $\frac{1}{(s^2 + a^2)^3}$ | $\frac{(3 - a^2 t^2) \text{ sen } at - 3at \cos at}{8a^5}$ |
| 33.53 | $\frac{s}{(s^2 + a^2)^3}$ | $\frac{t \text{ sen } at - at^2 \cos at}{8a^3}$ |
| 33.54 | $\frac{s^2}{(s^2 + a^2)^3}$ | $\frac{(1 + a^2 t^2) \text{ sen } at - at \cos at}{8a^3}$ |
| 33.55 | $\frac{s^3}{(s^2 + a^2)^3}$ | $\frac{3t \text{ sen } at + at^2 \cos at}{8a}$ |

| | $f(s)$ | $F(t)$ |
|-------|--|--|
| 33.56 | $\frac{s^4}{(s^2 + a^2)^3}$ | $\frac{(3 - a^2 t^2) \operatorname{sen} at + 5at \operatorname{cos} at}{8a}$ |
| 33.57 | $\frac{s^5}{(s^2 + a^2)^3}$ | $\frac{(8 - a^2 t^2) \operatorname{cos} at - 7at \operatorname{sen} at}{8}$ |
| 33.58 | $\frac{3s^2 - a^2}{(s^2 + a^2)^3}$ | $\frac{t^2 \operatorname{sen} at}{2a}$ |
| 33.59 | $\frac{s^3 - 3a^2 s}{(s^2 + a^2)^3}$ | $\frac{1}{2} t^2 \operatorname{cos} at$ |
| 33.60 | $\frac{s^4 - 6a^2 s^2 + a^4}{(s^2 + a^2)^4}$ | $\frac{1}{6} t^3 \operatorname{cos} at$ |
| 33.61 | $\frac{s^3 - a^2 s}{(s^2 + a^2)^4}$ | $\frac{t^3 \operatorname{sen} at}{24a}$ |
| 33.62 | $\frac{1}{(s^2 - a^2)^3}$ | $\frac{(3 + a^2 t^2) \operatorname{senh} at - 3at \operatorname{cosh} at}{8a^5}$ |
| 33.63 | $\frac{s}{(s^2 - a^2)^3}$ | $\frac{at^2 \operatorname{cosh} at - t \operatorname{senh} at}{8a^3}$ |
| 33.64 | $\frac{s^2}{(s^2 - a^2)^3}$ | $\frac{at \operatorname{cosh} at + (a^2 t^2 - 1) \operatorname{senh} at}{8a^3}$ |
| 33.65 | $\frac{s^3}{(s^2 - a^2)^3}$ | $\frac{3t \operatorname{senh} at + at^2 \operatorname{cosh} at}{8a}$ |
| 33.66 | $\frac{s^4}{(s^2 - a^2)^3}$ | $\frac{(3 + a^2 t^2) \operatorname{senh} at + 5at \operatorname{cosh} at}{8a}$ |
| 33.67 | $\frac{s^5}{(s^2 - a^2)^3}$ | $\frac{(8 + a^2 t^2) \operatorname{cosh} at + 7at \operatorname{senh} at}{8}$ |
| 33.68 | $\frac{3s^2 + a^2}{(s^2 - a^2)^3}$ | $\frac{t^2 \operatorname{senh} at}{2a}$ |
| 33.69 | $\frac{s^3 + 3a^2 s}{(s^2 - a^2)^3}$ | $\frac{1}{2} t^2 \operatorname{cosh} at$ |
| 33.70 | $\frac{s^4 + 6a^2 s^2 + a^4}{(s^2 - a^2)^4}$ | $\frac{1}{6} t^3 \operatorname{cosh} at$ |
| 33.71 | $\frac{s^3 + a^2 s}{(s^2 - a^2)^4}$ | $\frac{t^3 \operatorname{senh} at}{24a}$ |
| 33.72 | $\frac{1}{s^3 + a^3}$ | $\frac{e^{at/2}}{3a^2} \left\{ \sqrt{3} \operatorname{sen} \frac{\sqrt{3}at}{2} - \operatorname{cos} \frac{\sqrt{3}at}{2} + e^{-3at/2} \right\}$ |

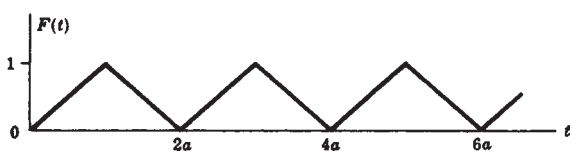
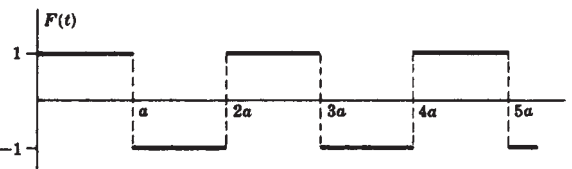
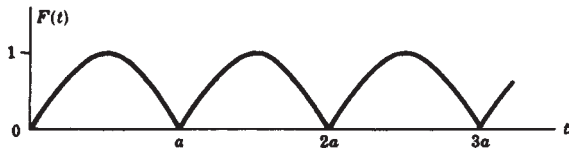
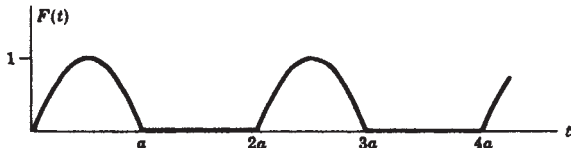
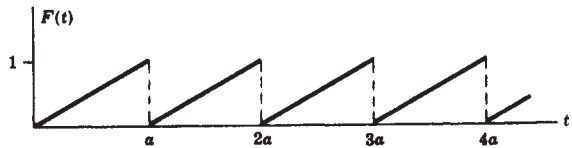
| | $f(s)$ | $F(t)$ |
|-------|-------------------------------------|--|
| 33.73 | $\frac{s}{s^3 + a^3}$ | $\frac{e^{at/2}}{3a} \left\{ \cos \frac{\sqrt{3}at}{2} + \sqrt{3} \operatorname{sen} \frac{\sqrt{3}at}{2} - e^{-3at/2} \right\}$ |
| 33.74 | $\frac{s^2}{s^3 + a^3}$ | $\frac{1}{3} \left(e^{-at} + 2e^{at/2} \cos \frac{\sqrt{3}at}{2} \right)$ |
| 33.75 | $\frac{1}{s^3 - a^3}$ | $\frac{e^{-at/2}}{3a^2} \left\{ e^{3at/2} - \cos \frac{\sqrt{3}at}{2} - \sqrt{3} \operatorname{sen} \frac{\sqrt{3}at}{2} \right\}$ |
| 33.76 | $\frac{s}{s^3 - a^3}$ | $\frac{e^{-at/2}}{3a} \left\{ \sqrt{3} \operatorname{sen} \frac{\sqrt{3}at}{2} - \cos \frac{\sqrt{3}at}{2} + e^{3at/2} \right\}$ |
| 33.77 | $\frac{s^2}{s^3 - a^3}$ | $\frac{1}{3} \left(e^{at} + 2e^{-at/2} \cos \frac{\sqrt{3}at}{2} \right)$ |
| 33.78 | $\frac{1}{s^4 + 4a^4}$ | $\frac{1}{4a^3} (\operatorname{sen} at \operatorname{cosh} at - \cos at \operatorname{senh} at)$ |
| 33.79 | $\frac{s}{s^4 + 4a^4}$ | $\frac{\operatorname{sen} at \operatorname{senh} at}{2a^2}$ |
| 33.80 | $\frac{s^2}{s^4 + 4a^4}$ | $\frac{1}{2a} (\operatorname{sen} at \operatorname{cosh} at + \cos at \operatorname{senh} at)$ |
| 33.81 | $\frac{s^3}{s^4 + 4a^4}$ | $\cos at \operatorname{cosh} at$ |
| 33.82 | $\frac{1}{s^4 - a^4}$ | $\frac{1}{2a^3} (\operatorname{senh} at - \operatorname{sen} at)$ |
| 33.83 | $\frac{s}{s^4 - a^4}$ | $\frac{1}{2a^2} (\operatorname{cosh} at - \cos at)$ |
| 33.84 | $\frac{s^2}{s^4 - a^4}$ | $\frac{1}{2a} (\operatorname{senh} at + \operatorname{sen} at)$ |
| 33.85 | $\frac{s^3}{s^4 - a^4}$ | $\frac{1}{2} (\operatorname{cosh} at + \cos at)$ |
| 33.86 | $\frac{1}{\sqrt{s+a} + \sqrt{s+b}}$ | $\frac{e^{-bt} - e^{-at}}{2(b-a)\sqrt{\pi t^3}}$ |
| 33.87 | $\frac{1}{s\sqrt{s+a}}$ | $\frac{\operatorname{erf} \sqrt{at}}{\sqrt{a}}$ |
| 33.88 | $\frac{1}{\sqrt{s(s-a)}}$ | $\frac{e^{at} \operatorname{erf} \sqrt{at}}{\sqrt{a}}$ |
| 33.89 | $\frac{1}{\sqrt{s-a+b}}$ | $e^{at} \left\{ \frac{1}{\sqrt{\pi t}} - b e^{b^2 t} \operatorname{erfc}(b\sqrt{t}) \right\}$ |

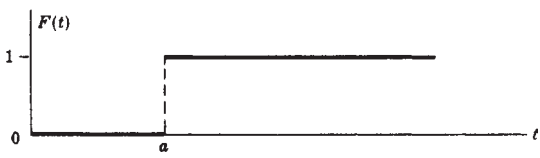
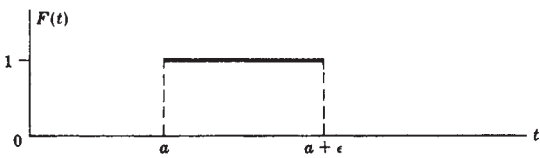
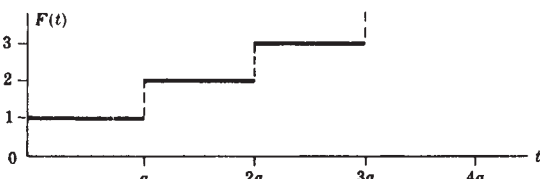
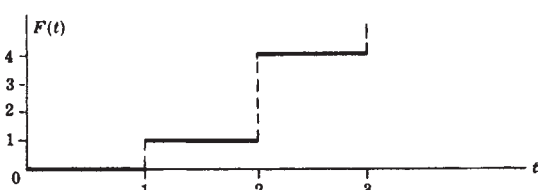
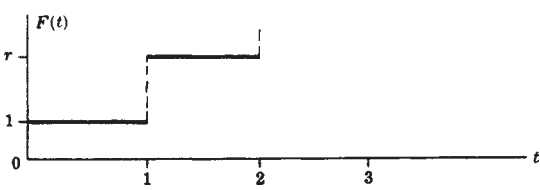
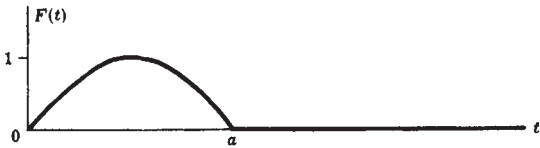
| | $f(s)$ | $F(t)$ |
|--------|--|---|
| 33.90 | $\frac{1}{\sqrt{s^2 + a^2}}$ | $J_0(at)$ |
| 33.91 | $\frac{1}{\sqrt{s^2 - a^2}}$ | $I_0(at)$ |
| 33.92 | $\frac{(\sqrt{s^2 + a^2} - s)^n}{\sqrt{s^2 + a^2}} \quad n > -1$ | $a^n J_n(at)$ |
| 33.93 | $\frac{(s - \sqrt{s^2 - a^2})^n}{\sqrt{s^2 - a^2}} \quad n > -1$ | $a^n I_n(at)$ |
| 33.94 | $\frac{e^{b(s - \sqrt{s^2 + a^2})}}{\sqrt{s^2 + a^2}}$ | $J_0(a\sqrt{t(t + 2b)})$ |
| 33.95 | $\frac{e^{-b\sqrt{s^2 + a^2}}}{\sqrt{s^2 + a^2}}$ | $\begin{cases} J_0(a\sqrt{t^2 - b^2}) & t > b \\ 0 & t < b \end{cases}$ |
| 33.96 | $\frac{1}{(s^2 + a^2)^{3/2}}$ | $\frac{tJ_1(at)}{a}$ |
| 33.97 | $\frac{s}{(s^2 + a^2)^{3/2}}$ | $tJ_0(at)$ |
| 33.98 | $\frac{s^2}{(s^2 + a^2)^{3/2}}$ | $J_0(at) - atJ_1(at)$ |
| 33.99 | $\frac{1}{(s^2 - a^2)^{3/2}}$ | $\frac{tI_1(at)}{a}$ |
| 33.100 | $\frac{s}{(s^2 - a^2)^{3/2}}$ | $tI_0(at)$ |
| 33.101 | $\frac{s^2}{(s^2 - a^2)^{3/2}}$ | $I_0(at) + atI_1(at)$ |
| 33.102 | $\frac{1}{s(e^s - 1)} = \frac{e^{-s}}{s(1 - e^{-s})}$ Ver também 33.165. | $F(t) = n, n \leq t < n + 1, n = 0, 1, 2, \dots$ |
| 33.103 | $\frac{1}{s(e^s - r)} = \frac{e^{-s}}{s(1 - re^{-s})}$ | $F(t) = \sum_{k=1}^{[t]} r^k$ onde $[t]$ = maior inteiro $\leq t$ |
| 33.104 | $\frac{e^s - 1}{s(e^s - r)} = \frac{1 - e^{-s}}{s(1 - re^{-s})}$ Ver também 33.167. | $F(t) = r^n, n \leq t < n + 1, n = 0, 1, 2, \dots$ |
| 33.105 | $\frac{e^{-a/s}}{\sqrt{s}}$ | $\frac{\cos 2\sqrt{at}}{\sqrt{\pi t}}$ |

| | $f(s)$ | $F(t)$ |
|--------|---|---|
| 33.106 | $\frac{e^{-a/s}}{s^{3/2}}$ | $\frac{\text{sen } 2\sqrt{at}}{\sqrt{\pi a}}$ |
| 33.107 | $\frac{e^{-a/s}}{s^{n+1}} \quad n > -1$ | $\left(\frac{t}{a}\right)^{n/2} J_n(2\sqrt{at})$ |
| 33.108 | $\frac{e^{-a\sqrt{s}}}{\sqrt{s}}$ | $\frac{e^{-a^2/4t}}{\sqrt{\pi t}}$ |
| 33.109 | $e^{-a\sqrt{s}}$ | $\frac{a}{2\sqrt{\pi t^3}} e^{-a^2/4t}$ |
| 33.110 | $\frac{1 - e^{-a\sqrt{s}}}{s}$ | $\text{erf}(a/2\sqrt{t})$ |
| 33.111 | $\frac{e^{-a\sqrt{s}}}{s}$ | $\text{erfc}(a/2\sqrt{t})$ |
| 33.112 | $\frac{e^{-a\sqrt{s}}}{\sqrt{s}(\sqrt{s} + b)}$ | $e^{b(bt+a)} \text{erfc}\left(b\sqrt{t} + \frac{a}{2\sqrt{t}}\right)$ |
| 33.113 | $\frac{e^{-a/\sqrt{s}}}{s^{n+1}} \quad n > -1$ | $\frac{1}{\sqrt{\pi t a^{2n+1}}} \int_0^\infty u^n e^{-u^2/4a^2t} J_{2n}(2\sqrt{u}) du$ |
| 33.114 | $\ln\left(\frac{s+a}{s+b}\right)$ | $\frac{e^{-bt} - e^{-at}}{t}$ |
| 33.115 | $\frac{\ln[(s^2+a^2)/a^2]}{2s}$ | $Ci(at)$ |
| 33.116 | $\frac{\ln[(s+a)/a]}{s}$ | $Ei(at)$ |
| 33.117 | $-\frac{(\gamma + \ln s)}{s}$ $\gamma = \text{constante de Euler} = 0,5772156 \dots$ | $\ln t$ |
| 33.118 | $\ln\left(\frac{s^2+a^2}{s^2+b^2}\right)$ | $\frac{2(\cos at - \cos bt)}{t}$ |
| 33.119 | $\frac{\pi^2}{6s} + \frac{(\gamma + \ln s)^2}{s}$ $\gamma = \text{constante de Euler} = 0,5772156 \dots$ | $\ln^2 t$ |
| 33.120 | $\frac{\ln s}{s}$ | $-(\ln t + \gamma)$ $\gamma = \text{constante de Euler} = 0,5772156 \dots$ |
| 33.121 | $\frac{\ln^2 s}{s}$ | $(\ln t + \gamma)^2 - \frac{1}{6}\pi^2$ $\gamma = \text{constante de Euler} = 0,5772156 \dots$ |

| | $f(s)$ | $F(t)$ |
|--------|--|--|
| 33.122 | $\frac{\Gamma'(n+1) - \Gamma(n+1) \ln s}{s^{n+1}} \quad n > -1$ | $t^n \ln t$ |
| 33.123 | $\text{arc tg}(a/s)$ | $\frac{\text{sen } at}{t}$ |
| 33.124 | $\frac{\text{arc tg}(a/s)}{s}$ | $Si(at)$ |
| 33.125 | $\frac{e^{as}}{\sqrt{s}} \text{erfc}(\sqrt{a/s})$ | $\frac{e^{-2\sqrt{at}}}{\sqrt{\pi t}}$ |
| 33.126 | $e^{s^2/4a^2} \text{erfc}(s/2a)$ | $\frac{2a}{\sqrt{\pi}} e^{-a^2 t^2}$ |
| 33.127 | $\frac{e^{s^2/4a^2} \text{erfc}(s/2a)}{s}$ | $\text{erf}(at)$ |
| 33.128 | $\frac{e^{as} \text{erfc} \sqrt{as}}{\sqrt{s}}$ | $\frac{1}{\sqrt{\pi(t+a)}}$ |
| 33.129 | $e^{as} Ei(as)$ | $\frac{1}{t+a}$ |
| 33.130 | $\frac{1}{a} \left[\cos as \left\{ \frac{\pi}{2} - Si(as) \right\} - \text{sen } as Ci(as) \right]$ | $\frac{1}{t^2 + a^2}$ |
| 33.131 | $\text{sen } as \left\{ \frac{\pi}{2} - Si(as) \right\} + \cos as Ci(as)$ | $\frac{t}{t^2 + a^2}$ |
| 33.132 | $\frac{\cos as \left\{ \frac{\pi}{2} - Si(as) \right\} - \text{sen } as Ci(as)}{s}$ | $\text{arc tg}(t/a)$ |
| 33.133 | $\frac{\text{sen } as \left\{ \frac{\pi}{2} - Si(as) \right\} - \cos as Ci(as)}{s}$ | $\frac{1}{2} \ln \left(\frac{t^2 + a^2}{a^2} \right)$ |
| 33.134 | $\left[\frac{\pi}{2} - Si(as) \right]^2 + Ci^2(as)$ | $\frac{1}{t} \ln \left(\frac{t^2 + a^2}{a^2} \right)$ |
| 33.135 | 0 | $\mathcal{N}(t) = \text{função nula}$ |
| 33.136 | 1 | $\delta(t) = \text{função delta}$ |
| 33.137 | e^{-as} | $\delta(t-a)$ |
| 33.138 | $\frac{e^{-as}}{s}$ Ver también 33.163. | $\mathcal{U}(t-a)$ |

| | $f(s)$ | $F(t)$ |
|--------|--|--|
| 33.139 | $\frac{\sinh sx}{s \sinh sa}$ | $\frac{x}{a} + \frac{2}{\pi} \sum_{n=1}^{\infty} \frac{(-1)^n}{n} \operatorname{sen} \frac{n\pi x}{a} \cos \frac{n\pi t}{a}$ |
| 33.140 | $\frac{\sinh sx}{s \cosh sa}$ | $\frac{4}{\pi} \sum_{n=1}^{\infty} \frac{(-1)^n}{2n-1} \operatorname{sen} \frac{(2n-1)\pi x}{2a} \operatorname{sen} \frac{(2n-1)\pi t}{2a}$ |
| 33.141 | $\frac{\cosh sx}{s \sinh as}$ | $\frac{t}{a} + \frac{2}{\pi} \sum_{n=1}^{\infty} \frac{(-1)^n}{n} \cos \frac{n\pi x}{a} \operatorname{sen} \frac{n\pi t}{a}$ |
| 33.142 | $\frac{\cosh sx}{s \cosh sa}$ | $1 + \frac{4}{\pi} \sum_{n=1}^{\infty} \frac{(-1)^n}{2n-1} \cos \frac{(2n-1)\pi x}{2a} \cos \frac{(2n-1)\pi t}{2a}$ |
| 33.143 | $\frac{\sinh sx}{s^2 \sinh sa}$ | $\frac{xt}{a} + \frac{2a}{\pi^2} \sum_{n=1}^{\infty} \frac{(-1)^n}{n^2} \operatorname{sen} \frac{n\pi x}{a} \operatorname{sen} \frac{n\pi t}{a}$ |
| 33.144 | $\frac{\sinh sx}{s^2 \cosh sa}$ | $x + \frac{8a}{\pi^2} \sum_{n=1}^{\infty} \frac{(-1)^n}{(2n-1)^2} \operatorname{sen} \frac{(2n-1)\pi x}{2a} \cos \frac{(2n-1)\pi t}{2a}$ |
| 33.145 | $\frac{\cosh sx}{s^2 \sinh sa}$ | $\frac{t^2}{2a} + \frac{2a}{\pi^2} \sum_{n=1}^{\infty} \frac{(-1)^n}{n^2} \cos \frac{n\pi x}{a} \left(1 - \cos \frac{n\pi t}{a}\right)$ |
| 33.146 | $\frac{\cosh sx}{s^2 \cosh sa}$ | $t + \frac{8a}{\pi^2} \sum_{n=1}^{\infty} \frac{(-1)^n}{(2n-1)^2} \cos \frac{(2n-1)\pi x}{2a} \operatorname{sen} \frac{(2n-1)\pi t}{2a}$ |
| 33.147 | $\frac{\cosh sx}{s^3 \cosh sa}$ | $\frac{1}{2}(t^2 + x^2 - a^2) - \frac{16a^2}{\pi^3} \sum_{n=1}^{\infty} \frac{(-1)^n}{(2n-1)^3} \cos \frac{(2n-1)\pi x}{2a} \cos \frac{(2n-1)\pi t}{2a}$ |
| 33.148 | $\frac{\sinh x\sqrt{s}}{\sinh a\sqrt{s}}$ | $\frac{2\pi}{a^2} \sum_{n=1}^{\infty} (-1)^n n e^{-n^2\pi^2 t/a^2} \operatorname{sen} \frac{n\pi x}{a}$ |
| 33.149 | $\frac{\cosh x\sqrt{s}}{\cosh a\sqrt{s}}$ | $\frac{\pi}{a^2} \sum_{n=1}^{\infty} (-1)^{n-1} (2n-1) e^{-(2n-1)^2\pi^2 t/4a^2} \cos \frac{(2n-1)\pi x}{2a}$ |
| 33.150 | $\frac{\sinh x\sqrt{s}}{\sqrt{s} \cosh a\sqrt{s}}$ | $\frac{2}{a} \sum_{n=1}^{\infty} (-1)^{n-1} e^{-(2n-1)^2\pi^2 t/4a^2} \operatorname{sen} \frac{(2n-1)\pi x}{2a}$ |
| 33.151 | $\frac{\cosh x\sqrt{s}}{\sqrt{s} \sinh a\sqrt{s}}$ | $\frac{1}{a} + \frac{2}{a} \sum_{n=1}^{\infty} (-1)^n e^{-n^2\pi^2 t/a^2} \cos \frac{n\pi x}{a}$ |
| 33.152 | $\frac{\sinh x\sqrt{s}}{s \sinh a\sqrt{s}}$ | $\frac{x}{a} + \frac{2}{\pi} \sum_{n=1}^{\infty} \frac{(-1)^n}{n} e^{-n^2\pi^2 t/a^2} \operatorname{sen} \frac{n\pi x}{a}$ |
| 33.153 | $\frac{\cosh x\sqrt{s}}{s \cosh a\sqrt{s}}$ | $1 + \frac{4}{\pi} \sum_{n=1}^{\infty} \frac{(-1)^n}{2n-1} e^{-(2n-1)^2\pi^2 t/4a^2} \cos \frac{(2n-1)\pi x}{2a}$ |
| 33.154 | $\frac{\sinh x\sqrt{s}}{s^2 \sinh a\sqrt{s}}$ | $\frac{xt}{a} + \frac{2a^2}{\pi^3} \sum_{n=1}^{\infty} \frac{(-1)^n}{n^3} (1 - e^{-n^2\pi^2 t/a^2}) \operatorname{sen} \frac{n\pi x}{a}$ |
| 33.155 | $\frac{\cosh x\sqrt{s}}{s^2 \cosh a\sqrt{s}}$ | $\frac{1}{2}(x^2 - a^2) + t - \frac{16a^2}{\pi^3} \sum_{n=1}^{\infty} \frac{(-1)^n}{(2n-1)^3} e^{-(2n-1)^2\pi^2 t/4a^2} \cos \frac{(2n-1)\pi x}{2a}$ |

| | $f(s)$ | $F(t)$ |
|--------|---|--|
| 33.156 | $\frac{J_0(ix\sqrt{s})}{sJ_0(ia\sqrt{s})}$ | $1 - 2\sum_{n=1}^{\infty} \frac{e^{-\lambda_n^2 t/a^2} J_0(\lambda_n x/a)}{\lambda_n J_1(\lambda_n)}$ onde $\lambda_1, \lambda_2, \dots$ são as raízes positivas de $J_0(\lambda) = 0$ |
| 33.157 | $\frac{J_0(ix\sqrt{s})}{s^2 J_0(ia\sqrt{s})}$ | $\frac{1}{4}(x^2 - a^2) + t + 2a^2 \sum_{n=1}^{\infty} \frac{e^{-\lambda_n^2 t/a^2} J_0(\lambda_n x/a)}{\lambda_n^3 J_1(\lambda_n)}$ onde $\lambda_1, \lambda_2, \dots$ são as raízes positivas de $J_0(\lambda) = 0$ |
| 33.158 | $\frac{1}{as^2} \operatorname{tgh}\left(\frac{as}{2}\right)$ | Função onda triangular  <i>Fig. 33-1</i> |
| 33.159 | $\frac{1}{s} \operatorname{tgh}\left(\frac{as}{2}\right)$ | Função onda quadrada  <i>Fig. 33-2</i> |
| 33.160 | $\frac{\pi a}{a^2 s^2 + \pi^2} \operatorname{cotgh}\left(\frac{as}{2}\right)$ | Função onda senoidal retificada  <i>Fig. 33-3</i> |
| 33.161 | $\frac{\pi a}{(a^2 s^2 + \pi^2)(1 - e^{-as})}$ | Função onda senoidal semirretificada  <i>Fig. 33-4</i> |
| 33.162 | $\frac{1}{as^2} - \frac{e^{-as}}{s(1 - e^{-as})}$ | Função onda dente de serra  <i>Fig. 33-5</i> |

| | $f(s)$ | $F(t)$ |
|--------|---|---|
| 33.163 | $\frac{e^{-as}}{s}$ Ver também 33.138. | <p>Função unitária de Heaviside $\mathcal{U}(t-a)$</p>  <p style="text-align: center;">Fig. 33-6</p> |
| 33.164 | $\frac{e^{-as}(1-e^{-\epsilon s})}{s}$ | <p>Função pulso</p>  <p style="text-align: center;">Fig. 33-7</p> |
| 33.165 | $\frac{1}{s(1-e^{-as})}$ Ver também 33.102. | <p>Função escada</p>  <p style="text-align: center;">Fig. 33-8</p> |
| 33.166 | $\frac{e^{-s} + e^{-2s}}{s(1-e^{-s})^2}$ | <p>$F(t) = n^2, n \leq t < n+1, n = 0, 1, 2, \dots$</p>  <p style="text-align: center;">Fig. 33-9</p> |
| 33.167 | $\frac{1-e^{-s}}{s(1-re^{-s})}$ Ver também 33.104. | <p>$F(t) = r^n, n \leq t < n+1, n = 0, 1, 2, \dots$</p>  <p style="text-align: center;">Fig. 33-10</p> |
| 33.168 | $\frac{\pi a(1+e^{-as})}{a^2 s^2 + \pi^2}$ | <p>$F(t) = \begin{cases} \text{sen}(\pi t/a) & 0 \leq t \leq a \\ 0 & t > a \end{cases}$</p>  <p style="text-align: center;">Fig. 33-11</p> |

Transformadas de Fourier

Teorema integral de Fourier

$$34.1 \quad f(x) = \int_0^{\infty} \{A(\alpha) \cos \alpha x + B(\alpha) \sin \alpha x\} d\alpha$$

onde

$$34.2 \quad \begin{cases} A(\alpha) = \frac{1}{\pi} \int_{-\infty}^{\infty} f(x) \cos \alpha x dx \\ B(\alpha) = \frac{1}{\pi} \int_{-\infty}^{\infty} f(x) \sin \alpha x dx \end{cases}$$

Condições suficientes para valer este teorema são:

- (i) $f(x)$ e $f'(x)$ são contínuas por partes em cada intervalo finito $-L < x < L$;
- (ii) $\int_{-\infty}^{\infty} |f(x)| dx$ converge;
- (iii) $f(x)$ é substituído por $\frac{1}{2} \{f(x+0) + f(x-0)\}$, se x é um ponto de descontinuidade.

Formas equivalentes do teorema integral de Fourier

$$34.3 \quad f(x) = \frac{1}{2\pi} \int_{\alpha=-\infty}^{\infty} \int_{u=-\infty}^{\infty} f(u) \cos \alpha(x-u) du d\alpha$$

$$34.4 \quad f(x) = \frac{1}{2\pi} \int_{-\infty}^{\infty} e^{i\alpha x} d\alpha \int_{-\infty}^{\infty} f(u) e^{-i\alpha u} du \\ = \frac{1}{2\pi} \int_{-\infty}^{\infty} \int_{-\infty}^{\infty} f(u) e^{i\alpha(x-u)} du d\alpha$$

$$34.5 \quad f(x) = \frac{2}{\pi} \int_0^{\infty} \sin \alpha x d\alpha \int_0^{\infty} f(u) \sin \alpha u du$$

onde $f(x)$ é uma *função ímpar* [$f(-x) = -f(x)$].

$$34.6 \quad f(x) = \frac{2}{\pi} \int_0^{\infty} \cos \alpha x d\alpha \int_0^{\infty} f(u) \cos \alpha u du$$

onde $f(x)$ é uma *função par* [$f(-x) = f(x)$].

Transformadas de Fourier

A transformada de Fourier de $f(x)$ é definida por

$$34.7 \quad \mathcal{F}\{f(x)\} = F(\alpha) = \int_{-\infty}^{\infty} f(x)e^{-i\alpha x} dx$$

Então, por 34.7, a transformada de Fourier inversa de $F(\alpha)$ é

$$34.8 \quad \mathcal{F}^{-1}\{F(\alpha)\} = f(x) = \frac{1}{2\pi} \int_{-\infty}^{\infty} F(\alpha)e^{i\alpha x} d\alpha$$

Chamamos $f(x)$ e $F(\alpha)$ de *pares de transformadas de Fourier*.

Teorema da convolução para transformadas de Fourier

Se $F(\alpha) = \mathcal{F}\{f(x)\}$ e $G(\alpha) = \mathcal{F}\{g(x)\}$, então

$$34.9 \quad \frac{1}{2\pi} \int_{-\infty}^{\infty} F(\alpha)G(\alpha)e^{i\alpha x} d\alpha = \int_{-\infty}^{\infty} f(u)g(x-u) du = f^*g$$

onde f^*g é denominada *convolução* de f e g . Assim,

$$34.10 \quad \mathcal{F}\{f^*g\} = \mathcal{F}\{f\} \mathcal{F}\{g\}$$

Identidade de Parseval

Se $F(\alpha) = \mathcal{F}\{f(x)\}$, então

$$34.11 \quad \int_{-\infty}^{\infty} |f(x)|^2 dx = \frac{1}{2\pi} \int_{-\infty}^{\infty} |F(\alpha)|^2 d\alpha$$

Mais geralmente, se $F(\alpha) = \mathcal{F}\{f(x)\}$ e $G(\alpha) = \mathcal{F}\{g(x)\}$, então

$$34.12 \quad \int_{-\infty}^{\infty} f(x)\overline{g(x)} dx = \frac{1}{2\pi} \int_{-\infty}^{\infty} F(\alpha)\overline{G(\alpha)} d\alpha$$

onde a barra denota o conjugado complexo.

Transformada seno de Fourier

A transformada seno de Fourier de $f(x)$ é definida por

$$34.13 \quad F_s(\alpha) = \mathcal{F}_s\{f(x)\} = \int_0^{\infty} f(x) \sin \alpha x dx$$

Então, por 34.13, a transformada seno de Fourier inversa de $F_s(\alpha)$ é

$$34.14 \quad f(x) = \mathcal{F}_s^{-1}\{F_s(\alpha)\} = \frac{2}{\pi} \int_0^{\infty} F_s(\alpha) \sin \alpha x d\alpha$$

Transformada cosseno de Fourier

A transformada cosseno de Fourier de $f(x)$ é definida por

$$34.15 \quad F_c(\alpha) = \mathcal{F}_c\{f(x)\} = \int_0^{\infty} f(x) \cos \alpha x \, dx$$

Então, por 34.15, a transformada seno de Fourier inversa de $F_c(\alpha)$ é

$$34.16 \quad f(x) = \mathcal{F}_c^{-1}\{F_c(\alpha)\} = \frac{2}{\pi} \int_0^{\infty} F_c(\alpha) \cos \alpha x \, d\alpha$$

Pares de transformada de Fourier especiais

| | $f(x)$ | $F(\alpha)$ |
|-------|--|--|
| 34.17 | $\begin{cases} 1 & x < b \\ 0 & x > b \end{cases}$ | $\frac{2 \operatorname{sen} b\alpha}{\alpha}$ |
| 34.18 | $\frac{1}{x^2 + b^2}$ | $\frac{\pi e^{-b\alpha}}{b}$ |
| 34.19 | $\frac{x}{x^2 + b^2}$ | $-i\pi e^{-b\alpha}$ |
| 34.20 | $f^{(n)}(x)$ | $i^n \alpha^n F(\alpha)$ |
| 34.21 | $x^n f(x)$ | $i^n \frac{d^n F}{d\alpha^n}$ |
| 34.22 | $f(bx)e^{itx}$ | $\frac{1}{b} F\left(\frac{\alpha - t}{b}\right)$ |

Transformadas seno de Fourier especiais

| | $f(x)$ | $F_c(\alpha)$ |
|-------|--|--|
| 34.23 | $\begin{cases} 1 & 0 < x < b \\ 0 & x > b \end{cases}$ | $\frac{1 - \cos b\alpha}{\alpha}$ |
| 34.24 | x^{-1} | $\frac{\pi}{2}$ |
| 34.25 | $\frac{x}{x^2 + b^2}$ | $\frac{\pi}{2} e^{-b\alpha}$ |
| 34.26 | e^{-bx} | $\frac{\alpha}{\alpha^2 + b^2}$ |
| 34.27 | $x^{n-1} e^{-bx}$ | $\frac{\Gamma(n) \operatorname{sen}(n \operatorname{arc} \operatorname{tg} \alpha/b)}{(\alpha^2 + b^2)^{n/2}}$ |
| 34.28 | $x e^{-bx^2}$ | $\frac{\sqrt{\pi}}{4b^{3/2}} \alpha e^{-\alpha^2/4b}$ |
| 34.29 | $x^{-1/2}$ | $\sqrt{\frac{\pi}{2\alpha}}$ |
| 34.30 | x^{-n} | $\frac{\pi \alpha^{n-1} \operatorname{cosec}(n\pi/2)}{2\Gamma(n)} \quad 0 < n < 2$ |
| 34.31 | $\frac{\operatorname{sen} bx}{x}$ | $\frac{1}{2} \ln \left(\frac{\alpha + b}{\alpha - b} \right)$ |
| 34.32 | $\frac{\operatorname{sen} bx}{x^2}$ | $\begin{cases} \pi \alpha / 2 & \alpha < b \\ \pi b / 2 & \alpha > b \end{cases}$ |
| 34.33 | $\frac{\cos bx}{x}$ | $\begin{cases} 0 & \alpha < b \\ \pi / 4 & \alpha = b \\ \pi / 2 & \alpha > b \end{cases}$ |
| 34.34 | $\operatorname{arc} \operatorname{tg} (x / b)$ | $\frac{\pi}{2\alpha} e^{-b\alpha}$ |
| 34.35 | $\operatorname{cosec} bx$ | $\frac{\pi}{2b} \operatorname{tgh} \frac{\pi\alpha}{2b}$ |
| 34.36 | $\frac{1}{e^{2x} - 1}$ | $\frac{\pi}{4} \operatorname{cotgh} \left(\frac{\pi\alpha}{2} \right) - \frac{1}{2\alpha}$ |

Transformadas cosseno de Fourier especiais

| | $f(x)$ | $F_c(\alpha)$ |
|-------|--|---|
| 34.37 | $\begin{cases} 1 & 0 < x < b \\ 0 & x > b \end{cases}$ | $\frac{\text{sen } b\alpha}{\alpha}$ |
| 34.38 | $\frac{1}{x^2 + b^2}$ | $\frac{\pi e^{-b\alpha}}{2b}$ |
| 34.39 | e^{-bx} | $\frac{b}{\alpha^2 + b^2}$ |
| 34.40 | $x^{n-1}e^{-bx}$ | $\frac{\Gamma(n) \cos(n \text{ arc tg } \alpha/b)}{(\alpha^2 + b^2)^{n/2}}$ |
| 34.41 | e^{-bx^2} | $\frac{1}{2} \sqrt{\frac{\pi}{b}} e^{-\alpha^2/4b}$ |
| 34.42 | $x^{-1/2}$ | $\sqrt{\frac{\pi}{2\alpha}}$ |
| 34.43 | x^{-n} | $\frac{\pi \alpha^{n-1} \sec(n\pi/2)}{2\Gamma(n)}, \quad 0 < n < 1$ |
| 34.44 | $\ln\left(\frac{x^2 + b^2}{x^2 + c^2}\right)$ | $\frac{e^{-c\alpha} - e^{-b\alpha}}{\pi\alpha}$ |
| 34.45 | $\frac{\text{sen } bx}{x}$ | $\begin{cases} \pi/2 & \alpha < b \\ \pi/4 & \alpha = b \\ 0 & \alpha > b \end{cases}$ |
| 34.46 | $\text{sen } bx^2$ | $\sqrt{\frac{\pi}{8b}} \left(\cos \frac{\alpha^2}{4b} - \text{sen } \frac{\alpha^2}{4b} \right)$ |
| 34.47 | $\text{cos } bx^2$ | $\sqrt{\frac{\pi}{8b}} \left(\cos \frac{\alpha^2}{4b} + \text{sen } \frac{\alpha^2}{4b} \right)$ |
| 34.48 | $\text{sech } bx$ | $\frac{\pi}{2b} \text{sech } \frac{\pi\alpha}{2b}$ |
| 34.49 | $\frac{\cosh(\sqrt{\pi x}/2)}{\cosh(\sqrt{\pi x})}$ | $\frac{\sqrt{\pi}}{2} \frac{\cosh(\sqrt{\pi}\alpha/2)}{\cosh(\sqrt{\pi}\alpha)}$ |
| 34.50 | $\frac{e^{-b\sqrt{x}}}{\sqrt{x}}$ | $\sqrt{\frac{\pi}{2\alpha}} \{ \cos(2b\sqrt{\alpha}) - \text{sen}(2b\sqrt{\alpha}) \}$ |

Integral elíptica incompleta de 1ª espécie

$$35.1 \quad u = F(k, \phi) = \int_0^\phi \frac{d\theta}{\sqrt{1-k^2 \sin^2 \theta}} = \int_0^x \frac{dv}{\sqrt{(1-v^2)(1-k^2v^2)}}$$

onde $\phi = \text{am } u$ é denominada *amplitude* de u , $x = \sin \phi$ e sempre $0 < k < 1$, tanto nesta equação quanto nas equações a seguir.

Integral elíptica completa de 1ª espécie

$$35.2 \quad K = F(k, \pi/2) = \int_0^{\pi/2} \frac{d\theta}{\sqrt{1-k^2 \sin^2 \theta}} = \int_0^1 \frac{dv}{\sqrt{(1-v^2)(1-k^2v^2)}}$$
$$= \frac{\pi}{2} \left\{ 1 + \left(\frac{1}{2}\right)^2 k^2 + \left(\frac{1 \cdot 3}{2 \cdot 4}\right)^2 k^4 + \left(\frac{1 \cdot 3 \cdot 5}{2 \cdot 4 \cdot 6}\right)^2 k^6 + \dots \right\}$$

Integral elíptica incompleta de 2ª espécie

$$35.3 \quad E(k, \phi) = \int_0^\phi \sqrt{1-k^2 \sin^2 \theta} \, d\theta = \int_0^x \frac{\sqrt{1-k^2v^2}}{\sqrt{1-v^2}} \, dv$$

Integral elíptica completa de 2ª espécie

$$35.4 \quad E = E(k, \pi/2) = \int_0^{\pi/2} \sqrt{1-k^2 \sin^2 \theta} \, d\theta = \int_0^1 \frac{\sqrt{1-k^2v^2}}{\sqrt{1-v^2}} \, dv$$
$$= \frac{\pi}{2} \left\{ 1 - \left(\frac{1}{2}\right)^2 k^2 - \left(\frac{1 \cdot 3}{2 \cdot 4}\right)^2 \frac{k^4}{3} - \left(\frac{1 \cdot 3 \cdot 5}{2 \cdot 4 \cdot 6}\right)^2 \frac{k^6}{5} - \dots \right\}$$

Integral elíptica incompleta de 3ª espécie

$$35.5 \quad \Pi(k, n, \phi) = \int_0^\phi \frac{d\theta}{(1+n\sin^2\theta)\sqrt{1-k^2\sin^2\theta}} = \int_0^x \frac{dv}{(1+nv^2)\sqrt{(1-v^2)(1-k^2v^2)}}$$

Integral elíptica completa de 3ª espécie

$$35.6 \quad \Pi(k, n, \pi/2) = \int_0^{\pi/2} \frac{d\theta}{(1+n\sin^2\theta)\sqrt{1-k^2\sin^2\theta}} = \int_0^1 \frac{dv}{(1+nv^2)\sqrt{(1-v^2)(1-k^2v^2)}}$$

Transformação de Landen

$$35.7 \quad \operatorname{tg} \phi = \frac{\operatorname{sen} 2\phi_1}{k + \cos 2\phi_1} \quad \text{ou} \quad k \operatorname{sen} \phi = \operatorname{sen} (2\phi_1 - \phi)$$

Isto resulta em

$$35.8 \quad F(k, \phi) = \int_0^\phi \frac{d\theta}{\sqrt{1-k^2\sin^2\theta}} = \frac{2}{1+k} \int_0^{\phi_1} \frac{d\theta_1}{\sqrt{1-k_1^2\sin^2\theta_1}}$$

onde $k_1 = 2\sqrt{k}/(1+k)$. Por aplicações sucessivas são obtidas seqüências k_1, k_2, k_3, \dots e $\phi_1, \phi_2, \phi_3, \dots$ tais que $k < k_1 < k_2 < k_3 < \dots < 1$, onde $\lim_{n \rightarrow \infty} k_n = 1$. Segue-se que

$$35.9 \quad F(k, \Phi) = \sqrt{\frac{k_1 k_2 k_3 \dots}{k}} \int_0^\Phi \frac{d\theta}{\sqrt{1-\sin^2\theta}} = \sqrt{\frac{k_1 k_2 k_3 \dots}{k}} \ln \operatorname{tg} \left(\frac{\pi}{4} + \frac{\Phi}{2} \right)$$

onde

$$35.10 \quad k_1 = \frac{2\sqrt{k}}{1+k}, \quad k_2 = \frac{2\sqrt{k_1}}{1+k_1}, \quad \dots \quad \text{e} \quad \Phi = \lim_{n \rightarrow \infty} \phi_n$$

Este resultado é usado no cálculo aproximado de $F(k, \phi)$.

Funções elípticas de Jacobi

A partir de 35.1, definimos as seguintes funções elípticas:

$$35.11 \quad x = \operatorname{sen}(\operatorname{am} u) = \operatorname{sn} u$$

$$35.12 \quad \sqrt{1-x^2} = \cos(\operatorname{am} u) = \operatorname{cn} u$$

$$35.13 \quad \sqrt{1-k^2x^2} = \sqrt{1-k^2\operatorname{sn}^2 u} = \operatorname{dn} u$$

Podemos também definir as funções inversas de $\operatorname{sn} u$, $\operatorname{cn} u$ e $\operatorname{dn} u$, bem como as seguintes.

$$35.14 \quad \operatorname{ns} u = \frac{1}{\operatorname{sn} u}$$

$$35.17 \quad \operatorname{sc} u = \frac{\operatorname{sn} u}{\operatorname{cn} u}$$

$$35.20 \quad \operatorname{cs} u = \frac{\operatorname{cn} u}{\operatorname{sn} u}$$

$$35.15 \quad \operatorname{nc} u = \frac{1}{\operatorname{cn} u}$$

$$35.18 \quad \operatorname{sd} u = \frac{\operatorname{sn} u}{\operatorname{dn} u}$$

$$35.21 \quad \operatorname{dc} u = \frac{\operatorname{dn} u}{\operatorname{cn} u}$$

$$35.16 \quad \operatorname{nd} u = \frac{1}{\operatorname{dn} u}$$

$$35.19 \quad \operatorname{cd} u = \frac{\operatorname{cn} u}{\operatorname{dn} u}$$

$$35.22 \quad \operatorname{ds} u = \frac{\operatorname{dn} u}{\operatorname{sn} u}$$

Fórmulas de adição

$$35.23 \quad \operatorname{sn}(u+v) = \frac{\operatorname{sn} u \operatorname{cn} v \operatorname{dn} v + \operatorname{cn} u \operatorname{sn} v \operatorname{dn} u}{1 - k^2 \operatorname{sn}^2 u \operatorname{sn}^2 v}$$

$$35.24 \quad \operatorname{cn}(u+v) = \frac{\operatorname{cn} u \operatorname{cn} v - \operatorname{sn} u \operatorname{sn} v \operatorname{dn} u \operatorname{dn} v}{1 - k^2 \operatorname{sn}^2 u \operatorname{sn}^2 v}$$

$$35.25 \quad \operatorname{dn}(u+v) = \frac{\operatorname{dn} u \operatorname{dn} v - k^2 \operatorname{sn} u \operatorname{sn} v \operatorname{cn} u \operatorname{cn} v}{1 - k^2 \operatorname{sn}^2 u \operatorname{sn}^2 v}$$

Derivadas

$$35.26 \quad \frac{d}{du} \operatorname{sn} u = \operatorname{cn} u \operatorname{dn} u$$

$$35.28 \quad \frac{d}{du} \operatorname{dn} u = -k^2 \operatorname{sn} u \operatorname{cn} u$$

$$35.27 \quad \frac{d}{du} \operatorname{cn} u = -\operatorname{sn} u \operatorname{dn} u$$

$$35.29 \quad \frac{d}{du} \operatorname{sc} u = \operatorname{dc} u \operatorname{nc} u$$

Expansões em séries

$$35.30 \quad \operatorname{sn} u = u - (1+k^2) \frac{u^3}{3!} + (1+14k^2+k^4) \frac{u^5}{5!} - (1+135k^2+135k^4+k^6) \frac{u^7}{7!} + \dots$$

$$35.31 \quad \operatorname{cn} u = 1 - \frac{u^2}{2!} + (1+4k^2) \frac{u^4}{4!} - (1+44k^2+16k^4) \frac{u^6}{6!} + \dots$$

$$35.32 \quad \operatorname{dn} u = 1 - k^2 \frac{u^2}{2!} + k^2(4+k^2) \frac{u^4}{4!} - k^2(16+44k^2+k^4) \frac{u^6}{6!} + \dots$$

Constante de Catalan

$$35.33 \quad \frac{1}{2} \int_0^1 K \, dk = \frac{1}{2} \int_{k=0}^1 \int_{\theta=0}^{\pi/2} \frac{d\theta \, dk}{\sqrt{1-k^2 \operatorname{sen}^2 \theta}} = \frac{1}{1^2} - \frac{1}{3^2} + \frac{1}{5^2} - \dots = 0,915965594\dots$$

Períodos de funções elípticas

Sejam

$$35.34 \quad K = \int_0^{\pi/2} \frac{d\theta}{\sqrt{1-k^2 \operatorname{sen}^2 \theta}}, \quad K' = \int_0^{\pi/2} \frac{d\theta}{\sqrt{1-k'^2 \operatorname{sen}^2 \theta}} \quad \text{onde } k' = \sqrt{1-k^2}$$

Então,

$$35.35 \quad \operatorname{sn} u \text{ tem períodos } 4K \text{ e } 2iK'$$

$$35.36 \quad \operatorname{cn} u \text{ tem períodos } 4K \text{ e } 2K + 2iK'$$

$$35.37 \quad \operatorname{dn} u \text{ tem períodos } 2K \text{ e } 4iK'$$

Identidades envolvendo funções elípticas

$$35.38 \quad \operatorname{sn}^2 u + \operatorname{cn}^2 u = 1$$

$$35.40 \quad \operatorname{dn}^2 u - k^2 \operatorname{cn}^2 u = k'^2 \quad \text{onde } k' = \sqrt{1 - k^2}$$

$$35.42 \quad \operatorname{cn}^2 u = \frac{\operatorname{dn} 2u + \operatorname{cn} 2u}{1 + \operatorname{dn} 2u}$$

$$35.44 \quad \sqrt{\frac{1 - \operatorname{cn} 2u}{1 + \operatorname{cn} 2u}} = \frac{\operatorname{sn} u \operatorname{dn} u}{\operatorname{cn} u}$$

$$35.39 \quad \operatorname{dn}^2 u + k^2 \operatorname{sn}^2 u = 1$$

$$35.41 \quad \operatorname{sn}^2 u = \frac{1 - \operatorname{cn} 2u}{1 + \operatorname{dn} 2u}$$

$$35.43 \quad \operatorname{dn}^2 u = \frac{1 - k^2 + \operatorname{dn} 2u + k^2 \operatorname{cn} u}{1 + \operatorname{dn} 2u}$$

$$35.45 \quad \sqrt{\frac{1 - \operatorname{dn} 2u}{1 + \operatorname{dn} 2u}} = \frac{k \operatorname{sn} u \operatorname{cn} u}{\operatorname{dn} u}$$

Valores especiais

$$35.46 \quad \operatorname{sn} 0 = 0$$

$$35.47 \quad \operatorname{cn} 0 = 1$$

$$35.48 \quad \operatorname{dn} 0 = 1$$

$$35.49 \quad \operatorname{sc} 0 = 0$$

$$35.50 \quad \operatorname{am} 0 = 0$$

Integrais

$$35.51 \quad \int \operatorname{sn} u \, du = \frac{1}{k} \ln(\operatorname{dn} u - k \operatorname{cn} u)$$

$$35.52 \quad \int \operatorname{cn} u \, du = \frac{1}{k} \operatorname{arc} \cos(\operatorname{dn} u)$$

$$35.53 \quad \int \operatorname{dn} u \, du = \operatorname{arc} \operatorname{sen}(\operatorname{sn} u)$$

$$35.54 \quad \int \operatorname{sc} u \, du = \frac{1}{\sqrt{1 - k^2}} \ln(\operatorname{dc} u + \sqrt{1 - k^2} \operatorname{nc} u)$$

$$35.55 \quad \int \operatorname{cs} u \, du = \ln(\operatorname{ns} u - \operatorname{ds} u)$$

$$35.56 \quad \int \operatorname{cd} u \, du = \frac{1}{k} \ln(\operatorname{nd} u + k \operatorname{sd} u)$$

$$35.57 \quad \int \operatorname{dc} u \, du = \ln(\operatorname{nc} u + \operatorname{sc} u)$$

$$35.58 \quad \int \operatorname{sd} u \, du = \frac{-1}{k\sqrt{1 - k^2}} \operatorname{arc} \operatorname{sen}(k \operatorname{cd} u)$$

$$35.59 \quad \int \operatorname{ds} u \, du = \ln(\operatorname{ns} u - \operatorname{cs} u)$$

$$35.60 \quad \int \operatorname{ns} u \, du = \ln(\operatorname{ds} u - \operatorname{cs} u)$$

$$35.61 \quad \int \operatorname{nc} u \, du = \frac{1}{\sqrt{1 - k^2}} \ln\left(\operatorname{dc} u + \frac{\operatorname{sc} u}{\sqrt{1 - k^2}}\right)$$

$$35.62 \quad \int \operatorname{nd} u \, du = \frac{1}{\sqrt{1 - k^2}} \operatorname{arc} \cos(\operatorname{cd} u)$$

Relação de Legendre

$$35.63 \quad EK' + E'K - KK' = \pi/2$$

onde

$$35.64 \quad E = \int_0^{\pi/2} \sqrt{1 - k^2 \sin^2 \theta} \, d\theta \qquad K = \int_0^{\pi/2} \frac{d\theta}{\sqrt{1 - k^2 \sin^2 \theta}}$$

$$35.65 \quad E' = \int_0^{\pi/2} \sqrt{1 - k'^2 \sin^2 \theta} \, d\theta \qquad K' = \int_0^{\pi/2} \frac{d\theta}{\sqrt{1 - k'^2 \sin^2 \theta}}$$

Outras Funções Especiais

Função erro $\operatorname{erf}(x) = \frac{2}{\sqrt{\pi}} \int_0^x e^{-u^2} du$

$$36.1 \quad \operatorname{erf}(x) = \frac{2}{\sqrt{\pi}} \left(x - \frac{x^3}{3 \cdot 1!} + \frac{x^5}{5 \cdot 2!} - \frac{x^7}{7 \cdot 3!} + \dots \right)$$

$$36.2 \quad \operatorname{erf}(x) \sim 1 - \frac{e^{-x^2}}{\sqrt{\pi}x} \left(1 - \frac{1}{2x^2} + \frac{1 \cdot 3}{(2x^2)^2} - \frac{1 \cdot 3 \cdot 5}{(2x^2)^3} + \dots \right)$$

$$36.3 \quad \operatorname{erf}(-x) = -\operatorname{erf}(x), \quad \operatorname{erf}(0) = 0, \quad \operatorname{erf}(\infty) = 1$$

Função erro complementar $\operatorname{erfc}(x) = 1 - \operatorname{erf}(x) = \frac{2}{\sqrt{\pi}} \int_x^\infty e^{-u^2} du$

$$36.4 \quad \operatorname{erfc}(x) = 1 - \frac{2}{\sqrt{\pi}} \left(x - \frac{x^3}{3 \cdot 1!} + \frac{x^5}{5 \cdot 2!} - \frac{x^7}{7 \cdot 3!} + \dots \right)$$

$$36.5 \quad \operatorname{erfc}(x) \sim \frac{e^{-x^2}}{\sqrt{\pi}x} \left(1 - \frac{1}{2x^2} + \frac{1 \cdot 3}{(2x^2)^2} - \frac{1 \cdot 3 \cdot 5}{(2x^2)^3} + \dots \right)$$

$$36.6 \quad \operatorname{erfc}(0) = 1, \quad \operatorname{erfc}(\infty) = 0$$

Integral exponencial $\operatorname{Ei}(x) = \int_x^\infty \frac{e^{-u}}{u} du$

$$36.7 \quad \operatorname{Ei}(x) = -\gamma - \ln x + \int_0^x \frac{1 - e^{-u}}{u} du$$

$$36.8 \quad \operatorname{Ei}(x) = -\gamma - \ln x + \left(\frac{x}{1 \cdot 1!} - \frac{x^2}{2 \cdot 2!} + \frac{x^3}{3 \cdot 3!} - \dots \right)$$

$$36.9 \quad \operatorname{Ei}(x) \sim \frac{e^{-x}}{x} \left(1 - \frac{1!}{x} + \frac{2!}{x^2} - \frac{3!}{x^3} + \dots \right)$$

$$36.10 \quad \operatorname{Ei}(\infty) = 0$$

Integral seno $\operatorname{Si}(x) = \int_0^x \frac{\operatorname{senu}}{u} du$

$$36.11 \quad \operatorname{Si}(x) = \frac{x}{1 \cdot 1!} - \frac{x^3}{3 \cdot 3!} + \frac{x^5}{5 \cdot 5!} - \frac{x^7}{7 \cdot 7!} + \dots$$

$$36.12 \quad \text{Si}(x) \sim \frac{\pi}{2} - \frac{\text{sen } x}{x} \left(\frac{1}{x} - \frac{3!}{x^3} + \frac{5!}{x^5} - \dots \right) - \frac{\cos x}{x} \left(1 - \frac{2!}{x^2} + \frac{4!}{x^4} - \dots \right)$$

$$36.13 \quad \text{Si}(-x) = -\text{Si}(x), \quad \text{Si}(0) = 0, \quad \text{Si}(\infty) = \pi/2$$

$$\text{Integral cosseno} \quad \text{Ci}(x) = \int_x^\infty \frac{\cos u}{u} du$$

$$36.14 \quad \text{Ci}(x) = -\gamma - \ln x + \int_0^x \frac{1 - \cos u}{u} du$$

$$36.15 \quad \text{Ci}(x) = -\gamma - \ln x + \frac{x^2}{2 \cdot 2!} - \frac{x^4}{4 \cdot 4!} + \frac{x^6}{6 \cdot 6!} - \frac{x^8}{8 \cdot 8!} + \dots$$

$$36.16 \quad \text{Ci}(x) \sim \frac{\cos x}{x} \left(\frac{1}{x} - \frac{3!}{x^3} + \frac{5!}{x^5} - \dots \right) - \frac{\text{sen } x}{x} \left(1 - \frac{2!}{x^2} + \frac{4!}{x^4} - \dots \right)$$

$$36.17 \quad \text{Ci}(\infty) = 0$$

$$\text{Integral seno de Fresnel} \quad S(x) = \sqrt{\frac{2}{\pi}} \int_0^x \text{sen } u^2 du$$

$$36.18 \quad S(x) = \sqrt{\frac{2}{\pi}} \left(\frac{x^3}{3 \cdot 1!} - \frac{x^7}{7 \cdot 3!} + \frac{x^{11}}{11 \cdot 5!} - \frac{x^{15}}{15 \cdot 7!} + \dots \right)$$

$$36.19 \quad S(x) \sim \frac{1}{2} - \frac{1}{\sqrt{2\pi}} \left\{ (\cos x^2) \left(\frac{1}{x} - \frac{1 \cdot 3}{2^2 x^5} + \frac{1 \cdot 3 \cdot 5 \cdot 7}{2^4 x^9} - \dots \right) + (\text{sen } x^2) \left(\frac{1}{2x^3} - \frac{1 \cdot 3 \cdot 5}{2^3 x^7} + \dots \right) \right\}$$

$$36.20 \quad S(-x) = -S(x), \quad S(0) = 0, \quad S(\infty) = \frac{1}{2}$$

$$\text{Integral cosseno de Fresnel} \quad C(x) = \sqrt{\frac{2}{\pi}} \int_0^x \cos u^2 du$$

$$36.21 \quad C(x) = \sqrt{\frac{2}{\pi}} \left(\frac{x}{1!} - \frac{x^5}{5 \cdot 2!} + \frac{x^9}{9 \cdot 4!} - \frac{x^{13}}{13 \cdot 6!} + \dots \right)$$

$$36.22 \quad C(x) \sim \frac{1}{2} + \frac{1}{\sqrt{2\pi}} \left\{ (\text{sen } x^2) \left(\frac{1}{x} - \frac{1 \cdot 3}{2^2 x^5} + \frac{1 \cdot 3 \cdot 5 \cdot 7}{2^4 x^9} - \dots \right) - (\cos x^2) \left(\frac{1}{2x^3} - \frac{1 \cdot 3 \cdot 5}{2^3 x^7} + \dots \right) \right\}$$

$$36.23 \quad C(-x) = -C(x), \quad C(0) = 0, \quad C(\infty) = \frac{1}{2}$$

$$\text{Função zeta de Riemann} \quad \zeta(x) = \frac{1}{1^x} + \frac{1}{2^x} + \frac{1}{3^x} + \dots$$

$$36.24 \quad \zeta(x) = \frac{1}{\Gamma(x)} \int_0^\infty \frac{u^{x-1}}{e^u - 1} du, \quad x > 1$$

$$36.25 \quad \zeta(1-x) = 2^{1-x} \pi^{-x} \Gamma(x) \cos(\pi x/2) \zeta(x) \quad [\text{extensões para outros valores}]$$

$$36.26 \quad \zeta(2k) = \frac{2^{2k-1} \pi^{2k} B_k}{(2k)!} \quad k = 1, 2, 3, \dots$$

Desigualdades

Desigualdade triangular

$$37.1 \quad \left| |a_1| - |a_2| \right| \leq |a_1 + a_2| \leq |a_1| + |a_2|$$

$$37.2 \quad |a_1 + a_2 + \dots + a_n| \leq |a_1| + |a_2| + \dots + |a_n|$$

Desigualdade de Cauchy-Schwarz

$$37.3 \quad (a_1 b_1 + a_2 b_2 + \dots + a_n b_n)^2 \leq (a_1^2 + a_2^2 + \dots + a_n^2)(b_1^2 + b_2^2 + \dots + b_n^2)$$

A igualdade dá-se se, e somente se, $a_1/b_1 = a_2/b_2 = \dots = a_n/b_n$.

Relação entre as médias aritmética, geométrica e harmônica

Se A , G e H são as médias aritmética, geométrica e harmônica dos números positivos a_1, a_2, \dots, a_n , então

$$37.4 \quad H \leq G \leq A$$

onde

$$37.5 \quad A = \frac{a_1 + a_2 + \dots + a_n}{n}$$

$$37.6 \quad G = \sqrt[n]{a_1 a_2 \dots a_n}$$

$$37.7 \quad \frac{1}{H} = \frac{1}{n} \left(\frac{1}{a_1} + \frac{1}{a_2} + \dots + \frac{1}{a_n} \right)$$

A igualdade dá-se se, e somente se, $a_1 = a_2 = \dots = a_n$.

Desigualdade de Hölder

$$37.8 \quad |a_1 b_1 + a_2 b_2 + \dots + a_n b_n| \leq (|a_1|^p + |a_2|^p + \dots + |a_n|^p)^{1/p} (|b_1|^q + |b_2|^q + \dots + |b_n|^q)^{1/q}$$

onde

$$37.9 \quad \frac{1}{p} + \frac{1}{q} = 1, \quad p > 1, q > 1$$

A igualdade dá-se se, e somente se, $|a_1|^{p-1}/|b_1| = |a_2|^{p-1}/|b_2| = \dots = |a_n|^{p-1}/|b_n|$. Para $p = q = 2$, se reduz a 37.3.

Desigualdade de Chebyshev

Se $a_1 \geq a_2 \geq \dots \geq a_n$ e $b_1 \geq b_2 \geq \dots \geq b_n$, então

$$37.10 \quad \left(\frac{a_1 + a_2 + \dots + a_n}{n} \right) \left(\frac{b_1 + b_2 + \dots + b_n}{n} \right) \leq \frac{a_1 b_1 + a_2 b_2 + \dots + a_n b_n}{n}$$

ou

$$37.11 \quad (a_1 + a_2 + \dots + a_n)(b_1 + b_2 + \dots + b_n) \leq n(a_1 b_1 + a_2 b_2 + \dots + a_n b_n)$$

Desigualdade de Minkowski

Se $a_1, a_2, \dots, a_n, b_1, b_2, \dots, b_n$ são todos positivos e $p > 1$, então

$$37.12 \quad \{(a_1 + b_1)^p + (a_2 + b_2)^p + \dots + (a_n + b_n)^p\}^{1/p} \leq (a_1^p + a_2^p + \dots + a_n^p)^{1/p} + (b_1^p + b_2^p + \dots + b_n^p)^{1/p}$$

A igualdade dá-se se, e somente se, $a_1/b_1 = a_2/b_2 = \dots = a_n/b_n$.

Desigualdade de Cauchy-Schwarz para integrais

$$37.13 \quad \left[\int_a^b f(x)g(x) dx \right]^2 \leq \left\{ \int_a^b [f(x)]^2 dx \right\} \left\{ \int_a^b [g(x)]^2 dx \right\}$$

A igualdade dá-se se, e somente se, $f(x)/g(x)$ for uma constante.

Desigualdade de Hölder para integrais

$$37.14 \quad \int_a^b |f(x)g(x)| dx \leq \left\{ \int_a^b |f(x)|^p dx \right\}^{1/p} \left\{ \int_a^b |g(x)|^q dx \right\}^{1/q}$$

onde $1/p + 1/q = 1$, $p > 1$, $q > 1$. Se $p = q = 2$, isso reduz-se a 37.13.

A igualdade dá-se se, e somente se, $|f(x)|^{p-1}/|g(x)|$ for uma constante.

Desigualdade de Minkowski para integrais

Se $p > 1$,

$$37.15 \quad \left\{ \int_a^b |f(x) + g(x)|^p dx \right\}^{1/p} \leq \left\{ \int_a^b |f(x)|^p dx \right\}^{1/p} + \left\{ \int_a^b |g(x)|^p dx \right\}^{1/p}$$

A igualdade dá-se se, e somente se, $f(x)/g(x)$ for uma constante.

Produtos Infinitos

$$38.1 \quad \sin x = x \left(1 - \frac{x^2}{\pi^2}\right) \left(1 - \frac{x^2}{4\pi^2}\right) \left(1 - \frac{x^2}{9\pi^2}\right) \cdots$$

$$38.2 \quad \cos x = \left(1 - \frac{4x^2}{\pi^2}\right) \left(1 - \frac{4x^2}{9\pi^2}\right) \left(1 - \frac{4x^2}{25\pi^2}\right) \cdots$$

$$38.3 \quad \sinh x = x \left(1 + \frac{x^2}{\pi^2}\right) \left(1 + \frac{x^2}{4\pi^2}\right) \left(1 + \frac{x^2}{9\pi^2}\right) \cdots$$

$$38.4 \quad \cosh x = \left(1 + \frac{4x^2}{\pi^2}\right) \left(1 + \frac{4x^2}{9\pi^2}\right) \left(1 + \frac{4x^2}{25\pi^2}\right) \cdots$$

$$38.5 \quad \frac{1}{\Gamma(x)} = xe^{\gamma x} \left\{ \left(1 + \frac{x}{1}\right) e^{-x} \right\} \left\{ \left(1 + \frac{x}{2}\right) e^{-x/2} \right\} \left\{ \left(1 + \frac{x}{3}\right) e^{-x/3} \right\} \cdots$$

Ver também 25.12.

$$38.6 \quad J_0(x) = \left(1 - \frac{x^2}{\lambda_1^2}\right) \left(1 - \frac{x^2}{\lambda_2^2}\right) \left(1 - \frac{x^2}{\lambda_3^2}\right) \cdots$$

onde $\lambda_1, \lambda_2, \lambda_3, \dots$ são as raízes positivas de $J_0(x) = 0$.

$$38.7 \quad J_1(x) = x \left(1 - \frac{x^2}{\lambda_1^2}\right) \left(1 - \frac{x^2}{\lambda_2^2}\right) \left(1 - \frac{x^2}{\lambda_3^2}\right) \cdots$$

onde $\lambda_1, \lambda_2, \lambda_3, \dots$ são as raízes positivas de $J_1(x) = 0$.

$$38.8 \quad \frac{\sin x}{x} = \cos \frac{x}{2} \cos \frac{x}{4} \cos \frac{x}{8} \cos \frac{x}{16} \cdots$$

$$38.9 \quad \frac{\pi}{2} = \frac{2}{1} \cdot \frac{2}{3} \cdot \frac{4}{3} \cdot \frac{4}{5} \cdot \frac{6}{5} \cdot \frac{6}{7} \cdots$$

Este é chamado o *produto de Wallis*.

Os dados numéricos x_1, x_2, \dots provêm ou de uma amostra aleatória de uma população maior ou então da própria população maior. Vamos distinguir entre estes dois casos usando notações diferentes, como segue:

n = número de itens de uma amostra

N = número de itens de uma população

\bar{x} = média de amostra (leia-se “xis barra”)

s^2 = variância de amostra

s = desvio padrão de amostra

μ = média de população (leia-se “mu”)

σ^2 = variância de população

σ = desvio padrão de população

Observe que as letras gregas são usadas com populações e são denominadas *parâmetros*, enquanto que letras latinas são usadas com amostras e são denominadas *estatísticas*. Em primeiro lugar apresentamos fórmulas para os dados provenientes de uma amostra e, em seguida, damos as fórmulas para uma população.

Dados agrupados

Os dados numéricos são, frequentemente, coletados em grupos (dados agrupados). Um grupo se refere a um conjunto de dados, todos com o mesmo valor x_i ou a um conjunto (classe) de dados num dado intervalo, com valor de classe x_i . Neste caso, supomos que há k grupos e que f_i denota o número de dados do grupo com valor ou valor de classe x_i . Assim, o número total de dados disponíveis é

$$39.1 \quad n = \sum f_i$$

Como é costumeiro, Σ denota um somatório sobre todos os valores do índice, a menos de menção explícita em contrário.

Em vista disso, algumas das fórmulas serão denotadas por (a) ou por (b) , onde (a) indica dados que não estão agrupados e (b) denota dados agrupados.

Medidas de tendência central

Média (média aritmética)

A *média aritmética* ou, simplesmente, a *média* de uma amostra x_1, x_2, \dots, x_n , que é muitas vezes denominada “valor médio”, é a soma dos valores dividida pelo número de valores, ou seja,

$$39.2(a) \quad \text{Média amostral:} \quad \bar{x} = \frac{x_1 + x_2 + \dots + x_n}{n} = \frac{\Sigma x_i}{n}$$

$$39.2(b) \quad \text{Média amostral:} \quad \bar{x} = \frac{f_1 x_1 + f_2 x_2 + \dots + f_k x_k}{f_1 + f_2 + \dots + f_k} = \frac{\Sigma f_i x_i}{\Sigma f_i}$$

Mediana

Vamos supor, agora, que os dados x_1, x_2, \dots, x_n estão arranjados em ordem crescente. A *mediana* dos dados, denotada por

M ou Mediana

é definida como o “valor central”, ou seja:

$$39.3(a) \quad \text{Mediana} = \begin{cases} x_{k+1} & \text{se } n \text{ é ímpar e } n = 2k + 1, \\ \frac{x_k + x_{k+1}}{2} & \text{se } n \text{ é par e } n = 2k. \end{cases}$$

A mediana de dados agrupados é obtida encontrando primeiro a função de *frequência acumulada* F_s . Mais especificamente, definimos

$$F_s = f_1 + f_2 + \dots + f_s$$

ou seja, F_s é a soma das frequências anteriores a f_s inclusive. Então

$$39.3(b.1) \quad \text{Mediana} = \begin{cases} x_{j+1} & \text{se } n = 2k + 1 \text{ (ímpar) e } F_j < k + 1 \leq F_{j+1} \\ \frac{x_j + x_{j+1}}{2} & \text{se } n = 2k \text{ (par) e } F_j = k. \end{cases}$$

Encontrar a mediana de dados arranjados em classes é mais complicado. Em primeiro lugar encontramos a classe mediana m , que é a classe com o valor mediano e em seguida interpolamos linearmente na classe usando a fórmula

$$39.3(b.2) \quad \text{Mediana} = L_m + c \frac{(n/2) - F_{m-1}}{f_m}$$

onde L_m denota o limite inferior da classe m que contém o valor mediano e c denota a amplitude (comprimento do intervalo) da classe m .

Moda

A moda é o valor ou valores que ocorrem mais frequentemente, ou seja,

39.4 Moda $x_m =$ valor numérico que ocorre o maior número de vezes

A moda não está definida se cada x_m ocorre o mesmo número de vezes e quando a moda está definida ela pode não ser única.

Médias ponderada e grande

Suponha que a cada x_i seja associado um peso $w_i \geq 0$. Então

$$39.5 \quad \text{Média ponderada } \bar{x}_w = \frac{w_1 x_1 + w_2 x_2 + \dots + w_k x_k}{w_1 + w_2 + \dots + w_k} = \frac{\sum w_i x_i}{\sum w_i}$$

Observe que 39.2(b.1) é um caso especial de 39.4 quando o peso w_i de x_i é a sua frequência.

Suponha que existam k conjuntos de amostras e que o i -ésimo conjunto tem n_i elementos e uma média \bar{x} . Então a *grande média*, denotada por $\bar{\bar{x}}$ é a “média das médias” onde cada média é ponderada pelo número de elementos de seu conjunto. Especificamente:

$$39.6 \quad \text{Grande média } \bar{\bar{x}} = \frac{n_1 \bar{x}_1 + n_2 \bar{x}_2 + \dots + n_k \bar{x}_k}{n_1 + n_2 + \dots + n_k} = \frac{\sum n_i \bar{x}_i}{\sum n_i}$$

Médias geométrica e harmônica

A *média geométrica* (m_g) e a *média harmônica* (m_h) são definidas como segue.

$$39.7(a) \quad m_g = \sqrt[n]{x_1 x_2 \cdots x_n}$$

$$39.7(b) \quad m_g = \sqrt[n]{x_1^{f_1} x_2^{f_2} \cdots x_k^{f_k}}$$

$$39.8(a) \quad m_h = \frac{n}{1/x_1 + 1/x_2 + \cdots + 1/x_n} = \frac{n}{\sum (1/x_i)}$$

$$39.8(b) \quad m_h = \frac{n}{f_1/x_1 + f_2/x_2 + \cdots + f_k/x_k} = \frac{n}{\sum (f_k/x_i)}$$

Relação entre as médias aritmética, geométrica e harmônica

$$39.9 \quad m_h \leq m_g \leq \bar{x}$$

A igualdade vale somente quando todos os valores dos dados são iguais.

Ponto médio

O *ponto médio amostral* é a média entre os limites inferior x_1 e superior x_n dos dados, ou seja, entre o menor e o maior valor.

$$39.10 \quad \text{Ponto médio: } \text{med} = \frac{x_1 + x_n}{2}$$

Média populacional

A fórmula para a média μ de uma população é dada a seguir.

$$39.11(a) \quad \text{Média de população: } \mu = \frac{x_1 + x_2 + \cdots + x_N}{N} = \frac{\sum x_i}{N}$$

$$39.11(b) \quad \text{Média de população: } \mu = \frac{f_1 x_1 + f_2 x_2 + \cdots + f_k x_k}{f_1 + f_2 + \cdots + f_k} = \frac{\sum f_i x_i}{\sum f_i}$$

(Lembre que N denota o número de elementos numa população.)

Observe que a fórmula para a média μ de uma população é a mesma que a fórmula para a média de uma amostra \bar{x} . Por outro lado, veremos que a fórmula para o desvio padrão σ de uma população não é a mesma que a fórmula para o desvio padrão s de uma amostra. [Esta é a principal razão para dar fórmulas separadas para μ e \bar{x} .]

Medidas de dispersão

Variância e desvio padrão de amostra

Aqui a amostra tem n elementos e média \bar{x} .

$$39.12(a) \quad \text{Variância amostral: } s^2 = \frac{\sum (x_i - \bar{x})^2}{n-1} = \frac{\sum x_i^2 - (\sum x_i)^2/n}{n-1}$$

$$39.12(b) \quad \text{Variância amostral: } s^2 = \frac{\sum f_i (x_i - \bar{x})^2}{(\sum f_i) - 1} = \frac{\sum f_i x_i^2 - (\sum f_i x_i)^2 / \sum f_i}{(\sum f_i) - 1}$$

$$39.13 \quad \text{Desvio padrão amostral: } s = \sqrt{\text{Variância}} = \sqrt{s^2}$$

Exemplo Considere a seguinte distribuição de frequências:

| | | | | | | |
|-------|---|----|---|----|---|---|
| x_i | 1 | 2 | 3 | 4 | 5 | 6 |
| f_i | 8 | 14 | 7 | 12 | 3 | 1 |

Então $n = \sum f_i = 45$ e $\sum f_i x_i = 45$. Portanto, por 39.2(b),

$$\text{Média } \bar{x} = \frac{\sum x_i f_i}{\sum f_i} = \frac{126}{45} = 2,8$$

Também, $n - 1 = 44$ e $\sum f_i x_i^2 = 430$. Portanto, por 39.12(b) e 39.13,

$$s^2 = \frac{430 - (126)^2/45}{44} \approx 1,75 \quad \text{e} \quad s = 1,32$$

Obtemos a mediana M encontrando primeiro as frequências acumuladas

$$F_1 = 8, \quad F_2 = 22, \quad F_3 = 29, \quad F_4 = 41, \quad F_5 = 44, \quad F_6 = 45 = n$$

Aqui n é ímpar e $(n + 1)/2 = 23$. Portanto,

$$\text{Mediana } M = 23^{\text{a}} \text{ valor} = 3$$

O valor 2 ocorre mais frequentemente, portanto

$$\text{Moda} = 2$$

D.M. e R.M.Q.

Aqui D.M. abrevia *desvio médio* e R.M.Q. abrevia *raiz da média dos quadrados*. Como antes, \bar{x} é a média dos dados e, para dados agrupados, $n = \sum f_i$.

$$39.14(a) \quad \text{D.M.} = \frac{1}{n} \sum |x_i - \bar{x}|$$

$$39.14(b) \quad \text{D.M.} = \frac{1}{n} \sum |f_i x_i - \bar{x}|$$

$$39.15(a) \quad \text{R.M.Q.} = \sqrt{\frac{1}{n} (\sum x_i^2)}$$

$$39.15(b) \quad \text{R.M.Q.} = \sqrt{\frac{1}{n} (\sum f_i x_i^2)}$$

Medidas de posição (quartis e percentis)

Vamos supor, agora, que os dados x_1, x_2, \dots, x_n estão arranjados em ordem crescente.

39.16 Amplitude: $x_n - x_1$

Existem três quartis: o primeiro quartil, ou inferior, denotado por Q_1 ou Q_L ; o segundo quartil, ou mediana, denotado por Q_2 ou Q_M ; e o terceiro quartil, ou superior, denotado por Q_3 ou Q_U . Esses quartis (que, essencialmente, dividem os dados em quatro partes) são definidos como segue, onde “metade” significa $n/2$ se n é par e $(n - 1)/2$ se n é ímpar.

39.17 $Q_L (= Q_1)$ = mediana da primeira metade dos valores

$M (= Q_2)$ = mediana dos valores

$Q_U (= Q_3)$ = mediana da segunda metade dos valores

39.18 Resumo de cinco números: $[L, Q_1, Q_2, Q_3, H]$ onde $L = x_1$ (menor valor) e $H = x_n$ (maior valor).

39.19 Amplitude quartil: $Q_3 - Q_1$

39.20 Amplitude semi-quartil: $Q = \frac{Q_U - Q_L}{2}$

O k -ésimo percentil, denotado por P_k , é o número para o qual k por cento dos valores são no máximo P_k e $(100 - k)$ por cento dos valores são maiores do que P_k . Especificamente:

39.21 P_k = maior x_k tal que $F_s \leq k/100$. Assim, $Q_1 = 25^\circ$ percentil, $Q_2 = 50^\circ$ percentil e $Q_3 = 75^\circ$ percentil.

Estatística de ordens superiores

39.22 O momento de ordem r : (a) $m_r = \frac{1}{n} \sum x_i^r$, (b) $m_r = \frac{1}{n} \sum f_i x_i^r$

39.23 O momento de ordem r centrado na média \bar{x} :

$$(a) \quad \mu_r = \frac{1}{n} \sum (x_i - \bar{x})^r, \quad (b) \quad \mu_r = \frac{1}{n} \sum (f_i x_i - \bar{x})^r$$

39.24 O momento absoluto de ordem r centrado na média \bar{x} :

$$(a) \quad \mu_r = \frac{1}{n} \sum |x_i - \bar{x}|^r, \quad (b) \quad \mu_r = \frac{1}{n} \sum |f_i x_i - \bar{x}|^r$$

39.25 O momento de ordem r centrado em $z = 0$:

$$(a) \quad \alpha_r = \frac{1}{n} \sum z_i^r, \quad (b) \quad \alpha_r = \frac{1}{n} \sum f_i z_i^r, \text{ onde } z_i = \frac{x_i - \bar{x}}{\sigma}$$

Medidas de assimetria e curtose

39.26 Coeficiente de assimetria: $\gamma_1 = \frac{\mu_3}{\sigma^3} = \alpha_3$

39.27 Momento de assimetria: $\frac{\mu_3}{2\sigma^3}$

39.28 Coeficiente de curtose: $\alpha_4 = \frac{\mu_4}{\sigma^4}$

39.29 Coeficiente de excesso (curtose): $\alpha_4 - 3 = \frac{\mu_4}{\sigma^4} - 3$

39.30 Coeficiente de assimetria quartil: $\frac{Q_U - 2\hat{x} + Q_L}{Q_U - Q_L} = \frac{Q_3 - 2Q_2 + Q_1}{Q_3 - Q_1}$

Variância e desvio padrão de população

Lembre que N denota o número de valores na população.

39.31 Variância de população: $\sigma^2 = \frac{\sum (x_i - \bar{x})^2}{N} = \frac{\sum x_i^2 - (\sum x_i)^2/n}{N}$

39.32 Desvio padrão de população: $\sigma = \sqrt{\text{Variância}} = \sqrt{\sigma^2}$

Dados bivariados

As seguintes fórmulas aplicam a uma série de pares de valores numéricos

$$(x_1, y_1), (x_2, y_2), (x_3, y_3), \dots, (x_n, y_n),$$

onde os primeiros valores correspondem a uma variável x e os segundos a uma variável y . O objetivo principal é determinar se existe uma relação matemática entre os dados, por exemplo, uma relação linear.

O *diagrama de dispersão* dos dados é simplesmente um esboço dos pares de valores como pontos de um plano coordenado.

Coeficiente de correlação

Um indicador numérico de uma relação linear entre as variáveis x e y é o *coeficiente de correlação amostral* de x e y , definido como segue.

39.33 Coeficiente de correlação amostral: $r = \frac{\sum (x_i - \bar{x})(y_i - \bar{y})}{\sqrt{\sum (x_i - \bar{x})^2 \sum (y_i - \bar{y})^2}}$

Vamos supor que o denominador na Fórmula 39.33 é não nulo. Uma fórmula alternativa para calcular r é a seguinte.

$$39.34 \quad r = \frac{\sum x_i y_i - (\sum x_i)(\sum y_i)/n}{\sqrt{\sum x_i^2 - (\sum x_i)^2/n} \sqrt{\sum y_i^2 - (\sum y_i)^2/n}}$$

As propriedades do coeficiente de correlação r são as seguintes.

- 39.35 (1) $-1 \leq r \leq 1$ ou, equivalentemente, $|r| \leq 1$.
 (2) r é positivo (ou negativo) se y cresce (ou decresce) à medida que x cresce.
 (3) Quanto mais próximo $|r|$ estiver de 1, mais forte é a relação linear entre x e y .

A covariância amostral entre x e y é denotada e definida como segue.

$$39.36 \quad \text{Covariância amostral: } s_{xy} = \frac{\sum (x_i - \bar{x})(y_i - \bar{y})}{n - 1}$$

Usando a covariância amostral, podemos escrever a Fórmula 39.33 de forma compacta.

$$39.37 \quad r = \frac{s_{xy}}{s_x s_y}$$

onde s_x e s_y são os desvios padrão das amostras x e y , respectivamente.

Exemplo Considere os seguintes dados.

| | | | | | | | |
|-----|-----|-----|-----|-----|-----|-----|-----|
| x | 50 | 45 | 40 | 38 | 32 | 40 | 55 |
| y | 2,5 | 5,0 | 6,2 | 7,4 | 8,3 | 4,7 | 1,8 |

O diagrama de dispersão dos dados aparece na Figura 39-1. O coeficiente de correlação r para estes dados pode ser obtido construindo a tabela na Figura 39-2. Então, pela Fórmula 39.34, com $n = 7$, resulta

$$r = \frac{1431,8 - (300)(35,9) / 7}{\sqrt{13.218 - (300)^2 / 7} \sqrt{218,67 + (35,9)^2 / 7}} \approx -0,9562$$

Aqui r está perto de -1 e o diagrama de dispersão na Figura 39-1 realmente indica uma forte tendência linear negativa entre x e y .

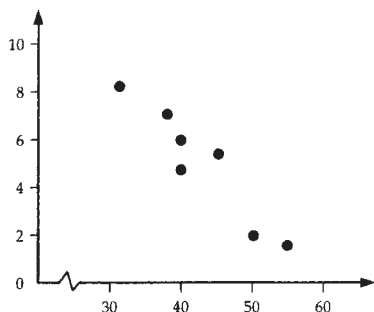


Fig. 39-1

| x_i | y_i | x_i^2 | y_i^2 | $x_i y_i$ |
|--------------|------------|---------------|---------------|---------------|
| 50 | 2,5 | 2.500 | 6,25 | 125,0 |
| 45 | 5,0 | 2.025 | 25,00 | 225,0 |
| 40 | 6,2 | 1.600 | 38,44 | 248,0 |
| 38 | 7,4 | 1.444 | 54,76 | 281,2 |
| 32 | 8,3 | 1.024 | 68,89 | 265,6 |
| 40 | 4,7 | 1.600 | 22,09 | 188,0 |
| 55 | 1,8 | 3.025 | 3,24 | 99,0 |
| Somas | 300 | 13.218 | 218,67 | 1431,8 |

Fig. 39-2

Reta de regressão

Considere um conjunto de n dados pontuais $P_i(x_i, y_i)$. Qualquer reta (não vertical) L pode ser definida por uma equação da forma

$$y = a + bx$$

Seja y_i^* o valor de y no ponto de L correspondente a x_i , ou seja, tome $y_i^* = a + bx_i$. Agora defina e denote o resíduo

$$d_i = y_i - y_i^* = y_i - (a + bx_i)$$

como a distância algébrica vertical entre o ponto P_i e a reta L . A soma dos quadrados dos resíduos entre a reta L e os dados pontuais é definida por

$$39.38 \quad \Sigma d_i^2 = d_1^2 + d_2^2 + \dots + d_n^2$$

A reta dos mínimos quadrados ou a reta de melhor ajuste ou a linha de regressão de y em x é, por definição, a reta L cuja soma dos quadrados dos resíduos é a menor possível. Pode-se mostrar que uma tal reta sempre existe e é única.

As constantes a e b na equação $y = a + bx$ da reta L de melhor ajuste podem ser obtidas das seguintes equações normais, onde a e b são as incógnitas e n é o número de pontos.

$$39.39 \quad \begin{cases} na + (\Sigma x_i)b = \Sigma y_i \\ (\Sigma x_i)a + (\Sigma x_i^2)b = \Sigma x_i y_i \end{cases}$$

A solução do sistema de equações normais acima é

$$39.40 \quad b = \frac{n \Sigma x_i y_i - (\Sigma x_i)(\Sigma y_i)}{n \Sigma x_i^2 - (\Sigma x_i)^2} = \frac{rs_y}{s_x}; \quad a = \frac{\Sigma y_i}{n} - b \frac{\Sigma x_i}{n} = \bar{y} - b\bar{x}$$

A segunda equação nos diz que o ponto (\bar{x}, \bar{y}) está em L e a primeira equação nos diz que o ponto $(\bar{x} + s_x, \bar{y} + rs_y)$ também está em L .

Exemplo Vamos obter a reta L de melhor ajuste dos dados (x_i, y_i) apresentados na Figura 39-2. Temos $n = 7$ e, usando a linha das somas daquela tabela obtemos as equações normais

$$7a + 300b = 35,9$$

$$300a + 13.218b = 1431,8$$

Substituindo em 39.40, resulta

$$b = \frac{7(1431,8) - (300)(35,9)}{7(13.218) - (300)^2} = -0,2959$$

$$a = \frac{35,9}{7} - (-0,2959) \frac{300}{7} = 17,8100$$

Assim, a reta L de melhor ajuste é

$$y = 17,8100 - 0,2959x$$

O gráfico de L aparece na Figura 39-3.

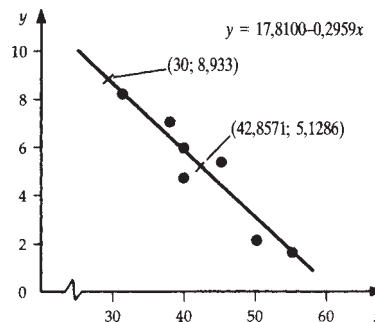


Fig. 39-3

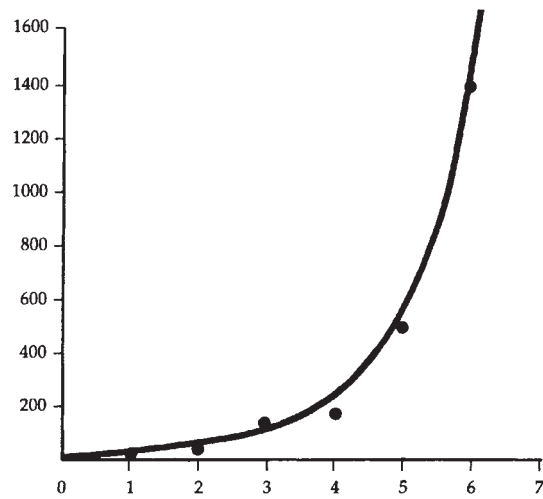


Fig. 39-4

Função potência: $y = ax^b$ ou $\log y = \log a + b \log x$

A curva potência é utilizada quando o diagrama de dispersão de $\log y$ por $\log x$ indica uma relação linear. Então $\log a$ e b são obtidos a partir dos dados pontuais transformados. Mais precisamente, a reta de melhor ajuste L para os dados pontuais $P(\log x_i, \log y_i)$ é

$$39.43 \quad \begin{cases} na' + \sum (\log x_i)b = \sum (\log y_i) \\ \sum (\log x_i)a' + \sum (\log x_i)^2 b = \sum (\log x_i \log y_i) \end{cases}$$

Então $a = \text{antilog } a'$.

Espaços amostrais e eventos

Seja S um espaço amostral que consiste nos possíveis resultados de um experimento em que os eventos são subconjuntos de S . O próprio espaço amostral S é denominado *evento certo* e o conjunto vazio \emptyset é o *evento impossível*.

Seria conveniente que todos os subconjuntos de S fossem eventos. Infelizmente, isso pode levar a contradições quando definirmos uma função probabilidade nos eventos. Assim, os eventos são definidos como uma coleção reduzida C de subconjuntos de S , como segue.

Definição A classe C dos eventos de um espaço amostral S é uma σ -álgebra. Isso significa que C tem as três propriedades seguintes.

- (i) $S \in C$.
- (ii) Se A_1, A_2, \dots pertencerem a C , então a união $A_1 \cup A_2 \cup A_3 \cup \dots$ pertence a C .
- (iii) Se $A \in C$, então o complementar $A^c \in C$.

Embora essa definição não mencione interseções, a lei de De Morgan (40.3) nos diz que o complementar de uma união é a interseção dos complementares. Assim, os eventos formam uma coleção que é fechada nas uniões, interseções e complementares de seqüências enumeráveis.

Se S for finito, então a classe de todos subconjuntos de S constitui a σ -álgebra mais natural. Contudo, se S for não enumerável, então somente certos subconjuntos de S podem ser eventos. De fato, se B é a coleção de todos intervalos abertos da reta real \mathbf{R} , então a menor σ -álgebra que contém B é a coleção dos conjuntos borelianos de \mathbf{R} .

Se na condição (ii) da definição de σ -álgebra permitirmos somente uniões finitas, então a classe de subconjuntos de S é denominada *álgebra*. Assim, uma σ -álgebra é uma álgebra, mas não vice-versa.

Inicialmente, para começar, listamos as propriedades básicas das operações de união, interseção e complementar de conjuntos.

40.1 Os conjuntos satisfazem as propriedades da Tabela 40-1.

| | | |
|------------------|---|--|
| Idempotência | (1a) $A \cup A = A$ | (1b) $A \cap A = A$ |
| Associatividade | (2a) $(A \cup B) \cup C = A \cup (B \cup C)$ | (2b) $(A \cap B) \cap C = A \cap (B \cap C)$ |
| Comutatividade | (3a) $A \cup B = B \cup A$ | (3b) $A \cap B = B \cap A$ |
| Distributividade | (4a) $A \cup (B \cap C) = (A \cup B) \cap (A \cup C)$ | (4b) $A \cap (B \cup C) = (A \cap B) \cup (A \cap C)$ |
| Identidade | (5a) $A \cup \emptyset = A$ (6a) $A \cup U = U$ | (5b) $A \cap U = A$ (6b) $A \cap \emptyset = \emptyset$ |
| Involução | (7) $(A^c)^c = A$ | |
| Complemento | (8a) $A \cup A^c = U$ (9a) $U^c = \emptyset$ | (8b) $A \cap A^c = \emptyset$ (9b) $\emptyset^c = U$ |
| De Morgan | (10a) $(A \cup B)^c = A^c \cap B^c$ | (10b) $(A \cap B)^c = A^c \cup B^c$ |

- 40.2** São equivalentes as afirmações: (i) $A \subseteq B$, (ii) $A \cap B = A$, (iii) $A \cap B = B$.
Lembramos que a união e interseção de coleções quaisquer de conjuntos são definidas por

$$\bigcup_j A_j = \{x \mid \text{existe algum } j \text{ tal que } x \in A_j\} \quad \text{e} \quad \bigcap_j A_j = \{x \mid \text{para cada } j \text{ vale } x \in A_j\}$$
- 40.3** (Lei de De Morgan generalizada) (10a)' $(\bigcup_j A_j)^c = \bigcap_j A_j^c$; (10b)' $(\bigcap_j A_j)^c = \bigcup_j A_j^c$

Espaços de probabilidade e funções probabilidade

Definição Seja P uma função real definida na classe C de eventos de um espaço amostral S . Dizemos que P é uma *função probabilidade*, e que $P(A)$ é a *probabilidade* de um evento A , se a função P satisfizer os seguintes axiomas.

Axioma P₁ Para cada evento A , temos $P(A) \geq 0$.

Axioma P₂ Para o evento certo S , temos $P(S) = 1$.

Axioma P₃ Para qualquer sequência A_1, A_2, \dots de eventos mutuamente exclusivos (ou seja, disjuntos), temos

$$P(A_1 \cup A_2 \cup \dots) = P(A_1) + P(A_2) + \dots$$

O terno (S, C, P) ou, simplesmente, S quando C e P estiverem subentendidos, é denominado *espaço de probabilidade*.

O axioma P₃ implica um axioma análogo para um número finito de conjuntos, a saber,

Axioma P₃' Para qualquer coleção finita A_1, A_2, \dots, A_n de eventos mutuamente exclusivos, temos

$$P(A_1 \cup A_2 \cup \dots \cup A_n) = P(A_1) + P(A_2) + \dots + P(A_n)$$

Em particular, dados dois eventos disjuntos A e B , temos $P(A \cup B) = P(A) + P(B)$.

As propriedades seguintes decorrem diretamente dos axiomas.

40.4 (Regra do complemento) $P(A^c) = 1 - P(A)$. Assim, $P(\emptyset) = 0$.

40.5 (Regra da diferença) $P(A \setminus B) = P(A) - P(A \cap B)$.

40.6 (Regra da soma) $P(A \cup B) = P(A) + P(B) - P(A \cap B)$.

40.7 Para $n \geq 2$, temos $P\left(\bigcup_{j=1}^n A_j\right) \leq \sum_{j=1}^n P(A_j)$.

40.8 (Regra da monotonicidade) Se $A \subseteq B$, então $P(A) \leq P(B)$.

Limites de sequências de eventos

40.9 (Continuidade) Suponha que A_1, A_2, \dots forme uma sequência monótona crescente (decrecente) de eventos, ou seja, que $A_j \subseteq A_{j+1}$ ($A_j \supseteq A_{j+1}$). Seja $A = \bigcup_j A_j$ ($A = \bigcap_j A_j$). Então existe $P(A_n)$ e

$$\lim P(A_n) = P(A)$$

Dada qualquer sequência A_1, A_2, \dots de eventos, definimos

$$\liminf A_n = \bigcup_{k=1}^{+\infty} \bigcap_{j=k}^{+\infty} A_j \quad \text{e} \quad \limsup A_n = \bigcap_{k=1}^{+\infty} \bigcup_{j=k}^{+\infty} A_j$$

Se $\liminf A_n = \limsup A_n$, denotamos esse conjunto por $\lim A_n$. Observe que A_n sempre existe se a sequência for monótona.

40.10 Dada qualquer sequência A_1, A_2, \dots de eventos num espaço de probabilidade, temos

$$P(\liminf A_n) \leq \liminf P(A_n) \leq \limsup P(A_n) \leq P(\limsup A_n)$$

Assim, se existir A_n , então $P(\lim A_n) = \lim P(A_n)$.

- 40.11** Dada qualquer sequência A_1, A_2, \dots de eventos num espaço de probabilidade, $P(\cup_j A_j) \leq \sum_j P(A_j)$.
- 40.12** (Lema de Borel-Cantelli) Seja A_1, A_2, \dots uma sequência de eventos num espaço de probabilidade tal que $\sum_{n=1}^{+\infty} P(A_n) < +\infty$. Então $P(\limsup A_n) = 0$.
- 40.13** (Teorema da Extensão) Seja F uma álgebra de subconjuntos de S . Seja P uma função de F satisfazendo os axiomas \mathbf{P}_1 , \mathbf{P}_2 e \mathbf{P}_3' . Então existe uma única função de probabilidade P^* na menor σ -álgebra contendo F tal que P^* é igual a P em F .

Probabilidade condicional

Definição Seja E um evento com $P(E) > 0$. A probabilidade condicional de um evento A dado E é denotada e definida por

$$P(A|E) = \frac{P(A \cap E)}{P(E)}$$

- 40.14** (Teorema da Multiplicação de Probabilidades Condicionais) $P(A \cap B) = P(A)P(B|A)$. Esse teorema pode ser generalizado, como segue.
- 40.15** $P(A_1 \cap \dots \cap A_n) = P(A_1)P(A_2|A_1)P(A_3|A_1 \cap A_2) \dots P(A_n|A_1 \cap \dots \cap A_{n-1})$

Exemplo Um lote contém 12 itens, dos quais 4 são defeituosos. Tirando, aleatoriamente, três itens desse lote, um depois do outro, determine a probabilidade de tirar três itens não defeituosos.

A probabilidade de o primeiro item ser não defeituoso é de $8/12$. Supondo que o primeiro item retirado seja não defeituoso, a probabilidade de o segundo item ser não defeituoso é de $7/12$. Supondo que o primeiro e o segundo itens retirados sejam não defeituosos, a probabilidade de o terceiro item ser não defeituoso é de $6/12$. Assim,

$$P = \frac{8}{12} \cdot \frac{7}{11} \cdot \frac{6}{10} = \frac{14}{55}$$

Processos estocásticos e diagramas probabilísticos em árvore

Um processo estocástico (finito) é uma sequência finita de experimentos em que cada experimento tem um número finito de possíveis resultados, cada um com sua probabilidade. Uma maneira conveniente de descrever tais processos é por meio de diagramas probabilísticos em árvore, exemplificados a seguir. No exemplo, utilizamos o teorema da multiplicação (40.14) para calcular a probabilidade de um evento representado por um dado caminho pelo diagrama.

Exemplo Sejam X , Y e Z três moedas numa caixa, sendo X uma moeda equilibrada, Y uma moeda com duas caras e Z uma moeda tal que a probabilidade de dar cara é de $1/3$. Seleccionamos aleatoriamente uma moeda e a jogamos. (a) Encontre a probabilidade de dar cara. (b) Encontre a probabilidade $P(X|K)$ de ter seleccionado a moeda X se tiver dado cara (denotada por K).

O diagrama probabilístico em árvore correspondente a esse processo estocástico de dois passos é dado na Fig. 40-1(a).

(a) Cara aparece em três dos caminhos (da esquerda para a direita), de modo que

$$P(K) = \frac{1}{3} \cdot \frac{1}{2} + \frac{1}{3} \cdot 1 + \frac{1}{3} \cdot \frac{1}{3} = \frac{11}{18}$$

(b) X e K aparecem somente no caminho mais ao alto, de modo que

$$P(X \cap K) = \frac{1}{3} \cdot \frac{1}{2} = \frac{1}{6} \quad \text{e, portanto,} \quad P(X|K) = \frac{P(X \cap K)}{P(K)} = \frac{1/6}{11/18} = \frac{3}{11}$$

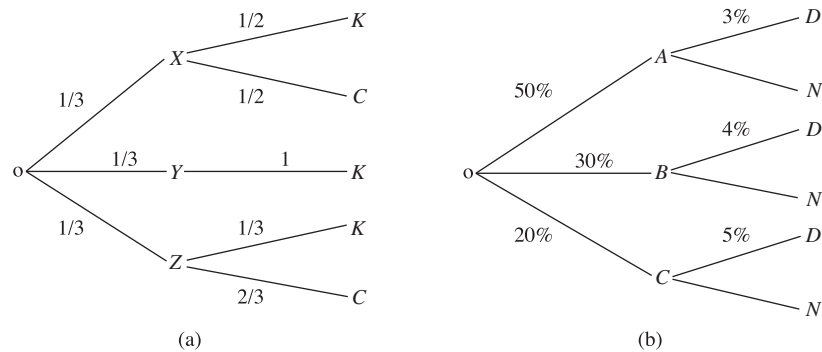


Fig. 40-1

Lei da probabilidade total e o teorema de Bayes

Agora supomos que E é um evento de um espaço amostral S e que A_1, A_2, \dots, A_n são eventos mutuamente disjuntos cuja união é S ; ou seja, os eventos A_1, A_2, \dots, A_n formam uma partição de S .

40.16 (Lei da Probabilidade Total) $P(E) = P(A_1)P(E|A_1) + P(A_2)P(E|A_2) + \dots + P(A_n)P(E|A_n)$

40.17 (Fórmula de Bayes) Para $k = 1, 2, \dots, n$, temos

$$P(A_k|E) = \frac{P(A_k)P(E|A_k)}{P(E)} = \frac{P(A_k)P(E|A_k)}{P(A_1)P(E|A_1) + P(A_2)P(E|A_2) + \dots + P(A_n)P(E|A_n)}$$

Exemplo As três máquinas A, B e C produzem, respectivamente, 50%, 30% e 20% do número total de itens fabricados por uma indústria. As percentagens de itens defeituosos (indicados por D) dessas máquinas são, respectivamente, 3%, 4% e 5%. Seleccionamos um item aleatoriamente.

- (a) Encontre a probabilidade $P(D)$ de seleccionar um item defeituoso.
 (b) Se o item seleccionado for defeituoso, encontre a probabilidade de ter seleccionado um item produzido por (i) A , (ii) B , (iii) C .
 (a) Pela lei da probabilidade total (40.16), temos

$$\begin{aligned} P(D) &= P(A)P(D|A) + P(B)P(D|B) + P(C)P(D|C) \\ &= (0,50)(0,03) + (0,30)(0,04) + (0,20)(0,05) = 3,7\% \end{aligned}$$

- (b) Pela fórmula de Bayes (40.17), temos (i) $P(A|D) = \frac{P(A)P(D|A)}{P(D)} = \frac{(0,50)(0,03)}{0,037} = 40,5\%$.

$$\text{Analogamente, (ii) } P(B|D) = \frac{P(B)P(D|B)}{P(D)} = 32,5\% \text{ e (iii) } P(C|D) = \frac{P(C)P(D|C)}{P(D)} = 27,0\%.$$

Alternativamente, podemos considerar esse problema como um processo estocástico de dois passos com um diagrama probabilístico em árvore, como na Fig. 40-1(b). Encontramos $P(D)$ somando os três caminhos probabilísticos até D , isto é,

$$(0,50)(0,03) + (0,30)(0,04) + (0,20)(0,05) = 3,7\%$$

Encontramos $P(A|D)$ dividindo o caminho mais ao alto de A a D pela soma dos três caminhos até D , ou seja,

$$(0,50)(0,03)/0,037 = 40,5\%$$

Finalmente, encontramos $P(B|D) = 32,5\%$ e $P(C|D) = 27,0\%$.

Eventos independentes

Definição Dizemos que os eventos A e B são independentes se $P(A \cap B) = P(A)P(B)$.

40.18 As afirmações seguintes são equivalentes.

$$(i) P(A \cap B) = P(A)P(B), (ii) P(A|B) = P(A), (iii) P(B|A) = P(B).$$

Assim, os eventos A e B são independentes se a ocorrência de um deles não influenciar a ocorrência do outro.

Exemplo Considere os seguintes eventos de uma família com crianças, em que vamos supor que o espaço amostral S é um espaço equiprovável:

$$E = \{\text{crianças de ambos sexos}\}, \quad F = \{\text{no máximo um menino}\}$$

- (a) Mostre que E e F são eventos independentes se a família tiver três crianças.
 (b) Mostre que E e F são eventos dependentes se a família tiver duas crianças.

Vamos indicar as meninas por f e os meninos por m .

- (a) Nesse caso, $S = \{mmm, mmf, mfm, fmm, mff, fmf, ffm, fff\}$ e temos

$$\begin{aligned} E &= \{mmf, mfm, fmm, mff, fmf, ffm\} \text{ com } P(E) = 6/8 = 3/4, \\ F &= \{mff, fmf, ffm, fff\} \text{ com } P(F) = 4/8 = 1/2 \text{ e} \\ E \cap F &= \{mff, fmf, ffm\} \text{ com } P(E \cap F) = 3/8. \end{aligned}$$

Assim, $P(E)P(F) = (3/4)(1/2) = 3/8 = P(E \cap F)$ e, portanto, E e F são independentes.

- (b) Nesse caso, $S = \{mm, mf, fm, ff\}$ e temos

$$\begin{aligned} E &= \{mf, fm\} \text{ com } P(E) = 2/4 = 1/2, \\ F &= \{mf, fm, ff\} \text{ com } P(F) = 3/4 \text{ e} \\ E \cap F &= \{mf, fm\} \text{ com } P(E \cap F) = 2/4 = 1/2. \end{aligned}$$

Assim, $P(E)P(F) = (1/2)(3/4) = 3/8 \neq P(E \cap F)$ e, portanto, E e F são dependentes.

Definição Com $n > 2$, dizemos que os eventos A_1, A_2, \dots, A_n são independentes se qualquer subconjunto próprio deles for independente e

$$P(A_1 \cap A_2 \cap \dots \cap A_n) = P(A_1)P(A_2) \dots P(A_n)$$

Observe que, nessa definição, usamos indução.

Definição Dizemos que uma coleção $\{A_j | j \in J\}$ de eventos é independente se, para cada $n > 0$, os conjuntos A_1, A_2, \dots, A_n são independentes.

O conceito de escolhas repetidas independentes, no caso de um conjunto amostral S finito, é formalizado como segue.

Definição Seja S um espaço de probabilidade finito. O espaço de probabilidade de n escolhas independentes ou repetidas, denotado por S_n , consiste nas ênuclas ordenadas (s_1, s_2, \dots, s_n) de elementos de S com a probabilidade de cada ênucla definida por

$$P((s_1, s_2, \dots, s_n)) = P(s_1)P(s_2) \dots P(s_n)$$

Exemplo Suponha que as probabilidades de vitória de três cavalos a, b e c sejam, respectivamente, de 20%, 30% e 50%, sempre que os três correrem juntos. Eles correm três vezes. Encontre a probabilidade de

- (a) o mesmo cavalo vencer as três corridas;
- (b) cada cavalo ganhar uma corrida.

(a) Denotando o terno (x, y, z) por xyz , queremos encontrar a probabilidade do evento $A = \{aaa, bbb, ccc\}$. Temos

$$P(aaa) = (0,2)^3 = 0,008, \quad P(bbb) = (0,3)^3 = 0,027, \quad P(ccc) = (0,5)^3 = 0,125$$

Assim, $P(A) = 0,008 + 0,027 + 0,125 = 0,160$.

(b) Queremos encontrar a probabilidade do evento $B = \{abc, acb, bac, bca, cab, cba\}$. Cada elemento de B tem a mesma probabilidade $(0,2)(0,3)(0,5) = 0,03$. Assim, $P(B) = 6(0,03) = 0,18$.

Variáveis Aleatórias

Considere um espaço de probabilidade (S, C, P) .

Definição Uma variável aleatória X do espaço amostral S é uma função de S no conjunto dos números reais \mathbf{R} tal que a pré-imagem de cada intervalo de \mathbf{R} é um evento de S .

Se S é um espaço amostral discreto em que cada subconjunto de S é um evento, então qualquer função real definida em S é uma variável aleatória. Por outro lado, se S é não enumerável, então pode haver funções reais de S que não sejam variáveis aleatórias.

Seja X uma variável aleatória de S e denotemos por R_X a imagem de X , ou seja,

$$R_X = \{x \mid \text{existe } s \in S \text{ tal que } X(s) = x\}.$$

Diferenciamos entre dois casos, que tratamos separadamente. (i) X é uma variável aleatória discreta, isto é, R_X é finito ou enumerável. (ii) X é uma variável aleatória contínua, isto é, R_X é um conjunto contínuo de números reais, tal como um intervalo, ou uma união de intervalos.

Sejam X e Y variáveis aleatórias do mesmo espaço amostral S . Então, da mesma forma como ocorre com funções gerais, $X + Y$, $X + k$, kX e XY (onde k é algum número real) são as funções de S definidas, em qualquer ponto s de S , por

$$\begin{aligned} (X + Y)(s) &= X(s) + Y(s), & (kX)(s) &= kX(s), \\ (X + k)(s) &= X(s) + k, & (XY)(s) &= X(s)Y(s). \end{aligned}$$

Mais geralmente, dada qualquer função contínua $h(t)$, por exemplo, polinomial ou exponencial, definimos $h(X)$ como sendo a função de S dada, em qualquer ponto s de S , por

$$[h(X)](s) = h[X(s)]$$

Pode ser mostrado que essas funções também são variáveis aleatórias de S .

Utilizamos a seguinte notação.

| | |
|--|---|
| $P(X = x_i)$ | denota a probabilidade de $X = x_i$. |
| $P(a \leq X \leq b)$ | denota a probabilidade de X estar no intervalo fechado $[a, b]$. |
| μ_X ou $E(X)$ ou, simplesmente, μ | denota a média ou esperança de X . |
| σ_X^2 ou $\text{Var}(X)$ ou, simplesmente, σ^2 | denota a variância de X . |
| σ_X ou, simplesmente, σ | denota o desvio padrão de X . |

Às vezes, permitimos que Y seja uma variável aleatória tal que $Y = g(X)$, ou seja, que Y seja uma função de X .

Variáveis aleatórias discretas

Aqui vamos supor que X tem somente um número finito ou enumerável de valores, digamos, $R_X = \{x_1, x_2, x_3, \dots\}$, com $x_1 < x_2 < x_3 < \dots$. Então X induz uma função $f(x)$ de R_X , como segue.

$$f(x_i) = P(X = x_i) = P(\{s \in S \mid X(s) = x_i\})$$

A função $f(x)$ tem as seguintes propriedades:

$$(i) f(x_i) \geq 0 \quad \text{e} \quad (ii) \sum_i f(x_i) = 1$$

Assim, f define uma função probabilidade no domínio R_X de X . O par $(x_i, f(x_i))$, geralmente dado por meio de uma tabela, é denominado *distribuição de probabilidade de X* .

Média

$$41.1 \quad \mu_X = E(X) = \sum x_i f(x_i)$$

Aqui, $Y = g(X)$.

$$41.2 \quad \mu_Y = E(Y) = \sum g(x_i) f(x_i)$$

Variância e desvio padrão

$$41.3 \quad \sigma_X^2 = \text{Var}(X) = \sum (x_i - \mu)^2 f(x_i) = E((X - \mu)^2)$$

Alternativamente, $\text{Var}(X) = \sigma^2$ pode ser obtida como segue:

$$41.4 \quad \text{Var}(X) = \sum x_i^2 f(x_i) - \mu^2 = E(X^2) - \mu^2$$

$$41.5 \quad \sigma_X = \sqrt{\text{Var}(X)} = \sqrt{E(X^2) - \mu^2}$$

Observação: A variância $\text{Var}(X) = \sigma^2$ e o desvio padrão σ medem a dispersão ponderada dos valores x_i em torno da média μ ; no entanto, o desvio padrão tem as mesmas unidades que a média μ .

Exemplo Suponha que X tem a seguinte distribuição de probabilidade.

| | | | | |
|--------|-----|-----|-----|-----|
| x | 2 | 4 | 6 | 8 |
| $f(x)$ | 0,1 | 0,2 | 0,3 | 0,4 |

Então,

$$\mu = E(X) = \sum x_i f(x_i) = 2(0,1) + 4(0,2) + 6(0,3) + 8(0,4) = 6$$

$$E(X^2) = \sum x_i^2 f(x_i) = 2^2(0,1) + 4^2(0,2) + 6^2(0,3) + 8^2(0,4) = 40$$

$$\sigma^2 = \text{Var}(X) = E(X^2) - \mu^2 = 40 - 36 = 4$$

$$\sigma = \sqrt{\text{Var}(X)} = \sqrt{4} = 2$$

Variáveis aleatórias contínuas

Aqui vamos supor que X é um contínuo de valores. Então X determina uma função $f(x)$, denominada *função densidade* de X , tal que

$$(i) f(x) \geq 0 \quad \text{e} \quad (ii) \int_{-\infty}^{\infty} f(x) dx = \int_{\mathbf{R}} f(x) dx = 1$$

Além disso,

$$P(a \leq X \leq b) = \int_a^b f(x) dx$$

Média

$$41.6 \quad \mu_X = E(X) = \int_{-\infty}^{\infty} xf(x) dx$$

Aqui, $Y = g(X)$.

$$41.7 \quad \mu_Y = E(Y) = \int_{-\infty}^{\infty} g(x)f(x) dx$$

Variância e desvio padrão

$$41.8 \quad \sigma_X^2 = \text{Var}(X) = \int_{-\infty}^{\infty} (x - \mu)^2 f(x) dx = E((X - \mu)^2)$$

Alternativamente, $\text{Var}(X) = \sigma^2$ pode ser obtida por meio de

$$41.9 \quad \text{Var}(X) = \int_{-\infty}^{\infty} x^2 f(x) dx - \mu^2 = E(X^2) - \mu^2$$

$$41.10 \quad \sigma_X = \sqrt{\text{Var}(X)} = \sqrt{E(X^2) - \mu^2}$$

Exemplo Seja X a variável aleatória contínua com a função densidade dada por

$$f(x) = \begin{cases} (1/2)x & \text{se } 0 \leq x \leq 2 \\ 0 & \text{caso contrário} \end{cases}$$

Então,

$$E(X) = \int_{-\infty}^{\infty} xf(x) dx = \int_0^2 \frac{1}{2} x^2 dx = \left[\frac{x^3}{6} \right]_0^2 = \frac{4}{3}$$

$$E(X^2) = \int_{-\infty}^{\infty} x^2 f(x) dx = \int_0^2 \frac{1}{2} x^3 dx = \left[\frac{x^4}{8} \right]_0^2 = 2$$

$$\sigma^2 = \text{Var}(X) = E(X^2) - \mu^2 = 2 - \frac{16}{9} = \frac{2}{9}$$

$$\sigma = \sqrt{\text{Var}(X)} = \sqrt{\frac{2}{9}} = \frac{1}{3}\sqrt{2}$$

Função distribuição acumulada

A função distribuição acumulada $F(X)$ de uma variável aleatória X é a função $F: \mathbf{R} \rightarrow \mathbf{R}$ definida por

$$41.11 \quad F(a) = P(X \leq a)$$

A função F está bem definida, pois a imagem inversa do intervalo $(-\infty, a]$ é um evento.

A função F tem as propriedades listadas a seguir.

$$41.12 \quad F(a) \leq F(b) \text{ sempre que } a \leq b.$$

$$41.13 \quad \lim_{x \rightarrow -\infty} F(x) = 0 \quad \text{e} \quad \lim_{x \rightarrow +\infty} F(x) = 1$$

Portanto $F(x)$ é monótona na reta real com limite lateral à esquerda igual a 0 e limite lateral à direita igual a 1.

Se X é uma variável aleatória discreta com distribuição $f(x)$, então $F(X)$ é a função escada

$$41.14 \quad F(x) = \sum_{x_i \leq x} f(x_i)$$

Se X é uma variável aleatória contínua, então a função densidade $f(x)$ de X pode ser obtida a partir da função distribuição acumulada $F(X)$ por derivação, ou seja,

$$41.15 \quad f(x) = \frac{d}{dx} F(x) = F'(x)$$

Assim, para uma variável aleatória contínua X , temos

$$41.16 \quad F(x) = \int_{-\infty}^x f(t) dt$$

Variável aleatória padronizada

A variável aleatória padronizada Z de uma variável aleatória X com média μ e desvio padrão $\sigma > 0$ é definida por

$$41.17 \quad Z = \frac{X - \mu}{\sigma}$$

A variável aleatória padronizada Z tem as seguintes propriedades.

$$\mu_z = E(Z) = 0 \quad \text{e} \quad \sigma_z = 1$$

Exemplo Considere a variável aleatória X do exemplo que segue a Fórmula 41.5, onde $\mu_x = 6$ e $\sigma_x = 2$. A distribuição de $Z = (X - 6)/2$, onde $f(z) = f(x)$, é

| | | | | |
|--------|-----|-----|-----|-----|
| Z | -2 | -1 | 0 | 1 |
| $f(Z)$ | 0,1 | 0,2 | 0,3 | 0,4 |

Então,

$$E(Z) = \sum z_i f(z_i) = (-2)(0,1) + (-1)(0,2) + 0(0,3) + 1(0,4) = 0$$

$$E(Z^2) = \sum z_i^2 f(z_i) = (-2)^2(0,1) + (-1)^2(0,2) + 0^2(0,3) + 1^2(0,4) = 1$$

$$\text{Var}(Z) = 1 - 0^2 = 1 \quad \text{e} \quad \sigma_z = \sqrt{\text{Var}(Z)} = 1$$

Distribuições de probabilidade

$$41.18 \quad \text{Distribuição binomial: } \Phi(x) = \sum_{t \leq x} \binom{n}{t} p^t q^{n-t} \quad p > 0, q > 0, p + q = 1$$

$$41.19 \quad \text{Distribuição de Poisson: } \Phi(x) = \sum_{t \leq x} \frac{\lambda^t e^{-\lambda}}{t!} \quad \lambda > 0$$

41.20 Distribuição hipergeométrica: $\Phi(x) = \sum_{t \leq x} z \frac{\binom{r}{t} \binom{s}{n-t}}{\binom{r+s}{n}}$

41.21 Distribuição normal: $\Phi(x) = \frac{1}{\sqrt{2\pi}} \int_{-\infty}^x e^{-t^2/2} dt$

41.22 Distribuição T de Student: $\Phi(x) = \frac{1}{\sqrt{n\pi}} \frac{\Gamma\left(\frac{n+1}{2}\right)}{\Gamma(n/2)} \int_{-\infty}^x \left(1 + \frac{t^2}{n}\right)^{-(n+1)/2} dt$

41.23 Distribuição χ^2 (Qui-Quadrado): $\Phi(x) = \frac{1}{2^{n/2} \Gamma(n/2)} \int_0^x t^{(n-2)/2} e^{-t/2} dt$

41.24 Distribuição F : $\Phi(x) = \frac{\Gamma\left(\frac{n_1+n_2}{2}\right) n_1^{n_1/2} n_2^{n_2/2}}{\Gamma(n_1/2)\Gamma(n_2/2)} \int_0^x t^{(n_1/2)-1} (n_2 + n_1 t)^{-(n_1+n_2)/2} dt$

Interpolação de Lagrange

Fórmula de interpolação de dois pontos

$$42.1 \quad p(x) = f(x_0) \frac{x - x_1}{x_0 - x_1} + f(x_1) \frac{x - x_0}{x_1 - x_0}$$

onde $p(x)$ é um polinômio linear interpolando os dois pontos

$$(x_0, f(x_0)), \quad (x_1, f(x_1)), \quad x_0 \neq x_1$$

Fórmula geral de interpolação

$$42.2 \quad p(x) = f(x_0)L_{n,0}(x) + f(x_1)L_{n,1}(x) + \cdots + f(x_n)L_{n,n}(x)$$

onde

$$L_{n,k}(x) = \prod_{i=0, i \neq k}^n \frac{x - x_i}{x_k - x_i}$$

e onde $p(x)$ é um polinômio de grau n interpolando os $n + 1$ pontos

$$(x_k, f(x_k)), \quad k = 0, 1, \dots, n \quad \text{e} \quad x_i \neq x_j \quad \text{para} \quad i \neq j$$

Fórmula do resto

Suponha que $f(x) \in C^{n+1}[a, b]$. Então existe um ponto $\xi(x) \in (a, b)$ tal que

$$42.3 \quad f(x) = p(x) + \frac{f^{(n+1)}(\xi(x))}{(n+1)!} (x - x_0)(x - x_1) \cdots (x - x_n)$$

Interpolação de Newton

Fórmula do quociente de diferenças de primeira ordem

$$42.4 \quad f[x_0, x_1] = \frac{f(x_1) - f(x_0)}{x_1 - x_0}$$

Fórmula de interpolação de dois pontos

$$42.5 \quad p(x) = f(x_0) + f[x_0, x_1](x - x_0)$$

onde $p(x)$ é um polinômio linear interpolando os dois pontos

$$(x_0, f(x_0)), (x_1, f(x_1)), \quad x_0 \neq x_1$$

Fórmula do quociente de diferenças de segunda ordem

$$42.6 \quad f[x_0, x_1, x_2] = \frac{f[x_1, x_2] - f[x_0, x_1]}{x_2 - x_0}$$

Fórmula de interpolação de três pontos

$$42.7 \quad p(x) = f(x_0) + f[x_0, x_1](x - x_0) + f[x_0, x_1, x_2](x - x_0)(x - x_1)$$

onde $p(x)$ é um polinômio quadrático interpolando os três pontos

$$(x_0, f(x_0)), (x_1, f(x_1)), (x_2, f(x_2))$$

Fórmula do quociente de diferenças geral de k -ésima ordem

$$42.8 \quad f[x_0, x_1, \dots, x_k] = \frac{f[x_1, x_2, \dots, x_k] - f[x_0, x_1, \dots, x_{k-1}]}{x_k - x_0}$$

Fórmula de interpolação geral

$$42.9 \quad p(x) = f(x_0) + f[x_0, x_1](x - x_0) + \dots + f[x_0, x_1, \dots, x_n](x - x_0)(x - x_1) \cdots (x - x_{n-1})$$

onde $p(x)$ é um polinômio de grau n interpolando os $n + 1$ pontos

$$(x_k, f(x_k)), \quad k = 0, 1, \dots, n \quad \text{e} \quad x_i \neq x_j \quad \text{para} \quad i \neq j$$

Fórmula do resto

Suponha que $f(x) \in C^{n+1}[a, b]$. Então existe um ponto $\xi(x) \in (a, b)$ tal que

$$42.10 \quad f(x) = p(x) + \frac{f^{(n+1)}(\xi(x))}{(n+1)!} (x - x_0)(x - x_1) \cdots (x - x_n)$$

Fórmula de Newton de diferenças para a frente

Diferença para a frente de primeira ordem em x_0

$$42.11 \quad \Delta f(x_0) = f(x_1) - f(x_0)$$

Diferença para a frente de segunda ordem em x_0

$$42.12 \quad \Delta^2 f(x_0) = \Delta f(x_1) - \Delta f(x_0)$$

Diferença para a frente de k -ésima ordem em x_0

$$42.13 \quad \Delta^k f(x_0) = \Delta^{k-1} f(x_1) - \Delta^{k-1} f(x_0)$$

Coeficiente binomial

$$42.14 \quad \binom{s}{k} = \frac{s(s-1) \cdots (s-k+1)}{k!}$$

Fórmula de Newton de diferenças para a frente em x_0

$$42.15 \quad p(x) = \sum_{k=0}^n \binom{n}{k} \Delta^k f(x_0)$$

onde $p(x)$ é um polinômio de grau n interpolando os $n + 1$ pontos igualmente espaçados

$$(x_k, f(x_k)), \quad x_k = x_0 + kh, \quad k = 0, 1, \dots, n$$

Fórmula de Newton de diferenças para trás

Diferença para trás de primeira ordem em x_n

$$42.16 \quad \nabla f(x_n) = f(x_n) - f(x_{n-1})$$

Diferença para trás de segunda ordem em x_n

$$42.17 \quad \nabla^2 f(x_n) = \nabla f(x_n) - \nabla f(x_{n-1})$$

Diferença para trás de k -ésima ordem em x_n

$$42.18 \quad \nabla^k f(x_n) = \nabla^{k-1} f(x_n) - \nabla^{k-1} f(x_{n-1})$$

Fórmula de Newton de diferenças para trás em x_0

$$42.19 \quad p(x) = \sum_{k=0}^n (-1)^k \binom{-n}{k} \nabla^k f(x_n)$$

onde $p(x)$ é um polinômio de grau n interpolando os $n + 1$ pontos igualmente espaçados

$$(x_k, f(x_k)), \quad x_k = x_0 + kh, \quad k = 0, 1, \dots, n$$

Interpolação de Hermite

Base de polinômios para dois pontos

$$42.20 \quad H_{1,0} = \left(1 - 2 \frac{x - x_0}{x_0 - x_1}\right) \frac{(x - x_1)^2}{(x_0 - x_1)^2}, \quad H_{1,1} = \left(1 - 2 \frac{x - x_1}{x_1 - x_0}\right) \frac{(x - x_0)^2}{(x_1 - x_0)^2}$$

$$\hat{H}_{1,0} = (x - x_0) \frac{(x - x_1)^2}{(x_0 - x_1)^2}, \quad \hat{H}_{1,1} = (x - x_1) \frac{(x - x_0)^2}{(x_1 - x_0)^2}$$

Fórmula de interpolação de dois pontos

$$42.21 \quad H_3(x) = f(x_0)H_{1,0} + f(x_1)H_{1,1} + f'(x_0)\hat{H}_{1,0} + f'(x_1)\hat{H}_{1,1}$$

onde $H_3(x)$ é um polinômio de grau três que tem o mesmo valor e as mesmas derivadas primeiras que $f(x)$ em dois pontos, ou seja,

$$H_3(x_0) = f(x_0), \quad H_3'(x_0) = f'(x_0), \quad H_3(x_1) = f(x_1), \quad H_3'(x_1) = f'(x_1)$$

Base de polinômios geral

$$42.22 \quad H_{n,j} = \left(1 - 2 \frac{x - x_j}{L'_{n,j}(x_j)}\right) L_{n,j}^2(x), \quad \hat{H}_{n,j} = (x - x_j) L_{n,j}^2(x)$$

onde

$$L_{n,j}(x) = \prod_{i=0, i \neq j}^n \frac{x - x_i}{x_j - x_i}$$

Fórmula de interpolação geral

$$42.23 \quad H_{2n+1}(x) = \sum_{j=0}^n f(x_j) H_{n,j}(x) + \sum_{j=0}^n f'(x_j) \hat{H}_{n,j}(x)$$

onde $H_{2n+1}(x)$ é um polinômio de grau $2n + 1$ que tem o mesmo valor e as mesmas derivadas primeiras que $f(x)$ em $n + 1$ pontos, ou seja,

$$H_{2n+1}(x_k) = f(x_k), \quad H'_{2n+1}(x_k) = f'(x_k), \quad k = 0, 1, \dots, n$$

Fórmula do resto

Suponha que $f(x) \in C^{2n+2}[a, b]$. Então existe um ponto $\xi(x) \in (a, b)$ tal que

$$42.24 \quad f(x) = H_{2n+1}(x) + \frac{f^{2n+2}(\xi(x))}{(2n+2)!} (x - x_0)^2 (x - x_1)^2 \cdots (x - x_n)^2$$

Regra do trapézio

Regra do trapézio

$$43.1 \quad \int_a^b f(x) dx \sim \frac{b-a}{2} [f(a) + f(b)]$$

Regra do trapézio composta

$$43.2 \quad \int_a^b f(x) dx \sim \frac{h}{2} \left(f(a) + 2 \sum_{i=1}^{n-1} f(a+ih) + f(b) \right)$$

onde $h = (b-a)/n$ é o tamanho do passo.

Regra de Simpson

Regra de Simpson

$$43.3 \quad \int_a^b f(x) dx \sim \frac{b-a}{6} \left[f(a) + 4f\left(\frac{a+b}{2}\right) + f(b) \right]$$

Regra de Simpson composta

$$43.4 \quad \int_a^b f(x) dx \sim \frac{h}{3} \left(f(x_0) + 2 \sum_{i=2}^{n/2} f(x_{2i-2}) + 4 \sum_{i=1}^{n/2} f(x_{2i-1}) + f(x_n) \right)$$

onde n é par, $h = (b-a)/n$, $x_i = a + ih$, $i = 0, 1, \dots, n$.

Regra do ponto médio

Regra do ponto médio

$$43.5 \quad \int_a^b f(x) dx \sim (b-a) f\left(\frac{a+b}{2}\right)$$

Regra do ponto médio composta

$$43.6 \quad \int_a^b f(x) dx \sim 2h \sum_{i=0}^{n/2} f(x_{2i})$$

onde n é par, $h = (b-a)/(n+2)$, $x_i = a + (i-1)h$, $i = -1, 0, \dots, n+1$.

Fórmula da quadratura gaussiana

Polinômio de Legendre

$$43.7 \quad P_n(x) = \frac{1}{2^n n!} \frac{d^n}{dx^n} [(x^2 - 1)^n]$$

Fórmulas dos pontos de abscissa e dos pesos

Os pontos de abscissa $x_k^{(n)}$ e os coeficientes do peso $\omega_k^{(n)}$ são definidos como segue.

$$43.8 \quad x_k^{(n)} = \text{o } k\text{-ésimo zero do polinômio de Legendre } P_n(x)$$

$$43.9 \quad \omega_k^{(n)} = \frac{2P_n'(x_k^{(n)})^2}{1 - x_k^{(n)2}}$$

Na Figura 43-1 apresentamos uma tabela de valores para as abscissas e os pesos de Gauss-Legendre.

Fórmula de Gauss-Legendre no intervalo $(-1, 1)$

$$43.10 \quad \int_{-1}^1 f(x) dx = \sum_{k=1}^n \omega_k^{(n)} f(x_k^{(n)}) + R_n$$

Fórmula de Gauss-Legendre num intervalo (a, b) qualquer

$$43.11 \quad \int_a^b f(x) dx = \frac{b-a}{2} \sum_{k=1}^n \omega_k^{(n)} f\left(\frac{a+b}{2} + x_k^{(n)} \frac{b-a}{2}\right) + R_n$$

Fórmula do resto

$$43.12 \quad R_n = \frac{(b-a)^{2n+1} (n!)^4}{(2n+1)[(2n)!]^3} f^{(2n)}(\xi)$$

para algum $a < \xi < b$.

| n | $x_k^{(n)}$ | $\omega_k^{(n)}$ |
|-----|---------------|------------------|
| 2 | 0,5773502692 | 1,0000000000 |
| | -0,5773502692 | 1,0000000000 |
| 3 | 0,7745966692 | 0,5555555556 |
| | 0,0000000000 | 0,8888888889 |
| | -0,7745966692 | 0,5555555556 |
| 4 | 0,8611363116 | 0,3478548451 |
| | 0,3399810436 | 0,6521451549 |
| | -0,3399810436 | 0,6521451549 |
| | -0,8611363116 | 0,3478548451 |
| 5 | 0,9061798459 | 0,2369268850 |
| | 0,5384693101 | 0,4786286705 |
| | -0,0000000000 | 0,5688888889 |
| | -0,5384693101 | 0,4786286705 |
| | -0,9061798459 | 0,2369268850 |

Fig. 43-1

44

Solução de Equações Não Lineares

Aqui apresentamos métodos de resolver equações não lineares, que aparecem de duas maneiras:

44.1 Equação não linear: $f(x) = 0$

44.2 Equação não linear de ponto fixo: $x = g(x)$

Podemos alternar de 44.1 para 44.2 ou de 44.2 para 44.1 tomando

$$g(x) = f(x) + x \quad \text{ou} \quad f(x) = g(x) - x$$

Como os métodos são iterativos, existem dois tipos de estimativa de erro.

44.3 $|f(x_n)| < \epsilon$ ou $|x_{n+1} - x_n| < \epsilon$

para algum $\epsilon > 0$ predeterminado.

Método da bisseção

Utilizamos o seguinte teorema.

Teorema do valor intermediário Suponha que f é contínua num intervalo $[a, b]$ e que $f(a)f(b) < 0$. Então existe uma raiz x^* de $f(x) = 0$ em (a, b) .

O método de bisseção aproxima uma tal solução x^* .

44.4 Método de bisseção:

Passo inicial: Tome $a_0 = a$ e $b_0 = b$.

Passo de iteração:

(a) Tome $c_n = (a_n + b_n)/2$.

(b) Se $f(a_n)f(c_n) < 0$, tome $a_{n+1} = a_n$ e $b_{n+1} = c_n$; caso contrário, tome $a_{n+1} = c_n$ e $b_{n+1} = b_n$.

Método de Newton

Método de Newton

$$\mathbf{44.5} \quad x_{n+1} = x_n - \frac{f(x_n)}{f'(x_n)}$$

Convergência quadrática

$$\mathbf{44.6} \quad \lim_{n \rightarrow \infty} \frac{|x_{n+1} - x^*|}{|x_n - x^*|^2} = \frac{f''(x^*)}{2(f'(x^*))^2}$$

onde x^* é uma raiz da equação não linear 44.1.

Método da secante

Método da secante

$$44.7 \quad x_{n+1} = x_n - \frac{(x_n - x_{n-1})f(x_n)}{f(x_n) - f(x_{n-1})}$$

Taxa de convergência

$$44.8 \quad \lim_{n \rightarrow \infty} \frac{|x_{n+1} - x^*|}{|x_n - x^*| |x_{n-1} - x^*|} = \frac{f''(x^*)}{2(f'(x^*))^2}$$

onde x^* é uma raiz da equação não linear 44.1.

Ponto fixo por iteração

Utilizamos a definição e o teorema a seguir:

Definição Dizemos que uma função g de $[a, b]$ em $[a, b]$ é uma *contração* se

$$|g(x) - g(y)| \leq L |x - y| \quad \text{para quaisquer } x, y \in (a, b)$$

onde $L < 1$ é uma constante positiva.

Teorema do ponto fixo de contrações Suponha que g é uma contração de $[a, b]$. Então g tem um único ponto fixo em $[a, b]$.

Dada uma tal contração g , podemos utilizar o método a seguir.

Ponto fixo por iteração

$$44.9 \quad x_{n+1} = g(x_n)$$

45

Métodos Numéricos para Equações Diferenciais Ordinárias

Aqui apresentamos métodos de resolver o seguinte problema de valor inicial de uma equação diferencial ordinária:

$$45.1 \quad \begin{cases} \frac{dx}{dt} = f(x, t) \\ x(t_0) = x_0 \end{cases}$$

Os métodos apresentados utilizam uma malha computacional

$$45.2 \quad t_n = t_0 + nh$$

onde o passo h da malha é uniforme.

Métodos de primeira ordem

Método de Euler para a frente (método explícito de primeira ordem)

$$45.3 \quad x(t+h) = x(t) + hf(x(t), t)$$

Método de Euler para trás (método implícito de primeira ordem)

$$45.4 \quad x(t+h) = x(t) + hf(x(t+h), t+h)$$

Métodos de segunda ordem

Regra do ponto médio (método explícito de segunda ordem)

$$45.5 \quad \begin{cases} x^* = x(t) + \frac{h}{2} f(x(t), t) \\ x(t+h) = x(t) + hf\left(x^*, t + \frac{h}{2}\right) \end{cases}$$

Regra trapezoidal (método implícito de segunda ordem)

$$45.6 \quad x(t+h) = x(t) + \frac{h}{2} \{f(x(t), t) + f(x(t+h), t+h)\}$$

Método de Heun (método explícito de segunda ordem)

$$45.7 \quad \begin{cases} x^* = x(t) + hf(x(t), t) \\ x(t+h) = x(t) + \frac{h}{2} \{f(x(t), t) + f(x^*, t+h)\} \end{cases}$$

Método de estágio único de ordem superior

Método de Runge-Kutta de quarta ordem (método explícito de quarta ordem)

$$45.8 \quad x(t+h) = x(t) + \frac{1}{6}(F_1 + 2F_2 + 2F_3 + F_4)$$

onde

$$F_1 = hf(x, t), \quad F_2 = hf\left(x + \frac{F_1}{2}, t + \frac{h}{2}\right), \quad F_3 = hf\left(x + \frac{F_2}{2}, t + \frac{h}{2}\right), \quad F_4 = hf(x + F_3, t + h)$$

Métodos de passos múltiplos de ordem superior

Método de Adams-Bashforth de dois passos

$$45.9 \quad x(t+h) = x(t) + h\left(\frac{3}{2}f(x(t), t) - \frac{1}{2}f(x(t-h), t-h)\right)$$

Método de Adams-Bashforth de três passos

$$45.10 \quad x(t+h) = x(t) + h\left(\frac{23}{12}f(x(t), t) - \frac{4}{3}f(x(t-h), t-h) + \frac{5}{12}f(x(t-2h), t-2h)\right)$$

Método de Adams-Bashforth de quatro passos

$$45.11 \quad x(t+h) = x(t) + h\left(\frac{55}{24}f(x(t), t) - \frac{59}{24}f(x(t-h), t-h) + \frac{37}{24}f(x(t-2h), t-2h) - \frac{9}{24}f(x(t-3h), t-3h)\right)$$

Método de Milne

$$45.12 \quad x(t+h) = x(t-3h) + h\left(\frac{8}{3}f(x(t), t) - \frac{4}{3}f(x(t-h), t-h) + \frac{8}{3}f(x(t-2h), t-2h)\right)$$

Método de Adams-Moulton de dois passos

$$45.13 \quad x(t+h) = x(t) + h\left(\frac{5}{12}f(x(t+h), t+h) + \frac{2}{3}f(x(t), t) - \frac{1}{12}f(x(t-h), t-h)\right)$$

Método de Adams-Moulton de três passos

$$45.14 \quad x(t+h) = x(t) + h\left(\frac{3}{8}f(x(t+h), t+h) + \frac{19}{24}f(x(t), t) - \frac{5}{24}f(x(t-h), t-h) + \frac{1}{24}f(x(t-2h), t-3h)\right)$$

46

Métodos Numéricos para Equações Diferenciais Parciais

Método de diferenças finitas para a equação de Poisson

A equação de Poisson no domínio $(a, b) \times (c, d)$ é dada por

$$46.1 \quad \nabla^2 u = f, \quad \nabla^2 = \frac{\partial^2}{\partial x^2} + \frac{\partial^2}{\partial y^2}$$

Condição de fronteira:

$$46.2 \quad u(x, y) = g(x, y) \quad \text{para } x = a, b \quad \text{ou} \quad y = c, d$$

Malha computacional:

$$46.3 \quad x_i = a + i\Delta x \quad \text{para } i = 0, 1, \dots, n$$

$$y_j = c + j\Delta y \quad \text{para } j = 0, 1, \dots, m$$

onde $\Delta x = (b - a)/n$ e $\Delta y = (d - c)/m$ são os tamanhos dos passos para as variáveis x e y , respectivamente.

Aproximação de diferenças finitas de segunda ordem

$$46.4 \quad (D_x^2 + D_y^2)u(x_i, y_j) = f(x_i, y_j)$$

onde

$$D_x^2 u(x_i, y_j) = \frac{u(x_{i+1}, y_j) - 2u(x_i, y_j) + u(x_{i-1}, y_j))}{\Delta x^2}$$

$$D_y^2 u(x_i, y_j) = \frac{u(x_i, y_{j+1}) - 2u(x_i, y_j) + u(x_i, y_{j-1}))}{\Delta y^2}$$

Condição de fronteira computacional

$$46.5 \quad u(x_0, y_j) = g(a, y_j), \quad u(x_n, y_j) = g(b, y_j) \quad \text{para } j = 1, 2, \dots, m$$

$$u(x_i, y_0) = g(x_i, c), \quad u(x_i, y_m) = g(x_i, d) \quad \text{para } i = 1, 2, \dots, n$$

Método de diferenças finitas para a equação do calor

A equação do calor no domínio $(a, b) \times (c, d) \times (0, T)$ é dada por

$$46.6 \quad \frac{\partial u}{\partial t} = \nabla^2 u$$

Condição de fronteira:

$$46.7 \quad u(x, y, t) = g(x, y) \quad \text{para } x = a, b \quad \text{ou} \quad y = c, d$$

Condição inicial:

$$46.8 \quad u(x, y, 0) = u_0(x, y)$$

Malha computacional:

$$46.9 \quad x_i = a + i\Delta x \quad \text{para } i = 0, 1, \dots, n$$

$$y_j = c + j\Delta y \quad \text{para } j = 0, 1, \dots, m$$

$$t_k = k\Delta t \quad \text{para } k = 0, 1, \dots,$$

onde $\Delta x = (b - a)/n$, $\Delta y = (d - c)/m$ e Δt são os tamanhos dos passos para as variáveis x , y e t , respectivamente.

Condição de fronteira computacional

$$46.10 \quad u(x_0, y_j) = g(a, y_j), \quad u(x_n, y_j) = g(b, y_j) \quad \text{para } j = 1, 2, \dots, m$$

$$u(x_i, y_0) = g(x_i, c), \quad u(x_i, y_m) = g(x_i, d) \quad \text{para } i = 1, 2, \dots, n$$

Condição inicial computacional

$$46.11 \quad u(x_i, y_j, 0) = u_0(x_i, y_j) \quad \text{para } i = 1, 2, \dots, n; j = 0, 1, \dots, m$$

Método de Euler para a frente com condição de estabilidade

$$46.12 \quad u(x_i, y_j, t_{k+1}) = u(x_i, y_j, t_k) + \Delta t(D_x^2 + D_y^2)u(x_i, y_j, t_k)$$

$$46.13 \quad \frac{2\Delta t}{\Delta x^2} + \frac{2\Delta t}{\Delta y^2} \leq 1$$

Método de Euler para trás sem condição de estabilidade

$$46.14 \quad u(x_i, y_j, t_{k+1}) = u(x_i, y_j, t_k) + \Delta t(D_x^2 + D_y^2)u(x_i, y_j, t_{k+1})$$

Método de Crank-Nicholson (sem condição de estabilidade)

$$46.15 \quad u(x_i, y_j, t_{k+1}) = u(x_i, y_j, t_k) + \Delta t(D_x^2 + D_y^2)\{u(x_i, y_j, t_k) + u(x_i, y_j, t_{k+1})\}/2$$

Método de diferenças finitas para a equação da onda

A equação da onda no domínio $(a, b) \times (c, d) \times (0, T)$ é dada por

$$46.16 \quad \frac{\partial^2 u}{\partial t^2} = A^2 \nabla^2 u$$

onde A é uma constante representando a velocidade da onda.

Condição de fronteira:

$$46.17 \quad u(x, y, t) = g(x, y) \quad \text{para } x = a, b \quad \text{ou} \quad y = c, d$$

Condição inicial:

$$46.18 \quad u(x, y, 0) = u_0(x, y), \quad \frac{\partial u}{\partial t}(x, y, 0) = u_1(x, y)$$

Malha computacional:

$$\begin{aligned} 46.19 \quad x_i &= a + i\Delta x && \text{para } i = 0, 1, \dots, n \\ y_j &= c + j\Delta y && \text{para } j = 0, 1, \dots, m \\ t_k &= k\Delta t && \text{para } k = -1, 0, 1, \dots \end{aligned}$$

onde $\Delta x = (b - a)/n$, $\Delta y = (d - c)/m$ e Δt são os tamanhos dos passos para as variáveis x , y e t , respectivamente.

Aproximação de diferenças finitas de segunda ordem

$$46.20 \quad u(x_i, y_j, t_{k+1}) = 2u(x_i, y_j, t_k) - u(x_i, y_j, t_{k-1}) + \Delta t^2 A^2 (D_x^2 + D_y^2) u(x_i, y_j, t_k)$$

Condição de fronteira computacional

$$\begin{aligned} 46.21 \quad u(x_0, y_j) &= g(a, y_j), & u(x_n, y_j) &= g(b, y_j) && \text{para } j = 1, 2, \dots, m \\ u(x_i, y_0) &= g(x_i, c), & u(x_i, y_m) &= g(x_i, d) && \text{para } i = 1, 2, \dots, n \end{aligned}$$

Condição inicial computacional

$$46.22 \quad u(x_i, y_j, t_0) = u_0(x_i, y_j) \quad \text{para } i = 1, 2, \dots, n; j = 0, 1, \dots, m$$

$$u(x_i, y_j, t_{-1}) = u_0(x_i, y_j) + \Delta t^2 u_1(x_i, y_j) \quad \text{para } i = 1, 2, \dots, n; j = 0, 1, \dots, m$$

Condição de estabilidade

$$46.23 \quad \Delta t \leq A \min(\Delta x, \Delta y)$$

Métodos Iterativos para Sistemas Lineares

47

Método iterativo para a equação de Poisson

A aproximação de diferenças finitas para a equação de Poisson é dada por

$$47.1 \quad \begin{cases} u_{i+1,j} + u_{i-1,j} + u_{i,j+1} + u_{i,j-1} - 4u_{i,j} = f_{i,j} & \text{para } i, j = 1, 2, \dots, n-1 \\ u_{0,j} = u_{n,j} = 0 & \text{para } j = 1, 2, \dots, n-1 \\ u_{i,0} = u_{i,n} = 0 & \text{para } i = 1, 2, \dots, n-1 \end{cases}$$

Três métodos iterativos para resolver o sistema são os seguintes.

Método de Jacobi

$$47.2 \quad u_{i,j}^{k+1} = \frac{1}{4}(u_{i+1,j}^k + u_{i-1,j}^k + u_{i,j+1}^k + u_{i,j-1}^k - f_{i,j})$$

Método de Gauss-Seidel

$$47.3 \quad u_{i,j}^{k+1} = \frac{1}{4}(u_{i+1,j}^k + u_{i-1,j}^{k+1} + u_{i,j+1}^k + u_{i,j-1}^{k+1} - f_{i,j})$$

Método de sobre-relaxações sucessivas (SOR)

$$47.4 \quad \begin{cases} u_{i,j}^* = \frac{1}{4}(u_{i+1,j}^k + u_{i-1,j}^* + u_{i,j+1}^k + u_{i,j-1}^* - f_{i,j}) \\ u_{i,j}^{k+1} = (1-\omega)u_{i,j}^k + \omega u_{i,j}^* \end{cases}$$

Método iterativo para sistemas lineares gerais

Considere o sistema linear

$$47.5 \quad Ax = b$$

onde A é uma matriz $n \times n$ e x e b são vetores n -dimensionais. Vamos supor que a matriz de coeficientes está particionada como segue:

$$47.6 \quad A = D - L - U$$

onde $D = \text{diag}(A)$, L é o negativo da parte triangular estritamente inferior de A e U é o negativo da parte triangular estritamente superior de A .

Quatro métodos iterativos para resolver o sistema são os seguintes.

Método de Richardson

$$47.7 \quad x^{k+1} = (I - A)x^k + b$$

Método de Jacobi

$$47.8 \quad Dx^{k+1} = (L + U)x^k + b$$

Método de Gauss-Seidel

$$47.9 \quad (D - L)x^{k+1} = Ux^k + b$$

Método de sobre-relaxações sucessivas (SOR)

$$47.10 \quad (D - \omega L)x^{k+1} = \omega(Ux^k + b) + (1 - \omega)Dx^k$$

Parte B

TABELAS

Logaritmos Comuns

$\log_{10} N$ ou $\log N$

| N | | | | | | | | | | | Partes proporcionais | | | | | | | | |
|----|------|------|------|------|------|------|------|------|------|------|----------------------|---|----|----|----|----|----|----|----|
| | 0 | 1 | 2 | 3 | 4 | 5 | 6 | 7 | 8 | 9 | 1 | 2 | 3 | 4 | 5 | 6 | 7 | 8 | 9 |
| 10 | 0000 | 0043 | 0086 | 0128 | 0170 | 0212 | 0253 | 0294 | 0334 | 0374 | 4 | 8 | 12 | 17 | 21 | 25 | 29 | 33 | 37 |
| 11 | 0414 | 0453 | 0492 | 0531 | 0569 | 0607 | 0645 | 0682 | 0719 | 0755 | 4 | 8 | 11 | 15 | 19 | 23 | 26 | 30 | 34 |
| 12 | 0792 | 0828 | 0864 | 0899 | 0934 | 0969 | 1004 | 1038 | 1072 | 1106 | 3 | 7 | 10 | 14 | 17 | 21 | 24 | 28 | 31 |
| 13 | 1139 | 1173 | 1206 | 1239 | 1271 | 1303 | 1335 | 1367 | 1399 | 1430 | 3 | 6 | 10 | 13 | 16 | 19 | 23 | 26 | 29 |
| 14 | 1461 | 1492 | 1523 | 1553 | 1584 | 1614 | 1644 | 1673 | 1703 | 1732 | 3 | 6 | 9 | 12 | 15 | 18 | 21 | 24 | 27 |
| 15 | 1761 | 1790 | 1818 | 1847 | 1875 | 1903 | 1931 | 1959 | 1987 | 2014 | 3 | 6 | 8 | 11 | 14 | 17 | 20 | 22 | 25 |
| 16 | 2041 | 2068 | 2095 | 2122 | 2148 | 2175 | 2201 | 2227 | 2253 | 2279 | 3 | 5 | 8 | 11 | 13 | 16 | 18 | 21 | 24 |
| 17 | 2304 | 2330 | 2355 | 2380 | 2405 | 2430 | 2455 | 2480 | 2504 | 2529 | 2 | 5 | 7 | 10 | 12 | 15 | 17 | 20 | 22 |
| 18 | 2553 | 2577 | 2601 | 2625 | 2648 | 2672 | 2695 | 2718 | 2742 | 2765 | 2 | 5 | 7 | 9 | 12 | 14 | 16 | 19 | 21 |
| 19 | 2788 | 2810 | 2833 | 2856 | 2878 | 2900 | 2923 | 2945 | 2967 | 2989 | 2 | 4 | 7 | 9 | 11 | 13 | 16 | 18 | 20 |
| 20 | 3010 | 3032 | 3054 | 3075 | 3096 | 3118 | 3139 | 3160 | 3181 | 3201 | 2 | 4 | 6 | 8 | 11 | 13 | 15 | 17 | 19 |
| 21 | 3222 | 3243 | 3263 | 3284 | 3304 | 3324 | 3345 | 3365 | 3385 | 3404 | 2 | 4 | 6 | 8 | 10 | 12 | 14 | 16 | 18 |
| 22 | 3424 | 3444 | 3464 | 3483 | 3502 | 3522 | 3541 | 3560 | 3579 | 3598 | 2 | 4 | 6 | 8 | 10 | 12 | 14 | 15 | 17 |
| 23 | 3617 | 3636 | 3655 | 3674 | 3692 | 3711 | 3729 | 3747 | 3766 | 3784 | 2 | 4 | 6 | 7 | 9 | 11 | 13 | 15 | 17 |
| 24 | 3802 | 3820 | 3838 | 3856 | 3874 | 3892 | 3909 | 3927 | 3945 | 3962 | 2 | 4 | 5 | 7 | 9 | 11 | 12 | 14 | 16 |
| 25 | 3979 | 3997 | 4014 | 4031 | 4048 | 4065 | 4082 | 4099 | 4116 | 4133 | 2 | 3 | 5 | 7 | 9 | 10 | 12 | 14 | 15 |
| 26 | 4150 | 4166 | 4183 | 4200 | 4216 | 4232 | 4249 | 4265 | 4281 | 4298 | 2 | 3 | 5 | 7 | 8 | 10 | 11 | 13 | 15 |
| 27 | 4314 | 4330 | 4346 | 4362 | 4378 | 4393 | 4409 | 4425 | 4440 | 4456 | 2 | 3 | 5 | 6 | 8 | 9 | 11 | 13 | 14 |
| 28 | 4472 | 4487 | 4502 | 4518 | 4533 | 4548 | 4564 | 4579 | 4594 | 4609 | 2 | 3 | 5 | 6 | 8 | 9 | 11 | 12 | 14 |
| 29 | 4624 | 4639 | 4654 | 4669 | 4683 | 4698 | 4713 | 4728 | 4742 | 4757 | 1 | 3 | 4 | 6 | 7 | 9 | 10 | 12 | 13 |
| 30 | 4771 | 4786 | 4800 | 4814 | 4829 | 4843 | 4857 | 4871 | 4886 | 4900 | 1 | 3 | 4 | 6 | 7 | 9 | 10 | 11 | 13 |
| 31 | 4914 | 4928 | 4942 | 4955 | 4969 | 4983 | 4997 | 5011 | 5024 | 5038 | 1 | 3 | 4 | 6 | 7 | 8 | 10 | 11 | 12 |
| 32 | 5051 | 5065 | 5079 | 5092 | 5105 | 5119 | 5132 | 5145 | 5159 | 5172 | 1 | 3 | 4 | 5 | 7 | 8 | 9 | 11 | 12 |
| 33 | 5185 | 5198 | 5211 | 5224 | 5237 | 5250 | 5263 | 5276 | 5289 | 5302 | 1 | 3 | 4 | 5 | 6 | 8 | 9 | 10 | 12 |
| 34 | 5315 | 5328 | 5340 | 5353 | 5366 | 5378 | 5391 | 5403 | 5416 | 5428 | 1 | 3 | 4 | 5 | 6 | 8 | 9 | 10 | 11 |
| 35 | 5441 | 5453 | 5465 | 5478 | 5490 | 5502 | 5514 | 5527 | 5539 | 5551 | 1 | 2 | 4 | 5 | 6 | 7 | 9 | 10 | 11 |
| 36 | 5563 | 5575 | 5587 | 5599 | 5611 | 5623 | 5635 | 5647 | 5658 | 5670 | 1 | 2 | 4 | 5 | 6 | 7 | 8 | 10 | 11 |
| 37 | 5682 | 5694 | 5705 | 5717 | 5729 | 5740 | 5752 | 5763 | 5775 | 5786 | 1 | 2 | 3 | 5 | 6 | 7 | 8 | 9 | 10 |
| 38 | 5798 | 5809 | 5821 | 5832 | 5843 | 5855 | 5866 | 5877 | 5888 | 5899 | 1 | 2 | 3 | 5 | 6 | 7 | 8 | 9 | 10 |
| 39 | 5911 | 5922 | 5933 | 5944 | 5955 | 5966 | 5977 | 5988 | 5999 | 6010 | 1 | 2 | 3 | 4 | 5 | 7 | 8 | 9 | 10 |
| 40 | 6021 | 6031 | 6042 | 6053 | 6064 | 6075 | 6085 | 6096 | 6107 | 6117 | 1 | 2 | 3 | 4 | 5 | 6 | 8 | 9 | 10 |
| 41 | 6128 | 6138 | 6149 | 6160 | 6170 | 6180 | 6191 | 6201 | 6212 | 6222 | 1 | 2 | 3 | 4 | 5 | 6 | 7 | 8 | 9 |
| 42 | 6232 | 6243 | 6253 | 6263 | 6274 | 6284 | 6294 | 6304 | 6314 | 6325 | 1 | 2 | 3 | 4 | 5 | 6 | 7 | 8 | 9 |
| 43 | 6335 | 6345 | 6355 | 6365 | 6375 | 6385 | 6395 | 6405 | 6415 | 6425 | 1 | 2 | 3 | 4 | 5 | 6 | 7 | 8 | 9 |
| 44 | 6435 | 6444 | 6454 | 6464 | 6474 | 6484 | 6493 | 6503 | 6513 | 6522 | 1 | 2 | 3 | 4 | 5 | 6 | 7 | 8 | 9 |
| 45 | 6532 | 6542 | 6551 | 6561 | 6571 | 6580 | 6590 | 6599 | 6609 | 6618 | 1 | 2 | 3 | 4 | 5 | 6 | 7 | 8 | 9 |
| 46 | 6628 | 6637 | 6646 | 6656 | 6665 | 6675 | 6684 | 6693 | 6702 | 6712 | 1 | 2 | 3 | 4 | 5 | 6 | 7 | 7 | 8 |
| 47 | 6721 | 6730 | 6739 | 6749 | 6758 | 6767 | 6776 | 6785 | 6794 | 6803 | 1 | 2 | 3 | 4 | 5 | 5 | 6 | 7 | 8 |
| 48 | 6812 | 6821 | 6830 | 6839 | 6848 | 6857 | 6866 | 6875 | 6884 | 6893 | 1 | 2 | 3 | 4 | 4 | 5 | 6 | 7 | 8 |
| 49 | 6902 | 6911 | 6920 | 6928 | 6937 | 6946 | 6955 | 6964 | 6972 | 6981 | 1 | 2 | 3 | 4 | 4 | 5 | 6 | 7 | 8 |
| 50 | 6990 | 6998 | 7007 | 7016 | 7024 | 7033 | 7042 | 7050 | 7059 | 7067 | 1 | 2 | 3 | 3 | 4 | 5 | 6 | 7 | 8 |
| 51 | 7076 | 7084 | 7093 | 7101 | 7110 | 7118 | 7126 | 7135 | 7143 | 7152 | 1 | 2 | 3 | 3 | 4 | 5 | 6 | 7 | 8 |
| 52 | 7160 | 7168 | 7177 | 7185 | 7193 | 7202 | 7210 | 7218 | 7226 | 7235 | 1 | 2 | 2 | 3 | 4 | 5 | 6 | 7 | 7 |
| 53 | 7243 | 7251 | 7259 | 7267 | 7275 | 7284 | 7292 | 7300 | 7308 | 7316 | 1 | 2 | 2 | 3 | 4 | 5 | 6 | 6 | 7 |
| 54 | 7324 | 7332 | 7340 | 7348 | 7356 | 7364 | 7372 | 7380 | 7388 | 7396 | 1 | 2 | 2 | 3 | 4 | 5 | 6 | 6 | 7 |
| N | 0 | 1 | 2 | 3 | 4 | 5 | 6 | 7 | 8 | 9 | 1 | 2 | 3 | 4 | 5 | 6 | 7 | 8 | 9 |

| N | 0 | 1 | 2 | 3 | 4 | 5 | 6 | 7 | 8 | 9 | Partes proporcionais | | | | | | | | |
|----|------|------|------|------|------|------|------|------|------|------|----------------------|---|---|---|---|---|---|---|---|
| | | | | | | | | | | | 1 | 2 | 3 | 4 | 5 | 6 | 7 | 8 | 9 |
| 55 | 7404 | 7412 | 7419 | 7427 | 7435 | 7443 | 7451 | 7459 | 7466 | 7474 | 1 | 2 | 2 | 3 | 4 | 5 | 5 | 6 | 7 |
| 56 | 7482 | 7490 | 7497 | 7505 | 7513 | 7520 | 7528 | 7536 | 7543 | 7551 | 1 | 2 | 2 | 3 | 4 | 5 | 5 | 6 | 7 |
| 57 | 7559 | 7566 | 7574 | 7582 | 7589 | 7597 | 7604 | 7612 | 7619 | 7627 | 1 | 2 | 2 | 3 | 4 | 5 | 5 | 6 | 7 |
| 58 | 7634 | 7642 | 7649 | 7657 | 7664 | 7672 | 7679 | 7686 | 7694 | 7701 | 1 | 1 | 2 | 3 | 4 | 4 | 5 | 6 | 7 |
| 59 | 7709 | 7716 | 7723 | 7731 | 7738 | 7745 | 7752 | 7760 | 7767 | 7774 | 1 | 1 | 2 | 3 | 4 | 4 | 5 | 6 | 7 |
| 60 | 7782 | 7789 | 7796 | 7803 | 7810 | 7818 | 7825 | 7832 | 7839 | 7846 | 1 | 1 | 2 | 3 | 4 | 4 | 5 | 6 | 6 |
| 61 | 7853 | 7860 | 7868 | 7875 | 7882 | 7889 | 7896 | 7903 | 7910 | 7917 | 1 | 1 | 2 | 3 | 4 | 4 | 5 | 6 | 6 |
| 62 | 7924 | 7931 | 7938 | 7945 | 7952 | 7959 | 7966 | 7973 | 7980 | 7987 | 1 | 1 | 2 | 3 | 3 | 4 | 5 | 6 | 6 |
| 63 | 7993 | 8000 | 8007 | 8014 | 8021 | 8028 | 8035 | 8041 | 8048 | 8055 | 1 | 1 | 2 | 3 | 3 | 4 | 5 | 5 | 6 |
| 64 | 8062 | 8069 | 8075 | 8082 | 8089 | 8096 | 8102 | 8109 | 8116 | 8122 | 1 | 1 | 2 | 3 | 3 | 4 | 5 | 5 | 6 |
| 65 | 8129 | 8136 | 8142 | 8149 | 8156 | 8162 | 8169 | 8176 | 8182 | 8189 | 1 | 1 | 2 | 3 | 3 | 4 | 5 | 5 | 6 |
| 66 | 8195 | 8202 | 8209 | 8215 | 8222 | 8228 | 8235 | 8241 | 8248 | 8254 | 1 | 1 | 2 | 3 | 3 | 4 | 5 | 5 | 6 |
| 67 | 8261 | 8267 | 8274 | 8280 | 8287 | 8293 | 8299 | 8306 | 8312 | 8319 | 1 | 1 | 2 | 3 | 3 | 4 | 5 | 5 | 6 |
| 68 | 8325 | 8331 | 8338 | 8344 | 8351 | 8357 | 8363 | 8370 | 8376 | 8382 | 1 | 1 | 2 | 3 | 3 | 4 | 4 | 5 | 6 |
| 69 | 8388 | 8395 | 8401 | 8407 | 8414 | 8420 | 8426 | 8432 | 8439 | 8445 | 1 | 1 | 2 | 2 | 3 | 4 | 4 | 5 | 6 |
| 70 | 8451 | 8457 | 8463 | 8470 | 8476 | 8482 | 8488 | 8494 | 8500 | 8506 | 1 | 1 | 2 | 2 | 3 | 4 | 4 | 5 | 6 |
| 71 | 8513 | 8519 | 8525 | 8531 | 8537 | 8543 | 8549 | 8555 | 8561 | 8567 | 1 | 1 | 2 | 2 | 3 | 4 | 4 | 5 | 5 |
| 72 | 8573 | 8579 | 8585 | 8591 | 8597 | 8603 | 8609 | 8615 | 8621 | 8627 | 1 | 1 | 2 | 2 | 3 | 4 | 4 | 5 | 5 |
| 73 | 8633 | 8639 | 8645 | 8651 | 8657 | 8663 | 8669 | 8675 | 8681 | 8686 | 1 | 1 | 2 | 2 | 3 | 4 | 4 | 5 | 5 |
| 74 | 8692 | 8698 | 8704 | 8710 | 8716 | 8722 | 8727 | 8733 | 8739 | 8745 | 1 | 1 | 2 | 2 | 3 | 4 | 4 | 5 | 5 |
| 75 | 8751 | 8756 | 8762 | 8768 | 8774 | 8779 | 8785 | 8791 | 8797 | 8802 | 1 | 1 | 2 | 2 | 3 | 3 | 4 | 5 | 5 |
| 76 | 8808 | 8814 | 8820 | 8825 | 8831 | 8837 | 8842 | 8848 | 8854 | 8859 | 1 | 1 | 2 | 2 | 3 | 3 | 4 | 5 | 5 |
| 77 | 8865 | 8871 | 8876 | 8882 | 8887 | 8893 | 8899 | 8904 | 8910 | 8915 | 1 | 1 | 2 | 2 | 3 | 3 | 4 | 4 | 5 |
| 78 | 8921 | 8927 | 8932 | 8938 | 8943 | 8949 | 8954 | 8960 | 8965 | 8971 | 1 | 1 | 2 | 2 | 3 | 3 | 4 | 4 | 5 |
| 79 | 8976 | 8982 | 8987 | 8993 | 8998 | 9004 | 9009 | 9015 | 9020 | 9025 | 1 | 1 | 2 | 2 | 3 | 3 | 4 | 4 | 5 |
| 80 | 9031 | 9036 | 9042 | 9047 | 9053 | 9058 | 9063 | 9069 | 9074 | 9079 | 1 | 1 | 2 | 2 | 3 | 3 | 4 | 4 | 5 |
| 81 | 9085 | 9090 | 9096 | 9101 | 9106 | 9112 | 9117 | 9122 | 9128 | 9133 | 1 | 1 | 2 | 2 | 3 | 3 | 4 | 4 | 5 |
| 82 | 9138 | 9143 | 9149 | 9154 | 9159 | 9165 | 9170 | 9175 | 9180 | 9186 | 1 | 1 | 2 | 2 | 3 | 3 | 4 | 4 | 5 |
| 83 | 9191 | 9196 | 9201 | 9206 | 9212 | 9217 | 9222 | 9227 | 9232 | 9238 | 1 | 1 | 2 | 2 | 3 | 3 | 4 | 4 | 5 |
| 84 | 9243 | 9248 | 9253 | 9258 | 9263 | 9269 | 9274 | 9279 | 9284 | 9289 | 1 | 1 | 2 | 2 | 3 | 3 | 4 | 4 | 5 |
| 85 | 9294 | 9299 | 9304 | 9309 | 9315 | 9320 | 9325 | 9330 | 9335 | 9340 | 1 | 1 | 2 | 2 | 3 | 3 | 4 | 4 | 5 |
| 86 | 9345 | 9350 | 9355 | 9360 | 9365 | 9370 | 9375 | 9380 | 9385 | 9390 | 1 | 1 | 2 | 2 | 3 | 3 | 4 | 4 | 5 |
| 87 | 9395 | 9400 | 9405 | 9410 | 9415 | 9420 | 9425 | 9430 | 9435 | 9440 | 0 | 1 | 1 | 2 | 2 | 3 | 3 | 4 | 4 |
| 88 | 9445 | 9450 | 9455 | 9460 | 9465 | 9469 | 9474 | 9479 | 9484 | 9489 | 0 | 1 | 1 | 2 | 2 | 3 | 3 | 4 | 4 |
| 89 | 9494 | 9499 | 9504 | 9509 | 9513 | 9518 | 9523 | 9528 | 9533 | 9538 | 0 | 1 | 1 | 2 | 2 | 3 | 3 | 4 | 4 |
| 90 | 9542 | 9547 | 9552 | 9557 | 9562 | 9566 | 9571 | 9576 | 9581 | 9586 | 0 | 1 | 1 | 2 | 2 | 3 | 3 | 4 | 4 |
| 91 | 9590 | 9595 | 9600 | 9605 | 9609 | 9614 | 9619 | 9624 | 9628 | 9633 | 0 | 1 | 1 | 2 | 2 | 3 | 3 | 4 | 4 |
| 92 | 9638 | 9643 | 9647 | 9652 | 9657 | 9661 | 9666 | 9671 | 9675 | 9680 | 0 | 1 | 1 | 2 | 2 | 3 | 3 | 4 | 4 |
| 93 | 9685 | 9689 | 9694 | 9699 | 9703 | 9708 | 9713 | 9717 | 9722 | 9727 | 0 | 1 | 1 | 2 | 2 | 3 | 3 | 4 | 4 |
| 94 | 9731 | 9736 | 9741 | 9745 | 9750 | 9754 | 9759 | 9763 | 9768 | 9773 | 0 | 1 | 1 | 2 | 2 | 3 | 3 | 4 | 4 |
| 95 | 9777 | 9782 | 9786 | 9791 | 9795 | 9800 | 9805 | 9809 | 9814 | 9818 | 0 | 1 | 1 | 2 | 2 | 3 | 3 | 4 | 4 |
| 96 | 9823 | 9827 | 9832 | 9836 | 9841 | 9845 | 9850 | 9854 | 9859 | 9863 | 0 | 1 | 1 | 2 | 2 | 3 | 3 | 4 | 4 |
| 97 | 9868 | 9872 | 9877 | 9881 | 9886 | 9890 | 9894 | 9899 | 9903 | 9908 | 0 | 1 | 1 | 2 | 2 | 3 | 3 | 4 | 4 |
| 98 | 9912 | 9917 | 9921 | 9926 | 9930 | 9934 | 9939 | 9943 | 9948 | 9952 | 0 | 1 | 1 | 2 | 2 | 3 | 3 | 4 | 4 |
| 99 | 9956 | 9961 | 9965 | 9969 | 9974 | 9978 | 9983 | 9987 | 9991 | 9996 | 0 | 1 | 1 | 2 | 2 | 3 | 3 | 3 | 4 |
| N | 0 | 1 | 2 | 3 | 4 | 5 | 6 | 7 | 8 | 9 | 1 | 2 | 3 | 4 | 5 | 6 | 7 | 8 | 9 |

sen x (x em graus e minutos)

| x | 0' | 10' | 20' | 30' | 40' | 50' |
|-----|--------|--------|--------|--------|--------|--------|
| 0° | 0,0000 | 0,0029 | 0,0058 | 0,0087 | 0,0116 | 0,0145 |
| 1 | 0,0175 | 0,0204 | 0,0233 | 0,0262 | 0,0291 | 0,0320 |
| 2 | 0,0349 | 0,0378 | 0,0407 | 0,0436 | 0,0465 | 0,0494 |
| 3 | 0,0523 | 0,0552 | 0,0581 | 0,0610 | 0,0640 | 0,0669 |
| 4 | 0,0698 | 0,0727 | 0,0756 | 0,0785 | 0,0814 | 0,0843 |
| 5° | 0,0872 | 0,0901 | 0,0929 | 0,0958 | 0,0987 | 0,1016 |
| 6 | 0,1045 | 0,1074 | 0,1103 | 0,1132 | 0,1161 | 0,1190 |
| 7 | 0,1219 | 0,1248 | 0,1276 | 0,1305 | 0,1334 | 0,1363 |
| 8 | 0,1392 | 0,1421 | 0,1449 | 0,1478 | 0,1507 | 0,1536 |
| 9 | 0,1564 | 0,1593 | 0,1622 | 0,1650 | 0,1679 | 0,1708 |
| 10° | 0,1736 | 0,1765 | 0,1794 | 0,1822 | 0,1851 | 0,1880 |
| 11 | 0,1908 | 0,1937 | 0,1965 | 0,1994 | 0,2022 | 0,2051 |
| 12 | 0,2079 | 0,2108 | 0,2136 | 0,2164 | 0,2193 | 0,2221 |
| 13 | 0,2250 | 0,2278 | 0,2306 | 0,2334 | 0,2363 | 0,2391 |
| 14 | 0,2419 | 0,2447 | 0,2476 | 0,2504 | 0,2532 | 0,2560 |
| 15° | 0,2588 | 0,2616 | 0,2644 | 0,2672 | 0,2700 | 0,2728 |
| 16 | 0,2756 | 0,2784 | 0,2812 | 0,2840 | 0,2868 | 0,2896 |
| 17 | 0,2924 | 0,2952 | 0,2979 | 0,3007 | 0,3035 | 0,3062 |
| 18 | 0,3090 | 0,3118 | 0,3145 | 0,3173 | 0,3201 | 0,3228 |
| 19 | 0,3256 | 0,3283 | 0,3311 | 0,3338 | 0,3365 | 0,3393 |
| 20° | 0,3420 | 0,3448 | 0,3475 | 0,3502 | 0,3529 | 0,3557 |
| 21 | 0,3584 | 0,3611 | 0,3638 | 0,3665 | 0,3692 | 0,3719 |
| 22 | 0,3746 | 0,3773 | 0,3800 | 0,3827 | 0,3854 | 0,3881 |
| 23 | 0,3907 | 0,3934 | 0,3961 | 0,3987 | 0,4014 | 0,4041 |
| 24 | 0,4067 | 0,4094 | 0,4120 | 0,4147 | 0,4173 | 0,4200 |
| 25° | 0,4226 | 0,4253 | 0,4279 | 0,4305 | 0,4331 | 0,4358 |
| 26 | 0,4384 | 0,4410 | 0,4436 | 0,4462 | 0,4488 | 0,4514 |
| 27 | 0,4540 | 0,4566 | 0,4592 | 0,4617 | 0,4643 | 0,4669 |
| 28 | 0,4695 | 0,4720 | 0,4746 | 0,4772 | 0,4797 | 0,4823 |
| 29 | 0,4848 | 0,4874 | 0,4899 | 0,4924 | 0,4950 | 0,4975 |
| 30° | 0,5000 | 0,5025 | 0,5050 | 0,5075 | 0,5100 | 0,5125 |
| 31 | 0,5150 | 0,5175 | 0,5200 | 0,5225 | 0,5250 | 0,5275 |
| 32 | 0,5299 | 0,5324 | 0,5348 | 0,5373 | 0,5398 | 0,5422 |
| 33 | 0,5446 | 0,5471 | 0,5495 | 0,5519 | 0,5544 | 0,5568 |
| 34 | 0,5592 | 0,5616 | 0,5640 | 0,5664 | 0,5688 | 0,5712 |
| 35° | 0,5736 | 0,5760 | 0,5783 | 0,5807 | 0,5831 | 0,5854 |
| 36 | 0,5878 | 0,5901 | 0,5925 | 0,5948 | 0,5972 | 0,5995 |
| 37 | 0,6018 | 0,6041 | 0,6065 | 0,6088 | 0,6111 | 0,6134 |
| 38 | 0,6157 | 0,6180 | 0,6202 | 0,6225 | 0,6248 | 0,6271 |
| 39 | 0,6293 | 0,6316 | 0,6338 | 0,6361 | 0,6383 | 0,6406 |
| 40° | 0,6428 | 0,6450 | 0,6472 | 0,6494 | 0,6517 | 0,6539 |
| 41 | 0,6561 | 0,6583 | 0,6604 | 0,6626 | 0,6648 | 0,6670 |
| 42 | 0,6691 | 0,6713 | 0,6734 | 0,6756 | 0,6777 | 0,6799 |
| 43 | 0,6820 | 0,6841 | 0,6862 | 0,6884 | 0,6905 | 0,6926 |
| 44 | 0,6947 | 0,6967 | 0,6988 | 0,7009 | 0,7030 | 0,7050 |
| 45° | 0,7071 | 0,7092 | 0,7112 | 0,7133 | 0,7153 | 0,7173 |

| x | 0' | 10' | 20' | 30' | 40' | 50' |
|-----|--------|--------|--------|--------|--------|--------|
| 45° | 0,7071 | 0,7092 | 0,7112 | 0,7133 | 0,7153 | 0,7173 |
| 46 | 0,7193 | 0,7214 | 0,7234 | 0,7254 | 0,7274 | 0,7294 |
| 47 | 0,7314 | 0,7333 | 0,7353 | 0,7373 | 0,7392 | 0,7412 |
| 48 | 0,7431 | 0,7451 | 0,7470 | 0,7490 | 0,7509 | 0,7528 |
| 49 | 0,7547 | 0,7566 | 0,7585 | 0,7604 | 0,7623 | 0,7642 |
| 50° | 0,7660 | 0,7679 | 0,7698 | 0,7716 | 0,7735 | 0,7753 |
| 51 | 0,7771 | 0,7790 | 0,7808 | 0,7826 | 0,7844 | 0,7862 |
| 52 | 0,7880 | 0,7898 | 0,7916 | 0,7934 | 0,7951 | 0,7969 |
| 53 | 0,7986 | 0,8004 | 0,8021 | 0,8039 | 0,8056 | 0,8073 |
| 54 | 0,8090 | 0,8107 | 0,8124 | 0,8141 | 0,8158 | 0,8175 |
| 55° | 0,8192 | 0,8208 | 0,8225 | 0,8241 | 0,8258 | 0,8274 |
| 56 | 0,8290 | 0,8307 | 0,8323 | 0,8339 | 0,8355 | 0,8371 |
| 57 | 0,8387 | 0,8403 | 0,8418 | 0,8434 | 0,8450 | 0,8465 |
| 58 | 0,8480 | 0,8496 | 0,8511 | 0,8526 | 0,8542 | 0,8557 |
| 59 | 0,8572 | 0,8587 | 0,8601 | 0,8616 | 0,8631 | 0,8646 |
| 60° | 0,8660 | 0,8675 | 0,8689 | 0,8704 | 0,8718 | 0,8732 |
| 61 | 0,8746 | 0,8760 | 0,8774 | 0,8788 | 0,8802 | 0,8816 |
| 62 | 0,8829 | 0,8843 | 0,8857 | 0,8870 | 0,8884 | 0,8897 |
| 63 | 0,8910 | 0,8923 | 0,8936 | 0,8949 | 0,8962 | 0,8975 |
| 64 | 0,8988 | 0,9001 | 0,9013 | 0,9026 | 0,9038 | 0,9051 |
| 65° | 0,9063 | 0,9075 | 0,9088 | 0,9100 | 0,9112 | 0,9124 |
| 66 | 0,9135 | 0,9147 | 0,9159 | 0,9171 | 0,9182 | 0,9194 |
| 67 | 0,9205 | 0,9216 | 0,9228 | 0,9239 | 0,9250 | 0,9261 |
| 68 | 0,9272 | 0,9283 | 0,9293 | 0,9304 | 0,9315 | 0,9325 |
| 69 | 0,9336 | 0,9346 | 0,9356 | 0,9367 | 0,9377 | 0,9387 |
| 70° | 0,9397 | 0,9407 | 0,9417 | 0,9426 | 0,9436 | 0,9446 |
| 71 | 0,9455 | 0,9465 | 0,9474 | 0,9483 | 0,9492 | 0,9502 |
| 72 | 0,9511 | 0,9520 | 0,9528 | 0,9537 | 0,9546 | 0,9555 |
| 73 | 0,9563 | 0,9572 | 0,9580 | 0,9588 | 0,9596 | 0,9605 |
| 74 | 0,9613 | 0,9621 | 0,9628 | 0,9636 | 0,9644 | 0,9652 |
| 75° | 0,9659 | 0,9667 | 0,9674 | 0,9681 | 0,9689 | 0,9696 |
| 76 | 0,9703 | 0,9710 | 0,9717 | 0,9724 | 0,9730 | 0,9737 |
| 77 | 0,9744 | 0,9750 | 0,9757 | 0,9763 | 0,9769 | 0,9775 |
| 78 | 0,9781 | 0,9787 | 0,9793 | 0,9799 | 0,9805 | 0,9811 |
| 79 | 0,9816 | 0,9822 | 0,9827 | 0,9833 | 0,9838 | 0,9843 |
| 80° | 0,9848 | 0,9853 | 0,9858 | 0,9863 | 0,9868 | 0,9872 |
| 81 | 0,9877 | 0,9881 | 0,9886 | 0,9890 | 0,9894 | 0,9899 |
| 82 | 0,9903 | 0,9907 | 0,9911 | 0,9914 | 0,9918 | 0,9922 |
| 83 | 0,9925 | 0,9929 | 0,9932 | 0,9936 | 0,9939 | 0,9942 |
| 84 | 0,9945 | 0,9948 | 0,9951 | 0,9954 | 0,9957 | 0,9959 |
| 85° | 0,9962 | 0,9964 | 0,9967 | 0,9969 | 0,9971 | 0,9974 |
| 86 | 0,9976 | 0,9978 | 0,9980 | 0,9981 | 0,9983 | 0,9985 |
| 87 | 0,9986 | 0,9988 | 0,9989 | 0,9990 | 0,9992 | 0,9993 |
| 88 | 0,9994 | 0,9995 | 0,9996 | 0,9997 | 0,9997 | 0,9998 |
| 89 | 0,9998 | 0,9999 | 0,9999 | 1,0000 | 1,0000 | 1,0000 |
| 90° | 1,0000 | | | | | |

3

cos x (x em graus e minutos)

| x | 0' | 10' | 20' | 30' | 40' | 50' |
|-----|--------|--------|--------|--------|--------|--------|
| 0° | 1,0000 | 1,0000 | 1,0000 | 1,0000 | 0,9999 | 0,9999 |
| 1 | 0,9998 | 0,9998 | 0,9997 | 0,9997 | 0,9996 | 0,9995 |
| 2 | 0,9994 | 0,9993 | 0,9992 | 0,9990 | 0,9989 | 0,9988 |
| 3 | 0,9986 | 0,9985 | 0,9983 | 0,9981 | 0,9980 | 0,9978 |
| 4 | 0,9976 | 0,9974 | 0,9971 | 0,9969 | 0,9967 | 0,9964 |
| 5° | 0,9962 | 0,9959 | 0,9957 | 0,9954 | 0,9951 | 0,9948 |
| 6 | 0,9945 | 0,9942 | 0,9939 | 0,9936 | 0,9932 | 0,9929 |
| 7 | 0,9925 | 0,9922 | 0,9918 | 0,9914 | 0,9911 | 0,9907 |
| 8 | 0,9903 | 0,9899 | 0,9894 | 0,9890 | 0,9886 | 0,9881 |
| 9 | 0,9877 | 0,9872 | 0,9868 | 0,9863 | 0,9858 | 0,9853 |
| 10° | 0,9848 | 0,9843 | 0,9838 | 0,9833 | 0,9827 | 0,9822 |
| 11 | 0,9816 | 0,9811 | 0,9805 | 0,9799 | 0,9793 | 0,9787 |
| 12 | 0,9781 | 0,9775 | 0,9769 | 0,9763 | 0,9757 | 0,9750 |
| 13 | 0,9744 | 0,9737 | 0,9730 | 0,9724 | 0,9717 | 0,9710 |
| 14 | 0,9703 | 0,9696 | 0,9689 | 0,9681 | 0,9674 | 0,9667 |
| 15° | 0,9659 | 0,9652 | 0,9644 | 0,9636 | 0,9628 | 0,9621 |
| 16 | 0,9613 | 0,9605 | 0,9596 | 0,9588 | 0,9580 | 0,9572 |
| 17 | 0,9563 | 0,9555 | 0,9546 | 0,9537 | 0,9528 | 0,9520 |
| 18 | 0,9511 | 0,9502 | 0,9492 | 0,9483 | 0,9474 | 0,9465 |
| 19 | 0,9455 | 0,9446 | 0,9436 | 0,9426 | 0,9417 | 0,9407 |
| 20° | 0,9397 | 0,9387 | 0,9377 | 0,9367 | 0,9356 | 0,9346 |
| 21 | 0,9336 | 0,9325 | 0,9315 | 0,9304 | 0,9293 | 0,9283 |
| 22 | 0,9272 | 0,9261 | 0,9250 | 0,9239 | 0,9228 | 0,9216 |
| 23 | 0,9205 | 0,9194 | 0,9182 | 0,9171 | 0,9159 | 0,9147 |
| 24 | 0,9135 | 0,9124 | 0,9112 | 0,9100 | 0,9088 | 0,9075 |
| 25° | 0,9063 | 0,9051 | 0,9038 | 0,9026 | 0,9013 | 0,9001 |
| 26 | 0,8988 | 0,8975 | 0,8962 | 0,8949 | 0,8936 | 0,8923 |
| 27 | 0,8910 | 0,8897 | 0,8884 | 0,8870 | 0,8857 | 0,8843 |
| 28 | 0,8829 | 0,8816 | 0,8802 | 0,8788 | 0,8774 | 0,8760 |
| 29 | 0,8746 | 0,8732 | 0,8718 | 0,8704 | 0,8689 | 0,8675 |
| 30° | 0,8660 | 0,8646 | 0,8631 | 0,8616 | 0,8601 | 0,8587 |
| 31 | 0,8572 | 0,8557 | 0,8542 | 0,8526 | 0,8511 | 0,8496 |
| 32 | 0,8480 | 0,8465 | 0,8450 | 0,8434 | 0,8418 | 0,8403 |
| 33 | 0,8387 | 0,8371 | 0,8355 | 0,8339 | 0,8323 | 0,8307 |
| 34 | 0,8290 | 0,8274 | 0,8258 | 0,8241 | 0,8225 | 0,8208 |
| 35° | 0,8192 | 0,8175 | 0,8158 | 0,8141 | 0,8124 | 0,8107 |
| 36 | 0,8090 | 0,8073 | 0,8056 | 0,8039 | 0,8021 | 0,8004 |
| 37 | 0,7986 | 0,7969 | 0,7951 | 0,7934 | 0,7916 | 0,7898 |
| 38 | 0,7880 | 0,7862 | 0,7844 | 0,7826 | 0,7808 | 0,7790 |
| 39 | 0,7771 | 0,7753 | 0,7735 | 0,7716 | 0,7698 | 0,7679 |
| 40° | 0,7660 | 0,7642 | 0,7623 | 0,7604 | 0,7585 | 0,7566 |
| 41 | 0,7547 | 0,7528 | 0,7509 | 0,7490 | 0,7470 | 0,7451 |
| 42 | 0,7431 | 0,7412 | 0,7392 | 0,7373 | 0,7353 | 0,7333 |
| 43 | 0,7314 | 0,7294 | 0,7274 | 0,7254 | 0,7234 | 0,7214 |
| 44 | 0,7193 | 0,7173 | 0,7153 | 0,7133 | 0,7112 | 0,7092 |
| 45° | 0,7071 | 0,7050 | 0,7030 | 0,7009 | 0,6988 | 0,6967 |

| x | 0' | 10' | 20' | 30' | 40' | 50' |
|-----|--------|--------|--------|--------|--------|--------|
| 45° | 0,7071 | 0,7050 | 0,7030 | 0,7009 | 0,6988 | 0,6967 |
| 46 | 0,6947 | 0,6926 | 0,6905 | 0,6884 | 0,6862 | 0,6841 |
| 47 | 0,6820 | 0,6799 | 0,6777 | 0,6756 | 0,6734 | 0,6713 |
| 48 | 0,6691 | 0,6670 | 0,6648 | 0,6626 | 0,6604 | 0,6583 |
| 49 | 0,6561 | 0,6539 | 0,6517 | 0,6494 | 0,6472 | 0,6450 |
| 50° | 0,6428 | 0,6406 | 0,6383 | 0,6361 | 0,6338 | 0,6316 |
| 51 | 0,6293 | 0,6271 | 0,6248 | 0,6225 | 0,6202 | 0,6180 |
| 52 | 0,6157 | 0,6134 | 0,6111 | 0,6088 | 0,6065 | 0,6041 |
| 53 | 0,6018 | 0,5995 | 0,5972 | 0,5948 | 0,5925 | 0,5901 |
| 54 | 0,5878 | 0,5854 | 0,5831 | 0,5807 | 0,5783 | 0,5760 |
| 55° | 0,5736 | 0,5712 | 0,5688 | 0,5664 | 0,5640 | 0,5616 |
| 56 | 0,5592 | 0,5568 | 0,5544 | 0,5519 | 0,5495 | 0,5471 |
| 57 | 0,5446 | 0,5422 | 0,5398 | 0,5373 | 0,5348 | 0,5324 |
| 58 | 0,5299 | 0,5275 | 0,5250 | 0,5225 | 0,5200 | 0,5175 |
| 59 | 0,5150 | 0,5125 | 0,5100 | 0,5075 | 0,5050 | 0,5025 |
| 60° | 0,5000 | 0,4975 | 0,4950 | 0,4924 | 0,4899 | 0,4874 |
| 61 | 0,4848 | 0,4823 | 0,4797 | 0,4772 | 0,4746 | 0,4720 |
| 62 | 0,4695 | 0,4669 | 0,4643 | 0,4617 | 0,4592 | 0,4566 |
| 63 | 0,4540 | 0,4514 | 0,4488 | 0,4462 | 0,4436 | 0,4410 |
| 64 | 0,4384 | 0,4358 | 0,4331 | 0,4305 | 0,4279 | 0,4253 |
| 65° | 0,4226 | 0,4200 | 0,4173 | 0,4147 | 0,4120 | 0,4094 |
| 66 | 0,4067 | 0,4041 | 0,4014 | 0,3987 | 0,3961 | 0,3934 |
| 67 | 0,3907 | 0,3881 | 0,3854 | 0,3827 | 0,3800 | 0,3773 |
| 68 | 0,3746 | 0,3719 | 0,3692 | 0,3665 | 0,3638 | 0,3611 |
| 69 | 0,3584 | 0,3557 | 0,3529 | 0,3502 | 0,3475 | 0,3448 |
| 70° | 0,3420 | 0,3393 | 0,3365 | 0,3338 | 0,3311 | 0,3283 |
| 71 | 0,3256 | 0,3228 | 0,3201 | 0,3173 | 0,3145 | 0,3118 |
| 72 | 0,3090 | 0,3062 | 0,3035 | 0,3007 | 0,2979 | 0,2952 |
| 73 | 0,2924 | 0,2896 | 0,2868 | 0,2840 | 0,2812 | 0,2784 |
| 74 | 0,2756 | 0,2728 | 0,2700 | 0,2672 | 0,2644 | 0,2616 |
| 75° | 0,2588 | 0,2560 | 0,2532 | 0,2504 | 0,2476 | 0,2447 |
| 76 | 0,2419 | 0,2391 | 0,2363 | 0,2334 | 0,2306 | 0,2278 |
| 77 | 0,2250 | 0,2221 | 0,2193 | 0,2164 | 0,2136 | 0,2108 |
| 78 | 0,2079 | 0,2051 | 0,2022 | 0,1994 | 0,1965 | 0,1937 |
| 79 | 0,1908 | 0,1880 | 0,1851 | 0,1822 | 0,1794 | 0,1765 |
| 80° | 0,1736 | 0,1708 | 0,1679 | 0,1650 | 0,1622 | 0,1593 |
| 81 | 0,1564 | 0,1536 | 0,1507 | 0,1478 | 0,1449 | 0,1421 |
| 82 | 0,1392 | 0,1363 | 0,1334 | 0,1305 | 0,1276 | 0,1248 |
| 83 | 0,1219 | 0,1190 | 0,1161 | 0,1132 | 0,1103 | 0,1074 |
| 84 | 0,1045 | 0,1016 | 0,0987 | 0,0958 | 0,0929 | 0,0901 |
| 85° | 0,0872 | 0,0843 | 0,0814 | 0,0785 | 0,0756 | 0,0727 |
| 86 | 0,0698 | 0,0669 | 0,0640 | 0,0610 | 0,0581 | 0,0552 |
| 87 | 0,0523 | 0,0494 | 0,0465 | 0,0436 | 0,0407 | 0,0378 |
| 88 | 0,0349 | 0,0320 | 0,0291 | 0,0262 | 0,0233 | 0,0204 |
| 89 | 0,0175 | 0,0145 | 0,0116 | 0,0087 | 0,0058 | 0,0029 |
| 90° | 0,0000 | | | | | |

tg x (x em graus e minutos)

| x | 0' | 10' | 20' | 30' | 40' | 50' |
|-----|--------|--------|--------|--------|--------|--------|
| 0° | 0,0000 | 0,0029 | 0,0058 | 0,0087 | 0,0116 | 0,0145 |
| 1 | 0,0175 | 0,0204 | 0,0233 | 0,0262 | 0,0291 | 0,0320 |
| 2 | 0,0349 | 0,0378 | 0,0407 | 0,0437 | 0,0466 | 0,0495 |
| 3 | 0,0524 | 0,0553 | 0,0582 | 0,0612 | 0,0641 | 0,0670 |
| 4 | 0,0699 | 0,0729 | 0,0758 | 0,0787 | 0,0816 | 0,0846 |
| 5° | 0,0875 | 0,0904 | 0,0934 | 0,0963 | 0,0992 | 0,1022 |
| 6 | 0,1051 | 0,1080 | 0,1110 | 0,1139 | 0,1169 | 0,1198 |
| 7 | 0,1228 | 0,1257 | 0,1287 | 0,1317 | 0,1346 | 0,1376 |
| 8 | 0,1405 | 0,1435 | 0,1465 | 0,1495 | 0,1524 | 0,1554 |
| 9 | 0,1584 | 0,1614 | 0,1644 | 0,1673 | 0,1703 | 0,1733 |
| 10° | 0,1763 | 0,1793 | 0,1823 | 0,1853 | 0,1883 | 0,1914 |
| 11 | 0,1944 | 0,1974 | 0,2004 | 0,2035 | 0,2065 | 0,2095 |
| 12 | 0,2126 | 0,2156 | 0,2186 | 0,2217 | 0,2247 | 0,2278 |
| 13 | 0,2309 | 0,2339 | 0,2370 | 0,2401 | 0,2432 | 0,2462 |
| 14 | 0,2493 | 0,2524 | 0,2555 | 0,2586 | 0,2617 | 0,2648 |
| 15° | 0,2679 | 0,2711 | 0,2742 | 0,2773 | 0,2805 | 0,2836 |
| 16 | 0,2867 | 0,2899 | 0,2931 | 0,2962 | 0,2994 | 0,3026 |
| 17 | 0,3057 | 0,3089 | 0,3121 | 0,3153 | 0,3185 | 0,3217 |
| 18 | 0,3249 | 0,3281 | 0,3314 | 0,3346 | 0,3378 | 0,3411 |
| 19 | 0,3443 | 0,3476 | 0,3508 | 0,3541 | 0,3574 | 0,3607 |
| 20° | 0,3640 | 0,3673 | 0,3706 | 0,3739 | 0,3772 | 0,3805 |
| 21 | 0,3839 | 0,3872 | 0,3906 | 0,3939 | 0,3973 | 0,4006 |
| 22 | 0,4040 | 0,4074 | 0,4108 | 0,4142 | 0,4176 | 0,4210 |
| 23 | 0,4245 | 0,4279 | 0,4314 | 0,4348 | 0,4383 | 0,4417 |
| 24 | 0,4452 | 0,4487 | 0,4522 | 0,4557 | 0,4592 | 0,4628 |
| 25° | 0,4663 | 0,4699 | 0,4734 | 0,4770 | 0,4806 | 0,4841 |
| 26 | 0,4877 | 0,4913 | 0,4950 | 0,4986 | 0,5022 | 0,5059 |
| 27 | 0,5095 | 0,5132 | 0,5169 | 0,5206 | 0,5243 | 0,5280 |
| 28 | 0,5317 | 0,5354 | 0,5392 | 0,5430 | 0,5467 | 0,5505 |
| 29 | 0,5543 | 0,5581 | 0,5619 | 0,5658 | 0,5696 | 0,5735 |
| 30° | 0,5774 | 0,5812 | 0,5851 | 0,5890 | 0,5930 | 0,5969 |
| 31 | 0,6009 | 0,6048 | 0,6088 | 0,6128 | 0,6168 | 0,6208 |
| 32 | 0,6249 | 0,6289 | 0,6330 | 0,6371 | 0,6412 | 0,6453 |
| 33 | 0,6494 | 0,6536 | 0,6577 | 0,6619 | 0,6661 | 0,6703 |
| 34 | 0,6745 | 0,6787 | 0,6830 | 0,6873 | 0,6916 | 0,6959 |
| 35° | 0,7002 | 0,7046 | 0,7089 | 0,7133 | 0,7177 | 0,7221 |
| 36 | 0,7265 | 0,7310 | 0,7355 | 0,7400 | 0,7445 | 0,7490 |
| 37 | 0,7536 | 0,7581 | 0,7627 | 0,7673 | 0,7720 | 0,7766 |
| 38 | 0,7813 | 0,7860 | 0,7907 | 0,7954 | 0,8002 | 0,8050 |
| 39 | 0,8098 | 0,8146 | 0,8195 | 0,8243 | 0,8292 | 0,8342 |
| 40° | 0,8391 | 0,8441 | 0,8491 | 0,8541 | 0,8591 | 0,8642 |
| 41 | 0,8693 | 0,8744 | 0,8796 | 0,8847 | 0,8899 | 0,8952 |
| 42 | 0,9004 | 0,9057 | 0,9110 | 0,9163 | 0,9217 | 0,9271 |
| 43 | 0,9325 | 0,9380 | 0,9435 | 0,9490 | 0,9545 | 0,9601 |
| 44 | 0,9657 | 0,9713 | 0,9770 | 0,9827 | 0,9884 | 0,9942 |
| 45° | 1,0000 | 1,0058 | 1,0117 | 1,0176 | 1,0235 | 1,0295 |

| x | 0' | 10' | 20' | 30' | 40' | 50' |
|-----|--------|--------|--------|--------|--------|--------|
| 45° | 1,0000 | 1,0058 | 1,0117 | 1,0176 | 1,0235 | 1,0295 |
| 46 | 1,0355 | 1,0416 | 1,0477 | 1,0538 | 1,0599 | 1,0661 |
| 47 | 1,0724 | 1,0786 | 1,0850 | 1,0913 | 1,0977 | 1,1041 |
| 48 | 1,1106 | 1,1171 | 1,1237 | 1,1303 | 1,1369 | 1,1436 |
| 49 | 1,1504 | 1,1571 | 1,1640 | 1,1708 | 1,1778 | 1,1847 |
| 50° | 1,1918 | 1,1988 | 1,2059 | 1,2131 | 1,2203 | 1,2276 |
| 51 | 1,2349 | 1,2423 | 1,2497 | 1,2572 | 1,2647 | 1,2723 |
| 52 | 1,2799 | 1,2876 | 1,2954 | 1,3032 | 1,3111 | 1,3190 |
| 53 | 1,3270 | 1,3351 | 1,3432 | 1,3514 | 1,3597 | 1,3680 |
| 54 | 1,3764 | 1,3848 | 1,3934 | 1,4019 | 1,4106 | 1,4193 |
| 55° | 1,4281 | 1,4370 | 1,4460 | 1,4550 | 1,4641 | 1,4733 |
| 56 | 1,4826 | 1,4919 | 1,5013 | 1,5108 | 1,5204 | 1,5301 |
| 57 | 1,5399 | 1,5497 | 1,5597 | 1,5697 | 1,5798 | 1,5900 |
| 58 | 1,6003 | 1,6107 | 1,6212 | 1,6319 | 1,6426 | 1,6534 |
| 59 | 1,6643 | 1,6753 | 1,6864 | 1,6977 | 1,7090 | 1,7205 |
| 60° | 1,7321 | 1,7437 | 1,7556 | 1,7675 | 1,7796 | 1,7917 |
| 61 | 1,8040 | 1,8165 | 1,8291 | 1,8418 | 1,8546 | 1,8676 |
| 62 | 1,8807 | 1,8940 | 1,9074 | 1,9210 | 1,9347 | 1,9486 |
| 63 | 1,9626 | 1,9768 | 1,9912 | 2,0057 | 2,0204 | 2,0353 |
| 64 | 2,0503 | 2,0655 | 2,0809 | 2,0965 | 2,1123 | 2,1283 |
| 65° | 2,1445 | 2,1609 | 2,1775 | 2,1943 | 2,2113 | 2,2286 |
| 66 | 2,2460 | 2,2637 | 2,2817 | 2,2998 | 2,3183 | 2,3369 |
| 67 | 2,3559 | 2,3750 | 2,3945 | 2,4142 | 2,4342 | 2,4545 |
| 68 | 2,4751 | 2,4960 | 2,5172 | 2,5386 | 2,5605 | 2,5826 |
| 69 | 2,6051 | 2,6279 | 2,6511 | 2,6746 | 2,6985 | 2,7228 |
| 70° | 2,7475 | 2,7725 | 2,7980 | 2,8239 | 2,8502 | 2,8770 |
| 71 | 2,9042 | 2,9319 | 2,9600 | 2,9887 | 3,0178 | 3,0475 |
| 72 | 3,0777 | 3,1084 | 3,1397 | 3,1716 | 3,2041 | 3,2371 |
| 73 | 3,2709 | 3,3052 | 3,3402 | 3,3759 | 3,4124 | 3,4495 |
| 74 | 3,4874 | 3,5261 | 3,5656 | 3,6059 | 3,6470 | 3,6891 |
| 75° | 3,7321 | 3,7760 | 3,8208 | 3,8667 | 3,9136 | 3,9617 |
| 76 | 4,0108 | 4,0611 | 4,1126 | 4,1653 | 4,2193 | 4,2747 |
| 77 | 4,3315 | 4,3897 | 4,4494 | 4,5107 | 4,5736 | 4,6382 |
| 78 | 4,7046 | 4,7729 | 4,8430 | 4,9152 | 4,9894 | 5,0658 |
| 79 | 5,1446 | 5,2257 | 5,3093 | 5,3955 | 5,4845 | 5,5764 |
| 80° | 5,6713 | 5,7694 | 5,8708 | 5,9758 | 6,0844 | 6,1970 |
| 81 | 6,3138 | 6,4348 | 6,5606 | 6,6912 | 6,8269 | 6,9682 |
| 82 | 7,1154 | 7,2687 | 7,4287 | 7,5958 | 7,7704 | 7,9530 |
| 83 | 8,1443 | 8,3450 | 8,5555 | 8,7769 | 9,0098 | 9,2553 |
| 84 | 9,5144 | 9,7882 | 10,078 | 10,385 | 10,712 | 11,059 |
| 85° | 11,430 | 11,826 | 12,251 | 12,706 | 13,197 | 13,727 |
| 86 | 14,301 | 14,924 | 15,605 | 16,350 | 17,169 | 18,075 |
| 87 | 19,081 | 20,206 | 21,470 | 22,904 | 24,542 | 26,432 |
| 88 | 28,636 | 31,242 | 34,368 | 38,188 | 42,964 | 49,104 |
| 89 | 57,290 | 68,750 | 85,940 | 114,59 | 171,89 | 343,77 |
| 90° | ∞ | | | | | |

5

Conversão de Radianos para Graus, Minutos e Segundos ou Frações de Graus

| Radianos | Graus | Min | Seg | Frações de Graus |
|----------|-------|-----|--------|------------------|
| 1 | 57° | 17' | 44,8'' | 57,2958° |
| 2 | 114° | 35' | 29,6'' | 114,5916° |
| 3 | 171° | 53' | 14,4'' | 171,8873° |
| 4 | 229° | 10' | 59,2'' | 229,1831° |
| 5 | 286° | 28' | 44,0'' | 286,4789° |
| 6 | 343° | 46' | 28,8'' | 343,7747° |
| 7 | 401° | 4' | 13,6'' | 401,0705° |
| 8 | 458° | 21' | 58,4'' | 458,3662° |
| 9 | 515° | 39' | 43,3'' | 515,6620° |
| 10 | 572° | 57' | 28,1'' | 572,9578° |
| 0,1 | 5° | 43' | 46,5'' | |
| 0,2 | 11° | 27' | 33,0'' | |
| 0,3 | 17° | 11' | 19,4'' | |
| 0,4 | 22° | 55' | 5,9'' | |
| 0,5 | 28° | 38' | 52,4'' | |
| 0,6 | 34° | 22' | 38,9'' | |
| 0,7 | 40° | 6' | 25,4'' | |
| 0,8 | 45° | 50' | 11,8'' | |
| 0,9 | 51° | 33' | 58,3'' | |
| 0,01 | 0° | 34' | 22,6'' | |
| 0,02 | 1° | 8' | 45,3'' | |
| 0,03 | 1° | 43' | 7,9'' | |
| 0,04 | 2° | 17' | 30,6'' | |
| 0,05 | 2° | 51' | 53,2'' | |
| 0,06 | 3° | 26' | 15,9'' | |
| 0,07 | 4° | 0' | 38,5'' | |
| 0,08 | 4° | 35' | 1,2'' | |
| 0,09 | 5° | 9' | 23,8'' | |
| 0,001 | 0° | 3' | 26,3'' | |
| 0,002 | 0° | 6' | 52,5'' | |
| 0,003 | 0° | 10' | 18,8'' | |
| 0,004 | 0° | 13' | 45,1'' | |
| 0,005 | 0° | 17' | 11,3'' | |
| 0,006 | 0° | 20' | 37,6'' | |
| 0,007 | 0° | 24' | 3,9'' | |
| 0,008 | 0° | 27' | 30,1'' | |
| 0,009 | 0° | 30' | 56,4'' | |
| 0,0001 | 0° | 0' | 20,6'' | |
| 0,0002 | 0° | 0' | 41,3'' | |
| 0,0003 | 0° | 1' | 1,9'' | |
| 0,0004 | 0° | 1' | 22,5'' | |
| 0,0005 | 0° | 1' | 43,1'' | |
| 0,0006 | 0° | 2' | 3,8'' | |
| 0,0007 | 0° | 2' | 24,4'' | |
| 0,0008 | 0° | 2' | 45,0'' | |
| 0,0009 | 0° | 3' | 5,6'' | |

Conversão de Graus, Minutos e Segundos para Radianos

6

| Graus | Radianos |
|-------|-----------|
| 1° | 0,0174533 |
| 2° | 0,0349066 |
| 3° | 0,0523599 |
| 4° | 0,0698132 |
| 5° | 0,0872665 |
| 6° | 0,1047198 |
| 7° | 0,1221730 |
| 8° | 0,1396263 |
| 9° | 0,1570796 |
| 10° | 0,1745329 |

| Minutos | Radianos |
|---------|------------|
| 1' | 0,00029089 |
| 2' | 0,00058178 |
| 3' | 0,00087266 |
| 4' | 0,00116355 |
| 5' | 0,00145444 |
| 6' | 0,00174533 |
| 7' | 0,00203622 |
| 8' | 0,00232711 |
| 9' | 0,00261800 |
| 10' | 0,00290888 |

| Segundos | Radianos |
|----------|-------------|
| 1'' | 0,000048481 |
| 2'' | 0,000096963 |
| 3'' | 0,000145444 |
| 4'' | 0,000193925 |
| 5'' | 0,000242407 |
| 6'' | 0,000290888 |
| 7'' | 0,000339370 |
| 8'' | 0,000387851 |
| 9'' | 0,000436332 |
| 10'' | 0,000484814 |

7

Logaritmos Naturais ou Neperianos

$\log_e x$ ou $\ln x$

| x | 0 | 1 | 2 | 3 | 4 | 5 | 6 | 7 | 8 | 9 |
|-----|---------|---------|---------|---------|---------|---------|---------|---------|---------|---------|
| 1,0 | 0,00000 | 0,00995 | 0,01980 | 0,02956 | 0,03922 | 0,04879 | 0,05827 | 0,06766 | 0,07696 | 0,08618 |
| 1,1 | 0,09531 | 0,10436 | 0,11333 | 0,12222 | 0,13103 | 0,13976 | 0,14842 | 0,15700 | 0,16551 | 0,17395 |
| 1,2 | 0,18232 | 0,19062 | 0,19885 | 0,20701 | 0,21511 | 0,22314 | 0,23111 | 0,23902 | 0,24686 | 0,25464 |
| 1,3 | 0,26236 | 0,27003 | 0,27763 | 0,28518 | 0,29267 | 0,30010 | 0,30748 | 0,31481 | 0,32208 | 0,32930 |
| 1,4 | 0,33647 | 0,34359 | 0,35066 | 0,35767 | 0,36464 | 0,37156 | 0,37844 | 0,38526 | 0,39204 | 0,39878 |
| 1,5 | 0,40547 | 0,41211 | 0,41871 | 0,42527 | 0,43178 | 0,43825 | 0,44469 | 0,45108 | 0,45742 | 0,46373 |
| 1,6 | 0,47000 | 0,47623 | 0,48243 | 0,48858 | 0,49470 | 0,50078 | 0,50682 | 0,51282 | 0,51879 | 0,52473 |
| 1,7 | 0,53063 | 0,53649 | 0,54232 | 0,54812 | 0,55389 | 0,55962 | 0,56531 | 0,57098 | 0,57661 | 0,58222 |
| 1,8 | 0,58779 | 0,59333 | 0,59884 | 0,60432 | 0,60977 | 0,61519 | 0,62058 | 0,62594 | 0,63127 | 0,63658 |
| 1,9 | 0,64185 | 0,64710 | 0,65233 | 0,65752 | 0,66269 | 0,66783 | 0,67294 | 0,67803 | 0,68310 | 0,68813 |
| 2,0 | 0,69315 | 0,69813 | 0,70310 | 0,70804 | 0,71295 | 0,71784 | 0,72271 | 0,72755 | 0,73237 | 0,73716 |
| 2,1 | 0,74194 | 0,74669 | 0,75142 | 0,75612 | 0,76081 | 0,76547 | 0,77011 | 0,77473 | 0,77932 | 0,78390 |
| 2,2 | 0,78846 | 0,79299 | 0,79751 | 0,80200 | 0,80648 | 0,81093 | 0,81536 | 0,81978 | 0,82418 | 0,82855 |
| 2,3 | 0,83291 | 0,83725 | 0,84157 | 0,84587 | 0,85015 | 0,85442 | 0,85866 | 0,86289 | 0,86710 | 0,87129 |
| 2,4 | 0,87547 | 0,87963 | 0,88377 | 0,88789 | 0,89200 | 0,89609 | 0,90016 | 0,90422 | 0,90826 | 0,91228 |
| 2,5 | 0,91629 | 0,92028 | 0,92426 | 0,92822 | 0,93216 | 0,93609 | 0,94001 | 0,94391 | 0,94779 | 0,95166 |
| 2,6 | 0,95551 | 0,95935 | 0,96317 | 0,96698 | 0,97078 | 0,97456 | 0,97833 | 0,98208 | 0,98582 | 0,98954 |
| 2,7 | 0,99325 | 0,99695 | 1,00063 | 1,00430 | 1,00796 | 1,01160 | 1,01523 | 1,01885 | 1,02245 | 1,02604 |
| 2,8 | 1,02962 | 1,03318 | 1,03674 | 1,04028 | 1,04380 | 1,04732 | 1,05082 | 1,05431 | 1,05779 | 1,06126 |
| 2,9 | 1,06471 | 1,06815 | 1,07158 | 1,07500 | 1,07841 | 1,08181 | 1,08519 | 1,08856 | 1,09192 | 1,09527 |
| 3,0 | 1,09861 | 1,10194 | 1,10526 | 1,10856 | 1,11186 | 1,11514 | 1,11841 | 1,12168 | 1,12493 | 1,12817 |
| 3,1 | 1,13140 | 1,13462 | 1,13783 | 1,14103 | 1,14422 | 1,14740 | 1,15057 | 1,15373 | 1,15688 | 1,16002 |
| 3,2 | 1,16315 | 1,16627 | 1,16938 | 1,17248 | 1,17557 | 1,17865 | 1,18173 | 1,18479 | 1,18784 | 1,19089 |
| 3,3 | 1,19392 | 1,19695 | 1,19996 | 1,20297 | 1,20597 | 1,20896 | 1,21194 | 1,21491 | 1,21788 | 1,22083 |
| 3,4 | 1,22378 | 1,22671 | 1,22964 | 1,23256 | 1,23547 | 1,23837 | 1,24127 | 1,24415 | 1,24703 | 1,24990 |
| 3,5 | 1,25276 | 1,25562 | 1,25846 | 1,26130 | 1,26413 | 1,26695 | 1,26976 | 1,27257 | 1,27536 | 1,27815 |
| 3,6 | 1,28093 | 1,28371 | 1,28647 | 1,28923 | 1,29198 | 1,29473 | 1,29746 | 1,30019 | 1,30291 | 1,30563 |
| 3,7 | 1,30833 | 1,31103 | 1,31372 | 1,31641 | 1,31909 | 1,32176 | 1,32442 | 1,32708 | 1,32972 | 1,33237 |
| 3,8 | 1,33500 | 1,33763 | 1,34025 | 1,34286 | 1,34547 | 1,34807 | 1,35067 | 1,35325 | 1,35584 | 1,35841 |
| 3,9 | 1,36098 | 1,36354 | 1,36609 | 1,36864 | 1,37118 | 1,37372 | 1,37624 | 1,37877 | 1,38128 | 1,38379 |
| 4,0 | 1,38629 | 1,38879 | 1,39128 | 1,39377 | 1,39624 | 1,39872 | 1,40118 | 1,40364 | 1,40610 | 1,40854 |
| 4,1 | 1,41099 | 1,41342 | 1,41585 | 1,41828 | 1,42070 | 1,42311 | 1,42552 | 1,42792 | 1,43031 | 1,43270 |
| 4,2 | 1,43508 | 1,43746 | 1,43984 | 1,44220 | 1,44456 | 1,44692 | 1,44927 | 1,45161 | 1,45395 | 1,45629 |
| 4,3 | 1,45862 | 1,46094 | 1,46326 | 1,46557 | 1,46787 | 1,47018 | 1,47247 | 1,47476 | 1,47705 | 1,47933 |
| 4,4 | 1,48160 | 1,48387 | 1,48614 | 1,48840 | 1,49065 | 1,49290 | 1,49515 | 1,49739 | 1,49962 | 1,50185 |
| 4,5 | 1,50408 | 1,50630 | 1,50851 | 1,51072 | 1,51293 | 1,51513 | 1,51732 | 1,51951 | 1,52170 | 1,52388 |
| 4,6 | 1,52606 | 1,52823 | 1,53039 | 1,53256 | 1,53471 | 1,53687 | 1,53902 | 1,54116 | 1,54330 | 1,54543 |
| 4,7 | 1,54756 | 1,54969 | 1,55181 | 1,55393 | 1,55604 | 1,55814 | 1,56025 | 1,56235 | 1,56444 | 1,56653 |
| 4,8 | 1,56862 | 1,57070 | 1,57277 | 1,57485 | 1,57691 | 1,57898 | 1,58104 | 1,58309 | 1,58515 | 1,58719 |
| 4,9 | 1,58924 | 1,59127 | 1,59331 | 1,59534 | 1,59737 | 1,59939 | 1,60141 | 1,60342 | 1,60543 | 1,60744 |

$\ln 10 = 2,30259$

$2 \ln 10 = 4,60517$

$3 \ln 10 = 6,90776$

$4 \ln 10 = 9,21034$

$5 \ln 10 = 11,51293$

$6 \ln 10 = 13,81551$

$7 \ln 10 = 16,11810$

$8 \ln 10 = 18,42068$

$9 \ln 10 = 20,72327$

| x | 0 | 1 | 2 | 3 | 4 | 5 | 6 | 7 | 8 | 9 |
|-----|---------|---------|---------|---------|---------|---------|---------|---------|---------|---------|
| 5.0 | 1,60944 | 1,61144 | 1,61343 | 1,61542 | 1,61741 | 1,61939 | 1,62137 | 1,62334 | 1,62531 | 1,62728 |
| 5.1 | 1,62924 | 1,63120 | 1,63315 | 1,63511 | 1,63705 | 1,63900 | 1,64094 | 1,64287 | 1,64481 | 1,64673 |
| 5.2 | 1,64866 | 1,65058 | 1,65250 | 1,65441 | 1,65632 | 1,65823 | 1,66013 | 1,66203 | 1,66393 | 1,66582 |
| 5.3 | 1,66771 | 1,66959 | 1,67147 | 1,67335 | 1,67523 | 1,67710 | 1,67896 | 1,68083 | 1,68269 | 1,68455 |
| 5.4 | 1,68640 | 1,68825 | 1,69010 | 1,69194 | 1,69378 | 1,69562 | 1,69745 | 1,69928 | 1,70111 | 1,70293 |
| 5.5 | 1,70475 | 1,70656 | 1,70838 | 1,71019 | 1,71199 | 1,71380 | 1,71560 | 1,71740 | 1,71919 | 1,72098 |
| 5.6 | 1,72277 | 1,72455 | 1,72633 | 1,72811 | 1,72988 | 1,73166 | 1,73342 | 1,73519 | 1,73695 | 1,73871 |
| 5.7 | 1,74047 | 1,74222 | 1,74397 | 1,74572 | 1,74746 | 1,74920 | 1,75094 | 1,75267 | 1,75440 | 1,75613 |
| 5.8 | 1,75786 | 1,75958 | 1,76130 | 1,76302 | 1,76473 | 1,76644 | 1,76815 | 1,76985 | 1,77156 | 1,77326 |
| 5.9 | 1,77495 | 1,77665 | 1,77834 | 1,78002 | 1,78171 | 1,78339 | 1,78507 | 1,78675 | 1,78842 | 1,79009 |
| 6.0 | 1,79176 | 1,79342 | 1,79509 | 1,79675 | 1,79840 | 1,80006 | 1,80171 | 1,80336 | 1,80500 | 1,80665 |
| 6.1 | 1,80829 | 1,80993 | 1,81156 | 1,81319 | 1,81482 | 1,81645 | 1,81808 | 1,81970 | 1,82132 | 1,82294 |
| 6.2 | 1,82455 | 1,82616 | 1,82777 | 1,82938 | 1,83098 | 1,83258 | 1,83418 | 1,83578 | 1,83737 | 1,83896 |
| 6.3 | 1,84055 | 1,84214 | 1,84372 | 1,84530 | 1,84688 | 1,84845 | 1,85003 | 1,85160 | 1,85317 | 1,85473 |
| 6.4 | 1,85630 | 1,85786 | 1,85942 | 1,86097 | 1,86253 | 1,86408 | 1,86563 | 1,86718 | 1,86872 | 1,87026 |
| 6.5 | 1,87180 | 1,87334 | 1,87487 | 1,87641 | 1,87794 | 1,87947 | 1,88099 | 1,88251 | 1,88403 | 1,88555 |
| 6.6 | 1,88707 | 1,88858 | 1,89010 | 1,89160 | 1,89311 | 1,89462 | 1,89612 | 1,89762 | 1,89912 | 1,90061 |
| 6.7 | 1,90211 | 1,90360 | 1,90509 | 1,90658 | 1,90806 | 1,90954 | 1,91102 | 1,91250 | 1,91398 | 1,91545 |
| 6.8 | 1,91692 | 1,91839 | 1,91986 | 1,92132 | 1,92279 | 1,92425 | 1,92571 | 1,92716 | 1,92862 | 1,93007 |
| 6.9 | 1,93152 | 1,93297 | 1,93442 | 1,93586 | 1,93730 | 1,93874 | 1,94018 | 1,94162 | 1,94305 | 1,94448 |
| 7.0 | 1,94591 | 1,94734 | 1,94876 | 1,95019 | 1,95161 | 1,95303 | 1,95445 | 1,95586 | 1,95727 | 1,95869 |
| 7.1 | 1,96009 | 1,96150 | 1,96291 | 1,96431 | 1,96571 | 1,96711 | 1,96851 | 1,96991 | 1,97130 | 1,97269 |
| 7.2 | 1,97408 | 1,97547 | 1,97685 | 1,97824 | 1,97962 | 1,98100 | 1,98238 | 1,98376 | 1,98513 | 1,98650 |
| 7.3 | 1,98787 | 1,98924 | 1,99061 | 1,99198 | 1,99334 | 1,99470 | 1,99606 | 1,99742 | 1,99877 | 2,00013 |
| 7.4 | 2,00148 | 2,00283 | 2,00418 | 2,00553 | 2,00687 | 2,00821 | 2,00956 | 2,01089 | 2,01223 | 2,01357 |
| 7.5 | 2,01490 | 2,01624 | 2,01757 | 2,01890 | 2,02022 | 2,02155 | 2,02287 | 2,02419 | 2,02551 | 2,02683 |
| 7.6 | 2,02815 | 2,02946 | 2,03078 | 2,03209 | 2,03340 | 2,03471 | 2,03601 | 2,03732 | 2,03862 | 2,03992 |
| 7.7 | 2,04122 | 2,04252 | 2,04381 | 2,04511 | 2,04640 | 2,04769 | 2,04898 | 2,05027 | 2,05156 | 2,05284 |
| 7.8 | 2,05412 | 2,05540 | 2,05668 | 2,05796 | 2,05924 | 2,06051 | 2,06179 | 2,06306 | 2,06433 | 2,06560 |
| 7.9 | 2,06686 | 2,06813 | 2,06939 | 2,07065 | 2,07191 | 2,07317 | 2,07443 | 2,07568 | 2,07694 | 2,07819 |
| 8.0 | 2,07944 | 2,08069 | 2,08194 | 2,08318 | 2,08443 | 2,08567 | 2,08691 | 2,08815 | 2,08939 | 2,09063 |
| 8.1 | 2,09186 | 2,09310 | 2,09433 | 2,09556 | 2,09679 | 2,09802 | 2,09924 | 2,10047 | 2,10169 | 2,10291 |
| 8.2 | 2,10413 | 2,10535 | 2,10657 | 2,10779 | 2,10900 | 2,11021 | 2,11142 | 2,11263 | 2,11384 | 2,11505 |
| 8.3 | 2,11626 | 2,11746 | 2,11866 | 2,11986 | 2,12106 | 2,12226 | 2,12346 | 2,12465 | 2,12585 | 2,12704 |
| 8.4 | 2,12823 | 2,12942 | 2,13061 | 2,13180 | 2,13298 | 2,13417 | 2,13535 | 2,13653 | 2,13771 | 2,13889 |
| 8.5 | 2,14007 | 2,14124 | 2,14242 | 2,14359 | 2,14476 | 2,14593 | 2,14710 | 2,14827 | 2,14943 | 2,15060 |
| 8.6 | 2,15176 | 2,15292 | 2,15409 | 2,15524 | 2,15640 | 2,15756 | 2,15871 | 2,15987 | 2,16102 | 2,16217 |
| 8.7 | 2,16332 | 2,16447 | 2,16562 | 2,16677 | 2,16791 | 2,16905 | 2,17020 | 2,17134 | 2,17248 | 2,17361 |
| 8.8 | 2,17475 | 2,17589 | 2,17702 | 2,17816 | 2,17929 | 2,18042 | 2,18155 | 2,18267 | 2,18380 | 2,18493 |
| 8.9 | 2,18605 | 2,18717 | 2,18830 | 2,18942 | 2,19054 | 2,19165 | 2,19277 | 2,19389 | 2,19500 | 2,19611 |
| 9.0 | 2,19722 | 2,19834 | 2,19944 | 2,20055 | 2,20166 | 2,20276 | 2,20387 | 2,20497 | 2,20607 | 2,20717 |
| 9.1 | 2,20827 | 2,20937 | 2,21047 | 2,21157 | 2,21266 | 2,21375 | 2,21485 | 2,21594 | 2,21703 | 2,21812 |
| 9.2 | 2,21920 | 2,22029 | 2,22138 | 2,22246 | 2,22354 | 2,22462 | 2,22570 | 2,22678 | 2,22786 | 2,22894 |
| 9.3 | 2,23001 | 2,23109 | 2,23216 | 2,23324 | 2,23431 | 2,23538 | 2,23645 | 2,23751 | 2,23858 | 2,23965 |
| 9.4 | 2,24071 | 2,24177 | 2,24284 | 2,24390 | 2,24496 | 2,24601 | 2,24707 | 2,24813 | 2,24918 | 2,25024 |
| 9.5 | 2,25129 | 2,25234 | 2,25339 | 2,25444 | 2,25549 | 2,25654 | 2,25759 | 2,25863 | 2,25968 | 2,26072 |
| 9.6 | 2,26176 | 2,26280 | 2,26384 | 2,26488 | 2,26592 | 2,26696 | 2,26799 | 2,26903 | 2,27006 | 2,27109 |
| 9.7 | 2,27213 | 2,27316 | 2,27419 | 2,27521 | 2,27624 | 2,27727 | 2,27829 | 2,27932 | 2,28034 | 2,28136 |
| 9.8 | 2,28238 | 2,28340 | 2,28442 | 2,28544 | 2,28646 | 2,28747 | 2,28849 | 2,28950 | 2,29051 | 2,29152 |
| 9.9 | 2,29253 | 2,29354 | 2,29455 | 2,29556 | 2,29657 | 2,29757 | 2,29858 | 2,29958 | 2,30058 | 2,30158 |

10

Integrais Exponencial, Seno e Cosseno

$$\text{Ei}(x) = \int_x^{\infty} \frac{e^{-u}}{u} du, \quad \text{Si}(x) = \int_0^x \frac{\text{sen } u}{u} du, \quad \text{Ci}(x) = \int_x^{\infty} \frac{\text{cos } u}{u} du$$

| x | $\text{Ei}(x)$ | $\text{Si}(x)$ | $\text{Ci}(x)$ |
|------|----------------|----------------|----------------|
| 0,0 | ∞ | 0,0000 | ∞ |
| 0,5 | 0,5598 | 0,4931 | 0,1778 |
| 1,0 | 0,2194 | 0,9461 | -0,3374 |
| 1,5 | 0,1000 | 1,3247 | -0,4704 |
| 2,0 | 0,04890 | 1,6054 | -0,4230 |
| 2,5 | 0,02491 | 1,7785 | -0,2859 |
| 3,0 | 0,01305 | 1,8487 | -0,1196 |
| 3,5 | 0,026970 | 1,8331 | 0,0321 |
| 4,0 | 0,023779 | 1,7582 | 0,1410 |
| 4,5 | 0,022073 | 1,6541 | 0,1935 |
| 5,0 | 0,021148 | 1,5499 | 0,1900 |
| 5,5 | 0,036409 | 1,4687 | 0,1421 |
| 6,0 | 0,033601 | 1,4247 | 0,0681 |
| 6,5 | 0,032034 | 1,4218 | -0,0111 |
| 7,0 | 0,031155 | 1,4546 | -0,0767 |
| 7,5 | 0,046583 | 1,5107 | -0,1156 |
| 8,0 | 0,043767 | 1,5742 | -0,1224 |
| 8,5 | 0,042162 | 1,6296 | -0,09943 |
| 9,0 | 0,041245 | 1,6650 | -0,05535 |
| 9,5 | 0,057185 | 1,6745 | -0,02678 |
| 10,0 | 0,054157 | 1,6583 | -0,04546 |

Fatorial de n

$$n! = 1 \cdot 2 \cdot 3 \cdot \dots \cdot n$$

| n | $n!$ |
|-----|---|
| 0 | 1 (por definição) |
| 1 | 1 |
| 2 | 2 |
| 3 | 6 |
| 4 | 24 |
| 5 | 120 |
| 6 | 720 |
| 7 | 5040 |
| 8 | 40.320 |
| 9 | 362.880 |
| 10 | 3.628.800 |
| 11 | 39.916.800 |
| 12 | 479.001.600 |
| 13 | 6.227.020.800 |
| 14 | 87.178.291.200 |
| 15 | 1.307.674.368.000 |
| 16 | 20.922.789.888.000 |
| 17 | 355.687.428.096.000 |
| 18 | 6.402.373.705.728.000 |
| 19 | 121.645.100.408.832.000 |
| 20 | 2.432.902.008.176.640.000 |
| 21 | 51.090.942.171.709.440.000 |
| 22 | 1.124.000.727.777.607.680.000 |
| 23 | 25.852.016.738.884.976.640.000 |
| 24 | 620.448.401.733.239.439.360.000 |
| 25 | 15.511.210.043.330.985.984.000.000 |
| 26 | 403.291.461.126.605.635.584.000.000 |
| 27 | 10.888.869.450.418.352.160.768.000.000 |
| 28 | 304.888.344.611.713.860.501.504.000.000 |
| 29 | 8.841.761.993.739.701.954.543.616.000.000 |
| 30 | 265.252.859.812.191.058.636.308.480.000.000 |
| 31 | $8,22284 \times 10^{33}$ |
| 32 | $2,63131 \times 10^{35}$ |
| 33 | $8,68332 \times 10^{36}$ |
| 34 | $2,95233 \times 10^{38}$ |
| 35 | $1,03331 \times 10^{40}$ |
| 36 | $3,71993 \times 10^{41}$ |
| 37 | $1,37638 \times 10^{43}$ |
| 38 | $5,23023 \times 10^{44}$ |
| 39 | $2,03979 \times 10^{46}$ |

| n | $n!$ |
|-----|---------------------------|
| 40 | $8,15915 \times 10^{47}$ |
| 41 | $3,34525 \times 10^{49}$ |
| 42 | $1,40501 \times 10^{51}$ |
| 43 | $6,04153 \times 10^{52}$ |
| 44 | $2,65827 \times 10^{54}$ |
| 45 | $1,19622 \times 10^{56}$ |
| 46 | $5,50262 \times 10^{57}$ |
| 47 | $2,58623 \times 10^{59}$ |
| 48 | $1,24139 \times 10^{61}$ |
| 49 | $6,08282 \times 10^{62}$ |
| 50 | $3,04141 \times 10^{64}$ |
| 51 | $1,55112 \times 10^{66}$ |
| 52 | $8,06582 \times 10^{67}$ |
| 53 | $4,27488 \times 10^{69}$ |
| 54 | $2,30844 \times 10^{71}$ |
| 55 | $1,26964 \times 10^{73}$ |
| 56 | $7,10999 \times 10^{74}$ |
| 57 | $4,05269 \times 10^{76}$ |
| 58 | $2,35056 \times 10^{78}$ |
| 59 | $1,38683 \times 10^{80}$ |
| 60 | $8,32099 \times 10^{81}$ |
| 61 | $5,07580 \times 10^{83}$ |
| 62 | $3,14700 \times 10^{85}$ |
| 63 | $1,98261 \times 10^{87}$ |
| 64 | $1,26887 \times 10^{89}$ |
| 65 | $8,24765 \times 10^{90}$ |
| 66 | $5,44345 \times 10^{92}$ |
| 67 | $3,64711 \times 10^{94}$ |
| 68 | $2,48004 \times 10^{96}$ |
| 69 | $1,71122 \times 10^{98}$ |
| 70 | $1,19786 \times 10^{100}$ |
| 71 | $8,50479 \times 10^{101}$ |
| 72 | $6,12345 \times 10^{103}$ |
| 73 | $4,47012 \times 10^{105}$ |
| 74 | $3,30789 \times 10^{107}$ |
| 75 | $2,48091 \times 10^{109}$ |
| 76 | $1,88549 \times 10^{111}$ |
| 77 | $1,45183 \times 10^{113}$ |
| 78 | $1,13243 \times 10^{115}$ |
| 79 | $8,94618 \times 10^{116}$ |

| n | $n!$ |
|-----|---------------------------|
| 80 | $7,15695 \times 10^{118}$ |
| 81 | $5,79713 \times 10^{120}$ |
| 82 | $4,75364 \times 10^{122}$ |
| 83 | $3,94552 \times 10^{124}$ |
| 84 | $3,31424 \times 10^{126}$ |
| 85 | $2,81710 \times 10^{128}$ |
| 86 | $2,42271 \times 10^{130}$ |
| 87 | $2,10776 \times 10^{132}$ |
| 88 | $1,85483 \times 10^{134}$ |
| 89 | $1,65080 \times 10^{136}$ |
| 90 | $1,48572 \times 10^{138}$ |
| 91 | $1,35200 \times 10^{140}$ |
| 92 | $1,24384 \times 10^{142}$ |
| 93 | $1,15677 \times 10^{144}$ |
| 94 | $1,08737 \times 10^{146}$ |
| 95 | $1,03300 \times 10^{148}$ |
| 96 | $9,91678 \times 10^{149}$ |
| 97 | $9,61928 \times 10^{151}$ |
| 98 | $9,42689 \times 10^{153}$ |
| 99 | $9,33262 \times 10^{155}$ |
| 100 | $9,33262 \times 10^{157}$ |

12

Função Gama

$$\Gamma(x) = \int_x^{\infty} t^{x-1} e^{-t} dt \quad \text{para } 1 \leq x \leq 2$$

[Para outros valores, use a fórmula $\Gamma(x + 1) = x \Gamma(x)$]

| x | $\Gamma(x)$ | x | $\Gamma(x)$ |
|------|-------------|------|-------------|
| 1,00 | 1,00000 | 1,50 | 0,88623 |
| 1,01 | 0,99433 | 1,51 | 0,88659 |
| 1,02 | 0,98884 | 1,52 | 0,88704 |
| 1,03 | 0,98355 | 1,53 | 0,88757 |
| 1,04 | 0,97844 | 1,54 | 0,88818 |
| 1,05 | 0,97350 | 1,55 | 0,88887 |
| 1,06 | 0,96874 | 1,56 | 0,88964 |
| 1,07 | 0,96415 | 1,57 | 0,89049 |
| 1,08 | 0,95973 | 1,58 | 0,89142 |
| 1,09 | 0,95546 | 1,59 | 0,89243 |
| 1,10 | 0,95135 | 1,60 | 0,89352 |
| 1,11 | 0,94740 | 1,61 | 0,89468 |
| 1,12 | 0,94359 | 1,62 | 0,89592 |
| 1,13 | 0,93993 | 1,63 | 0,89724 |
| 1,14 | 0,93642 | 1,64 | 0,89864 |
| 1,15 | 0,93304 | 1,65 | 0,90012 |
| 1,16 | 0,92980 | 1,66 | 0,90167 |
| 1,17 | 0,92670 | 1,67 | 0,90330 |
| 1,18 | 0,92373 | 1,68 | 0,90500 |
| 1,19 | 0,92089 | 1,69 | 0,90678 |
| 1,20 | 0,91817 | 1,70 | 0,90864 |
| 1,21 | 0,91558 | 1,71 | 0,91057 |
| 1,22 | 0,91311 | 1,72 | 0,91258 |
| 1,23 | 0,91075 | 1,73 | 0,91467 |
| 1,24 | 0,90852 | 1,74 | 0,91683 |
| 1,25 | 0,90640 | 1,75 | 0,91906 |
| 1,26 | 0,90440 | 1,76 | 0,92137 |
| 1,27 | 0,90250 | 1,77 | 0,92376 |
| 1,28 | 0,90072 | 1,78 | 0,92623 |
| 1,29 | 0,89904 | 1,79 | 0,92877 |
| 1,30 | 0,89747 | 1,80 | 0,93138 |
| 1,31 | 0,89600 | 1,81 | 0,93408 |
| 1,32 | 0,89464 | 1,82 | 0,93685 |
| 1,33 | 0,89338 | 1,83 | 0,93969 |
| 1,34 | 0,89222 | 1,84 | 0,94261 |
| 1,35 | 0,89115 | 1,85 | 0,94561 |
| 1,36 | 0,89018 | 1,86 | 0,94869 |
| 1,37 | 0,88931 | 1,87 | 0,95184 |
| 1,38 | 0,88854 | 1,88 | 0,95507 |
| 1,39 | 0,88785 | 1,89 | 0,95838 |
| 1,40 | 0,88726 | 1,90 | 0,96177 |
| 1,41 | 0,88676 | 1,91 | 0,96523 |
| 1,42 | 0,88636 | 1,92 | 0,96877 |
| 1,43 | 0,88604 | 1,93 | 0,97240 |
| 1,44 | 0,88581 | 1,94 | 0,97610 |
| 1,45 | 0,88566 | 1,95 | 0,97988 |
| 1,46 | 0,88560 | 1,96 | 0,98374 |
| 1,47 | 0,88563 | 1,97 | 0,98768 |
| 1,48 | 0,88575 | 1,98 | 0,99171 |
| 1,49 | 0,88595 | 1,99 | 0,99581 |
| 1,50 | 0,88623 | 2,00 | 1,00000 |

Coeficientes Binomiais

$$\binom{n}{k} = \frac{n!}{k!(n-k)!} = \frac{n(n-1)\cdots(n-k+1)}{k!} = \binom{n}{n-k}, \quad 0! = 1$$

Observe que cada número é a soma de dois números na linha acima; um destes números está na mesma coluna e o outro na coluna precedente [por exemplo, $56 = 21 + 35$]. Este arranjo é chamado de *Triângulo de Pascal* [ver 3.6, p. 18].

| $n \backslash k$ | 0 | 1 | 2 | 3 | 4 | 5 | 6 | 7 | 8 | 9 |
|------------------|---|----|-----|------|-------|--------|--------|---------|---------|----------|
| 1 | 1 | 1 | | | | | | | | |
| 2 | 1 | 2 | 1 | | | | | | | |
| 3 | 1 | 3 | 3 | 1 | | | | | | |
| 4 | 1 | 4 | 6 | 4 | 1 | | | | | |
| 5 | 1 | 5 | 10 | 10 | 5 | 1 | | | | |
| 6 | 1 | 6 | 15 | 20 | 15 | 6 | 1 | | | |
| 7 | 1 | 7 | 21 | 35 | 35 | 21 | 7 | 1 | | |
| 8 | 1 | 8 | 28 | 56 | 70 | 56 | 28 | 8 | 1 | |
| 9 | 1 | 9 | 36 | 84 | 126 | 126 | 84 | 36 | 9 | 1 |
| 10 | 1 | 10 | 45 | 120 | 210 | 252 | 210 | 120 | 45 | 10 |
| 11 | 1 | 11 | 55 | 165 | 330 | 462 | 462 | 330 | 165 | 55 |
| 12 | 1 | 12 | 66 | 220 | 495 | 792 | 924 | 792 | 495 | 220 |
| 13 | 1 | 13 | 78 | 286 | 715 | 1287 | 1716 | 1716 | 1287 | 715 |
| 14 | 1 | 14 | 91 | 364 | 1001 | 2002 | 3003 | 3432 | 3003 | 2002 |
| 15 | 1 | 15 | 105 | 455 | 1365 | 3003 | 5005 | 6435 | 6435 | 5005 |
| 16 | 1 | 16 | 120 | 560 | 1820 | 4368 | 8008 | 11440 | 12870 | 11440 |
| 17 | 1 | 17 | 136 | 680 | 2380 | 6188 | 12376 | 19448 | 24310 | 24310 |
| 18 | 1 | 18 | 153 | 816 | 3060 | 8568 | 18564 | 31824 | 43758 | 48620 |
| 19 | 1 | 19 | 171 | 969 | 3876 | 11628 | 27132 | 50388 | 75582 | 92378 |
| 20 | 1 | 20 | 190 | 1140 | 4845 | 15504 | 38760 | 77520 | 125970 | 167960 |
| 21 | 1 | 21 | 210 | 1330 | 5985 | 20349 | 54264 | 116280 | 203490 | 293930 |
| 22 | 1 | 22 | 231 | 1540 | 7315 | 26334 | 74613 | 170544 | 319770 | 497420 |
| 23 | 1 | 23 | 253 | 1771 | 8855 | 33649 | 100947 | 245157 | 490314 | 817190 |
| 24 | 1 | 24 | 276 | 2024 | 10626 | 42504 | 134596 | 346104 | 735471 | 1307504 |
| 25 | 1 | 25 | 300 | 2300 | 12650 | 53130 | 177100 | 480700 | 1081575 | 2042975 |
| 26 | 1 | 26 | 325 | 2600 | 14950 | 65780 | 230230 | 657800 | 1562275 | 3124550 |
| 27 | 1 | 27 | 351 | 2925 | 17550 | 80730 | 296010 | 888030 | 2220075 | 4686825 |
| 28 | 1 | 28 | 378 | 3276 | 20475 | 98280 | 376740 | 1184040 | 3108105 | 6906900 |
| 29 | 1 | 29 | 406 | 3654 | 23751 | 118755 | 475020 | 1560780 | 4292145 | 10015005 |
| 30 | 1 | 30 | 435 | 4060 | 27405 | 142506 | 593775 | 2035800 | 5852925 | 14307150 |

| $n \backslash k$ | 10 | 11 | 12 | 13 | 14 | 15 |
|------------------|----------|----------|----------|-----------|-----------|-----------|
| 10 | 1 | | | | | |
| 11 | 11 | 1 | | | | |
| 12 | 66 | 12 | 1 | | | |
| 13 | 286 | 78 | 13 | 1 | | |
| 14 | 1001 | 364 | 91 | 14 | 1 | |
| 15 | 3003 | 1365 | 455 | 105 | 15 | 1 |
| 16 | 8008 | 4368 | 1820 | 560 | 120 | 16 |
| 17 | 19448 | 12376 | 6188 | 2380 | 680 | 136 |
| 18 | 43758 | 31824 | 18564 | 8568 | 3060 | 816 |
| 19 | 92378 | 75582 | 50388 | 27132 | 11628 | 3876 |
| 20 | 184756 | 167960 | 125970 | 77520 | 38760 | 15504 |
| 21 | 352716 | 352716 | 293930 | 203490 | 116280 | 54264 |
| 22 | 646646 | 705432 | 646646 | 497420 | 319770 | 170544 |
| 23 | 1144066 | 1352078 | 1352078 | 1144066 | 817190 | 490314 |
| 24 | 1961256 | 2496144 | 2704156 | 2496144 | 1961256 | 1307504 |
| 25 | 3268760 | 4457400 | 5200300 | 5200300 | 4457400 | 3268760 |
| 26 | 5311735 | 7726160 | 9657700 | 10400600 | 9657700 | 7726160 |
| 27 | 8436285 | 13037895 | 17383860 | 20058300 | 20058300 | 17383860 |
| 28 | 13123110 | 21474180 | 30421755 | 37442160 | 40116600 | 37442160 |
| 29 | 20030010 | 34597290 | 51895935 | 67863915 | 77558760 | 77558760 |
| 30 | 30045015 | 54627300 | 86493225 | 119759850 | 145422675 | 155117520 |

Para $k > 15$, use o fato de que $\binom{n}{k} = \binom{n}{n-k}$.

Funções de Bessel $J_0(x)$

| x | 0 | 1 | 2 | 3 | 4 | 5 | 6 | 7 | 8 | 9 |
|-----|---------|---------|---------|---------|---------|---------|---------|---------|---------|---------|
| 0. | 1,0000 | 0,9975 | 0,9900 | 0,9776 | 0,9604 | 0,9385 | 0,9120 | 0,8812 | 0,8463 | 0,8075 |
| 1. | 0,7652 | 0,7196 | 0,6711 | 0,6201 | 0,5669 | 0,5118 | 0,4554 | 0,3980 | 0,3400 | 0,2818 |
| 2. | 0,2239 | 0,1666 | 0,1104 | 0,0555 | 0,0025 | -0,0484 | -0,0968 | -0,1424 | -0,1850 | -0,2243 |
| 3. | -0,2601 | -0,2921 | -0,3202 | -0,3443 | -0,3643 | -0,3801 | -0,3918 | -0,3992 | -0,4026 | -0,4018 |
| 4. | -0,3971 | -0,3887 | -0,3766 | -0,3610 | -0,3423 | -0,3205 | -0,2961 | -0,2693 | -0,2404 | -0,2097 |
| 5. | -0,1776 | -0,1443 | -0,1103 | -0,0758 | -0,0412 | -0,0068 | 0,0270 | 0,0599 | 0,0917 | 0,1220 |
| 6. | 0,1506 | 0,1773 | 0,2017 | 0,2238 | 0,2433 | 0,2601 | 0,2740 | 0,2851 | 0,2931 | 0,2981 |
| 7. | 0,3001 | 0,2991 | 0,2951 | 0,2882 | 0,2786 | 0,2663 | 0,2516 | 0,2346 | 0,2154 | 0,1944 |
| 8. | 0,1717 | 0,1475 | 0,1222 | 0,0960 | 0,0692 | 0,0419 | 0,0146 | -0,0125 | -0,0392 | -0,0653 |
| 9. | -0,0903 | -0,1142 | -0,1367 | -0,1577 | -0,1768 | -0,1939 | -0,2090 | -0,2218 | -0,2323 | -0,2403 |

Funções de Bessel $J_1(x)$

| x | 0 | 1 | 2 | 3 | 4 | 5 | 6 | 7 | 8 | 9 |
|-----|---------|---------|---------|---------|---------|---------|---------|---------|---------|---------|
| 0. | 0,0000 | 0,0499 | 0,0995 | 0,1483 | 0,1960 | 0,2423 | 0,2867 | 0,3290 | 0,3688 | 0,4059 |
| 1. | 0,4401 | 0,4709 | 0,4983 | 0,5220 | 0,5419 | 0,5579 | 0,5699 | 0,5778 | 0,5815 | 0,5812 |
| 2. | 0,5767 | 0,5683 | 0,5560 | 0,5399 | 0,5202 | 0,4971 | 0,4708 | 0,4416 | 0,4097 | 0,3754 |
| 3. | 0,3391 | 0,3009 | 0,2613 | 0,2207 | 0,1792 | 0,1374 | 0,0955 | 0,0538 | 0,0128 | -0,0272 |
| 4. | -0,0660 | -0,1033 | -0,1386 | -0,1719 | -0,2028 | -0,2311 | -0,2566 | -0,2791 | -0,2985 | -0,3147 |
| 5. | -0,3276 | -0,3371 | -0,3432 | -0,3460 | -0,3453 | -0,3414 | -0,3343 | -0,3241 | -0,3110 | -0,2951 |
| 6. | -0,2767 | -0,2559 | -0,2329 | -0,2081 | -0,1816 | -0,1538 | -0,1250 | -0,0953 | -0,0652 | -0,0349 |
| 7. | -0,0047 | 0,0252 | 0,0543 | 0,0826 | 0,1096 | 0,1352 | 0,1592 | 0,1813 | 0,2014 | 0,2192 |
| 8. | 0,2346 | 0,2476 | 0,2580 | 0,2657 | 0,2708 | 0,2731 | 0,2728 | -0,2697 | -0,2641 | -0,2559 |
| 9. | -0,2453 | -0,2324 | -0,2174 | -0,2004 | -0,1816 | -0,1613 | -0,1395 | -0,1166 | -0,0928 | -0,0684 |

16

Funções de Bessel $Y_0(x)$

| x | 0 | 1 | 2 | 3 | 4 | 5 | 6 | 7 | 8 | 9 |
|-----|-----------|---------|---------|---------|---------|---------|---------|---------|---------|---------|
| 0. | $-\infty$ | -1,5342 | -1,0811 | -0,8073 | -0,6060 | -0,4445 | -0,3085 | -0,1907 | -0,0868 | 0,0056 |
| 1. | 0,0883 | 0,1622 | 0,2281 | 0,2865 | 0,3379 | 0,3824 | 0,4204 | 0,4520 | 0,4774 | 0,4968 |
| 2. | 0,5104 | 0,5183 | 0,5208 | 0,5181 | 0,5104 | 0,4981 | 0,4813 | 0,4605 | 0,4359 | 0,4079 |
| 3. | 0,3769 | 0,3431 | 0,3071 | 0,2691 | 0,2296 | 0,1890 | 0,1477 | 0,1061 | 0,0645 | 0,0234 |
| 4. | -0,0169 | -0,0561 | -0,0938 | -0,1296 | -0,1633 | -0,1947 | -0,2235 | -0,2494 | -0,2723 | -0,2921 |
| 5. | -0,3085 | -0,3216 | -0,3313 | -0,3374 | -0,3402 | -0,3395 | -0,3354 | -0,3282 | -0,3177 | -0,3044 |
| 6. | -0,2882 | -0,2694 | -0,2483 | -0,2251 | -0,1999 | -0,1732 | -0,1452 | -0,1162 | -0,0864 | -0,0563 |
| 7. | -0,0259 | 0,0042 | 0,0339 | 0,0628 | 0,0907 | 0,1173 | 0,1424 | 0,1658 | 0,1872 | 0,2065 |
| 8. | 0,2235 | 0,2381 | 0,2501 | 0,2595 | 0,2662 | 0,2702 | 0,2715 | 0,2700 | 0,2659 | 0,2592 |
| 9. | 0,2499 | 0,2383 | 0,2245 | 0,2086 | 0,1907 | 0,1712 | 0,1502 | 0,1279 | 0,1045 | 0,0804 |

17

Funções de Bessel $Y_1(x)$

| x | 0 | 1 | 2 | 3 | 4 | 5 | 6 | 7 | 8 | 9 |
|-----|-----------|---------|---------|---------|---------|---------|---------|---------|---------|---------|
| 0. | $-\infty$ | -6,4590 | -3,3238 | -2,2931 | -1,7809 | -1,4715 | -1,2604 | -1,1032 | -0,9781 | -0,8731 |
| 1. | -0,7812 | -0,6981 | -0,6211 | -0,5485 | -0,4791 | -0,4123 | -0,3476 | -0,2847 | -0,2237 | -0,1644 |
| 2. | -0,1070 | -0,0517 | 0,0015 | 0,0523 | 0,1005 | 0,1459 | 0,1884 | 0,2276 | 0,2635 | 0,2959 |
| 3. | 0,3247 | 0,3496 | 0,3707 | 0,3879 | 0,4010 | 0,4102 | 0,4154 | 0,4167 | 0,4141 | 0,4078 |
| 4. | 0,3979 | 0,3846 | 0,3680 | 0,3484 | 0,3260 | 0,3010 | 0,2737 | 0,2445 | 0,2136 | 0,1812 |
| 5. | 0,1479 | 0,1137 | 0,0792 | 0,0445 | 0,0101 | -0,0238 | -0,0568 | -0,0887 | -0,1192 | -0,1481 |
| 6. | -0,1750 | -0,1998 | -0,2223 | -0,2422 | -0,2596 | -0,2741 | -0,2857 | -0,2945 | -0,3002 | -0,3029 |
| 7. | -0,3027 | -0,2995 | -0,2934 | -0,2846 | -0,2731 | -0,2591 | -0,2428 | -0,2243 | -0,2039 | -0,1817 |
| 8. | -0,1581 | -0,1331 | -0,1072 | -0,0806 | -0,0535 | -0,0262 | 0,0011 | 0,0280 | 0,0544 | 0,0799 |
| 9. | 0,1043 | 0,1275 | 0,1491 | 0,1691 | 0,1871 | 0,2032 | 0,2171 | 0,2287 | 0,2379 | 0,2447 |

Funções de Bessel $I_0(x)$

| x | 0 | 1 | 2 | 3 | 4 | 5 | 6 | 7 | 8 | 9 |
|-----|-------|-------|-------|-------|-------|-------|-------|-------|-------|-------|
| 0. | 1,000 | 1,003 | 1,010 | 1,023 | 1,040 | 1,063 | 1,092 | 1,126 | 1,167 | 1,213 |
| 1. | 1,266 | 1,326 | 1,394 | 1,469 | 1,553 | 1,647 | 1,750 | 1,864 | 1,990 | 2,128 |
| 2. | 2,280 | 2,446 | 2,629 | 2,830 | 3,049 | 3,290 | 3,553 | 3,842 | 4,157 | 4,503 |
| 3. | 4,881 | 5,294 | 5,747 | 6,243 | 6,785 | 7,378 | 8,028 | 8,739 | 9,517 | 10,37 |
| 4. | 11,30 | 12,32 | 13,44 | 14,67 | 16,01 | 17,48 | 19,09 | 20,86 | 22,79 | 24,91 |
| 5. | 27,24 | 29,79 | 32,58 | 35,65 | 39,01 | 42,69 | 46,74 | 51,17 | 56,04 | 61,38 |
| 6. | 67,23 | 73,66 | 80,72 | 88,46 | 96,96 | 106,3 | 116,5 | 127,8 | 140,1 | 153,7 |
| 7. | 168,6 | 185,0 | 202,9 | 222,7 | 244,3 | 268,2 | 294,3 | 323,1 | 354,7 | 389,4 |
| 8. | 427,6 | 469,5 | 515,6 | 566,3 | 621,9 | 683,2 | 750,5 | 824,4 | 905,8 | 995,2 |
| 9. | 1094 | 1202 | 1321 | 1451 | 1595 | 1753 | 1927 | 2119 | 2329 | 2561 |

Funções de Bessel $I_1(x)$

| x | 0 | 1 | 2 | 3 | 4 | 5 | 6 | 7 | 8 | 9 |
|-----|--------|--------|--------|--------|--------|--------|--------|--------|--------|--------|
| 0. | 0,0000 | 0,0501 | 0,1005 | 0,1517 | 0,2040 | 0,2579 | 0,3137 | 0,3719 | 0,4329 | 0,4971 |
| 1. | 0,5652 | 0,6375 | 0,7147 | 0,7973 | 0,8861 | 0,9817 | 1,085 | 1,196 | 1,317 | 1,448 |
| 2. | 1,591 | 1,745 | 1,914 | 2,098 | 2,298 | 2,517 | 2,755 | 3,016 | 3,301 | 3,613 |
| 3. | 3,953 | 4,326 | 4,734 | 5,181 | 5,670 | 6,206 | 6,793 | 7,436 | 8,140 | 8,913 |
| 4. | 9,759 | 10,69 | 11,71 | 12,82 | 14,05 | 15,39 | 16,86 | 18,48 | 20,25 | 22,20 |
| 5. | 24,34 | 26,68 | 29,25 | 32,08 | 35,18 | 38,59 | 42,33 | 46,44 | 50,95 | 55,90 |
| 6. | 61,34 | 67,32 | 73,89 | 81,10 | 89,03 | 97,74 | 107,3 | 117,8 | 129,4 | 142,1 |
| 7. | 156,0 | 171,4 | 188,3 | 206,8 | 227,2 | 249,6 | 274,2 | 301,3 | 331,1 | 363,9 |
| 8. | 399,9 | 439,5 | 483,0 | 531,0 | 583,7 | 641,6 | 705,4 | 775,5 | 852,7 | 937,5 |
| 9. | 1031 | 1134 | 1247 | 1371 | 1508 | 1658 | 1824 | 2006 | 2207 | 2428 |

20

Funções de Bessel $K_0(x)$

| x | 0 | 1 | 2 | 3 | 4 | 5 | 6 | 7 | 8 | 9 |
|-----|----------|----------|----------|-----------|-----------|-----------|-----------|-----------|-----------|-----------|
| 0. | ∞ | 2,4271 | 1,7527 | 1,3725 | 1,1145 | 0,9244 | 0,7775 | 0,6605 | 0,5653 | 0,4867 |
| 1. | 0,4210 | 0,3656 | 0,3185 | 0,2782 | 0,2437 | 0,2138 | 0,1880 | 0,1655 | 0,1459 | 0,1288 |
| 2. | 0,1139 | 0,1008 | 0,08927 | 0,07914 | 0,07022 | 0,06235 | 0,05540 | 0,04926 | 0,04382 | 0,03901 |
| 3. | 0,03474 | 0,03095 | 0,02759 | 0,02461 | 0,02196 | 0,01960 | 0,01750 | 0,01563 | 0,01397 | 0,01248 |
| 4. | 0,01116 | 0,029980 | 0,028927 | 0,027988 | 0,027149 | 0,026400 | 0,025730 | 0,025132 | 0,024597 | 0,024119 |
| 5. | 0,023691 | 0,023308 | 0,022966 | 0,022659 | 0,022385 | 0,022139 | 0,021918 | 0,021721 | 0,021544 | 0,021386 |
| 6. | 0,021244 | 0,021117 | 0,021003 | 0,0209001 | 0,0208083 | 0,0207259 | 0,0206520 | 0,0205857 | 0,0205262 | 0,0204728 |
| 7. | 0,024248 | 0,023817 | 0,023431 | 0,023084 | 0,022772 | 0,022492 | 0,022240 | 0,022014 | 0,021811 | 0,021629 |
| 8. | 0,021465 | 0,021317 | 0,021185 | 0,021066 | 0,0209588 | 0,0208626 | 0,0207761 | 0,0206983 | 0,0206283 | 0,0205654 |
| 9. | 0,025088 | 0,024579 | 0,024121 | 0,023710 | 0,023339 | 0,023006 | 0,022706 | 0,022436 | 0,022193 | 0,021975 |

21

Funções de Bessel $K_1(x)$

| x | 0 | 1 | 2 | 3 | 4 | 5 | 6 | 7 | 8 | 9 |
|-----|----------|----------|----------|-----------|-----------|-----------|-----------|-----------|-----------|-----------|
| 0. | ∞ | 9,8538 | 4,7760 | 3,0560 | 2,1844 | 1,6564 | 1,3028 | 1,0503 | 0,8618 | 0,7165 |
| 1. | 0,6019 | 0,5098 | 0,4346 | 0,3725 | 0,3208 | 0,2774 | 0,2406 | 0,2094 | 0,1826 | 0,1597 |
| 2. | 0,1399 | 0,1227 | 0,1079 | 0,09498 | 0,08372 | 0,07389 | 0,06528 | 0,05774 | 0,05111 | 0,04529 |
| 3. | 0,04016 | 0,03563 | 0,03164 | 0,02812 | 0,02500 | 0,02224 | 0,01979 | 0,01763 | 0,01571 | 0,01400 |
| 4. | 0,01248 | 0,01114 | 0,029938 | 0,028872 | 0,027923 | 0,027078 | 0,026325 | 0,025654 | 0,025055 | 0,024521 |
| 5. | 0,024045 | 0,023619 | 0,023239 | 0,022900 | 0,022597 | 0,022326 | 0,022083 | 0,021866 | 0,021673 | 0,021499 |
| 6. | 0,021344 | 0,021205 | 0,021081 | 0,0209691 | 0,0208693 | 0,0207799 | 0,0206998 | 0,0206280 | 0,0205636 | 0,0205059 |
| 7. | 0,024542 | 0,024078 | 0,023662 | 0,023288 | 0,022953 | 0,022653 | 0,022383 | 0,022141 | 0,021924 | 0,021729 |
| 8. | 0,021554 | 0,021396 | 0,021255 | 0,021128 | 0,021014 | 0,0209120 | 0,0208200 | 0,0207374 | 0,0206631 | 0,0205964 |
| 9. | 0,025364 | 0,024825 | 0,024340 | 0,023904 | 0,023512 | 0,023160 | 0,022843 | 0,022559 | 0,022302 | 0,022072 |

Funções de Bessel Ber (x)

| x | 0 | 1 | 2 | 3 | 4 | 5 | 6 | 7 | 8 | 9 |
|-----|---------|---------|---------|---------|---------|---------|---------|---------|---------|----------|
| 0. | 1,0000 | 1,0000 | 1,0000 | 0,9999 | 0,9996 | 0,9990 | 0,9980 | 0,9962 | 0,9936 | 0,9898 |
| 1. | 0,9844 | 0,9771 | 0,9676 | 0,9554 | 0,9401 | 0,9211 | 0,8979 | 0,8700 | 0,8367 | 0,7975 |
| 2. | 0,7517 | 0,6987 | 0,6377 | 0,5680 | 0,4890 | 0,4000 | 0,3001 | 0,1887 | 0,06511 | -0,07137 |
| 3. | -0,2214 | -0,3855 | -0,5644 | -0,7584 | -0,9680 | -1,1936 | -1,4353 | -1,6933 | -1,9674 | -2,2576 |
| 4. | -2,5634 | -2,8843 | -3,2195 | -3,5679 | -3,9283 | -4,2991 | -4,6784 | -5,0639 | -5,4531 | -5,8429 |
| 5. | -6,2301 | -6,6107 | -6,9803 | -7,3344 | -7,6674 | -7,9736 | -8,2466 | -8,4794 | -8,6644 | -8,7937 |
| 6. | -8,8583 | -8,8491 | -8,7561 | -8,5688 | -8,2762 | -7,8669 | -7,3287 | -6,6492 | -5,8155 | -4,8146 |
| 7. | -3,6329 | -2,2571 | -0,6737 | 1,1308 | 3,1695 | 5,4550 | 7,9994 | 10,814 | 13,909 | 17,293 |
| 8. | 20,974 | 24,957 | 29,245 | 33,840 | 38,738 | 43,936 | 49,423 | 55,187 | 61,210 | 67,469 |
| 9. | 73,936 | 80,576 | 87,350 | 94,208 | 101,10 | 107,95 | 114,70 | 121,26 | 127,54 | 133,43 |

Funções de Bessel Bei (x)

| x | 0 | 1 | 2 | 3 | 4 | 5 | 6 | 7 | 8 | 9 |
|-----|---------|----------|---------|---------|---------|---------|---------|---------|---------|---------|
| 0. | 0,0000 | 0,022500 | 0,01000 | 0,02250 | 0,04000 | 0,06249 | 0,08998 | 0,1224 | 0,1599 | 0,2023 |
| 1. | 0,2496 | 0,3017 | 0,3587 | 0,4204 | 0,4867 | 0,5576 | 0,6327 | 0,7120 | 0,7953 | 0,8821 |
| 2. | 0,9723 | 1,0654 | 1,1610 | 1,2585 | 1,3575 | 1,4572 | 1,5569 | 1,6557 | 1,7529 | 1,8472 |
| 3. | 1,9376 | 2,0228 | 2,1016 | 2,1723 | 2,2334 | 2,2832 | 2,3199 | 2,3413 | 2,3454 | 2,3300 |
| 4. | 2,2927 | 2,2309 | 2,1422 | 2,0236 | 1,8726 | 1,6860 | 1,4610 | 1,1946 | 0,8837 | 0,5251 |
| 5. | 0,1160 | -0,3467 | -0,8658 | -1,4443 | -2,0845 | -2,7890 | -3,5597 | -4,3986 | -5,3068 | -6,2854 |
| 6. | -7,3347 | -8,4545 | -9,6437 | -10,901 | -12,223 | -13,607 | -15,047 | -16,538 | -18,074 | -19,644 |
| 7. | -21,239 | -22,848 | -24,456 | -26,049 | -27,609 | -29,116 | -30,548 | -31,882 | -33,092 | -34,147 |
| 8. | -35,017 | -35,667 | -36,061 | -36,159 | -35,920 | -35,298 | -34,246 | -32,714 | -30,651 | -28,003 |
| 9. | -24,713 | -20,724 | -15,976 | -10,412 | -3,9693 | 3,4106 | 11,787 | 21,218 | 31,758 | 43,459 |

24

Funções de Bessel Ker (x)

| x | 0 | 1 | 2 | 3 | 4 | 5 | 6 | 7 | 8 | 9 |
|-----|-----------|-----------|-----------|-----------|-----------|-----------|-----------|-----------|-----------|-----------|
| 0. | ∞ | 2,4205 | 1,7331 | 1,3372 | 1,0626 | 0,8559 | 0,6931 | 0,5614 | 0,4529 | 0,3625 |
| 1. | 0,2867 | 0,2228 | 0,1689 | 0,1235 | 0,08513 | 0,05293 | 0,02603 | 0,023691 | -0,01470 | -0,02966 |
| 2. | -0,04166 | -0,05111 | -0,05834 | -0,06367 | -0,06737 | -0,06969 | -0,07083 | -0,07097 | -0,07030 | -0,06894 |
| 3. | -0,06703 | -0,06468 | -0,06198 | -0,05903 | -0,05590 | -0,05264 | -0,04932 | -0,04597 | -0,04265 | -0,03937 |
| 4. | -0,03618 | -0,03308 | -0,03011 | -0,02726 | -0,02456 | -0,02200 | -0,01960 | -0,01734 | -0,01525 | -0,01330 |
| 5. | -0,01151 | -0,029865 | -0,028359 | -0,026989 | -0,025749 | -0,024632 | -0,023632 | -0,022740 | -0,021952 | -0,021258 |
| 6. | -0,036530 | -0,031295 | 0,033191 | 0,036991 | 0,021017 | 0,021278 | 0,021488 | 0,021653 | 0,021777 | 0,021866 |
| 7. | 0,021922 | 0,021951 | 0,021956 | 0,021940 | 0,021907 | 0,021860 | 0,021800 | 0,021731 | 0,021655 | 0,021572 |
| 8. | 0,021486 | 0,021397 | 0,021306 | 0,021216 | 0,021126 | 0,021037 | 0,0209511 | 0,0208675 | 0,0207871 | 0,0207102 |
| 9. | 0,026372 | 0,025681 | 0,025030 | 0,024422 | 0,023855 | 0,023330 | 0,022846 | 0,022402 | 0,021996 | 0,021628 |

25

Funções de Bessel Kei (x)

| x | 0 | 1 | 2 | 3 | 4 | 5 | 6 | 7 | 8 | 9 |
|-----|----------|----------|----------|-----------|-----------|-----------|-----------|-----------|-----------|-----------|
| 0. | ∞ | 9,8538 | 4,7760 | 3,0560 | 2,1844 | 1,6564 | 1,3028 | 1,0503 | 0,8618 | 0,7165 |
| 1. | 0,6019 | 0,5098 | 0,4346 | 0,3725 | 0,3208 | 0,2774 | 0,2406 | 0,2094 | 0,1826 | 0,1597 |
| 2. | 0,1399 | 0,1227 | 0,1079 | 0,09498 | 0,08372 | 0,07389 | 0,06528 | 0,05774 | 0,05111 | 0,04529 |
| 3. | 0,04016 | 0,03563 | 0,03164 | 0,02812 | 0,02500 | 0,02224 | 0,01979 | 0,01763 | 0,01571 | 0,01400 |
| 4. | 0,01248 | 0,01114 | 0,029938 | 0,028872 | 0,027923 | 0,027078 | 0,026325 | 0,025654 | 0,025055 | 0,024521 |
| 5. | 0,024045 | 0,023619 | 0,023239 | 0,022900 | 0,022597 | 0,022326 | 0,022083 | 0,021866 | 0,021673 | 0,021499 |
| 6. | 0,021344 | 0,021205 | 0,021081 | 0,0209691 | 0,0208693 | 0,0207799 | 0,0206998 | 0,0206280 | 0,0205636 | 0,0205059 |
| 7. | 0,024542 | 0,024078 | 0,023662 | 0,023288 | 0,022953 | 0,022653 | 0,022383 | 0,022141 | 0,021924 | 0,021729 |
| 8. | 0,021554 | 0,021396 | 0,021255 | 0,021128 | 0,021014 | 0,0209120 | 0,0208200 | 0,0207374 | 0,0206631 | 0,0205964 |
| 9. | 0,025364 | 0,024825 | 0,024340 | 0,023904 | 0,023512 | 0,023160 | 0,022843 | 0,022559 | 0,022302 | 0,022072 |

Valores Aproximados de Zeros de Funções de Bessel

26

A seguinte tabela apresenta as primeiras seis raízes positivas de várias equações. Observe que em todos os casos listados as raízes sucessivas diferem, aproximadamente, por $\pi = 3,14159\dots$

| | $n = 0$ | $n = 1$ | $n = 2$ | $n = 3$ | $n = 4$ | $n = 5$ | $n = 6$ |
|---------------|---------|---------|---------|---------|---------|---------|---------|
| $J_n(x) = 0$ | 2,4048 | 3,8317 | 5,1356 | 6,3802 | 7,5883 | 8,7715 | 9,9361 |
| | 5,5201 | 7,0156 | 8,4172 | 9,7610 | 11,0647 | 12,3386 | 13,5893 |
| | 8,6537 | 10,1735 | 11,6198 | 13,0152 | 14,3725 | 15,7002 | 17,0038 |
| | 11,7915 | 13,3237 | 14,7960 | 16,2235 | 17,6160 | 18,9801 | 20,3208 |
| | 14,9309 | 16,4706 | 17,9598 | 19,4094 | 20,8269 | 22,2178 | 23,5861 |
| | 18,0711 | 19,6159 | 21,1170 | 22,5827 | 24,0190 | 25,4303 | 26,8202 |
| $Y_n(x) = 0$ | 0,8936 | 2,1971 | 3,3842 | 4,5270 | 5,6452 | 6,7472 | 7,8377 |
| | 3,9577 | 5,4297 | 6,7938 | 8,0976 | 9,3616 | 10,5972 | 11,8110 |
| | 7,0861 | 8,5960 | 10,0235 | 11,3965 | 12,7301 | 14,0338 | 15,3136 |
| | 10,2223 | 11,7492 | 13,2100 | 14,6231 | 15,9996 | 17,3471 | 18,6707 |
| | 13,3611 | 14,8974 | 16,3790 | 17,8185 | 19,2244 | 20,6029 | 21,9583 |
| | 16,5009 | 18,0434 | 19,5390 | 20,9973 | 22,4248 | 23,8265 | 25,2062 |
| $J'_n(x) = 0$ | 0,0000 | 1,8412 | 3,0542 | 4,2012 | 5,3176 | 6,4156 | 7,5013 |
| | 3,8317 | 5,3314 | 6,7061 | 8,0152 | 9,2824 | 10,5199 | 11,7349 |
| | 7,0156 | 8,5363 | 9,9695 | 11,3459 | 12,6819 | 13,9872 | 15,2682 |
| | 10,1735 | 11,7060 | 13,1704 | 14,5859 | 15,9641 | 17,3128 | 18,6374 |
| | 13,3237 | 14,8636 | 16,3475 | 17,7888 | 19,1960 | 20,5755 | 21,9317 |
| | 16,4706 | 18,0155 | 19,5129 | 20,9725 | 22,4010 | 23,8036 | 25,1839 |
| $Y'_n(x) = 0$ | 2,1971 | 3,6830 | 5,0026 | 6,2536 | 7,4649 | 8,6496 | 9,8148 |
| | 5,4297 | 6,9415 | 8,3507 | 9,6988 | 11,0052 | 12,2809 | 13,5328 |
| | 8,5960 | 10,1234 | 11,5742 | 12,9724 | 14,3317 | 15,6608 | 16,9655 |
| | 11,7492 | 13,2858 | 14,7609 | 16,1905 | 17,5844 | 18,9497 | 20,2913 |
| | 14,8974 | 16,4401 | 17,9313 | 19,3824 | 20,8011 | 22,1928 | 23,5619 |
| | 18,0434 | 19,5902 | 21,0929 | 22,5598 | 23,9970 | 25,4091 | 26,7995 |

27

Polinômios de Legendre $P_n(x)$

$$[P_0(x) = 1, P_1(x) = x]$$

| x | $P_2(x)$ | $P_3(x)$ | $P_4(x)$ | $P_5(x)$ |
|------|----------|----------|----------|----------|
| 0,00 | -0,5000 | 0,0000 | 0,3750 | 0,0000 |
| 0,05 | -0,4963 | -0,0747 | 0,3657 | 0,0927 |
| 0,10 | -0,4850 | -0,1475 | 0,3379 | 0,1788 |
| 0,15 | -0,4663 | -0,2166 | 0,2928 | 0,2523 |
| 0,20 | -0,4400 | -0,2800 | 0,2320 | 0,3075 |
| 0,25 | -0,4063 | -0,3359 | 0,1577 | 0,3397 |
| 0,30 | -0,3650 | -0,3825 | 0,0729 | 0,3454 |
| 0,35 | -0,3163 | -0,4178 | -0,0187 | 0,3225 |
| 0,40 | -0,2600 | -0,4400 | -0,1130 | 0,2706 |
| 0,45 | -0,1963 | -0,4472 | -0,2050 | 0,1917 |
| 0,50 | -0,1250 | -0,4375 | -0,2891 | 0,0898 |
| 0,55 | -0,0463 | -0,4091 | -0,3590 | -0,0282 |
| 0,60 | 0,0400 | -0,3600 | -0,4080 | -0,1526 |
| 0,65 | 0,1338 | -0,2884 | -0,4284 | -0,2705 |
| 0,70 | 0,2350 | -0,1925 | -0,4121 | -0,3652 |
| 0,75 | 0,3438 | -0,0703 | -0,3501 | -0,4164 |
| 0,80 | 0,4600 | 0,0800 | -0,2330 | -0,3995 |
| 0,85 | 0,5838 | 0,2603 | -0,0506 | -0,2857 |
| 0,90 | 0,7150 | 0,4725 | 0,2079 | -0,0411 |
| 0,95 | 0,8538 | 0,7184 | 0,5541 | 0,3727 |
| 1,00 | 1,0000 | 1,0000 | 1,0000 | 1,0000 |

Polinômios de Legendre $P_n(\cos \theta)$

$$[P_0(\cos \theta) = 1]$$

| θ | $P_1(\cos \theta)$ | $P_2(\cos \theta)$ | $P_3(\cos \theta)$ | $P_4(\cos \theta)$ | $P_5(\cos \theta)$ |
|----------|--------------------|--------------------|--------------------|--------------------|--------------------|
| 0° | 1,0000 | 1,0000 | 1,0000 | 1,0000 | 1,0000 |
| 5° | 0,9962 | 0,9886 | 0,9773 | 0,9623 | 0,9437 |
| 10° | 0,9848 | 0,9548 | 0,9106 | 0,8532 | 0,7840 |
| 15° | 0,9659 | 0,8995 | 0,8042 | 0,6847 | 0,5471 |
| 20° | 0,9397 | 0,8245 | 0,6649 | 0,4750 | 0,2715 |
| 25° | 0,9063 | 0,7321 | 0,5016 | 0,2465 | 0,0009 |
| 30° | 0,8660 | 0,6250 | 0,3248 | 0,0234 | -0,2233 |
| 35° | 0,8192 | 0,5065 | 0,1454 | -0,1714 | -0,3691 |
| 40° | 0,7660 | 0,3802 | -0,0252 | -0,3190 | -0,4197 |
| 45° | 0,7071 | 0,2500 | -0,1768 | -0,4063 | -0,3757 |
| 50° | 0,6428 | 0,1198 | -0,3002 | -0,4275 | -0,2545 |
| 55° | 0,5736 | -0,0065 | -0,3886 | -0,3852 | -0,0868 |
| 60° | 0,5000 | -0,1250 | -0,4375 | -0,2891 | 0,0898 |
| 65° | 0,4226 | -0,2321 | -0,4452 | -0,1552 | 0,2381 |
| 70° | 0,3420 | -0,3245 | -0,4130 | -0,0038 | 0,3281 |
| 75° | 0,2588 | -0,3995 | -0,3449 | 0,1434 | 0,3427 |
| 80° | 0,1737 | -0,4548 | -0,2474 | 0,2659 | 0,2810 |
| 85° | 0,0872 | -0,4886 | -0,1291 | 0,3468 | 0,1577 |
| 90° | 0,0000 | -0,5000 | 0,0000 | 0,3750 | 0,0000 |

Seção V: Integrais Elípticas

29

Integrais Elípticas Completas de 1ª e 2ª Espécies

$$K = \int_0^{\pi/2} \frac{d\theta}{\sqrt{1-k^2 \operatorname{sen}^2 \theta}}, \quad E = \int_0^{\pi/2} \sqrt{1-k^2 \operatorname{sen}^2 \theta} d\theta, \quad k = \operatorname{sen} \psi$$

| ψ | K | E |
|--------|--------|--------|
| 0° | 1,5708 | 1,5708 |
| 1 | 1,5709 | 1,5707 |
| 2 | 1,5713 | 1,5703 |
| 3 | 1,5719 | 1,5697 |
| 4 | 1,5727 | 1,5689 |
| 5 | 1,5738 | 1,5678 |
| 6 | 1,5751 | 1,5665 |
| 7 | 1,5767 | 1,5649 |
| 8 | 1,5785 | 1,5632 |
| 9 | 1,5805 | 1,5611 |
| 10 | 1,5828 | 1,5589 |
| 11 | 1,5854 | 1,5564 |
| 12 | 1,5882 | 1,5537 |
| 13 | 1,5913 | 1,5507 |
| 14 | 1,5946 | 1,5476 |
| 15 | 1,5981 | 1,5442 |
| 16 | 1,6020 | 1,5405 |
| 17 | 1,6061 | 1,5367 |
| 18 | 1,6105 | 1,5326 |
| 19 | 1,6151 | 1,5283 |
| 20 | 1,6200 | 1,5238 |
| 21 | 1,6252 | 1,5191 |
| 22 | 1,6307 | 1,5141 |
| 23 | 1,6365 | 1,5090 |
| 24 | 1,6426 | 1,5037 |
| 25 | 1,6490 | 1,4981 |
| 26 | 1,6557 | 1,4924 |
| 27 | 1,6627 | 1,4864 |
| 28 | 1,6701 | 1,4803 |
| 29 | 1,6777 | 1,4740 |
| 30 | 1,6858 | 1,4675 |

| ψ | K | E |
|--------|--------|--------|
| 30° | 1,6858 | 1,4675 |
| 31 | 1,6941 | 1,4608 |
| 32 | 1,7028 | 1,4539 |
| 33 | 1,7119 | 1,4469 |
| 34 | 1,7214 | 1,4397 |
| 35 | 1,7312 | 1,4323 |
| 36 | 1,7415 | 1,4248 |
| 37 | 1,7522 | 1,4171 |
| 38 | 1,7633 | 1,4092 |
| 39 | 1,7748 | 1,4013 |
| 40 | 1,7868 | 1,3931 |
| 41 | 1,7992 | 1,3849 |
| 42 | 1,8122 | 1,3765 |
| 43 | 1,8256 | 1,3680 |
| 44 | 1,8396 | 1,3594 |
| 45 | 1,8541 | 1,3506 |
| 46 | 1,8691 | 1,3418 |
| 47 | 1,8848 | 1,3329 |
| 48 | 1,9011 | 1,3238 |
| 49 | 1,9180 | 1,3147 |
| 50 | 1,9356 | 1,3055 |
| 51 | 1,9539 | 1,2963 |
| 52 | 1,9729 | 1,2870 |
| 53 | 1,9927 | 1,2776 |
| 54 | 2,0133 | 1,2681 |
| 55 | 2,0347 | 1,2587 |
| 56 | 2,0571 | 1,2492 |
| 57 | 2,0804 | 1,2397 |
| 58 | 2,1047 | 1,2301 |
| 59 | 2,1300 | 1,2206 |
| 60 | 2,1565 | 1,2111 |

| ψ | K | E |
|--------|----------|--------|
| 60° | 2,1565 | 1,2111 |
| 61 | 2,1842 | 1,2015 |
| 62 | 2,2132 | 1,1920 |
| 63 | 2,2435 | 1,1826 |
| 64 | 2,2754 | 1,1732 |
| 65 | 2,3088 | 1,1638 |
| 66 | 2,3439 | 1,1545 |
| 67 | 2,3809 | 1,1453 |
| 68 | 2,4198 | 1,1362 |
| 69 | 2,4610 | 1,1272 |
| 70 | 2,5046 | 1,1184 |
| 71 | 2,5507 | 1,1096 |
| 72 | 2,5998 | 1,1011 |
| 73 | 2,6521 | 1,0927 |
| 74 | 2,7081 | 1,0844 |
| 75 | 2,7681 | 1,0764 |
| 76 | 2,8327 | 1,0686 |
| 77 | 2,9026 | 1,0611 |
| 78 | 2,9786 | 1,0538 |
| 79 | 3,0617 | 1,0468 |
| 80 | 3,1534 | 1,0401 |
| 81 | 3,2553 | 1,0338 |
| 82 | 3,3699 | 1,0278 |
| 83 | 3,5004 | 1,0223 |
| 84 | 3,6519 | 1,0172 |
| 85 | 3,8317 | 1,0127 |
| 86 | 4,0528 | 1,0086 |
| 87 | 4,3387 | 1,0053 |
| 88 | 4,7427 | 1,0026 |
| 89 | 5,4349 | 1,0008 |
| 90 | ∞ | 1,0000 |

Integrais Elípticas Incompletas de 1ª Espécie

30

$$F(k, \phi) = \int_0^\phi \frac{d\theta}{\sqrt{1 - k^2 \sin^2 \theta}}, \quad k = \sin \psi$$

| $\phi \backslash \psi$ | 0° | 10° | 20° | 30° | 40° | 50° | 60° | 70° | 80° | 90° |
|------------------------|--------|--------|--------|--------|--------|--------|--------|--------|--------|--------|
| 0° | 0,0000 | 0,0000 | 0,0000 | 0,0000 | 0,0000 | 0,0000 | 0,0000 | 0,0000 | 0,0000 | 0,0000 |
| 10° | 0,1745 | 0,1746 | 0,1746 | 0,1748 | 0,1749 | 0,1751 | 0,1752 | 0,1753 | 0,1754 | 0,1754 |
| 20° | 0,3491 | 0,3493 | 0,3499 | 0,3508 | 0,3520 | 0,3533 | 0,3545 | 0,3555 | 0,3561 | 0,3564 |
| 30° | 0,5236 | 0,5243 | 0,5263 | 0,5294 | 0,5334 | 0,5379 | 0,5422 | 0,5459 | 0,5484 | 0,5493 |
| 40° | 0,6981 | 0,6997 | 0,7043 | 0,7116 | 0,7213 | 0,7323 | 0,7436 | 0,7535 | 0,7604 | 0,7629 |
| 50° | 0,8727 | 0,8756 | 0,8842 | 0,8982 | 0,9173 | 0,9401 | 0,9647 | 0,9876 | 1,0044 | 1,0107 |
| 60° | 1,0472 | 1,0519 | 1,0660 | 1,0896 | 1,1226 | 1,1643 | 1,2126 | 1,2619 | 1,3014 | 1,3170 |
| 70° | 1,2217 | 1,2286 | 1,2495 | 1,2853 | 1,3372 | 1,4068 | 1,4944 | 1,5959 | 1,6918 | 1,7354 |
| 80° | 1,3963 | 1,4056 | 1,4344 | 1,4846 | 1,5597 | 1,6660 | 1,8125 | 2,0119 | 2,2653 | 2,4362 |
| 90° | 1,5708 | 1,5828 | 1,6200 | 1,6858 | 1,7868 | 1,9356 | 2,1565 | 2,5046 | 3,1534 | ∞ |

Integrais Elípticas Incompletas de 2ª Espécie

31

$$E(k, \phi) = \int_0^\phi \sqrt{1 - k^2 \sin^2 \theta} d\theta, \quad k = \sin \psi$$

| $\phi \backslash \psi$ | 0° | 10° | 20° | 30° | 40° | 50° | 60° | 70° | 80° | 90° |
|------------------------|--------|--------|--------|--------|--------|--------|--------|--------|--------|--------|
| 0° | 0,0000 | 0,0000 | 0,0000 | 0,0000 | 0,0000 | 0,0000 | 0,0000 | 0,0000 | 0,0000 | 0,0000 |
| 10° | 0,1745 | 0,1745 | 0,1744 | 0,1743 | 0,1742 | 0,1740 | 0,1739 | 0,1738 | 0,1737 | 0,1736 |
| 20° | 0,3491 | 0,3489 | 0,3483 | 0,3473 | 0,3462 | 0,3450 | 0,3438 | 0,3429 | 0,3422 | 0,3420 |
| 30° | 0,5236 | 0,5229 | 0,5209 | 0,5179 | 0,5141 | 0,5100 | 0,5061 | 0,5029 | 0,5007 | 0,5000 |
| 40° | 0,6981 | 0,6966 | 0,6921 | 0,6851 | 0,6763 | 0,6667 | 0,6575 | 0,6497 | 0,6446 | 0,6428 |
| 50° | 0,8727 | 0,8698 | 0,8614 | 0,8483 | 0,8317 | 0,8134 | 0,7954 | 0,7801 | 0,7697 | 0,7660 |
| 60° | 1,0472 | 1,0426 | 1,0290 | 1,0076 | 0,9801 | 0,9493 | 0,9184 | 0,8914 | 0,8728 | 0,8660 |
| 70° | 1,2217 | 1,2149 | 1,1949 | 1,1632 | 1,1221 | 1,0750 | 1,0266 | 0,9830 | 0,9514 | 0,9397 |
| 80° | 1,3963 | 1,3870 | 1,3597 | 1,3161 | 1,2590 | 1,1926 | 1,1225 | 1,0565 | 1,0054 | 0,9848 |
| 90° | 1,5708 | 1,5589 | 1,5238 | 1,4675 | 1,3931 | 1,3055 | 1,2111 | 1,1184 | 1,0401 | 1,0000 |

Seção VI: Tabelas Financeiras

32

Montante Composto

$$(1 + r)^n$$

Se um capital P é aplicado a uma taxa de juros r (em decimais) compostos periodicamente, então no final de n destes períodos o montante acumulado é $A = P(1 + r)^n$.

| $n \backslash r$ | 1% | 1¼% | 1½% | 2% | 2½% | 3% | 4% | 5% | 6% |
|------------------|--------|--------|--------|--------|--------|--------|--------|---------|---------|
| 1 | 1,0100 | 1,0125 | 1,0150 | 1,0200 | 1,0250 | 1,0300 | 1,0400 | 1,0500 | 1,0600 |
| 2 | 1,0201 | 1,0252 | 1,0302 | 1,0404 | 1,0506 | 1,0609 | 1,0816 | 1,1025 | 1,1236 |
| 3 | 1,0303 | 1,0380 | 1,0457 | 1,0612 | 1,0769 | 1,0927 | 1,1249 | 1,1576 | 1,1910 |
| 4 | 1,0406 | 1,0509 | 1,0614 | 1,0824 | 1,1038 | 1,1255 | 1,1699 | 1,2155 | 1,2625 |
| 5 | 1,0510 | 1,0641 | 1,0773 | 1,1041 | 1,1314 | 1,1593 | 1,2167 | 1,2763 | 1,3382 |
| 6 | 1,0615 | 1,0774 | 1,0934 | 1,1262 | 1,1597 | 1,1941 | 1,2653 | 1,3401 | 1,4185 |
| 7 | 1,0721 | 1,0909 | 1,1098 | 1,1487 | 1,1887 | 1,2299 | 1,3159 | 1,4071 | 1,5036 |
| 8 | 1,0829 | 1,1045 | 1,1265 | 1,1717 | 1,2184 | 1,2668 | 1,3688 | 1,4775 | 1,5938 |
| 9 | 1,0937 | 1,1183 | 1,1434 | 1,1951 | 1,2489 | 1,3048 | 1,4233 | 1,5513 | 1,6895 |
| 10 | 1,1046 | 1,1323 | 1,1605 | 1,2190 | 1,2801 | 1,3439 | 1,4802 | 1,6289 | 1,7908 |
| 11 | 1,1157 | 1,1464 | 1,1779 | 1,2434 | 1,3121 | 1,3842 | 1,5395 | 1,7103 | 1,8983 |
| 12 | 1,1268 | 1,1608 | 1,1956 | 1,2682 | 1,3449 | 1,4258 | 1,6010 | 1,7959 | 2,0122 |
| 13 | 1,1381 | 1,1753 | 1,2136 | 1,2936 | 1,3785 | 1,4685 | 1,6651 | 1,8856 | 2,1329 |
| 14 | 1,1495 | 1,1900 | 1,2318 | 1,3195 | 1,4130 | 1,5126 | 1,7317 | 1,9799 | 2,2609 |
| 15 | 1,1610 | 1,2048 | 1,2502 | 1,3459 | 1,4483 | 1,5580 | 1,8009 | 2,0789 | 2,3966 |
| 16 | 1,1726 | 1,2199 | 1,2690 | 1,3728 | 1,4845 | 1,6047 | 1,8730 | 2,1829 | 2,5404 |
| 17 | 1,1843 | 1,2351 | 1,2880 | 1,4002 | 1,5216 | 1,6528 | 1,9479 | 2,2920 | 2,6928 |
| 18 | 1,1961 | 1,2506 | 1,3073 | 1,4282 | 1,5597 | 1,7024 | 2,0258 | 2,4066 | 2,8543 |
| 19 | 1,2081 | 1,2662 | 1,3270 | 1,4568 | 1,5987 | 1,7535 | 2,1068 | 2,5270 | 3,0256 |
| 20 | 1,2202 | 1,2820 | 1,3469 | 1,4859 | 1,6386 | 1,8061 | 2,1911 | 2,6533 | 3,2071 |
| 21 | 1,2324 | 1,2981 | 1,3671 | 1,5157 | 1,6796 | 1,8603 | 2,2788 | 2,7860 | 3,3996 |
| 22 | 1,2447 | 1,3143 | 1,3876 | 1,5460 | 1,7216 | 1,9161 | 2,3699 | 2,9253 | 3,6035 |
| 23 | 1,2572 | 1,3307 | 1,4084 | 1,5769 | 1,7646 | 1,9736 | 2,4647 | 3,0715 | 3,8197 |
| 24 | 1,2697 | 1,3474 | 1,4295 | 1,6084 | 1,8087 | 2,0328 | 2,5633 | 3,2251 | 4,0489 |
| 25 | 1,2824 | 1,3642 | 1,4509 | 1,6406 | 1,8539 | 2,0938 | 2,6658 | 3,3864 | 4,2919 |
| 26 | 1,2953 | 1,3812 | 1,4727 | 1,6734 | 1,9003 | 2,1566 | 2,7725 | 3,5557 | 4,5494 |
| 27 | 1,3082 | 1,3985 | 1,4948 | 1,7069 | 1,9478 | 2,2213 | 2,8834 | 3,7335 | 4,8223 |
| 28 | 1,3213 | 1,4160 | 1,5172 | 1,7410 | 1,9965 | 2,2879 | 2,9987 | 3,9201 | 5,1117 |
| 29 | 1,3345 | 1,4337 | 1,5400 | 1,7758 | 2,0464 | 2,3566 | 3,1187 | 4,1161 | 5,4184 |
| 30 | 1,3478 | 1,4516 | 1,5631 | 1,8114 | 2,0976 | 2,4273 | 3,2434 | 4,3219 | 5,7435 |
| 31 | 1,3613 | 1,4698 | 1,5865 | 1,8476 | 2,1500 | 2,5001 | 3,3731 | 4,5380 | 6,0881 |
| 32 | 1,3749 | 1,4881 | 1,6103 | 1,8845 | 2,2038 | 2,5751 | 3,5081 | 4,7649 | 6,4534 |
| 33 | 1,3887 | 1,5067 | 1,6345 | 1,9222 | 2,2589 | 2,6523 | 3,6484 | 5,0032 | 6,8406 |
| 34 | 1,4026 | 1,5256 | 1,6590 | 1,9607 | 2,3153 | 2,7319 | 3,7943 | 5,2533 | 7,2510 |
| 35 | 1,4166 | 1,5446 | 1,6839 | 1,9999 | 2,3732 | 2,8139 | 3,9461 | 5,5160 | 7,6861 |
| 36 | 1,4308 | 1,5639 | 1,7091 | 2,0399 | 2,4325 | 2,8983 | 4,1039 | 5,7918 | 8,1473 |
| 37 | 1,4451 | 1,5835 | 1,7348 | 2,0807 | 2,4933 | 2,9852 | 4,2681 | 6,0814 | 8,6361 |
| 38 | 1,4595 | 1,6033 | 1,7608 | 2,1223 | 2,5557 | 3,0748 | 4,4388 | 6,3855 | 9,1543 |
| 39 | 1,4741 | 1,6233 | 1,7872 | 2,1647 | 2,6196 | 3,1670 | 4,6164 | 6,7048 | 9,7035 |
| 40 | 1,4889 | 1,6436 | 1,8140 | 2,2080 | 2,6851 | 3,2620 | 4,8010 | 7,0400 | 10,2857 |
| 41 | 1,5038 | 1,6642 | 1,8412 | 2,2522 | 2,7522 | 3,3599 | 4,9931 | 7,3920 | 10,9029 |
| 42 | 1,5188 | 1,6850 | 1,8688 | 2,2972 | 2,8210 | 3,4607 | 5,1928 | 7,7616 | 11,5570 |
| 43 | 1,5340 | 1,7060 | 1,8969 | 2,3432 | 2,8915 | 3,5645 | 5,4005 | 8,1497 | 12,2505 |
| 44 | 1,5493 | 1,7274 | 1,9253 | 2,3901 | 2,9638 | 3,6715 | 5,6165 | 8,5572 | 12,9855 |
| 45 | 1,5648 | 1,7489 | 1,9542 | 2,4379 | 3,0379 | 3,7816 | 5,8412 | 8,9850 | 13,7646 |
| 46 | 1,5805 | 1,7708 | 1,9835 | 2,4866 | 3,1139 | 3,8950 | 6,0748 | 9,4343 | 14,5905 |
| 47 | 1,5963 | 1,7929 | 2,0133 | 2,5363 | 3,1917 | 4,0119 | 6,3178 | 9,9060 | 15,4659 |
| 48 | 1,6122 | 1,8154 | 2,0435 | 2,5871 | 3,2715 | 4,1323 | 6,5705 | 10,4013 | 16,3939 |
| 49 | 1,6283 | 1,8380 | 2,0741 | 2,6388 | 3,3533 | 4,2562 | 6,8333 | 10,9213 | 17,3775 |
| 50 | 1,6446 | 1,8610 | 2,1052 | 2,6916 | 3,4371 | 4,3839 | 7,1067 | 11,4674 | 18,4202 |

Valor Presente de um Montante

$$(1 + r)^{-n}$$

O valor presente P que equivalerá a um montante A no final de n períodos, sendo aplicado a uma taxa de juros r (em decimais) compostos a cada período, é $P = A(1 + r)^{-n}$.

| $n \backslash r$ | 1% | 1¼% | 1½% | 2% | 2½% | 3% | 4% | 5% | 6% |
|------------------|---------|---------|---------|---------|---------|---------|---------|---------|---------|
| 1 | 0,99010 | 0,98765 | 0,98522 | 0,98039 | 0,97561 | 0,97087 | 0,96154 | 0,95238 | 0,94340 |
| 2 | 0,98030 | 0,97546 | 0,97066 | 0,96117 | 0,95181 | 0,94260 | 0,92456 | 0,90703 | 0,89000 |
| 3 | 0,97059 | 0,96342 | 0,95632 | 0,94232 | 0,92860 | 0,91514 | 0,88900 | 0,86384 | 0,83962 |
| 4 | 0,96098 | 0,95152 | 0,94218 | 0,92385 | 0,90595 | 0,88849 | 0,85480 | 0,82270 | 0,79209 |
| 5 | 0,95147 | 0,93978 | 0,92826 | 0,90573 | 0,88385 | 0,86261 | 0,82193 | 0,78353 | 0,74726 |
| 6 | 0,94205 | 0,92817 | 0,91454 | 0,88797 | 0,86230 | 0,83748 | 0,79031 | 0,74622 | 0,70496 |
| 7 | 0,93272 | 0,91672 | 0,90103 | 0,87056 | 0,84127 | 0,81309 | 0,75992 | 0,71068 | 0,66506 |
| 8 | 0,92348 | 0,90540 | 0,88771 | 0,85349 | 0,82075 | 0,78941 | 0,73069 | 0,67684 | 0,62741 |
| 9 | 0,91434 | 0,89422 | 0,87459 | 0,83676 | 0,80073 | 0,76642 | 0,70259 | 0,64461 | 0,59190 |
| 10 | 0,90529 | 0,88318 | 0,86167 | 0,82035 | 0,78120 | 0,74409 | 0,67556 | 0,61391 | 0,55839 |
| 11 | 0,89632 | 0,87228 | 0,84893 | 0,80426 | 0,76214 | 0,72242 | 0,64958 | 0,58468 | 0,52679 |
| 12 | 0,88745 | 0,86151 | 0,83639 | 0,78849 | 0,74356 | 0,70138 | 0,62460 | 0,55684 | 0,49697 |
| 13 | 0,87866 | 0,85087 | 0,82403 | 0,77303 | 0,72542 | 0,68095 | 0,60057 | 0,53032 | 0,46884 |
| 14 | 0,86996 | 0,84037 | 0,81185 | 0,75788 | 0,70773 | 0,66112 | 0,57748 | 0,50507 | 0,44230 |
| 15 | 0,86135 | 0,82999 | 0,79985 | 0,74301 | 0,69047 | 0,64186 | 0,55526 | 0,48102 | 0,41727 |
| 16 | 0,85282 | 0,81975 | 0,78803 | 0,72845 | 0,67362 | 0,62317 | 0,53391 | 0,45811 | 0,39365 |
| 17 | 0,84438 | 0,80963 | 0,77639 | 0,71416 | 0,65720 | 0,60502 | 0,51337 | 0,43630 | 0,37136 |
| 18 | 0,83602 | 0,79963 | 0,76491 | 0,70016 | 0,64117 | 0,58739 | 0,49363 | 0,41552 | 0,35034 |
| 19 | 0,82774 | 0,78976 | 0,75361 | 0,68643 | 0,62553 | 0,57029 | 0,47464 | 0,39573 | 0,33051 |
| 20 | 0,81954 | 0,78001 | 0,74247 | 0,67297 | 0,61027 | 0,55368 | 0,45639 | 0,37689 | 0,31180 |
| 21 | 0,81143 | 0,77038 | 0,73150 | 0,65978 | 0,59539 | 0,53755 | 0,43883 | 0,35894 | 0,29416 |
| 22 | 0,80340 | 0,76087 | 0,72069 | 0,64684 | 0,58086 | 0,52189 | 0,42196 | 0,34185 | 0,27751 |
| 23 | 0,79544 | 0,75147 | 0,71004 | 0,63416 | 0,56670 | 0,50669 | 0,40573 | 0,32557 | 0,26180 |
| 24 | 0,78757 | 0,74220 | 0,69954 | 0,62172 | 0,55288 | 0,49193 | 0,39012 | 0,31007 | 0,24698 |
| 25 | 0,77977 | 0,73303 | 0,68921 | 0,60953 | 0,53939 | 0,47761 | 0,37512 | 0,29530 | 0,23300 |
| 26 | 0,77205 | 0,72398 | 0,67902 | 0,59758 | 0,52623 | 0,46369 | 0,36069 | 0,28124 | 0,21981 |
| 27 | 0,76440 | 0,71505 | 0,66899 | 0,58586 | 0,51340 | 0,45019 | 0,34682 | 0,26785 | 0,20737 |
| 28 | 0,75684 | 0,70622 | 0,65910 | 0,57437 | 0,50088 | 0,43708 | 0,33348 | 0,25509 | 0,19563 |
| 29 | 0,74934 | 0,69750 | 0,64936 | 0,56311 | 0,48866 | 0,42435 | 0,32065 | 0,24295 | 0,18456 |
| 30 | 0,74192 | 0,68889 | 0,63976 | 0,55207 | 0,47674 | 0,41199 | 0,30832 | 0,23138 | 0,17411 |
| 31 | 0,73458 | 0,68038 | 0,63031 | 0,54125 | 0,46511 | 0,39999 | 0,29646 | 0,22036 | 0,16425 |
| 32 | 0,72730 | 0,67198 | 0,62099 | 0,53063 | 0,45377 | 0,38834 | 0,28506 | 0,20987 | 0,15496 |
| 33 | 0,72010 | 0,66369 | 0,61182 | 0,52023 | 0,44270 | 0,37703 | 0,27409 | 0,19987 | 0,14619 |
| 34 | 0,71297 | 0,65549 | 0,60277 | 0,51003 | 0,43191 | 0,36604 | 0,26355 | 0,19035 | 0,13791 |
| 35 | 0,70591 | 0,64740 | 0,59387 | 0,50003 | 0,42137 | 0,35538 | 0,25342 | 0,18129 | 0,13011 |
| 36 | 0,69892 | 0,63941 | 0,58509 | 0,49022 | 0,41109 | 0,34503 | 0,24367 | 0,17266 | 0,12274 |
| 37 | 0,69200 | 0,63152 | 0,57644 | 0,48061 | 0,40107 | 0,33498 | 0,23430 | 0,16444 | 0,11579 |
| 38 | 0,68515 | 0,62372 | 0,56792 | 0,47119 | 0,39128 | 0,32523 | 0,22529 | 0,15661 | 0,10924 |
| 39 | 0,67837 | 0,61602 | 0,55953 | 0,46195 | 0,38174 | 0,31575 | 0,21662 | 0,14915 | 0,10306 |
| 40 | 0,67165 | 0,60841 | 0,55126 | 0,45289 | 0,37243 | 0,30656 | 0,20829 | 0,14205 | 0,09722 |
| 41 | 0,66500 | 0,60090 | 0,54312 | 0,44401 | 0,36335 | 0,29763 | 0,20028 | 0,13528 | 0,09172 |
| 42 | 0,65842 | 0,59348 | 0,53509 | 0,43530 | 0,35448 | 0,28896 | 0,19257 | 0,12884 | 0,08653 |
| 43 | 0,65190 | 0,58616 | 0,52718 | 0,42677 | 0,34584 | 0,28054 | 0,18517 | 0,12270 | 0,08163 |
| 44 | 0,64545 | 0,57892 | 0,51939 | 0,41840 | 0,33740 | 0,27237 | 0,17805 | 0,11686 | 0,07701 |
| 45 | 0,63905 | 0,57177 | 0,51171 | 0,41020 | 0,32917 | 0,26444 | 0,17120 | 0,11130 | 0,07265 |
| 46 | 0,63273 | 0,56471 | 0,50415 | 0,40215 | 0,32115 | 0,25674 | 0,16461 | 0,10600 | 0,06854 |
| 47 | 0,62646 | 0,55774 | 0,49670 | 0,39427 | 0,31331 | 0,24926 | 0,15828 | 0,10095 | 0,06466 |
| 48 | 0,62026 | 0,55086 | 0,48936 | 0,38654 | 0,30567 | 0,24200 | 0,15219 | 0,09614 | 0,06100 |
| 49 | 0,61412 | 0,54406 | 0,48213 | 0,37896 | 0,29822 | 0,23495 | 0,14634 | 0,09156 | 0,05755 |
| 50 | 0,60804 | 0,53734 | 0,47500 | 0,37153 | 0,29094 | 0,22811 | 0,14071 | 0,08720 | 0,05429 |

34

Montante de uma Anuidade

$$\frac{(1+r)^n - 1}{r}$$

Se um mesmo capital P é aplicado a cada final de período a uma mesma taxa de juros r (em decimais) compostos periodicamente, então no final de n períodos o montante acumulado é $A = P \left[\frac{(1+r)^n - 1}{r} \right]$. O processo é chamado de *anuidade*.

| r n | 1% | 1¼% | 1½% | 2% | 2½% | 3% | 4% | 5% | 6% |
|------------|---------|---------|---------|---------|---------|----------|----------|----------|----------|
| 1 | 1,0000 | 1,0000 | 1,0000 | 1,0000 | 1,0000 | 1,0000 | 1,0000 | 1,0000 | 1,0000 |
| 2 | 2,0100 | 2,0125 | 2,0150 | 2,0200 | 2,0250 | 2,0300 | 2,0400 | 2,0500 | 2,0600 |
| 3 | 3,0301 | 3,0377 | 3,0452 | 3,0604 | 3,0756 | 3,0909 | 3,1216 | 3,1525 | 3,1836 |
| 4 | 4,0604 | 4,0756 | 4,0909 | 4,1216 | 4,1525 | 4,1836 | 4,2465 | 4,3101 | 4,3746 |
| 5 | 5,1010 | 5,1266 | 5,1523 | 5,2040 | 5,2563 | 5,3091 | 5,4163 | 5,5256 | 5,6371 |
| 6 | 6,1520 | 6,1907 | 6,2296 | 6,3081 | 6,3877 | 6,4684 | 6,6330 | 6,8019 | 6,9753 |
| 7 | 7,2135 | 7,2680 | 7,3230 | 7,4343 | 7,5474 | 7,6625 | 7,8983 | 8,1420 | 8,3938 |
| 8 | 8,2857 | 8,3589 | 8,4328 | 8,5830 | 8,7361 | 8,8923 | 9,2142 | 9,5491 | 9,8975 |
| 9 | 9,3685 | 9,4634 | 9,5593 | 9,7546 | 9,9545 | 10,1591 | 10,5828 | 11,0266 | 11,4913 |
| 10 | 10,4622 | 10,5817 | 10,7027 | 10,9497 | 11,2034 | 11,4639 | 12,0061 | 12,5779 | 13,1808 |
| 11 | 11,5668 | 11,7139 | 11,8633 | 12,1687 | 12,4835 | 12,8078 | 13,4864 | 14,2068 | 14,9716 |
| 12 | 12,6825 | 12,8604 | 13,0412 | 13,4121 | 13,7956 | 14,1920 | 15,0258 | 15,9171 | 16,8699 |
| 13 | 13,8093 | 14,0211 | 14,2368 | 14,6803 | 15,1404 | 15,6178 | 16,6268 | 17,7130 | 18,8821 |
| 14 | 14,9474 | 15,1964 | 15,4504 | 15,9739 | 16,5190 | 17,0863 | 18,2919 | 19,5986 | 21,0151 |
| 15 | 16,0969 | 16,3863 | 16,6821 | 17,2934 | 17,9319 | 18,5989 | 20,0236 | 21,5786 | 23,2760 |
| 16 | 17,2579 | 17,5912 | 17,9324 | 18,6393 | 19,3802 | 20,1569 | 21,8245 | 23,6575 | 25,6725 |
| 17 | 18,4304 | 18,8111 | 19,2014 | 20,0121 | 20,8647 | 21,7616 | 23,6975 | 25,8404 | 28,2129 |
| 18 | 19,6147 | 20,0462 | 20,4894 | 21,4123 | 22,3863 | 23,4144 | 25,6454 | 28,1324 | 30,9057 |
| 19 | 20,8109 | 21,2968 | 21,7967 | 22,8406 | 23,9460 | 25,1169 | 27,6712 | 30,5390 | 33,7600 |
| 20 | 22,0190 | 22,5630 | 23,1237 | 24,2974 | 25,5447 | 26,8704 | 29,7781 | 33,0660 | 36,7856 |
| 21 | 23,2392 | 23,8450 | 24,4705 | 25,7833 | 27,1833 | 28,6765 | 31,9692 | 35,7193 | 39,9927 |
| 22 | 24,4716 | 25,1431 | 25,8376 | 27,2990 | 28,8629 | 30,5368 | 34,2480 | 38,5052 | 43,3923 |
| 23 | 25,7163 | 26,4574 | 27,2251 | 28,8450 | 30,5844 | 32,4529 | 36,6179 | 41,4305 | 46,9958 |
| 24 | 26,9735 | 27,7881 | 28,6335 | 30,4219 | 32,3490 | 34,4265 | 39,0826 | 44,5020 | 50,8156 |
| 25 | 28,2432 | 29,1354 | 30,0630 | 32,0303 | 34,1578 | 36,4593 | 41,6459 | 47,7271 | 54,8645 |
| 26 | 29,5256 | 30,4996 | 31,5140 | 33,6709 | 36,0117 | 38,5530 | 44,3117 | 51,1135 | 59,1564 |
| 27 | 30,8209 | 31,8809 | 32,9867 | 35,3443 | 37,9120 | 40,7096 | 47,0842 | 54,6691 | 63,7058 |
| 28 | 32,1291 | 33,2794 | 34,4815 | 37,0512 | 39,8598 | 42,9309 | 49,9676 | 58,4026 | 68,5281 |
| 29 | 33,4504 | 34,6954 | 35,9987 | 38,7922 | 41,8563 | 45,2189 | 52,9663 | 62,3227 | 73,6398 |
| 30 | 34,7849 | 36,1291 | 37,5387 | 40,5681 | 43,9027 | 47,5754 | 56,0849 | 66,4388 | 79,0582 |
| 31 | 36,1327 | 37,5807 | 39,1018 | 42,3794 | 46,0003 | 50,0027 | 59,3283 | 70,7608 | 84,8017 |
| 32 | 37,4941 | 39,0504 | 40,6883 | 44,2270 | 48,1503 | 52,5028 | 62,7015 | 75,2988 | 90,8898 |
| 33 | 38,8690 | 40,5386 | 42,2986 | 46,1116 | 50,3540 | 55,0778 | 66,2095 | 80,0638 | 97,3432 |
| 34 | 40,2577 | 42,0453 | 43,9331 | 48,0338 | 52,6129 | 57,7302 | 69,8579 | 85,0670 | 104,1838 |
| 35 | 41,6603 | 43,5709 | 45,5921 | 49,9945 | 54,9282 | 60,4621 | 73,6522 | 90,3203 | 111,4348 |
| 36 | 43,0769 | 45,1155 | 47,2760 | 51,9944 | 57,3014 | 63,2759 | 77,5983 | 95,8363 | 119,1209 |
| 37 | 44,5076 | 46,6794 | 48,9851 | 54,0343 | 59,7339 | 66,1742 | 81,7022 | 101,6281 | 127,2681 |
| 38 | 45,9527 | 48,2629 | 50,7199 | 56,1149 | 62,2273 | 69,1594 | 85,9703 | 107,7095 | 135,9042 |
| 39 | 47,4123 | 49,8662 | 52,4807 | 58,2372 | 64,7830 | 72,2342 | 90,4091 | 114,0950 | 145,0585 |
| 40 | 48,8864 | 51,4896 | 54,2679 | 60,4020 | 67,4026 | 75,4013 | 95,0255 | 120,7998 | 154,7620 |
| 41 | 50,3752 | 53,1332 | 56,0819 | 62,6100 | 70,0876 | 78,6633 | 99,8265 | 127,8398 | 165,0477 |
| 42 | 51,8790 | 54,7973 | 57,9231 | 64,8622 | 72,8398 | 82,0232 | 104,8196 | 135,2318 | 175,9505 |
| 43 | 53,3978 | 56,4823 | 59,7920 | 67,1595 | 75,6608 | 85,4839 | 110,0124 | 142,9933 | 187,5076 |
| 44 | 54,9318 | 58,1883 | 61,6889 | 69,5027 | 78,5523 | 89,0484 | 115,4129 | 151,1430 | 199,7580 |
| 45 | 56,4811 | 59,9157 | 63,6142 | 71,8927 | 81,5161 | 92,7199 | 121,0294 | 159,7002 | 212,7435 |
| 46 | 58,0459 | 61,6646 | 65,5684 | 74,3306 | 84,5540 | 96,5015 | 126,8706 | 168,6852 | 226,5081 |
| 47 | 59,6263 | 63,4354 | 67,5519 | 76,8172 | 87,6679 | 100,3965 | 132,9454 | 178,1194 | 241,0986 |
| 48 | 61,2226 | 65,2284 | 69,5652 | 79,3535 | 90,8596 | 104,4084 | 139,2632 | 188,0254 | 256,5645 |
| 49 | 62,8348 | 67,0437 | 71,6087 | 81,9406 | 94,1311 | 108,5406 | 145,8337 | 198,4267 | 272,9584 |
| 50 | 64,4632 | 68,8818 | 73,6828 | 84,5794 | 97,4843 | 112,7969 | 152,6671 | 209,3480 | 290,3359 |

Valor Presente de uma Anuidade

$$\frac{1 - (1 + r)^{-n}}{r}$$

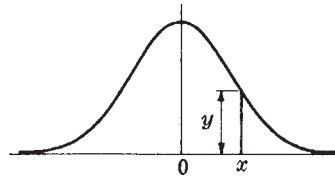
O valor presente P de uma anuidade A que é aplicada a cada final de período a uma mesma taxa de juros r (em decimais)

compostos a cada período, é $P = A \left[\frac{1 - (1 + r)^{-n}}{r} \right]$.

| $n \backslash r$ | 1% | 1¼% | 1½% | 2% | 2½% | 3% | 4% | 5% | 6% |
|------------------|---------|---------|---------|---------|---------|---------|---------|---------|---------|
| 1 | 0,9901 | 0,9877 | 0,9852 | 0,9804 | 0,9756 | 0,9709 | 0,9615 | 0,9524 | 0,9434 |
| 2 | 1,9704 | 1,9631 | 1,9559 | 1,9416 | 1,9274 | 1,9135 | 1,8861 | 1,8594 | 1,8334 |
| 3 | 2,9410 | 2,9265 | 2,9122 | 2,8839 | 2,8560 | 2,8286 | 2,7751 | 2,7232 | 2,6730 |
| 4 | 3,9020 | 3,8781 | 3,8544 | 3,8077 | 3,7620 | 3,7171 | 3,6299 | 3,5460 | 3,4651 |
| 5 | 4,8534 | 4,8178 | 4,7826 | 4,7135 | 4,6458 | 4,5797 | 4,4518 | 4,3295 | 4,2124 |
| 6 | 5,7955 | 5,7460 | 5,6972 | 5,6014 | 5,5081 | 5,4172 | 5,2421 | 5,0757 | 4,9173 |
| 7 | 6,7282 | 6,6627 | 6,5982 | 6,4720 | 6,3494 | 6,2303 | 6,0021 | 5,7864 | 5,5824 |
| 8 | 7,6517 | 7,5681 | 7,4859 | 7,3255 | 7,1701 | 7,0197 | 6,7327 | 6,4632 | 6,2098 |
| 9 | 8,5660 | 8,4623 | 8,3605 | 8,1622 | 7,9709 | 7,7861 | 7,4353 | 7,1078 | 6,8017 |
| 10 | 9,4713 | 9,3455 | 9,2222 | 8,9826 | 8,7521 | 8,5302 | 8,1109 | 7,7217 | 7,3601 |
| 11 | 10,3676 | 10,2178 | 10,0711 | 9,7868 | 9,5142 | 9,2526 | 8,7605 | 8,3064 | 7,8869 |
| 12 | 11,2551 | 11,0793 | 10,9075 | 10,5753 | 10,2578 | 9,9540 | 9,3851 | 8,8633 | 8,3838 |
| 13 | 12,1337 | 11,9302 | 11,7315 | 11,3484 | 10,9832 | 10,6350 | 9,9856 | 9,3936 | 8,8527 |
| 14 | 13,0037 | 12,7706 | 12,5434 | 12,1062 | 11,6909 | 11,2961 | 10,5631 | 9,8986 | 9,2950 |
| 15 | 13,8651 | 13,6005 | 13,3432 | 12,8493 | 12,3814 | 11,9379 | 11,1184 | 10,3797 | 9,7122 |
| 16 | 14,7179 | 14,4203 | 14,1313 | 13,5777 | 13,0550 | 12,5611 | 11,6523 | 10,8378 | 10,1059 |
| 17 | 15,5623 | 15,2299 | 14,9076 | 14,2919 | 13,7122 | 13,1661 | 12,1657 | 11,2741 | 10,4773 |
| 18 | 16,3983 | 16,0295 | 15,6726 | 14,9920 | 14,3534 | 13,7535 | 12,6593 | 11,6896 | 10,8276 |
| 19 | 17,2260 | 16,8193 | 16,4262 | 15,6785 | 14,9789 | 14,3238 | 13,1339 | 12,0853 | 11,1581 |
| 20 | 18,0456 | 17,5993 | 17,1686 | 16,3514 | 15,5892 | 14,8775 | 13,5903 | 12,4622 | 11,4699 |
| 21 | 18,8570 | 18,3697 | 17,9001 | 17,0112 | 16,1845 | 15,4150 | 14,0292 | 12,8212 | 11,7641 |
| 22 | 19,6604 | 19,1306 | 18,6208 | 17,6580 | 16,7654 | 15,9369 | 14,4511 | 13,1630 | 12,0416 |
| 23 | 20,4558 | 19,8820 | 19,3309 | 18,2922 | 17,3321 | 16,4436 | 14,8568 | 13,4886 | 12,3034 |
| 24 | 21,2434 | 20,6242 | 20,0304 | 18,9139 | 17,8850 | 16,9355 | 15,2470 | 13,7986 | 12,5504 |
| 25 | 22,0232 | 21,3573 | 20,7196 | 19,5235 | 18,4244 | 17,4131 | 15,6221 | 14,0939 | 12,7834 |
| 26 | 22,7952 | 22,0813 | 21,3986 | 20,1210 | 18,9506 | 17,8768 | 15,9828 | 14,3752 | 13,0032 |
| 27 | 23,5596 | 22,7963 | 22,0676 | 20,7069 | 19,4640 | 18,3270 | 16,3296 | 14,6430 | 13,2105 |
| 28 | 24,3164 | 23,5025 | 22,7267 | 21,2813 | 19,9649 | 18,7641 | 16,6631 | 14,8981 | 13,4062 |
| 29 | 25,0658 | 24,2000 | 23,3761 | 21,8444 | 20,4535 | 19,1885 | 16,9837 | 15,1411 | 13,5907 |
| 30 | 25,8077 | 24,8889 | 24,0158 | 22,3965 | 20,9303 | 19,6004 | 17,2920 | 15,3725 | 13,7648 |
| 31 | 26,5423 | 25,5693 | 24,6461 | 22,9377 | 21,3954 | 20,0004 | 17,5885 | 15,5928 | 13,9291 |
| 32 | 27,2696 | 26,2413 | 25,2671 | 23,4683 | 21,8492 | 20,3888 | 17,8736 | 15,8027 | 14,0840 |
| 33 | 27,9897 | 26,9050 | 25,8790 | 23,9886 | 22,2919 | 20,7658 | 18,1476 | 16,0025 | 14,2302 |
| 34 | 28,7027 | 27,5605 | 26,4817 | 24,4986 | 22,7238 | 21,1318 | 18,4112 | 16,1929 | 14,3681 |
| 35 | 29,4086 | 28,2079 | 27,0756 | 24,9986 | 23,1452 | 21,4872 | 18,6646 | 16,3742 | 14,4982 |
| 36 | 30,1075 | 28,8473 | 27,6607 | 25,4888 | 23,5563 | 21,8323 | 18,9083 | 16,5469 | 14,6210 |
| 37 | 30,7995 | 29,4788 | 28,2371 | 25,9695 | 23,9573 | 22,1672 | 19,1426 | 16,7113 | 14,7368 |
| 38 | 31,4847 | 30,1025 | 28,8051 | 26,4406 | 24,3486 | 22,4925 | 19,3679 | 16,8679 | 14,8460 |
| 39 | 32,1630 | 30,7185 | 29,3646 | 26,9026 | 24,7303 | 22,8082 | 19,5845 | 17,0170 | 14,9491 |
| 40 | 32,8347 | 31,3269 | 29,9158 | 27,3555 | 25,1028 | 23,1148 | 19,7928 | 17,1591 | 15,0463 |
| 41 | 33,4997 | 31,9278 | 30,4590 | 27,7995 | 25,4661 | 23,4124 | 19,9931 | 17,2944 | 15,1380 |
| 42 | 34,1581 | 32,5213 | 30,9941 | 28,2348 | 25,8206 | 23,7014 | 20,1856 | 17,4232 | 15,2245 |
| 43 | 34,8100 | 33,1075 | 31,5212 | 28,6616 | 26,1664 | 23,9819 | 20,3708 | 17,5459 | 15,3062 |
| 44 | 35,4555 | 33,6864 | 32,0406 | 29,0800 | 26,5038 | 24,2543 | 20,5488 | 17,6628 | 15,3832 |
| 45 | 36,0945 | 34,2582 | 32,5523 | 29,4902 | 26,8330 | 24,5187 | 20,7200 | 17,7741 | 15,4558 |
| 46 | 36,7272 | 34,8229 | 33,0565 | 29,8923 | 27,1542 | 24,7754 | 20,8847 | 17,8801 | 15,5244 |
| 47 | 37,3537 | 35,3806 | 33,5532 | 30,2866 | 27,4675 | 25,0247 | 21,0429 | 17,9810 | 15,5890 |
| 48 | 37,9740 | 35,9315 | 34,0426 | 30,6731 | 27,7732 | 25,2667 | 21,1951 | 18,0772 | 15,6500 |
| 49 | 38,5881 | 36,4755 | 34,5247 | 31,0521 | 28,0714 | 25,5017 | 21,3415 | 18,1687 | 15,7076 |
| 50 | 39,1961 | 37,0129 | 34,9997 | 31,4236 | 28,3623 | 25,7298 | 21,4822 | 18,2559 | 15,7619 |

Ordenadas da Curva Normal Padrão

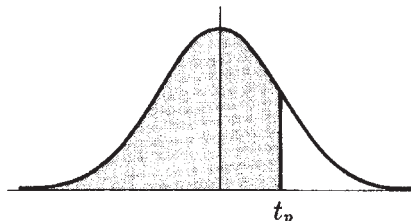
$$y = \frac{1}{\sqrt{2\pi}} e^{-x^2/2}$$



| x | 0 | 1 | 2 | 3 | 4 | 5 | 6 | 7 | 8 | 9 |
|-----|--------|--------|--------|--------|--------|--------|--------|--------|--------|--------|
| 0,0 | 0,3989 | 0,3989 | 0,3989 | 0,3988 | 0,3986 | 0,3984 | 0,3982 | 0,3980 | 0,3977 | 0,3973 |
| 0,1 | 0,3970 | 0,3965 | 0,3961 | 0,3956 | 0,3951 | 0,3945 | 0,3939 | 0,3932 | 0,3925 | 0,3918 |
| 0,2 | 0,3910 | 0,3902 | 0,3894 | 0,3885 | 0,3876 | 0,3867 | 0,3857 | 0,3847 | 0,3836 | 0,3825 |
| 0,3 | 0,3814 | 0,3802 | 0,3790 | 0,3778 | 0,3765 | 0,3752 | 0,3739 | 0,3725 | 0,3712 | 0,3697 |
| 0,4 | 0,3683 | 0,3668 | 0,3653 | 0,3637 | 0,3621 | 0,3605 | 0,3589 | 0,3572 | 0,3555 | 0,3538 |
| 0,5 | 0,3521 | 0,3503 | 0,3485 | 0,3467 | 0,3448 | 0,3429 | 0,3410 | 0,3391 | 0,3372 | 0,3352 |
| 0,6 | 0,3332 | 0,3312 | 0,3292 | 0,3271 | 0,3251 | 0,3230 | 0,3209 | 0,3187 | 0,3166 | 0,3144 |
| 0,7 | 0,3123 | 0,3101 | 0,3079 | 0,3056 | 0,3034 | 0,3011 | 0,2989 | 0,2966 | 0,2943 | 0,2920 |
| 0,8 | 0,2897 | 0,2874 | 0,2850 | 0,2827 | 0,2803 | 0,2780 | 0,2756 | 0,2732 | 0,2709 | 0,2685 |
| 0,9 | 0,2661 | 0,2637 | 0,2613 | 0,2589 | 0,2565 | 0,2541 | 0,2516 | 0,2492 | 0,2468 | 0,2444 |
| 1,0 | 0,2420 | 0,2396 | 0,2371 | 0,2347 | 0,2323 | 0,2299 | 0,2275 | 0,2251 | 0,2227 | 0,2203 |
| 1,1 | 0,2179 | 0,2155 | 0,2131 | 0,2107 | 0,2083 | 0,2059 | 0,2036 | 0,2012 | 0,1989 | 0,1965 |
| 1,2 | 0,1942 | 0,1919 | 0,1895 | 0,1872 | 0,1849 | 0,1826 | 0,1804 | 0,1781 | 0,1758 | 0,1736 |
| 1,3 | 0,1714 | 0,1691 | 0,1669 | 0,1647 | 0,1626 | 0,1604 | 0,1582 | 0,1561 | 0,1539 | 0,1518 |
| 1,4 | 0,1497 | 0,1476 | 0,1456 | 0,1435 | 0,1415 | 0,1394 | 0,1374 | 0,1354 | 0,1334 | 0,1315 |
| 1,5 | 0,1295 | 0,1276 | 0,1257 | 0,1238 | 0,1219 | 0,1200 | 0,1182 | 0,1163 | 0,1145 | 0,1127 |
| 1,6 | 0,1109 | 0,1092 | 0,1074 | 0,1057 | 0,1040 | 0,1023 | 0,1006 | 0,0989 | 0,0973 | 0,0957 |
| 1,7 | 0,0940 | 0,0925 | 0,0909 | 0,0893 | 0,0878 | 0,0863 | 0,0848 | 0,0833 | 0,0818 | 0,0804 |
| 1,8 | 0,0790 | 0,0775 | 0,0761 | 0,0748 | 0,0734 | 0,0721 | 0,0707 | 0,0694 | 0,0681 | 0,0669 |
| 1,9 | 0,0656 | 0,0644 | 0,0632 | 0,0620 | 0,0608 | 0,0596 | 0,0584 | 0,0573 | 0,0562 | 0,0551 |
| 2,0 | 0,0540 | 0,0529 | 0,0519 | 0,0508 | 0,0498 | 0,0488 | 0,0478 | 0,0468 | 0,0459 | 0,0449 |
| 2,1 | 0,0440 | 0,0431 | 0,0422 | 0,0413 | 0,0404 | 0,0396 | 0,0387 | 0,0379 | 0,0371 | 0,0363 |
| 2,2 | 0,0355 | 0,0347 | 0,0339 | 0,0332 | 0,0325 | 0,0317 | 0,0310 | 0,0303 | 0,0297 | 0,0290 |
| 2,3 | 0,0283 | 0,0277 | 0,0270 | 0,0264 | 0,0258 | 0,0252 | 0,0246 | 0,0241 | 0,0235 | 0,0229 |
| 2,4 | 0,0224 | 0,0219 | 0,0213 | 0,0208 | 0,0203 | 0,0198 | 0,0194 | 0,0189 | 0,0184 | 0,0180 |
| 2,5 | 0,0175 | 0,0171 | 0,0167 | 0,0163 | 0,0158 | 0,0154 | 0,0151 | 0,0147 | 0,0143 | 0,0139 |
| 2,6 | 0,0136 | 0,0132 | 0,0129 | 0,0126 | 0,0122 | 0,0119 | 0,0116 | 0,0113 | 0,0110 | 0,0107 |
| 2,7 | 0,0104 | 0,0101 | 0,0099 | 0,0096 | 0,0093 | 0,0091 | 0,0088 | 0,0086 | 0,0084 | 0,0081 |
| 2,8 | 0,0079 | 0,0077 | 0,0075 | 0,0073 | 0,0071 | 0,0069 | 0,0067 | 0,0065 | 0,0063 | 0,0061 |
| 2,9 | 0,0060 | 0,0058 | 0,0056 | 0,0055 | 0,0053 | 0,0051 | 0,0050 | 0,0048 | 0,0047 | 0,0046 |
| 3,0 | 0,0044 | 0,0043 | 0,0042 | 0,0040 | 0,0039 | 0,0038 | 0,0037 | 0,0036 | 0,0035 | 0,0034 |
| 3,1 | 0,0033 | 0,0032 | 0,0031 | 0,0030 | 0,0029 | 0,0028 | 0,0027 | 0,0026 | 0,0025 | 0,0025 |
| 3,2 | 0,0024 | 0,0023 | 0,0022 | 0,0022 | 0,0021 | 0,0020 | 0,0020 | 0,0019 | 0,0018 | 0,0018 |
| 3,3 | 0,0017 | 0,0017 | 0,0016 | 0,0016 | 0,0015 | 0,0015 | 0,0014 | 0,0014 | 0,0013 | 0,0013 |
| 3,4 | 0,0012 | 0,0012 | 0,0012 | 0,0011 | 0,0011 | 0,0010 | 0,0010 | 0,0010 | 0,0009 | 0,0009 |
| 3,5 | 0,0009 | 0,0008 | 0,0008 | 0,0008 | 0,0008 | 0,0007 | 0,0007 | 0,0007 | 0,0007 | 0,0006 |
| 3,6 | 0,0006 | 0,0006 | 0,0006 | 0,0005 | 0,0005 | 0,0005 | 0,0005 | 0,0005 | 0,0005 | 0,0004 |
| 3,7 | 0,0004 | 0,0004 | 0,0004 | 0,0004 | 0,0004 | 0,0004 | 0,0003 | 0,0003 | 0,0003 | 0,0003 |
| 3,8 | 0,0003 | 0,0003 | 0,0003 | 0,0003 | 0,0003 | 0,0002 | 0,0002 | 0,0002 | 0,0002 | 0,0002 |
| 3,9 | 0,0002 | 0,0002 | 0,0002 | 0,0002 | 0,0002 | 0,0002 | 0,0002 | 0,0002 | 0,0001 | 0,0001 |

Valores Percentis t_p da Distribuição t de Student

com n graus de liberdade (área sombreada = p)



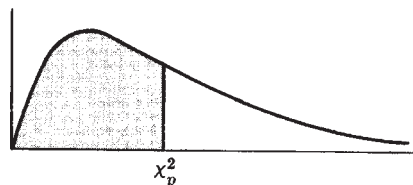
| n | $t_{.995}$ | $t_{.99}$ | $t_{.975}$ | $t_{.95}$ | $t_{.90}$ | $t_{.80}$ | $t_{.75}$ | $t_{.70}$ | $t_{.60}$ | $t_{.55}$ |
|----------|------------|-----------|------------|-----------|-----------|-----------|-----------|-----------|-----------|-----------|
| 1 | 63,66 | 31,82 | 12,71 | 6,31 | 3,08 | 1,376 | 1,000 | 0,727 | 0,325 | 0,158 |
| 2 | 9,92 | 6,96 | 4,30 | 2,92 | 1,89 | 1,061 | 0,816 | 0,617 | 0,289 | 0,142 |
| 3 | 5,84 | 4,54 | 3,18 | 2,35 | 1,64 | 0,978 | 0,765 | 0,584 | 0,277 | 0,137 |
| 4 | 4,60 | 3,75 | 2,78 | 2,13 | 1,53 | 0,941 | 0,741 | 0,569 | 0,271 | 0,134 |
| 5 | 4,03 | 3,36 | 2,57 | 2,02 | 1,48 | 0,920 | 0,727 | 0,559 | 0,267 | 0,132 |
| 6 | 3,71 | 3,14 | 2,45 | 1,94 | 1,44 | 0,906 | 0,718 | 0,553 | 0,265 | 0,131 |
| 7 | 3,50 | 3,00 | 2,36 | 1,90 | 1,42 | 0,896 | 0,711 | 0,549 | 0,263 | 0,130 |
| 8 | 3,36 | 2,90 | 2,31 | 1,86 | 1,40 | 0,889 | 0,706 | 0,546 | 0,262 | 0,130 |
| 9 | 3,25 | 2,82 | 2,26 | 1,83 | 1,38 | 0,883 | 0,703 | 0,543 | 0,261 | 0,129 |
| 10 | 3,17 | 2,76 | 2,23 | 1,81 | 1,37 | 0,879 | 0,700 | 0,542 | 0,260 | 0,129 |
| 11 | 3,11 | 2,72 | 2,20 | 1,80 | 1,36 | 0,876 | 0,697 | 0,540 | 0,260 | 0,129 |
| 12 | 3,06 | 2,68 | 2,18 | 1,78 | 1,36 | 0,873 | 0,695 | 0,539 | 0,259 | 0,128 |
| 13 | 3,01 | 2,65 | 2,16 | 1,77 | 1,35 | 0,870 | 0,694 | 0,538 | 0,259 | 0,128 |
| 14 | 2,98 | 2,62 | 2,14 | 1,76 | 1,34 | 0,868 | 0,692 | 0,537 | 0,258 | 0,128 |
| 15 | 2,95 | 2,60 | 2,13 | 1,75 | 1,34 | 0,866 | 0,691 | 0,536 | 0,258 | 0,128 |
| 16 | 2,92 | 2,58 | 2,12 | 1,75 | 1,34 | 0,865 | 0,690 | 0,535 | 0,258 | 0,128 |
| 17 | 2,90 | 2,57 | 2,11 | 1,74 | 1,33 | 0,863 | 0,689 | 0,534 | 0,257 | 0,128 |
| 18 | 2,88 | 2,55 | 2,10 | 1,73 | 1,33 | 0,862 | 0,688 | 0,534 | 0,257 | 0,127 |
| 19 | 2,86 | 2,54 | 2,09 | 1,73 | 1,33 | 0,861 | 0,688 | 0,533 | 0,257 | 0,127 |
| 20 | 2,84 | 2,53 | 2,09 | 1,72 | 1,32 | 0,860 | 0,687 | 0,533 | 0,257 | 0,127 |
| 21 | 2,83 | 2,52 | 2,08 | 1,72 | 1,32 | 0,859 | 0,686 | 0,532 | 0,257 | 0,127 |
| 22 | 2,82 | 2,51 | 2,07 | 1,72 | 1,32 | 0,858 | 0,686 | 0,532 | 0,256 | 0,127 |
| 23 | 2,81 | 2,50 | 2,07 | 1,71 | 1,32 | 0,858 | 0,685 | 0,532 | 0,256 | 0,127 |
| 24 | 2,80 | 2,49 | 2,06 | 1,71 | 1,32 | 0,857 | 0,685 | 0,531 | 0,256 | 0,127 |
| 25 | 2,79 | 2,48 | 2,06 | 1,71 | 1,32 | 0,856 | 0,684 | 0,531 | 0,256 | 0,127 |
| 26 | 2,78 | 2,48 | 2,06 | 1,71 | 1,32 | 0,856 | 0,684 | 0,531 | 0,256 | 0,127 |
| 27 | 2,77 | 2,47 | 2,05 | 1,70 | 1,31 | 0,855 | 0,684 | 0,531 | 0,256 | 0,127 |
| 28 | 2,76 | 2,47 | 2,05 | 1,70 | 1,31 | 0,855 | 0,683 | 0,530 | 0,256 | 0,127 |
| 29 | 2,76 | 2,46 | 2,04 | 1,70 | 1,31 | 0,854 | 0,683 | 0,530 | 0,256 | 0,127 |
| 30 | 2,75 | 2,46 | 2,04 | 1,70 | 1,31 | 0,854 | 0,683 | 0,530 | 0,256 | 0,127 |
| 40 | 2,70 | 2,42 | 2,02 | 1,68 | 1,30 | 0,851 | 0,681 | 0,529 | 0,255 | 0,126 |
| 60 | 2,66 | 2,39 | 2,00 | 1,67 | 1,30 | 0,848 | 0,679 | 0,527 | 0,254 | 0,126 |
| 120 | 2,62 | 2,36 | 1,98 | 1,66 | 1,29 | 0,845 | 0,677 | 0,526 | 0,254 | 0,126 |
| ∞ | 2,58 | 2,33 | 1,96 | 1,645 | 1,28 | 0,842 | 0,674 | 0,524 | 0,253 | 0,126 |

Fonte: R. A. Fisher and F. Yates, *Statistical Tables for Biological, Agricultural and Medical Research* (6th edition, 1963), Table III, Oliver and Boyd Ltd., Edinburgh, sob permissão dos autores e editores.

Valores Percentis χ^2_p da Distribuição χ^2 (Qui-Quadrado)

39

com n graus de liberdade (área sombreada = p)



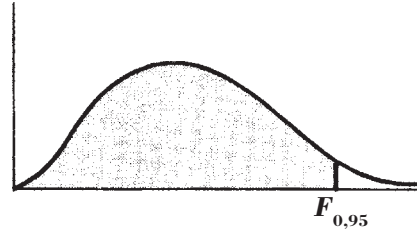
| n | $\chi^2_{.995}$ | $\chi^2_{.99}$ | $\chi^2_{.975}$ | $\chi^2_{.95}$ | $\chi^2_{.90}$ | $\chi^2_{.75}$ | $\chi^2_{.50}$ | $\chi^2_{.25}$ | $\chi^2_{.10}$ | $\chi^2_{.05}$ | $\chi^2_{.025}$ | $\chi^2_{.01}$ | $\chi^2_{.005}$ |
|-----|-----------------|----------------|-----------------|----------------|----------------|----------------|----------------|----------------|----------------|----------------|-----------------|----------------|-----------------|
| 1 | 7,88 | 6,63 | 5,02 | 3,84 | 2,71 | 1,32 | 0,455 | 0,102 | 0,0158 | 0,0039 | 0,0010 | 0,0002 | 0,0000 |
| 2 | 10,6 | 9,21 | 7,38 | 5,99 | 4,61 | 2,77 | 1,39 | 0,575 | 0,211 | 0,103 | 0,0506 | 0,0201 | 0,0100 |
| 3 | 12,8 | 11,3 | 9,35 | 7,81 | 6,25 | 4,11 | 2,37 | 1,21 | 0,584 | 0,352 | 0,216 | 0,115 | 0,072 |
| 4 | 14,9 | 13,3 | 11,1 | 9,49 | 7,78 | 5,39 | 3,36 | 1,92 | 1,06 | 0,711 | 0,484 | 0,297 | 0,207 |
| 5 | 16,7 | 15,1 | 12,8 | 11,1 | 9,24 | 6,63 | 4,35 | 2,67 | 1,61 | 1,15 | 0,831 | 0,554 | 0,412 |
| 6 | 18,5 | 16,8 | 14,4 | 12,6 | 10,6 | 7,84 | 5,35 | 3,45 | 2,20 | 1,64 | 1,24 | 0,872 | 0,676 |
| 7 | 20,3 | 18,5 | 16,0 | 14,1 | 12,0 | 9,04 | 6,35 | 4,25 | 2,83 | 2,17 | 1,69 | 1,24 | 0,989 |
| 8 | 22,0 | 20,1 | 17,5 | 15,5 | 13,4 | 10,2 | 7,34 | 5,07 | 3,49 | 2,73 | 2,18 | 1,65 | 1,34 |
| 9 | 23,6 | 21,7 | 19,0 | 16,9 | 14,7 | 11,4 | 8,34 | 5,90 | 4,17 | 3,33 | 2,70 | 2,09 | 1,73 |
| 10 | 25,2 | 23,2 | 20,5 | 18,3 | 16,0 | 12,5 | 9,34 | 6,74 | 4,87 | 3,94 | 3,25 | 2,56 | 2,16 |
| 11 | 26,8 | 24,7 | 21,9 | 19,7 | 17,3 | 13,7 | 10,3 | 7,58 | 5,58 | 4,57 | 3,82 | 3,05 | 2,60 |
| 12 | 28,3 | 26,2 | 23,3 | 21,0 | 18,5 | 14,8 | 11,3 | 8,44 | 6,30 | 5,23 | 4,40 | 3,57 | 3,07 |
| 13 | 29,8 | 27,7 | 24,7 | 22,4 | 19,8 | 16,0 | 12,3 | 9,30 | 7,04 | 5,89 | 5,01 | 4,11 | 3,57 |
| 14 | 31,3 | 29,1 | 26,1 | 23,7 | 21,1 | 17,1 | 13,3 | 10,2 | 7,79 | 6,57 | 5,63 | 4,66 | 4,07 |
| 15 | 32,8 | 30,6 | 27,5 | 25,0 | 22,3 | 18,2 | 14,3 | 11,0 | 8,55 | 7,26 | 6,26 | 5,23 | 4,60 |
| 16 | 34,3 | 32,0 | 28,8 | 26,3 | 23,5 | 19,4 | 15,3 | 11,9 | 9,31 | 7,96 | 6,91 | 5,81 | 5,14 |
| 17 | 35,7 | 33,4 | 30,2 | 27,6 | 24,8 | 20,5 | 16,3 | 12,8 | 10,1 | 8,67 | 7,56 | 6,41 | 5,70 |
| 18 | 37,2 | 34,8 | 31,5 | 28,9 | 26,0 | 21,6 | 17,3 | 13,7 | 10,9 | 9,39 | 8,23 | 7,01 | 6,26 |
| 19 | 38,6 | 36,2 | 32,9 | 30,1 | 27,2 | 22,7 | 18,3 | 14,6 | 11,7 | 10,1 | 8,91 | 7,63 | 6,84 |
| 20 | 40,0 | 37,6 | 34,2 | 31,4 | 28,4 | 23,8 | 19,3 | 15,5 | 12,4 | 10,9 | 9,59 | 8,26 | 7,43 |
| 21 | 41,4 | 38,9 | 35,5 | 32,7 | 29,6 | 24,9 | 20,3 | 16,3 | 13,2 | 11,6 | 10,3 | 8,90 | 8,03 |
| 22 | 42,8 | 40,3 | 36,8 | 33,9 | 30,8 | 26,0 | 21,3 | 17,2 | 14,0 | 12,3 | 11,0 | 9,54 | 8,64 |
| 23 | 44,2 | 41,6 | 38,1 | 35,2 | 32,0 | 27,1 | 22,3 | 18,1 | 14,8 | 13,1 | 11,7 | 10,2 | 9,26 |
| 24 | 45,6 | 43,0 | 39,4 | 36,4 | 33,2 | 28,2 | 23,3 | 19,0 | 15,7 | 13,8 | 12,4 | 10,9 | 9,89 |
| 25 | 46,9 | 44,3 | 40,6 | 37,7 | 34,4 | 29,3 | 24,3 | 19,9 | 16,5 | 14,6 | 13,1 | 11,5 | 10,5 |
| 26 | 48,3 | 45,6 | 41,9 | 38,9 | 35,6 | 30,4 | 25,3 | 20,8 | 17,3 | 15,4 | 13,8 | 12,2 | 11,2 |
| 27 | 49,6 | 47,0 | 43,2 | 40,1 | 36,7 | 31,5 | 26,3 | 21,7 | 18,1 | 16,2 | 14,6 | 12,9 | 11,8 |
| 28 | 51,0 | 48,3 | 44,5 | 41,3 | 37,9 | 32,6 | 27,3 | 22,7 | 18,9 | 16,9 | 15,3 | 13,6 | 12,5 |
| 29 | 52,3 | 49,6 | 45,7 | 42,6 | 39,1 | 33,7 | 28,3 | 23,6 | 19,8 | 17,7 | 16,0 | 14,3 | 13,1 |
| 30 | 53,7 | 50,9 | 47,0 | 43,8 | 40,3 | 34,8 | 29,3 | 24,5 | 20,6 | 18,5 | 16,8 | 15,0 | 13,8 |
| 40 | 66,8 | 63,7 | 59,3 | 55,8 | 51,8 | 45,6 | 39,3 | 33,7 | 29,1 | 26,5 | 24,4 | 22,2 | 20,7 |
| 50 | 79,5 | 76,2 | 71,4 | 67,5 | 63,2 | 56,3 | 49,3 | 42,9 | 37,7 | 34,8 | 32,4 | 29,7 | 28,0 |
| 60 | 92,0 | 88,4 | 83,3 | 79,1 | 74,4 | 67,0 | 59,3 | 52,3 | 46,5 | 43,2 | 40,5 | 37,5 | 35,5 |
| 70 | 104,2 | 100,4 | 95,0 | 90,5 | 85,5 | 77,6 | 69,3 | 61,7 | 55,3 | 51,7 | 48,8 | 45,4 | 43,3 |
| 80 | 116,3 | 112,3 | 106,6 | 101,9 | 96,6 | 88,1 | 79,3 | 71,1 | 64,3 | 60,4 | 57,2 | 53,5 | 51,2 |
| 90 | 128,3 | 124,1 | 118,1 | 113,1 | 107,6 | 98,6 | 89,3 | 80,6 | 73,3 | 69,1 | 65,6 | 61,8 | 59,2 |
| 100 | 140,2 | 135,8 | 129,6 | 124,3 | 118,5 | 109,1 | 99,3 | 90,1 | 82,4 | 77,9 | 74,2 | 70,1 | 67,3 |

Fonte: Catherine M. Thompson, *Table of percentage points of the χ^2 distribution*, Biometrika, Vol. 32 (1941), sob permissão do autor e editor.

40

Valores do 95º Percentil da Distribuição F

n_1 = graus de liberdade do numerador
 n_2 = graus de liberdade do denominador
 (área sombreada = 0,95)



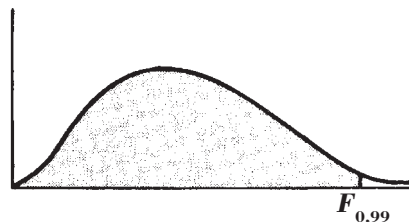
| $n_1 \backslash n_2$ | 1 | 2 | 3 | 4 | 5 | 6 | 8 | 12 | 16 | 20 | 30 | 40 | 50 | 100 | ∞ |
|----------------------|-------|-------|-------|-------|-------|-------|-------|-------|-------|-------|-------|-------|-------|-------|----------|
| 1 | 161,4 | 199,5 | 215,7 | 224,6 | 230,2 | 234,0 | 238,9 | 243,9 | 246,3 | 248,0 | 250,1 | 251,1 | 252,2 | 253,0 | 254,3 |
| 2 | 18,51 | 19,00 | 19,16 | 19,25 | 19,30 | 19,33 | 19,37 | 19,41 | 19,43 | 19,45 | 19,46 | 19,46 | 19,47 | 19,49 | 19,50 |
| 3 | 10,13 | 9,55 | 9,28 | 9,12 | 9,01 | 8,94 | 8,85 | 8,74 | 8,69 | 8,66 | 8,62 | 8,60 | 8,58 | 8,56 | 8,53 |
| 4 | 7,71 | 6,94 | 6,59 | 6,39 | 6,26 | 6,16 | 6,04 | 5,91 | 5,84 | 5,80 | 5,75 | 5,71 | 5,70 | 5,66 | 5,63 |
| 5 | 6,61 | 5,79 | 5,41 | 5,19 | 5,05 | 4,95 | 4,82 | 4,68 | 4,60 | 4,56 | 4,50 | 4,46 | 4,44 | 4,40 | 4,36 |
| 6 | 5,99 | 5,14 | 4,76 | 4,53 | 4,39 | 4,28 | 4,15 | 4,00 | 3,92 | 3,87 | 3,81 | 3,77 | 3,75 | 3,71 | 3,67 |
| 7 | 5,59 | 4,74 | 4,35 | 4,12 | 3,97 | 3,87 | 3,73 | 3,57 | 3,49 | 3,44 | 3,38 | 3,34 | 3,32 | 3,28 | 3,23 |
| 8 | 5,32 | 4,46 | 4,07 | 3,84 | 3,69 | 3,58 | 3,44 | 3,28 | 3,20 | 3,15 | 3,08 | 3,05 | 3,03 | 2,98 | 2,93 |
| 9 | 5,12 | 4,26 | 3,86 | 3,63 | 3,48 | 3,37 | 3,23 | 3,07 | 2,98 | 2,93 | 2,86 | 2,82 | 2,80 | 2,76 | 2,71 |
| 10 | 4,96 | 4,10 | 3,71 | 3,48 | 3,33 | 3,22 | 3,07 | 2,91 | 2,82 | 2,77 | 2,70 | 2,67 | 2,64 | 2,59 | 2,54 |
| 11 | 4,84 | 3,98 | 3,59 | 3,36 | 3,20 | 3,09 | 2,95 | 2,79 | 2,70 | 2,65 | 2,57 | 2,53 | 2,50 | 2,45 | 2,40 |
| 12 | 4,75 | 3,89 | 3,49 | 3,26 | 3,11 | 3,00 | 2,85 | 2,69 | 2,60 | 2,54 | 2,46 | 2,42 | 2,40 | 2,35 | 2,30 |
| 13 | 4,67 | 3,81 | 3,41 | 3,18 | 3,03 | 2,92 | 2,77 | 2,60 | 2,51 | 2,46 | 2,38 | 2,34 | 2,32 | 2,26 | 2,21 |
| 14 | 4,60 | 3,74 | 3,34 | 3,11 | 2,96 | 2,85 | 2,70 | 2,53 | 2,44 | 2,39 | 2,31 | 2,27 | 2,24 | 2,19 | 2,13 |
| 15 | 4,54 | 3,68 | 3,29 | 3,06 | 2,90 | 2,79 | 2,64 | 2,48 | 2,39 | 2,33 | 2,25 | 2,21 | 2,18 | 2,12 | 2,07 |
| 16 | 4,49 | 3,63 | 3,24 | 3,01 | 2,85 | 2,74 | 2,59 | 2,42 | 2,33 | 2,28 | 2,20 | 2,16 | 2,13 | 2,07 | 2,01 |
| 17 | 4,45 | 3,59 | 3,20 | 2,96 | 2,81 | 2,70 | 2,55 | 2,38 | 2,29 | 2,23 | 2,15 | 2,11 | 2,08 | 2,02 | 1,96 |
| 18 | 4,41 | 3,55 | 3,16 | 2,93 | 2,77 | 2,66 | 2,51 | 2,34 | 2,25 | 2,19 | 2,11 | 2,07 | 2,04 | 1,98 | 1,92 |
| 19 | 4,38 | 3,52 | 3,13 | 2,90 | 2,74 | 2,63 | 2,48 | 2,31 | 2,21 | 2,15 | 2,07 | 2,02 | 2,00 | 1,94 | 1,88 |
| 20 | 4,35 | 3,49 | 3,10 | 2,87 | 2,71 | 2,60 | 2,45 | 2,28 | 2,18 | 2,12 | 2,04 | 1,99 | 1,96 | 1,90 | 1,84 |
| 22 | 4,30 | 3,44 | 3,05 | 2,82 | 2,66 | 2,55 | 2,40 | 2,23 | 2,13 | 2,07 | 1,98 | 1,93 | 1,91 | 1,84 | 1,78 |
| 24 | 4,26 | 3,40 | 3,01 | 2,78 | 2,62 | 2,51 | 2,36 | 2,18 | 2,09 | 2,03 | 1,94 | 1,89 | 1,86 | 1,80 | 1,73 |
| 26 | 4,23 | 3,37 | 2,98 | 2,74 | 2,59 | 2,47 | 2,32 | 2,15 | 2,05 | 1,99 | 1,90 | 1,85 | 1,82 | 1,76 | 1,69 |
| 28 | 4,20 | 3,34 | 2,95 | 2,71 | 2,56 | 2,45 | 2,29 | 2,12 | 2,02 | 1,96 | 1,87 | 1,81 | 1,78 | 1,72 | 1,65 |
| 30 | 4,17 | 3,32 | 2,92 | 2,69 | 2,53 | 2,42 | 2,27 | 2,09 | 1,99 | 1,93 | 1,84 | 1,79 | 1,76 | 1,69 | 1,62 |
| 40 | 4,08 | 3,23 | 2,84 | 2,61 | 2,45 | 2,34 | 2,18 | 2,00 | 1,90 | 1,84 | 1,74 | 1,69 | 1,66 | 1,59 | 1,51 |
| 50 | 4,03 | 3,18 | 2,79 | 2,56 | 2,40 | 2,29 | 2,13 | 1,95 | 1,85 | 1,78 | 1,69 | 1,63 | 1,60 | 1,52 | 1,44 |
| 60 | 4,00 | 3,15 | 2,76 | 2,53 | 2,37 | 2,25 | 2,10 | 1,92 | 1,81 | 1,75 | 1,65 | 1,59 | 1,56 | 1,48 | 1,39 |
| 70 | 3,98 | 3,13 | 2,74 | 2,50 | 2,35 | 2,23 | 2,07 | 1,89 | 1,79 | 1,72 | 1,62 | 1,56 | 1,53 | 1,45 | 1,35 |
| 80 | 3,96 | 3,11 | 2,72 | 2,48 | 2,33 | 2,21 | 2,05 | 1,88 | 1,77 | 1,70 | 1,60 | 1,54 | 1,51 | 1,42 | 1,32 |
| 100 | 3,94 | 3,09 | 2,70 | 2,46 | 2,30 | 2,19 | 2,03 | 1,85 | 1,75 | 1,68 | 1,57 | 1,51 | 1,48 | 1,39 | 1,28 |
| 150 | 3,91 | 3,06 | 2,67 | 2,43 | 2,27 | 2,16 | 2,00 | 1,82 | 1,71 | 1,64 | 1,54 | 1,47 | 1,44 | 1,34 | 1,22 |
| 200 | 3,89 | 3,04 | 2,65 | 2,41 | 2,26 | 2,14 | 1,98 | 1,80 | 1,69 | 1,62 | 1,52 | 1,45 | 1,42 | 1,32 | 1,19 |
| 400 | 3,86 | 3,02 | 2,62 | 2,39 | 2,23 | 2,12 | 1,96 | 1,78 | 1,67 | 1,60 | 1,49 | 1,42 | 1,38 | 1,28 | 1,13 |
| ∞ | 3,84 | 2,99 | 2,60 | 2,37 | 2,21 | 2,09 | 1,94 | 1,75 | 1,64 | 1,57 | 1,46 | 1,40 | 1,32 | 1,24 | 1,00 |

Fonte: G. W. Snedecor and W. G. Cochran, *Statistical Methods* (6th edition, 1967), Iowa State University Press, Ames, Iowa, sob permissão dos autores e editor.

Valores do 99^o Percentil da Distribuição F

41

n_1 = graus de liberdade do numerador
 n_2 = graus de liberdade do denominador
 (área sombreada = 0,99)



| $n_1 \backslash n_2$ | 1 | 2 | 3 | 4 | 5 | 6 | 8 | 12 | 16 | 20 | 30 | 40 | 50 | 100 | ∞ |
|----------------------|-------|-------|-------|-------|-------|-------|-------|-------|-------|-------|-------|-------|-------|-------|----------|
| 1 | 4052 | 4999 | 5403 | 5625 | 5764 | 5859 | 5981 | 6106 | 6169 | 6208 | 6258 | 6286 | 6302 | 6334 | 6366 |
| 2 | 98,49 | 99,01 | 99,17 | 99,25 | 99,30 | 99,33 | 99,36 | 99,42 | 99,44 | 99,45 | 99,47 | 99,48 | 99,48 | 99,49 | 99,50 |
| 3 | 34,12 | 30,81 | 29,46 | 28,71 | 28,24 | 27,41 | 27,49 | 27,05 | 28,63 | 26,69 | 26,50 | 26,41 | 26,35 | 26,23 | 26,12 |
| 4 | 21,20 | 18,00 | 16,69 | 15,98 | 15,52 | 15,21 | 14,80 | 14,37 | 14,15 | 14,02 | 13,83 | 13,74 | 13,69 | 13,57 | 13,46 |
| 5 | 16,26 | 13,27 | 12,06 | 11,39 | 10,97 | 10,67 | 10,27 | 9,89 | 9,68 | 9,55 | 9,38 | 9,29 | 9,24 | 9,13 | 9,02 |
| 6 | 13,74 | 10,92 | 9,78 | 9,15 | 8,75 | 8,47 | 8,10 | 7,72 | 7,52 | 7,39 | 7,23 | 7,14 | 7,09 | 6,99 | 6,88 |
| 7 | 12,25 | 9,55 | 8,45 | 7,85 | 7,46 | 7,19 | 6,84 | 6,47 | 6,27 | 6,15 | 5,98 | 5,90 | 5,85 | 5,75 | 5,65 |
| 8 | 11,26 | 8,65 | 7,59 | 7,01 | 6,63 | 6,37 | 6,03 | 5,67 | 5,48 | 5,36 | 5,20 | 5,11 | 5,06 | 4,96 | 4,86 |
| 9 | 10,56 | 8,02 | 6,99 | 6,42 | 6,06 | 5,80 | 5,47 | 5,11 | 4,92 | 4,80 | 4,64 | 4,56 | 4,51 | 4,41 | 4,31 |
| 10 | 10,04 | 7,56 | 6,55 | 5,99 | 5,64 | 5,39 | 5,06 | 4,71 | 4,52 | 4,41 | 4,25 | 4,17 | 4,12 | 4,01 | 3,91 |
| 11 | 9,05 | 7,20 | 6,22 | 5,67 | 5,32 | 5,07 | 4,74 | 4,40 | 4,21 | 4,10 | 3,94 | 3,86 | 3,80 | 3,70 | 3,60 |
| 12 | 9,33 | 6,93 | 5,95 | 5,41 | 5,06 | 4,82 | 4,50 | 4,16 | 3,98 | 3,86 | 3,70 | 3,61 | 3,56 | 3,46 | 3,36 |
| 13 | 9,07 | 6,70 | 5,74 | 5,20 | 4,86 | 4,62 | 4,30 | 3,96 | 3,78 | 3,67 | 3,51 | 3,42 | 3,37 | 3,27 | 3,16 |
| 14 | 8,86 | 6,51 | 5,56 | 5,03 | 4,69 | 4,46 | 4,14 | 3,80 | 3,62 | 3,51 | 3,34 | 3,26 | 3,21 | 3,11 | 3,00 |
| 15 | 8,68 | 6,36 | 5,42 | 4,89 | 4,56 | 4,32 | 4,00 | 3,67 | 3,48 | 3,36 | 3,20 | 3,12 | 3,07 | 2,97 | 2,87 |
| 16 | 8,53 | 6,23 | 5,29 | 4,77 | 4,44 | 4,20 | 3,89 | 3,55 | 3,37 | 3,25 | 3,10 | 3,01 | 2,96 | 2,86 | 2,75 |
| 17 | 8,40 | 6,11 | 5,18 | 4,67 | 4,34 | 4,10 | 3,79 | 3,45 | 3,27 | 3,16 | 3,00 | 2,92 | 2,86 | 2,76 | 2,65 |
| 18 | 8,28 | 6,01 | 5,09 | 4,58 | 4,25 | 4,01 | 3,71 | 3,37 | 3,19 | 3,07 | 2,91 | 2,83 | 2,78 | 2,68 | 2,57 |
| 19 | 8,18 | 5,93 | 5,01 | 4,50 | 4,17 | 3,94 | 3,63 | 3,30 | 3,12 | 3,00 | 2,84 | 2,76 | 2,70 | 2,60 | 2,49 |
| 20 | 8,10 | 5,85 | 4,94 | 4,43 | 4,10 | 3,87 | 3,56 | 3,23 | 3,05 | 2,94 | 2,77 | 2,69 | 2,63 | 2,53 | 2,42 |
| 22 | 7,94 | 5,72 | 4,82 | 4,31 | 3,99 | 3,76 | 3,45 | 3,12 | 2,94 | 2,83 | 2,67 | 2,58 | 2,53 | 2,42 | 2,31 |
| 24 | 7,82 | 5,61 | 4,72 | 4,22 | 3,90 | 3,67 | 3,36 | 3,03 | 2,85 | 2,74 | 2,58 | 2,49 | 2,44 | 2,33 | 2,21 |
| 26 | 7,72 | 5,53 | 4,64 | 4,14 | 3,82 | 3,59 | 3,29 | 2,96 | 2,77 | 2,66 | 2,50 | 2,41 | 2,36 | 2,25 | 2,13 |
| 28 | 7,64 | 5,45 | 4,57 | 4,07 | 3,76 | 3,53 | 3,23 | 2,90 | 2,71 | 2,60 | 2,44 | 2,35 | 2,30 | 2,18 | 2,06 |
| 30 | 7,56 | 5,39 | 4,51 | 4,02 | 3,70 | 3,47 | 3,17 | 2,84 | 2,66 | 2,55 | 2,38 | 2,29 | 2,24 | 2,13 | 2,01 |
| 40 | 7,31 | 5,18 | 4,31 | 3,83 | 3,51 | 3,29 | 2,99 | 2,66 | 2,49 | 2,37 | 2,20 | 2,11 | 2,05 | 1,94 | 1,81 |
| 50 | 7,17 | 5,06 | 4,20 | 3,72 | 3,41 | 3,18 | 2,88 | 2,56 | 2,39 | 2,26 | 2,10 | 2,00 | 1,94 | 1,82 | 1,68 |
| 60 | 7,08 | 4,98 | 4,13 | 3,65 | 3,34 | 3,12 | 2,82 | 2,50 | 2,32 | 2,20 | 2,03 | 1,93 | 1,87 | 1,74 | 1,60 |
| 70 | 7,01 | 4,92 | 4,08 | 3,60 | 3,29 | 3,07 | 2,77 | 2,45 | 2,28 | 2,15 | 1,98 | 1,88 | 1,82 | 1,69 | 1,53 |
| 80 | 6,96 | 4,88 | 4,04 | 3,56 | 3,25 | 3,04 | 2,74 | 2,41 | 2,24 | 2,11 | 1,94 | 1,84 | 1,78 | 1,65 | 1,49 |
| 100 | 6,90 | 4,82 | 3,98 | 3,51 | 3,20 | 2,99 | 2,69 | 2,36 | 2,19 | 2,06 | 1,89 | 1,79 | 1,73 | 1,59 | 1,43 |
| 150 | 6,81 | 4,75 | 3,91 | 3,44 | 3,14 | 2,92 | 2,62 | 2,30 | 2,12 | 2,00 | 1,83 | 1,72 | 1,66 | 1,51 | 1,33 |
| 200 | 6,76 | 4,71 | 3,88 | 3,41 | 3,11 | 2,90 | 2,60 | 2,28 | 2,09 | 1,97 | 1,79 | 1,69 | 1,62 | 1,48 | 1,28 |
| 400 | 6,70 | 4,66 | 3,83 | 3,36 | 3,06 | 2,85 | 2,55 | 2,23 | 2,04 | 1,92 | 1,74 | 1,64 | 1,57 | 1,42 | 1,19 |
| ∞ | 6,64 | 4,60 | 3,78 | 3,32 | 3,02 | 2,80 | 2,51 | 2,18 | 1,99 | 1,87 | 1,69 | 1,59 | 1,52 | 1,36 | 1,00 |

Fonte: G. W. Snedecor and W. G. Cochran, *Statistical Methods* (6th edition, 1967), Iowa State University Press, Ames, Iowa, sob permissão dos autores e editor.

42

Números Aleatórios

| | | | | | | | | | |
|-------|-------|-------|-------|-------|-------|-------|-------|-------|-------|
| 51772 | 74640 | 42331 | 29044 | 46621 | 62898 | 93582 | 04186 | 19640 | 87056 |
| 24033 | 23491 | 83587 | 06568 | 21960 | 21387 | 76105 | 10863 | 97453 | 90581 |
| 45939 | 60173 | 52078 | 25424 | 11645 | 55870 | 56974 | 37428 | 93507 | 94271 |
| 30586 | 02133 | 75797 | 45406 | 31041 | 86707 | 12973 | 17169 | 88116 | 42187 |
| 03585 | 79353 | 81938 | 82322 | 96799 | 85659 | 36081 | 50884 | 14070 | 74950 |
| 64937 | 03355 | 95863 | 20790 | 65304 | 55189 | 00745 | 65253 | 11822 | 15804 |
| 15630 | 64759 | 51135 | 98527 | 62586 | 41889 | 25439 | 88036 | 24034 | 67283 |
| 09448 | 56301 | 57683 | 30277 | 94623 | 85418 | 68829 | 06652 | 41982 | 49159 |
| 21631 | 91157 | 77331 | 60710 | 52290 | 16835 | 48653 | 71590 | 16159 | 14676 |
| 91097 | 17480 | 29414 | 06829 | 87843 | 28195 | 27279 | 47152 | 35683 | 47280 |
| 50532 | 25496 | 95652 | 42457 | 73547 | 76552 | 50020 | 24819 | 52984 | 76168 |
| 07136 | 40876 | 79971 | 54195 | 25708 | 51817 | 36732 | 72484 | 94923 | 75936 |
| 27989 | 64728 | 10744 | 08396 | 56242 | 90985 | 28868 | 99431 | 50995 | 20507 |
| 85184 | 73949 | 36601 | 46253 | 00477 | 25234 | 09908 | 36574 | 72139 | 70185 |
| 54398 | 21154 | 97810 | 36764 | 32869 | 11785 | 55261 | 59009 | 38714 | 38723 |
| 65544 | 34371 | 09591 | 07839 | 58892 | 92843 | 72828 | 91341 | 84821 | 63886 |
| 08263 | 65952 | 85762 | 64236 | 39238 | 18776 | 84303 | 99247 | 46149 | 03229 |
| 39817 | 67906 | 48236 | 16057 | 81812 | 15815 | 63700 | 85915 | 19219 | 45943 |
| 62257 | 04077 | 79443 | 95203 | 02479 | 30763 | 92486 | 54083 | 23631 | 05825 |
| 53298 | 90276 | 62545 | 21944 | 16530 | 03878 | 07516 | 95715 | 02526 | 33537 |

Índice de Símbolos e Notações Especiais

A lista a seguir mostra símbolos e notações especiais junto com as páginas nas quais estão definidos ou ocorrem pela primeira vez. Os casos de símbolos com mais de um significado deverão ficar claros pelo contexto.

Símbolos

| | |
|--|--|
| $Ber_n(x), \text{Bei}_n(x)$ | Funções Ber e Bei, 165 |
| $B(m, n)$ | Função beta, 160 |
| B_n | Número de Bernoulli, 150 |
| $C(x)$ | Integral cosseno de Fresnel, 212 |
| $Ci(x)$ | Integral cosseno, 212 |
| D.M. | Desvio médio, 219 |
| $\mathbf{e}_1, \mathbf{e}_2, \mathbf{e}_3$ | Vetores unitários em coordenadas curvilíneas, 135-136 |
| $E = E(k, \pi/2)$ | Integral elíptica completa de 2ª espécie, 206 |
| $E = E(k, \phi)$ | Integral elíptica incompleta de 2ª espécie, 206 |
| $Ei(x)$ | Integral exponencial, 211 |
| E_n | Número de Euler, 150-151 |
| $\text{erf}(x)$ | Função erro, 211 |
| $\text{erfc}(x)$ | Função erro complementar, 211 |
| $E(X)$ | Média ou esperança da variável aleatória X , 231-232 |
| $f[x_0, x_1, \dots, x_k]$ | Fórmula do quociente de diferenças, 236-237 |
| $F(a), F(x)$ | Função distribuição acumulada, 233 |
| $F(a, b; c; x)$ | Função hipergeométrica, 186 |
| $F = F(k, \phi)$ | Integral elíptica incompleta de 1ª espécie, 206-207 |
| $\mathcal{F}, \mathcal{F}^{-1}$ | Transformada de Fourier e transformada inversa, 202 |
| h_1, h_2, h_3 | Fatores de escala em coordenadas curvilíneas, 135-136 |
| $H_n(x)$ | Polinômio de Hermite, 177-178 |
| $H_n^{(1)}(x), H_n^{(2)}(x)$ | Funções de Hankel de 1ª e 2ª espécies, 163 |
| $\mathbf{i}, \mathbf{j}, \mathbf{k}$ | Vetores unitários em coordenadas retangulares, 128 |
| $I_n(x)$ | Função de Bessel modificada de 1ª espécie, 163 |
| $J_n(x)$ | Função de Bessel de 1ª espécie, 161-162 |
| $K = F(k, \pi/2)$ | Integral elíptica completa de 1ª espécie, 206 |
| $\text{Ker}_n(x), \text{Kei}_n(x)$ | Funções Ker e Kei, 166-167 |
| $K_n(x)$ | Função de Bessel modificada de 2ª espécie, 164 |
| $\ln x$ ou $\log_e x$ | Logaritmo natural de x , 64 |
| $\log x$ ou $\log_{10} x$ | Logaritmo comum de x , 64 |
| $L_n(x)$ | Polinômio de Laguerre, 179 |
| $L_n^m(x)$ | Polinômio de Laguerre associado, 180-181 |
| $\mathcal{L}, \mathcal{L}^{-1}$ | Transformada de Laplace e transformada inversa, 188 |
| m_g | Média geométrica, 217-218 |
| m_h | Média harmônica, 217-218 |
| $P(A/E)$ | Probabilidade condicional de A dado E , 227 |
| $P_n(x)$ | Polinômio de Legendre, 172 |
| $P_n^m(x)$ | Função de Legendre associada, 175-176 |

| | |
|--------------------------|---|
| Q_1, Q_2, Q_3 | Quartis, 219 |
| $Q_n(x)$ | Função de Legendre de 2ª espécie, 174-175 |
| $Q_n^{(n)}(x)$ | Função de Legendre associada de 2ª espécie, 176 |
| r | Coefficiente de correlação amostral, 220-221 |
| R.M.Q. | Raiz da média dos quadrados, 219 |
| s | Desvio padrão amostral, 216 |
| s^2 | Variância amostral, 218 |
| s_{xy} | Covariância amostral, 221 |
| $S(x)$ | Integral seno de Fresnel, 212 |
| $Si(x)$ | Integral seno, 211-212 |
| $T_n(x)$ | Polinômio de Chebyshev de 1ª espécie, 183 |
| $U_n(x)$ | Polinômio de Chebyshev de 2ª espécie, 184 |
| $Var(X)$ | Variância da variável aleatória X, 232-233 |
| $\bar{x}, \bar{\bar{x}}$ | Média, grande média, 216, 217 |
| $x_k^{(n)}$ | k -ésimo zero do polinômio de Legendre $P_n(x)$, 241 |
| $Y_n(x)$ | Função de Bessel de 2ª espécie, 162 |
| Z | Variável aleatória padronizada, 234 |

Símbolos Gregos

| | | | |
|-------------|---|------------|--|
| α_r | Momento reduzido de ordem r centrado na média, 220 | π | Pi, 13 |
| γ | Constante de Euler, 13 | ϕ | Coordenada esférica, 48-49 |
| $\Gamma(x)$ | Função gama, 157-160, 266 | $\Phi(p)$ | A soma $1 + \frac{1}{2} + \frac{1}{3} + \dots + \frac{1}{p}$, $\Phi(0) = 0$, 162 |
| $\zeta(x)$ | Função zeta de Riemann, 212 | $\Phi(x)$ | Função de distribuição de probabilidade, 234-235 |
| μ | Média de população, 216 | σ | Desvio padrão de população, 216, 220 |
| θ | Coordenada: cilíndrica, 48-49 polar, 21, 35; esférica, 48-49 | σ^2 | Variância de população, 216, 220 |

Notações

| | |
|---|--|
| $A \sim B$ | A é assintótico a B ou A/B tende a 1, 159 |
| $ A $ | Valor absoluto de $A = \begin{cases} A & \text{se } A \geq 0 \\ -A & \text{se } A < 0 \end{cases}$ |
| $n!$ | Fatorial de n , 17 |
| $\binom{n}{k}$ | Coefficientes binomiais, 17-18 |
| $\left. \begin{array}{l} y' = \frac{dy}{dx} = f'(x) \\ y'' = \frac{d^2y}{dx^2} = f''(x), \text{ etc.} \end{array} \right\}$ | Derivadas de y ou $f(x)$ em relação a x , 73 |
| $D^p = \frac{d^p}{dx^p}$ | p -ésima derivada em relação a x , 76 |
| $\frac{\partial f}{\partial x}, \frac{\partial f}{\partial y}, \frac{\partial^2 f}{\partial x \partial y}, \text{ etc.}$ | Derivadas parciais, 77 |
| $\frac{\partial(x, y, z)}{\partial(u_1, u_2, u_3)}$ | Jacobiano, 136 |
| $\int f(x) dx$ | Integral indefinida, 78 |
| $\int_a^b f(x) dx$ | Integral definida, 116 |
| $\int_C \mathbf{A} \cdot d\mathbf{r}$ | Integral de linha de A ao longo de C , 132 |
| $\mathbf{A} \cdot \mathbf{B}$ | Produto escalar de A e B , 128 |
| $\mathbf{A} \times \mathbf{B}$ | Produto vetorial de A e B , 129 |
| ∇ | Operador del, 130 |
| $\nabla^2 = \nabla \cdot \nabla$ | Operador laplaciano, 131 |
| $\nabla^4 = \nabla^2(\nabla^2)$ | Operador bi-harmônico, 131 |

Índice

- Achatadas, coordenadas esféricas, 139
- Adams-Bashforth, método de, 245
- Adams-Moulton, método de, 245
- Ajuste de curvas, 222-223
- Alfabeto grego, 13
- Álgebra de conjuntos, 225
- Amostra, 216-217
 - covariância, 220-221
- Amplitude de amostra, 219
- Amplitude quartil, 219
- Amplitude semiquartil, 219
- Antiderivada, 78
- Antilogaritmo, 64
- Aritmética:
 - média, 216-217
 - soma, 142
- Assimetria, 220
- Binomial:
 - coeficientes, 17, 237, 267
 - distribuição, 234-235
 - fórmula, 17
 - série, 144
- Cardioide, 40
- Catenária, 40
- Cicloide, 39
- Cilíndricas, coordenadas, 48, 137
- Cilindro elíptico, 52
- Círculo, 28, 36
- Coefficiente(s):
 - assimetria quartil, 220
 - binomial, 17
 - de correlação, 220-221
 - de excesso (curtose), 220
 - multinomial, 19
- Complexo:
 - conjugado, 20
 - logaritmo de número, 65-66
 - número, 20
 - plano, 20
- Componentes de um vetor, 128
- Cone circular reto, 31
- Cônicas, 36 (*Ver também* Elipse, Parábola, Hipérbole)
- Conjugado, complexo, 20
- Constante de Catalan, 208
- Constante(s), 13
 - de integração, 78
 - série de, 142
- Coordenadas, 135
 - bipolares, 139
 - cilíndricas, 137
 - cilíndricas parabólicas, 137
 - cônicas, 140
 - curvilíneas, 135
 - elipsoidais confocais, 141
 - elípticas cilíndricas, 138
 - esféricas, 49, 137
 - esféricas achatadas, 139
 - esféricas alongadas, 140
 - paraboloidais, 138
 - paraboloidais confocais, 141
 - toroidais, 140
- Coordenadas retangulares, 35
 - sistema de, 128
 - transformação para coordenadas polares, 35
- Cosseno, 54-55
 - gráfico do, 57
 - integral, 211, 264
 - lei dos, 61-62
 - tabela de valores do, 253
- Cossenos diretores, 45-46
- Covariância, 220-221
- Curtose, 220
- Curva de Agnesi, 42
- Curva normal, 284-285
 - distribuição, 234-235
- Dados bivariados, 220
 - de ordem r , 220
 - de assimetria, 220
 - de inércia, 52

- Derivadas, 73-77
 de vetores, 129-130
 regra da cadeia para, 73
 regra de Leibniz para, 75
 superiores, 75
- Desigualdade de Cauchy-Schwarz, 213
 para integrais, 214
- Desigualdade de Chebyshev, 214
- Desigualdade de Hölder, 213
 para integrais, 214
- Desigualdade de Minkowski, 214
 para integrais, 214
- Desigualdade triangular, 213
- Desigualdades, 213
- Desvio médio, 218
- Desvio padrão, 218
 de amostra, 218
 de população, 220
 de variável aleatória contínua, 233
 de variável aleatória discreta, 232-233
- Diagramas de árvore (Probabilidade), 227
- Diferencial, 76, 77
- Distribuição F , 234-235
 tabela de valores da, 288-289
- Distribuição Qui-Quadrado, 234-235
 tabela de valores, 287
- Distribuições de probabilidade, 234-235
- Divergência, 129-130, 136
 teorema da, 134
- Dupla, integral, 133
- Elipse, 29, 36
- Elipsoide, 50
- Epícloide, 41
- Equação algébrica, soluções de, 23
- Equação da onda, 247
- Equação diferencial de Bernoulli, 124
- Equação diferencial de Bessel, 125-126, 161-162
 modificada, 163
 solução geral, 162
- Equação diferencial de Cauchy ou Euler, 125-126
- Equação diferencial de Chebyshev, 183
 solução geral, 185
- Equação diferencial de Laguerre, 179-180
 associada, 180-181
- Equação diferencial de Legendre, 125-126, 172
 associada, 174-175
- Equação diferencial de segunda ordem, 125
- Equação diferencial exata, 124
- Equação diferencial homogênea, 124
 linear de segunda ordem, 125
- Equação diferencial linear não homogênea
 de segunda ordem, 125
- Equação do calor, 246
- Equação segmentária da reta, 33
- Equações algébricas, 23
- Equações não lineares, solução de, 242
- Equações normais para a reta de regressão, 221-222
- Escalar, 127
 multiplicação de vetor por, 127
- Escalar, produto, 128
- Esfera:
 área da superfície da, 30
 equações da, 49
 volume da, 32
- Espiral de Arquimedes, 44
- Estatística, 216-224
 tabelas, 284-289
- Euler:
 constante de, 14
 equação diferencial de, 125
 método de, 244
 números de, 150
- Eventos independentes, 228-230
- Excentricidade, 36
- Excesso, coeficiente de curtose, 220
- Expoente, 64
- Exponencial, curva (mínimos quadrados), 222-223
- Fator de escala, 135
- Fatores de conversão, 25-26
- Fatores especiais, 15
- Fatorial de n , 17
 tabela de valores, 265
- Fólio de Descartes, 42
- Forma de Cauchy do resto na série de Taylor, 146
- Fórmula da diferença para trás, 238
- Fórmula da quadratura gaussiana, 241
- Fórmula da soma de Euler-Maclaurin, 145
- Fórmula de adição de:
 funções de Bessel, 171
 polinômios de Hermite, 178
- Fórmula de Bayes, 227-228
- Fórmula de Gauss-Legendre, 241
- Fórmula de interpolação de três pontos, 237
- Fórmula de Rodrigues:
 polinômios de Laguerre, 179
 polinômios de Legendre, 172
- Fórmula de Simpson, 117, 240
- Fórmula de Stirling, 158
- Fórmula do quociente de diferenças de primeira ordem, 236
- Fórmula do quociente de diferenças de segunda ordem, 237
- Fórmula do quociente de diferenças geral, 237
- Fórmula do resto:
 interpolação de Gauss-Legendre, 241
 interpolação de Hermite, 239
 interpolação de Lagrange, 236
- Fórmula do somatório:
 de Euler-Maclaurin, 145
 de Poisson, 145
- Fórmula retangular, 117
- Fórmulas da Geometria Analítica plana, 33-38
- Fórmulas de diferenças para a frente, 237
- Fórmulas de recorrência:
 função gama, 157
 funções de Bessel, 162

- polinômios de Chebyshev, 183
- polinômios de Hermite, 177
- polinômios de Laguerre, 179
- polinômios de Legendre, 173
- Fórmulas do ângulo metade, 58-59
- Função Beta, 160
- Função de Neumann, 161-162
- Função de Weber, 161-162
- Função distribuição cumulativa, 233
- Função erro complementar, 211
- Função escada, 200
- Função exponencial, 64-65
 - série da, 147
 - tabela de valores da, 262-263
- Função gama, 157-158
 - relação com função beta, 160
 - tabela de valores, 266
- Função nula, 197
- Função onda dente de serra, 199
- Função onda quadrada, 199
- Função onda senoidal retificada, 199
- Função onda senoidal semirretificada, 199
- Função onda triangular, 199
- Função pulso, 200
- Função tangente, 54-55
 - gráfico da, 57
 - tabela de valores, 257
- Função unitária de Heaviside, 200
- Função zeta de Riemann, 212
- Funções de Bessel, 161-171
 - fórmulas de recorrência, 162, 165
 - gráficos de, 167
 - modificadas, 163
 - representação integral de, 169
 - séries ortogonais de, 169
 - tabelas, 269-274
- Funções de Hankel, 163
- Funções de Legendre, 172-176
- Funções elípticas, 206-210
 - de Jacobi, 207-208
 - expansão em séries de, 208
- Funções erro, 211
- Funções geradoras, 165, 173, 175-177, 179-181, 183, 184
- Funções Her e Bei, 165-166
- Funções hiperbólicas, 67-72
 - gráficos das, 70
 - inversas das, 70-72
 - séries para as, 148
- Funções Ker e Kei, 166-167
- Funções logarítmicas, 64-66 (*Ver também* Logaritmos)
 - séries para, 147
 - tabela de valores de, 253-254, 260-261
- Funções trigonométricas, 54-63
 - definição de, 54-55
 - gráficos de, 57
 - inversas de, 59-61
 - séries de, 147
 - tabelas de, 255-257
- Geometria, 27-32
- Geometria analítica espacial, 45-51
- Geometria analítica plana, 33-34
- Geométrica:
 - média, 217
 - série, 142
- Gradiente, 129-130, 136
- Gráfico de dispersão, 220
- Grande média, 217
- Graus, conversão para radianos, 259
- Hermite:
 - equação diferencial de, 177
 - interpolação de, 238
 - polinômios de, 177-178
- Hipérbole, 36
- Hiperboloide, 50
- Hipergeométrica:
 - distribuição, 234-235
 - equação diferencial, 186
 - função, 186
- Hipocicloide, 39, 41
- Identidade de Parseval para:
 - séries de Fourier, 152
 - transformada de Fourier, 202
- Igualdade de vetores, 127
- Integração, 75 (*Ver também* Integrais)
 - constante de, 78
 - regras gerais de, 78-80
- Integração por partes, 78
- generalizada, 80
- Integrais:
 - de linha, 132
 - de superfície, 133
 - definidas (*Ver* Integrais definidas)
 - impróprias, 116
 - indefinidas (*Ver* Integrais indefinidas)
 - múltiplas, 133
 - tripla, 133
- Integrais definidas, 116-124
 - definição de, 116
 - fórmula para cálculo aproximado de, 117
- Integrais indefinidas, 78-115
 - definição de, 78
 - tabelas de, 82-115
 - transformação de, 80-81
- Integral de Frullani, 122-123
- Integral elíptica, 206-208
 - tabela de valores de, 278-279
- Integral exponencial, 211, 264
- Integral seno e cosseno de Fresnel, 212
- Interpolação, 236
 - de Hermite, 238
 - fórmula geral de, 237

- Interpolação de dois pontos (fórmula), 237
- Intervalo de convergência, 146
- Intervalo de convergência, 146
- Inversa:
- função hiperbólica, 70-72
 - função trigonométrica, 59-62
 - transformada de Laplace, 188
- Inversão de séries de potências, 149
- Jacobiano, 136
- Juros, 280-283
- Lagrange:
- forma do resto na série de Taylor, 146
 - interpolação de, 236
- Laplaciano, 131, 136
- Lei da probabilidade total, 227-228
- Lemniscata, 39
- Limaçon de Pascal, 43
- Linha, integral de, 132
- Logaritmos, 64-66
- de Briggs, 64
 - de números complexos, 65-66
- Média(o), 216-217
- de população, 220
 - de variável aleatória contínua, 232-233
 - de variável aleatória discreta, 232-233
 - desvio, 219
 - geométrica, 217
 - grande, 217
 - harmônica, 217
 - ponderada, 217
- Mediana, 216-217
- Método da bisseção, 242
- Método da secante, 242
- Método de Gauss-Seidel, 239
- Método de Heun, 244
- Método de iteração, 249
- para a equação de Poisson, 249
 - para sistemas lineares gerais, 249
- Método de Jacobi, 249
- Método de Milne, 245
- Método de Richardson, 249
- Método de Runge-Kutta, 245
- Métodos de diferença finita para solução da:
- equação da onda, 247
 - equação de Poisson, 246
 - equação do calor, 246
- Métodos numéricos para equações diferenciais:
- ordinárias, 244-245
 - parciais, 246-249
- Mínimos quadrados:
- curva de, 222-223
 - reta de, 221-222
- Moda, 217
- Módulo de número complexo, 21
- Momento de ordem r , 212
- Montante composto, 280
- Multinomial, coeficiente, 19
- Múltipla, integral, 133
- Natural, logaritmo e antilogaritmo, 64
- tabelas de, 260-261
- Newton:
- fórmula de diferenças para a frente, 237
 - fórmula de diferenças para trás, 237
 - interpolação de, 236
 - método de, 242
- Números de Euler, 150
- Números aleatórios, tabela de, 290
- Números de Bernoulli, 150
- fórmula assintótica para, 151
 - séries envolvendo, 151
- Números diretores, 45-46
- Operador biharmônico, 131
- Operador del, 129-130
- Ortogonais curvilíneas, coordenadas, 135-136
- fórmulas envolvendo, 136
- Ortogonalidade:
- polinômios de Chebychev, 184
 - polinômios de Laguerre, 179-180
 - polinômios de Legendre, 173
- Ovais de Cassini, 43
- Parábola, 36
- segmento de, 29
- Paraboloide, 51
- Paralelepípedo, 30
- Paralelogramo, 17
- Parâmetro, 216-217
- Parciais:
- derivadas, 76
 - equações diferenciais, métodos numéricos para, 246
- Parte imaginária de número complexo, 20
- Parte real de número complexo, 20
- Percentil, k -ésimo, 219
- Período de funções elípticas, 208
- Pirâmide, volume de, 31
- Plano complexo, 20
- Poisson:
- distribuição de, 234-235
 - equação de, 246
 - fórmulas do somatório de, 145
- Polar:
- coordenadas, 35
 - forma polar de número complexo, 21
- Polígono regular, 28
- Polinomial, curva (mínimos quadrados), 223
- Polinômios de Chebychev, 183
- de 1ª espécie, 183
 - de 2ª espécie, 184
 - fórmula de recorrência para, 183

- Polinômios de Laguerre, 179-182
 associados, 180-181
 fórmula de recorrência para, 200
 função geradora para, 179
- Polinômios de Legendre, 172-173, 241
 fórmula de recorrência, 173-174
 função geradora para, 172
 tabelas de valores de, 277
- Ponto fixo de iteração, 243
- Ponto médio, 218
- População, 216-217
 desvio padrão de, 220
 média de, 218
 variância, 220
- Potência:
 curva de (mínimos quadrados), 221-222
 somas de, 142
- Probabilidade, 225
 distribuição de, 231-232
 função de, 226
 tabelas de, 284-289
- Processo estocástico, 227
- Produto de Wallis, 215
- Produto escalar, 128
- Produto infinito, 215
- Produto vetorial, 128-129
- Produtos:
 especiais, 15
 infinito, 215
- Quadrantes, 54-55
- Quadrática:
 convergência, 242
 equação, solução de, 111
- Quadratura, 240-241
- Quártica, solução de equação, 23
- Quartil, coeficiente de assimetria, 220
- Quartis [Q_L , M , Q_U], 219
- Radianos, 14, 55
 tabela de conversão para graus, 258
- Raiz de número complexo, 21
- Raiz média dos quadrados, 219
- Recíprocos de potências, séries de, 143
- Regra da cadeia para derivadas, 73
- Regra da monotonicidade em Probabilidade, 226
- Regra da soma (probabilidade), 226
- Regra de Leibniz, 75
- Regra de Napier, 62-63
- Regra do ponto médio, 240, 244
- Regra trapezoidal (fórmula), 117, 240, 244
- Resíduos, soma dos quadrados dos, 222-223
- Resto:
 na forma de Cauchy, 23
 na forma de Lagrange, 146
- Resumo de cinco números [L , Q_L , M , Q_H , H], 219
- Reta de melhor ajuste, 221-222
- Reta de regressão, 221-222
- Retângulo, 23
- Riemann, função zeta de, 212
- Rosácea, 40
- Rotação, 35, 48
- Rotacional, 131
- Segmento:
 de círculo, 29
 de parábola, 29
- Seno, 54-55
 gráfico do, 57
 lei do, 61-62
 tabela de valores, 255
- Seno integral, 98
 tabela de valores, 272
- Separação de variáveis, 124
- Séries:
 aritmética, 142
 aritmético-geométrica, 142
 binomial, 196
 de constantes, 142
 de Fourier, 152-156
 de Maclaurin, 146
 de potências, 146
 de Taylor, 146-149
 geométrica, 142
- Setor de um círculo, 28
- Solução da equação cúbica, 23
- Solução de equações algébricas, 23-24
- Soma de vetores, 127
- SOR – Método de sobre-relaxações sucessivas, 249
- Student, distribuição t de, 235
 tabela de, 286
- Superfície, integral de, 133
- Tabela de anuidades, 282
- Tabelas financeiras, 280-283
- Tangentes, lei das, 61-63
- Tendência central, 216-217
- Teorema da convolução para transformada de Fourier, 202
- Teorema de De Moivre, 21
- Teorema de Gauss, 134
- Teorema de Green, 134
- Teorema de Stokes, 134
- Teorema do valor intermediário, 242
- Teorema do valor médio:
 para integral definida, 116
 para integral definida generalizado, 117
- Teorema fundamental do Cálculo integral, 116
- Teorema integral de Fourier, 201
- Toro, área da superfície e volume, 29
- Toroidais, coordenadas, 140
- Tractriz, 42
- Transformação:
 de coordenadas, 35, 47-48, 136
 de integrais, 80-81, 136
 jacobiano de, 136
- Transformação de Landen, 207-208

- Transformada de Fourier, 201
 - convolução de, 201
 - cosseno de, 202, 205
 - identidade de Parseval, 201
 - seno de, 202, 204
 - tabelas de, 203-204
- Transformada de Laplace, 188-200
 - definição da, 188
 - fórmula complexa da inversão de, 188
 - inversa, 188
 - tabelas de, 189-200
- Translação de coordenadas:
 - no espaço, 47
 - no plano, 35
- Trapezoide, área, perímetro, 27
- Triângulo de Pascal, 17-18
- Triângulo esférico, 61-62
- Tripla, integral, 133
- Trocoide, 41
- Valor presente:
 - de um montante, 281
 - de uma anuidade, 283
- Variância, 218
 - de amostra, 218
 - de população, 218
- Variável aleatória, 231-235
 - contínua, 232-233
 - discreta, 232
 - padronizada, 234
- Vetor unitário, 128
 - normal à superfície, 133
- Vetor zero, nulo, 127
- Vetores, 127
 - derivada de, 129-130
 - integrais envolvendo, 132
 - unitários, 127
- Vetorial:
 - análise, 127-141
 - produto, 128-129
- Volume, integral de, 133
- Zeros das funções de Bessel, 275